

COMMITTENTE



PROGETTAZIONE:



CUP: J84H17000930009

U.O. INFRASTRUTTURE NORD

PROGETTO DEFINITIVO

RADDOPPIO LINEA CODOGNO – CREMONA – MANTOVA TRATTA PIADENA - MANTOVA

IV - OPERE D'ARTE PRINCIPALI - Cavalcaferrovia

Nuova passerella ciclo-pedonale al km 83+906

Relazione di calcolo spalle

SCALA:

-

COMMESSA LOTTO FASE ENTE TIPO DOC. OPERA/DISCIPLINA PROGR. REV.

NM25 03 D 26 CL IV3704 001 A

Digita qui il testo

| Rev. | Descrizione | Redatto | Data | Verificato | Data | Approvato | Data | Autorizzato Data |
|------|---------------------|---------|-------------|------------|-------------|----------------|-------------|--|
| A | Emissione Esecutiva | G.Coppa | Aprile 2020 | A.Malcangi | Aprile 2020 | M. Berlingieri | Aprile 2020 | A. Peruggi DOTT. ING. PEREGO ANDREA Sez. 2 - Settori: a) civile e ambientale b) lavori pubblici c) dell'informazione n. A32428 MIANO |
| | | | | | | | | |
| | | | | | | | | |
| | | | | | | | | |
| | | | | | | | | |

File: NM2503D26CLIV3704001A.doc

n. Elab.:

Relazione di calcolo spalle

 COMMESSA LOTTO CODIFICA DOCUMENTO REV. FOGLIO
 NM25 03 D 26 CL IV 37 04 001 A 2 di 439

INDICE

| | |
|---|----|
| 1. PREMESSA | 6 |
| 2. DOCUMENTI DI RIFERIMENTO | 7 |
| 2.1 NORMATIVA | 7 |
| 2.2 ELABORATI DI RIFERIMENTO | 9 |
| 3. UNITÀ DI MISURA | 10 |
| 4. DESCRIZIONE DELL'OPERA | 11 |
| 5. CARATTERISTICHE DEI MATERIALI | 14 |
| 5.1 CALCESTRUZZO | 14 |
| 5.1.1 <i>Strutture di elevazione</i> | 14 |
| 5.1.2 <i>Strutture di fondazione e pali di fondazione</i> | 15 |
| 5.2 ACCIAIO PER CEMENTO ARMATO | 15 |
| 5.3 COPRIFERRI MINIMI | 15 |
| 6. PARAMETRI SISMICI | 17 |
| 7. CARATTERIZZAZIONE GEOTECNICA | 19 |
| 7.1 STRATIGRAFIA E PARAMETRI GEOTECNICI | 19 |
| 8. ANALISI DEI CARICHI | 21 |
| 8.1 CARICHI PERMANENTI STRUTTURALI G ₁ | 21 |
| 8.2 CARICHI PERMANENTI NON STRUTTURALI G ₂ | 21 |
| 8.3 SPINTA DELLE TERRE G ₃ | 21 |
| 8.4 SPINTA DA SOVRACCARICO PERMANENTE | 22 |
| 8.5 SPINTA DA SOVRACCARICO ACCIDENTALE | 22 |
| 8.6 CARICHI ACCIDENTALI Q ₁ | 23 |
| 8.7 AZIONE DEL VENTO Q ₅ | 23 |
| 8.7.1 <i>Categoria di esposizione</i> | 26 |
| 8.7.2 <i>Coefficiente dinamico</i> | 28 |
| 8.7.3 <i>Coefficiente di topografia</i> | 28 |
| 8.7.4 <i>Coefficiente di forma</i> | 29 |

| | | | | | | |
|---|---|------------------|----------------|---------------------------|-----------|--------------------|
|  ITALFERR GRUPPO FERROVIE DELLO STATO ITALIANE | RADDOPPIO LINEA CODOGNO – CREMONA – MANTOVA TRATTA PIADENA - MANTOVA | | | | | |
| Relazione di calcolo spalle | COMMESA NM25 | LOTTO 03 D 26 | CODIFICA CL | DOCUMENTO IV 37 04 001 | REV. A | FOGLIO 3 di 439 |

| | |
|---|----|
| 8.7.5 <i>Pressione del vento</i> | 29 |
| 8.8 AZIONE SISMICHE E | 31 |
| 8.8.1 <i>Spinta sismica del terreno</i> | 32 |
| 8.8.2 <i>Forze inerziali dovute al sisma</i> | 36 |
| 8.9 RIEPILOGO DEI CARICHI TRASMESSI DALL'IMPALCATO | 37 |
| 9. COMBINAZIONI DI CARICO | 38 |
| 10. CRITERI DI MODELLAZIONE | 41 |
| 10.1 CALCOLO DEL MODULO DI REAZIONE ORIZZONTALE DEL TERRENO | 42 |
| 11. CRITERI DI VERIFICA | 44 |
| 11.1 VERIFICHE AGLI STATI LIMITE DI ESERCIZIO | 44 |
| 11.1.1 <i>Verifiche a fessurazione</i> | 44 |
| 11.1.2 <i>Verifiche delle tensioni di esercizio</i> | 45 |
| 11.2 VERIFICHE AGLI STATI LIMITE ULTIMI | 45 |
| 11.2.1 <i>Sollecitazioni flettenti</i> | 46 |
| 11.2.2 <i>Sollecitazioni taglienti</i> | 46 |
| 11.3 VERIFICHE GEOTECNICHE | 48 |
| 12. ANALISI DEI RISULTATI | 50 |
| 12.1 MURO FRONTALE | 50 |
| 12.2 PARAGHIAIA | 53 |
| 12.3 MURI ANDATORI | 56 |
| 12.4 PLINTO DI FONDAZIONE | 59 |
| 12.5 PALI DI FONDAZIONE | 62 |
| 13. VERIFICHE | 63 |
| 13.1 MURO FRONTALE | 64 |
| 13.1.1 <i>Verifica dell'armatura verticale</i> | 64 |

| | | | | | | |
|---|---|------------------|----------------|---------------------------|-----------|--------------------|
|  ITALFERR GRUPPO FERROVIE DELLO STATO ITALIANE | RADDOPPIO LINEA CODOGNO – CREMONA – MANTOVA TRATTA PIADENA - MANTOVA | | | | | |
| Relazione di calcolo spalle | COMMESA NM25 | LOTTO 03 D 26 | CODIFICA CL | DOCUMENTO IV 37 04 001 | REV. A | FOGLIO 4 di 439 |

| | |
|--|-----|
| 13.1.2 <i>Verifica dell'armatura orizzontale</i> | 68 |
| 13.1.3 <i>Verifica a taglio</i> | 73 |
| 13.2 PARAGHIAIA | 75 |
| 13.2.1 <i>Verifica dell'armatura verticale</i> | 75 |
| 13.2.2 <i>Verifica dell'armatura orizzontale</i> | 79 |
| 13.2.3 <i>Verifica a taglio</i> | 84 |
| 13.3 MURI ANDATORI | 86 |
| 13.3.1 <i>Verifica dell'armatura verticale</i> | 86 |
| 13.3.2 <i>Verifica dell'armatura orizzontale</i> | 90 |
| 13.3.3 <i>Verifica a taglio</i> | 95 |
| 13.4 PLINTO DI FONDAZIONE | 97 |
| 13.4.1 <i>Verifica dell'armatura longitudinale</i> | 97 |
| 13.4.2 <i>Verifica dell'armatura trasversale</i> | 101 |
| 13.4.3 <i>Verifica a taglio e punzonamento</i> | 106 |
| 13.5 VERIFICA DEI PALI DI FONDAZIONE | 110 |
| 13.5.1 <i>Verifiche strutturali</i> | 111 |
| 13.5.2 <i>Verifiche geotecniche</i> | 116 |
| 13.6 VERIFICA DEI BAGGIOLI..... | 125 |
| 13.6.1 <i>Verifica pressione nel calcestuzzo</i> | 125 |
| 13.6.2 <i>Armatura a tranciamento</i> | 125 |
| 13.6.3 <i>Armatura trasversale</i> | 125 |
| 13.7 VERIFICA RITEGNI LONGITUDINALI | 128 |
| 13.7.1 <i>Verifica puntone-tirante</i> | 128 |
| 14. VALUTAZIONE DELLE INCIDENZE | 129 |
| 15. TABULATI DI CALCOLO | 130 |



RADDOPPIO LINEA CODOGNO – CREMONA – MANTOVA
TRATTA PIADENA - MANTOVA

Relazione di calcolo spalle

| COMMESSA | LOTTO | CODIFICA | DOCUMENTO | REV. | FOGLIO |
|----------|---------|----------|--------------|------|----------|
| NM25 | 03 D 26 | CL | IV 37 04 001 | A | 5 di 439 |



RADDOPPIO LINEA CODOGNO – CREMONA – MANTOVA TRATTA PIADENA - MANTOVA

Relazione di calcolo spalle

COMMESSA LOTTO CODIFICA DOCUMENTO REV. FOGLIO
NM25 03 D 26 CL IV 37 04 001 A 6 di 439

1. PREMESSA

La presente relazione di calcolo viene emessa nell'ambito della redazione degli elaborati tecnici relativi al Progetto definitivo del Raddoppio Ferroviario Codogno-Cremona-Mantova e afferisce ai calcoli e alle verifiche strutturali della spalla della passerella ciclo-pedonale al km 83+906.

L'opera ricade in zona sismica e sono state pertanto considerate le azioni derivanti dall'analisi sismica, secondo quanto previsto dal D.M. 17/01/18 e dalla Circolare Applicativa.

| | | | | | | |
|---|---|------------------|----------------|---------------------------|-----------|--------------------|
|  ITALFERR GRUPPO FERROVIE DELLO STATO ITALIANE | RADDOPPIO LINEA CODOGNO – CREMONA – MANTOVA TRATTA PIADENA - MANTOVA | | | | | |
| Relazione di calcolo spalle | COMMESMA NM25 | LOTTO 03 D 26 | CODIFICA CL | DOCUMENTO IV 37 04 001 | REV. A | FOGLIO 7 di 439 |

2. DOCUMENTI DI RIFERIMENTO

2.1 NORMATIVA

Le analisi strutturali e le verifiche di sicurezza sono state effettuate in accordo con le seguenti normative.

- [1] LEGGE n. 1086 05.11.1971: “Norme per la disciplina delle opere in conglomerato cementizio armato, normale e precompresso ed a struttura metallica”.
- [2] Decreto Ministeriale del 17 gennaio 2018: “Aggiornamento delle «Norme Tecniche per le Costruzioni»”, G.U. Serie Generale n.42 del 20.02.2008, Supplemento Ordinario n.8.
- [3] Circolare 21 gennaio 2019 n.7 ” Istruzioni per l’applicazione dell’«Aggiornamento delle “Norme tecniche per le costruzioni”» di cui al decreto ministeriale 17 gennaio 2018”;
- [4] RFI DTC SI MA IFS 001 C del 21.12.2018 - “Manuale di progettazione delle opere civili”.
- [5] RFI DTC SI AM MA IFS 001 B del 21.12.2018 - “Manuale di progettazione delle opere civili – Sezione 1 - Ambiente”.
- [6] RFI DTC SI PS MA IFS 001 C del 21.12.2018 - “Manuale di progettazione delle opere civili – Sezione 2 – Ponti e Strutture”.
- [7] RFI DTC SI CS MA IFS 001 C del 21.12.2018 - “Capitolato generale tecnico di appalto delle opere civili”.
- [8] 1299/2014/UE Specifiche tecniche d’interoperabilità per il sottosistema “Infrastruttura” del sistema ferroviario dell’Unione Europea (18/11/2014);
- [9] UNI EN 1990: Eurocodice: Criteri generali di progettazione strutturale;
- [10] UNI EN 1991-1-1: Eurocodice 1 – Parte 1-1: Azioni in generale – Pesi per unità di volume, pesi propri e sovraccarichi variabili;
- [11] UNI EN 1991-1-4: Eurocodice 1. Azioni sulle strutture. Parte 1-4: Azioni in generale - Azioni del vento;
- [12] UNI EN 1992-1-1: Eurocodice 2 – Progettazione delle strutture di calcestruzzo - Parte 1-1: Regole generali e regole per gli edifici;

| | | | | | | |
|---|---|------------------|----------------|---------------------------|-----------|--------------------|
|  ITALFERR GRUPPO FERROVIE DELLO STATO ITALIANE | RADDOPPIO LINEA CODOGNO – CREMONA – MANTOVA TRATTA PIADENA - MANTOVA | | | | | |
| Relazione di calcolo spalle | COMMESMA NM25 | LOTTO 03 D 26 | CODIFICA CL | DOCUMENTO IV 37 04 001 | REV. A | FOGLIO 8 di 439 |

- [13] UNI EN 1992-2: Eurocodice 2. Progettazione delle strutture di calcestruzzo. Parte 2: Ponti di calcestruzzo – Progettazione e dettagli costruttivi;
- [14] UNI EN 1997-1: Eurocodice 7 – Progettazione geotecnica – Parte 1: Regole generali;
- [15] UNI-EN 1998-1: Eurocodice 8: Progettazione delle strutture per la resistenza sismica. Parte 1: Regole generali, azioni sismiche e regole per gli edifici;
- [16] UNI EN 1998-5: Eurocodice 8 – Progettazione delle strutture per la resistenza sismica – Parte 5: Fondazioni, strutture di contenimento ed aspetti geotecnici;
- [17] Legge. 2 febbraio 1974, n. 64. Provvedimenti per le costruzioni con particolari prescrizioni per le zone sismiche;
- [18] UNI EN 1992-1-1 “Progettazione delle strutture di calcestruzzo”;
- [19] UNI EN 206-1-2016: Calcestruzzo. “Specificazione, prestazione, produzione e conformità”.
- [20] Regolamento (UE) N. 1299/2014 della Commissione del 18 novembre 2014 relativo alle specifiche tecniche di interoperabilità per il sottosistema «infrastruttura» del sistema ferroviario dell'Unione europea, modificato dal Regolamento di esecuzione (UE) N° 2019/776 della Commissione del 16 maggio 2019;
- [21] Regolamento (UE) N. 1300/2014/UE Specifiche Tecniche di Interoperabilità per l'accessibilità del sistema ferroviario dell'Unione europea per le persone con disabilità e le persone a mobilità ridotta del 18/11/2014, modificato con il Regolamento di esecuzione (UE) N° 2019/772 della Commissione del 16 maggio 2019;
- [22] Regolamento (UE) N° 1303/2014 della Commissione del 18 novembre 2014 relativo alla specifica tecnica di interoperabilità concernente la “sicurezza nelle gallerie ferroviarie” del sistema ferroviario dell'Unione europea, rettificato dal Regolamento (UE) 2016/912 del 9 giugno 2016 e modificato dal Regolamento di esecuzione (UE) N° 2019/776 della Commissione del 16 maggio 2019;
- [23] Regolamento UE N. 1301/2014 della Commissione del 18 novembre 2014 relativo alle specifiche tecniche di interoperabilità per il sottosistema «Energia» del sistema ferroviario dell'Unione europea, modificato dal Regolamento di Esecuzione (UE) 2018/868 del 13 giugno 2018 e dal successivo Regolamento di esecuzione (UE) N° 2019/776 della Commissione del 16 maggio 2019;

| | | | | | | | | | | |
|---|---|------------------|----------------|---------------------------|-----------|--------------------|--|--|--|--|
|  ITALFERR GRUPPO FERROVIE DELLO STATO ITALIANE | RADDOPPIO LINEA CODOGNO – CREMONA – MANTOVA TRATTA PIADENA - MANTOVA | | | | | | | | | |
| Relazione di calcolo spalle | COMMESSE NM25 | LOTTO 03 D 26 | CODIFICA CL | DOCUMENTO IV 37 04 001 | REV. A | FOGLIO 9 di 439 | | | | |

- [24] Regolamento (UE) N. 2016/919 della Commissione del 27 maggio 2016 relativo alla specifica tecnica di interoperabilità per i sottosistemi "controllo-comando e segnalamento" del sistema ferroviario nell'Unione europea modificata con la Rettifica del 15 giugno 2016 e dal Regolamento di esecuzione (UE) N° 2019/776 della Commissione del 16 maggio 2019;
- [25] REGOLAMENTO DI ESECUZIONE (UE) 2019/772 DELLA COMMISISONE del 16 maggio 2019 che modifica il regolamento (UE) n. 1300/2014 per quanto riguarda l'inventario delle attività al fine di individuare le barriere all'accessibilità, fornire informazioni agli utenti e monitorare e valutare i progressi compiuti in materia di accessibilità;
- [26] REGOLAMENTO DI ESECUZIONE (UE) 2019/776 DELLA COMMISISONE del 16 maggio 2019 che modifica i regolamenti (UE) n. 321/2013, (UE) n. 1299/2014, (UE) n. 1301/2014, (UE) n. 1302/2014, (UE) n. 1303/2014 e (UE) 2016/919 della Commissione e la decisione di esecuzione 2011/665/UE della Commissione per quanto riguarda l'allineamento alla direttiva (UE) 2016/797 del Parlamento europeo e del Consiglio e l'attuazione di obiettivi specifici stabili nella decisione delegata (UE) 2017/1471 della Commissione.

2.2 ELABORATI DI RIFERIMENTO

| | | | | | | | | | | | | | | | | | | | | | | |
|--|-------|---|---|---|---|---|---|---|---|---|---|---|---|---|---|---|---|---|---|---|---|---|
| Planimetria su cartografia e Prospetto | 1:200 | N | M | 2 | 5 | 0 | 3 | D | 2 | 6 | P | 9 | I | V | 3 | 7 | 0 | 0 | 0 | 0 | 1 | A |
| Planimetria su ortofoto e Prospetto | 1:200 | N | M | 2 | 5 | 0 | 3 | D | 2 | 6 | P | 9 | I | V | 3 | 7 | 0 | 0 | 0 | 0 | 2 | A |
| Pianta scavi e Sezione trasversale tipologica | 1:200 | N | M | 2 | 5 | 0 | 3 | D | 2 | 6 | P | A | I | V | 3 | 7 | 0 | 0 | 0 | 0 | 1 | A |
| Pianta, prospetto, sezione trasversale e sezione longitudinale | 1:100 | N | M | 2 | 5 | 0 | 3 | D | 2 | 6 | P | A | I | V | 3 | 7 | 0 | 0 | 0 | 0 | 2 | A |
| Carpenteria Spalla A - Piante e Sezioni | 1:50 | N | M | 2 | 5 | 0 | 3 | D | 2 | 6 | B | B | I | V | 3 | 7 | 0 | 4 | 0 | 0 | 1 | A |
| Carpenteria Spalla B - Piante e Sezioni 1/2 | 1:50 | N | M | 2 | 5 | 0 | 3 | D | 2 | 6 | B | B | I | V | 3 | 7 | 0 | 4 | 0 | 0 | 2 | A |
| Carpenteria Spalla B - Piante e Sezioni 2/2 | 1:50 | N | M | 2 | 5 | 0 | 3 | D | 2 | 6 | B | B | I | V | 3 | 7 | 0 | 4 | 0 | 0 | 3 | A |
| Carpenteria impalcato | Varie | N | M | 2 | 5 | 0 | 3 | D | 2 | 6 | B | Z | I | V | 3 | 7 | 0 | 9 | 0 | 0 | 1 | A |
| Particolari, dettagli e finiture | 1:50 | N | M | 2 | 5 | 0 | 3 | D | 2 | 6 | B | Z | I | V | 3 | 7 | 0 | 0 | 0 | 0 | 1 | A |
| Particolari appoggi e giunti | 1:50 | N | M | 2 | 5 | 0 | 3 | D | 2 | 6 | B | Z | I | V | 3 | 7 | 0 | 0 | 0 | 0 | 2 | A |
| Relazione geotecnica generale | 1:50 | N | M | 2 | 5 | 0 | 3 | D | 2 | 6 | G | E | G | E | 0 | 0 | 0 | 6 | 0 | 0 | 1 | A |



RADDOPPIO LINEA CODOGNO – CREMONA – MANTOVA TRATTA PIADENA - MANTOVA

Relazione di calcolo spalle

COMMESA LOTTO CODIFICA DOCUMENTO REV. FOGLIO
NM25 03 D 26 CL IV 37 04 001 A 10 di 439

3. UNITÀ DI MISURA

Le unità di misura usate nella presente relazione sono:

- lunghezze [m]
- forze [kN]
- momenti [kNm]
- tensioni [MPa]

Relazione di calcolo spalle

COMMESA LOTTO CODIFICA DOCUMENTO REV. FOGLIO
NM25 03 D 26 CL IV 37 04 001 A 11 di 439

4. DESCRIZIONE DELL'OPERA

Le sottostrutture in corrispondenza della spalla in esame sono rappresentate da:

1. spalla 1 (SP1);
2. spalla 2 (SP2).

L'impalcato prevede una struttura in acciaio costituita da due travi metalliche collegate mediante connettori al solaio con lamiera grecata di tipo HI-BOND con spessore 1 mm e getto di completamento di spessore di 6cm. Il profilo longitudinale presenta travi ad altezza costante di 120 cm, poste ad interasse 250cm. La luce netta, in asse appoggi, è di 25,00m mentre la alrghezza totale dell'impalcato è di 4,60m. La geometria delle sezioni trasversali dell'impalcato è riportata nelle figure seguenti:

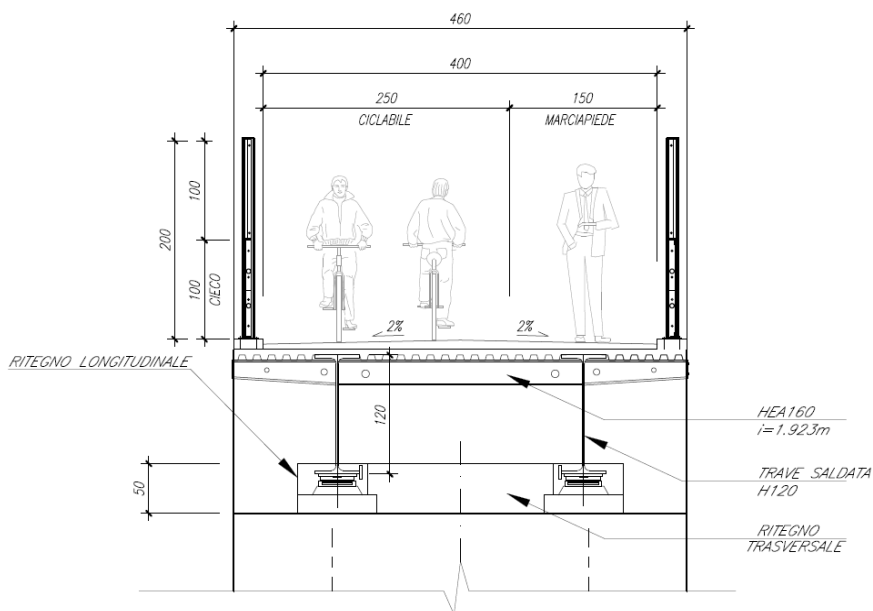


Figure 1 Sezione trasversale tipo dell'impalcato: sezione corrente

Relazione di calcolo spalle

| COMMESSA | LOTTO | CODIFICA | DOCUMENTO | REV. | FOGLIO |
|----------|---------|----------|--------------|------|-----------|
| NM25 | 03 D 26 | CL | IV 37 04 001 | A | 12 di 439 |

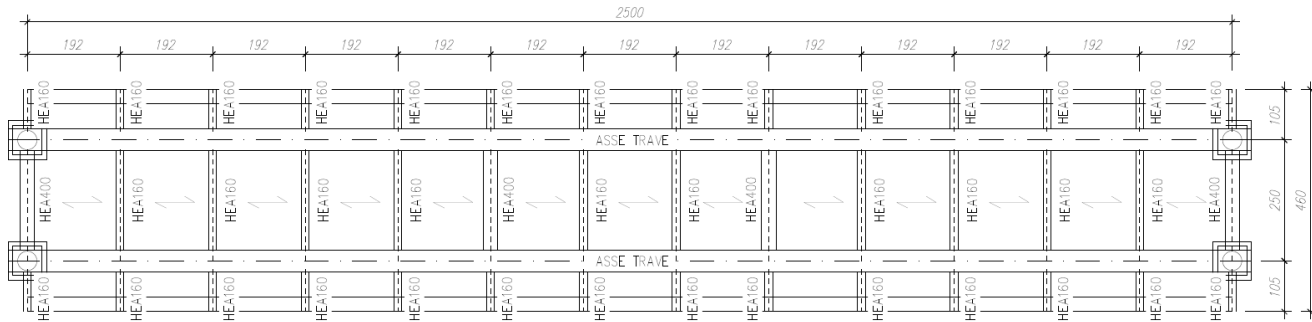


Figure 2 Carpenteria impalcato

La spalla è caratterizzata da un'altezza massima pari a 10.35m dallo spiccato di fondazione. Il muro frontale è alto 8.75m, spesso 1.50m e presenta una larghezza di 4.60m. Il muro paraghiaia ha uno spessore di 0.50m ed un'altezza massima di 1.60m.

La fondazione di tipo indiretto è costituita da un plinto su pali. La platea ha uno spessore 1.80m e presenta dimensioni in pianta 8.00x11.50 rispettivamente in direzione trasversale e longitudinale. La palificata si compone di 12 pali Ø 1000 di lunghezza 20m.

I due muri andatori hanno uno spessore di 1.00m.

Si riportano a seguire le immagini della carpenteria dell'opera in oggetto, per maggiori dettagli si rimanda agli elaborati grafici.

Relazione di calcolo spalle

| COMMESA | LOTTO | CODIFICA | DOCUMENTO | REV. | FOGLIO |
|---------|---------|----------|--------------|------|-----------|
| NM25 | 03 D 26 | CL | IV 37 04 001 | A | 13 di 439 |

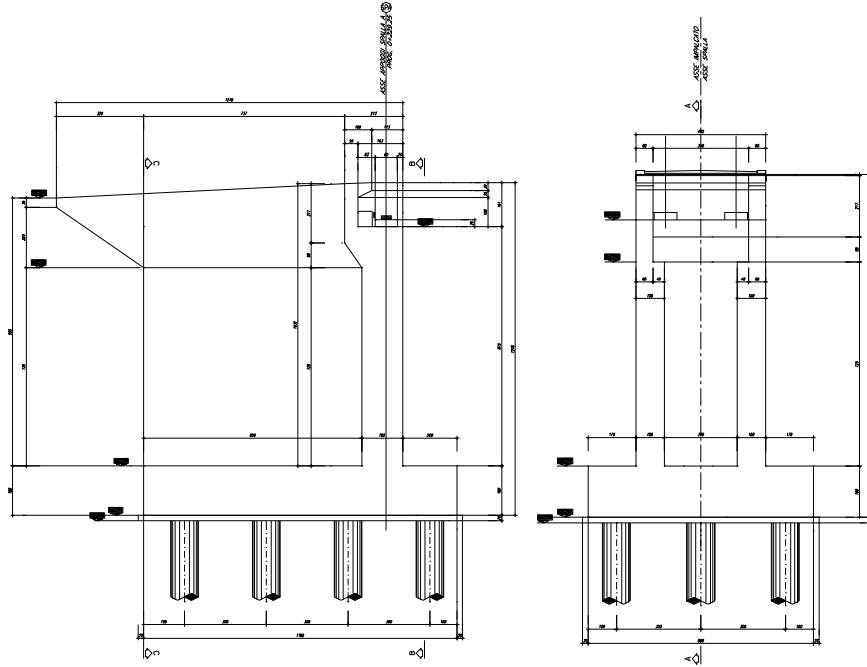


Figura 1 Carpenteria spalle 1

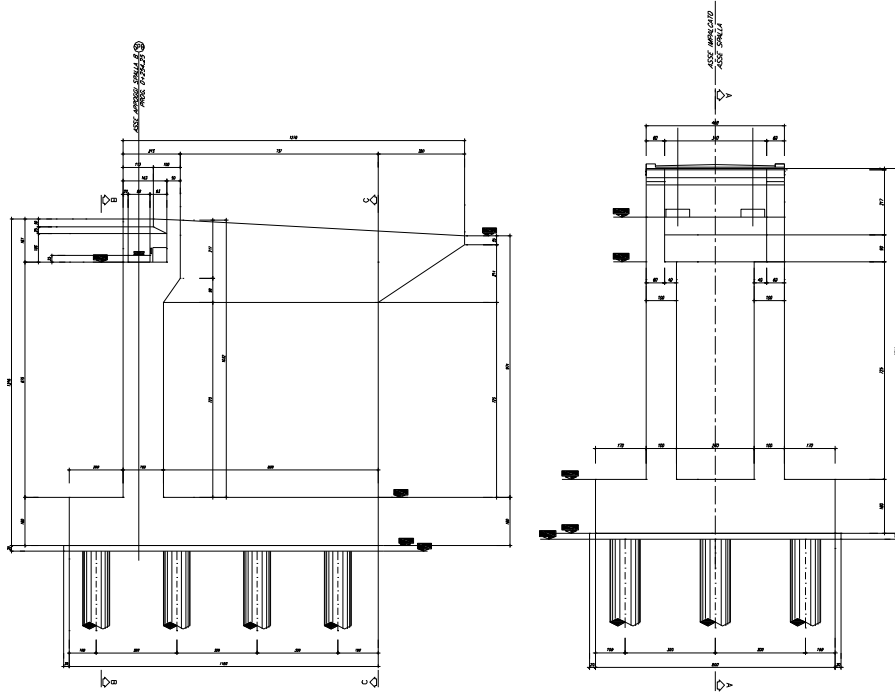


Figura 2 Carpenteria spalle 2

| | | | | | | |
|---|---|------------------|----------------|---------------------------|-----------|---------------------|
|  ITALFERR GRUPPO FERROVIE DELLO STATO ITALIANE | RADDOPPIO LINEA CODOGNO – CREMONA – MANTOVA TRATTA PIADENA - MANTOVA | | | | | |
| Relazione di calcolo spalle | COMMESA NM25 | LOTTO 03 D 26 | CODIFICA CL | DOCUMENTO IV 37 04 001 | REV. A | FOGLIO 14 di 439 |

5. CARATTERISTICHE DEI MATERIALI

5.1 CALCESTRUZZO

5.1.1 Strutture di elevazione

Per il getto degli elementi di elevazione della spalla si adotta un calcestruzzo con le caratteristiche riportate di seguito:

Classe d'esposizione: XC4

C32/40 $f_{ck} \geq 32 \text{ MPa}$ $R_{ck} \geq 40 \text{ MPa}$

In accordo con le norme vigenti, risulta per il materiale in esame:

| | | | |
|--|---|-----------|-------------------|
| Resistenza caratteristica cubica a 28 giorni | R_{ck} | 40 | N/mm ² |
| Resistenza caratteristica cilindrica a 28 giorni | $f_{ck} = 0.83 R_{ck}$ | 33.20 | N/mm ² |
| Valore medio della resistenza cilindrica | $f_{cm} = f_{ck} + 8$ | 41.20 | N/mm ² |
| Resistenza di calcolo breve durata | $f_{cd} (\text{Breve durata}) = f_{ck} / 1.5$ | 22.13 | N/mm ² |
| Resistenza di calcolo lunga durata | $f_{cd} (\text{Lungo durata}) = 0.85 f_{cd}$ | 18.81 | N/mm ² |
| Resistenza media a trazione assiale | $f_{ctm} = 0.3 (f_{ck})^{2/3}$ [Rck<50/60] | 3.10 | N/mm ² |
| Resistenza caratteristica a trazione | $f_{ctk,0,05} = 0.7 f_{ctm}$ | 2.17 | N/mm ² |
| Resistenza media a trazione per flessione | $f_{cfm} = 1.2 f_{ctm}$ | 3.72 | N/mm ² |
| Resistenza di calcolo a trazione | $f_{ctd} = f_{ctk,0,05} / 1.5$ | 1.45 | N/mm ² |
| Modulo di Young | $E = 22000 (f_{cm}/10)^{0.3}$ | 33643 | N/mm ² |

| | | | | | | |
|---|---|------------------|----------------|---------------------------|-----------|---------------------|
|  ITALFERR GRUPPO FERROVIE DELLO STATO ITALIANE | RADDOPPIO LINEA CODOGNO – CREMONA – MANTOVA TRATTA PIADENA - MANTOVA | | | | | |
| Relazione di calcolo spalle | COMMESA NM25 | LOTTO 03 D 26 | CODIFICA CL | DOCUMENTO IV 37 04 001 | REV. A | FOGLIO 15 di 439 |

5.1.2 **Strutture di fondazione e pali di fondazione**

Per il getto dei plinti di fondazioni e dei pali di fondazione si adotta un calcestruzzo con le caratteristiche riportate di seguito:

Classe d'esposizione: XC2

C25/30 $f_{ck} \geq 25 \text{ MPa}$ $R_{ck} \geq 30 \text{ MPa}$

In accordo con le norme vigenti, risulta per il materiale in esame:

| | | | |
|--|---|-----------|-------------------|
| Resistenza caratteristica cubica a 28 giorni | R_{ck} | 30 | N/mm ² |
| Resistenza caratteristica cilindrica a 28 giorni | $f_{ck} = 0.83 R_{ck}$ | 24.90 | N/mm ² |
| Valore medio della resistenza cilindrica | $f_{cm} = f_{ck} + 8$ | 32.90 | N/mm ² |
| Resistenza di calcolo breve durata | $f_{cd} (\text{Breve durata}) = f_{ck} / 1.5$ | 16.60 | N/mm ² |
| Resistenza di calcolo lunga durata | $f_{cd} (\text{Lungo durata}) = 0.85 f_{cd}$ | 14.11 | N/mm ² |
| Resistenza media a trazione assiale | $f_{ctm} = 0.3 (f_{ck})^{2/3}$ [Rck<50/60] | 2.56 | N/mm ² |
| Resistenza caratteristica a trazione | $f_{ctk,0.05} = 0.7 f_{ctm}$ | 1.79 | N/mm ² |
| Resistenza media a trazione per flessione | $f_{cfm} = 1.2 f_{ctm}$ | 3.07 | N/mm ² |
| Resistenza di calcolo a trazione | $f_{ctd} = f_{ctk,0.05} / 1.5$ | 1.19 | N/mm ² |
| Modulo di Young | $E = 22000 (f_{cm}/10)^{0.3}$ | 31447 | N/mm ² |

5.2 ACCIAIO PER CEMENTO ARMATO

| | | |
|----------------------------|------------------------------------|---|
| Tipo | B450 (controllato in stabilimento) | |
| $f_{yk} =$ | 450 MPa | Tensione caratteristica di snervamento |
| $f_{yd} = f_{yk} / 1.15 =$ | 391.30 MPa | Resistenza di calcolo |
| $\sigma_s = 0.75 f_{yk} =$ | 337.50 MPa | Tensione limite in condizione di esercizio (comb. Rara) |
| $E_s =$ | 210000 MPa | Modulo elastico |

5.3 COPRIFERRI MINIMI

Si riportano di seguito i copriferrri minimi per le strutture in calcestruzzo armato:



RADDOPPIO LINEA CODOGNO – CREMONA – MANTOVA
TRATTA PIADENA - MANTOVA

Relazione di calcolo spalle

COMMESA LOTTO CODIFICA DOCUMENTO REV. FOGLIO
NM25 03 D 26 CL IV 37 04 001 A 16 di 439

Strutture di elevazione 5.0 cm

Plinto di fondazione 4.0 cm

Pali di fondazione 6.0 cm

| | | | | | | |
|---|---|------------------|----------------|---------------------------|-----------|---------------------|
|  ITALFERR GRUPPO FERROVIE DELLO STATO ITALIANE | RADDOPPIO LINEA CODOGNO – CREMONA – MANTOVA TRATTA PIADENA - MANTOVA | | | | | |
| Relazione di calcolo spalle | COMMESMA NM25 | LOTTO 03 D 26 | CODIFICA CL | DOCUMENTO IV 37 04 001 | REV. A | FOGLIO 17 di 439 |

6. PARAMETRI SISMICI

Per la definizione dell'azione sismica occorre definire il periodo di riferimento P_{VR} in funzione dello stato limite considerato. La vita nominale (V_N) dell'opera è stata assunta pari a 50 anni. La classe d'uso assunta è la II. Il periodo di riferimento (V_R) per l'azione sismica, data la vita nominale e la classe d'uso, vale:

$$V_R = V_N \times C_u = 50 \times 1 = 50 \text{ anni.}$$

Il valore di probabilità di superamento del periodo di riferimento P_{VR} , cui riferirsi per individuare l'azione sismica agente, è:

$$P_{VR} (\text{SLV})=10\%.$$

Il periodo di ritorno dell'azione sismica T_R espresso in anni vale:

$$T_R (\text{SLV})= - \frac{V_r}{\ln(1 - P_{vr})} = 475 \text{ anni.}$$

Dato il valore del periodo di ritorno suddetto, tramite le tabelle riportate nell'Allegato B della norma o tramite la mappatura messa a disposizione in rete dall'Istituto Nazionale di Geofisica e Vulcanologia (INGV), è possibile definire i valori di a_g , F_0 , T^*c :

- a_g → accelerazione orizzontale massima del terreno su suolo di categoria A, espressa come frazione dell'accelerazione di gravità;
- F_0 → valore massimo del fattore di amplificazione dello spettro in accelerazione orizzontale;
- T^*c → periodo di inizio del tratto a velocità costante dello spettro in accelerazione orizzontale;
- S → coefficiente che comprende l'effetto dell'amplificazione stratigrafica (S_s) e dell'amplificazione topografica (S_t);

Il calcolo viene eseguito con il metodo pseudostatico (N.T.C. par. 7.11.6). In queste condizioni l'azione sismica è rappresentata da una forza statica equivalente pari al prodotto delle forze di gravità per un

I corrispondenti valori delle caratteristiche sismiche per lo SLV sono i seguenti:

latitudine = 45.122392;

| | | | | | | |
|---|---|--|--|--|--|--|
|  ITALFERR GRUPPO FERROVIE DELLO STATO ITALIANE | RADDOPPIO LINEA CODOGNO – CREMONA – MANTOVA TRATTA PIADENA - MANTOVA | | | | | |
| Relazione di calcolo spalle | COMMESSA LOTTO CODIFICA DOCUMENTO REV. FOGLIO NM25 03 D 26 CL IV 37 04 001 A 18 di 439 | | | | | |

longitudine = 10.784886;

a_g = 0.092 g;

F_0 = 2.557;

T^*c = 0.305 s.

Il sottosuolo su cui insiste l'opera ricade in categoria sismica "C" e categoria topografica "T1". I coefficienti di amplificazione stratigrafica e topografica risultano quindi:

S_s = 1.50;

S_t = 1.00.

a_{max} = 1.347 m/s².

| | | | | | | |
|--|--|--|--|--|--|--|
|  ITALFERR GRUPPO FERROVIE DELLO STATO ITALIANE | RADDOPPIO LINEA CODOGNO – CREMONA – MANTOVA TRATTA PIADENA - MANTOVA | | | | | |
| Relazione di calcolo spalle | COMMESA LOTTO CODIFICA DOCUMENTO REV. FOGLIO NM25 03 D 26 CL IV 37 04 001 A 19 di 439 | | | | | |

7. CARATTERIZZAZIONE GEOTECNICA

7.1 STRATIGRAFIA E PARAMETRI GEOTECNICI

Le caratteristiche geotecniche del terreno in situ, in accordo con Relazione Geotecnica, sono di seguito riportati:

| Parametro | WRa1 | WRs1 | WRa2 | Rs1 | Rs2 | Ra1 |
|-------------------------------|---------|---|---------|---------|---------|---------|
| γ (kN/m ³) | 19.0 | 19.0 | 19.0 | 19.0 | 19.0 | 19.0 |
| ϕ' (°) | 27 | 34 | 25 | 33 | 34 | 24 |
| c' (kPa) | 0 | 0 | 0 | 0 | 0 | 0 |
| Cu (kPa) | 50 | - | 70 | - | - | 70 |
| G ₀ (MPa) | 30.0 | 65.0 fino a 4 m da pc 80.0 oltre 4 m da pc | 60.0 | 95.0. | 120.0 | 80.0 |
| E ₀ (MPa) | 75.0 | 162.5 fino a 4 m da pc 200.0 oltre 4 m da pc | 150.0 | 237.5 | 300.0 | 200.0 |
| E _{op1} (MPa) | 7.5 | 16.2 fino a 4 m da pc 20.0 oltre 4 m da pc | 15.0 | 23.7 | 30.0 | 20.0 |
| E _{op2} (MPa) | 15.0 | 32.5 fino a 4 m da pc 40.00 oltre 4 m da pc | 30.0 | 47.5 | 60.0 | 40.0 |
| OCR (-) | 3.0 | - | 2.0 | - | - | 1.0 |
| CR (-) | 0.18 | - | 0.16 | - | - | 0.18 |
| RR (-) | 0.036 | - | 0.032 | - | - | 0.036 |
| C _{ae} (%) | 0.12 | - | 0.15 | - | - | 0.15 |
| k _v (m/s) | 5.00E-8 | 2.00E-7 | 1.00E-8 | 5.00E-7 | 1.00E-6 | 1.00E-8 |

Tabella 1: Caratterizzazione geotecnica

| Quota di riferimento pc ≈ 25.5 m slmm | | | |
|---------------------------------------|--------|--------|----------|
| UNITA' GEOTECNICA | DA | A | SPESSORE |
| (-) | (m pc) | (m pc) | (m) |
| WRa1 | 0.0 | 2.0 | 2.0 |
| WRs1 | 2.0 | 7.0 | 5.0 |
| WRa2 | 7.0 | 11.5 | 4.5 |
| Rs1 | 11.5 | 30.0 | 18.5 |

Relazione di calcolo spalle

COMMESA LOTTO CODIFICA DOCUMENTO REV. FOGLIO
NM25 03 D 26 CL IV 37 04 001 A 20 di 439

| | | | |
|-----|------|------|-----|
| Rs2 | 30.0 | 38.0 | 8.0 |
| Ra1 | 38.0 | 45.0 | 7.0 |

La falda di progetto è a 6.0 m da pc

Tabella 2: Stratigrafia di riferimento

I parametri geotecnici impiegati per il rilevato stradale sono:

- | | |
|---------------------------------|--------------------------------|
| $\gamma = 19.00 \text{ kN/m}^3$ | peso di volume naturale |
| $\phi' = 35^\circ$ | angolo di resistenza al taglio |
| $c' = 0.00 \text{ kPa}$ | coesione drenata |

| | | | | | | |
|---|---|------------------|----------------|---------------------------|-----------|---------------------|
|  ITALFERR GRUPPO FERROVIE DELLO STATO ITALIANE | RADDOPPIO LINEA CODOGNO – CREMONA – MANTOVA TRATTA PIADENA - MANTOVA | | | | | |
| Relazione di calcolo spalle | COMMESSE NM25 | LOTTO 03 D 26 | CODIFICA CL | DOCUMENTO IV 37 04 001 | REV. A | FOGLIO 21 di 439 |

8. ANALISI DEI CARICHI

L'analisi dei carichi che interessano la spalla in esame è stata effettuata considerando le azioni provenienti dall' impalcato afferente e quelle direttamente applicate sulla spalla.

I carichi trasmessi dall' impalcato sono relativi alle condizioni di carico elementari, opportunamente combinate secondo le vigenti normative, analizzate nel dettaglio nella relazione di calcolo dell'impalcato, a cui si rimanda per maggiori approfondimenti.

8.1 CARICHI PERMANENTI STRUTTURALI G_1

Nei carichi permanenti strutturali sono compresi il peso proprio della spalla, il peso del terreno compreso tra i muri andatori (nel caso di spalla aperta), il peso del terreno sulla zattera di valle ed i carichi permanenti strutturali trasmessi dall'impalcato. Si adotta un peso per unità di volume del calcestruzzo pari a 25 kN/m³.

I carichi permanenti strutturali trasmessi al piano di appoggio del muro frontale dall'impalcato sono esplicitati nella specifica relazione di calcolo, si rimanda al riepilogo dei carichi trasmessi dall'impalcato al paragrafo 8.9 della presente relazione.

8.2 CARICHI PERMANENTI NON STRUTTURALI G_2

I carichi permanenti non strutturali trasmessi al piano di appoggi del muro frontale dall'impalcato sono esplicitati nella specifica relazione di calcolo, si rimanda al riepilogo dei carichi trasmessi dall'impalcato al paragrafo 8.9 della presente relazione.

8.3 SPINTA DELLE TERRE G_3

Le spinte del terreno a monte degli elementi verticali della spalla sono calcolate con la teoria di Rankine, con distribuzione triangolare delle tensioni e conseguente risultante della spinta al metro pari a $S = \frac{1}{2} \cdot k_o \cdot \gamma \cdot H^2$, applicata ad 1/3 dal basso.

Si deve notare che essendo presente una fondazione su pali si ipotizza che la spalla sia impedita di traslare rispetto al terreno. Si considera quindi il coefficiente di spinta a riposo.

| | | | |
|--------------------------------------|----------|-------|-------------------|
| Angolo di attrito terreno | Φ' | 35.00 | ° |
| Coesione del terreno | c' | 0.00 | kPa |
| Peso per unità di volume del terreno | γ | 19.00 | kN/m ³ |

| | | | | | | |
|---|---|------------------|----------------|---------------------------|-----------|---------------------|
|  ITALFERR GRUPPO FERROVIE DELLO STATO ITALIANE | RADDOPPIO LINEA CODOGNO – CREMONA – MANTOVA TRATTA PIADENA - MANTOVA | | | | | |
| Relazione di calcolo spalle | COMMESA NM25 | LOTTO 03 D 26 | CODIFICA CL | DOCUMENTO IV 37 04 001 | REV. A | FOGLIO 22 di 439 |

| | | | |
|---|-----------------------|---------------|------|
| Coeff. di spinta in quiete $k_0 = (1 - \sin\Phi')$ | k_0 | 0.426 | - |
| Altezza terreno da estradosso plinto | $H_{terreno}$ | 10.35 | m |
| Spessore plinto di fondazione | H_{plinto} | 1.80 | m |
| Altezza totale di spinta | H_{tot} | 12.15 | m |
| Spessore ricoprimento zattera di valle | $H_{riinterro}$ | 1.00 | m |
| Pressione orizzontale efficace estradosso plinto | σ'_{or_ter} | 83.86 | kPa |
| Pressione orizzontale efficace intradosso plinto | σ'_{or_ter} | 98.44 | kPa |
| Pressione verticale efficace zattera di monte | $\sigma'_{v_riemp.}$ | 196.65 | kPa |
| Pressione verticale efficace zattera di valle | $\sigma'_{v_riemp.}$ | 19.00 | kPa |
| Spinta del terreno in cond. Statiche | S_{or_ter} | 598.02 | kN/m |

8.4 SPINTA DA SOVRACCARICO PERMANENTE

Per il sovraccarico permanente si considera un carico uniformemente distribuito in funzione del peso specifico e dello spessore della sovrastruttura stradale.

Il valore della spinta risultante al metro è dunque pari ad:

$$S = k_o \cdot q \cdot H$$

Per il caso in esame si ottengono le seguenti sollecitazioni agenti:

| | | | |
|--|--------------------|--------------|-------------------|
| Spessore sovrastruttura stradale | s | 0.20 | m |
| Peso specifico sovrastruttura stradale | γ | 20.00 | kN/m ³ |
| Sovraccarico sovrastruttura stradale | q_{perm} | 4.00 | kPa |
| Pressione orizzontale per effetto della sovrastruttura stradale | $\sigma'_{q.perm}$ | 1.71 | kPa |
| Spinta per effetto della sovrastruttura stradale (al metro) | $S_{or_q.perm}$ | 20.72 | kN/m |

8.5 SPINTA DA SOVRACCARICO ACCIDENTALE

Si considera la presenza di un sovraccarico accidentale a tergo della spalla uniformemente distribuito e di intensità pari $q=5$ kPa.

Il valore della spinta risultante al metro è dunque pari ad:

| | | | | | | |
|---|---|------------------|----------------|---------------------------|-----------|---------------------|
|  ITALFERR GRUPPO FERROVIE DELLO STATO ITALIANE | RADDOPPIO LINEA CODOGNO – CREMONA – MANTOVA TRATTA PIADENA - MANTOVA | | | | | |
| Relazione di calcolo spalle | COMMESA NM25 | LOTTO 03 D 26 | CODIFICA CL | DOCUMENTO IV 37 04 001 | REV. A | FOGLIO 23 di 439 |

$$S = k_o \cdot q \cdot H$$

Per il caso in esame si ottengono le seguenti sollecitazioni agenti:

| | | | |
|--|----------------------------------|--------------|-------------|
| Sovraccarico accidentale uniformemente distribuito | q_{acc} | 5.00 | kPa |
| Pressione orizzontale per effetto degli accidentali | $\sigma_{q,acc}$ | 2.13 | kPa |
| Spinta per effetto degli accidentali (al metro) | $S_{or,q,acc}$ | 25.91 | kN/m |

8.6 CARICHI ACCIDENTALI Q1

In corrispondenza dei percorsi pedonali individuati, suscettibili di affollamento, si considera un carico corrispondente allo schema di carico 5 (§5.1.3.3.3 NTC 2018) costituito da folla compatta, agente con intensità nominale, comprensiva degli effetti dinamici di 5,00 kN/m². Il carico della folla deve essere applicato su tutte le zone significative della superficie di influenza.

8.7 AZIONE DEL VENTO Q5

Il vento, la cui direzione si considera generalmente orizzontale, esercita sulle costruzioni azioni che variano nel tempo e nello spazio provocando, in generale, effetti dinamici.

Usualmente tali azioni sono convenzionalmente ricondotte ad azioni statiche equivalenti dirette secondo due assi principali della struttura, tali azioni esercitano normalmente all'elemento di parete o di copertura, pressioni e depressioni p (indicate rispettivamente con segno positivo e negativo) di intensità calcolate con la seguente espressione:

$$p = q_b c_e c_p c_d$$

- q_b = pressione cinetica di riferimento;
- c_e = coefficiente di esposizione;
- c_p = coefficiente di forma (o coefficiente aerodinamico);
- c_d = coefficiente dinamico.

Relazione di calcolo spalle

COMMESSE

LOTTO

C

DOCUMENTO

REV.

FOGLIO

NM25

03 D 26

CL

IV 37 04 001

A

24 di 439

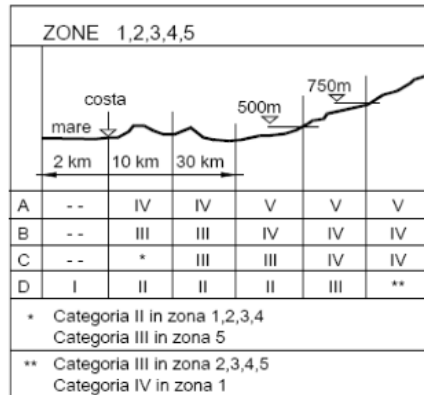


Figura 3 Definizione della categoria di esposizione

| Categoria di esposizione del sito | k_r | z_0 [m] | z_{min} [m] |
|-----------------------------------|-------|-----------|---------------|
| I | 0,17 | 0,01 | 2 |
| II | 0,19 | 0,05 | 4 |
| III | 0,20 | 0,10 | 5 |
| IV | 0,22 | 0,30 | 8 |
| V | 0,23 | 0,70 | 12 |

Tabella 3 Schema per la definizione della categoria di esposizione – cfr. NTC18

La pressione del vento è stata calcolata ai sensi delle NTC 2018; la normativa suddivide il territorio italiano in zone per le quali sono assegnati i parametri di base $v_{b,0}$, a_0 , k_a . Con riferimento a tali parametri è possibile calcolare la velocità di riferimento v_b , vale a dire il valore caratteristico della velocità del vento a 10 m dal suolo su un terreno di categoria di esposizione II, mediata su dieci minuti e riferita ad un periodo di ritorno di 50 anni v_b .

| | | | | | | |
|---|---|------------------|----------------|---------------------------|-----------|---------------------|
|  ITALFERR GRUPPO FERROVIE DELLO STATO ITALIANE | RADDOPPIO LINEA CODOGNO – CREMONA – MANTOVA TRATTA PIADENA - MANTOVA | | | | | |
| Relazione di calcolo spalle | COMMESA NM25 | LOTTO 03 D 26 | CODIFICA CL | DOCUMENTO IV 37 04 001 | REV. A | FOGLIO 25 di 439 |

Tab. 3.3.I -Valori dei parametri $v_{b,0}$, a_0 , k_s

| Zona | Descrizione | $v_{b,0}$ [m/s] | a_0 [m] | k_s |
|------|---|-----------------|-----------|-------|
| 1 | Valle d'Aosta, Piemonte, Lombardia, Trentino Alto Adige, Veneto, Friuli Venezia Giulia (con l'eccezione della provincia di Trieste) | 25 | 1000 | 0,40 |
| 2 | Emilia Romagna | 25 | 750 | 0,45 |
| 3 | Toscana, Marche, Umbria, Lazio, Abruzzo, Molise, Puglia, Campania, Basilicata, Calabria (esclusa la provincia di Reggio Calabria) | 27 | 500 | 0,37 |
| 4 | Sicilia e provincia di Reggio Calabria | 28 | 500 | 0,36 |
| 5 | Sardegna (zona a oriente della retta congiungente Capo Teulada con l'Isola di Maddalena) | 28 | 750 | 0,40 |
| 6 | Sardegna (zona a occidente della retta congiungente Capo Teulada con l'Isola di Maddalena) | 28 | 500 | 0,36 |
| 7 | Liguria | 28 | 1000 | 0,54 |
| 8 | Provincia di Trieste | 30 | 1500 | 0,50 |
| 9 | Isole (con l'eccezione di Sicilia e Sardegna) e mare aperto | 31 | 500 | 0,32 |

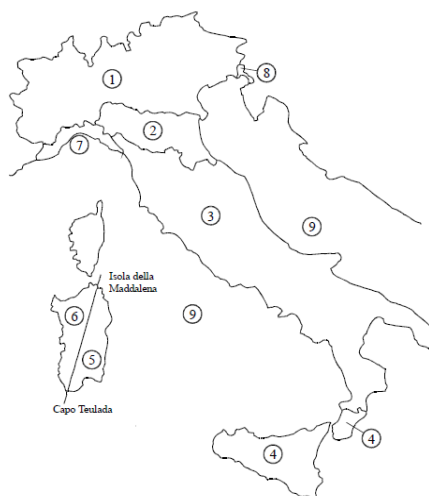


Figura 3.3.1 – Mappa delle zone in cui è suddiviso il territorio italiano

Figura 4 Mappa delle zone in cui è suddiviso il territorio italiano e valori dei parametri di riferimento (tab. 3.3.I NTC2018)

I dettagli del calcolo sono di seguito riportati:

| | | | |
|--|-----------|--------|------|
| Zona - Regione | Zona | [-] | 1 |
| Velocità di riferimento - Valore caratteristico | $v_{b,0}$ | [m/s] | 25 |
| Parametro legato all'altitudine della zona | a_0 | [m] | 1000 |
| Parametro funzione della zona | k_s | [1/s] | 0.40 |
| Altitudine | a_s | [m] | 30 |
| Velocità di riferimento per un periodo di ritorno di 50 anni | v_b | [m/s] | 25 |
| Tempo di ritorno | T_R | [anni] | 50 |
| Coefficiente correttivo per il tempo di ritorno | c_R | [-] | 1.00 |

| | | | | | | |
|---|---|------------------|----------------|---------------------------|-----------|---------------------|
|  ITALFERR GRUPPO FERROVIE DELLO STATO ITALIANE | RADDOPPIO LINEA CODOGNO – CREMONA – MANTOVA TRATTA PIADENA - MANTOVA | | | | | |
| Relazione di calcolo spalle | COMMESSA NM25 | LOTTO 03 D 26 | CODIFICA CL | DOCUMENTO IV 37 04 001 | REV. A | FOGLIO 26 di 439 |

| | | | |
|--|----------------------------------|-------|-------|
| Velocità di riferimento per il periodo di ritorno definito | v _r (T _R) | [m/s] | 25.02 |
|--|----------------------------------|-------|-------|

| | | | |
|-----------------------------------|--------|----------------------|--------|
| Densità dell'aria | ρ | [kg/m ³] | 1.25 |
| Pressione cinetica di riferimento | q_b | [N/m ²] | 391.20 |

8.7.1 **Categoria di esposizione**

Il coefficiente di esposizione c_e dipende dall'altezza della costruzione z sul suolo del punto considerato, dalla rugosità e dalla topografia del terreno, dalla categoria di esposizione del sito ove sorge la costruzione.

Il coefficiente di esposizione c_e varia lungo la quota fuori terra (z) della costruzione ed è dato dalla formula:

$$c_e(z) = k_r^2 \cdot c_t \cdot \ln\left(\frac{z}{z_0}\right) \left[7 + c_t \cdot \ln\left(\frac{z}{z_0}\right) \right] \quad \text{per } z > z_{\min}$$

$$c_e(z) = c_e(z_{\min}) \quad \text{per } z < z_{\min}$$

Dove:

k_r , z_0 , z_{\min} sono assegnati in funzione della categoria di esposizione del sito ove sorge la costruzione;

z è l'altezza della struttura (somma dell'altezza della barriera antirumore e del rilevato su cui è installata);

c_t è il coefficiente di topografia.

In mancanza di analisi che tengano conto sia della direzione di provenienza del vento sia delle variazioni di rugosità del terreno, la categoria di esposizione è assegnata in funzione della posizione geografica del sito ove sorge la costruzione e della classe di rugosità del terreno.

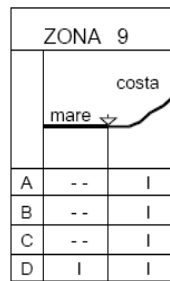
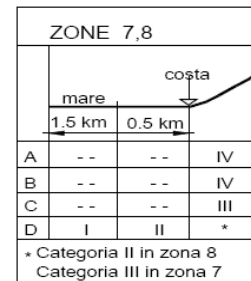
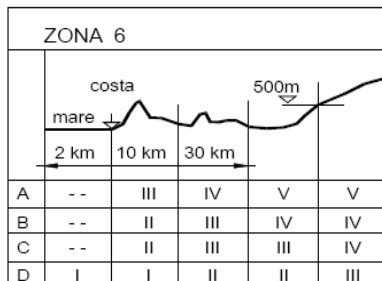
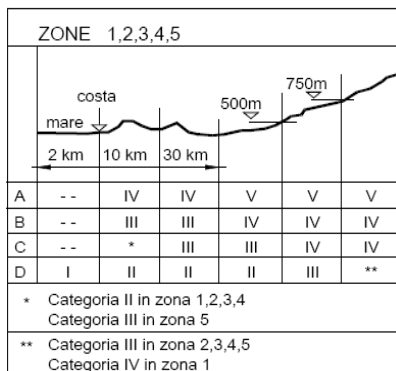
Nelle fasce entro i 40 km dalla costa delle zone 1, 2, 3, 4, 5, e 6, la categoria di esposizione è indipendente dall'altitudine del sito.

Relazione di calcolo spalle

 COMMESSA LOTTO CODIFICA DOCUMENTO REV. FOGLIO
 NM25 03 D 26 CL IV 37 04 001 A 27 di 439
Tabella 3.3.III - Classi di rugosità del terreno

| Classe di rugosità del terreno | Descrizione |
|--------------------------------|--|
| A | Aree urbane in cui almeno il 15% della superficie sia coperto da edifici la cui altezza media superi i 15m |
| B | Aree urbane (non di classe A), suburbane, industriali e boschive |
| C | Aree con ostacoli diffusi (alberi, case, muri, recinzioni,...); aree con rugosità non riconducibile alle classi A, B, D |
| D | Aree prive di ostacoli (aperta campagna, aeroporti, aree agricole, pascoli, zone paludose o sabbiose, superfici innestate o ghiacciate, mare, laghi,...) |

L'assegnazione della classe di rugosità non dipende dalla conformazione orografica e topografica del terreno. Affinché una costruzione possa dirsi ubicata in classe A o B è necessario che la situazione che contraddistingue la classe permanga intorno alla costruzione per non meno di 1 km e comunque non meno di 20 volte l'altezza della costruzione. Laddove sussistano dubbi sulla scelta della classe di rugosità, a meno di analisi dettagliate, verrà assegnata la classe più favorevole.

**Tabella 3.3.II – Parametri per la definizione del coefficiente di esposizione**

| Categoria di esposizione del sito | k_r | z_0 [m] | z_{min} [m] |
|-----------------------------------|-------|-----------|---------------|
| I | 0,17 | 0,01 | 2 |
| II | 0,19 | 0,05 | 4 |
| III | 0,20 | 0,10 | 5 |
| IV | 0,22 | 0,30 | 8 |
| V | 0,23 | 0,70 | 12 |

Relazione di calcolo spalle

COMMESSE

LOTTO

CODIFICA

DOCUMENTO

REV.

FOGLIO

NM25

03 D 26

CL

IV 37 04 001

A

28 di 439

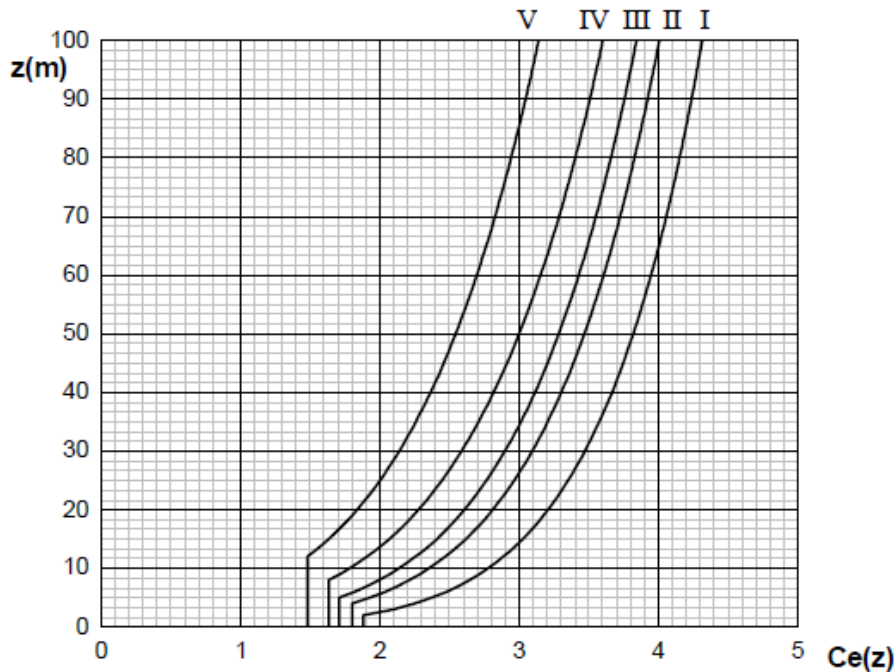


Figura 3.3.3 - Andamento del coefficiente di esposizione c_e con la quota (per $c_t = 1$)

| | | | |
|--|------------------------------|-------|------|
| Classe di rugosità del terreno | $\text{Classe}_{\text{rug}}$ | [-] | C |
| Categoria di esposizione del sito | Cat_{esp} | [-] | III |
| Parametri per la definizione del coeff. di esposizione | k_r | [-] | 0.20 |
| | z_0 | [m] | 0.10 |
| | z_{\min} | [m] | 5.00 |

Tabella 4 Categoria di esposizione

 $c_{e(10m)} = 2.55$

8.7.2 Coefficienti dinamico

Il coefficiente dinamico c_d permette di tenere in conto degli effetti riduttivi associati alla non contemporaneità delle massime pressioni locali e degli effetti amplificativi dovuti alle vibrazioni strutturali.

Nelle strutture analizzate viene considerato cautelativamente un coefficiente dinamico pari a $c_d = 1.0$.

8.7.3 Coefficiente di topografia

Nelle strutture analizzate viene considerato un coefficiente di topografia unitario.

| | | | | | | |
|---|---|--|--|--|--|--|
|  ITALFERR GRUPPO FERROVIE DELLO STATO ITALIANE | RADDOPPIO LINEA CODOGNO – CREMONA – MANTOVA TRATTA PIADENA - MANTOVA | | | | | |
| Relazione di calcolo spalle | COMMESSA LOTTO CODIFICA DOCUMENTO REV. FOGLIO NM25 03 D 26 CL IV 37 04 001 A 29 di 439 | | | | | |

8.7.4 Coefficiente di forma

Secondo le indicazioni della Circolare del 21/01/2019 “Istruzioni per l’applicazione delle “Norme tecniche per le costruzioni” di cui al D.M. del 17/01/2018” (par. C3.3.8.6.1), e considerando travi ad anima piena per cui il rapporto tra la superficie delimitata dal contorno della trave e la superficie della parte piena della trave, $j = 1$, si determina il coefficiente aerodinamico per l’impalcato: $c_p = 2,4 - j = 1,40$.

8.7.5 Pressione del vento

| | | | |
|-------|-------------|-------------------|--|
| q_b | 0.391 | kN/m ² | |
| C_e | 2.55 | | Coefficiente di esposizione calcolato per z = 7m |
| C_p | 1.4 | | Coefficiente di forma |
| C_d | 1 | | Coefficiente dinamico |
| P | 1.39 | kN/m ² | Pressione del vento |

L’azione del vento viene assimilata a un carico orizzontale statico con direzione perpendicolare all’asse del ponte. Tale azione agisce sulla proiezione nel piano verticale delle superfici degli elementi strutturali del ponte direttamente investite e su una parete rettangolare continua verticale alta 3,00 m, che convenzionalmente rappresenta i carichi che transitano sul ponte, come mostrato nella Figura riportata di seguito.

Relazione di calcolo spalle

COMMESSE

LOTTO

C

DOCUMENTO

REV.

FOGLIO

NM25

03 D 26

CL

IV 37 04 001

A

30 di 439

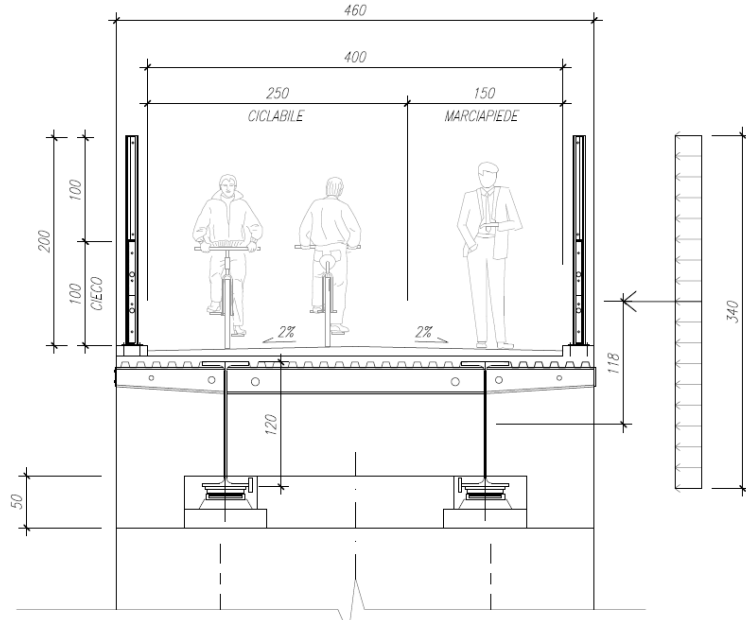


Figure 3 Direzione dell'azione del vento sul ponte

Vento trasmesso dall'impalcato a ponte carico

Il carico trasversale, per unità di lunghezza, è pari a:

$$q_{vento1} = (H_{trave} + H_{solella}) \cdot p$$

$$q_{vento2} = (H_{carico}) \cdot p$$

dove:

q_{vento1} è il carico trasversale dovuto al vento sull'impalcato;

q_{vento2} è il carico trasversale dovuto al vento sulla superficie trasversale dei carichi transitanti, che da normativa si assimila ad una parete rettangolare continua dell'altezza di 3m a partire dal piano stradale.

Le risultanti trasversali totali indotte dal vento sull'impalcato, sono pari a:

$$T_{trasv1} = q_{vento1} * L$$

$$T_{trasv2} = q_{vento2} * L$$

$$T_{trasv_ponte\ carico} = (T_{trasv1} + T_{trasv2})$$

Il baricentro dell'azione del vento rispetto a quota estradosso sottostruttura risulta pari a:

$$e_{v1} = d + [(H_{trave} + H_{solella})/2]$$

| | | | | | | |
|---|---|------------------|----------------|---------------------------|-----------|---------------------|
|  ITALFERR GRUPPO FERROVIE DELLO STATO ITALIANE | RADDOPPIO LINEA CODOGNO – CREMONA – MANTOVA TRATTA PIADENA - MANTOVA | | | | | |
| Relazione di calcolo spalle | COMMESMA NM25 | LOTTO 03 D 26 | CODIFICA CL | DOCUMENTO IV 37 04 001 | REV. A | FOGLIO 31 di 439 |

$$e_{v2} = d + (H_{trave} + H_{soletta}) + (3m / 2)$$

dove:

d = distanza tra intradosso trave e estradosso sottostruttura (in metri).

L'impalcato trasmette quindi alla sottostruttura un momento pari a:

$$M_{vento_ponte carico} = T_{trasv1} \cdot e_{v1} + T_{trasv2} \cdot e_{v2}$$

Vento trasmesso dall'impalcato a ponte scarico

Il carico trasversale, per unità di lunghezza, è pari a:

$$q_{vento1} = (H_{trave} + H_{soletta} + H_{barriera}) \cdot p$$

dove:

q_{vento1} è il carico trasversale dovuto al vento sull'impalcato e sulla barriera di protezione.

La risultante trasversale totale indotta dal vento sull'impalcato, risulta pari a:

$$T_{trasv1} = q_{vento1} * L$$

$$T_{trasv_ponte scarico} = T_{trasv1}$$

Il baricentro dell'azione del vento rispetto a quota estradosso sottostruttura risulta pari a:

$$e_{v1} = d + [(H_{trave} + H_{soletta} + H_{barriera})/2]$$

L'impalcato trasmette quindi alla sottostruttura un momento pari a:

$$M_{vento_ponte scarico} = T_{trasv1} \cdot e_{v1}$$

I carichi del vento trasmessi al piano di appoggi del muro frontale dell'impalcato sono esplicitati nella specifica relazione di calcolo, si rimanda al riepilogo dei carichi trasmessi dall'impalcato al paragrafo 8.9 della presente relazione.

8.8 AZIONE SISMICHE E

Per il calcolo dell'azione sismica si è utilizzato il metodo dell'analisi pseudo-statica in cui l'azione sismica è rappresentata da una forza statica equivalente pari al prodotto delle forze di gravità per un opportuno coefficiente sismico k .

Relazione di calcolo spalle

COMMESA LOTTO CODIFICA DOCUMENTO REV. FOGLIO
NM25 03 D 26 CL IV 37 04 001 A 32 di 439

8.8.1 Spinta sismica del terreno

Per il calcolo della spinta del terreno sulle opere di sostegno, occorre tenere presente che la mobilitazione della spinta attiva avviene per spostamenti di entità contenuta, come si evince dalla seguente tabella desunta dall'EC7 - Parte 1 - Annesso C (C.3 "Movements to mobilise limit earth pressures):

Table C.1 — Ratios v_s/h

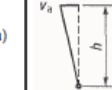
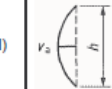
| Kind of wall movement | | v_s/h loose soil % | v_s/h dense soil % |
|--|---|----------------------------|----------------------------|
| a) |  | 0,4 to 0,5 | 0,1 to 0,2 |
| b) |  | 0,2 | 0,05 to 0,1 |
| c) |  | 0,8 to 1,0 | 0,2 to 0,5 |
| d) |  | 0,4 to 0,5 | 0,1 to 0,2 |
| where: v_s is the wall motion to mobilise active earth pressure h is the height of the wall | | | |

Figura 5: Valori di riferimento per la mobilitazione della spinta attiva

In condizioni sismiche, l'entità degli spostamenti dipende principalmente dall'intensità dell'azione sismica e dalla rigidezza del sistema pali-terreno; pertanto, la possibilità di ammettere la mobilitazione della spinta attiva è subordinata alla valutazione degli spostamenti dell'opera e potrà essere valutata caso per caso. Cautelativamente, la valutazione degli spostamenti, da effettuarsi calcolando le spinte come somma della spinta attiva in condizioni statiche e dell'incremento di spinta attiva in condizioni sismiche, sarà riferita alla base dell'opera (i.e. alla sommità della palificata) e il confronto con i valori di riferimento per la mobilitazione della spinta attiva sarà effettuato in accordo con lo schema b) della tabella estratta dall'EC7 per terreni addensati (rilevati stradali e ferroviari). L'altezza h rispetto alla quale effettuare la

| | | | | | | |
|---|---|------------------|----------------|---------------------------|-----------|---------------------|
|  ITALFERR GRUPPO FERROVIE DELLO STATO ITALIANE | RADDOPPIO LINEA CODOGNO – CREMONA – MANTOVA TRATTA PIADENA - MANTOVA | | | | | |
| Relazione di calcolo spalle | COMMESSA NM25 | LOTTO 03 D 26 | CODIFICA CL | DOCUMENTO IV 37 04 001 | REV. A | FOGLIO 33 di 439 |

verifica corrisponde all'altezza totale dell'opera su cui agisce la spinta del terreno, comprensiva dello spessore della fondazione.

Qualora, a seguito della verifica dell'entità degli spostamenti, non ricorressero le condizioni di spinta attiva, si procederà al calcolo delle spinte considerando la somma della spinta statica a riposo e dell'incremento di spinta sismica valutata con la teoria di Wood, secondo le indicazioni contenute nell'EC8 – Parte 5 – Annesso E (E.9 “Force due to earth pressure for rigid structures”).

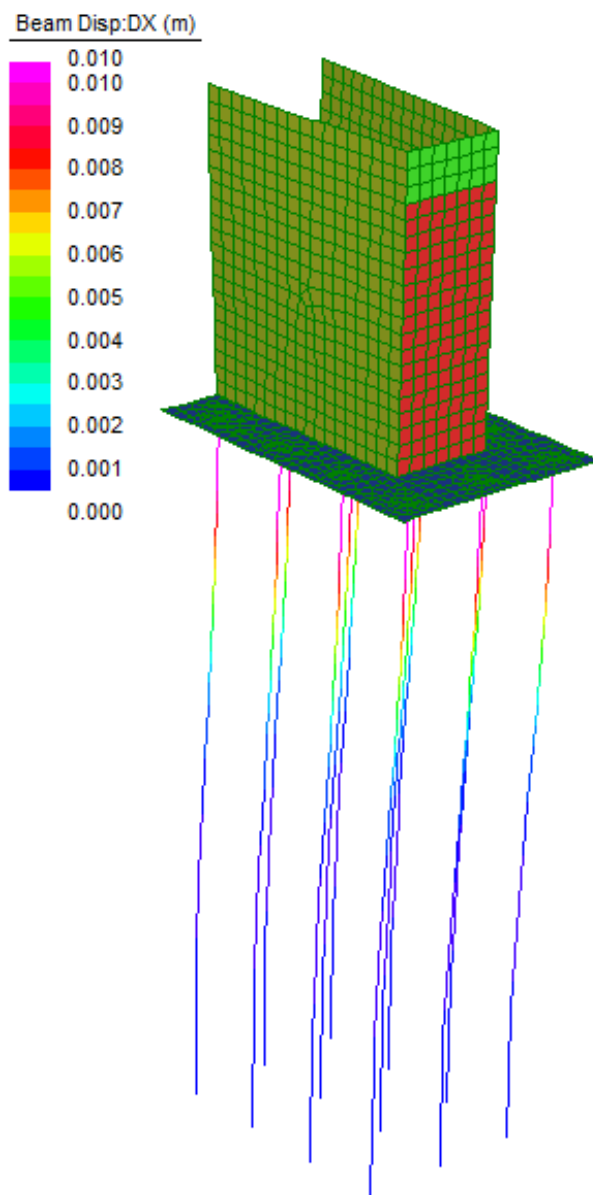
Qualora, a seguito della verifica dell'entità degli spostamenti, ricorressero le condizioni di spinta attiva, si confermerà la correttezza dell'ipotesi di calcolo delle spinte in condizioni sismiche secondo la formulazione di Mononobe-Okabe.

Di seguito la sintesi dei risultati ottenuti dal modello FEM, in termini di spostamenti dell'opera in funzione dell'altezza (altezza tot. dell'opera su cui agisce la spinta del terreno comprensiva dello spessore della fondazione).

| | | | |
|--------------------------------|---------------------|---------|---|
| Altezza del muro | h_{tot} | 12.15 | m |
| Spostamento sommità palificata | s_{max} | 0.010 | m |
| Valutazione rapporto | s_{max}/h_{tot} : | 0.00082 | - |
| | s_{max}/h_{tot} : | 0.082 | % |

Il rapporto dedotto rientra nel range di riferimento degli spostamenti che mobilitano la spinta attiva.

Relazione di calcolo spalle

COMMESA LOTTO CODIFICA DOCUMENTO REV. FOGLIO
NM25 03 D 26 CL IV 37 04 001 A 34 di 439

Figura 6: Valutazione spostamenti dell'opera

Quindi, in condizioni sismiche la spinta del terreno è stata calcolata sulla base della teoria di Mononobe-Okabe, secondo la formulazione riportata di seguito ed applicata con distribuzione triangolare delle tensioni sulla spalla:

$$S = \frac{1}{2} \cdot k_{a,E} \cdot g \cdot H_2 \cdot (1 \pm k_v)$$

dove:

Relazione di calcolo spalle

COMMESA LOTTO CODIFICA DOCUMENTO REV. FOGLIO
NM25 03 D 26 CL IV 37 04 001 A 35 di 439

k_v : coefficiente sismico verticale assunto pari a $0.5k_h$, con k_h coefficiente sismico orizzontale, la cui valutazione è effettuata, in accordo con quanto prescritto nel DM 14.1.2008 – par.7.11.6.2.1.

$K_{a,E}$: coefficiente di spinta sismica secondo Mononobe-Okabe, valutato secondo quanto riportato di seguito:

$$K_{a,E} = \frac{\sin^2(\alpha + \varphi - \theta)}{\cos \theta \cdot \sin^2 \alpha \cdot \sin(\alpha - \delta - \theta) \left[1 + \sqrt{\frac{\sin(\varphi + \delta) \cdot \sin(\varphi - \beta - \theta)}{\sin(\alpha - \delta - \theta) \cdot \sin(\alpha + \beta)}} \right]^2} \quad \text{con } \beta \leq \varphi - \theta$$

$$K_{a,E} = \frac{\sin^2(\alpha + \varphi - \theta)}{\cos \theta \cdot \sin^2 \alpha \cdot \sin(\alpha - \delta - \theta)} \quad \text{con } \beta > \varphi - \theta$$

con:

α : inclinazione parete interna paramento (lato monte) rispetto all'orizzontale

Φ : angolo attrito terreno lato monte

δ : angolo attrito terreno-muro

β : inclinazione terreno di monte rispetto all'orizzontale

θ : angolo valutato in funzione dei coefficienti sismici orizzontale e verticale (\pm), come da formulazioni di seguito:

$$\theta_A = \operatorname{atn}\left(\frac{k_h}{1 + k_v}\right) \quad \theta_B = \operatorname{atn}\left(\frac{k_h}{1 - k_v}\right)$$

La sovraspinta sismica è applicata ad una quota pari ad $H/2$.

Di seguito si fornisce la sintesi del calcolo dei parametri sopra elencati, per la determinazione del valore di spinta secondo Mononobe-Okabe.

| | | | |
|--|-----------|-------|---|
| Accelerazione sismica SLV | a_g | 0.092 | g |
| Coeff. Per effetto amplificazione stratigrafica | S_s | 1.5 | - |
| Coeff. Per effetto amplificazione topografica | S_T | 1.00 | - |
| Coefficiente di riduzione dell'accelerazione massima | β_m | 1.00 | - |

| | | | | | | |
|---|---|------------------|----------------|---------------------------|-----------|---------------------|
|  ITALFERR GRUPPO FERROVIE DELLO STATO ITALIANE | RADDOPPIO LINEA CODOGNO – CREMONA – MANTOVA TRATTA PIADENA - MANTOVA | | | | | |
| Relazione di calcolo spalle | COMMESA NM25 | LOTTO 03 D 26 | CODIFICA CL | DOCUMENTO IV 37 04 001 | REV. A | FOGLIO 36 di 439 |

| | | | |
|---|--|---------------|------|
| Coefficiente kh sismico spinta orizzontale: $\beta_m \cdot S_s \cdot S_T \cdot A_g / g$ | k_h | 0.14 | - |
| Coefficiente kh sismico spinta verticale | k_v | 0.07 | - |
| Coefficiente sismico kas+ | k_{as+} | 0.370 | - |
| Coefficiente sismico kas- | k_{as-} | 0.346 | - |
| Pressione sismica orizzontale | $\Delta \sigma_{sisma} = \sigma_{sisma \text{ M-O}} - \sigma'_{or_ter}$ | 22.88 | kPa |
| Sovraspinta sismica orizzontale (forza al metro) | $\Delta S_{sisma} = S_{sisma \text{ M-O}} - S_{or_ter}$ | 139.00 | kN/m |

8.8.2 Forze inerziali dovute al sisma

In condizioni sismiche si devono considerare le azioni orizzontali agenti sulla spalla dovute all'inerzia degli elementi strutturali dell'opera e del terreno. Tale risultante è pari ad:

$$F_h = k_h \cdot W$$

dove:

$$k_h = \beta_m \cdot a_g \cdot S$$

a_g è la massima accelerazione dello spettro orizzontale elastico del sito, calcolata per il 10% di probabilità di superamento nel periodo di riferimento VR assegnato;

S è il coefficiente di sottosuolo pari al prodotto del coefficiente di amplificazione stratigrafica S_s e del coefficiente di amplificazione topografica S_T (§ 3.2.3 delle NTC).

β_m è pari ad 1 non essendo la spalla libera di traslare rispetto al terreno.

Gli effetti dell'azione sismica sono stati valutati tenendo conto delle masse associate ai seguenti carichi gravitazionali:

$$G_1 + G_2 + \psi_{2j} Q_{kj}$$

Dove nel caso specifico si assumerà, per i carichi dovuti al transito dei mezzi, $\psi_{2j} = 0.2$.

Le forze d'inerzia associate ai carichi permanenti strutturali e non strutturali e ai carichi accidentali trasmessi dall'impalcato sono esplicitati nella specifica relazione di calcolo, si rimanda al riepilogo dei carichi trasmessi dall'impalcato al paragrafo 8.9 della presente relazione.

| | | | | | | |
|--|--|--|--|--|--|--|
|  ITALFERR GRUPPO FERROVIE DELLO STATO ITALIANE | RADDOPPIO LINEA CODOGNO – CREMONA – MANTOVA TRATTA PIADENA - MANTOVA | | | | | |
| Relazione di calcolo spalle | COMMESA LOTTO CODIFICA DOCUMENTO REV. FOGLIO NM25 03 D 26 CL IV 37 04 001 A 37 di 439 | | | | | |

8.9 RIEPILOGO DEI CARICHI TRASMESSI DALL'IMPALCATO

Si riporta di seguito un prospetto riepilogativo di tutte le azioni trasmesse dall'impalcato alla spalla in corrispondenza della sommità del muro di testata.

Per le azioni sismiche trasmesse dall'impalcato si evidenzia che oltre alla massa efficace dell'impalcato, è stata considerata un'aliquota pari al 20% del carico dovuto ai carichi da traffico.

| CASI DI CARICO | | APPOGGIO FISSO | | | APPOGGIO UNI TRASV. | | |
|----------------|------------------------------------|----------------|----|----|---------------------|----|----|
| Sigla | Tipologia | N | Ht | HI | N | Ht | HI |
| - | - | kN | kN | kN | kN | kN | kN |
| G1 | Carichi permanenti strutturali | 150 | 0 | 0 | 145 | 0 | 0 |
| G2 | Carichi permanenti non strutturali | 65 | 0 | 0 | 65 | 0 | 0 |
| Q1 | Carichi mobili | 145 | 0 | 0 | 145 | 0 | 0 |
| Q5 | Vento | 45 | 95 | 0 | 45 | 0 | 16 |
| EX | Sisma X | 0 | 0 | 59 | 0 | 0 | 59 |
| EY | Sisma Y | 0 | 59 | 0 | 0 | 0 | 0 |

| CASI DI CARICO | | APPOGGIO MULTI | | | APPOGGIO UNI LONG. | | |
|----------------|------------------------------------|----------------|----|----|--------------------|----|----|
| Sigla | Tipologia | N | Ht | HI | N | Ht | HI |
| - | - | kN | kN | kN | kN | kN | kN |
| G1 | Carichi permanenti strutturali | 145 | 0 | 0 | 150 | 0 | 0 |
| G2 | Carichi permanenti non strutturali | 65 | 0 | 0 | 65 | 0 | 0 |
| Q1 | Carichi mobili | 145 | 0 | 0 | 145 | 0 | 0 |
| Q5 | Vento | 45 | 0 | 0 | 45 | 95 | 0 |
| EX | Sisma X | 0 | 0 | 0 | 0 | 0 | 0 |
| EY | Sisma Y | 0 | 0 | 0 | 0 | 59 | 0 |

Tabella 5 Scarichi dell'impalcato

| | | | | | | |
|---|---|------------------|----------------|---------------------------|-----------|---------------------|
|  ITALFERR GRUPPO FERROVIE DELLO STATO ITALIANE | RADDOPPIO LINEA CODOGNO – CREMONA – MANTOVA TRATTA PIADENA - MANTOVA | | | | | |
| Relazione di calcolo spalle | COMMESA NM25 | LOTTO 03 D 26 | CODIFICA CL | DOCUMENTO IV 37 04 001 | REV. A | FOGLIO 38 di 439 |

9. COMBINAZIONI DI CARICO

Ai fini delle verifiche degli stati limite si è fatto riferimento alle seguenti combinazioni delle azioni:

- Combinazione fondamentale, generalmente impiegata per gli stati limite ultimi (SLU):

$$\gamma_{G1} \cdot G_1 + \gamma_{G2} \cdot G_2 + \gamma_P \cdot P + \gamma_{Q1} \cdot Q_{k1} + \gamma_{Q2} \cdot \psi_{02} \cdot Q_{k2} + \gamma_{Q3} \cdot \psi_{03} \cdot Q_{k3} + \dots$$

- Combinazione caratteristica (rara), generalmente impiegata per gli stati limite di esercizio (SLE) irreversibili:

$$G_1 + G_2 + P + Q_{k1} + \psi_{02} \cdot Q_{k2} + \psi_{03} \cdot Q_{k3} + \dots$$

- Combinazione frequente, generalmente impiegata per gli stati limite di esercizio (SLE) reversibili:

$$G_1 + G_2 + P + \psi_{11} \cdot Q_{k1} + \psi_{22} \cdot Q_{k2} + \psi_{23} \cdot Q_{k3} + \dots$$

- Combinazione quasi permanente, generalmente impiegata per gli stati limite di esercizio (SLE) a lungo termine:

$$G_1 + G_2 + P + \psi_{21} \cdot Q_{k1} + \psi_{22} \cdot Q_{k2} + \psi_{23} \cdot Q_{k3} + \dots$$

- Combinazione sismica, impiegata per gli stati limite ultimi e di esercizio connessi all'azione sismica E:

$$E + G_1 + G_2 + P + \psi_{21} \cdot Q_{k1} + \psi_{22} \cdot Q_{k2} + \dots$$

- Combinazione eccezionale, impiegata per gli stati limite ultimi connessi alle azioni eccezionali A:

$$G_1 + G_2 + P + A_d + \psi_{21} \cdot Q_{k1} + \psi_{22} \cdot Q_{k2} + \dots$$

Per le combinazioni di carico si è fatto riferimento al paragrafo 5.1.3.14 delle NTC18.

Si ripota la Tabella 5.1.V delle NTC18 dei coefficienti parziali di sicurezza per le combinazioni di carico SLU:

**RADDOPPIO LINEA CODOGNO – CREMONA – MANTOVA
TRATTA PIADENA - MANTOVA**

Relazione di calcolo spalle

| | | | | | |
|----------|---------|----------|--------------|------|-----------|
| COMMESMA | LOTTO | CODIFICA | DOCUMENTO | REV. | FOGLIO |
| NM25 | 03 D 26 | CL | IV 37 04 001 | A | 39 di 439 |

| | | Coefficiente | EQU ^(a) | A1 | A2 |
|--|------------------------|---|-----------------------------|-----------------------------|--------------|
| Azioni permanenti g_1 e g_3 | favorevoli sfavorevoli | γ_{G1} e γ_{G3} | 0,90 1,10 | 1,00 1,35 | 1,00 1,00 |
| Azioni permanenti non strutturali ^(b) g_2 | favorevoli sfavorevoli | γ_{G2} | 0,00 1,50 | 0,00 1,50 | 0,00 1,30 |
| Azioni variabili da traffico | favorevoli sfavorevoli | γ_Q | 0,00 1,35 | 0,00 1,35 | 0,00 1,15 |
| Azioni variabili | favorevoli sfavorevoli | γ_{Qs} | 0,00 1,50 | 0,00 1,50 | 0,00 1,30 |
| Distorsioni e presollecitazioni di progetto | favorevoli sfavorevoli | γ_{t1} | 0,90 1,00 ^(c) | 1,00 1,00 ^(d) | 1,00 1,00 |
| Ritiro e viscosità, Cedimenti vincolari | favorevoli sfavorevoli | $\gamma_{t2}, \gamma_{t3}, \gamma_{t4}$ | 0,00 1,20 | 0,00 1,20 | 0,00 1,00 |

^(a) Equilibrio che non coinvolga i parametri di deformabilità e resistenza del terreno; altrimenti si applicano i valori della colonna A2.^(b) Nel caso in cui l'insieme dei carichi permanenti non strutturali, o di una parte di essi (ad esempio carichi permanenti portati), sia ben definita in fase di progetto, per detti carichi o per la parte di essi nota si potranno adottare gli stessi coefficienti validi per le azioni permanenti.^(c) 1,30 per instabilità in strutture con precompressione esterna^(d) 1,20 per effetti locali*Tabella 6 Coefficienti parziali di sicurezza per le combinazioni di carico agli SLU*

Si riporta la Tabella 5.1.VI delle NTC18 in cui sono espressi i coefficienti di combinazione delle azioni:

| Azioni | Gruppo di azioni (Tab. 5.1.IV) | Coefficiente ψ_0 di combinazione | Coefficiente ψ_1 (valori frequenti) | Coefficiente ψ_2 (valori quasi permanenti) |
|-------------------------------------|---------------------------------------|--|---|---|
| Azioni da traffico (Tab. 5.1.IV) | Schema 1 (carichi tandem) | 0,75 | 0,75 | 0,0 |
| | Schemi 1, 5 e 6 (carichi distribuiti) | 0,40 | 0,40 | 0,0 |
| | Schemi 3 e 4 (carichi concentrati) | 0,40 | 0,40 | 0,0 |
| | Schema 2 | 0,0 | 0,75 | 0,0 |
| | 2 | 0,0 | 0,0 | 0,0 |
| | 3 | 0,0 | 0,0 | 0,0 |
| | 4 (folla) | -- | 0,75 | 0,0 |
| | 5 | 0,0 | 0,0 | 0,0 |
| Vento | a ponte scarico SLU e SLE | 0,6 | 0,2 | 0,0 |
| | in esecuzione | 0,8 | 0,0 | 0,0 |
| | a ponte carico SLU e SLE | 0,6 | 0,0 | 0,0 |
| Neve | SLU e SLE | 0,0 | 0,0 | 0,0 |
| | in esecuzione | 0,8 | 0,6 | 0,5 |
| Temperatura | SLU e SLE | 0,6 | 0,6 | 0,5 |

Tabella 7 Coefficienti di combinazione per le azioni variabili per ponti stradali e pedonali

Nella combinazione sismica le azioni indotte dal traffico dei mezzi sono combinate con un coefficiente $\psi_2 = 0,2$ (paragrafo 5.1.3.12 del DM 17/01/2018) coerentemente con l'aliquota di massa afferente ai carichi da traffico.

Relazione di calcolo spalle

COMMESA LOTTO CODIFICA DOCUMENTO REV. FOGLIO
NM25 03 D 26 CL IV 37 04 001 A 40 di 439

Si riportano di seguito le combinazioni delle azioni maggiormente significative per la determinazione delle sollecitazioni più gravose.

| CONDIZIONI DI CARICO | SLU01 | SLV01 | SLV02 | SLE RARA 01 | SLE FREQ 01 | SLE PERM 01 |
|------------------------------|-------|-------|-------|----------------|----------------|----------------|
| Permanenti strutturali | 1.35 | 1 | 1 | 1 | 1 | 1 |
| Spinta statica | 1.35 | 1 | 1 | 1 | 1 | 1 |
| Permanenti non strutturali | 1.5 | 1 | 1 | 1 | 1 | 1 |
| Spinta permanenti | 1.5 | 1 | 1 | 1 | 1 | 1 |
| Azioni variabili da traffico | 1.35 | 0.2 | 0.2 | 1 | 0.75 | 0 |
| Spinta accidentali | 1.35 | 0.2 | 0.2 | 1 | 0.75 | 0 |
| Vento | 0.9 | 0 | 0 | 0.8 | 0 | 0 |
| Sisma Long | 0 | 1 | 0.3 | 0 | 0 | 0 |
| Sisma Trasv | 0 | 0.3 | 1 | 0 | 0 | 0 |

Tabella 8 Combinazioni di carico

Relazione di calcolo spalle

COMMESA LOTTO CODIFICA DOCUMENTO REV. FOGLIO
NM25 03 D 26 CL IV 37 04 001 A 41 di 439

10. CRITERI DI MODELLAZIONE

Il calcolo della struttura è stato svolto utilizzando il programma di calcolo Straus7, schematizzando l'intera struttura con un modello tridimensionale.

Tutti gli elementi strutturali della spalla sono stati descritti come elementi bidimensionali a piastra (shell), mentre la palificata di sostegno è stata descritta con elementi monodimensionali a trave (frame).

Nella figura di seguito riportata si evidenzia il modello tridimensionale implementato in Straus7.

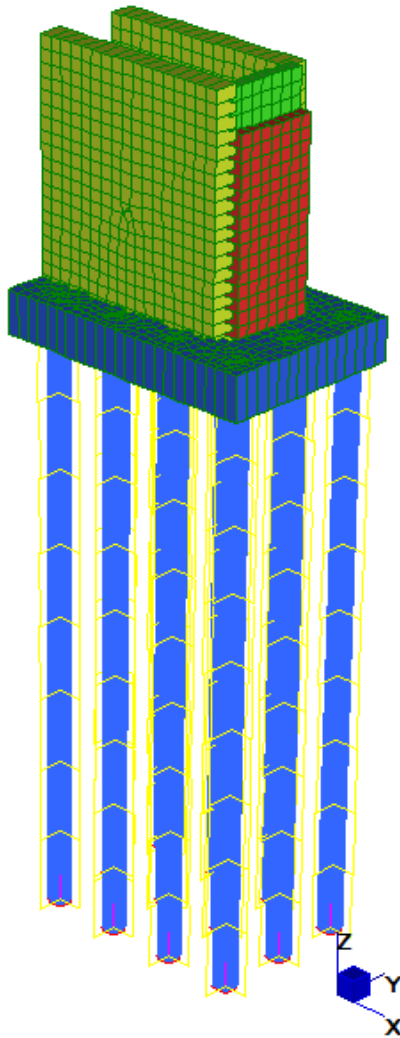


Figura 7 Modellazione tridimensionale agli Elementi Finiti

| | | | | | | |
|---|---|------------------|----------------|---------------------------|-----------|---------------------|
|  ITALFERR GRUPPO FERROVIE DELLO STATO ITALIANE | RADDOPPIO LINEA CODOGNO – CREMONA – MANTOVA TRATTA PIADENA - MANTOVA | | | | | |
| Relazione di calcolo spalle | COMMESA NM25 | LOTTO 03 D 26 | CODIFICA CL | DOCUMENTO IV 37 04 001 | REV. A | FOGLIO 42 di 439 |

10.1 CALCOLO DEL MODULO DI REAZIONE ORIZZONTALE DEL TERRENO

Per terreni granulari i moduli di reazione orizzontale iniziali (E_s) alla Matlock & Reese (1960), sono stati valutati in accordo alla seguente espressione:

$$E_s = k_h \cdot z \quad [\text{kPa}]$$

essendo:

k_h = gradiente con la profondità del modulo di reazione orizzontale, riportato nella tabella seguente(cfr. Reese et al., 1974 e Elson, 1984)

z = profondità dal piano campagna originario.

Nel caso in esame, è possibile determinare tale parametro tramite la teoria di Vesic, esprimendo il modulo di sottofondo k_h in funzione dei parametri elastici della massa E_t e v_t con la relazione seguente:

$$k_h = \left(\frac{E_t}{D_p} \right) \times 12 \sqrt{\frac{E_t \times D^4}{E_p J_p}} \times \left(\frac{0.65}{1 - v_t^2} \right) \left[\frac{kN}{m^3} \right]$$

Nel caso di pali di fondazione posizionati in cresta ad una scarpata naturale o artificiale, i moduli di reazione orizzontali saranno ridotti di una quantità pari al rapporto tra il coefficiente di spinta passiva del terreno calcolato per un piano di campagna con inclinazione pari alla pendenza della scarpata e lo stesso parametro calcolato per un piano di campagna orizzontale.

In particolare, noto il coefficiente di spinta passiva nel caso di piano campagna orizzontale dalla formula:

$$K_p = \frac{1 + \tan(\varphi)}{1 - \tan(\varphi)}$$

e calcolando il coefficiente di spinta passiva nel caso di piano campagna con inclinazione w nel modo seguente:

$$K_{p_w} = \frac{\cos(w) + \sqrt{\cos(w)^2 - \cos(\varphi)^2}}{\cos(w) - \sqrt{\cos(w)^2 - \cos(\varphi)^2}}$$

Relazione di calcolo spalle

| | | | | | |
|---------|---------|----------|--------------|------|-----------|
| COMMESA | LOTTO | CODIFICA | DOCUMENTO | REV. | FOGLIO |
| NM25 | 03 D 26 | CL | IV 37 04 001 | A | 43 di 439 |

si ricava il coefficiente di riduzione delle molle orizzontali per la presenza della scarpata dal rapporto dei due coefficienti di spinta passiva appena descritti:

$$\eta = \frac{K_{p-w}}{K_p}$$

Tale coefficiente di riduzione viene applicato fino ad una quota di 5 m dal piano di posa della fondazione. Per profondità superiori l'inclinazione della scarpata viene considerata ininfluente ai fini del calcolo della rigidezza delle molle orizzontali del terreno.

Nel caso di comportamento granulare del terreno, il valore della rigidezza Korizz della molla orizzontale alla generica profondità z risulterà pari a

$$K_{orizz}(z) = \eta \cdot E(z) \cdot d = \eta \cdot k_{hi} \cdot z \cdot d \quad \left[\frac{kN}{m} \right]$$

dove d è il diametro del palo di fondazione.

Nel caso di comportamento coesivo dei terreni, il modulo elastico del terreno viene calcolato con la seguente formula:

$$E_{coesivo} = 400 \cdot c_u \quad [kPa]$$

dove cu rappresenta la coesione non drenata minima del terreno considerato. In questo caso il valore della rigidezza della molla è costante con la profondità ed è soggetto anch'esso alla riduzione dovuta all'eventuale inclinazione della scarpata.

In questo caso il valore della rigidezza della molla risulterà pari a

$$K_{orizz_coesivo} = \eta \cdot E_{coesivo} \cdot d \quad \left[\frac{kN}{m} \right]$$

| | | | | | | |
|---|---|------------------|----------------|---------------------------|-----------|---------------------|
|  ITALFERR GRUPPO FERROVIE DELLO STATO ITALIANE | RADDOPPIO LINEA CODOGNO – CREMONA – MANTOVA TRATTA PIADENA - MANTOVA | | | | | |
| Relazione di calcolo spalle | COMMESA NM25 | LOTTO 03 D 26 | CODIFICA CL | DOCUMENTO IV 37 04 001 | REV. A | FOGLIO 44 di 439 |

11. CRITERI DI VERIFICA

Si espongono di seguito i criteri di verifica adottati per le verifiche degli elementi strutturali.

11.1 VERIFICHE AGLI STATI LIMITE DI ESERCIZIO

Le condizioni ambientali, ai fini della protezione contro la corrosione delle armature, sono suddivise in ordinarie, aggressive e molto aggressive in relazione a quanto indicato dalla Tab. 4.1.III delle NTC2018:

Tabella 9 Descrizione delle condizioni ambientali (Tab. 4.1.III delle NTC18)

| Condizioni ambientali | Classe di esposizione |
|-----------------------|-----------------------------------|
| Ordinarie | XC0, XC1, XC2, XC3, XF1 |
| Aggressive | XC4, XD1, XS1, XA1, XA2, XF2, XF3 |
| Molto aggressive | XD2, XD3, XS2, XS3, XA3, XF4 |

11.1.1 Verifiche a fessurazione

Le verifiche a fessurazione sono eseguite adottando i criteri definiti nel paragrafo 4.1.2.2.4.4 del DM 17.1.2018, tenendo inoltre conto delle ulteriori prescrizioni riportate nel “Manuale di progettazione delle opere civili” – par.2.6.2, relative alla progettazione di cavalcavia sulla sede ferroviaria.

Con riferimento alle classi di esposizione delle varie parti della struttura (si veda il paragrafo relativo alle caratteristiche dei materiali impiegati), alle corrispondenti condizioni ambientali ed alla sensibilità delle armature alla corrosione (armature sensibili per gli acciai da precompresso; poco sensibili per gli acciai ordinari), si individua lo stato limite di fessurazione per assicurare la funzionalità e la durata delle strutture:

| Gruppi di esigenze | Condizioni ambientali | Combinazione di azioni | Armatura | | | |
|--------------------|-----------------------|------------------------|--------------------|----------------|----------------|----------------|
| | | | Sensibile | | Poco sensibile | |
| | | | Stato limite | w _d | Stato limite | w _d |
| a | Ordinarie | frequente | ap. fessure | $\leq w_2$ | ap. fessure | $\leq w_3$ |
| | | quasi permanente | ap. fessure | $\leq w_1$ | ap. fessure | $\leq w_2$ |
| b | Aggressive | frequente | ap. fessure | $\leq w_1$ | ap. fessure | $\leq w_2$ |
| | | quasi permanente | decompressione | - | ap. fessure | $\leq w_1$ |
| c | Molto aggressive | frequente | formazione fessure | - | ap. fessure | $\leq w_1$ |
| | | quasi permanente | decompressione | - | ap. fessure | $\leq w_1$ |

Figura 8 Criteri di scelta dello stato limite di fessurazione - Tabella 4.1.IV del DM 17.1.2018

Nella Tabella sopra riportata, $w_1=0.2\text{mm}$, $w_2=0.3\text{mm}$; $w_3=0.4\text{mm}$.

| | | | | | | |
|---|---|------------------|----------------|---------------------------|-----------|---------------------|
|  ITALFERR GRUPPO FERROVIE DELLO STATO ITALIANE | RADDOPPIO LINEA CODOGNO – CREMONA – MANTOVA TRATTA PIADENA - MANTOVA | | | | | |
| Relazione di calcolo spalle | COMMESA NM25 | LOTTO 03 D 26 | CODIFICA CL | DOCUMENTO IV 37 04 001 | REV. A | FOGLIO 45 di 439 |

Più restrittivi risultano i limiti di apertura delle fessure riportati nel “Manuale di progettazione delle opere civili”. L’apertura convenzionale delle fessure, calcolata con la combinazione SLE frequente, deve risultare:

- a) $\delta_f \leq w_1$ per strutture in condizioni ambientali aggressive e molto aggressive, così come identificate nel par. 4.1.2.2.4.2 del DM 17.01.2018, per tutte le strutture a permanente contatto con il terreno e per le zone non ispezionabili di tutte le strutture;
- b) $\delta_f \leq w_2$ per strutture in condizioni ambientali ordinarie secondo il citato paragrafo del DM 17.01.2018.

Risulta:

- *Stato limite di fessurazione:* $w_d \leq w_1 = 0.2$ mm - combinazione frequente (condizioni ambientali aggressive e molto aggressive);
- *Stato limite di fessurazione:* $w_d \leq w_2 = 0.3$ mm - combinazione frequente (condizioni ambientali ordinarie).

11.1.2 Verifiche delle tensioni di esercizio

Valutate le azioni interne nelle varie parti della struttura, dovute alle combinazioni caratteristica e quasi permanente delle azioni, si calcolano le massime tensioni sia nel calcestruzzo sia nelle armature; si verifica che tali tensioni siano inferiori ai massimi valori consentiti, di seguito riportati.

Le prescrizioni riportate di seguito fanno riferimento al par. 4.1.2.2.5.1 del DM 17.1.18.

La massima tensione di compressione del calcestruzzo σ_c , deve rispettare la limitazione seguente:

- $\sigma_c < 0,60 f_{ck}$ per combinazione caratteristica (rara)
- $\sigma_c < 0,45 f_{ck}$ per combinazione quasi permanente.

Per l’acciaio ordinario, la tensione massima σ_s per effetto delle azioni dovute alla combinazione caratteristica deve rispettare la limitazione seguente:

- $\sigma_s < 0,80 f_{yk}$

dove f_{yk} per armatura ordinaria è la tensione caratteristica di snervamento dell’acciaio.

11.2 VERIFICHE AGLI STATI LIMITE ULTIMI

| | | | | | | |
|---|---|------------------|----------------|---------------------------|-----------|---------------------|
|  ITALFERR GRUPPO FERROVIE DELLO STATO ITALIANE | RADDOPPIO LINEA CODOGNO – CREMONA – MANTOVA TRATTA PIADENA - MANTOVA | | | | | |
| Relazione di calcolo spalle | COMMESA NM25 | LOTTO 03 D 26 | CODIFICA CL | DOCUMENTO IV 37 04 001 | REV. A | FOGLIO 46 di 439 |

11.2.1 Sollecitazioni flettenti

La verifica agli SLU è stata realizzata attraverso il calcolo dei domini di interazione N-M, ovvero il luogo dei punti rappresentativi di sollecitazioni che portano in crisi la sezione di verifica secondo i criteri di resistenza da normativa.

Nel calcolo dei domini sono state mantenute le consuete ipotesi, tra cui:

- conservazione delle sezioni piane;
- legame costitutivo del calcestruzzo parabola-rettangolo non reagente a trazione, con plateaux ad una deformazione pari a 0.002 e a rottura pari a 0.0035 ($\sigma_{\max} = 0.85 \times 0.83 \times R_{ck}/1.5$);
- legame costitutivo dell'armatura d'acciaio elastico-perfettamente plastico con deformazione limite di rottura a 0.01 ($\sigma_{\max} = f_y / 1.15$).

11.2.2 Sollecitazioni taglienti

La resistenza a taglio V_{Rd} di elementi sprovvisti di specifica armatura è stata calcolata sulla base della resistenza a trazione del calcestruzzo.

Con riferimento all'elemento fessurato da momento flettente, la resistenza al taglio si valuta con la seguente espressione:

$$V_{Rd} = \left\{ 0,18 \cdot k \cdot (100 \cdot \rho_1 \cdot f_{ck})^{1/3} / \gamma_c + 0,15 \cdot \sigma_{cp} \right\} \cdot b_w \cdot d \geq (v_{min} + 0,15 \cdot \sigma_{cp}) \cdot b_w \cdot d$$

$$k = 1 + (200/d)^{1/2} \leq 2$$

$$v_{min} = 0,035 k^{3/2} f_{ck}^{1/2}$$

dove:

d è l'altezza utile della sezione (in mm);

$\rho_1 = As_l / (bw \times d)$ è il rapporto geometrico di armatura longitudinale ($\leq 0,02$);

$\sigma_{cp} = N_{Ed}/A_c$ è la tensione media di compressione nella sezione ($\leq 0,2 f_{cd}$);

b_w è la larghezza minima della sezione (in mm).

| | | | | | | |
|---|---|------------------|----------------|---------------------------|-----------|---------------------|
|  ITALFERR GRUPPO FERROVIE DELLO STATO ITALIANE | RADDOPPIO LINEA CODOGNO – CREMONA – MANTOVA TRATTA PIADENA - MANTOVA | | | | | |
| Relazione di calcolo spalle | COMMESA NM25 | LOTTO 03 D 26 | CODIFICA CL | DOCUMENTO IV 37 04 001 | REV. A | FOGLIO 47 di 439 |

La resistenza a taglio V_{Rd} di elementi strutturali dotati di specifica armatura a taglio deve essere valutata sulla base di una adeguata schematizzazione a traliccio. Gli elementi resistenti dell'ideale traliccio sono: le armature trasversali, le armature longitudinali, il corrente compresso di calcestruzzo e i puntoni d'anima inclinati. L'inclinazione θ dei puntoni di calcestruzzo rispetto all'asse della trave deve rispettare i limiti seguenti:

$$1 \leq ctg\theta \leq 2.5$$

La verifica di resistenza (SLU) è soddisfatta se è verificata la seguente relazione:

$$V_{Rd} \geq V_{Ed}$$

dove V_{Ed} è il valore di calcolo dello sforzo di taglio agente.

La resistenza di calcolo a "taglio trazione" dell'armatura trasversale è stata calcolata con la seguente relazione:

$$V_{Rsd} = 0,9 \cdot d \cdot \frac{A_{sw}}{s} \cdot f_{yd} \cdot (ctg\alpha + ctg\theta) \cdot \sin \alpha$$

La resistenza di calcolo a "taglio compressione" del calcestruzzo d'anima è stata calcolata con la seguente relazione:

$$V_{Rcd} = 0,9 \cdot d \cdot b_w \cdot \alpha_c \cdot f'_{cd} \cdot (ctg\alpha + ctg\theta) / (1 + ctg^2\theta)$$

La resistenza al taglio della trave è la minore delle due relazioni sopra definite:

$$V_{Rd} = \min (V_{Rsd}, V_{Rcd})$$

In cui:

d è l'altezza utile della sezione;

b_w è la larghezza minima della sezione;

σ_{cp} è la tensione media di compressione della sezione;

A_{sw} è l'area dell'armatura trasversale;

S è interasse tra due armature trasversali consecutive;

α è l'angolo di inclinazione dell'armatura trasversale rispetto all'asse della trave;

| | | | | | | |
|---|---|------------------|----------------|---------------------------|-----------|---------------------|
|  ITALFERR GRUPPO FERROVIE DELLO STATO ITALIANE | RADDOPPIO LINEA CODOGNO – CREMONA – MANTOVA TRATTA PIADENA - MANTOVA | | | | | |
| Relazione di calcolo spalle | COMMESSA NM25 | LOTTO 03 D 26 | CODIFICA CL | DOCUMENTO IV 37 04 001 | REV. A | FOGLIO 48 di 439 |

f'_{cd} è la resistenza a compressione ridotta del calcestruzzo d'anima ($f'_{cd}=0.5f_{cd}$);

α è un coefficiente maggiorativo par ad 1 per membrature non compresse.

11.3 VERIFICHE GEOTECNICHE

Conformemente con quanto prescritto nel par. 6.4.3.1 delle NTC18, le verifiche geotecniche devono essere effettuate con riferimento ai seguenti stati limite:

SLU di tipo geotecnico (GEO):

- collasso per carico limite della palificata nei riguardi dei carichi assiali;
- collasso per carico limite della palificata nei riguardi dei carichi trasversali;
- collasso per carico limite di sfilamento nei riguardi dei carichi assiali di trazione.

Le verifiche a carico limite verticale dei pali vengono svolte secondo la metodologia degli stati limite ultimi, in accordo alla normativa vigente.

La verifica della capacità portante dei pali, per carichi verticali, è soddisfatta se:

$$F_{cd} < R_{cd}$$

essendo:

$$R_{cd} = R_k / \gamma_R$$

dove:

F_{cd} = carico assiale di compressione di progetto;

R_{cd} = capacità portante di progetto nei confronti dei carichi assiali;

R_k = valore caratteristico della capacità portante limite del palo.

In particolare, in accordo con le NTC18 (cfr. §6.4.3.1.1), le verifiche di capacità portante dei pali agli stati limite ultimi (SLU) vengono condotte con riferimento all'Approccio 2 con la Combinazione 1 (A1 + M1 + R3), mediante il confronto dei massimi valori di sforzo normale sui pali, di compressione e di trazione, con le curve di capacità portante relative alla progressiva in esame. Il soddisfacimento della verifica consente la determinazione della lunghezza dei pali.

Relazione di calcolo spalle

| | | | | | |
|---------|---------|----------|--------------|------|-----------|
| COMMESA | LOTTO | CODIFICA | DOCUMENTO | REV. | FOGLIO |
| NM25 | 03 D 26 | CL | IV 37 04 001 | A | 49 di 439 |

Per i criteri di valutazione della capacità portante di progetto R_{cd} nei confronti dei carichi assiali, esibita nelle curve di portanza, si faccia riferimento alla Relazione Geotecnica.

Per quanto riguarda la verifica a carico limite orizzontale dei pali, questa è stata condotta tramite il metodo di Broms, 1964, secondo il quale, per pali lunghi (ipotesi che si configura per tutti i pali in esame), in terreni incoerenti sotto falda, non liberi di ruotare in testa, vale la seguente formulazione:

$$H = k_p \gamma d^3 \sqrt[3]{3.676 \frac{M_y}{k_p \gamma d^4}}^2$$

in cui:

H = carico limite orizzontale del palo

k_p = coefficiente di spinta passiva

D = diametro del palo

L = lunghezza del palo

M_y = momento di plasticizzazione del palo

Il valore di H , ridotto per i coefficienti di normativa come riportato di seguito, dovrà essere confrontato con il massimo valore agente in testa palo dalle combinazioni SLU-SLV (V_{pd}):

$$H_{\lim} = \frac{H}{\xi \cdot \gamma_r} \geq V_{pd}$$

Con ξ funzione del numero di verticali indagate per l'opera in esame e γ_r secondo l'approccio considerato. In analogia con il carico limite verticale, per il carico limite orizzontale si considera l'Approccio 2, pertanto il coefficiente γ_r sarà pari a 1.3.

Relazione di calcolo spalle

COMMESA LOTTO CODIFICA DOCUMENTO REV. FOGLIO
NM25 03 D 26 CL IV 37 04 001 A 50 di 439

12. ANALISI DEI RISULTATI

Nei paragrafi seguenti si riportano i risultati delle analisi condotte per i diversi modelli implementati, con le indicazioni dei valori massimi delle sollecitazioni flettenti e taglienti. I valori riportati sono relativi all'analisi al metro lineare.

12.1 MURO FRONTALE

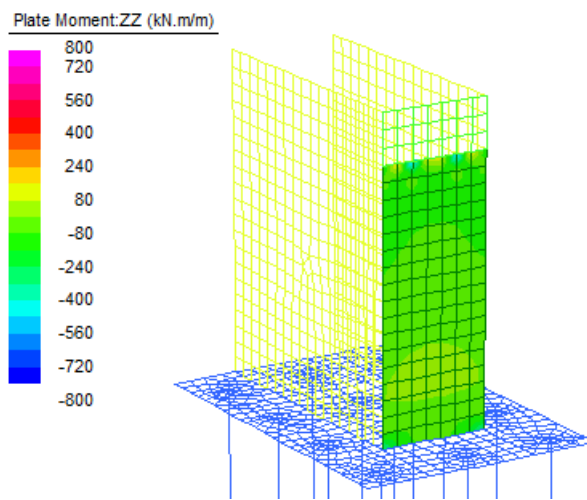


Figura 9: Momento Flettente verticale - Inviluppo SLE

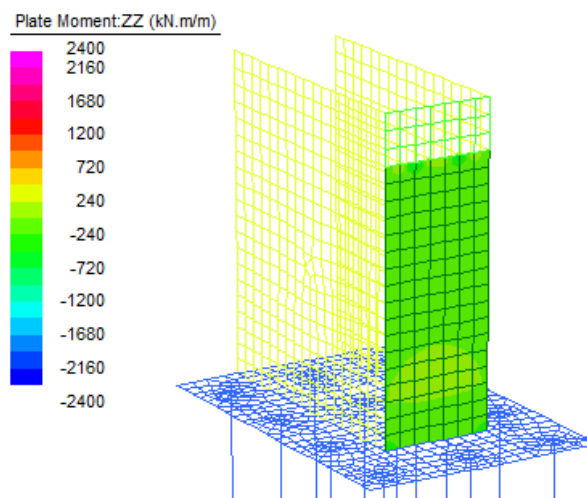


Figura 10: Momento Flettente verticale - Inviluppo SLU/SLV

Relazione di calcolo spalle

COMMESA LOTTO CODIFICA DOCUMENTO REV. FOGLIO
NM25 03 D 26 CL IV 37 04 001 A 51 di 439

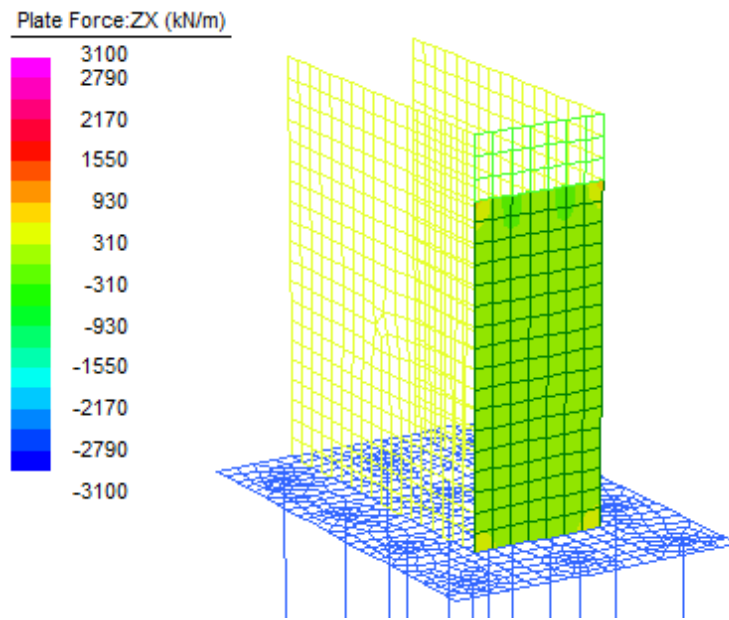


Figura 11: Sollecitazioni Taglienti Vxz - Inviluppo SLU/SLV

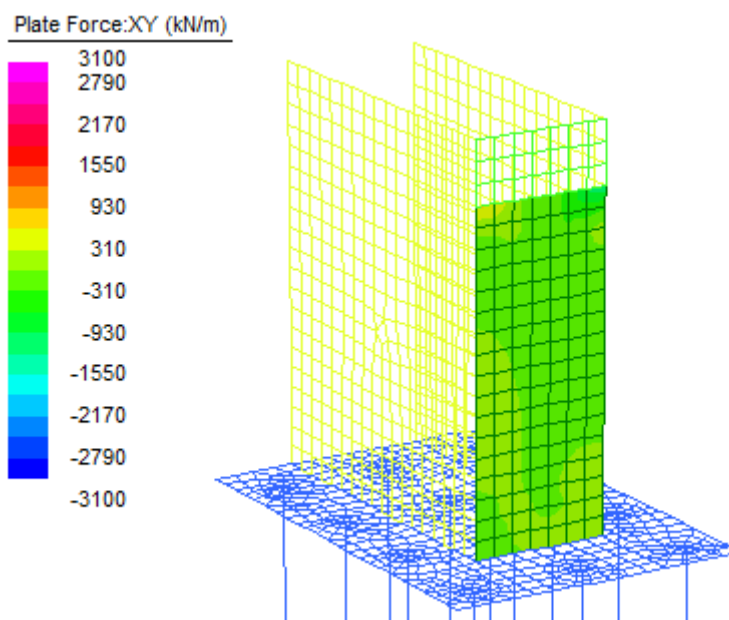


Figura 12: Sollecitazioni Taglienti Vxy - Inviluppo SLU/SLV

Relazione di calcolo spalle

| COMMESMA | LOTTO | CODIFICA | DOCUMENTO | REV. | FOGLIO |
|----------|---------|----------|--------------|------|-----------|
| NM25 | 03 D 26 | CL | IV 37 04 001 | A | 52 di 439 |

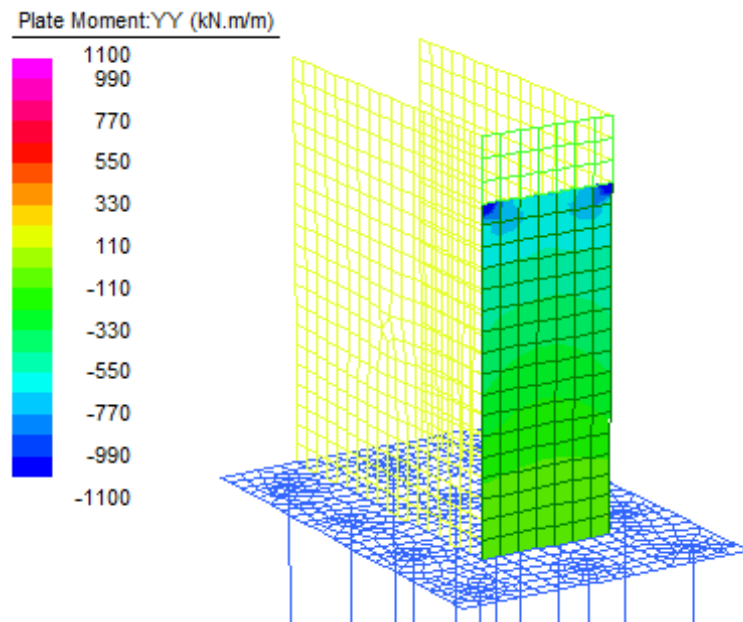


Figura 13: Momento Flettente orizzontale - Inviluppo SLE

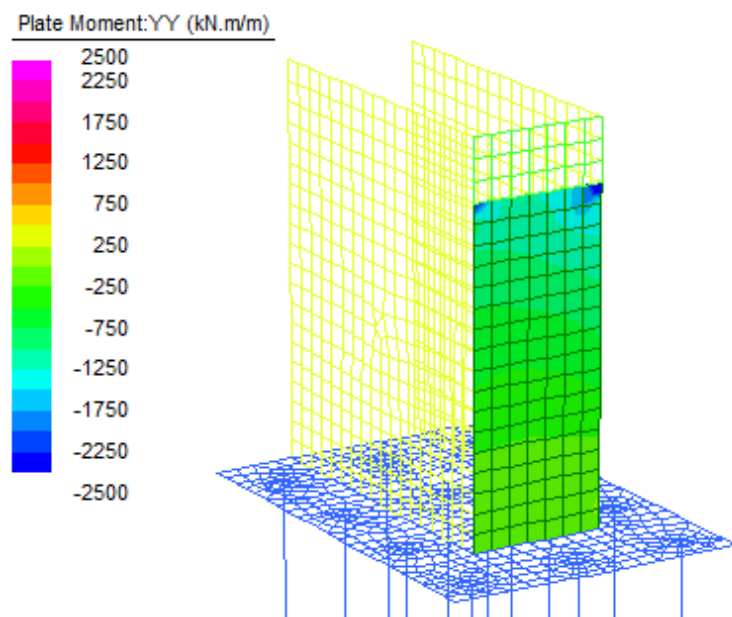


Figura 14: Momento Flettente orizzontale - Inviluppo SLU/SLV

Relazione di calcolo spalle

| | | | | | |
|---------|---------|----------|--------------|------|-----------|
| COMMESA | LOTTO | CODIFICA | DOCUMENTO | REV. | FOGLIO |
| NM25 | 03 D 26 | CL | IV 37 04 001 | A | 53 di 439 |

12.2 PARAGHIAIA

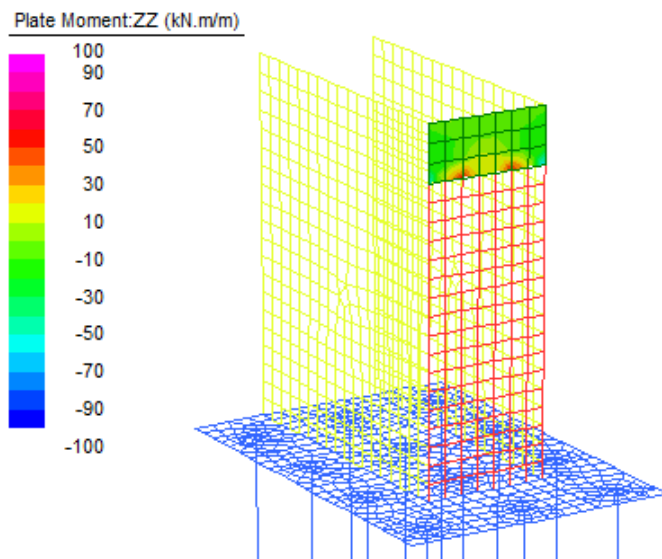


Figura 15: Momento Flettente verticale - Inviluppo SLE

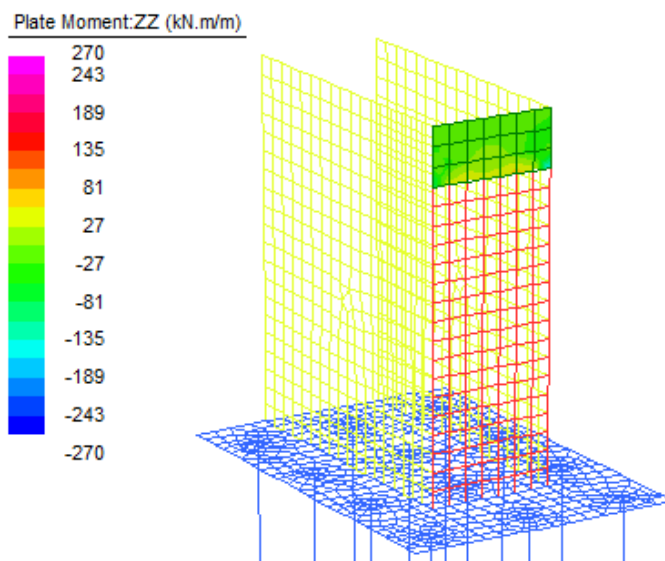


Figura 16: Momento Flettente verticale - Inviluppo SLU/SLV

Relazione di calcolo spalle

| COMMESSE | LOTTO | CODIFICA | DOCUMENTO | REV. | FOGLIO |
|----------|---------|----------|--------------|------|-----------|
| NM25 | 03 D 26 | CL | IV 37 04 001 | A | 54 di 439 |

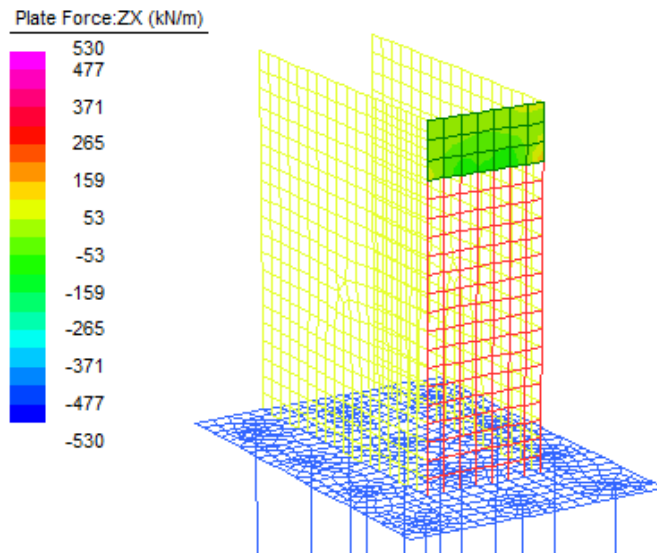


Figura 17: Sollecitazioni Taglienti Vxz - Inviluppo SLU/SLV

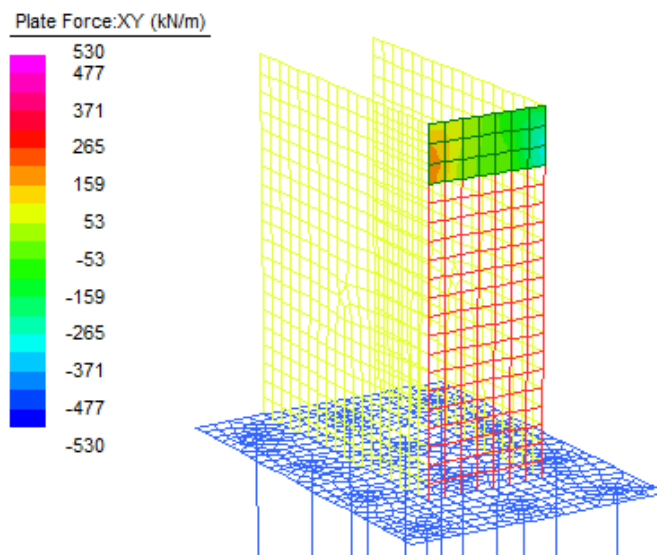


Figura 18: Sollecitazioni Taglienti Vxy - Inviluppo SLU/SLV

Relazione di calcolo spalle

| | | | | | |
|---------|---------|----------|--------------|------|-----------|
| COMMESA | LOTTO | CODIFICA | DOCUMENTO | REV. | FOGLIO |
| NM25 | 03 D 26 | CL | IV 37 04 001 | A | 55 di 439 |

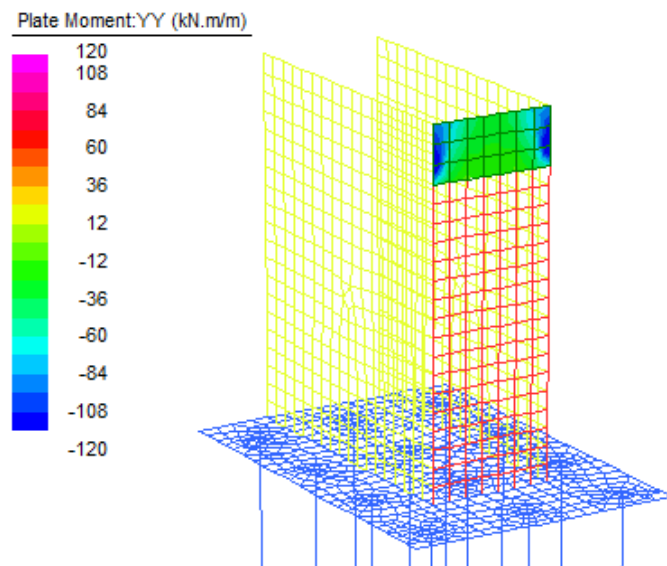


Figura 19: Momento Flettente orizzontale - Inviluppo SLE

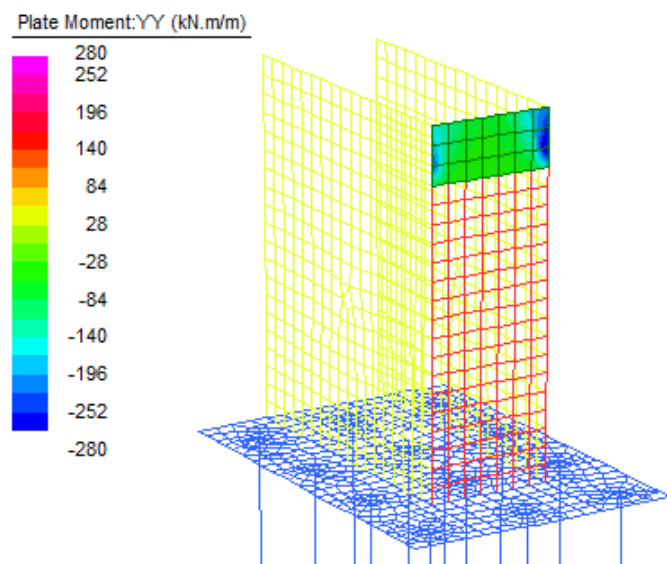


Figura 20: Momento Flettente orizzontale - Inviluppo SLU/SLV

Relazione di calcolo spalle

| | | | | | |
|---------|---------|----------|--------------|------|-----------|
| COMMESA | LOTTO | CODIFICA | DOCUMENTO | REV. | FOGLIO |
| NM25 | 03 D 26 | CL | IV 37 04 001 | A | 56 di 439 |

12.3 MURI ANDATORI

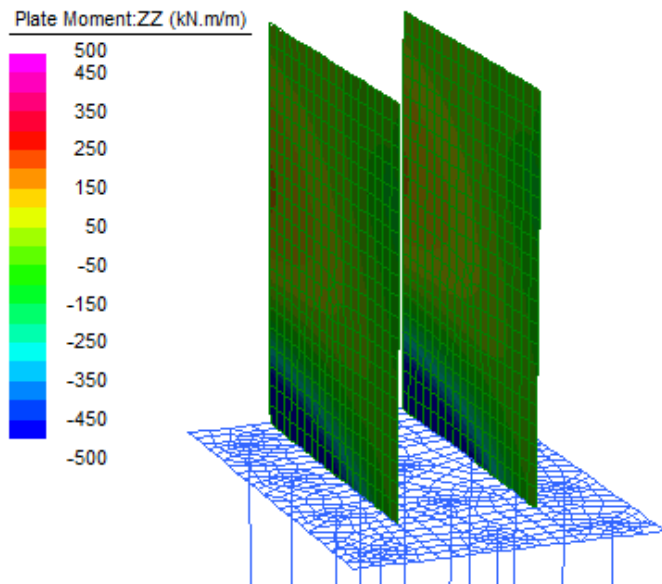


Figura 21: Momento Flettente verticale - Inviluppo SLE

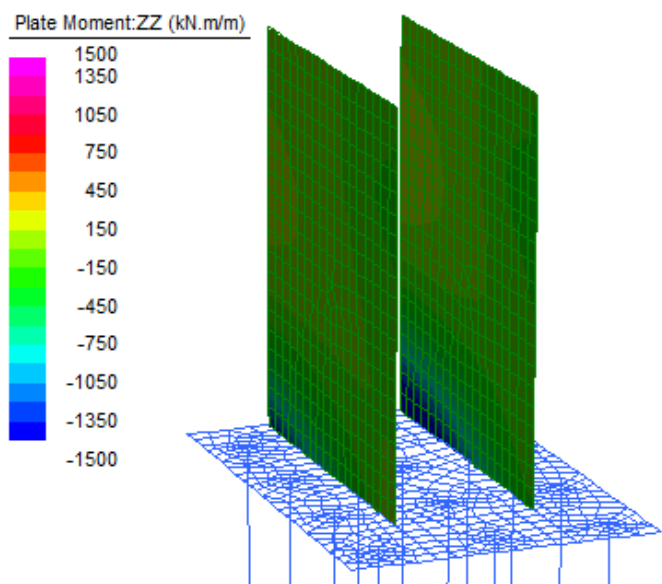


Figura 22: Momento Flettente verticale - Inviluppo SLU/SLV

Relazione di calcolo spalle

| | | | | | |
|---------|---------|----------|--------------|------|-----------|
| COMMESA | LOTTO | CODIFICA | DOCUMENTO | REV. | FOGLIO |
| NM25 | 03 D 26 | CL | IV 37 04 001 | A | 57 di 439 |

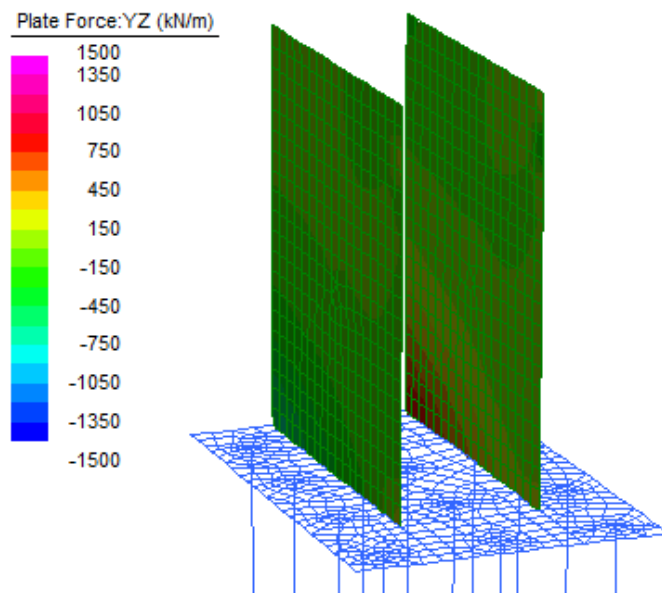


Figura 23: Sollecitazioni Taglienti Vyz - Inviluppo SLU/SLV

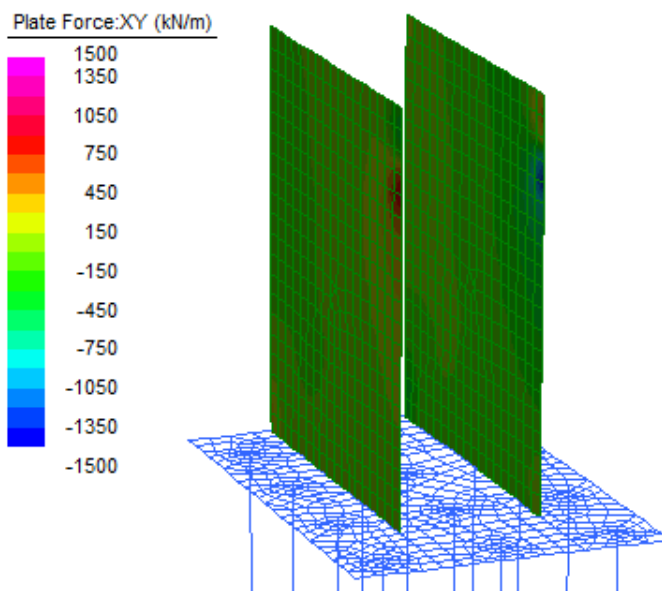


Figura 24: Sollecitazioni Taglienti Vxy - Inviluppo SLU/SLV

Relazione di calcolo spalle

COMMESSA LOTTO CODIFICA DOCUMENTO REV. FOGLIO
NM25 03 D 26 CL IV 37 04 001 A 58 di 439

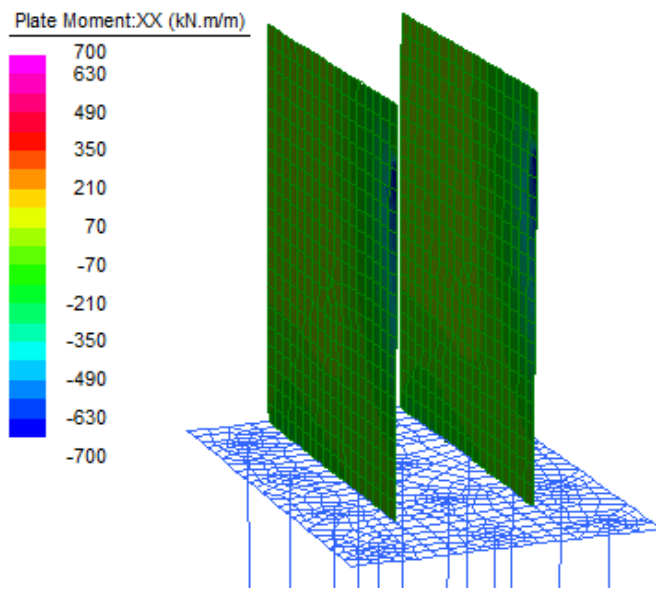


Figura 25: Momento Flettente orizzontale - Inviluppo SLE

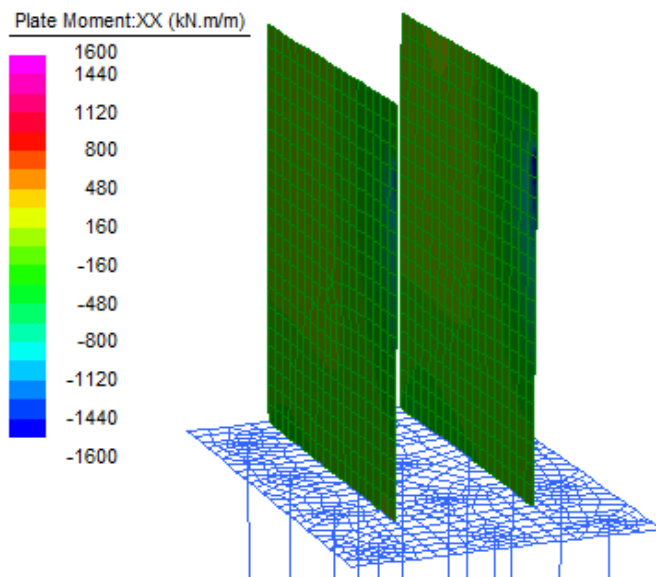


Figura 26: Momento Flettente orizzontale - Inviluppo SLU/SLV

Relazione di calcolo spalle

| | | | | | |
|---------|---------|----------|--------------|------|-----------|
| COMMESA | LOTTO | CODIFICA | DOCUMENTO | REV. | FOGLIO |
| NM25 | 03 D 26 | CL | IV 37 04 001 | A | 59 di 439 |

12.4 PLINTO DI FONDAZIONE

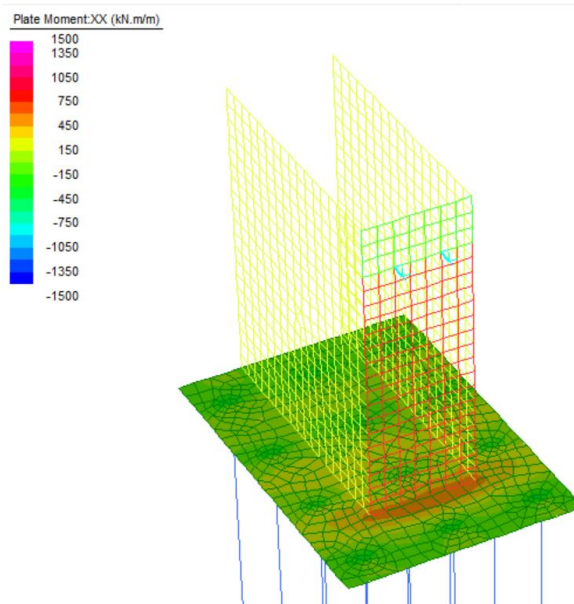


Figura 27: Momento Flettente longitudinale - Inviluppo SLE

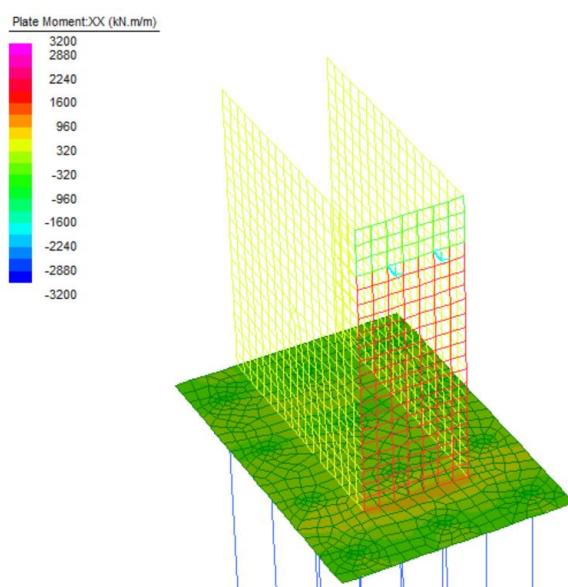


Figura 28: Momento Flettente longitudinale - Inviluppo SLU/SLV

Relazione di calcolo spalle

COMMESSA LOTTO CODIFICA DOCUMENTO REV. FOGLIO
NM25 03 D 26 CL IV 37 04 001 A 60 di 439

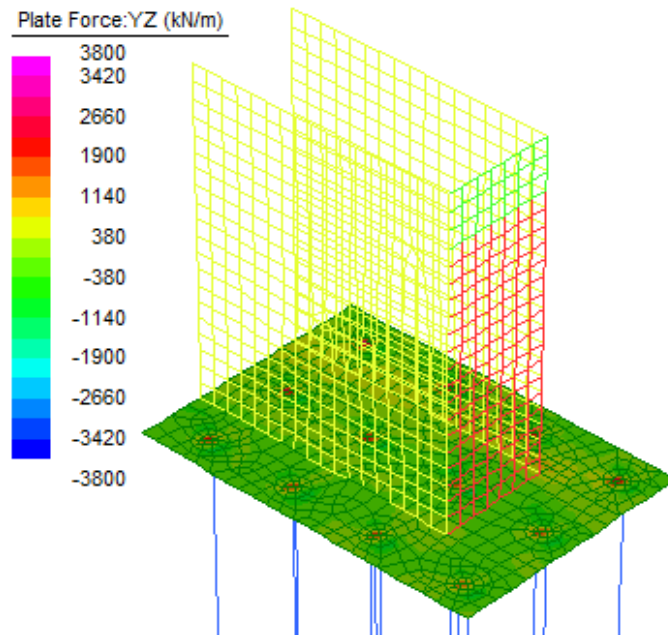


Figura 29: Sollecitazioni Taglienti Vyz - Inviluppo SLU/SLV

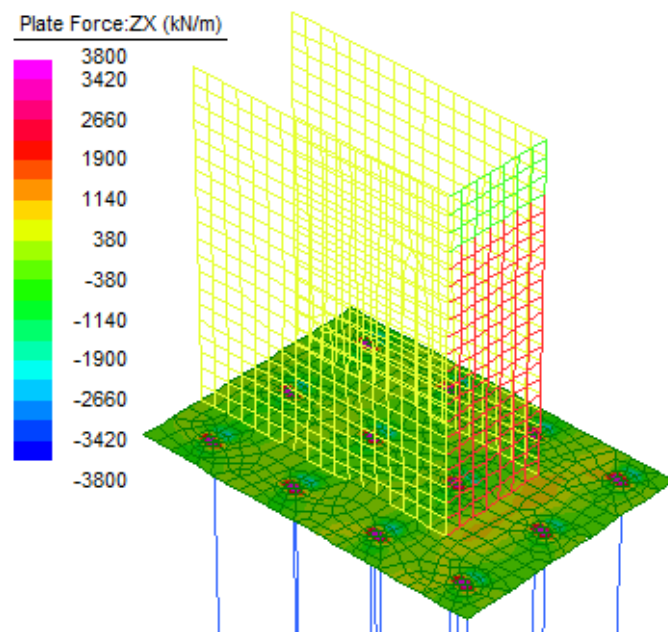


Figura 30: Sollecitazioni Taglienti Vxz - Inviluppo SLU/SLV

Relazione di calcolo spalle

| COMMESMA | LOTTO | CODIFICA | DOCUMENTO | REV. | FOGLIO |
|----------|---------|----------|--------------|------|-----------|
| NM25 | 03 D 26 | CL | IV 37 04 001 | A | 61 di 439 |

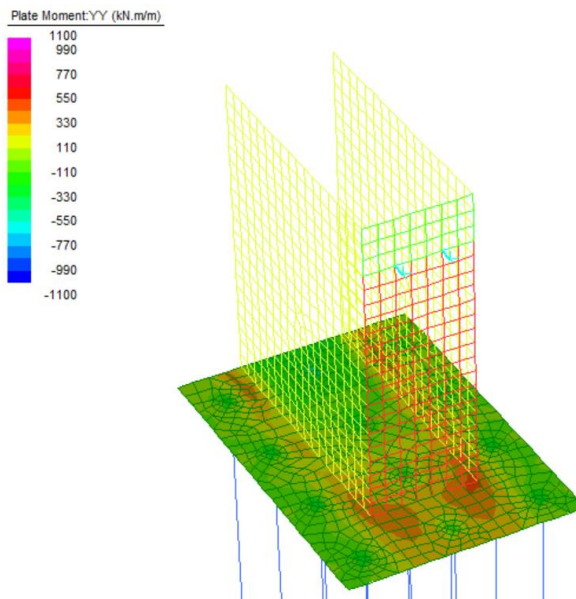


Figura 31: Momento Flettente trasversale - Inviluppo SLE

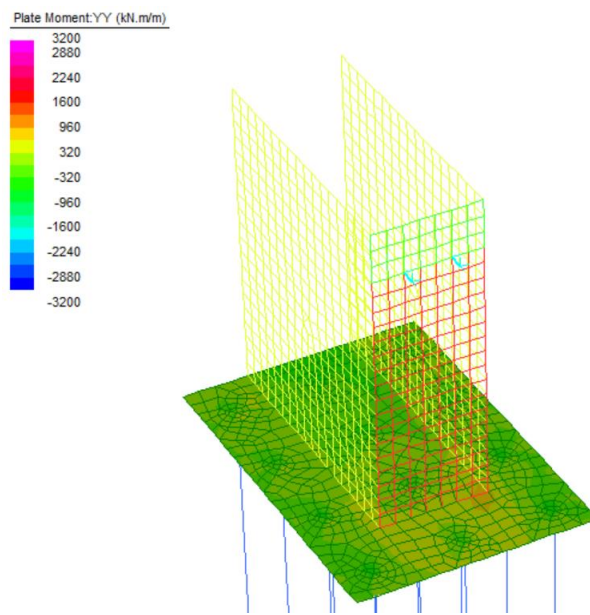


Figura 32: Momento Flettente trasversale - Inviluppo SLU/SLV

Relazione di calcolo spalle

 COMMESSA LOTTO CODIFICA DOCUMENTO REV. FOGLIO
 NM25 03 D 26 CL IV 37 04 001 A 62 di 439

12.5 PALI DI FONDAZIONE

Nella tabella di seguito si riassumono le sollecitazioni relative alla testa dei pali di fondazione:

| Pali di fondazione | Nmin [kN] | Nmax [kN] | M [kNm] | T [kN] |
|--------------------|-----------|-----------|---------|--------|
| SLU | 1971 | 2505 | 678 | 271 |
| SLV | 358 | 2882 | 1515 | 606 |
| SLE RARA | 1451 | 1859 | 503 | 201 |
| SLE FREQ | 1392 | 1890 | 488 | 195 |
| SLE QPERM | 1333 | 1893 | 473 | 189 |

| | | | | | | |
|---|---|------------------|----------------|---------------------------|-----------|---------------------|
|  ITALFERR GRUPPO FERROVIE DELLO STATO ITALIANE | RADDOPPIO LINEA CODOGNO – CREMONA – MANTOVA TRATTA PIADENA - MANTOVA | | | | | |
| Relazione di calcolo spalle | COMMESSA NM25 | LOTTO 03 D 26 | CODIFICA CL | DOCUMENTO IV 37 04 001 | REV. A | FOGLIO 63 di 439 |

13. VERIFICHE

Le verifiche strutturali allo stato limite ultimo e allo stato limite di esercizio sono state svolte, seguendo i criteri esposti in precedenza, con il codice di calcolo RC-SEC, per le condizioni di carico più gravose.

In particolare nelle verifiche riportate di seguito lo sforzo normale è di compressione se positivo.

Una sintesi delle caratteristiche dell'armatura longitudinale e a taglio (staffe) previste è esibita nei prospetti di seguito.

Nelle verifiche riportate di seguito sono stati rispettati i minimi di armatura previsti dalle NTC18 riportate al paragrafo 4.1.6.

Facendo riferimento al paragrafo 7.4.6.2.4 delle NTC18, si è rispettato il limite per le pareti di almeno 9 legature ogni metro quadrato.

| | | | | | | |
|---|---|------------------|----------------|---------------------------|-----------|---------------------|
|  ITALFERR GRUPPO FERROVIE DELLO STATO ITALIANE | RADDOPPIO LINEA CODOGNO – CREMONA – MANTOVA TRATTA PIADENA - MANTOVA | | | | | |
| Relazione di calcolo spalle | COMMESA NM25 | LOTTO 03 D 26 | CODIFICA CL | DOCUMENTO IV 37 04 001 | REV. A | FOGLIO 64 di 439 |

13.1 MURO FRONTALE

Si riassume di seguito l'armatura adottata.

| ARMATURA | | |
|--------------------|----------------------|-----------------|
| Armatura verticale | Armatura orizzontale | Armatura taglio |
| Arm. tesa | Arm. tesa | Ø16/20x40 |
| 10Ø26 | 10Ø26 | |
| Arm. Compressa | Arm. Compressa | |
| 10Ø20 | 10Ø20 | |

La sezione risulta verificata con l'armatura prevista.

13.1.1 Verifica dell'armatura verticale

CARATTERISTICHE DI RESISTENZA DEI MATERIALI IMPIEGATI

| | | |
|----------------|---|----------------------------|
| CALCESTRUZZO - | Classe: | C32/40 |
| | Resis. compr. di progetto fcd: | 18.810 MPa |
| | Def.unit. max resistenza ec2: | 0.0020 |
| | Def.unit. ultima ecu: | 0.0035 |
| | Diagramma tensione-deformaz.: | Parabola-Rettangolo |
| | Modulo Elastico Normale Ec: | 33643.0 MPa |
| | Resis. media a trazione fctm: | 3.100 MPa |
| | Coeff. Omogen. S.L.E.: | 15.00 |
| | Coeff. Omogen. S.L.E.: | 15.00 |
| | Sc limite S.L.E. comb. Frequenti: | 199.20 daN/cm ² |
| ACCIAIO - | Ap.Fessure limite S.L.E. comb. Frequenti: | 0.200 mm |
| | Sc limite S.L.E. comb. Q.Permanenti: | 0.00 Mpa |
| | Ap.Fess.limite S.L.E. comb. Q.Perm.: | 0.200 mm |
| | Tipo: | B450C |
| | Resist. caratt. snervam. fyk: | 450.00 MPa |
| | Resist. caratt. rottura ftk: | 450.00 MPa |
| | Resist. snerv. di progetto fyd: | 391.30 MPa |

| | | | | | | |
|---|---|------------------|----------------|---------------------------|-----------|---------------------|
|  ITALFERR GRUPPO FERROVIE DELLO STATO ITALIANE | RADDOPPIO LINEA CODOGNO – CREMONA – MANTOVA TRATTA PIADENA - MANTOVA | | | | | |
| Relazione di calcolo spalle | COMMESA NM25 | LOTTO 03 D 26 | CODIFICA CL | DOCUMENTO IV 37 04 001 | REV. A | FOGLIO 65 di 439 |

Coeff. Aderenza istantaneo $\beta_1 \cdot \beta_2$: 1.00
 Coeff. Aderenza differito $\beta_1 \cdot \beta_2$: 0.50
 Sf limite S.L.E. Comb. Rare: 360.00 MPa

CARATTERISTICHE DOMINIO CONGLOMERATO

Forma del Dominio: Poligonale
 Classe Conglomerato: C32/40

| N° vertice: | X [cm] | Y [cm] |
|-------------|--------|--------|
| 1 | -50.0 | 0.0 |
| 2 | -50.0 | 150.0 |
| 3 | 50.0 | 150.0 |
| 4 | 50.0 | 0.0 |

DATI BARRE ISOLATE

| N°Barra | X [cm] | Y [cm] | Diam Ø [mm] |
|---------|--------|--------|-------------|
| 1 | -39.5 | 10.5 | 26 |
| 2 | -39.5 | 139.5 | 20 |
| 3 | 39.5 | 139.5 | 20 |
| 4 | 39.5 | 10.5 | 26 |

DATI GENERAZIONI LINEARI DI BARRE

N°Gen. Numero assegnato alla singola generazione lineare di barre
 N°Barra Ini. Numero della barra iniziale cui si riferisce la generazione
 N°Barra Fin. Numero della barra finale cui si riferisce la generazione
 N°Barre Numero di barre generate equidistanti cui si riferisce la generazione
 Ø Diametro in mm delle barre della generazione

| N°Gen. | N°Barra Ini. | N°Barra Fin. | N°Barre | Ø |
|--------|--------------|--------------|---------|----|
| 1 | 1 | 4 | 8 | 26 |
| 2 | 2 | 3 | 8 | 20 |

CALCOLO DI RESISTENZA - SFORZI PER OGNI COMBINAZIONE ASSEGNATA

N Sforzo normale [kN] applicato nel Baric. (+ se di compressione)
 Mx Momento flettente [kNm] intorno all'asse x princ. d'inerzia
 con verso positivo se tale da comprimere il lembo sup. della sez.
 My Momento flettente [kNm] intorno all'asse y princ. d'inerzia
 con verso positivo se tale da comprimere il lembo destro della sez.
 Vy Componente del Taglio [kN] parallela all'asse princ.d'inerzia y
 Vx Componente del Taglio [kN] parallela all'asse princ.d'inerzia x

| N°Comb. | N | Mx | My | Vy | Vx |
|---------|------|---------|------|------|------|
| 1 | 0.00 | 2400.00 | 0.00 | 0.00 | 0.00 |

COMB. RARE (S.L.E.) - SFORZI PER OGNI COMBINAZIONE ASSEGNATA



RADDOPPIO LINEA CODOGNO – CREMONA – MANTOVA TRATTA PIADENA - MANTOVA

Relazione di calcolo spalle

| COMMESMA | LOTTO | CODIFICA | DOCUMENTO | REV. | FOGLIO |
|----------|---------|----------|--------------|------|-----------|
| NM25 | 03 D 26 | CL | IV 37 04 001 | A | 66 di 439 |

N Sforzo normale [kN] applicato nel Baricentro (+ se di compressione)
 Mx Momento flettente [kNm] intorno all'asse x princ. d'inerzia (tra parentesi Mom.Fessurazione)
 con verso positivo se tale da comprimere il lembo superiore della sezione
 My Momento flettente [kNm] intorno all'asse y princ. d'inerzia (tra parentesi Mom.Fessurazione)
 con verso positivo se tale da comprimere il lembo destro della sezione

| N°Comb. | N | Mx | My |
|---------|------|--------|------|
| 1 | 0.00 | 800.00 | 0.00 |

COMB. FREQUENTI (S.L.E.) - SFORZI PER OGNI COMBINAZIONE ASSEGNA

N Sforzo normale [kN] applicato nel Baricentro (+ se di compressione)
 Mx Momento flettente [kNm] intorno all'asse x princ. d'inerzia (tra parentesi Mom.Fessurazione)
 con verso positivo se tale da comprimere il lembo superiore della sezione
 My Momento flettente [kNm] intorno all'asse y princ. d'inerzia (tra parentesi Mom.Fessurazione)
 con verso positivo se tale da comprimere il lembo destro della sezione

| N°Comb. | N | Mx | My |
|---------|------|------------------|-------------|
| 1 | 0.00 | 800.00 (1403.49) | 0.00 (0.00) |

COMB. QUASI PERMANENTI (S.L.E.) - SFORZI PER OGNI COMBINAZIONE ASSEGNA

N Sforzo normale [kN] applicato nel Baricentro (+ se di compressione)
 Mx Momento flettente [kNm] intorno all'asse x princ. d'inerzia (tra parentesi Mom.Fessurazione)
 con verso positivo se tale da comprimere il lembo superiore della sezione
 My Momento flettente [kNm] intorno all'asse y princ. d'inerzia (tra parentesi Mom.Fessurazione)
 con verso positivo se tale da comprimere il lembo destro della sezione

| N°Comb. | N | Mx | My |
|---------|------|------------------|-------------|
| 1 | 0.00 | 700.00 (1403.49) | 0.00 (0.00) |

RISULTATI DEL CALCOLO

Sezione verificata per tutte le combinazioni assegnate

Coprifero netto minimo barre longitudinali: 9.2 cm
 Interferro netto minimo barre longitudinali: 6.2 cm

VERIFICHE DI RESISTENZA IN PRESSO-TENSO FLESSIONE ALLO STATO LIMITE ULTIMO

Ver S = combinazione verificata / N = combin. non verificata
 N Sforzo normale assegnato [kN] nel baricentro B sezione cls.(positivo se di compressione)
 Mx Componente del momento assegnato [kNm] riferito all'asse x princ. d'inerzia
 My Componente del momento assegnato [kNm] riferito all'asse y princ. d'inerzia
 N Res Sforzo normale resistente [kN] nel baricentro B sezione cls.(positivo se di compress.)
 Mx Res Momento flettente resistente [kNm] riferito all'asse x princ. d'inerzia
 My Res Momento flettente resistente [kNm] riferito all'asse y princ. d'inerzia
 Mis.Sic. Misura sicurezza = rapporto vettoriale tra (N r,Mx Res,My Res) e (N,Mx,My)
 Verifica positiva se tale rapporto risulta >=1.000
 As Tesa Area armature trave [cm^2] in zona tesa. [Tra parentesi l'area minima ex (4.1.15)NTC]

| N°Comb | Ver | N | Mx | My | N Res | Mx Res | My Res | Mis.Sic. | As Tesa |
|--------|-----|------|---------|------|-------|---------|--------|----------|------------|
| 1 | S | 0.00 | 2400.00 | 0.00 | 0.00 | 2780.53 | 0.00 | 1.16 | 53.1(25.0) |

| | | | | | | |
|---|---|------------------|----------------|---------------------------|-----------|---------------------|
|  ITALFERR GRUPPO FERROVIE DELLO STATO ITALIANE | RADDOPPIO LINEA CODOGNO – CREMONA – MANTOVA TRATTA PIADENA - MANTOVA | | | | | |
| Relazione di calcolo spalle | COMMESSE NM25 | LOTTO 03 D 26 | CODIFICA CL | DOCUMENTO IV 37 04 001 | REV. A | FOGLIO 67 di 439 |

METODO AGLI STATI LIMITE ULTIMI - DEFORMAZIONI UNITARIE ALLO STATO ULTIMO

| | |
|--------|--|
| ec max | Deform. unit. massima del conglomerato a compressione |
| x/d | Rapporto di duttilità [§ 4.1.2.1.2.1 NTC] deve essere < 0.45 |
| Xc max | Ascissa in cm della fibra corrisp. a ec max (sistema rif. X,Y,O sez.) |
| Yc max | Ordinata in cm della fibra corrisp. a ec max (sistema rif. X,Y,O sez.) |
| es min | Deform. unit. minima nell'acciaio (negativa se di trazione) |
| Xs min | Ascissa in cm della barra corrisp. a es min (sistema rif. X,Y,O sez.) |
| Ys min | Ordinata in cm della barra corrisp. a es min (sistema rif. X,Y,O sez.) |
| es max | Deform. unit. massima nell'acciaio (positiva se di compressione) |
| Xs max | Ascissa in cm della barra corrisp. a es max (sistema rif. X,Y,O sez.) |
| Ys max | Ordinata in cm della barra corrisp. a es max (sistema rif. X,Y,O sez.) |

| N°Comb | ec max | x/d | Xc max | Yc max | es min | Xs min | Ys min | es max | Xs max | Ys max |
|--------|---------|-------|--------|--------|---------|--------|--------|----------|--------|--------|
| 1 | 0.00350 | 0.085 | -50.0 | 150.0 | 0.00042 | -39.5 | 139.5 | -0.03746 | -39.5 | 10.5 |

POSIZIONE ASSE NEUTRO PER OGNI COMB. DI RESISTENZA

| | |
|---------|---|
| a, b, c | Coeff. a, b, c nell'eq. dell'asse neutro $aX+bY+c=0$ nel rif. X,Y,O gen. |
| x/d | Rapp. di duttilità (travi e solette)[§ 4.1.2.1.2.1 NTC]: deve essere < 0.45 |
| C.Rid. | Coeff. di riduz. momenti per sola flessione in travi continue |

| N°Comb | a | b | c | x/d | C.Rid. |
|--------|-------------|-------------|--------------|-------|--------|
| 1 | 0.000000000 | 0.000293624 | -0.040543532 | 0.085 | 0.700 |

COMBINAZIONI RARE IN ESERCIZIO - MASSIME TENSIONI NORMALI ED APERTURA FESSURE (NTC/EC2)

| | |
|----------------|---|
| Ver | S = comb. verificata/ N = comb. non verificata |
| Sc max | Massima tensione (positiva se di compressione) nel conglomerato [Mpa] |
| Xc max, Yc max | Ascissa, Ordinata [cm] del punto corrisp. a Sc max (sistema rif. X,Y,O) |
| Sf min | Minima tensione (negativa se di trazione) nell'acciaio [Mpa] |
| Xs min, Ys min | Ascissa, Ordinata [cm] della barra corrisp. a Sf min (sistema rif. X,Y,O) |
| Ac eff. | Area di calcestruzzo [cm^2] in zona tesa considerata aderente alle barre |
| As eff. | Area barre [cm^2] in zona tesa considerate efficaci per l'apertura delle fessure |

| N°Comb | Ver | Sc max | Xc max | Yc max | Sf min | Xs min | Ys min | Ac eff. | As eff. |
|--------|-----|--------|--------|--------|--------|--------|--------|---------|---------|
| 1 | S | 2.86 | 50.0 | 150.0 | -118.3 | -30.7 | 10.5 | 2600 | 53.1 |

COMBINAZIONI RARE IN ESERCIZIO - APERTURA FESSURE [§ 7.3.4 EC2]

| | |
|-------------|--|
| Ver. | La sezione viene assunta sempre fessurata anche nel caso in cui la trazione minima del calcestruzzo sia inferiore a fctm Esito della verifica |
| e1 | Massima deformazione unitaria di trazione nel calcestruzzo (trazione -) valutata in sezione fessurata |
| e2 | Minima deformazione unitaria di trazione nel calcestruzzo (trazione -) valutata in sezione fessurata |
| k1 | = 0.8 per barre ad aderenza migliorata [eq.(7.11)EC2] |
| kt | = 0.4 per comb. quasi permanenti / = 0.6 per comb. frequenti [cfr. eq.(7.9)EC2] |
| k2 | = 0.5 per flessione; =(e1 + e2)/(2*e1) per trazione eccentrica [eq.(7.13)EC2] |
| k3 | = 3.400 Coeff. in eq.(7.11) come da annessi nazionali |
| k4 | = 0.425 Coeff. in eq.(7.11) come da annessi nazionali |
| Ø | Diametro [mm] equivalente delle barre tese comprese nell'area efficace Ac eff [eq.(7.11)EC2] |
| Cf | Coprifero [mm] netto calcolato con riferimento alla barra più tesa |
| e sm - e cm | Differenza tra le deformazioni medie di acciaio e calcestruzzo [(7.8)EC2 e (C4.1.7)NTC] Tra parentesi: valore minimo = 0.6 Smax / Es [(7.9)EC2 e (C4.1.8)NTC] |
| sr max | Massima distanza tra le fessure [mm] |
| wk | Apertura fessure in mm calcolata = sr max*(e_sm - e_cm) [(7.8)EC2 e (C4.1.7)NTC]. Valore limite tra parentesi |
| Mx fess. | Componente momento di prima fessurazione intorno all'asse X [kNm] |

| | | | | | | |
|---|---|------------------|----------------|---------------------------|-----------|---------------------|
|  ITALFERR GRUPPO FERROVIE DELLO STATO ITALIANE | RADDOPPIO LINEA CODOGNO – CREMONA – MANTOVA TRATTA PIADENA - MANTOVA | | | | | |
| Relazione di calcolo spalle | COMMESA NM25 | LOTTO 03 D 26 | CODIFICA CL | DOCUMENTO IV 37 04 001 | REV. A | FOGLIO 69 di 439 |

Coeff. Aderenza istantaneo $\beta_1 \cdot \beta_2$: 1.00
 Coeff. Aderenza differito $\beta_1 \cdot \beta_2$: 0.50
 Sf limite S.L.E. Comb. Rare: 360.00 MPa

CARATTERISTICHE DOMINIO CONGLOMERATO

Forma del Dominio: Poligonale
 Classe Conglomerato: C32/40

| N° vertice: | X [cm] | Y [cm] |
|-------------|--------|--------|
| 1 | -50.0 | 0.0 |
| 2 | -50.0 | 150.0 |
| 3 | 50.0 | 150.0 |
| 4 | 50.0 | 0.0 |

DATI BARRE ISOLATE

| N°Barra | X [cm] | Y [cm] | Diam Ø [mm] |
|---------|--------|--------|-------------|
| 1 | -42.1 | 7.9 | 26 |
| 2 | -42.1 | 142.1 | 20 |
| 3 | 42.1 | 142.1 | 20 |
| 4 | 42.1 | 7.9 | 26 |

DATI GENERAZIONI LINEARI DI BARRE

N°Gen. Numero assegnato alla singola generazione lineare di barre
 N°Barra Ini. Numero della barra iniziale cui si riferisce la generazione
 N°Barra Fin. Numero della barra finale cui si riferisce la generazione
 N°Barre Numero di barre generate equidistanti cui si riferisce la generazione
 Ø Diametro in mm delle barre della generazione

| N°Gen. | N°Barra Ini. | N°Barra Fin. | N°Barre | Ø |
|--------|--------------|--------------|---------|----|
| 1 | 1 | 4 | 8 | 26 |
| 2 | 2 | 3 | 8 | 20 |

CALCOLO DI RESISTENZA - SFORZI PER OGNI COMBINAZIONE ASSEGNATA

N Sforzo normale [kN] applicato nel Baric. (+ se di compressione)
 Mx Momento flettente [kNm] intorno all'asse x princ. d'inerzia
 con verso positivo se tale da comprimere il lembo sup. della sez.
 My Momento flettente [kNm] intorno all'asse y princ. d'inerzia
 con verso positivo se tale da comprimere il lembo destro della sez.
 Vy Componente del Taglio [kN] parallela all'asse princ.d'inerzia y
 Vx Componente del Taglio [kN] parallela all'asse princ.d'inerzia x

| N°Comb. | N | Mx | My | Vy | Vx |
|---------|------|---------|------|------|------|
| 1 | 0.00 | 2500.00 | 0.00 | 0.00 | 0.00 |

COMB. RARE (S.L.E.) - SFORZI PER OGNI COMBINAZIONE ASSEGNATA



RADDOPPIO LINEA CODOGNO – CREMONA – MANTOVA TRATTA PIADENA - MANTOVA

Relazione di calcolo spalle

| COMMESMA | LOTTO | CODIFICA | DOCUMENTO | REV. | FOGLIO |
|----------|---------|----------|--------------|------|-----------|
| NM25 | 03 D 26 | CL | IV 37 04 001 | A | 70 di 439 |

N Sforzo normale [kN] applicato nel Baricentro (+ se di compressione)
 Mx Momento flettente [kNm] intorno all'asse x princ. d'inerzia (tra parentesi Mom.Fessurazione)
 con verso positivo se tale da comprimere il lembo superiore della sezione
 My Momento flettente [kNm] intorno all'asse y princ. d'inerzia (tra parentesi Mom.Fessurazione)
 con verso positivo se tale da comprimere il lembo destro della sezione

| N°Comb. | N | Mx | My |
|---------|------|---------|------|
| 1 | 0.00 | 1100.00 | 0.00 |

COMB. FREQUENTI (S.L.E.) - SFORZI PER OGNI COMBINAZIONE ASSEGNA

N Sforzo normale [kN] applicato nel Baricentro (+ se di compressione)
 Mx Momento flettente [kNm] intorno all'asse x princ. d'inerzia (tra parentesi Mom.Fessurazione)
 con verso positivo se tale da comprimere il lembo superiore della sezione
 My Momento flettente [kNm] intorno all'asse y princ. d'inerzia (tra parentesi Mom.Fessurazione)
 con verso positivo se tale da comprimere il lembo destro della sezione

| N°Comb. | N | Mx | My |
|---------|------|-------------------|-------------|
| 1 | 0.00 | 1100.00 (1422.64) | 0.00 (0.00) |

COMB. QUASI PERMANENTI (S.L.E.) - SFORZI PER OGNI COMBINAZIONE ASSEGNA

N Sforzo normale [kN] applicato nel Baricentro (+ se di compressione)
 Mx Momento flettente [kNm] intorno all'asse x princ. d'inerzia (tra parentesi Mom.Fessurazione)
 con verso positivo se tale da comprimere il lembo superiore della sezione
 My Momento flettente [kNm] intorno all'asse y princ. d'inerzia (tra parentesi Mom.Fessurazione)
 con verso positivo se tale da comprimere il lembo destro della sezione

| N°Comb. | N | Mx | My |
|---------|------|-------------------|-------------|
| 1 | 0.00 | 1000.00 (1422.64) | 0.00 (0.00) |

RISULTATI DEL CALCOLO

Sezione verificata per tutte le combinazioni assegnate

Coprifero netto minimo barre longitudinali: 6.6 cm
 Interferro netto minimo barre longitudinali: 6.8 cm

VERIFICHE DI RESISTENZA IN PRESSO-TENSO FLESSIONE ALLO STATO LIMITE ULTIMO

Ver S = combinazione verificata / N = combin. non verificata
 N Sforzo normale assegnato [kN] nel baricentro B sezione cls.(positivo se di compressione)
 Mx Componente del momento assegnato [kNm] riferito all'asse x princ. d'inerzia
 My Componente del momento assegnato [kNm] riferito all'asse y princ. d'inerzia
 N Res Sforzo normale resistente [kN] nel baricentro B sezione cls.(positivo se di compress.)
 Mx Res Momento flettente resistente [kNm] riferito all'asse x princ. d'inerzia
 My Res Momento flettente resistente [kNm] riferito all'asse y princ. d'inerzia
 Mis.Sic. Misura sicurezza = rapporto vettoriale tra (N r,Mx Res,My Res) e (N,Mx,My)
 Verifica positiva se tale rapporto risulta >=1.000
 As Tesa Area armature trave [cm^2] in zona tesa. [Tra parentesi l'area minima ex (4.1.15)NTC]

| N°Comb | Ver | N | Mx | My | N Res | Mx Res | My Res | Mis.Sic. | As Tesa |
|--------|-----|------|---------|------|-------|---------|--------|----------|------------|
| 1 | S | 0.00 | 2500.00 | 0.00 | 0.00 | 2844.57 | 0.00 | 1.14 | 53.1(25.5) |

| | | | | | | |
|---|---|------------------|----------------|---------------------------|-----------|---------------------|
|  ITALFERR GRUPPO FERROVIE DELLO STATO ITALIANE | RADDOPPIO LINEA CODOGNO – CREMONA – MANTOVA TRATTA PIADENA - MANTOVA | | | | | |
| Relazione di calcolo spalle | COMMESSE NM25 | LOTTO 03 D 26 | CODIFICA CL | DOCUMENTO IV 37 04 001 | REV. A | FOGLIO 71 di 439 |

METODO AGLI STATI LIMITE ULTIMI - DEFORMAZIONI UNITARIE ALLO STATO ULTIMO

| | |
|--------|--|
| ec max | Deform. unit. massima del conglomerato a compressione |
| x/d | Rapporto di duttilità [§ 4.1.2.1.2.1 NTC] deve essere < 0.45 |
| Xc max | Ascissa in cm della fibra corrisp. a ec max (sistema rif. X,Y,O sez.) |
| Yc max | Ordinata in cm della fibra corrisp. a ec max (sistema rif. X,Y,O sez.) |
| es min | Deform. unit. minima nell'acciaio (negativa se di trazione) |
| Xs min | Ascissa in cm della barra corrisp. a es min (sistema rif. X,Y,O sez.) |
| Ys min | Ordinata in cm della barra corrisp. a es min (sistema rif. X,Y,O sez.) |
| es max | Deform. unit. massima nell'acciaio (positiva se di compressione) |
| Xs max | Ascissa in cm della barra corrisp. a es max (sistema rif. X,Y,O sez.) |
| Ys max | Ordinata in cm della barra corrisp. a es max (sistema rif. X,Y,O sez.) |

| N°Comb | ec max | x/d | Xc max | Yc max | es min | Xs min | Ys min | es max | Xs max | Ys max |
|--------|---------|-------|--------|--------|---------|--------|--------|----------|--------|--------|
| 1 | 0.00350 | 0.072 | -50.0 | 150.0 | 0.00081 | -42.1 | 142.1 | -0.04483 | -42.1 | 7.9 |

POSIZIONE ASSE NEUTRO PER OGNI COMB. DI RESISTENZA

| | |
|---------|---|
| a, b, c | Coeff. a, b, c nell'eq. dell'asse neutro $aX+bY+c=0$ nel rif. X,Y,O gen. |
| x/d | Rapp. di duttilità (travi e solette)[§ 4.1.2.1.2.1 NTC]: deve essere < 0.45 |
| C.Rid. | Coeff. di riduz. momenti per sola flessione in travi continue |

| N°Comb | a | b | c | x/d | C.Rid. |
|--------|-------------|-------------|--------------|-------|--------|
| 1 | 0.000000000 | 0.000340101 | -0.047515192 | 0.072 | 0.700 |

COMBINAZIONI RARE IN ESERCIZIO - MASSIME TENSIONI NORMALI ED APERTURA FESSURE (NTC/EC2)

| | |
|----------------|---|
| Ver | S = comb. verificata/ N = comb. non verificata |
| Sc max | Massima tensione (positiva se di compressione) nel conglomerato [Mpa] |
| Xc max, Yc max | Ascissa, Ordinata [cm] del punto corrisp. a Sc max (sistema rif. X,Y,O) |
| Sf min | Minima tensione (negativa se di trazione) nell'acciaio [Mpa] |
| Xs min, Ys min | Ascissa, Ordinata [cm] della barra corrisp. a Sf min (sistema rif. X,Y,O) |
| Ac eff. | Area di calcestruzzo [cm^2] in zona tesa considerata aderente alle barre |
| As eff. | Area barre [cm^2] in zona tesa considerate efficaci per l'apertura delle fessure |

| N°Comb | Ver | Sc max | Xc max | Yc max | Sf min | Xs min | Ys min | Ac eff. | As eff. |
|--------|-----|--------|--------|--------|--------|--------|--------|---------|---------|
| 1 | S | 3.77 | 50.0 | 150.0 | -158.9 | -23.4 | 7.9 | 1950 | 53.1 |

COMBINAZIONI RARE IN ESERCIZIO - APERTURA FESSURE [§ 7.3.4 EC2]

| | |
|-------------|--|
| Ver. | La sezione viene assunta sempre fessurata anche nel caso in cui la trazione minima del calcestruzzo sia inferiore a fctm |
| e1 | Esito della verifica |
| e2 | Massima deformazione unitaria di trazione nel calcestruzzo (trazione -) valutata in sezione fessurata |
| k1 | Minima deformazione unitaria di trazione nel calcestruzzo (trazione -) valutata in sezione fessurata |
| kt | = 0.8 per barre ad aderenza migliorata [eq.(7.11)EC2] |
| k2 | = 0.4 per comb. quasi permanenti / = 0.6 per comb.frequenti [cfr. eq.(7.9)EC2] |
| k3 | = 0.5 per flessione; =(e1 + e2)/(2*e1) per trazione eccentrica [eq.(7.13)EC2] |
| k4 | = 3.400 Coeff. in eq.(7.11) come da annessi nazionali |
| Ø | = 0.425 Coeff. in eq.(7.11) come da annessi nazionali |
| Cf | Diametro [mm] equivalente delle barre tese comprese nell'area efficace Ac eff [eq.(7.11)EC2] |
| e sm - e cm | Coprifero [mm] netto calcolato con riferimento alla barra più tesa |
| | Differenza tra le deformazioni medie di acciaio e calcestruzzo [(7.8)EC2 e (C4.1.7)NTC] |
| sr max | Tra parentesi: valore minimo = 0.6 Smax / Es [(7.9)EC2 e (C4.1.8)NTC] |
| wk | Apertura fessure in mm calcolata = sr max*(e_sm - e_cm) [(7.8)EC2 e (C4.1.7)NTC]. Valore limite tra parentesi |
| Mx fess. | Componente momento di prima fessurazione intorno all'asse X [kNm] |

Relazione di calcolo spalle

COMMESSA LOTTO CODIFICA DOCUMENTO REV. FOGLIO
NM25 03 D 26 CL IV 37 04 001 A 72 di 439

My fess. Componente momento di prima fessurazione intorno all'asse Y [kNm]

| Comb. | Ver | e1 | e2 | k2 | Ø | Cf | e sm - e cm | sr max | wk | Mx fess | My fess |
|-------|-----|----------|----|-------|------|----|-------------------|--------|--------------|---------|---------|
| 1 | S | -0.00085 | 0 | 0.500 | 26.0 | 66 | 0.00048 (0.00048) | 387 | 0.184 (0.20) | 1422.64 | 0.00 |

COMBINAZIONI FREQUENTI IN ESERCIZIO - MASSIME TENSIONI NORMALI ED APERTURA FESSURE (NTC/EC2)

| N°Comb | Ver | Sc max | Xc max | Yc max | Sf min | Xs min | Ys min | Ac eff. | As eff. |
|--------|-----|--------|--------|--------|--------|--------|--------|---------|---------|
| 1 | S | 3.77 | 50.0 | 150.0 | -158.9 | -23.4 | 7.9 | 1950 | 53.1 |

COMBINAZIONI FREQUENTI IN ESERCIZIO - APERTURA FESSURE [§ 7.3.4 EC2]

| Comb. | Ver | e1 | e2 | k2 | Ø | Cf | e sm - e cm | sr max | wk | Mx fess | My fess |
|-------|-----|----------|----|-------|------|----|-------------------|--------|--------------|---------|---------|
| 1 | S | -0.00085 | 0 | 0.500 | 26.0 | 66 | 0.00048 (0.00048) | 387 | 0.184 (0.20) | 1422.64 | 0.00 |

COMBINAZIONI QUASI PERMANENTI IN ESERCIZIO - MASSIME TENSIONI NORMALI ED APERTURA FESSURE (NTC/EC2)

| N°Comb | Ver | Sc max | Xc max | Yc max | Sf min | Xs min | Ys min | Ac eff. | As eff. |
|--------|-----|--------|--------|--------|--------|--------|--------|---------|---------|
| 1 | S | 3.43 | 50.0 | 150.0 | -144.4 | -32.7 | 7.9 | 1950 | 53.1 |

COMBINAZIONI QUASI PERMANENTI IN ESERCIZIO - APERTURA FESSURE [§ 7.3.4 EC2]

| Comb. | Ver | e1 | e2 | k2 | Ø | Cf | e sm - e cm | sr max | wk | Mx fess | My fess |
|-------|-----|----------|----|-------|------|----|-------------------|--------|--------------|---------|---------|
| 1 | S | -0.00078 | 0 | 0.500 | 26.0 | 66 | 0.00046 (0.00043) | 387 | 0.177 (0.20) | 1422.64 | 0.00 |

Relazione di calcolo spalle

COMMESA LOTTO CODIFICA DOCUMENTO REV. FOGLIO
NM25 03 D 26 CL IV 37 04 001 A 73 di 439

13.1.3 Verifica a taglio

| SEZIONE | | | |
|----------------|---|-----|------------|
| b _w | = | 100 | cm |
| h | = | 150 | cm |
| c | = | 7.9 | cm |
| d | = | h-c | = 142.1 cm |

| MATERIALI | | | |
|------------------|---|--------------------------------------|-------------|
| f _{ywd} | = | 391.30 | MPa |
| R _{ck} | = | 40 | MPa |
| γ _c | = | 1.5 | |
| f _{ck} | = | 0.83xR _{ck} | = 33.2 MPa |
| f _{cd} | = | 0.85xf _{ck} /γ _c | = 18.81 MPa |

| ARMATURE A TAGLIO | | | |
|-----------------------|---|--------|--------------------------|
| Ø _{st} | = | 16 | |
| braccia | = | 5 | |
| Ø _{st2} | = | 0 | |
| braccia | = | 0 | |
| passo | = | 40 | cm |
| (A _{sw} / s) | = | 25.133 | cm ² / m |
| α | = | 90 | ° (90° staffe verticali) |

| | | | |
|----------------|-------------------|--------|------|
| TAGLIO AGENTE | V _{Ed} = | 3100 | (KN) |
| SFORZO NORMALE | N _{ed} = | 0 | (KN) |
| | α _c = | 1.0000 | |

Relazione di calcolo spalle

COMMESA LOTTO CODIFICA DOCUMENTO REV. FOGLIO
NM25 03 D 26 CL IV 37 04 001 A 74 di 439

ELEMENTI CON ARMATURA A TAGLIO
Calcolo di cot θ

$$\cot(\theta) = 2.93$$

$$\theta = 18.87^\circ$$

IPOTESI 1 $1 \leq \cot \theta \leq 2.5$ Rottura bilanciata $V_{Rsd} = V_{Rcd}$

$$V_{Rsd} = 3680.89 \text{ (kN)} \quad 0,9 \cdot d \cdot \frac{A_{sw}}{s} \cdot f_{yd} \cdot (\operatorname{ctg}\alpha + \operatorname{ctg}\theta) \cdot \sin \alpha$$

$$V_{Rcd} = 3680.89 \text{ (kN)} \quad 0,9 \cdot d \cdot b_w \cdot \alpha_c \cdot f'_{cd} \cdot (\operatorname{ctg}\alpha + \operatorname{ctg}\theta) / (1 + \operatorname{ctg}^2 \theta)$$

$$V_{Rd} = 3681 \text{ (kN)} \quad \min(V_{Rsd}, V_{Rcd})$$

IPOTESI 2 $\cot \vartheta > 2,5$ Si assume $\vartheta = 21,8^\circ$
Armatura trasversale

$$V_{Rsd} = 3144.35 \text{ (kN)} \quad 0,9 \cdot d \cdot \frac{A_{sw}}{\varsigma} \cdot f_{yd} \cdot (\operatorname{ctg}\alpha + \operatorname{ctg}\theta) \cdot \sin \alpha$$

$$V_{Rcd} = 4148.34 \text{ (kN)} \quad 0,9 \cdot d \cdot b_w \cdot \alpha_c \cdot f'_{cd} \cdot (\operatorname{ctg}\alpha + \operatorname{ctg}\theta) / (1 + \operatorname{ctg}^2 \theta)$$

$$V_{Rd} = 3144 \text{ (kN)} \quad \min(V_{Rsd}, V_{Rcd})$$

IPOTESI 3 $\operatorname{Cot} \vartheta = 1$ $\vartheta = 45^\circ$
Armatura trasversale

$$V_{Rsd} = 1257.74 \text{ (kN)} \quad 0,9 \cdot d \cdot \frac{A_{sw}}{\varsigma} \cdot f_{yd} \cdot (\operatorname{ctg}\alpha + \operatorname{ctg}\theta) \cdot \sin \alpha$$

$$V_{Rcd} = 6015.09 \text{ (kN)} \quad 0,9 \cdot d \cdot b_w \cdot \alpha_c \cdot f'_{cd} \cdot (\operatorname{ctg}\alpha + \operatorname{ctg}\theta) / (1 + \operatorname{ctg}^2 \theta)$$

$$V_{Rd} = 1257.74 \text{ (kN)} \quad \min(V_{Rsd}, V_{Rcd})$$

| | | | | | | |
|---|---|------------------|----------------|---------------------------|-----------|---------------------|
|  ITALFERR GRUPPO FERROVIE DELLO STATO ITALIANE | RADDOPPIO LINEA CODOGNO – CREMONA – MANTOVA TRATTA PIADENA - MANTOVA | | | | | |
| Relazione di calcolo spalle | COMMESA NM25 | LOTTO 03 D 26 | CODIFICA CL | DOCUMENTO IV 37 04 001 | REV. A | FOGLIO 75 di 439 |

13.2 PARAGHIAIA

Si riassume di seguito l'armatura adottata.

| ARMATURA | | |
|--------------------|----------------------|-------------------------------|
| Armatura verticale | Armatura orizzontale | Armatura taglio |
| Arm. tesa | Arm. tesa | $\varnothing 12/20 \times 40$ |
| 10Ø16 | 10Ø16 | |
| Arm. Compressa | Arm. Compressa | |
| 10Ø16 | 5Ø16 | |

La sezione risulta verificata con l'armatura prevista.

13.2.1 Verifica dell'armatura verticale

CARATTERISTICHE DI RESISTENZA DEI MATERIALI IMPIEGATI

| | | |
|----------------|---|----------------------------|
| CALCESTRUZZO - | Classe: | C32/40 |
| | Resis. compr. di progetto fcd: | 18.810 MPa |
| | Def.unit. max resistenza ec2: | 0.0020 |
| | Def.unit. ultima ecu: | 0.0035 |
| | Diagramma tensione-deformaz.: | Parabola-Rettangolo |
| | Modulo Elastico Normale Ec: | 33643.0 MPa |
| | Resis. media a trazione fctm: | 3.100 MPa |
| | Coeff. Omogen. S.L.E.: | 15.00 |
| | Coeff. Omogen. S.L.E.: | 15.00 |
| | Sc limite S.L.E. comb. Frequenti: | 199.20 daN/cm ² |
| ACCIAIO - | Ap.Fessure limite S.L.E. comb. Frequenti: | 0.200 mm |
| | Sc limite S.L.E. comb. Q.Permanenti: | 0.00 Mpa |
| | Ap.Fess.limite S.L.E. comb. Q.Perm.: | 0.200 mm |
| | Tipo: | B450C |
| | Resist. caratt. snervam. fyk: | 450.00 MPa |
| | Resist. caratt. rottura ftk: | 450.00 MPa |
| | Resist. snerv. di progetto fyd: | 391.30 MPa |

| | | | | | | |
|---|---|------------------|----------------|---------------------------|-----------|---------------------|
|  ITALFERR GRUPPO FERROVIE DELLO STATO ITALIANE | RADDOPPIO LINEA CODOGNO – CREMONA – MANTOVA TRATTA PIADENA - MANTOVA | | | | | |
| Relazione di calcolo spalle | COMMESA NM25 | LOTTO 03 D 26 | CODIFICA CL | DOCUMENTO IV 37 04 001 | REV. A | FOGLIO 76 di 439 |

Coeff. Aderenza istantaneo $\beta_1 \cdot \beta_2$: 1.00
 Coeff. Aderenza differito $\beta_1 \cdot \beta_2$: 0.50
 Sf limite S.L.E. Comb. Rare: 360.00 MPa

CARATTERISTICHE DOMINIO CONGLOMERATO

Forma del Dominio: Poligonale
 Classe Conglomerato: C32/40

| N° vertice: | X [cm] | Y [cm] |
|-------------|--------|--------|
| 1 | -50.0 | 0.0 |
| 2 | -50.0 | 50.0 |
| 3 | 50.0 | 50.0 |
| 4 | 50.0 | 0.0 |

DATI BARRE ISOLATE

| N°Barra | X [cm] | Y [cm] | Diam Ø [mm] |
|---------|--------|--------|-------------|
| 1 | -41.4 | 8.6 | 16 |
| 2 | -41.4 | 41.4 | 16 |
| 3 | 41.4 | 41.4 | 16 |
| 4 | 41.4 | 8.6 | 16 |

DATI GENERAZIONI LINEARI DI BARRE

N°Gen. Numero assegnato alla singola generazione lineare di barre
 N°Barra Ini. Numero della barra iniziale cui si riferisce la generazione
 N°Barra Fin. Numero della barra finale cui si riferisce la generazione
 N°Barre Numero di barre generate equidistanti cui si riferisce la generazione
 Ø Diametro in mm delle barre della generazione

| N°Gen. | N°Barra Ini. | N°Barra Fin. | N°Barre | Ø |
|--------|--------------|--------------|---------|----|
| 1 | 1 | 4 | 8 | 16 |
| 2 | 2 | 3 | 8 | 16 |

CALCOLO DI RESISTENZA - SFORZI PER OGNI COMBINAZIONE ASSEGNATA

N Sforzo normale [kN] applicato nel Baric. (+ se di compressione)
 Mx Momento flettente [kNm] intorno all'asse x princ. d'inerzia
 con verso positivo se tale da comprimere il lembo sup. della sez.
 My Momento flettente [kNm] intorno all'asse y princ. d'inerzia
 con verso positivo se tale da comprimere il lembo destro della sez.
 Vy Componente del Taglio [kN] parallela all'asse princ.d'inerzia y
 Vx Componente del Taglio [kN] parallela all'asse princ.d'inerzia x

| N°Comb. | N | Mx | My | Vy | Vx |
|---------|------|--------|------|------|------|
| 1 | 0.00 | 270.00 | 0.00 | 0.00 | 0.00 |

COMB. RARE (S.L.E.) - SFORZI PER OGNI COMBINAZIONE ASSEGNATA



**RADDOPPIO LINEA CODOGNO – CREMONA – MANTOVA
TRATTA PIADENA - MANTOVA**

Relazione di calcolo spalle

| | | | | | |
|---------|---------|----------|--------------|------|-----------|
| COMMESA | LOTTO | CODIFICA | DOCUMENTO | REV. | FOGLIO |
| NM25 | 03 D 26 | CL | IV 37 04 001 | A | 77 di 439 |

N Sforzo normale [kN] applicato nel Baricentro (+ se di compressione)
 Mx Momento flettente [kNm] intorno all'asse x princ. d'inerzia (tra parentesi Mom.Fessurazione)
 con verso positivo se tale da comprimere il lembo superiore della sezione
 My Momento flettente [kNm] intorno all'asse y princ. d'inerzia (tra parentesi Mom.Fessurazione)
 con verso positivo se tale da comprimere il lembo destro della sezione

| | | | |
|---------|------|--------|------|
| N°Comb. | N | Mx | My |
| 1 | 0.00 | 100.00 | 0.00 |

COMB. FREQUENTI (S.L.E.) - SFORZI PER OGNI COMBINAZIONE ASSEGNA

N Sforzo normale [kN] applicato nel Baricentro (+ se di compressione)
 Mx Momento flettente [kNm] intorno all'asse x princ. d'inerzia (tra parentesi Mom.Fessurazione)
 con verso positivo se tale da comprimere il lembo superiore della sezione
 My Momento flettente [kNm] intorno all'asse y princ. d'inerzia (tra parentesi Mom.Fessurazione)
 con verso positivo se tale da comprimere il lembo destro della sezione

| | | | |
|---------|------|-----------------|-------------|
| N°Comb. | N | Mx | My |
| 1 | 0.00 | 100.00 (149.28) | 0.00 (0.00) |

COMB. QUASI PERMANENTI (S.L.E.) - SFORZI PER OGNI COMBINAZIONE ASSEGNA

N Sforzo normale [kN] applicato nel Baricentro (+ se di compressione)
 Mx Momento flettente [kNm] intorno all'asse x princ. d'inerzia (tra parentesi Mom.Fessurazione)
 con verso positivo se tale da comprimere il lembo superiore della sezione
 My Momento flettente [kNm] intorno all'asse y princ. d'inerzia (tra parentesi Mom.Fessurazione)
 con verso positivo se tale da comprimere il lembo destro della sezione

| | | | |
|---------|------|-----------------|-------------|
| N°Comb. | N | Mx | My |
| 1 | 0.00 | 100.00 (149.28) | 0.00 (0.00) |

RISULTATI DEL CALCOLO

Sezione verificata per tutte le combinazioni assegnate

Coprifero netto minimo barre longitudinali: 7.8 cm
 Interferro netto minimo barre longitudinali: 7.6 cm

VERIFICHE DI RESISTENZA IN PRESSO-TENSO FLESSIONE ALLO STATO LIMITE ULTIMO

| | |
|----------|--|
| Ver | S = combinazione verificata / N = combin. non verificata |
| N | Sforzo normale assegnato [kN] nel baricentro B sezione cls.(positivo se di compressione) |
| Mx | Componente del momento assegnato [kNm] riferito all'asse x princ. d'inerzia |
| My | Componente del momento assegnato [kNm] riferito all'asse y princ. d'inerzia |
| N Res | Sforzo normale resistente [kN] nel baricentro B sezione cls.(positivo se di compress.) |
| Mx Res | Momento flettente resistente [kNm] riferito all'asse x princ. d'inerzia |
| My Res | Momento flettente resistente [kNm] riferito all'asse y princ. d'inerzia |
| Mis.Sic. | Misura sicurezza = rapporto vettoriale tra (N r,Mx Res,My Res) e (N,Mx,My) |
| | Verifica positiva se tale rapporto risulta >=1.000 |
| As Tesa | Area armature trave [cm^2] in zona tesa. [Tra parentesi l'area minima ex (4.1.15)NTC] |

| N°Comb | Ver | N | Mx | My | N Res | Mx Res | My Res | Mis.Sic. | As Tesa |
|--------|-----|------|--------|------|-------|--------|--------|----------|-----------|
| 1 | S | 0.00 | 270.00 | 0.00 | 0.00 | 319.14 | 0.00 | 1.18 | 40.2(7.4) |

| | | | | | | |
|---|---|------------------|----------------|---------------------------|-----------|---------------------|
|  ITALFERR GRUPPO FERROVIE DELLO STATO ITALIANE | RADDOPPIO LINEA CODOGNO – CREMONA – MANTOVA TRATTA PIADENA - MANTOVA | | | | | |
| Relazione di calcolo spalle | COMMESMA NM25 | LOTTO 03 D 26 | CODIFICA CL | DOCUMENTO IV 37 04 001 | REV. A | FOGLIO 78 di 439 |

METODO AGLI STATI LIMITE ULTIMI - DEFORMAZIONI UNITARIE ALLO STATO ULTIMO

| | |
|--------|--|
| ec max | Deform. unit. massima del conglomerato a compressione |
| x/d | Rapporto di duttilità [§ 4.1.2.1.2.1 NTC] deve essere < 0.45 |
| Xc max | Ascissa in cm della fibra corrisp. a ec max (sistema rif. X,Y,O sez.) |
| Yc max | Ordinata in cm della fibra corrisp. a ec max (sistema rif. X,Y,O sez.) |
| es min | Deform. unit. minima nell'acciaio (negativa se di trazione) |
| Xs min | Ascissa in cm della barra corrisp. a es min (sistema rif. X,Y,O sez.) |
| Ys min | Ordinata in cm della barra corrisp. a es min (sistema rif. X,Y,O sez.) |
| es max | Deform. unit. massima nell'acciaio (positiva se di compress.) |
| Xs max | Ascissa in cm della barra corrisp. a es max (sistema rif. X,Y,O sez.) |
| Ys max | Ordinata in cm della barra corrisp. a es max (sistema rif. X,Y,O sez.) |

| N°Comb | ec max | x/d | Xc max | Yc max | es min | Xs min | Ys min | es max | Xs max | Ys max |
|--------|---------|-------|--------|--------|----------|--------|--------|----------|--------|--------|
| 1 | 0.00350 | 0.172 | -50.0 | 50.0 | -0.00074 | -41.4 | 41.4 | -0.01689 | -41.4 | 8.6 |

POSIZIONE ASSE NEUTRO PER OGNI COMB. DI RESISTENZA

| | |
|---------|---|
| a, b, c | Coeff. a, b, c nell'eq. dell'asse neutro $aX+bY+c=0$ nel rif. X,Y,O gen. |
| x/d | Rapp. di duttilità (travi e solette)[§ 4.1.2.1.2.1 NTC]: deve essere < 0.45 |
| C.Rid. | Coeff. di riduz. momenti per sola flessione in travi continue |

| N°Comb | a | b | c | x/d | C.Rid. |
|--------|-------------|-------------|--------------|-------|--------|
| 1 | 0.000000000 | 0.000492489 | -0.021124446 | 0.172 | 0.700 |

COMBINAZIONI RARE IN ESERCIZIO - MASSIME TENSIONI NORMALI ED APERTURA FESSURE (NTC/EC2)

| | |
|----------------|---|
| Ver | S = comb. verificata/ N = comb. non verificata |
| Sc max | Massima tensione (positiva se di compressione) nel conglomerato [Mpa] |
| Xc max, Yc max | Ascissa, Ordinata [cm] del punto corrisp. a Sc max (sistema rif. X,Y,O) |
| Sf min | Minima tensione (negativa se di trazione) nell'acciaio [Mpa] |
| Xs min, Ys min | Ascissa, Ordinata [cm] della barra corrisp. a Sf min (sistema rif. X,Y,O) |
| Ac eff. | Area di calcestruzzo [cm^2] in zona tesa considerata aderente alle barre |
| As eff. | Area barre [cm^2] in zona tesa considerate efficaci per l'apertura delle fessure |

| N°Comb | Ver | Sc max | Xc max | Yc max | Sf min | Xs min | Ys min | Ac eff. | As eff. |
|--------|-----|--------|--------|--------|--------|--------|--------|---------|---------|
| 1 | S | 3.84 | -50.0 | 50.0 | -135.5 | -41.4 | 8.6 | 1249 | 20.1 |

COMBINAZIONI RARE IN ESERCIZIO - APERTURA FESSURE [§ 7.3.4 EC2]

| | |
|-------------|--|
| Ver. | La sezione viene assunta sempre fessurata anche nel caso in cui la trazione minima del calcestruzzo sia inferiore a fctrn Esito della verifica |
| e1 | Massima deformazione unitaria di trazione nel calcestruzzo (trazione -) valutata in sezione fessurata |
| e2 | Minima deformazione unitaria di trazione nel calcestruzzo (trazione -) valutata in sezione fessurata |
| k1 | = 0.8 per barre ad aderenza migliorata [eq.(7.11)EC2] |
| kt | = 0.4 per comb. quasi permanenti / = 0.6 per comb. frequenti [cfr. eq.(7.9)EC2] |
| k2 | = 0.5 per flessione; =(e1 + e2)/(2*k1) per trazione eccentrica [eq.(7.13)EC2] |
| k3 | = 3.400 Coeff. in eq.(7.11) come da annessi nazionali |
| k4 | = 0.425 Coeff. in eq.(7.11) come da annessi nazionali |
| Ø | Diametro [mm] equivalente delle barre tese comprese nell'area efficace Ac eff [eq.(7.11)EC2] |
| Cf | Coprifero [mm] netto calcolato con riferimento alla barra più tesa |
| e sm - e cm | Differenza tra le deformazioni medie di acciaio e calcestruzzo [(7.8)EC2 e (C4.1.7)NTC] Tra parentesi: valore minimo = 0.6 Smax / Es [(7.9)EC2 e (C4.1.8)NTC] |
| sr max | Massima distanza tra le fessure [mm] |
| wk | Apertura fessure in mm calcolata = sr max*(e_sm - e_cm) [(7.8)EC2 e (C4.1.7)NTC]. Valore limite tra parentesi |

Relazione di calcolo spalle

COMMESMA LOTTO CODIFICA DOCUMENTO REV. FOGLIO
NM25 03 D 26 CL IV 37 04 001 A 79 di 439

Mx fess. Componente momento di prima fessurazione intorno all'asse X [kNm]
My fess. Componente momento di prima fessurazione intorno all'asse Y [kNm]

| Comb. | Ver | e1 | e2 | k2 | Ø | Cf | e sm - e cm | sr max | wk | Mx fess | My fess |
|-------|-----|----------|----|-------|------|----|-------------------|--------|--------------|---------|---------|
| 1 | S | -0.00088 | 0 | 0.500 | 16.0 | 78 | 0.00041 (0.00041) | 434 | 0.176 (0.20) | 149.28 | 0.00 |

COMBINAZIONI FREQUENTI IN ESERCIZIO - MASSIME TENSIONI NORMALI ED APERTURA FESSURE (NTC/EC2)

| N°Comb | Ver | Sc max | Xc max | Yc max | Sf min | Xs min | Ys min | Ac eff. | As eff. |
|--------|-----|--------|--------|--------|--------|--------|--------|---------|---------|
| 1 | S | 3.84 | -50.0 | 50.0 | -135.5 | -41.4 | 8.6 | 1249 | 20.1 |

COMBINAZIONI FREQUENTI IN ESERCIZIO - APERTURA FESSURE [§ 7.3.4 EC2]

| Comb. | Ver | e1 | e2 | k2 | Ø | Cf | e sm - e cm | sr max | wk | Mx fess | My fess |
|-------|-----|----------|----|-------|------|----|-------------------|--------|--------------|---------|---------|
| 1 | S | -0.00088 | 0 | 0.500 | 16.0 | 78 | 0.00041 (0.00041) | 434 | 0.176 (0.20) | 149.28 | 0.00 |

COMBINAZIONI QUASI PERMANENTI IN ESERCIZIO - MASSIME TENSIONI NORMALI ED APERTURA FESSURE (NTC/EC2)

| N°Comb | Ver | Sc max | Xc max | Yc max | Sf min | Xs min | Ys min | Ac eff. | As eff. |
|--------|-----|--------|--------|--------|--------|--------|--------|---------|---------|
| 1 | S | 3.84 | -50.0 | 50.0 | -135.5 | -41.4 | 8.6 | 1249 | 20.1 |

COMBINAZIONI QUASI PERMANENTI IN ESERCIZIO - APERTURA FESSURE [§ 7.3.4 EC2]

| Comb. | Ver | e1 | e2 | k2 | Ø | Cf | e sm - e cm | sr max | wk | Mx fess | My fess |
|-------|-----|----------|----|-------|------|----|-------------------|--------|--------------|---------|---------|
| 1 | S | -0.00088 | 0 | 0.500 | 16.0 | 78 | 0.00041 (0.00041) | 434 | 0.176 (0.20) | 149.28 | 0.00 |

13.2.2 Verifica dell'armatura orizzontale

CARATTERISTICHE DI RESISTENZA DEI MATERIALI IMPIEGATI

| | | |
|----------------|---|----------------------------|
| CALCESTRUZZO - | Classe: | C32/40 |
| | Resis. compr. di progetto fcd: | 18.810 MPa |
| | Def.unit. max resistenza ec2: | 0.0020 |
| | Def.unit. ultima ecu: | 0.0035 |
| | Diagramma tensione-deformaz.: | Parabola-Rettangolo |
| | Modulo Elastico Normale Ec: | 33643.0 MPa |
| | Resis. media a trazione fctm: | 3.100 MPa |
| | Coeff. Omogen. S.L.E.: | 15.00 |
| | Coeff. Omogen. S.L.E.: | 15.00 |
| | Sc limite S.L.E. comb. Frequenti: | 199.20 daN/cm ² |
| | Ap.Fessure limite S.L.E. comb. Frequenti: | 0.200 mm |
| | Sc limite S.L.E. comb. Q.Permanenti: | 0.00 Mpa |
| | Ap.Fess.limite S.L.E. comb. Q.Perm.: | 0.200 mm |
| ACCIAIO - | Tipo: | B450C |
| | Resist. caratt. snervam. fyk: | 450.00 MPa |
| | Resist. caratt. rottura ftk: | 450.00 MPa |
| | Resist. snerv. di progetto fyd: | 391.30 MPa |
| | Resist. ultima di progetto ftd: | 391.30 MPa |



RADDOPPIO LINEA CODOGNO – CREMONA – MANTOVA TRATTA PIADENA - MANTOVA

Relazione di calcolo spalle

| COMMESA | LOTTO | CODIFICA | DOCUMENTO | REV. | FOGLIO |
|---------|---------|----------|--------------|------|-----------|
| NM25 | 03 D 26 | CL | IV 37 04 001 | A | 80 di 439 |

| | |
|--|-----------------------------|
| Deform. ultima di progetto Epu: | 0.068 |
| Modulo Elastico Ef | 2000000 daN/cm ² |
| Diagramma tensione-deformaz.: | Bilineare finito |
| Coeff. Aderenza istantaneo $\beta_1 \cdot \beta_2$: | 1.00 |
| Coeff. Aderenza differito $\beta_1 \cdot \beta_2$: | 0.50 |
| Sf limite S.L.E. Comb. Rare: | 360.00 MPa |

CARATTERISTICHE DOMINIO CONGLOMERATO

Forma del Dominio: Poligonale
Classe Conglomerato: C32/40

| N° vertice: | X [cm] | Y [cm] |
|-------------|--------|--------|
| 1 | -50.0 | 0.0 |
| 2 | -50.0 | 50.0 |
| 3 | 50.0 | 50.0 |
| 4 | 50.0 | 0.0 |

DATI BARRE ISOLATE

| N°Barra | X [cm] | Y [cm] | DiamØ[mm] |
|---------|--------|--------|-----------|
| 1 | -43.0 | 7.0 | 16 |
| 2 | -43.0 | 43.0 | 16 |
| 3 | 43.0 | 43.0 | 16 |
| 4 | 43.0 | 7.0 | 16 |

DATI GENERAZIONI LINEARI DI BARRE

N°Gen. Numero assegnato alla singola generazione lineare di barre
N°Barra Ini. Numero della barra iniziale cui si riferisce la generazione
N°Barra Fin. Numero della barra finale cui si riferisce la generazione
N°Barre Numero di barre generate equidistanti cui si riferisce la generazione
Ø Diametro in mm delle barre della generazione

| N°Gen. | N°Barra Ini. | N°Barra Fin. | N°Barre | Ø |
|--------|--------------|--------------|---------|----|
| 1 | 1 | 4 | 8 | 16 |
| 2 | 2 | 3 | 3 | 16 |

CALCOLO DI RESISTENZA - SFORZI PER OGNI COMBINAZIONE ASSEGNATA

N Sforzo normale [kN] applicato nel Baric. (+ se di compressione)
Mx Momento flettente [kNm] intorno all'asse x princ. d'inerzia
con verso positivo se tale da comprimere il lembo sup. della sez.
My Momento flettente [kNm] intorno all'asse y princ. d'inerzia
con verso positivo se tale da comprimere il lembo destro della sez.
Vy Componente del Taglio [kN] parallela all'asse princ.d'inerzia y
Vx Componente del Taglio [kN] parallela all'asse princ.d'inerzia x

| N°Comb. | N | Mx | My | Vy | Vx |
|---------|------|--------|------|------|------|
| 1 | 0.00 | 280.00 | 0.00 | 0.00 | 0.00 |

| | | | | | | |
|---|---|------------------|----------------|---------------------------|-----------|---------------------|
|  ITALFERR GRUPPO FERROVIE DELLO STATO ITALIANE | RADDOPPIO LINEA CODOGNO – CREMONA – MANTOVA TRATTA PIADENA - MANTOVA | | | | | |
| Relazione di calcolo spalle | COMMESMA NM25 | LOTTO 03 D 26 | CODIFICA CL | DOCUMENTO IV 37 04 001 | REV. A | FOGLIO 81 di 439 |

COMB. RARE (S.L.E.) - SFORZI PER OGNI COMBINAZIONE ASSEGNATA

| | | | |
|---------|--|--------|------|
| N | Sforzo normale [kN] applicato nel Baricentro (+ se di compressione) | | |
| Mx | Momento flettente [kNm] intorno all'asse x princ. d'inerzia (tra parentesi Mom.Fessurazione) con verso positivo se tale da comprimere il lembo superiore della sezione | | |
| My | Momento flettente [kNm] intorno all'asse y princ. d'inerzia (tra parentesi Mom.Fessurazione) con verso positivo se tale da comprimere il lembo destro della sezione | | |
| N°Comb. | N | Mx | My |
| 1 | 0.00 | 120.00 | 0.00 |

COMB. FREQUENTI (S.L.E.) - SFORZI PER OGNI COMBINAZIONE ASSEGNATA

| | | | |
|---------|--|-----------------|-------------|
| N | Sforzo normale [kN] applicato nel Baricentro (+ se di compressione) | | |
| Mx | Momento flettente [kNm] intorno all'asse x princ. d'inerzia (tra parentesi Mom.Fessurazione) con verso positivo se tale da comprimere il lembo superiore della sezione | | |
| My | Momento flettente [kNm] intorno all'asse y princ. d'inerzia (tra parentesi Mom.Fessurazione) con verso positivo se tale da comprimere il lembo destro della sezione | | |
| N°Comb. | N | Mx | My |
| 1 | 0.00 | 120.00 (150.16) | 0.00 (0.00) |

COMB. QUASI PERMANENTI (S.L.E.) - SFORZI PER OGNI COMBINAZIONE ASSEGNATA

| | | | |
|---------|--|-----------------|-------------|
| N | Sforzo normale [kN] applicato nel Baricentro (+ se di compressione) | | |
| Mx | Momento flettente [kNm] intorno all'asse x princ. d'inerzia (tra parentesi Mom.Fessurazione) con verso positivo se tale da comprimere il lembo superiore della sezione | | |
| My | Momento flettente [kNm] intorno all'asse y princ. d'inerzia (tra parentesi Mom.Fessurazione) con verso positivo se tale da comprimere il lembo destro della sezione | | |
| N°Comb. | N | Mx | My |
| 1 | 0.00 | 120.00 (150.16) | 0.00 (0.00) |

RISULTATI DEL CALCOLO

Sezione verificata per tutte le combinazioni assegnate

Copriterro netto minimo barre longitudinali: 6.2 cm
 Interferro netto minimo barre longitudinali: 8.0 cm

VERIFICHE DI RESISTENZA IN PRESSO-TENSO FLESSIONE ALLO STATO LIMITE ULTIMO

| | |
|----------|---|
| Ver | S = combinazione verificata / N = combin. non verificata |
| N | Sforzo normale assegnato [kN] nel baricentro B sezione cls.(positivo se di compressione) |
| Mx | Componente del momento assegnato [kNm] riferito all'asse x princ. d'inerzia |
| My | Componente del momento assegnato [kNm] riferito all'asse y princ. d'inerzia |
| N Res | Sforzo normale resistente [kN] nel baricentro B sezione cls.(positivo se di compress.) |
| Mx Res | Momento flettente resistente [kNm] riferito all'asse x princ. d'inerzia |
| My Res | Momento flettente resistente [kNm] riferito all'asse y princ. d'inerzia |
| Mis.Sic. | Misura sicurezza = rapporto vettoriale tra (N r,Mx Res,My Res) e (N,Mx,My) |
| As Tesa | Verifica positiva se tale rapporto risulta >=1.000 Area armature trave [cm ²] in zona tesa. [Tra parentesi l'area minima ex (4.1.15)NTC] |

| N°Comb | Ver | N | Mx | My | N Res | Mx Res | My Res | Mis.Sic. | As Tesa |
|--------|-----|---|----|----|-------|--------|--------|----------|---------|
|--------|-----|---|----|----|-------|--------|--------|----------|---------|

| | | | | | | |
|---|---|------------------|----------------|---------------------------|-----------|---------------------|
|  ITALFERR GRUPPO FERROVIE DELLO STATO ITALIANE | RADDOPPIO LINEA CODOGNO – CREMONA – MANTOVA TRATTA PIADENA - MANTOVA | | | | | |
| Relazione di calcolo spalle | COMMESMA NM25 | LOTTO 03 D 26 | CODIFICA CL | DOCUMENTO IV 37 04 001 | REV. A | FOGLIO 82 di 439 |

| | | | | | | | | | |
|---|---|------|--------|------|------|--------|------|------|-----------|
| 1 | S | 0.00 | 280.00 | 0.00 | 0.00 | 324.29 | 0.00 | 1.16 | 30.2(7.7) |
|---|---|------|--------|------|------|--------|------|------|-----------|

METODO AGLI STATI LIMITE ULTIMI - DEFORMAZIONI UNITARIE ALLO STATO ULTIMO

| | |
|--------|--|
| ec max | Deform. unit. massima del conglomerato a compressione |
| x/d | Rapporto di duttilità [§ 4.1.2.1.2.1 NTC] deve essere < 0.45 |
| Xc max | Ascissa in cm della fibra corrisp. a ec max (sistema rif. X,Y,O sez.) |
| Yc max | Ordinata in cm della fibra corrisp. a ec max (sistema rif. X,Y,O sez.) |
| es min | Deform. unit. minima nell'acciaio (negativa se di trazione) |
| Xs min | Ascissa in cm della barra corrisp. a es min (sistema rif. X,Y,O sez.) |
| Ys min | Ordinata in cm della barra corrisp. a es min (sistema rif. X,Y,O sez.) |
| es max | Deform. unit. massima nell'acciaio (positiva se di compress.) |
| Xs max | Ascissa in cm della barra corrisp. a es max (sistema rif. X,Y,O sez.) |
| Ys max | Ordinata in cm della barra corrisp. a es max (sistema rif. X,Y,O sez.) |

| N°Comb | ec max | x/d | Xc max | Yc max | es min | Xs min | Ys min | es max | Xs max | Ys max |
|--------|---------|-------|--------|--------|----------|--------|--------|----------|--------|--------|
| 1 | 0.00350 | 0.139 | -50.0 | 50.0 | -0.00061 | -43.0 | 43.0 | -0.02174 | -43.0 | 7.0 |

POSIZIONE ASSE NEUTRO PER OGNI COMB. DI RESISTENZA

| | |
|---------|--|
| a, b, c | Coeff. a, b, c nell'eq. dell'asse neutro $aX+bY+c=0$ nel rif. X,Y,O gen. |
| x/d | Rappr. di duttilità (travi e solette)[§ 4.1.2.1.2.1 NTC]: deve essere < 0.45 |
| C.Rid. | Coeff. di riduz. momenti per sola flessione in travi continue |

| N°Comb | a | b | c | x/d | C.Rid. |
|--------|-------------|-------------|--------------|-------|--------|
| 1 | 0.000000000 | 0.000586889 | -0.025844446 | 0.139 | 0.700 |

COMBINAZIONI RARE IN ESERCIZIO - MASSIME TENSIONI NORMALI ED APERTURA FESSURE (NTC/EC2)

| | |
|----------------|---|
| Ver | S = comb. verificata/ N = comb. non verificata |
| Sc max | Massima tensione (positiva se di compressione) nel conglomerato [Mpa] |
| Xc max, Yc max | Ascissa, Ordinata [cm] del punto corrisp. a Sc max (sistema rif. X,Y,O) |
| Sf min | Minima tensione (negativa se di trazione) nell'acciaio [Mpa] |
| Xs min, Ys min | Ascissa, Ordinata [cm] della barra corrisp. a Sf min (sistema rif. X,Y,O) |
| Ac eff. | Area di calcestruzzo [cm^2] in zona tesa considerata aderente alle barre |
| As eff. | Area barre [cm^2] in zona tesa considerate efficaci per l'apertura delle fessure |

| N°Comb | Ver | Sc max | Xc max | Yc max | Sf min | Xs min | Ys min | Ac eff. | As eff. |
|--------|-----|--------|--------|--------|--------|--------|--------|---------|---------|
| 1 | S | 4.40 | -50.0 | 50.0 | -155.2 | -33.4 | 7.0 | 1250 | 20.1 |

COMBINAZIONI RARE IN ESERCIZIO - APERTURA FESSURE [§ 7.3.4 EC2]

| | |
|-------------|--|
| Ver. | La sezione viene assunta sempre fessurata anche nel caso in cui la trazione minima del calcestruzzo sia inferiore a fctm |
| e1 | Esito della verifica |
| e2 | Massima deformazione unitaria di trazione nel calcestruzzo (trazione -) valutata in sezione fessurata |
| k1 | Minima deformazione unitaria di trazione nel calcestruzzo (trazione -) valutata in sezione fessurata |
| = 0.8 | per barre ad aderenza migliorata [eq.(7.11)EC2] |
| k2 | = 0.4 per comb. quasi permanenti / = 0.6 per comb.frequenti [cfr. eq.(7.9)EC2] |
| k3 | = 0.5 per flessione; $= (e1 + e2)/(2 \cdot e1)$ per trazione eccentrica [eq.(7.13)EC2] |
| k4 | = 3.400 Coeff. in eq.(7.11) come da annessi nazionali |
| Ø | = 0.425 Coeff. in eq.(7.11) come da annessi nazionali |
| Cf | Diametro [mm] equivalente delle barre tese comprese nell'area efficace Ac eff [eq.(7.11)EC2] |
| e sm - e cm | Coprifero [mm] netto calcolato con riferimento alla barra più tesa |
| | Differenza tra le deformazioni medie di acciaio e calcestruzzo [(7.8)EC2 e (C4.1.7)NTC] |

Relazione di calcolo spalle

| | | | | | |
|----------|---------|----------|--------------|------|-----------|
| COMMESMA | LOTTO | CODIFICA | DOCUMENTO | REV. | FOGLIO |
| NM25 | 03 D 26 | CL | IV 37 04 001 | A | 83 di 439 |

sr max Tra parentesi: valore minimo = 0.6 Smax / Es [(7.9)EC2 e (C4.1.8)NTC]

Massima distanza tra le fessure [mm]

wk Apertura fessure in mm calcolata = sr max*(e_sm - e_cm) [(7.8)EC2 e (C4.1.7)NTC]. Valore limite tra parentesi

Mx fess. Componente momento di prima fessurazione intorno all'asse X [kNm]

My fess. Componente momento di prima fessurazione intorno all'asse Y [kNm]

| Comb. | Ver | e1 | e2 | k2 | Ø | Cf | e sm - e cm | sr max | wk | Mx fess | My fess |
|-------|-----|----------|----|-------|------|----|-------------------|--------|--------------|---------|---------|
| 1 | S | -0.00096 | 0 | 0.500 | 16.0 | 62 | 0.00047 (0.00047) | 380 | 0.177 (0.20) | 150.16 | 0.00 |

COMBINAZIONI FREQUENTI IN ESERCIZIO - MASSIME TENSIONI NORMALI ED APERTURA FESSURE (NTC/EC2)

| N°Comb | Ver | Sc max | Xc max | Yc max | Sf min | Xs min | Ys min | Ac eff. | As eff. |
|--------|-----|--------|--------|--------|--------|--------|--------|---------|---------|
| 1 | S | 4.40 | -50.0 | 50.0 | -155.2 | -33.4 | 7.0 | 1250 | 20.1 |

COMBINAZIONI FREQUENTI IN ESERCIZIO - APERTURA FESSURE [§ 7.3.4 EC2]

| Comb. | Ver | e1 | e2 | k2 | Ø | Cf | e sm - e cm | sr max | wk | Mx fess | My fess |
|-------|-----|----------|----|-------|------|----|-------------------|--------|--------------|---------|---------|
| 1 | S | -0.00096 | 0 | 0.500 | 16.0 | 62 | 0.00047 (0.00047) | 380 | 0.177 (0.20) | 150.16 | 0.00 |

COMBINAZIONI QUASI PERMANENTI IN ESERCIZIO - MASSIME TENSIONI NORMALI ED APERTURA FESSURE (NTC/EC2)

| N°Comb | Ver | Sc max | Xc max | Yc max | Sf min | Xs min | Ys min | Ac eff. | As eff. |
|--------|-----|--------|--------|--------|--------|--------|--------|---------|---------|
| 1 | S | 4.40 | -50.0 | 50.0 | -155.2 | -33.4 | 7.0 | 1250 | 20.1 |

COMBINAZIONI QUASI PERMANENTI IN ESERCIZIO - APERTURA FESSURE [§ 7.3.4 EC2]

| Comb. | Ver | e1 | e2 | k2 | Ø | Cf | e sm - e cm | sr max | wk | Mx fess | My fess |
|-------|-----|----------|----|-------|------|----|-------------------|--------|--------------|---------|---------|
| 1 | S | -0.00096 | 0 | 0.500 | 16.0 | 62 | 0.00047 (0.00047) | 380 | 0.177 (0.20) | 150.16 | 0.00 |

Relazione di calcolo spalle

COMMESA LOTTO CODIFICA DOCUMENTO REV. FOGLIO
NM25 03 D 26 CL IV 37 04 001 A 84 di 439

13.2.3 Verifica a taglio

| SEZIONE | | | |
|----------------|---|-----|---------|
| b _w | = | 100 | cm |
| h | = | 50 | cm |
| c | = | 7 | cm |
| d | = | h-c | = 43 cm |

| MATERIALI | | | |
|------------------|---|--------------------------------------|-------------|
| f _{ywd} | = | 391.30 | MPa |
| R _{ck} | = | 40 | MPa |
| γ _c | = | 1.5 | |
| f _{ck} | = | 0.83xR _{ck} | = 33.2 MPa |
| f _{cd} | = | 0.85xf _{ck} /γ _c | = 18.81 MPa |

| ARMATURE A TAGLIO | | | |
|-----------------------|---|--------|--------------------------|
| Ø _{st} | = | 12 | |
| braccia | = | 5 | |
| Ø _{st2} | = | 0 | |
| braccia | = | 0 | |
| passo | = | 40 | cm |
| (A _{sw} / s) | = | 14.137 | cm ² / m |
| α | = | 90 | ° (90° staffe verticali) |

| | | | |
|----------------|-------------------|--------|------|
| TAGLIO AGENTE | V _{Ed} = | 530 | (KN) |
| SFORZO NORMALE | N _{ed} = | 0 | (KN) |
| | α _c = | 1.0000 | |

Relazione di calcolo spalle

COMMESA LOTTO CODIFICA DOCUMENTO REV. FOGLIO
NM25 03 D 26 CL IV 37 04 001 A 85 di 439

ELEMENTI CON ARMATURA A TAGLIO
Calcolo di cot θ

$$\cot(\theta) = 4.00$$

$$\theta = 14.03^\circ$$

IPOTESI 1 $1 \leq \cot \theta \leq 2.5$ Rottura bilanciata $V_{Rsd} = V_{Rcd}$

$$V_{Rsd} = 856.46 \text{ (kN)} \quad 0,9 \cdot d \cdot \frac{A_{sw}}{s} \cdot f_{yd} \cdot (\operatorname{ctg}\alpha + \operatorname{ctg}\theta) \cdot \sin \alpha$$

$$V_{Rcd} = 856.46 \text{ (kN)} \quad 0,9 \cdot d \cdot b_w \cdot \alpha_c \cdot f'_{cd} \cdot (\operatorname{ctg}\alpha + \operatorname{ctg}\theta) / (1 + \operatorname{ctg}^2 \theta)$$

$$V_{Rd} = 856 \text{ (kN)} \quad \min(V_{Rsd}, V_{Rcd})$$

IPOTESI 2 $\cot \vartheta > 2,5$ Si assume $\vartheta = 21,8^\circ$
Armatura trasversale

$$V_{Rsd} = 535.21 \text{ (kN)} \quad 0,9 \cdot d \cdot \frac{A_{sw}}{s} \cdot f_{yd} \cdot (\operatorname{ctg}\alpha + \operatorname{ctg}\theta) \cdot \sin \alpha$$

$$V_{Rcd} = 1255.30 \text{ (kN)} \quad 0,9 \cdot d \cdot b_w \cdot \alpha_c \cdot f'_{cd} \cdot (\operatorname{ctg}\alpha + \operatorname{ctg}\theta) / (1 + \operatorname{ctg}^2 \theta)$$

$$V_{Rd} = 535 \text{ (kN)} \quad \min(V_{Rsd}, V_{Rcd})$$

IPOTESI 3 $\operatorname{Cot} \vartheta = 1$ $\vartheta = 45^\circ$
Armatura trasversale

$$V_{Rsd} = 214.09 \text{ (kN)} \quad 0,9 \cdot d \cdot \frac{A_{sw}}{s} \cdot f_{yd} \cdot (\operatorname{ctg}\alpha + \operatorname{ctg}\theta) \cdot \sin \alpha$$

$$V_{Rcd} = 1820.19 \text{ (kN)} \quad 0,9 \cdot d \cdot b_w \cdot \alpha_c \cdot f'_{cd} \cdot (\operatorname{ctg}\alpha + \operatorname{ctg}\theta) / (1 + \operatorname{ctg}^2 \theta)$$

$$V_{Rd} = 214.09 \text{ (kN)} \quad \min(V_{Rsd}, V_{Rcd})$$

| | |
|--|--|
|  ITALFERR GRUPPO FERROVIE DELLO STATO ITALIANE | RADDOPPIO LINEA CODOGNO – CREMONA – MANTOVA TRATTA PIADENA - MANTOVA |
| Relazione di calcolo spalle | COMMESA LOTTO CODIFICA DOCUMENTO REV. FOGLIO NM25 03 D 26 CL IV 37 04 001 A 86 di 439 |

13.3 MURI ANDATORI

Si riassume di seguito l'armatura adottata.

| ARMATURA | | |
|--------------------|----------------------|-------------------------------|
| Armatura verticale | Armatura orizzontale | Armatura taglio |
| Arm. tesa | Arm. tesa | $\varnothing 14/20 \times 40$ |
| 10Ø26 | 10Ø26 | |
| Arm. Compressa | Arm. Compressa | |
| 10Ø20 | 10Ø20 | |

La sezione risulta verificata con l'armatura prevista.

13.3.1 Verifica dell'armatura verticale

CARATTERISTICHE DI RESISTENZA DEI MATERIALI IMPIEGATI

| | | |
|----------------|---|-----------------------------|
| CALCESTRUZZO - | Classe: | C32/40 |
| | Resis. compr. di progetto fcd: | 18.810 MPa |
| | Def.unit. max resistenza ec2: | 0.0020 |
| | Def.unit. ultima ecu: | 0.0035 |
| | Diagramma tensione-deformaz.: | Parabola-Rettangolo |
| | Modulo Elastico Normale Ec: | 33643.0 MPa |
| | Resis. media a trazione fctm: | 3.100 MPa |
| | Coeff. Omogen. S.L.E.: | 15.00 |
| | Coeff. Omogen. S.L.E.: | 15.00 |
| | Sc limite S.L.E. comb. Frequenti: | 199.20 daN/cm ² |
| | Ap.Fessure limite S.L.E. comb. Frequenti: | 0.200 mm |
| | Sc limite S.L.E. comb. Q.Permanenti: | 0.00 Mpa |
| | Ap.Fess.limite S.L.E. comb. Q.Perm.: | 0.200 mm |
| ACCIAIO - | Tipo: | B450C |
| | Resist. caratt. snervam. fyk: | 450.00 MPa |
| | Resist. caratt. rottura ftk: | 450.00 MPa |
| | Resist. snerv. di progetto fyd: | 391.30 MPa |
| | Resist. ultima di progetto ftd: | 391.30 MPa |
| | Deform. ultima di progetto Epu: | 0.068 |
| | Modulo Elastico Ef | 2000000 daN/cm ² |
| | Diagramma tensione-deformaz.: | Bilineare finito |

| | | | | | | |
|---|---|--|--|--|--|--|
|  ITALFERR GRUPPO FERROVIE DELLO STATO ITALIANE | RADDOPPIO LINEA CODOGNO – CREMONA – MANTOVA TRATTA PIADENA - MANTOVA | | | | | |
| Relazione di calcolo spalle | COMMESSA LOTTO CODIFICA DOCUMENTO REV. FOGLIO NM25 03 D 26 CL IV 37 04 001 A 87 di 439 | | | | | |

Coeff. Aderenza istantaneo $\beta_1 \cdot \beta_2$: 1.00
 Coeff. Aderenza differito $\beta_1 \cdot \beta_2$: 0.50
 Sf limite S.L.E. Comb. Rare: 360.00 MPa

CARATTERISTICHE DOMINIO CONGLOMERATO

Forma del Dominio: Poligonale
 Classe Conglomerato: C32/40

| N° vertice: | X [cm] | Y [cm] |
|-------------|--------|--------|
| 1 | -50.0 | 0.0 |
| 2 | -50.0 | 100.0 |
| 3 | 50.0 | 100.0 |
| 4 | 50.0 | 0.0 |

DATI BARRE ISOLATE

| N°Barra | X [cm] | Y [cm] | DiamØ[mm] |
|---------|--------|--------|-----------|
| 1 | -39.7 | 10.3 | 26 |
| 2 | -39.7 | 89.7 | 20 |
| 3 | 39.7 | 89.7 | 20 |
| 4 | 39.7 | 10.3 | 26 |

DATI GENERAZIONI LINEARI DI BARRE

N°Gen. Numero assegnato alla singola generazione lineare di barre
 N°Barra Ini. Numero della barra iniziale cui si riferisce la generazione
 N°Barra Fin. Numero della barra finale cui si riferisce la generazione
 N°Barre Numero di barre generate equidistanti cui si riferisce la generazione
 Ø Diametro in mm delle barre della generazione

| N°Gen. | N°Barra Ini. | N°Barra Fin. | N°Barre | Ø |
|--------|--------------|--------------|---------|----|
| 1 | 1 | 4 | 8 | 26 |
| 2 | 2 | 3 | 8 | 20 |

CALCOLO DI RESISTENZA - SFORZI PER OGNI COMBINAZIONE ASSEGNATA

N Sforzo normale [kN] applicato nel Baric. (+ se di compressione)
 Mx Momento flettente [kNm] intorno all'asse x princ. d'inerzia
 con verso positivo se tale da comprimere il lembo sup. della sez.
 My Momento flettente [kNm] intorno all'asse y princ. d'inerzia
 con verso positivo se tale da comprimere il lembo destro della sez.
 Vy Componente del Taglio [kN] parallela all'asse princ.d'inerzia y
 Vx Componente del Taglio [kN] parallela all'asse princ.d'inerzia x

| N°Comb. | N | Mx | My | Vy | Vx |
|---------|------|---------|------|------|------|
| 1 | 0.00 | 1500.00 | 0.00 | 0.00 | 0.00 |

COMB. RARE (S.L.E.) - SFORZI PER OGNI COMBINAZIONE ASSEGNATA



**RADDOPPIO LINEA CODOGNO – CREMONA – MANTOVA
TRATTA PIADENA - MANTOVA**

Relazione di calcolo spalle

| | | | | | |
|---------|---------|----------|--------------|------|-----------|
| COMMESA | LOTTO | CODIFICA | DOCUMENTO | REV. | FOGLIO |
| NM25 | 03 D 26 | CL | IV 37 04 001 | A | 88 di 439 |

N Sforzo normale [kN] applicato nel Baricentro (+ se di compressione)
 Mx Momento flettente [kNm] intorno all'asse x princ. d'inerzia (tra parentesi Mom.Fessurazione)
 con verso positivo se tale da comprimere il lembo superiore della sezione
 My Momento flettente [kNm] intorno all'asse y princ. d'inerzia (tra parentesi Mom.Fessurazione)
 con verso positivo se tale da comprimere il lembo destro della sezione

| | | | |
|---------|------|--------|------|
| N°Comb. | N | Mx | My |
| 1 | 0.00 | 500.00 | 0.00 |

COMB. FREQUENTI (S.L.E.) - SFORZI PER OGNI COMBINAZIONE ASSEGNA

N Sforzo normale [kN] applicato nel Baricentro (+ se di compressione)
 Mx Momento flettente [kNm] intorno all'asse x princ. d'inerzia (tra parentesi Mom.Fessurazione)
 con verso positivo se tale da comprimere il lembo superiore della sezione
 My Momento flettente [kNm] intorno all'asse y princ. d'inerzia (tra parentesi Mom.Fessurazione)
 con verso positivo se tale da comprimere il lembo destro della sezione

| | | | |
|---------|------|-----------------|-------------|
| N°Comb. | N | Mx | My |
| 1 | 0.00 | 500.00 (654.62) | 0.00 (0.00) |

COMB. QUASI PERMANENTI (S.L.E.) - SFORZI PER OGNI COMBINAZIONE ASSEGNA

N Sforzo normale [kN] applicato nel Baricentro (+ se di compressione)
 Mx Momento flettente [kNm] intorno all'asse x princ. d'inerzia (tra parentesi Mom.Fessurazione)
 con verso positivo se tale da comprimere il lembo superiore della sezione
 My Momento flettente [kNm] intorno all'asse y princ. d'inerzia (tra parentesi Mom.Fessurazione)
 con verso positivo se tale da comprimere il lembo destro della sezione

| | | | |
|---------|------|-----------------|-------------|
| N°Comb. | N | Mx | My |
| 1 | 0.00 | 500.00 (654.62) | 0.00 (0.00) |

RISULTATI DEL CALCOLO

Sezione verificata per tutte le combinazioni assegnate

Coprifero netto minimo barre longitudinali: 9.0 cm
 Interferro netto minimo barre longitudinali: 6.2 cm

VERIFICHE DI RESISTENZA IN PRESSO-TENSO FLESSIONE ALLO STATO LIMITE ULTIMO

Ver S = combinazione verificata / N = combin. non verificata
 N Sforzo normale assegnato [kN] nel baricentro B sezione cls.(positivo se di compressione)
 Mx Componente del momento assegnato [kNm] riferito all'asse x princ. d'inerzia
 My Componente del momento assegnato [kNm] riferito all'asse y princ. d'inerzia
 N Res Sforzo normale resistente [kN] nel baricentro B sezione cls.(positivo se di compress.)
 Mx Res Momento flettente resistente [kNm] riferito all'asse x princ. d'inerzia
 My Res Momento flettente resistente [kNm] riferito all'asse y princ. d'inerzia
 Mis.Sic. Misura sicurezza = rapporto vettoriale tra (N r,Mx Res,My Res) e (N,Mx,My)
 Verifica positiva se tale rapporto risulta >=1.000
 As Tesa Area armature trave [cm^2] in zona tesa. [Tra parentesi l'area minima ex (4.1.15)NTC]

| N°Comb | Ver | N | Mx | My | N Res | Mx Res | My Res | Mis.Sic. | As Tesa |
|--------|-----|------|---------|------|-------|---------|--------|----------|------------|
| 1 | S | 0.00 | 1500.00 | 0.00 | 0.00 | 1746.38 | 0.00 | 1.16 | 53.1(16.1) |

| | | | | | | |
|---|---|------------------|----------------|---------------------------|-----------|---------------------|
|  ITALFERR GRUPPO FERROVIE DELLO STATO ITALIANE | RADDOPPIO LINEA CODOGNO – CREMONA – MANTOVA TRATTA PIADENA - MANTOVA | | | | | |
| Relazione di calcolo spalle | COMMESMA NM25 | LOTTO 03 D 26 | CODIFICA CL | DOCUMENTO IV 37 04 001 | REV. A | FOGLIO 89 di 439 |

METODO AGLI STATI LIMITE ULTIMI - DEFORMAZIONI UNITARIE ALLO STATO ULTIMO

| | |
|--------|--|
| ec max | Deform. unit. massima del conglomerato a compressione |
| x/d | Rapporto di duttilità [§ 4.1.2.1.2.1 NTC] deve essere < 0.45 |
| Xc max | Ascissa in cm della fibra corrisp. a ec max (sistema rif. X,Y,O sez.) |
| Yc max | Ordinata in cm della fibra corrisp. a ec max (sistema rif. X,Y,O sez.) |
| es min | Deform. unit. minima nell'acciaio (negativa se di trazione) |
| Xs min | Ascissa in cm della barra corrisp. a es min (sistema rif. X,Y,O sez.) |
| Ys min | Ordinata in cm della barra corrisp. a es min (sistema rif. X,Y,O sez.) |
| es max | Deform. unit. massima nell'acciaio (positiva se di compress.) |
| Xs max | Ascissa in cm della barra corrisp. a es max (sistema rif. X,Y,O sez.) |
| Ys max | Ordinata in cm della barra corrisp. a es max (sistema rif. X,Y,O sez.) |

| N°Comb | ec max | x/d | Xc max | Yc max | es min | Xs min | Ys min | es max | Xs max | Ys max |
|--------|---------|-------|--------|--------|---------|--------|--------|----------|--------|--------|
| 1 | 0.00350 | 0.132 | -50.0 | 100.0 | 0.00045 | -39.7 | 89.7 | -0.02309 | -39.7 | 10.3 |

POSIZIONE ASSE NEUTRO PER OGNI COMB. DI RESISTENZA

| | |
|---------|---|
| a, b, c | Coeff. a, b, c nell'eq. dell'asse neutro $aX+bY+c=0$ nel rif. X,Y,O gen. |
| x/d | Rapp. di duttilità (travi e solette)[§ 4.1.2.1.2.1 NTC]: deve essere < 0.45 |
| C.Rid. | Coeff. di riduz. momenti per sola flessione in travi continue |

| N°Comb | a | b | c | x/d | C.Rid. |
|--------|-------------|-------------|--------------|-------|--------|
| 1 | 0.000000000 | 0.000296488 | -0.026148768 | 0.132 | 0.700 |

COMBINAZIONI RARE IN ESERCIZIO - MASSIME TENSIONI NORMALI ED APERTURA FESSURE (NTC/EC2)

| | |
|----------------|---|
| Ver | S = comb. verificata/ N = comb. non verificata |
| Sc max | Massima tensione (positiva se di compressione) nel conglomerato [Mpa] |
| Xc max, Yc max | Ascissa, Ordinata [cm] del punto corrisp. a Sc max (sistema rif. X,Y,O) |
| Sf min | Minima tensione (negativa se di trazione) nell'acciaio [Mpa] |
| Xs min, Ys min | Ascissa, Ordinata [cm] della barra corrisp. a Sf min (sistema rif. X,Y,O) |
| Ac eff. | Area di calcestruzzo [cm^2] in zona tesa considerata aderente alle barre |
| As eff. | Area barre [cm^2] in zona tesa considerate efficaci per l'apertura delle fessure |

| N°Comb | Ver | Sc max | Xc max | Yc max | Sf min | Xs min | Ys min | Ac eff. | As eff. |
|--------|-----|--------|--------|--------|--------|--------|--------|---------|---------|
| 1 | S | 3.63 | 50.0 | 100.0 | -117.6 | -4.4 | 10.3 | 2400 | 53.1 |

COMBINAZIONI RARE IN ESERCIZIO - APERTURA FESSURE [§ 7.3.4 EC2]

| | |
|-------------|---|
| Ver. | La sezione viene assunta sempre fessurata anche nel caso in cui la trazione minima del calcestruzzo sia inferiore a f_{ctm} Esito della verifica |
| e1 | Massima deformazione unitaria di trazione nel calcestruzzo (trazione -) valutata in sezione fessurata |
| e2 | Minima deformazione unitaria di trazione nel calcestruzzo (trazione -) valutata in sezione fessurata |
| k1 | = 0.8 per barre ad aderenza migliorata [eq.(7.11)EC2] |
| kt | = 0.4 per comb. quasi permanenti / = 0.6 per comb. frequenti [cfr. eq.(7.9)EC2] |
| k2 | = 0.5 per flessione; $= (e1 + e2)/(2 \cdot k_1)$ per trazione eccentrica [eq.(7.13)EC2] |
| k3 | = 3.400 Coeff. in eq.(7.11) come da annessi nazionali |
| k4 | = 0.425 Coeff. in eq.(7.11) come da annessi nazionali |
| \emptyset | Diametro [mm] equivalente delle barre tese comprese nell'area efficace Ac_{eff} [eq.(7.11)EC2] |
| Cf | Coprifero [mm] netto calcolato con riferimento alla barra più tesa |
| e_sm - e_cm | Differenza tra le deformazioni medie di acciaio e calcestruzzo [(7.8)EC2 e (C4.1.7)NTC] Tra parentesi: valore minimo = 0.6 S_{max} / Es [(7.9)EC2 e (C4.1.8)NTC] |
| sr_max | Massima distanza tra le fessure [mm] |
| wk | Apertura fessure in mm calcolata = $sr_{max} * (e_{sm} - e_{cm})$ [(7.8)EC2 e (C4.1.7)NTC]. Valore limite tra parentesi |



**RADDOPPIO LINEA CODOGNO – CREMONA – MANTOVA
TRATTA PIADENA - MANTOVA**

Relazione di calcolo spalle

| COMMESMA NM25 | LOTTO 03 D 26 | CODIFICA CL | DOCUMENTO IV 37 04 001 | REV. A | FOGLIO 90 di 439 |
|------------------|------------------|----------------|---------------------------|-----------|---------------------|
|------------------|------------------|----------------|---------------------------|-----------|---------------------|

| | | | | | | | | | | | |
|----------|---|----------|----|-------|------|----|-------------------|--------|--------------|---------|---------|
| Mx fess. | Componente momento di prima fessurazione intorno all'asse X [kNm] | | | | | | | | | | |
| My fess. | Componente momento di prima fessurazione intorno all'asse Y [kNm] | | | | | | | | | | |
| Comb. | Ver | e1 | e2 | k2 | Ø | Cf | e sm - e cm | sr max | wk | Mx fess | My fess |
| 1 | S | -0.00069 | 0 | 0.500 | 26.0 | 90 | 0.00035 (0.00035) | 506 | 0.178 (0.20) | 654.62 | 0.00 |

COMBINAZIONI FREQUENTI IN ESERCIZIO - MASSIME TENSIONI NORMALI ED APERTURA FESSURE (NTC/EC2)

| N°Comb | Ver | Sc max | Xc max | Yc max | Sf min | Xs min | Ys min | Ac eff. | As eff. |
|--------|-----|--------|--------|--------|--------|--------|--------|---------|---------|
| 1 | S | 3.63 | 50.0 | 100.0 | -117.6 | -4.4 | 10.3 | 2400 | 53.1 |

COMBINAZIONI FREQUENTI IN ESERCIZIO - APERTURA FESSURE [§ 7.3.4 EC2]

| | | | | | | | | | | | |
|-------|-----|----------|----|-------|------|----|-------------------|--------|--------------|---------|---------|
| Comb. | Ver | e1 | e2 | k2 | Ø | Cf | e sm - e cm | sr max | wk | Mx fess | My fess |
| 1 | S | -0.00069 | 0 | 0.500 | 26.0 | 90 | 0.00035 (0.00035) | 506 | 0.178 (0.20) | 654.62 | 0.00 |

COMBINAZIONI QUASI PERMANENTI IN ESERCIZIO - MASSIME TENSIONI NORMALI ED APERTURA FESSURE (NTC/EC2)

| N°Comb | Ver | Sc max | Xc max | Yc max | Sf min | Xs min | Ys min | Ac eff. | As eff. |
|--------|-----|--------|--------|--------|--------|--------|--------|---------|---------|
| 1 | S | 3.63 | 50.0 | 100.0 | -117.6 | -4.4 | 10.3 | 2400 | 53.1 |

COMBINAZIONI QUASI PERMANENTI IN ESERCIZIO - APERTURA FESSURE [§ 7.3.4 EC2]

| | | | | | | | | | | | |
|-------|-----|----------|----|-------|------|----|-------------------|--------|--------------|---------|---------|
| Comb. | Ver | e1 | e2 | k2 | Ø | Cf | e sm - e cm | sr max | wk | Mx fess | My fess |
| 1 | S | -0.00069 | 0 | 0.500 | 26.0 | 90 | 0.00035 (0.00035) | 506 | 0.178 (0.20) | 654.62 | 0.00 |

13.3.2 Verifica dell'armatura orizzontale

CARATTERISTICHE DI RESISTENZA DEI MATERIALI IMPIEGATI

| | | |
|----------------|---|----------------------------|
| CALCESTRUZZO - | Classe: | C32/40 |
| | Resis. compr. di progetto fcd: | 18.810 MPa |
| | Def.unit. max resistenza ec2: | 0.0020 |
| | Def.unit. ultima ecu: | 0.0035 |
| | Diagramma tensione-deformaz.: | Parabola-Rettangolo |
| | Modulo Elastico Normale Ec: | 33643.0 MPa |
| | Resis. media a trazione fctm: | 3.100 MPa |
| | Coeff. Omogen. S.L.E.: | 15.00 |
| | Coeff. Omogen. S.L.E.: | 15.00 |
| | Sc limite S.L.E. comb. Frequenti: | 199.20 daN/cm ² |
| ACCIAIO - | Ap.Fessure limite S.L.E. comb. Frequenti: | 0.200 mm |
| | Sc limite S.L.E. comb. Q.Permanenti: | 0.00 Mpa |
| | Ap.Fess.limite S.L.E. comb. Q.Perm.: | 0.200 mm |
| | Tipo: | B450C |
| | Resist. caratt. snervam. fyk: | 450.00 MPa |



RADDOPPIO LINEA CODOGNO – CREMONA – MANTOVA TRATTA PIADENA - MANTOVA

Relazione di calcolo spalle

| COMMESMA | LOTTO | CODIFICA | DOCUMENTO | REV. | FOGLIO |
|----------|---------|----------|--------------|------|-----------|
| NM25 | 03 D 26 | CL | IV 37 04 001 | A | 91 di 439 |

| | | |
|--|------------------|---------------------|
| Modulo Elastico Ef | 2000000 | daN/cm ² |
| Diagramma tensione-deformaz.: | Bilineare finito | |
| Coeff. Aderenza istantaneo $\beta_1 \cdot \beta_2$: | 1.00 | |
| Coeff. Aderenza differito $\beta_1 \cdot \beta_2$: | 0.50 | |
| Sf limite S.L.E. Comb. Rare: | 360.00 | MPa |

CARATTERISTICHE DOMINIO CONGLOMERATO

Forma del Dominio: Poligonale
Classe Conglomerato: C32/40

| N° vertice: | X [cm] | Y [cm] |
|-------------|--------|--------|
| 1 | -50.0 | 0.0 |
| 2 | -50.0 | 100.0 |
| 3 | 50.0 | 100.0 |
| 4 | 50.0 | 0.0 |

DATI BARRE ISOLATE

| N°Barra | X [cm] | Y [cm] | Diam Ø [mm] |
|---------|--------|--------|-------------|
| 1 | -42.3 | 7.7 | 26 |
| 2 | -42.3 | 92.3 | 20 |
| 3 | 42.3 | 92.3 | 20 |
| 4 | 42.3 | 7.7 | 26 |

DATI GENERAZIONI LINEARI DI BARRE

| | |
|--------------|---|
| N°Gen. | Numero assegnato alla singola generazione lineare di barre |
| N°Barra Ini. | Numero della barra iniziale cui si riferisce la generazione |
| N°Barra Fin. | Numero della barra finale cui si riferisce la generazione |
| N°Barre | Numero di barre generate equidistanti cui si riferisce la generazione |
| Ø | Diametro in mm delle barre della generazione |

| N°Gen. | N°Barra Ini. | N°Barra Fin. | N°Barre | Ø |
|--------|--------------|--------------|---------|----|
| 1 | 1 | 4 | 8 | 26 |
| 2 | 2 | 3 | 8 | 20 |

CALCOLO DI RESISTENZA - SFORZI PER OGNI COMBINAZIONE ASSEGNA

| | |
|----|--|
| N | Sforzo normale [kN] applicato nel Baric. (+ se di compressione) |
| Mx | Momento flettente [kNm] intorno all'asse x princ. d'inerzia con verso positivo se tale da comprimere il lembo sup. della sez. |
| My | Momento flettente [kNm] intorno all'asse y princ. d'inerzia con verso positivo se tale da comprimere il lembo destro della sez. |
| Vy | Componente del Taglio [kN] parallela all'asse princ.d'inerzia y |
| Vx | Componente del Taglio [kN] parallela all'asse princ.d'inerzia x |

| N°Comb. | N | Mx | My | Vy | Vx |
|---------|------|---------|------|------|------|
| 1 | 0.00 | 1600.00 | 0.00 | 0.00 | 0.00 |

COMB. RARE (S.L.E.) - SFORZI PER OGNI COMBINAZIONE ASSEGNA



RADDOPPIO LINEA CODOGNO – CREMONA – MANTOVA TRATTA PIADENA - MANTOVA

Relazione di calcolo spalle

| | | | | | |
|---------|---------|----------|--------------|------|-----------|
| COMMESA | LOTTO | CODIFICA | DOCUMENTO | REV. | FOGLIO |
| NM25 | 03 D 26 | CL | IV 37 04 001 | A | 92 di 439 |

| | |
|----|---|
| N | Sforzo normale [kN] applicato nel Baricentro (+ se di compressione) |
| Mx | Momento flettente [kNm] intorno all'asse x princ. d'inerzia (tra parentesi Mom.Fessurazione) con verso positivo se tale da comprimere il lembo superiore della sezione |
| My | Momento flettente [kNm] intorno all'asse y princ. d'inerzia (tra parentesi Mom.Fessurazione) con verso positivo se tale da comprimere il lembo destro della sezione |

| N°Comb. | N | Mx | My |
|---------|------|--------|------|
| 1 | 0.00 | 700.00 | 0.00 |

COMB. FREQUENTI (S.L.E.) - SFORZI PER OGNI COMBINAZIONE ASSEGNA

| | |
|----|---|
| N | Sforzo normale [kN] applicato nel Baricentro (+ se di compressione) |
| Mx | Momento flettente [kNm] intorno all'asse x princ. d'inerzia (tra parentesi Mom.Fessurazione) con verso positivo se tale da comprimere il lembo superiore della sezione |
| My | Momento flettente [kNm] intorno all'asse y princ. d'inerzia (tra parentesi Mom.Fessurazione) con verso positivo se tale da comprimere il lembo destro della sezione |

| N°Comb. | N | Mx | My |
|---------|------|-----------------|-------------|
| 1 | 0.00 | 700.00 (672.67) | 0.00 (0.00) |

COMB. QUASI PERMANENTI (S.L.E.) - SFORZI PER OGNI COMBINAZIONE ASSEGNA

| | |
|----|---|
| N | Sforzo normale [kN] applicato nel Baricentro (+ se di compressione) |
| Mx | Momento flettente [kNm] intorno all'asse x princ. d'inerzia (tra parentesi Mom.Fessurazione) con verso positivo se tale da comprimere il lembo superiore della sezione |
| My | Momento flettente [kNm] intorno all'asse y princ. d'inerzia (tra parentesi Mom.Fessurazione) con verso positivo se tale da comprimere il lembo destro della sezione |

| N°Comb. | N | Mx | My |
|---------|------|-----------------|-------------|
| 1 | 0.00 | 600.00 (672.67) | 0.00 (0.00) |

RISULTATI DEL CALCOLO

Sezione verificata per tutte le combinazioni assegnate

Coprifero netto minimo barre longitudinali: 6.4 cm
 Interferro netto minimo barre longitudinali: 6.8 cm

VERIFICHE DI RESISTENZA IN PRESSO-TENSO FLESSIONE ALLO STATO LIMITE ULTIMO

| | |
|----------|--|
| Ver | S = combinazione verificata / N = combin. non verificata |
| N | Sforzo normale assegnato [kN] nel baricentro B sezione cls.(positivo se di compressione) |
| Mx | Componente del momento assegnato [kNm] riferito all'asse x princ. d'inerzia |
| My | Componente del momento assegnato [kNm] riferito all'asse y princ. d'inerzia |
| N Res | Sforzo normale resistente [kN] nel baricentro B sezione cls.(positivo se di compress.) |
| Mx Res | Momento flettente resistente [kNm] riferito all'asse x princ. d'inerzia |
| My Res | Momento flettente resistente [kNm] riferito all'asse y princ. d'inerzia |
| Mis.Sic. | Misura sicurezza = rapporto vettoriale tra (N r,Mx Res,My Res) e (N,Mx,My) |
| | Verifica positiva se tale rapporto risulta ≥ 1.00 |
| As Tesa | Area armature trave [cm^2] in zona tesa. [Tra parentesi l'area minima ex (4.1.15)NTC] |

| | | | | | | | | | |
|--------|-----|---|----|----|-------|--------|--------|----------|---------|
| N°Comb | Ver | N | Mx | My | N Res | Mx Res | My Res | Mis.Sic. | As Tesa |
|--------|-----|---|----|----|-------|--------|--------|----------|---------|

| | | | | | | |
|---|---|------------------|----------------|---------------------------|-----------|---------------------|
|  ITALFERR GRUPPO FERROVIE DELLO STATO ITALIANE | RADDOPPIO LINEA CODOGNO – CREMONA – MANTOVA TRATTA PIADENA - MANTOVA | | | | | |
| Relazione di calcolo spalle | COMMESA NM25 | LOTTO 03 D 26 | CODIFICA CL | DOCUMENTO IV 37 04 001 | REV. A | FOGLIO 93 di 439 |

1 S 0.00 1600.00 0.00 0.00 1811.43 0.00 1.13 53.1(16.5)

METODO AGLI STATI LIMITE ULTIMI - DEFORMAZIONI UNITARIE ALLO STATO ULTIMO

| | |
|--------|--|
| ec max | Deform. unit. massima del conglomerato a compressione |
| x/d | Rapporto di duttilità [§ 4.1.2.1.2.1 NTC] deve essere < 0.45 |
| Xc max | Ascissa in cm della fibra corrisp. a ec max (sistema rif. X,Y,O sez.) |
| Yc max | Ordinata in cm della fibra corrisp. a ec max (sistema rif. X,Y,O sez.) |
| es min | Deform. unit. minima nell'acciaio (negativa se di trazione) |
| Xs min | Ascissa in cm della barra corrisp. a es min (sistema rif. X,Y,O sez.) |
| Ys min | Ordinata in cm della barra corrisp. a es min (sistema rif. X,Y,O sez.) |
| es max | Deform. unit. massima nell'acciaio (positiva se di compress.) |
| Xs max | Ascissa in cm della barra corrisp. a es max (sistema rif. X,Y,O sez.) |
| Ys max | Ordinata in cm della barra corrisp. a es max (sistema rif. X,Y,O sez.) |

| N°Comb | ec max | x/d | Xc max | Yc max | es min | Xs min | Ys min | es max | Xs max | Ys max |
|--------|---------|-------|--------|--------|---------|--------|--------|----------|--------|--------|
| 1 | 0.00350 | 0.110 | -50.0 | 100.0 | 0.00085 | -42.3 | 92.3 | -0.02831 | -42.3 | 7.7 |

POSIZIONE ASSE NEUTRO PER OGNI COMB. DI RESISTENZA

| | |
|---------|---|
| a, b, c | Coeff. a, b, c nell'eq. dell'asse neutro $aX+bY+c=0$ nel rif. X,Y,O gen. |
| x/d | Rapp. di duttilità (travi e solette)[§ 4.1.2.1.2.1 NTC]: deve essere < 0.45 |
| C.Rid. | Coeff. di riduz. momenti per sola flessione in travi continue |

| N°Comb | a | b | c | x/d | C.Rid. |
|--------|-------------|-------------|--------------|-------|--------|
| 1 | 0.000000000 | 0.000344664 | -0.030966398 | 0.110 | 0.700 |

COMBINAZIONI RARE IN ESERCIZIO - MASSIME TENSIONI NORMALI ED APERTURA FESSURE (NTC/EC2)

| | |
|----------------|---|
| Ver | S = comb. verificata/ N = comb. non verificata |
| Sc max | Massima tensione (positiva se di compressione) nel conglomerato [Mpa] |
| Xc max, Yc max | Ascissa, Ordinata [cm] del punto corrisp. a Sc max (sistema rif. X,Y,O) |
| Sf min | Minima tensione (negativa se di trazione) nell'acciaio [Mpa] |
| Xs min, Ys min | Ascissa, Ordinata [cm] della barra corrisp. a Sf min (sistema rif. X,Y,O) |
| Ac eff. | Area di calcestruzzo [cm^2] in zona tesa considerata aderente alle barre |
| As eff. | Area barre [cm^2] in zona tesa considerate efficaci per l'apertura delle fessure |

| N°Comb | Ver | Sc max | Xc max | Yc max | Sf min | Xs min | Ys min | Ac eff. | As eff. |
|--------|-----|--------|--------|--------|--------|--------|--------|---------|---------|
| 1 | S | 4.75 | 50.0 | 100.0 | -158.6 | -32.9 | 7.7 | 1900 | 53.1 |

COMBINAZIONI RARE IN ESERCIZIO - APERTURA FESSURE [§ 7.3.4 EC2]

| | |
|-------------|--|
| Ver. | La sezione viene assunta sempre fessurata anche nel caso in cui la trazione minima del calcestruzzo sia inferiore a fctm |
| e1 | Esito della verifica |
| e2 | Massima deformazione unitaria di trazione nel calcestruzzo (trazione -) valutata in sezione fessurata |
| k1 | Minima deformazione unitaria di trazione nel calcestruzzo (trazione -) valutata in sezione fessurata |
| kt | = 0.8 per barre ad aderenza migliorata [eq.(7.11)EC2] |
| k2 | = 0.4 per comb. quasi permanenti / = 0.6 per comb.frequenti [cfr. eq.(7.9)EC2] |
| k3 | = 0.5 per flessione; =(e1 + e2)/(2*e1) per trazione eccentrica [eq.(7.13)EC2] |
| k4 | = 3.400 Coeff. in eq.(7.11) come da annessi nazionali |
| Ø | = 0.425 Coeff. in eq.(7.11) come da annessi nazionali |
| Cf | Diametro [mm] equivalente delle barre tese comprese nell'area efficace Ac eff [eq.(7.11)EC2] |
| e sm - e cm | Coprifero [mm] netto calcolato con riferimento alla barra più tesa |
| | Differenza tra le deformazioni medie di acciaio e calcestruzzo [(7.8)EC2 e (C4.1.7)NTC] |
| sr max | Tra parentesi: valore minimo = 0.6 Smax / Es [(7.9)EC2 e (C4.1.8)NTC] |
| | Massima distanza tra le fessure [mm] |

| | | | | | | |
|---|---|--|------------------|------------------|----------------|---------------------------|
|  ITALFERR GRUPPO FERROVIE DELLO STATO ITALIANE | RADDOPPIO LINEA CODOGNO – CREMONA – MANTOVA TRATTA PIADENA - MANTOVA | | | | | |
| Relazione di calcolo spalle | | | COMMESMA NM25 | LOTTO 03 D 26 | CODIFICA CL | DOCUMENTO IV 37 04 001 |
| | | | | | | REV. A |
| | | | | | | FOGLIO 94 di 439 |

wk Apertura fessure in mm calcolata = sr max*(e_sm - e_cm) [(7.8)EC2 e (C4.1.7)NTC]. Valore limite tra parentesi
 Mx fess. Componente momento di prima fessurazione intorno all'asse X [kNm]
 My fess. Componente momento di prima fessurazione intorno all'asse Y [kNm]

| Comb. | Ver | e1 | e2 | k2 | Ø | Cf | e sm - e cm | sr max | wk | Mx fess | My fess |
|-------|-----|----------|----|-------|------|----|-------------------|--------|--------------|---------|---------|
| 1 | S | -0.00089 | 0 | 0.500 | 26.0 | 64 | 0.00048 (0.00048) | 376 | 0.179 (0.20) | 672.67 | 0.00 |

COMBINAZIONI FREQUENTI IN ESERCIZIO - MASSIME TENSIONI NORMALI ED APERTURA FESSURE (NTC/EC2)

| N°Comb | Ver | Sc max | Xc max | Yc max | Sf min | Xs min | Ys min | Ac eff. | As eff. |
|--------|-----|--------|--------|--------|--------|--------|--------|---------|---------|
| 1 | S | 4.75 | 50.0 | 100.0 | -158.6 | -32.9 | 7.7 | 1900 | 53.1 |

COMBINAZIONI FREQUENTI IN ESERCIZIO - APERTURA FESSURE [§ 7.3.4 EC2]

| Comb. | Ver | e1 | e2 | k2 | Ø | Cf | e sm - e cm | sr max | wk | Mx fess | My fess |
|-------|-----|----------|----|-------|------|----|-------------------|--------|--------------|---------|---------|
| 1 | S | -0.00089 | 0 | 0.500 | 26.0 | 64 | 0.00048 (0.00048) | 376 | 0.179 (0.20) | 672.67 | 0.00 |

COMBINAZIONI QUASI PERMANENTI IN ESERCIZIO - MASSIME TENSIONI NORMALI ED APERTURA FESSURE (NTC/EC2)

| N°Comb | Ver | Sc max | Xc max | Yc max | Sf min | Xs min | Ys min | Ac eff. | As eff. |
|--------|-----|--------|--------|--------|--------|--------|--------|---------|---------|
| 1 | S | 4.07 | -50.0 | 100.0 | -136.0 | -14.1 | 7.7 | 1900 | 53.1 |

COMBINAZIONI QUASI PERMANENTI IN ESERCIZIO - APERTURA FESSURE [§ 7.3.4 EC2]

| Comb. | Ver | e1 | e2 | k2 | Ø | Cf | e sm - e cm | sr max | wk | Mx fess | My fess |
|-------|-----|----------|----|-------|------|----|-------------------|--------|--------------|---------|---------|
| 1 | S | -0.00076 | 0 | 0.500 | 26.0 | 64 | 0.00042 (0.00041) | 376 | 0.158 (0.20) | 672.67 | 0.00 |

Relazione di calcolo spalle

COMMESA LOTTO CODIFICA DOCUMENTO REV. FOGLIO
NM25 03 D 26 CL IV 37 04 001 A 95 di 439

13.3.3 Verifica a taglio

| SEZIONE | | | |
|----------------|---|-----|-----------|
| b _w | = | 100 | cm |
| h | = | 100 | cm |
| c | = | 7.7 | cm |
| d | = | h-c | = 92.3 cm |

| MATERIALI | | | |
|------------------|---|--------------------------------------|-------------|
| f _{ywd} | = | 391.30 | MPa |
| R _{ck} | = | 40 | MPa |
| γ _c | = | 1.5 | |
| f _{ck} | = | 0.83xR _{ck} | = 33.2 MPa |
| f _{cd} | = | 0.85xf _{ck} /γ _c | = 18.81 MPa |

| ARMATURE A TAGLIO | | | |
|-----------------------|---|--------|--------------------------|
| Ø _{st} | = | 14 | |
| braccia | = | 5 | |
| Ø _{st2} | = | 0 | |
| braccia | = | 0 | |
| passo | = | 40 | cm |
| (A _{sw} / s) | = | 19.242 | cm ² / m |
| α | = | 90 | ° (90° staffe verticali) |

| | | | |
|----------------|-------------------|--------|------|
| TAGLIO AGENTE | V _{Ed} = | 1500 | (KN) |
| SFORZO NORMALE | N _{ed} = | 0 | (KN) |
| | α _c = | 1.0000 | |

Relazione di calcolo spalle

COMMESA LOTTO CODIFICA DOCUMENTO REV. FOGLIO
NM25 03 D 26 CL IV 37 04 001 A 96 di 439

ELEMENTI CON ARMATURA A TAGLIO
Calcolo di cot θ

$$\cot(\theta) = 3.39$$

$$\theta = 16.43^\circ$$

IPOTESI 1 $1 \leq \cot \theta \leq 2.5$ Rottura bilanciata $V_{Rsd} = V_{Rcd}$

$$V_{Rsd} = 2120.46 \text{ (kN)} \quad 0,9 \cdot d \cdot \frac{A_{sw}}{s} \cdot f_{yd} \cdot (\operatorname{ctg}\alpha + \operatorname{ctg}\theta) \cdot \sin \alpha$$

$$V_{Rcd} = 2120.46 \text{ (kN)} \quad 0,9 \cdot d \cdot b_w \cdot \alpha_c \cdot f'_{cd} \cdot (\operatorname{ctg}\alpha + \operatorname{ctg}\theta) / (1 + \operatorname{ctg}^2 \theta)$$

$$V_{Rd} = 2120 \text{ (kN)} \quad \min(V_{Rsd}, V_{Rcd})$$

IPOTESI 2 $\cot \vartheta > 2,5$ Si assume $\vartheta = 21,8^\circ$
Armatura trasversale

$$V_{Rsd} = 1563.71 \text{ (kN)} \quad 0,9 \cdot d \cdot \frac{A_{sw}}{s} \cdot f_{yd} \cdot (\operatorname{ctg}\alpha + \operatorname{ctg}\theta) \cdot \sin \alpha$$

$$V_{Rcd} = 2694.52 \text{ (kN)} \quad 0,9 \cdot d \cdot b_w \cdot \alpha_c \cdot f'_{cd} \cdot (\operatorname{ctg}\alpha + \operatorname{ctg}\theta) / (1 + \operatorname{ctg}^2 \theta)$$

$$V_{Rd} = 1564 \text{ (kN)} \quad \min(V_{Rsd}, V_{Rcd})$$

IPOTESI 3 $\operatorname{Cot} \vartheta = 1$ $\vartheta = 45^\circ$
Armatura trasversale

$$V_{Rsd} = 625.48 \text{ (kN)} \quad 0,9 \cdot d \cdot \frac{A_{sw}}{s} \cdot f_{yd} \cdot (\operatorname{ctg}\alpha + \operatorname{ctg}\theta) \cdot \sin \alpha$$

$$V_{Rcd} = 3907.06 \text{ (kN)} \quad 0,9 \cdot d \cdot b_w \cdot \alpha_c \cdot f'_{cd} \cdot (\operatorname{ctg}\alpha + \operatorname{ctg}\theta) / (1 + \operatorname{ctg}^2 \theta)$$

$$V_{Rd} = 625.48 \text{ (kN)} \quad \min(V_{Rsd}, V_{Rcd})$$

| | |
|--|--|
|  ITALFERR GRUPPO FERROVIE DELLO STATO ITALIANE | RADDOPPIO LINEA CODOGNO – CREMONA – MANTOVA TRATTA PIADENA - MANTOVA |
| Relazione di calcolo spalle | COMMESA LOTTO CODIFICA DOCUMENTO REV. FOGLIO NM25 03 D 26 CL IV 37 04 001 A 97 di 439 |

13.4 PLINTO DI FONDAZIONE

Si riassume di seguito l'armatura adottata.

| ARMATURA | | |
|------------------------|----------------------|-------------------------------|
| Armatura longitudinale | Armatura trasversale | Armatura taglio |
| Arm. tesa | Arm. tesa | $\varnothing 16/20 \times 40$ |
| 10Ø26 | 10Ø26 | |
| Arm. Compressa | Arm. Compressa | |
| 10Ø26 | 10Ø26 | |

La sezione risulta verificata con l'armatura prevista.

13.4.1 Verifica dell'armatura longitudinale

CARATTERISTICHE DI RESISTENZA DEI MATERIALI IMPIEGATI

| | | |
|----------------|---|-----------------------------|
| CALCESTRUZZO - | Classe: | C25/30 |
| | Resis. compr. di progetto fcd: | 14.110 MPa |
| | Def.unit. max resistenza ec2: | 0.0020 |
| | Def.unit. ultima ecu: | 0.0035 |
| | Diagramma tensione-deformaz.: | Parabola-Rettangolo |
| | Modulo Elastico Normale Ec: | 31447.0 MPa |
| | Resis. media a trazione fctm: | 2.560 MPa |
| | Coeff. Omogen. S.L.E.: | 15.00 |
| | Coeff. Omogen. S.L.E.: | 15.00 |
| | Sc limite S.L.E. comb. Frequenti: | 136.95 daN/cm ² |
| | Ap.Fessure limite S.L.E. comb. Frequenti: | 0.200 mm |
| | Sc limite S.L.E. comb. Q.Permanenti: | 0.00 Mpa |
| | Ap.Fess.limite S.L.E. comb. Q.Perm.: | 0.200 mm |
| ACCIAIO - | Tipo: | B450C |
| | Resist. caratt. snervam. fyk: | 450.00 MPa |
| | Resist. caratt. rottura ftk: | 450.00 MPa |
| | Resist. snerv. di progetto fyd: | 391.30 MPa |
| | Resist. ultima di progetto ftd: | 391.30 MPa |
| | Deform. ultima di progetto Epu: | 0.068 |
| | Modulo Elastico Ef | 2000000 daN/cm ² |
| | Diagramma tensione-deformaz.: | Bilineare finito |

| | | | | | | |
|---|---|--|--|--|--|--|
|  ITALFERR GRUPPO FERROVIE DELLO STATO ITALIANE | RADDOPPIO LINEA CODOGNO – CREMONA – MANTOVA TRATTA PIADENA - MANTOVA | | | | | |
| Relazione di calcolo spalle | COMMESSA LOTTO CODIFICA DOCUMENTO REV. FOGLIO NM25 03 D 26 CL IV 37 04 001 A 98 di 439 | | | | | |

Coeff. Aderenza istantaneo $\beta_1 \cdot \beta_2$: 1.00
 Coeff. Aderenza differito $\beta_1 \cdot \beta_2$: 0.50
 Sf limite S.L.E. Comb. Rare: 337.50 MPa

CARATTERISTICHE DOMINIO CONGLOMERATO

Forma del Dominio: Poligonale
 Classe Conglomerato: C25/30

| N° vertice: | X [cm] | Y [cm] |
|-------------|--------|--------|
| 1 | -50.0 | 0.0 |
| 2 | -50.0 | 180.0 |
| 3 | 50.0 | 180.0 |
| 4 | 50.0 | 0.0 |

DATI BARRE ISOLATE

| N°Barra | X [cm] | Y [cm] | DiamØ[mm] |
|---------|--------|--------|-----------|
| 1 | -43.1 | 6.9 | 26 |
| 2 | -43.1 | 173.1 | 26 |
| 3 | 43.1 | 173.1 | 26 |
| 4 | 43.1 | 6.9 | 26 |

DATI GENERAZIONI LINEARI DI BARRE

N°Gen. Numero assegnato alla singola generazione lineare di barre
 N°Barra Ini. Numero della barra iniziale cui si riferisce la generazione
 N°Barra Fin. Numero della barra finale cui si riferisce la generazione
 N°Barre Numero di barre generate equidistanti cui si riferisce la generazione
 Ø Diametro in mm delle barre della generazione

| N°Gen. | N°Barra Ini. | N°Barra Fin. | N°Barre | Ø |
|--------|--------------|--------------|---------|----|
| 1 | 1 | 4 | 8 | 26 |
| 2 | 2 | 3 | 8 | 26 |

CALCOLO DI RESISTENZA - SFORZI PER OGNI COMBINAZIONE ASSEGNATA

N Sforzo normale [kN] applicato nel Baric. (+ se di compressione)
 Mx Momento flettente [kNm] intorno all'asse x princ. d'inerzia
 con verso positivo se tale da comprimere il lembo sup. della sez.
 My Momento flettente [kNm] intorno all'asse y princ. d'inerzia
 con verso positivo se tale da comprimere il lembo destro della sez.
 Vy Componente del Taglio [kN] parallela all'asse princ.d'inerzia y
 Vx Componente del Taglio [kN] parallela all'asse princ.d'inerzia x

| N°Comb. | N | Mx | My | Vy | Vx |
|---------|------|---------|------|------|------|
| 1 | 0.00 | 3200.00 | 0.00 | 0.00 | 0.00 |

COMB. RARE (S.L.E.) - SFORZI PER OGNI COMBINAZIONE ASSEGNATA



RADDOPPIO LINEA CODOGNO – CREMONA – MANTOVA TRATTA PIADENA - MANTOVA

Relazione di calcolo spalle

| | | | | | |
|---------|---------|----------|--------------|------|-----------|
| COMMESA | LOTTO | CODIFICA | DOCUMENTO | REV. | FOGLIO |
| NM25 | 03 D 26 | CL | IV 37 04 001 | A | 99 di 439 |

N Sforzo normale [kN] applicato nel Baricentro (+ se di compressione)
 Mx Momento flettente [kNm] intorno all'asse x princ. d'inerzia (tra parentesi Mom.Fessurazione)
 con verso positivo se tale da comprimere il lembo superiore della sezione
 My Momento flettente [kNm] intorno all'asse y princ. d'inerzia (tra parentesi Mom.Fessurazione)
 con verso positivo se tale da comprimere il lembo destro della sezione

| | | | |
|---------|------|---------|------|
| N°Comb. | N | Mx | My |
| 1 | 0.00 | 1500.00 | 0.00 |

COMB. FREQUENTI (S.L.E.) - SFORZI PER OGNI COMBINAZIONE ASSEGNA

N Sforzo normale [kN] applicato nel Baricentro (+ se di compressione)
 Mx Momento flettente [kNm] intorno all'asse x princ. d'inerzia (tra parentesi Mom.Fessurazione)
 con verso positivo se tale da comprimere il lembo superiore della sezione
 My Momento flettente [kNm] intorno all'asse y princ. d'inerzia (tra parentesi Mom.Fessurazione)
 con verso positivo se tale da comprimere il lembo destro della sezione

| | | | |
|---------|------|-------------------|-------------|
| N°Comb. | N | Mx | My |
| 1 | 0.00 | 1500.00 (1695.27) | 0.00 (0.00) |

COMB. QUASI PERMANENTI (S.L.E.) - SFORZI PER OGNI COMBINAZIONE ASSEGNA

N Sforzo normale [kN] applicato nel Baricentro (+ se di compressione)
 Mx Momento flettente [kNm] intorno all'asse x princ. d'inerzia (tra parentesi Mom.Fessurazione)
 con verso positivo se tale da comprimere il lembo superiore della sezione
 My Momento flettente [kNm] intorno all'asse y princ. d'inerzia (tra parentesi Mom.Fessurazione)
 con verso positivo se tale da comprimere il lembo destro della sezione

| | | | |
|---------|------|-------------------|-------------|
| N°Comb. | N | Mx | My |
| 1 | 0.00 | 1300.00 (1695.27) | 0.00 (0.00) |

RISULTATI DEL CALCOLO

Sezione verificata per tutte le combinazioni assegnate

Coprifero netto minimo barre longitudinali: 5.6 cm
 Interferro netto minimo barre longitudinali: 7.0 cm

VERIFICHE DI RESISTENZA IN PRESSO-TENSO FLESSIONE ALLO STATO LIMITE ULTIMO

Ver S = combinazione verificata / N = combin. non verificata
 N Sforzo normale assegnato [kN] nel baricentro B sezione cls.(positivo se di compressione)
 Mx Componente del momento assegnato [kNm] riferito all'asse x princ. d'inerzia
 My Componente del momento assegnato [kNm] riferito all'asse y princ. d'inerzia
 N Res Sforzo normale resistente [kN] nel baricentro B sezione cls.(positivo se di compress.)
 Mx Res Momento flettente resistente [kNm] riferito all'asse x princ. d'inerzia
 My Res Momento flettente resistente [kNm] riferito all'asse y princ. d'inerzia
 Mis.Sic. Misura sicurezza = rapporto vettoriale tra (N r,Mx Res,My Res) e (N,Mx,My)
 Verifica positiva se tale rapporto risulta >=1.000
 As Tesa Area armature trave [cm^2] in zona tesa. [Tra parentesi l'area minima ex (4.1.15)NTC]

| N°Comb | Ver | N | Mx | My | N Res | Mx Res | My Res | Mis.Sic. | As Tesa |
|--------|-----|------|---------|------|-------|---------|--------|----------|------------|
| 1 | S | 0.00 | 3200.00 | 0.00 | 0.00 | 3484.99 | 0.00 | 1.09 | 53.1(25.6) |

| | | | | | | |
|---|---|------------------|----------------|---------------------------|-----------|----------------------|
|  ITALFERR GRUPPO FERROVIE DELLO STATO ITALIANE | RADDOPPIO LINEA CODOGNO – CREMONA – MANTOVA TRATTA PIADENA - MANTOVA | | | | | |
| Relazione di calcolo spalle | COMMESSE NM25 | LOTTO 03 D 26 | CODIFICA CL | DOCUMENTO IV 37 04 001 | REV. A | FOGLIO 100 di 439 |

METODO AGLI STATI LIMITE ULTIMI - DEFORMAZIONI UNITARIE ALLO STATO ULTIMO

| | |
|--------|--|
| ec max | Deform. unit. massima del conglomerato a compressione |
| x/d | Rapporto di duttilità [§ 4.1.2.1.2.1 NTC] deve essere < 0.45 |
| Xc max | Ascissa in cm della fibra corrisp. a ec max (sistema rif. X,Y,O sez.) |
| Yc max | Ordinata in cm della fibra corrisp. a ec max (sistema rif. X,Y,O sez.) |
| es min | Deform. unit. minima nell'acciaio (negativa se di trazione) |
| Xs min | Ascissa in cm della barra corrisp. a es min (sistema rif. X,Y,O sez.) |
| Ys min | Ordinata in cm della barra corrisp. a es min (sistema rif. X,Y,O sez.) |
| es max | Deform. unit. massima nell'acciaio (positiva se di compressione) |
| Xs max | Ascissa in cm della barra corrisp. a es max (sistema rif. X,Y,O sez.) |
| Ys max | Ordinata in cm della barra corrisp. a es max (sistema rif. X,Y,O sez.) |

| N°Comb | ec max | x/d | Xc max | Yc max | es min | Xs min | Ys min | es max | Xs max | Ys max |
|--------|---------|-------|--------|--------|---------|--------|--------|----------|--------|--------|
| 1 | 0.00350 | 0.055 | -50.0 | 180.0 | 0.00094 | -43.1 | 173.1 | -0.06070 | -43.1 | 6.9 |

POSIZIONE ASSE NEUTRO PER OGNI COMB. DI RESISTENZA

| | |
|---------|---|
| a, b, c | Coeff. a, b, c nell'eq. dell'asse neutro $aX+bY+c=0$ nel rif. X,Y,O gen. |
| x/d | Rapp. di duttilità (travi e solette)[§ 4.1.2.1.2.1 NTC]: deve essere < 0.45 |
| C.Rid. | Coeff. di riduz. momenti per sola flessione in travi continue |

| N°Comb | a | b | c | x/d | C.Rid. |
|--------|-------------|-------------|--------------|-------|--------|
| 1 | 0.000000000 | 0.000370866 | -0.063255931 | 0.055 | 0.700 |

COMBINAZIONI RARE IN ESERCIZIO - MASSIME TENSIONI NORMALI ED APERTURA FESSURE (NTC/EC2)

| | |
|----------------|---|
| Ver | S = comb. verificata/ N = comb. non verificata |
| Sc max | Massima tensione (positiva se di compressione) nel conglomerato [Mpa] |
| Xc max, Yc max | Ascissa, Ordinata [cm] del punto corrisp. a Sc max (sistema rif. X,Y,O) |
| Sf min | Minima tensione (negativa se di trazione) nell'acciaio [Mpa] |
| Xs min, Ys min | Ascissa, Ordinata [cm] della barra corrisp. a Sf min (sistema rif. X,Y,O) |
| Ac eff. | Area di calcestruzzo [cm^2] in zona tesa considerata aderente alle barre |
| As eff. | Area barre [cm^2] in zona tesa considerate efficaci per l'apertura delle fessure |

| N°Comb | Ver | Sc max | Xc max | Yc max | Sf min | Xs min | Ys min | Ac eff. | As eff. |
|--------|-----|--------|--------|--------|--------|--------|--------|---------|---------|
| 1 | S | 3.50 | -50.0 | 180.0 | -175.1 | -33.5 | 6.9 | 1700 | 53.1 |

COMBINAZIONI RARE IN ESERCIZIO - APERTURA FESSURE [§ 7.3.4 EC2]

| | |
|-------------|--|
| Ver. | La sezione viene assunta sempre fessurata anche nel caso in cui la trazione minima del calcestruzzo sia inferiore a fctm |
| e1 | Esito della verifica |
| e2 | Massima deformazione unitaria di trazione nel calcestruzzo (trazione -) valutata in sezione fessurata |
| k1 | Minima deformazione unitaria di trazione nel calcestruzzo (trazione -) valutata in sezione fessurata |
| kt | = 0.8 per barre ad aderenza migliorata [eq.(7.11)EC2] |
| k2 | = 0.4 per comb. quasi permanenti / = 0.6 per comb.frequenti [cfr. eq.(7.9)EC2] |
| k3 | = 0.5 per flessione; =(e1 + e2)/(2*e1) per trazione eccentrica [eq.(7.13)EC2] |
| k4 | = 3.400 Coeff. in eq.(7.11) come da annessi nazionali |
| Ø | = 0.425 Coeff. in eq.(7.11) come da annessi nazionali |
| Cf | Diametro [mm] equivalente delle barre tese comprese nell'area efficace Ac eff [eq.(7.11)EC2] |
| e sm - e cm | Coprifero [mm] netto calcolato con riferimento alla barra più tesa |
| | Differenza tra le deformazioni medie di acciaio e calcestruzzo [(7.8)EC2 e (C4.1.7)NTC] |
| sr max | Tra parentesi: valore minimo = 0.6 Smax / Es [(7.9)EC2 e (C4.1.8)NTC] |
| wk | Apertura fessure in mm calcolata = sr max*(e_sm - e_cm) [(7.8)EC2 e (C4.1.7)NTC]. Valore limite tra parentesi |
| Mx fess. | Componente momento di prima fessurazione intorno all'asse X [kNm] |



**RADDOPPIO LINEA CODOGNO – CREMONA – MANTOVA
TRATTA PIADENA - MANTOVA**

Relazione di calcolo spalle

| | | | | | |
|------------------|------------------|----------------|---------------------------|-----------|----------------------|
| COMMESSA NM25 | LOTTO 03 D 26 | CODIFICA CL | DOCUMENTO IV 37 04 001 | REV. A | FOGLIO 101 di 439 |
|------------------|------------------|----------------|---------------------------|-----------|----------------------|

My fess. Componente momento di prima fessurazione intorno all'asse Y [kNm]

| Comb. | Ver | e1 | e2 | k2 | Ø | Cf | e sm - e cm sr max | wk | Mx fess | My fess |
|-------|-----|----------|----|-------|------|----|--------------------|-----|--------------|---------|
| 1 | S | -0.00092 | 0 | 0.500 | 26.0 | 56 | 0.00058 (0.00053) | 332 | 0.193 (0.20) | 1695.27 |

COMBINAZIONI FREQUENTI IN ESERCIZIO - MASSIME TENSIONI NORMALI ED APERTURA FESSURE (NTC/EC2)

| N°Comb | Ver | Sc max | Xc max | Yc max | Sf min | Xs min | Ys min | Ac eff. | As eff. |
|--------|-----|--------|--------|--------|--------|--------|--------|---------|---------|
| 1 | S | 3.50 | -50.0 | 180.0 | -175.1 | -33.5 | 6.9 | 1700 | 53.1 |

COMBINAZIONI FREQUENTI IN ESERCIZIO - APERTURA FESSURE [§ 7.3.4 EC2]

| Comb. | Ver | e1 | e2 | k2 | Ø | Cf | e sm - e cm sr max | wk | Mx fess | My fess |
|-------|-----|----------|----|-------|------|----|--------------------|-----|--------------|---------|
| 1 | S | -0.00092 | 0 | 0.500 | 26.0 | 56 | 0.00058 (0.00053) | 332 | 0.193 (0.20) | 1695.27 |

COMBINAZIONI QUASI PERMANENTI IN ESERCIZIO - MASSIME TENSIONI NORMALI ED APERTURA FESSURE (NTC/EC2)

| N°Comb | Ver | Sc max | Xc max | Yc max | Sf min | Xs min | Ys min | Ac eff. | As eff. |
|--------|-----|--------|--------|--------|--------|--------|--------|---------|---------|
| 1 | S | 3.03 | 50.0 | 180.0 | -151.7 | -4.8 | 6.9 | 1700 | 53.1 |

COMBINAZIONI QUASI PERMANENTI IN ESERCIZIO - APERTURA FESSURE [§ 7.3.4 EC2]

| Comb. | Ver | e1 | e2 | k2 | Ø | Cf | e sm - e cm sr max | wk | Mx fess | My fess |
|-------|-----|----------|----|-------|------|----|--------------------|-----|--------------|---------|
| 1 | S | -0.00080 | 0 | 0.500 | 26.0 | 56 | 0.00056 (0.00046) | 332 | 0.187 (0.20) | 1695.27 |

13.4.2 Verifica dell'armatura trasversale

CARATTERISTICHE DI RESISTENZA DEI MATERIALI IMPIEGATI

| | | |
|----------------|---|----------------------------|
| CALCESTRUZZO - | Classe: | C25/30 |
| | Resis. compr. di progetto fcd: | 14.110 MPa |
| | Def.unit. max resistenza ec2: | 0.0020 |
| | Def.unit. ultima ecu: | 0.0035 |
| | Diagramma tensione-deformaz.: | Parabola-Rettangolo |
| | Modulo Elastico Normale Ec: | 31447.0 MPa |
| | Resis. media a trazione fctm: | 2.560 MPa |
| | Coeff. Omogen. S.L.E.: | 15.00 |
| | Coeff. Omogen. S.L.E.: | 15.00 |
| | Sc limite S.L.E. comb. Frequenti: | 136.95 daN/cm ² |
| | Ap.Fessure limite S.L.E. comb. Frequenti: | 0.200 mm |
| | Sc limite S.L.E. comb. Q.Permanenti: | 0.00 Mpa |
| | Ap.Fess.limite S.L.E. comb. Q.Perm.: | 0.200 mm |

| | | |
|-----------|---------------------------------|------------|
| ACCIAIO - | Tipo: | B450C |
| | Resist. caratt. snervam. fyk: | 450.00 MPa |
| | Resist. caratt. rottura ftk: | 450.00 MPa |
| | Resist. snerv. di progetto fyd: | 391.30 MPa |
| | Resist. ultima di progetto ftd: | 391.30 MPa |
| | Deform. ultima di progetto Epu: | 0.068 |



RADDOPPIO LINEA CODOGNO – CREMONA – MANTOVA TRATTA PIADENA - MANTOVA

Relazione di calcolo spalle

| | | | | | |
|---------|---------|----------|--------------|------|------------|
| COMMESA | LOTTO | CODIFICA | DOCUMENTO | REV. | FOGLIO |
| NM25 | 03 D 26 | CL | IV 37 04 001 | A | 102 di 439 |

| | | |
|--|------------------|---------------------|
| Modulo Elastico Ef | 2000000 | daN/cm ² |
| Diagramma tensione-deformaz.: | Bilineare finito | |
| Coeff. Aderenza istantaneo $\beta_1 \cdot \beta_2$: | 1.00 | |
| Coeff. Aderenza differito $\beta_1 \cdot \beta_2$: | 0.50 | |
| Sf limite S.L.E. Comb. Rare: | 337.50 | MPa |

CARATTERISTICHE DOMINIO CONGLOMERATO

Forma del Dominio: Poligonale
Classe Conglomerato: C25/30

| N° vertice: | X [cm] | Y [cm] |
|-------------|--------|--------|
| 1 | -50.0 | 0.0 |
| 2 | -50.0 | 180.0 |
| 3 | 50.0 | 180.0 |
| 4 | 50.0 | 0.0 |

DATI BARRE ISOLATE

| N°Barra | X [cm] | Y [cm] | Diam Ø [mm] |
|---------|--------|--------|-------------|
| 1 | -40.5 | 9.5 | 26 |
| 2 | -40.5 | 170.5 | 26 |
| 3 | 40.5 | 170.5 | 26 |
| 4 | 40.5 | 9.5 | 26 |

DATI GENERAZIONI LINEARI DI BARRE

| | |
|--------------|---|
| N°Gen. | Numero assegnato alla singola generazione lineare di barre |
| N°Barra Ini. | Numero della barra iniziale cui si riferisce la generazione |
| N°Barra Fin. | Numero della barra finale cui si riferisce la generazione |
| N°Barre | Numero di barre generate equidistanti cui si riferisce la generazione |
| Ø | Diametro in mm delle barre della generazione |

| N°Gen. | N°Barra Ini. | N°Barra Fin. | N°Barre | Ø |
|--------|--------------|--------------|---------|----|
| 1 | 1 | 4 | 8 | 26 |
| 2 | 2 | 3 | 8 | 26 |

CALCOLO DI RESISTENZA - SFORZI PER OGNI COMBINAZIONE ASSEGNA

| | |
|----|--|
| N | Sforzo normale [kN] applicato nel Baric. (+ se di compressione) |
| Mx | Momento flettente [kNm] intorno all'asse x princ. d'inerzia con verso positivo se tale da comprimere il lembo sup. della sez. |
| My | Momento flettente [kNm] intorno all'asse y princ. d'inerzia con verso positivo se tale da comprimere il lembo destro della sez. |
| Vy | Componente del Taglio [kN] parallela all'asse princ.d'inerzia y |
| Vx | Componente del Taglio [kN] parallela all'asse princ.d'inerzia x |

| N°Comb. | N | Mx | My | Vy | Vx |
|---------|------|---------|------|------|------|
| 1 | 0.00 | 3200.00 | 0.00 | 0.00 | 0.00 |

COMB. RARE (S.L.E.) - SFORZI PER OGNI COMBINAZIONE ASSEGNA

| | | | | | | |
|---|---|------------------|----------------|---------------------------|-----------|----------------------|
|  ITALFERR GRUPPO FERROVIE DELLO STATO ITALIANE | RADDOPPIO LINEA CODOGNO – CREMONA – MANTOVA TRATTA PIADENA - MANTOVA | | | | | |
| Relazione di calcolo spalle | COMMESA NM25 | LOTTO 03 D 26 | CODIFICA CL | DOCUMENTO IV 37 04 001 | REV. A | FOGLIO 103 di 439 |

N Sforzo normale [kN] applicato nel Baricentro (+ se di compressione)
 Mx Momento flettente [kNm] intorno all'asse x princ. d'inerzia (tra parentesi Mom.Fessurazione)
 con verso positivo se tale da comprimere il lembo superiore della sezione
 My Momento flettente [kNm] intorno all'asse y princ. d'inerzia (tra parentesi Mom.Fessurazione)
 con verso positivo se tale da comprimere il lembo destro della sezione

| N°Comb. | N | Mx | My |
|---------|------|---------|------|
| 1 | 0.00 | 1100.00 | 0.00 |

COMB. FREQUENTI (S.L.E.) - SFORZI PER OGNI COMBINAZIONE ASSEGNA

N Sforzo normale [kN] applicato nel Baricentro (+ se di compressione)
 Mx Momento flettente [kNm] intorno all'asse x princ. d'inerzia (tra parentesi Mom.Fessurazione)
 con verso positivo se tale da comprimere il lembo superiore della sezione
 My Momento flettente [kNm] intorno all'asse y princ. d'inerzia (tra parentesi Mom.Fessurazione)
 con verso positivo se tale da comprimere il lembo destro della sezione

| N°Comb. | N | Mx | My |
|---------|------|-------------------|-------------|
| 1 | 0.00 | 1100.00 (1675.99) | 0.00 (0.00) |

COMB. QUASI PERMANENTI (S.L.E.) - SFORZI PER OGNI COMBINAZIONE ASSEGNA

N Sforzo normale [kN] applicato nel Baricentro (+ se di compressione)
 Mx Momento flettente [kNm] intorno all'asse x princ. d'inerzia (tra parentesi Mom.Fessurazione)
 con verso positivo se tale da comprimere il lembo superiore della sezione
 My Momento flettente [kNm] intorno all'asse y princ. d'inerzia (tra parentesi Mom.Fessurazione)
 con verso positivo se tale da comprimere il lembo destro della sezione

| N°Comb. | N | Mx | My |
|---------|------|-------------------|-------------|
| 1 | 0.00 | 1000.00 (1675.99) | 0.00 (0.00) |

RISULTATI DEL CALCOLO

Sezione verificata per tutte le combinazioni assegnate

Coprifero netto minimo barre longitudinali: 8.2 cm
 Interferro netto minimo barre longitudinali: 6.4 cm

VERIFICHE DI RESISTENZA IN PRESSO-TENSO FLESSIONE ALLO STATO LIMITE ULTIMO

Ver S = combinazione verificata / N = combin. non verificata
 N Sforzo normale assegnato [kN] nel baricentro B sezione cls.(positivo se di compressione)
 Mx Componente del momento assegnato [kNm] riferito all'asse x princ. d'inerzia
 My Componente del momento assegnato [kNm] riferito all'asse y princ. d'inerzia
 N Res Sforzo normale resistente [kN] nel baricentro B sezione cls.(positivo se di compress.)
 Mx Res Momento flettente resistente [kNm] riferito all'asse x princ. d'inerzia
 My Res Momento flettente resistente [kNm] riferito all'asse y princ. d'inerzia
 Mis.Sic. Misura sicurezza = rapporto vettoriale tra (N r,Mx Res,My Res) e (N,Mx,My)
 Verifica positiva se tale rapporto risulta ≥ 1.000
 As Tesa Area armature trave [cm^2] in zona tesa. [Tra parentesi l'area minima ex (4.1.15)NTC]

| N°Comb | Ver | N | Mx | My | N Res | Mx Res | My Res | Mis.Sic. | As Tesa |
|--------|-----|---|----|----|-------|--------|--------|----------|---------|
|--------|-----|---|----|----|-------|--------|--------|----------|---------|

| | | | | | | |
|---|---|------------------|----------------|---------------------------|-----------|----------------------|
|  ITALFERR GRUPPO FERROVIE DELLO STATO ITALIANE | RADDOPPIO LINEA CODOGNO – CREMONA – MANTOVA TRATTA PIADENA - MANTOVA | | | | | |
| Relazione di calcolo spalle | COMMESA NM25 | LOTTO 03 D 26 | CODIFICA CL | DOCUMENTO IV 37 04 001 | REV. A | FOGLIO 104 di 439 |

1 S 0.00 3200.00 0.00 0.00 3406.54 0.00 1.06 53.1(25.2)

METODO AGLI STATI LIMITE ULTIMI - DEFORMAZIONI UNITARIE ALLO STATO ULTIMO

| | |
|--------|--|
| ec max | Deform. unit. massima del conglomerato a compressione |
| x/d | Rapporto di duttilità [§ 4.1.2.1.2.1 NTC] deve essere < 0.45 |
| Xc max | Ascissa in cm della fibra corrisp. a ec max (sistema rif. X,Y,O sez.) |
| Yc max | Ordinata in cm della fibra corrisp. a ec max (sistema rif. X,Y,O sez.) |
| es min | Deform. unit. minima nell'acciaio (negativa se di trazione) |
| Xs min | Ascissa in cm della barra corrisp. a es min (sistema rif. X,Y,O sez.) |
| Ys min | Ordinata in cm della barra corrisp. a es min (sistema rif. X,Y,O sez.) |
| es max | Deform. unit. massima nell'acciaio (positiva se di compress.) |
| Xs max | Ascissa in cm della barra corrisp. a es max (sistema rif. X,Y,O sez.) |
| Ys max | Ordinata in cm della barra corrisp. a es max (sistema rif. X,Y,O sez.) |

| N°Comb | ec max | x/d | Xc max | Yc max | es min | Xs min | Ys min | es max | Xs max | Ys max |
|--------|---------|-------|--------|--------|---------|--------|--------|----------|--------|--------|
| 1 | 0.00350 | 0.069 | -50.0 | 180.0 | 0.00069 | -40.5 | 170.5 | -0.04701 | -40.5 | 9.5 |

POSIZIONE ASSE NEUTRO PER OGNI COMB. DI RESISTENZA

| | |
|---------|---|
| a, b, c | Coeff. a, b, c nell'eq. dell'asse neutro $aX+bY+c=0$ nel rif. X,Y,O gen. |
| x/d | Rapp. di duttilità (travi e solette)[§ 4.1.2.1.2.1 NTC]: deve essere < 0.45 |
| C.Rid. | Coeff. di riduz. momenti per sola flessione in travi continue |

| N°Comb | a | b | c | x/d | C.Rid. |
|--------|-------------|-------------|--------------|-------|--------|
| 1 | 0.000000000 | 0.000296243 | -0.049823821 | 0.069 | 0.700 |

COMBINAZIONI RARE IN ESERCIZIO - MASSIME TENSIONI NORMALI ED APERTURA FESSURE (NTC/EC2)

| | |
|----------------|---|
| Ver | S = comb. verificata / N = comb. non verificata |
| Sc max | Massima tensione (positiva se di compressione) nel conglomerato [Mpa] |
| Xc max, Yc max | Ascissa, Ordinata [cm] del punto corrisp. a Sc max (sistema rif. X,Y,O) |
| Sf min | Minima tensione (negativa se di trazione) nell'acciaio [Mpa] |
| Xs min, Ys min | Ascissa, Ordinata [cm] della barra corrisp. a Sf min (sistema rif. X,Y,O) |
| Ac eff. | Area di calcestruzzo [cm^2] in zona tesa considerata aderente alle barre |
| As eff. | Area barre [cm^2] in zona tesa considerate efficaci per l'apertura delle fessure |

| N°Comb | Ver | Sc max | Xc max | Yc max | Sf min | Xs min | Ys min | Ac eff. | As eff. |
|--------|-----|--------|--------|--------|--------|--------|--------|---------|---------|
| 1 | S | 2.67 | -50.0 | 180.0 | -131.1 | 4.5 | 9.5 | 2368 | 53.1 |

COMBINAZIONI RARE IN ESERCIZIO - APERTURA FESSURE [§ 7.3.4 EC2]

| | |
|-------------|--|
| Ver. | La sezione viene assunta sempre fessurata anche nel caso in cui la trazione minima del calcestruzzo sia inferiore a fctm |
| e1 | Esito della verifica |
| e2 | Massima deformazione unitaria di trazione nel calcestruzzo (trazione -) valutata in sezione fessurata |
| k1 | Minima deformazione unitaria di trazione nel calcestruzzo (trazione -) valutata in sezione fessurata |
| kt | = 0.8 per barre ad aderenza migliorata [eq.(7.11)EC2] |
| k2 | = 0.4 per comb. quasi permanenti / = 0.6 per comb. frequenti [cfr. eq.(7.9)EC2] |
| k3 | = 0.5 per flessione; $= (e1 + e2)/(2 \cdot e1)$ per trazione eccentrica [eq.(7.13)EC2] |
| k4 | = 3.400 Coeff. in eq.(7.11) come da annessi nazionali |
| Ø | = 0.425 Coeff. in eq.(7.11) come da annessi nazionali |
| Cf | Diametro [mm] equivalente delle barre tese comprese nell'area efficace Ac eff [eq.(7.11)EC2] |
| e sm - e cm | Coprifero [mm] netto calcolato con riferimento alla barra più tesa |
| | Differenza tra le deformazioni medie di acciaio e calcestruzzo [(7.8)EC2 e (C4.1.7)NTC] |
| sr max | Tra parentesi: valore minimo = 0.6 Smax / Es [(7.9)EC2 e (C4.1.8)NTC] |
| | Massima distanza tra le fessure [mm] |



RADDOPPIO LINEA CODOGNO – CREMONA – MANTOVA
TRATTA PIADENA - MANTOVA

Relazione di calcolo spalle

| COMMESMA | LOTTO | CODIFICA | DOCUMENTO | REV. | FOGLIO |
|----------|---------|----------|--------------|------|------------|
| NM25 | 03 D 26 | CL | IV 37 04 001 | A | 105 di 439 |

wk Apertura fessure in mm calcolata = sr max*(e_sm - e_cm) [(7.8)EC2 e (C4.1.7)NTC]. Valore limite tra parentesi
 Mx fess. Componente momento di prima fessurazione intorno all'asse X [kNm]
 My fess. Componente momento di prima fessurazione intorno all'asse Y [kNm]

| Comb. | Ver | e1 | e2 | k2 | Ø | Cf | e sm - e cm | sr max | wk | Mx fess | My fess |
|-------|-----|----------|----|-------|------|----|-------------------|--------|--------------|---------|---------|
| 1 | S | -0.00070 | 0 | 0.500 | 26.0 | 82 | 0.00039 (0.00039) | 476 | 0.187 (0.20) | 1675.99 | 0.00 |

COMBINAZIONI FREQUENTI IN ESERCIZIO - MASSIME TENSIONI NORMALI ED APERTURA FESSURE (NTC/EC2)

| N°Comb | Ver | Sc max | Xc max | Yc max | Sf min | Xs min | Ys min | Ac eff. | As eff. |
|--------|-----|--------|--------|--------|--------|--------|--------|---------|---------|
| 1 | S | 2.67 | -50.0 | 180.0 | -131.1 | 4.5 | 9.5 | 2368 | 53.1 |

COMBINAZIONI FREQUENTI IN ESERCIZIO - APERTURA FESSURE [§ 7.3.4 EC2]

| Comb. | Ver | e1 | e2 | k2 | Ø | Cf | e sm - e cm | sr max | wk | Mx fess | My fess |
|-------|-----|----------|----|-------|------|----|-------------------|--------|--------------|---------|---------|
| 1 | S | -0.00070 | 0 | 0.500 | 26.0 | 82 | 0.00039 (0.00039) | 476 | 0.187 (0.20) | 1675.99 | 0.00 |

COMBINAZIONI QUASI PERMANENTI IN ESERCIZIO - MASSIME TENSIONI NORMALI ED APERTURA FESSURE (NTC/EC2)

| N°Comb | Ver | Sc max | Xc max | Yc max | Sf min | Xs min | Ys min | Ac eff. | As eff. |
|--------|-----|--------|--------|--------|--------|--------|--------|---------|---------|
| 1 | S | 2.43 | -50.0 | 180.0 | -119.2 | 22.5 | 9.5 | 2350 | 53.1 |

COMBINAZIONI QUASI PERMANENTI IN ESERCIZIO - APERTURA FESSURE [§ 7.3.4 EC2]

| Comb. | Ver | e1 | e2 | k2 | Ø | Cf | e sm - e cm | sr max | wk | Mx fess | My fess |
|-------|-----|----------|----|-------|------|----|-------------------|--------|--------------|---------|---------|
| 1 | S | -0.00064 | 0 | 0.500 | 26.0 | 82 | 0.00036 (0.00036) | 474 | 0.170 (0.20) | 1675.99 | 0.00 |

Relazione di calcolo spalle

COMMESA LOTTO CODIFICA DOCUMENTO REV. FOGLIO
NM25 03 D 26 CL IV 37 04 001 A 106 di 439

13.4.3 Verifica a taglio e punzonamento

Si riportano di seguito le verifiche di resistenza a taglio e punzonamento per le situazioni più gravose per il plinto di fonazione.

Le verifiche nei confronti del punzonamento è svolta in accordo al paragrafo 4.1.2.3.5.4 delle NTC18, utilizzando le procedure riportate nell' UNI EN 1992-1-1, §6.4. Per il palo di bordo si è considerato un perimetro ridotto alla sola semicirconferenza ricadente all'interno della platea.

| SEZIONE | | | |
|----------------|---|-----|------------|
| b _w | = | 100 | cm |
| h | = | 180 | cm |
| c | = | 6.9 | cm |
| d | = | h-c | = 173.1 cm |

| MATERIALI | | | |
|-------------------|---|--------------------------------------|-------------|
| f _{y wd} | = | 391.30 | MPa |
| R _{ck} | = | 30 | MPa |
| γ _c | = | 1.5 | |
| f _{ck} | = | 0.83xR _{ck} | = 24.9 MPa |
| f _{cd} | = | 0.85xf _{ck} /γ _c | = 14.11 MPa |

| ARMATURE A TAGLIO | | | |
|-----------------------|---|--------|--------------------------|
| Ø _{st} | = | 16 | |
| braccia | = | 5 | |
| Ø _{st2} | = | 0 | |
| braccia | = | 0 | |
| passo | = | 40 | cm |
| (A _{sw} / s) | = | 25.133 | cm ² / m |
| α | = | 90 | ° (90° staffe verticali) |

| | | | |
|----------------|-------------------|--------|------|
| TAGLIO AGENTE | V _{Ed} = | 3800 | (KN) |
| SFORZO NORMALE | N _{ed} = | 0 | (KN) |
| | α _c = | 1.0000 | |

Relazione di calcolo spalle

COMMESA LOTTO CODIFICA DOCUMENTO REV. FOGLIO
NM25 03 D 26 CL IV 37 04 001 A 107 di 439

ELEMENTI CON ARMATURA A TAGLIO
Calcolo di cot θ

$$\cot(\theta) = 2.48$$

$$\theta = 21.92^\circ$$

IPOTESI 1 $1 \leq \cot \theta \leq 2.5$ Rottura bilanciata $V_{Rsd} = V_{Rcd}$

$$V_{Rsd} = 3806.86 \text{ (kN)} \quad 0,9 \cdot d \cdot \frac{A_{sw}}{s} \cdot f_{yd} \cdot (\operatorname{ctg}\alpha + \operatorname{ctg}\theta) \cdot \sin \alpha$$

$$V_{Rcd} = 3806.86 \text{ (kN)} \quad 0,9 \cdot d \cdot b_w \cdot \alpha_c \cdot f'_{cd} \cdot (\operatorname{ctg}\alpha + \operatorname{ctg}\theta) / (1 + \operatorname{ctg}^2 \theta)$$

$$V_{Rd} = 3807 \text{ (kN)} \quad \min(V_{Rsd}, V_{Rcd})$$

IPOTESI 2 $\cot \vartheta > 2,5$ Si assume $\vartheta = 21,8^\circ$
Armatura trasversale

$$V_{Rsd} = 3830.31 \text{ (kN)} \quad 0,9 \cdot d \cdot \frac{A_{sw}}{\varsigma} \cdot f_{yd} \cdot (\operatorname{ctg}\alpha + \operatorname{ctg}\theta) \cdot \sin \alpha$$

$$V_{Rcd} = 3789.99 \text{ (kN)} \quad 0,9 \cdot d \cdot b_w \cdot \alpha_c \cdot f'_{cd} \cdot (\operatorname{ctg}\alpha + \operatorname{ctg}\theta) / (1 + \operatorname{ctg}^2 \theta)$$

$$V_{Rd} = 3790 \text{ (kN)} \quad \min(V_{Rsd}, V_{Rcd})$$

IPOTESI 3 Cot $\vartheta = 1$ $\vartheta = 45^\circ$
Armatura trasversale

$$V_{Rsd} = 1532.12 \text{ (kN)} \quad 0,9 \cdot d \cdot \frac{A_{sw}}{\varsigma} \cdot f_{yd} \cdot (\operatorname{ctg}\alpha + \operatorname{ctg}\theta) \cdot \sin \alpha$$

$$V_{Rcd} = 5495.49 \text{ (kN)} \quad 0,9 \cdot d \cdot b_w \cdot \alpha_c \cdot f'_{cd} \cdot (\operatorname{ctg}\alpha + \operatorname{ctg}\theta) / (1 + \operatorname{ctg}^2 \theta)$$

$$V_{Rd} = 1532.12 \text{ (kN)} \quad \min(V_{Rsd}, V_{Rcd})$$

Relazione di calcolo spalle

| | | | | | |
|---------|---------|----------|--------------|------|------------|
| COMMESA | LOTTO | CODIFICA | DOCUMENTO | REV. | FOGLIO |
| NM25 | 03 D 26 | CL | IV 37 04 001 | A | 108 di 439 |

VERIFICA A PUNZONAMENTO PIASTRE EC2 -UNI EN 1992-1-1 - Caso palo d'angolo**DATI PALO**

| | | | |
|--------------------------------|---|-------------------------------|-------------|
| D | = | 1000 | mm |
| Hp (piastra) | = | 1800 | mm |
| cx (coprifero asse) | = | 69 | mm |
| cy (coprifero asse) | = | 95 | mm |
| dx | = | Hp-cx | = 1731 mm |
| dy | = | Hp-cy | = 1705 mm |
| deff (altezza utile media) | = | (dx+dy)/2 | = 1718 mm |
| d1x (dist. asse colonna-bordo) | = | 1000 | mm |
| d1y (dist. asse colonna-bordo) | = | 1000 | mm |
| u1 (perimetro di verifica) | = | ((2π((D/2)+2deff))/4)+d1x+d1y | = 8179,5 mm |

TIPOLOGIA COLONNA

| | |
|------------|-------|
| UBICAZIONE | A |
| β | = 1,5 |

MATERIALI

| | | | | |
|-----------------|---|--------|-----|---------|
| f _{yd} | = | 391,30 | MPa | acciaio |
|-----------------|---|--------|-----|---------|

| | | | | |
|------------------|---|---------------------------------------|---------|-----|
| R _{ck} | = | 30 | MPa | cls |
| γ _c | = | 1,5 | | |
| f _{ck} | = | 0,83R _{ck} | = 24,9 | MPa |
| f _{cd} | = | 0,85f _{ck} /γ _c | = 14,11 | MPa |
| f _{csm} | = | 0,3*(f _{ck}) ^{2/3} | = 2,56 | MPa |
| f _{ctk} | = | 0,7*f _{csm} | = 1,79 | MPa |
| f _{ctd} | = | f _{ck} /γ _c | = 1,19 | MPa |

ARMATURE LONGITUDINALI PER FLESSIONE PRESENTI NELLA PIASTRA

| | | | | |
|-------------------|---|----------|--------------------|----------------------------------|
| Ø _{lx} | = | 26 | mm | diametro barre X |
| Numerico arm x | = | 10 | 1/m | numero barre X a m ⁻¹ |
| A _{slx} | = | 5309,29 | mm ² /m | area barre X a m ⁻¹ |
| l _{effx} | = | 11,31 | m | larghezza efficace dir Y |
| A _{sly} | = | 60037,47 | mm ² | acciaio X nella largh. efficace |
| Ø _{ly} | = | 26 | mm | diametro barre Y |
| Numerico arm y | = | 10 | 1/m | numero barre Y a m ⁻¹ |
| A _{slx} | = | 5309,29 | mm ² /m | area barre Y a m ⁻¹ |
| l _{effx} | = | 11,31 | mm | larghezza efficace dir X |
| A _{sly} | = | 60037,47 | mm ² | acciaio Y nella largh. efficace |

SOLLECITAZIONE DI CALCOLO

| | | | |
|------------------------------|--------------------|------|-------|
| SFORZO NORMALE PALO | V _{Ed} = | 2882 | (KN) |
| MOMENTO FLETTENTE RISULTANTE | M _{yEd} = | 0 | (KNm) |
| SFORZO NORMALE PIASTRA | N _{Ed} = | 0 | (KN) |

RADDOPPIO LINEA CODOGNO – CREMONA – MANTOVA
TRATTA PIADENA - MANTOVA

Relazione di calcolo spalle

COMMESA LOTTO CODIFICA DOCUMENTO REV. FOGLIO
NM25 03 D 26 CL IV 37 04 001 A 109 di 439
TENSIONE TANGENZIALE DI CALCOLO

| | | | |
|----------------------|---------------------------------------|------|-----|
| tensione tangenziale | $v_{Ed} = \beta * V_{Ed} / (u_1 * d)$ | 0,31 | MPa |
|----------------------|---------------------------------------|------|-----|

ELEMENTI SENZA ARMATURA A TAGLIO

| | | | |
|---------------|---|--------|------------------------------------|
| Crdc | = | 0,12 | $0,18/\gamma_c$ |
| k | = | 1,34 | $1 + (200/d)^{1/2} \leq 2$ |
| vmin | = | 0,271 | percentuale armatura tesa X |
| ρ_{ix} | = | 0,0031 | percentuale armatura tesa Y |
| ρ_{iy} | = | 0,0031 | percentuale media geometrica |
| ρ_i | = | 0,0031 | (MPa) tensione di compressione cls |
| α_{cp} | = | 0,0000 | |

TENSIONE TANGENZIALE LIMITE SENZA ARMATURA

| | | | | | | |
|----------------------|------|---|-------|------------------------------------|------|-------|
| $V_{Rd,c}$ | = | 0,32 | (MPa) | $V_{min+0,15*\alpha_{cp}}$ | 0,27 | (MPa) |
| $V_{Rd,c}$ | = | 0,32 | (MPa) | resistenza a taglio cls non armato | | |
| Esito verifica | = | OK. Verifica a punzonamento soddisfatta | | | | |
| Fattore di sicurezza | FS = | $V_{Rd,c}/V_{Ed}$ | 1,03 | | | |

ELEMENTI CON ARMATURA A TAGLIO

| | | | | |
|------------------------------------|------|--------------------------|-------|--------------------------------------|
| $\varnothing st$ | = | 16 | mm | diametro spille |
| passo x spilli (il minore dei due) | = | 40 | cm | |
| passo y spilli | = | 20 | cm | |
| nbr | = | 37 | | numero di spille su un perimetro |
| d | = | 1718 | mm | altezza utile media |
| α | = | 90 | ° | (spille verticali) |
| f_ywdeff | = | 391,3 | Mpa | tensione limite acciaio |
| Asw | = | 7443,3 | mm² | area di acciaio su un perimetro |
| sr | = | 400 | mm | passo radiale |
| $V_{Rd,CS}$ | = | 1,57 | (MPa) | resistenza a taglio cls con armatura |
| Esito verifica | = | Ok. Verifica soddisfatta | | |
| Fattore di sicurezza | FS = | $V_{Rd,CS}/V_{Ed}$ | 5,12 | |

| | | | | | | |
|---|--|--|--|--|--|--|
|  ITALFERR GRUPPO FERROVIE DELLO STATO ITALIANE | RADDOPPIO LINEA CODOGNO – CREMONA – MANTOVA TRATTA PIADENA - MANTOVA | | | | | |
| Relazione di calcolo spalle | COMMESSA LOTTO CODIFICA DOCUMENTO REV. FOGLIO NM25 03 D 26 CL IV 37 04 001 A 110 di 439 | | | | | |

13.5 VERIFICA DEI PALI DI FONDAZIONE

Le sollecitazioni agenti in testa palo vengono calcolate nell'ipotesi di platea di fondazione infinitamente rigida attraverso la relazione:

$$N = \frac{N}{n^{\circ} \text{pali}} + \frac{M_l}{J_l} \cdot x + \frac{M_t}{J_t} \cdot y$$

dove N, M_l, M_t, sono lo sforzo normale e i momenti flettenti longitudinale e trasversale agenti al baricentro della palificata, n°pali è il numero di pali, J_l e J_t sono le inerzie longitudinale e trasversale della palificata:

$$J_l = \sum x_i^2 \quad J_t = \sum y_i^2$$

Per quanto riguarda le sollecitazioni orizzontali in testa palo, si assume che le azioni di taglio di ripartiscano uniformemente tra i pali, risultando:

$$T = \frac{\sqrt{H_l^2 + H_t^2}}{n^{\circ} \text{pali}}$$

dove H_l e H_t sono le forze orizzontali longitudinale e trasversale agenti al baricentro della palificata.

I pali saranno armati con uno strato di 28Ø30+16Ø28 e con una spirale Ø14/10, necessari per soddisfare la verifica del carico limite orizzontale. Tale armatura costituisce la prima gabbia e si estende per 10 metri. La successiva gabbia sarà realizzata con un'armatura costituita da 20Ø26, fino a circa 20m dalla testa del palo, superiore al limite normativo del 1% dell'area di calcestruzzo per uno sviluppo di almeno 10 diametri.

Si riassume di seguito l'armatura adottata.

| ARMATURA | | | |
|-----------------|------------|--|------------------------------------|
| Armatura 1 | Armatura 2 | | Armatura taglio |
| 28Ø30+16Ø28 | 20Ø26 | | Gabbia 1 Ø14/10 Gabbia 2 Ø12/20 |

| | | | | | | |
|---|---|------------------|----------------|---------------------------|-----------|----------------------|
|  ITALFERR GRUPPO FERROVIE DELLO STATO ITALIANE | RADDOPPIO LINEA CODOGNO – CREMONA – MANTOVA TRATTA PIADENA - MANTOVA | | | | | |
| Relazione di calcolo spalle | COMMESA NM25 | LOTTO 03 D 26 | CODIFICA CL | DOCUMENTO IV 37 04 001 | REV. A | FOGLIO 111 di 439 |

13.5.1 Verifiche strutturali

CARATTERISTICHE DI RESISTENZA DEI MATERIALI IMPIEGATI

| | | |
|----------------|--|-----------------------------|
| CALCESTRUZZO - | Classe: | C25/30 |
| | Resis. compr. di progetto fcd: | 14.160 MPa |
| | Resis. compr. ridotta fcd': | 7.080 MPa |
| | Def.unit. max resistenza ec2: | 0.0020 |
| | Def.unit. ultima ecu: | 0.0035 |
| | Diagramma tensione-deformaz.: | Parabola-Rettangolo |
| | Modulo Elastico Normale Ec: | 31475.0 MPa |
| | Resis. media a trazione fctm: | 2.560 MPa |
| | Coeff. Omogen. S.L.E.: | 15.00 |
| | Coeff. Omogen. S.L.E.: | 15.00 |
| | Sc limite S.L.E. comb. Frequenti: | 137.50 daN/cm ² |
| | Ap.Fessure limite S.L.E. comb. Frequenti: | 0.200 mm |
| | Sc limite S.L.E. comb. Q.Permanenti: | 0.00 Mpa |
| | Ap.Fess.limite S.L.E. comb. Q.Perm.: | 0.200 mm |
| ACCIAIO - | Tipo: | B450C |
| | Resist. caratt. snervam. fyk: | 450.00 MPa |
| | Resist. caratt. rottura ftk: | 450.00 MPa |
| | Resist. snerv. di progetto fyd: | 391.30 MPa |
| | Resist. ultima di progetto ftd: | 391.30 MPa |
| | Deform. ultima di progetto Epu: | 0.068 |
| | Modulo Elastico Ef | 2000000 daN/cm ² |
| | Diagramma tensione-deformaz.: | Bilineare finito |
| | Coeff. Aderenza istantaneo $\beta_1 \cdot \beta_2$: | 1.00 |
| | Coeff. Aderenza differito $\beta_1 \cdot \beta_2$: | 0.50 |
| | Sf limite S.L.E. Comb. Rare: | 337.50 MPa |

CARATTERISTICHE DOMINIO CONGLOMERATO

| | |
|----------------------|-----------|
| Forma del Dominio: | Circolare |
| Classe Conglomerato: | C25/30 |

Raggio circ.: 50.0 cm
 X centro circ.: 0.0 cm
 Y centro circ.: 0.0 cm

DATI GENERAZIONI CIRCOLARI DI BARRE

| | |
|---------|---|
| N°Gen. | Numero assegnato alla singola generazione circolare di barre |
| Xcentro | Ascissa [cm] del centro della circonf. lungo cui sono disposte le barre generate |
| Ycentro | Ordinata [cm] del centro della circonf. lungo cui sono disposte le barre generate |
| Raggio | Raggio [cm] della circonferenza lungo cui sono disposte le barre generate |
| N°Barre | Numero di barre generate equidist. disposte lungo la circonferenza |
| Ø | Diametro [mm] della singola barra generata |

| N°Gen. | Xcentro | Ycentro | Raggio | N°Barre | Ø |
|--------|---------|---------|--------|---------|----|
| 1 | 0.0 | 0.0 | 41.1 | 28 | 30 |
| 2 | 0.0 | 0.0 | 35.2 | 16 | 28 |

Relazione di calcolo spalle

| | | | | | |
|---------|---------|----------|--------------|------|------------|
| COMMESA | LOTTO | CODIFICA | DOCUMENTO | REV. | FOGLIO |
| NM25 | 03 D 26 | CL | IV 37 04 001 | A | 112 di 439 |

ARMATURE A TAGLIO

Diametro staffe: 14 mm
Passo staffe: 10.0 cm
Staffe: Una sola staffa chiusa perimetrale

CALCOLO DI RESISTENZA - SFORZI PER OGNI COMBINAZIONE ASSEGNATA

| | |
|----|--|
| N | Sforzo normale [kN] applicato nel Baric. (+ se di compressione) |
| Mx | Momento flettente [kNm] intorno all'asse x princ. d'inerzia con verso positivo se tale da comprimere il lembo sup. della sez. |
| My | Momento flettente [kNm] intorno all'asse y princ. d'inerzia con verso positivo se tale da comprimere il lembo destro della sez. |
| Vy | Componente del Taglio [kN] parallela all'asse princ.d'inerzia y |
| Vx | Componente del Taglio [kN] parallela all'asse princ.d'inerzia x |

| N°Comb. | N | Mx | My | Vy | Vx |
|---------|---------|---------|------|--------|------|
| 1 | 1971.00 | 678.00 | 0.00 | 271.00 | 0.00 |
| 2 | 2505.00 | 678.00 | 0.00 | 271.00 | 0.00 |
| 3 | 358.00 | 1515.00 | 0.00 | 606.00 | 0.00 |
| 4 | 2882.00 | 1515.00 | 0.00 | 606.00 | 0.00 |

COMB. RARE (S.L.E.) - SFORZI PER OGNI COMBINAZIONE ASSEGNATA

| | |
|----|---|
| N | Sforzo normale [kN] applicato nel Baricentro (+ se di compressione) |
| Mx | Momento flettente [kNm] intorno all'asse x princ. d'inerzia (tra parentesi Mom.Fessurazione) con verso positivo se tale da comprimere il lembo superiore della sezione |
| My | Momento flettente [kNm] intorno all'asse y princ. d'inerzia (tra parentesi Mom.Fessurazione) con verso positivo se tale da comprimere il lembo destro della sezione |

| N°Comb. | N | Mx | My |
|---------|---------|--------|------|
| 1 | 1451.00 | 503.00 | 0.00 |
| 2 | 1859.00 | 503.00 | 0.00 |

COMB. FREQUENTI (S.L.E.) - SFORZI PER OGNI COMBINAZIONE ASSEGNATA

| | |
|----|---|
| N | Sforzo normale [kN] applicato nel Baricentro (+ se di compressione) |
| Mx | Momento flettente [kNm] intorno all'asse x princ. d'inerzia (tra parentesi Mom.Fessurazione) con verso positivo se tale da comprimere il lembo superiore della sezione |
| My | Momento flettente [kNm] intorno all'asse y princ. d'inerzia (tra parentesi Mom.Fessurazione) con verso positivo se tale da comprimere il lembo destro della sezione |

| N°Comb. | N | Mx | My |
|---------|---------|-----------------|-------------|
| 1 | 1392.00 | 488.00 (695.24) | 0.00 (0.00) |
| 2 | 1890.00 | 488.00 (897.44) | 0.00 (0.00) |

COMB. QUASI PERMANENTI (S.L.E.) - SFORZI PER OGNI COMBINAZIONE ASSEGNATA

| | |
|----|---|
| N | Sforzo normale [kN] applicato nel Baricentro (+ se di compressione) |
| Mx | Momento flettente [kNm] intorno all'asse x princ. d'inerzia (tra parentesi Mom.Fessurazione) con verso positivo se tale da comprimere il lembo superiore della sezione |
| My | Momento flettente [kNm] intorno all'asse y princ. d'inerzia (tra parentesi Mom.Fessurazione) con verso positivo se tale da comprimere il lembo destro della sezione |

Relazione di calcolo spalle

COMMESA LOTTO CODIFICA DOCUMENTO REV. FOGLIO
NM25 03 D 26 CL IV 37 04 001 A 113 di 439

| N°Comb. | N | Mx | My |
|---------|---------|-----------------|-------------|
| 1 | 1333.00 | 473.00 (690.02) | 0.00 (0.00) |
| 2 | 1893.00 | 473.00 (931.74) | 0.00 (0.00) |

RISULTATI DEL CALCOLO

Sezione verificata per tutte le combinazioni assegnate

Copriterro netto minimo barre longitudinali: 7.4 cm
Interferro netto minimo barre longitudinali: 3.0 cm
Copriterro netto minimo staffe: 6.0 cm

VERIFICHE DI RESISTENZA IN PRESSO-TENSO FLESSIONE ALLO STATO LIMITE ULTIMO

| | |
|-----------|---|
| Ver | S = combinazione verificata / N = combin. non verificata |
| N | Sforzo normale assegnato [kN] nel baricentro B sezione cls.(positivo se di compressione) |
| Mx | Componente del momento assegnato [kNm] riferito all'asse x princ. d'inerzia |
| My | Componente del momento assegnato [kNm] riferito all'asse y princ. d'inerzia |
| N Res | Sforzo normale resistente [kN] nel baricentro B sezione cls.(positivo se di compress.) |
| Mx Res | Momento flettente resistente [kNm] riferito all'asse x princ. d'inerzia |
| My Res | Momento flettente resistente [kNm] riferito all'asse y princ. d'inerzia |
| Mis.Sic. | Misura sicurezza = rapporto vettoriale tra (N r,Mx Res,My Res) e (N,Mx,My) |
| As Totale | Verifica positiva se tale rapporto risulta >=1.000 Area totale barre longitudinali [cm ²]. [Tra parentesi il valore minimo di normativa] |

| N°Comb | Ver | N | Mx | My | N Res | Mx Res | My Res | Mis.Sic. | As Totale |
|--------|-----|---------|---------|------|---------|---------|--------|----------|-------------|
| 1 | S | 1971.00 | 678.00 | 0.00 | 1971.10 | 3632.88 | 0.00 | 5.36 | 296.4(23.6) |
| 2 | S | 2505.00 | 678.00 | 0.00 | 2504.91 | 3661.98 | 0.00 | 5.40 | 296.4(23.6) |
| 3 | S | 358.00 | 1515.00 | 0.00 | 358.15 | 3473.13 | 0.00 | 2.29 | 296.4(23.6) |
| 4 | S | 2882.00 | 1515.00 | 0.00 | 2882.16 | 3678.27 | 0.00 | 2.43 | 296.4(23.6) |

METODO AGLI STATI LIMITE ULTIMI - DEFORMAZIONI UNITARIE ALLO STATO ULTIMO

| | |
|--------|--|
| ec max | Deform. unit. massima del conglomerato a compressione |
| Xc max | Deform. unit. massima del conglomerato a compressione |
| Yc max | Ascissa in cm della fibra corrisp. a ec max (sistema rif. X,Y,O sez.) |
| Yc min | Ordinata in cm della fibra corrisp. a ec max (sistema rif. X,Y,O sez.) |
| es min | Deform. unit. minima nell'acciaio (negativa se di trazione) |
| Xs min | Ascissa in cm della barra corrisp. a es min (sistema rif. X,Y,O sez.) |
| Ys min | Ordinata in cm della barra corrisp. a es min (sistema rif. X,Y,O sez.) |
| es max | Deform. unit. massima nell'acciaio (positiva se di compress.) |
| Xs max | Ascissa in cm della barra corrisp. a es max (sistema rif. X,Y,O sez.) |
| Ys max | Ordinata in cm della barra corrisp. a es max (sistema rif. X,Y,O sez.) |

| N°Comb | ec max | Xc max | Yc max | es min | Xs min | Ys min | es max | Xs max | Ys max |
|--------|---------|--------|--------|---------|--------|--------|----------|--------|--------|
| 1 | 0.00350 | 0.0 | 50.0 | 0.00277 | 0.0 | 41.1 | -0.00393 | 0.0 | -41.1 |
| 2 | 0.00350 | 0.0 | 50.0 | 0.00280 | 0.0 | 41.1 | -0.00365 | 0.0 | -41.1 |
| 3 | 0.00350 | 0.0 | 50.0 | 0.00268 | 0.0 | 41.1 | -0.00494 | 0.0 | -41.1 |
| 4 | 0.00350 | 0.0 | 50.0 | 0.00282 | 0.0 | 41.1 | -0.00347 | 0.0 | -41.1 |

POSIZIONE ASSE NEUTRO PER OGNI COMB. DI RESISTENZA

a, b, c Coeff. a, b, c nell'eq. dell'asse neutro $aX+bY+c=0$ nel rif. X,Y,O gen.
x/d Rapp. di duttilità (travi e solette)|§ 4.1.2.1.2.1 NTC|: deve essere < 0.45

| | | | | | | |
|---|---|------------------|----------------|---------------------------|-----------|----------------------|
|  ITALFERR GRUPPO FERROVIE DELLO STATO ITALIANE | RADDOPPIO LINEA CODOGNO – CREMONA – MANTOVA TRATTA PIADENA - MANTOVA | | | | | |
| Relazione di calcolo spalle | COMMESSE NM25 | LOTTO 03 D 26 | CODIFICA CL | DOCUMENTO IV 37 04 001 | REV. A | FOGLIO 114 di 439 |

C.Rid. Coeff. di riduz. momenti per sola flessione in travi continue

| N°Comb | a | b | c | x/d | C.Rid. |
|--------|-------------|-------------|--------------|-----|--------|
| 1 | 0.000000000 | 0.000081605 | -0.000580253 | --- | --- |
| 2 | 0.000000000 | 0.000078524 | -0.000426209 | --- | --- |
| 3 | 0.000000000 | 0.000092671 | -0.001133533 | --- | --- |
| 4 | 0.000000000 | 0.000076483 | -0.000324128 | --- | --- |

VERIFICHE A TAGLIO

Diam. Staffe: 14 mm
 Passo staffe: 10.0 cm [Passo massimo di normativa = 25.0 cm]

| | |
|-------|---|
| Ver | S = comb. verificata a taglio / N = comb. non verificata |
| Ved | Taglio di progetto [kN] = proiez. di Vx e Vy sulla normale all'asse neutro |
| Vcd | Taglio compressione resistente [kN] lato conglomerato [formula (4.1.28)NTC] |
| Vwd | Taglio resistente [kN] assorbito dalle staffe [(4.1.18) NTC] |
| d z | Altezza utile media pesata sezione ortogonale all'asse neutro Braccio coppia interna [cm] Vengono prese nella media le strisce con almeno un estremo compresso. I pesi della media sono costituiti dalle stesse lunghezze delle strisce. |
| bw | Larghezza media resistente a taglio [cm] misurate parallel. all'asse neutro E' data dal rapporto tra l'area delle sopradette strisce resistenti e Dmed. |
| Ctg | Cotangente dell'angolo di inclinazione dei puntini di conglomerato |
| Acw | Coefficiente maggiorativo della resistenza a taglio per compressione |
| Ast | Area staffe+legature strettam. necessarie a taglio per metro di pil.[cm ² /m] |
| A.Eff | Area staffe+legature efficaci nella direzione del taglio di combinaz.[cm ² /m] Tra parentesi è indicata la quota dell'area relativa alle sole legature. L'area della legatura è ridotta col fattore L/d_max con L=lungh.legat.proietta- ta sulla direz. del taglio e d_max= massima altezza utile nella direz.del taglio. |

| N°Comb | Ver | Ved | Vcd | Vwd | d z | bw | Ctg | Acw | Ast | A.Eff |
|--------|-----|--------|---------|---------|------------|------|-------|-------|------|-----------|
| 1 | S | 271.00 | 1656.87 | 1908.76 | 76.2 63.4 | 91.0 | 2.500 | 1.177 | 4.4 | 30.8(0.0) |
| 2 | S | 271.00 | 1696.82 | 1882.60 | 76.2 62.5 | 90.7 | 2.500 | 1.225 | 4.4 | 30.8(0.0) |
| 3 | S | 606.00 | 1499.33 | 2002.28 | 77.0 66.5 | 89.5 | 2.500 | 1.032 | 9.3 | 30.8(0.0) |
| 4 | S | 606.00 | 1714.84 | 1862.09 | 76.0 61.8 | 90.9 | 2.500 | 1.250 | 10.0 | 30.8(0.0) |

COMBINAZIONI RARE IN ESERCIZIO - MASSIME TENSIONI NORMALI ED APERTURA FESSURE (NTC/EC2)

| | |
|----------------|--|
| Ver | S = comb. verificata/ N = comb. non verificata |
| Sc max | Massima tensione (positiva se di compressione) nel conglomerato [Mpa] |
| Xc max, Yc max | Ascissa, Ordinata [cm] del punto corrisp. a Sc max (sistema rif. X,Y,O) |
| Sf min | Minima tensione (negativa se di trazione) nell'acciaio [Mpa] |
| Xs min, Ys min | Ascissa, Ordinata [cm] della barra corrisp. a Sf min (sistema rif. X,Y,O) |
| Ac eff. | Area di calcestruzzo [cm ²] in zona tesa considerata aderente alle barre |
| As eff. | Area barre [cm ²] in zona tesa considerate efficaci per l'apertura delle fessure |

| N°Comb | Ver | Sc max | Xc max | Yc max | Sf min | Xs min | Ys min | Ac eff. | As eff. |
|--------|-----|--------|--------|--------|--------|--------|--------|---------|---------|
| 1 | S | 4.57 | 0.0 | 0.0 | -30.8 | 0.0 | -41.1 | 560 | 21.2 |
| 2 | S | 4.76 | 0.0 | 0.0 | -21.0 | 0.0 | -41.1 | 356 | 7.1 |

COMBINAZIONI RARE IN ESERCIZIO - APERTURA FESSURE [§ 7.3.4 EC2]

| | |
|------|--|
| Ver. | La sezione viene assunta sempre fessurata anche nel caso in cui la trazione minima del calcestruzzo sia inferiore a fctm |
| e1 | Esito della verifica |
| | Massima deformazione unitaria di trazione nel calcestruzzo (trazione -) valutata in sezione fessurata |

Relazione di calcolo spalle

| | | | | | |
|----------|---------|----------|--------------|------|------------|
| COMMESSE | LOTTO | CODIFICA | DOCUMENTO | REV. | FOGLIO |
| NM25 | 03 D 26 | CL | IV 37 04 001 | A | 115 di 439 |

e2 Minima deformazione unitaria di trazione nel calcestruzzo (trazione -) valutata in sezione fessurata
k1 = 0.8 per barre ad aderenza migliorata [eq.(7.11)EC2]

kt = 0.4 per comb. quasi permanenti / = 0.6 per comb.frequenti [cfr. eq.(7.9)EC2]

k2 = 0.5 per flessione; =(e1 + e2)/(2*e1) per trazione eccentrica [eq.(7.13)EC2]

k3 = 3.400 Coeff. in eq.(7.11) come da annessi nazionali

k4 = 0.425 Coeff. in eq.(7.11) come da annessi nazionali

Ø Diametro [mm] equivalente delle barre tese comprese nell'area efficace Ac eff [eq.(7.11)EC2]

Cf Coprifero [mm] netto calcolato con riferimento alla barra più tesa

e sm - e cm Differenza tra le deformazioni medie di acciaio e calcestruzzo [(7.8)EC2 e (C4.1.7)NTC]

Tra parentesi: valore minimo = 0.6 Smax / Es [(7.9)EC2 e (C4.1.8)NTC]

sr max Massima distanza tra le fessure [mm]

wk Apertura fessure in mm calcolata = sr max*(e_sm - e_cm) [(7.8)EC2 e (C4.1.7)NTC]. Valore limite tra parentesi

Mx fess. Componente momento di prima fessurazione intorno all'asse X [kNm]

My fess. Componente momento di prima fessurazione intorno all'asse Y [kNm]

| Comb. | Ver | e1 | e2 | k2 | Ø | Cf | e sm - e cm | sr max | wk | Mx fess | My fess |
|-------|-----|----------|----|-------|------|----|-------------------|--------|--------------|---------|---------|
| 1 | S | -0.00020 | 0 | 0.500 | 30.0 | 74 | 0.00009 (0.00009) | 386 | 0.036 (0.20) | 700.22 | 0.00 |
| 2 | S | -0.00015 | 0 | 0.500 | 30.0 | 74 | 0.00006 (0.00006) | 508 | 0.032 (0.20) | 854.31 | 0.00 |

COMBINAZIONI FREQUENTI IN ESERCIZIO - MASSIME TENSIONI NORMALI ED APERTURA FESSURE (NTC/EC2)

| N°Comb | Ver | Sc max | Xc max | Yc max | Sf min | Xs min | Ys min | Ac eff. | As eff. |
|--------|-----|--------|--------|--------|--------|--------|--------|---------|---------|
| 1 | S | 4.43 | 0.0 | 0.0 | -30.3 | 0.0 | -41.1 | 560 | 21.2 |
| 2 | S | 4.66 | 0.0 | 0.0 | -18.5 | 0.0 | -41.1 | 335 | 7.1 |

COMBINAZIONI FREQUENTI IN ESERCIZIO - APERTURA FESSURE [§ 7.3.4 EC2]

| Comb. | Ver | e1 | e2 | k2 | Ø | Cf | e sm - e cm | sr max | wk | Mx fess | My fess |
|-------|-----|----------|----|-------|------|----|-------------------|--------|--------------|---------|---------|
| 1 | S | -0.00020 | 0 | 0.500 | 30.0 | 74 | 0.00009 (0.00009) | 386 | 0.035 (0.20) | 695.24 | 0.00 |
| 2 | S | -0.00014 | 0 | 0.500 | 30.0 | 74 | 0.00006 (0.00006) | 493 | 0.027 (0.20) | 897.44 | 0.00 |

COMBINAZIONI QUASI PERMANENTI IN ESERCIZIO - MASSIME TENSIONI NORMALI ED APERTURA FESSURE (NTC/EC2)

| N°Comb | Ver | Sc max | Xc max | Yc max | Sf min | Xs min | Ys min | Ac eff. | As eff. |
|--------|-----|--------|--------|--------|--------|--------|--------|---------|---------|
| 1 | S | 4.29 | 0.0 | 0.0 | -29.8 | 0.0 | -41.1 | 560 | 21.2 |
| 2 | S | 4.55 | 0.0 | 0.0 | -16.6 | 0.0 | -41.1 | 314 | 7.1 |

COMBINAZIONI QUASI PERMANENTI IN ESERCIZIO - APERTURA FESSURE [§ 7.3.4 EC2]

| Comb. | Ver | e1 | e2 | k2 | Ø | Cf | e sm - e cm | sr max | wk | Mx fess | My fess |
|-------|-----|----------|----|-------|------|----|-------------------|--------|--------------|---------|---------|
| 1 | S | -0.00019 | 0 | 0.500 | 30.0 | 74 | 0.00009 (0.00009) | 386 | 0.034 (0.20) | 690.02 | 0.00 |
| 2 | S | -0.00012 | 0 | 0.500 | 30.0 | 74 | 0.00005 (0.00005) | 478 | 0.024 (0.20) | 931.74 | 0.00 |

13.5.2 Verifiche geotecniche

13.5.2.1 Verifiche di capacità portante

CALCOLO DELLA CAPACITA' PORTANTE DI UN PALO TRIVELLATO DI GRANDE DIAMETRO

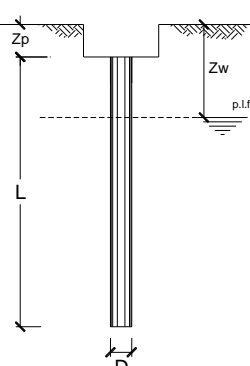
CANTIERE: -

OPERA:

DATI DI INPUT:

| | | | | | |
|--------------------------------------|------|------|---------------------------------|-------|-----------|
| Diametro del Palo (D): | 1.00 | (m) | Area del Palo (Ap): | 0.785 | (m^2) |
| Quota testa Palo dal p.c. (z_t): | 2.00 | (m) | Quota falda dal p.c. (z_w): | 6.00 | (m) |
| Carico Assiale Permanente (G): | 1893 | (kN) | Carico Assiale variabile (Q): | 143 | (kN) |

| Numero di strati | | 3 | Lpal = | 20.00 | | |
|--------------------------|----------|----------------------------------|-----------|-------------------------------|------------|------------------|
| coefficenti parziali | | azioni | | resistenza laterale e di base | | |
| Metodo di calcolo | | permanenti | variabili | γ_b | γ_s | γ_{straz} |
| SLU | A1+M1+R1 | <input type="radio"/> | 1.30 | 1.50 | 1.00 | 1.00 |
| | A2+M1+R2 | <input type="radio"/> | 1.00 | 1.30 | 1.70 | 1.45 |
| | A1+M1+R3 | <input checked="" type="radio"/> | 1.30 | 1.50 | 1.35 | 1.15 |
| | SISMA | <input type="radio"/> | 1.00 | 1.00 | 1.35 | 1.15 |
| | DM88 | <input type="radio"/> | 1.00 | 1.00 | 1.00 | 1.00 |
| definiti dal progettista | | <input type="radio"/> | 1.10 | 1.20 | 1.50 | 1.30 |
| | | | | | | 1.30 |



| n | 1 ○ | 2 ● | 3 ○ | 4 ○ | 5 ○ | 7 ○ | ≥10 ○ | T.A. ○ | prog- ○ |
|----|--------|--------|--------|--------|--------|--------|----------|-----------|------------|
| ξ₃ | 1.70 | 1.65 | 1.60 | 1.55 | 1.50 | 1.45 | 1.40 | 1.00 | 1.00 |
| ξ₄ | 1.70 | 1.55 | 1.48 | 1.42 | 1.34 | 1.28 | 1.21 | 1.00 | 1.00 |

(n.b.: lo spessore degli strati è computato dalla quota di intradosso del plinto)



RADDOPPIO LINEA CODOGNO – CREMONA – MANTOVA TRATTA PIADENA - MANTOVA

Relazione di calcolo spalle

| | | | | | |
|-------------|----------------|-----------|---------------------|----------|-------------------|
| COMMESSA | LOTTO | CODIFICA | DOCUMENTO | REV. | FOGLIO |
| NM25 | 03 D 26 | CL | IV 37 04 001 | A | 117 di 439 |

RISULTATI

| CARICO ASSIALE AGENTE | CAPACITA' PORTANTE MEDIA | CAPACITA' PORTANTE MINIMA |
|------------------------------------|---|---|
| $Nd = Ng + Nq + Nq \cdot \gamma_q$ | base $R_{b;cal\ med} = 2637.4 \text{ (kN)}$ | base $R_{b;cal\ min} = 2637.4 \text{ (kN)}$ |
| $Nd = 2675.4 \text{ (kN)}$ | laterale $R_{s;cal\ med} = 2995.7 \text{ (kN)}$ | laterale $R_{s;cal\ min} = 2995.7 \text{ (kN)}$ |
| | totale $R_{c;cal\ med} = 5633.1 \text{ (kN)}$ | totale $R_{c;cal\ min} = 5633.1 \text{ (kN)}$ |

| CAPACITA' PORTANTE CARATTERISTICA | CAPACITA' PORTANTE DI PROGETTO | |
|---|---|-----------------------|
| $R_{b,k} = \text{Min}(R_{b,cal\ med}/\xi_3 ; R_{b,cal\ min}/\xi_4) = 1598.4 \text{ (kN)}$ | $R_{c,d} = R_{b,k}/\gamma_b + R_{s,k}/\gamma_s$ | $F_s = R_{c,d} / N_d$ |
| $R_{s,k} = \text{Min}(R_{s,cal\ med}/\xi_3 ; R_{s,cal\ min}/\xi_4) = 1815.6 \text{ (kN)}$ | $R_{c,d} = 2762.8 \text{ (kN)}$ | $F_s = 1.03$ |
| $R_{c,k} = R_{b,k} + R_{s,k}$ | $= 3414.0 \text{ (kN)}$ | |



RADDOPPIO LINEA CODOGNO – CREMONA – MANTOVA TRATTA PIADENA - MANTOVA

Relazione di calcolo spalle

COMMESMA **LOTTO** **CODIFICA** **DOCUMENTO** **REV.** **FOGLIO**

NM25 **03 D 26** **CL** **IV 37 04 001** **A** **118 di 120**

CALCOLO DELLA CAPACITA' PORTANTE DI UN PALO TRIVELLATO DI GRANDE DIAMETRO

CANTIERE:

OPERA:

DATI DI INPUT:

Diametro del Palo (D): **1.00** (m) Area del Palo (Ap): **0.785** (m^2)

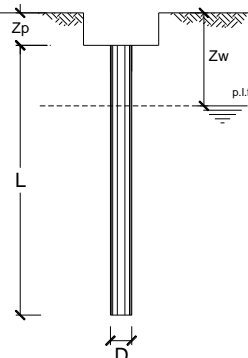
Quota testa Palo dal p.c. (z_p): **2.00** (m) Quota falda dal p.c. (z_w): **6.00** (m)

Carico Assiale Permanente (G): **1893** (kN) Carico Assiale variabile (Q): **143**

Numero di strati Lpalo = 20.00 (m)

coefficienti parziali azioni resistenza laterale e di base

| coefficenti parziali | | azioni | | resistenza laterale e di base | | |
|--------------------------|----------|------------|-----------|-------------------------------|------------|------------------|
| Metodo di calcolo | | permanenti | variabili | γ_b | γ_s | γ_{straz} |
| SLU | A1+M1+R1 | ○ | 1.30 | 1.50 | 1.00 | 1.00 |
| | A2+M1+R2 | ○ | 1.00 | 1.30 | 1.70 | 1.45 |
| | A1+M1+R3 | ● | 1.30 | 1.50 | 1.35 | 1.15 |
| | SISMA | ○ | 1.00 | 1.00 | 1.35 | 1.15 |
| | DM68 | ○ | 1.00 | 1.00 | 1.00 | 1.00 |
| definiti dal progettista | | ○ | 1.10 | 1.20 | 1.50 | 1.30 |



| n | 1 | 2 | 3 | 4 | 5 | 7 | ≥ 10 | T.A. | prog. |
|---------|-------|-------|-------|-------|-------|-------|---------------|----------|-------------|
| ξ_0 | 1.70 | 1.65 | 1.60 | 1.55 | 1.50 | 1.45 | 1.40 | 1.00 | 1.00 |
| ξ_4 | 1.70 | 1.55 | 1.48 | 1.42 | 1.34 | 1.28 | 1.21 | 1.00 | 1.00 |

PARAMETRI MEDI

(n.b.: lo spessore degli strati è computato dalla quota di intradosso del plinto)

PARAMETRI MINIMI (solo per SLU)

Relazione di calcolo spalle

COMMESA LOTTO CODIFICA DOCUMENTO REV. FOGLIO
NM25 03 D 26 CL IV 37 04 001 A 120 di 439

13.5.2.3 Verifiche del carico limite orizzontale

Calcolo del momento di plasticizzazione di una sezione circolare

Diametro = 1000 (mm)

Raggio = 500 (mm)

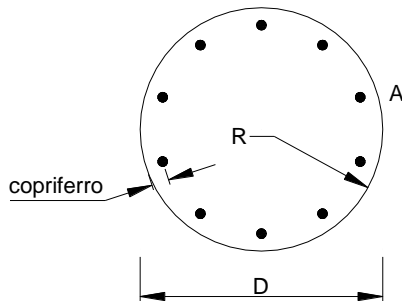
Sforzo Normale = 500 (kN)

Caratteristiche dei Materiali

calcestruzzo C25/30

Rck = 30 (Mpa)

fck = 25 (Mpa)

 $\gamma_c = 1.5$
 $\alpha_{cc} = 0.85$


$$fcd = \alpha_{cc} fck / \gamma_c = 14.17 \text{ (Mpa)}$$

Acciaio

tipo di acciaio B450C

fyk = 450 (Mpa)

 $\gamma_s = 1.15$

$$fyd = fyk / \gamma_s = 391.3 \text{ (Mpa)}$$

Es = 206000 (Mpa)

 $\varepsilon_y s = 0.190\%$
 $\varepsilon_u k = 10.000\%$

Armature

| numero | diametro (mm) | area (mm ²) | copriferro (mm) |
|--------|---------------|-------------------------|-----------------|
| 28 | ϕ 30 | 19792 | 90 |
| 16 | ϕ 28 | 9852 | 154 |
| 0 | ϕ 0 | 0 | 30 |

Momento di Plasticizzazione

My = 3470.9 (kN m)

Relazione di calcolo spalle

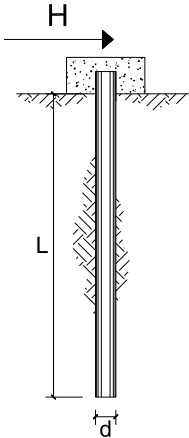
COMMESA LOTTO CODIFICA DOCUMENTO REV. FOGLIO
NM25 03 D 26 CL IV 37 04 001 A 121 di 439

CARICO LIMITE ORIZZONTALE DI UN PALO IN TERRENI INCOERENTI
PALI CON ROTAZIONE IN TESTA IMPEDITA
OPERA: -

TEORIA DI BASE:

(Broms, 1964)

| coefficienti parziali | | A | M | R |
|--|----------|----------------------------------|-------------|---------------|
| Metodo di calcolo | | permanenti | variabili | |
| | | γ_G | γ_Q | γ_ϕ |
| <input checked="" type="radio"/> SISMA | A1+M1+R1 | <input type="radio"/> | 1.30 | 1.50 |
| | A2+M1+R2 | <input type="radio"/> | 1.00 | 1.30 |
| | A1+M1+R3 | <input type="radio"/> | 1.30 | 1.50 |
| | SISMA | <input checked="" type="radio"/> | 1.00 | 1.00 |
| | DM88 | <input type="radio"/> | 1.00 | 1.00 |
| definiti dal progettista | | <input type="radio"/> | 1.00 | 1.00 |
| | | <input type="radio"/> | 1.00 | 1.25 |
| | | <input type="radio"/> | 1.00 | 1.00 |



| n | 1 | 2 | 3 | 4 | 5 | 7 | ≥ 10 | T.A. | prog. |
|---------|------|------|------|------|------|------|-----------|------|-------------|
| ξ_3 | 1.70 | 1.65 | 1.60 | 1.55 | 1.50 | 1.45 | 1.40 | 1.00 | 1.40 |
| ξ_4 | 1.70 | 1.55 | 1.48 | 1.42 | 1.34 | 1.28 | 1.21 | 1.00 | 1.40 |

Palo corto:
$$H = 1.5 k_p \gamma d^3 \left(\frac{L}{d} \right)^2$$

Palo intermedio:
$$H = \frac{1}{2} k_p \gamma d^3 \left(\frac{L}{d} \right)^2 + \frac{M_y}{L}$$

Palo lungo:
$$H = k_p \gamma d^3 \sqrt[3]{3.676 \frac{M_y}{k_p \gamma d^4}}^2$$

DATI DI INPUT:

| | | |
|--|-------------------|----------------------------------|
| Lunghezza del palo | L = | 20.00 (m) |
| Diametro del palo | d = | 1.00 (m) |
| Momento di plasticizzazione della sezione | My = | 3470.91 (kN m) |
| Angolo di attrito del terreno | φ' med= | 30.00 ($^\circ$) |
| Angolo di attrito di calcolo del terreno | φ' med,d= | 30.00 ($^\circ$) |
| Coeff. di spinta passiva ($k_p = (1+\sin\varphi')/(1-\sin\varphi')$) | k_p med = | 3.00 (-) |
| Peso di unità di volume (con falda $\gamma = \gamma'$) | γ = | 9.00 (kN/m ³) |
| Carico Assiale Permanente (G): | G = | 757.27 (kN) |
| Carico Assiale variabile (Q): | Q = | (kN) |



RADDOPPIO LINEA CODOGNO – CREMONA – MANTOVA
TRATTA PIADENA - MANTOVA

Relazione di calcolo spalle

COMMESSA LOTTO CODIFICA DOCUMENTO REV. FOGLIO
NM25 03 D 26 CL IV 37 04 001 A 122 di 439

Palo corto:

$$H1_{med} = 16200.00 \text{ (kN)} \quad H1_{min} = 13305.13 \text{ (kN)}$$

Palo intermedio:

$$H2_{med} = 5573.55 \text{ (kN)} \quad H2_{min} = 4608.59 \text{ (kN)}$$

Palo lungo:

$$H3_{med} = 1638.08 \text{ (kN)} \quad H3_{min} = 1534.04 \text{ (kN)}$$

$$H_{med} = 1638.08 \text{ (kN)} \quad \text{palo lungo} \quad H_{min} = 1534.04 \text{ (kN)} \quad \text{palo lungo}$$

$$H_k = \text{Min}(H_{med}/\xi_3; R_{min}/\xi_4) = 989.70 \text{ (kN)}$$

$$H_d = H_k/\gamma_T = 761.31 \text{ (kN)}$$

$$F_d = G \cdot \gamma_G + Q \cdot \gamma_Q = 757.27 \text{ (kN)}$$

$$FS = Hd / Fd = 1.01$$

Relazione di calcolo spalle

COMMESSE

LOTTO

CODIFICA

DOCUMENTO

REV.

FOGLIO

NM25

CL

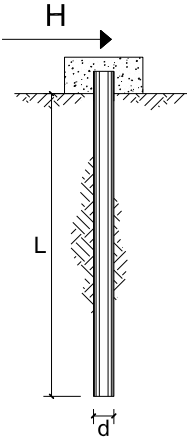
IV 37 04 001

A

123 di 439

CARICO LIMITE ORIZZONTALE DI UN PALE IN TERRENI COESIVI
PALI CON ROTAZIONE IN TESTA IMPEDITA
OPERA:TEORIA DI BASE:

(Broms, 1964)



| coefficienti parziali | | A | | M | R |
|-----------------------|--------------------------|----------------------------------|-----------|------------|------------|
| Metodo di calcolo | | permanenti | variabili | γ_u | γ_T |
| SIL | A1+M1+R1 | <input type="radio"/> | 1.30 | 1.50 | 1.00 |
| | A2+M1+R2 | <input type="radio"/> | 1.00 | 1.30 | 1.00 |
| | A1+M1+R3 | <input type="radio"/> | 1.30 | 1.50 | 1.00 |
| | SISMA | <input checked="" type="radio"/> | 1.00 | 1.00 | 1.00 |
| | DM88 | <input type="radio"/> | 1.00 | 1.00 | 1.00 |
| | definiti dal progettista | <input type="radio"/> | 1.30 | 1.50 | 1.40 |

| n | 1 | 2 | 3 | 4 | 5 | 7 | ≥ 10 | T.A. | prog. |
|---------|------|------|------|------|------|------|-----------|------|-------|
| ξ_3 | 1.70 | 1.65 | 1.60 | 1.55 | 1.50 | 1.45 | 1.40 | 1.00 | 1.00 |
| ξ_4 | 1.70 | 1.55 | 1.48 | 1.42 | 1.34 | 1.28 | 1.21 | 1.00 | 1.00 |

Palo corto: $H = 9c_u d^2 \left(\frac{L}{d} - 1.5 \right)$

Palo intermedio: $H = -9c_u d^2 \left(\frac{L}{d} + 1.5 \right) + 9c_u d^2 \sqrt{2 \left(\frac{L}{d} \right)^2 + \frac{4}{9} \frac{M_y}{c_u d^3} + 4.5}$

Palo lungo: $H = -13.5c_u d^2 + c_u d^2 \sqrt{182.25 + 36 \frac{M_y}{c_u d^3}}$

DATI DI INPUT:

Lunghezza del palo

 $L = 20.00$ (m)

Diametro del palo

 $d = 1.00$ (m)

Momento di plasticizzazione della sezione

 $M_y = 3470.91$ (kN m)

Coesione non drenata

 $c_u \text{ med} = 70.00$ (kPa) $c_u \text{ min} = 70.00$ (kPa)

Coesione non drenata di progetto

 $c_u \text{ med,d} = 70.00$ (kPa) $c_u \text{ min,d} = 70.00$ (kPa)

Carico Assiale Permanente (G):

 $G = 757.27$ (kN)

Carico Assiale variabile (Q):

 $Q = 0$ (kN)



RADDOPPIO LINEA CODOGNO – CREMONA – MANTOVA
TRATTA PIADENA - MANTOVA

Relazione di calcolo spalle

COMMESSA LOTTO CODIFICA DOCUMENTO REV. FOGLIO
NM25 03 D 26 CL IV 37 04 001 A 124 di 439

Palo corto:

$$H1_{med} = 11655.00 \text{ (kN)} \quad H1_{min} = 11655.00 \text{ (kN)}$$

Palo intermedio:

$$H2_{med} = 4567.23 \text{ (kN)} \quad H2_{min} = 4567.23 \text{ (kN)}$$

Palo lungo:

$$H3_{med} = 2159.79 \text{ (kN)} \quad H3_{min} = 2159.79 \text{ (kN)}$$

$$H_{med} = 2159.79 \text{ (kN)} \quad \text{palo lungo} \quad H_{min} = 2159.79 \text{ (kN)} \quad \text{palo lungo}$$

$$H_k = \text{Min}(H_{med}/\xi_3 ; R_{min}/\xi_4) = 1308.96 \text{ (kN)}$$

$$H_d = H_k/\gamma_T = 1006.90 \text{ (kN)}$$

$$F_d = G \cdot \gamma_G + Q \cdot \gamma_Q = 757.27 \text{ (kN)}$$

$$FS = Hd / Fd = 1.33$$

| | | | | | | |
|---|---|------------------|----------------|---------------------------|-----------|----------------------|
|  ITALFERR GRUPPO FERROVIE DELLO STATO ITALIANE | RADDOPPIO LINEA CODOGNO – CREMONA – MANTOVA TRATTA PIADENA - MANTOVA | | | | | |
| Relazione di calcolo spalle | COMMESA NM25 | LOTTO 03 D 26 | CODIFICA CL | DOCUMENTO IV 37 04 001 | REV. A | FOGLIO 125 di 439 |

13.6 VERIFICA DEI BAGGIOLI

Il dimensionamento e la verifica dell'armatura a traciamento e di quella trasversale a fenditura dei baggioli, è stato eseguito in funzione delle massime azioni registrate sugli apparecchi di appoggio allo Stato Limite Ultimo (condizioni statiche) e allo Stato Limite di Salvaguardia della Vita (SLV) da spettro elastico (condizioni sismiche).

13.6.1 Verifica pressione nel calcestruzzo

Si riporta di seguito la verifica.

| VERIFICA A PRESSIONE NEL CALCESTRUZZO | | | |
|---------------------------------------|------------------|------|-----------------------|
| Reazione verticale dell'appoggio | P | 496 | kN |
| Dimensione appoggio | a | 0.37 | m |
| Dimensione baggiolo | d | 0.77 | m |
| Area caricata | A _{car} | 0.14 | m ² |
| Tensione nel calcestruzzo | σ _{cls} | 3.62 | MPa |
| | | < | 0.45f _{ck} = |
| | | | 14.9 |
| | | | MPa |
| | | | Ok. Verificato |

13.6.2 Armatura a traciamento

L'armatura longitudinale si dimensiona a traciamento.

Si riporta di seguito la verifica.

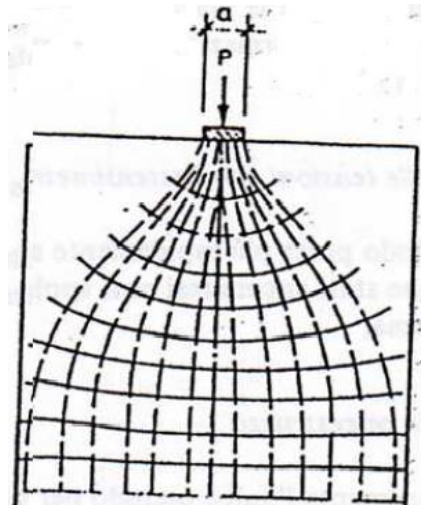
| DIMENSIONAMENTO ARMATURA A TRACIAMENTO (LONGITUDINALE) | | | |
|--|----------------|----------|-----------------|
| Massimo taglio agente | T | 62 | kN |
| Tensione snervamento acciaio | f _d | 391.30 | MPa |
| Area minima | A | 2.73 | cm ² |
| Numero di bracci | n | 8 | - |
| Diametro | ϕ | 16 | mm |
| Area resistente | A _R | 15.47392 | cm ² |
| Fattore di sicurezza | F _s | 5.68 | - |

13.6.3 Armatura trasversale

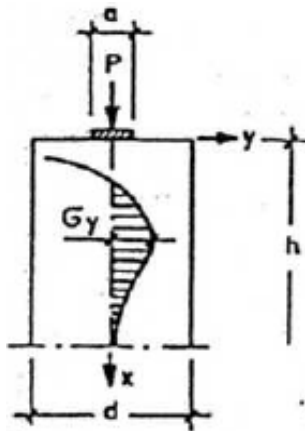
L'armatura trasversale si dimensiona in base alla forza di fenditura.

Il baggiolo di dimensione d su cui è poggiato l'apparecchio di appoggio di dimensione a soggetto ad una forza P avrà un andamento delle isostatiche di compressione di questo tipo:

Relazione di calcolo spalle

 COMMESSA LOTTO CODIFICA DOCUMENTO REV. FOGLIO
 NM25 03 D 26 CL IV 37 04 001 A 126 di 439

Figura 33 Andamento delle isostatiche di compressione

La curva delle tensioni di trazione trasversale σ_y risulta essere quella riportata nella Figura di seguito.


Figura 34 Curva delle tensioni di trazione trasversale σ_y

Con l'area delle tensioni di trazione si ottiene la forza di fenditura $T = \int \sigma_y dx$ con la quale si deve dimensionare l'armatura. Tale forza è pari a:

$$T = 0,25 \cdot P \cdot \left(1 - \frac{a}{d}\right)$$

Di seguito si esibisce la verifica dell'armatura resistente alla massima forza di fenditura.

Relazione di calcolo spalle

COMMESA LOTTO CODIFICA DOCUMENTO REV. FOGLIO
NM25 03 D 26 CL IV 37 04 001 A 127 di 439

| DIMENSIONAMENTO ARMATURA TRASVERSALE | | | |
|---|------------|-------------|-----------------|
| | | | |
| Massima forza di fenditura | F_{fend} | 52 | kN |
| Tensione snervamento acciaio | f_d | 391.30 | MPa |
| Area minima | A | 1.32 | cm ² |
| Diametro | ϕ | 20 | mm |
| Altezza utile di disposizione dell'armatura | h | 20 | cm |
| Passo | s | 15 | cm |
| Area resistente | A_R | 12.56 | cm ² |
| | | | |
| Fattore di sicurezza | Fs | 9.54 | - |

Relazione di calcolo spalle

COMMESA LOTTO CODIFICA DOCUMENTO REV. FOGLIO
NM25 03 D 26 CL IV 37 04 001 A 128 di 439

13.7 VERIFICA RITEGNI LONGITUDINALI

13.7.1 Verifica puntone-tirante

VERIFICA STRUT&TIE (PUNTONE TIRANTE)

| | | | |
|--|-------|------|----|
| Larghezza mensola | b | 3300 | mm |
| Altezza mensola | h | 520 | mm |
| Copriferro tirante principale all'asse | c | 50 | mm |
| Altezza utile | d=h-c | 470 | mm |
| Distanza di applicazione carico | a | 380 | mm |

Materiali

| | | | |
|---|--|-------|-----|
| Resistenza di calcolo snervamento acciaio | f_{ywd} | 391.3 | MPa |
| Resistenza caratteristica Cubica Cls | R_{ck} | 40.00 | MPa |
| Fattore parziale materiale Cls | γ_c | 1.5 | |
| Resistenza caratteristica Cilindrica Cls | $f_{ck}=0.83 \times R_{ck}$ | 33.2 | MPa |
| Resistenza di calcolo Cilindrica Cls | $f_{cd}=0.85 \times f_{ck} / \gamma_c$ | 18.81 | MPa |

Sollecitazioni agenti

| | | | |
|--|----------|-----|----|
| Sollecitazione verticale agente di calcolo | P_{Ed} | 118 | kN |
| Sollecitazione orizzontale agente di calcolo | H_{Ed} | 0 | kN |
| Sollecitazione assiale | N_{ed} | 0 | kN |

Armatura tirante principale

| | | | |
|---|---------------|------|-----------------|
| Diametro armatura corrente principale | \emptyset_l | 16 | mm |
| Numero di barre di armatura | n | 8 | |
| Area totale di acciaio tirante principale | A_{sl} | 1659 | mm ² |

Verifiche di resistenza

| | | | |
|---|---|-------|----|
| Lunghezza teorica tirante principale | l | 474 | mm |
| Parametro inclinazione | $\lambda = l/(0.9d) \approx \text{ctg}\psi$ | 1.121 | |
| Parametro che tiene conto della staffatura dell'elemento di attacco della mensola | c | 1.5 | |
| Resistenza del tirante costituito dall'armatura tesa | P_{rs} | 579 | kN |
| Resistenza del puntone di cls compresso | P_{rc} | 7762 | kN |

| | |
|--|------------|
| Verifica gerarchia di resistenza ($P_{rs} < P_{rc}$) | Esito |
| Fattore di sicurezza tirante tesò | FS_{acc} |
| Fattore di sicurezza puntone compresso | FS_{cls} |

| | |
|-------------------|--|
| Verifica positiva | |
| 4.9 | |
| 65.78 | |



**RADDOPPIO LINEA CODOGNO – CREMONA – MANTOVA
TRATTA PIADENA - MANTOVA**

Relazione di calcolo spalle

COMMESA LOTTO CODIFICA DOCUMENTO REV. FOGLIO
NM25 03 D 26 CL IV 37 04 001 A 129 di 439

14. VALUTAZIONE DELLE INCIDENZE

Si riportano, di seguito, i risultati ottenuti dalla valutazione delle incidenze degli elementi che costituiscono la spalla.

| Elemento | Spessore [m] | Armatura longitudinale | | | | Armatura trasversale | | | | Spilli | | | | Somma [kg] | Incidenza di progetto [kg/m³] |
|-----------------|--------------|------------------------|---------------|----|-------------|----------------------|---------------|----|-------------|---------------|----------------|------|-------------|---------------|-------------------------------------|
| | | Lato | Diametro [mm] | N° | Peso [kg/m] | Lato | Diametro [mm] | N° | Peso [kg/m] | Diametro [mm] | Maglia [cmxcm] | N° | Peso [kg/m] | | |
| Fondazione | 1.80 | LATO A | 26 | 10 | 41.68 | LATO A | 26 | 10 | 41.68 | 16 | 20x40 | 12.5 | 19.725 | 186.45 | 120 |
| | | LATO B | 26 | 10 | 41.68 | LATO B | 26 | 10 | 41.68 | | | | | | |
| Muro frontale | 1.50 | LATO A | 26 | 10 | 41.68 | LATO A | 26 | 10 | 41.68 | 16 | 20x40 | 12.5 | 19.725 | 152.41 | 120 |
| | | LATO B | 20 | 10 | 24.66 | LATO B | 20 | 10 | 24.66 | | | | | | |
| Muro paragliaia | 0.50 | LATO A | 16 | 10 | 15.78 | LATO A | 16 | 10 | 15.78 | 12 | 20x40 | 12.5 | 11.1 | 66.33 | 150 |
| | | LATO B | 16 | 10 | 15.78 | LATO B | 16 | 5 | 7.89 | | | | | | |
| Muri andatori | 1.00 | LATO A | 26 | 10 | 41.68 | LATO A | 26 | 10 | 41.68 | 14 | 20x40 | 12.5 | 15.1 | 147.78 | 180 |
| | | LATO B | 20 | 10 | 24.66 | LATO B | 20 | 10 | 24.66 | | | | | | |

| Elemento | Diametro [m] | Peso [kg] | Incidenza di progetto [kg/m³] |
|-------------|--------------|-----------|--|
| | | | |
| Pali | 1 | 3966.111 | 260 |

| | | | | | | |
|---|--|--|--|--|--|--|
|  ITALFERR GRUPPO FERROVIE DELLO STATO ITALIANE | RADDOPPIO LINEA CODOGNO – CREMONA – MANTOVA TRATTA PIADENA - MANTOVA | | | | | |
| Relazione di calcolo spalle | COMMESSA LOTTO CODIFICA DOCUMENTO REV. FOGLIO NM25 03 D 26 CL IV 37 04 001 A 130 di 439 | | | | | |

15. TABULATI DI CALCOLO

/ _____

/ LOAD CASE DEFINITIONS

LoadCase 2 1 "PP"

Gravity 3 -9.80665000000000E+0

LCInclude 3

LoadCase 4 0 "IMP G1"

LCInclude 3

LoadCase 7 0 "SPINTA STATICÀ"

LCInclude 3

LoadCase 3 0 "RIEMPIMENTO"

LCInclude 3

LoadCase 6 0 "IMP G2"

LCInclude 3

LoadCase 8 0 "SPINTA PERM"

LCInclude 3

LoadCase 10 0 "IMP ACC"

| | | | | | | |
|---|---|------------------|----------------|---------------------------|-----------|----------------------|
|  ITALFERR GRUPPO FERROVIE DELLO STATO ITALIANE | RADDOPPIO LINEA CODOGNO – CREMONA – MANTOVA TRATTA PIADENA - MANTOVA | | | | | |
| Relazione di calcolo spalle | COMMESMA NM25 | LOTTO 03 D 26 | CODIFICA CL | DOCUMENTO IV 37 04 001 | REV. A | FOGLIO 131 di 439 |

LCInclude 3

 LoadCase 9 0 "SPINTA ACC"
 LCInclude 3

 LoadCase 19 0 "IMP FREN"
 LCInclude 3

 LoadCase 20 0 "IMP VENTO"
 LCInclude 3

 LoadCase 21 0 "IMP PARASSITE"
 LCInclude 3

 LoadCase 11 0 "SPINTA SISMA LONG"
 LCInclude 3

 LoadCase 12 0 "SPINTA SISMA TRASV"
 LCInclude 3

 LoadCase 13 2 "INERZIA LONG"
 Acceleration 3.00000000000000E+0 0.00000000000000E+0 0.00000000000000E+0
 LCInclude 3

 LoadCase 14 2 "INERZIA TRASV"
 Acceleration 0.00000000000000E+0 3.00000000000000E+0 0.00000000000000E+0
 LCInclude 3

| | | | | | | |
|---|--|--|--|--|--|--|
|  ITALFERR GRUPPO FERROVIE DELLO STATO ITALIANE | RADDOPPIO LINEA CODOGNO – CREMONA – MANTOVA TRATTA PIADENA - MANTOVA | | | | | |
| Relazione di calcolo spalle | COMMESSA LOTTO CODIFICA DOCUMENTO REV. FOGLIO NM25 03 D 26 CL IV 37 04 001 A 132 di 439 | | | | | |

LoadCase 15 0 "IMP INERZIA LONG"

LCInclude 3

LoadCase 16 0 "IMP INERZIA TRASV"

LCInclude 3

LoadCase 17 0 "INERZIA TERRENO LONG"

LCInclude 3

LoadCase 18 0 "INERZIA TERRENO TRASV"

LCInclude 3

LoadCase 22 0 "URTO"

LCInclude 3

/ _____

/ COORDINATE SYSTEM DEFINITIONS

CoordSys 1 "Global XYZ" GlobalXYZ

/ _____

/ NODE COORDINATES



RADDOPPIO LINEA CODOGNO – CREMONA – MANTOVA
TRATTA PIADENA - MANTOVA

Relazione di calcolo spalle

COMMESMA LOTTO CODIFICA DOCUMENTO REV. FOGLIO
NM25 03 D 26 CL IV 37 04 001 A 133 di 439

| | | | | |
|------|----|---------------------|---------------------|---------------------|
| Node | 1 | 1.45615339196216E+1 | 8.59285630564596E+1 | 8.75000000000000E+0 |
| Node | 2 | 1.45615339196216E+1 | 8.54142773428258E+1 | 8.75000000000000E+0 |
| Node | 3 | 1.45615339196216E+1 | 8.48999916291920E+1 | 8.75000000000000E+0 |
| Node | 4 | 1.45615339196216E+1 | 8.43857059155583E+1 | 8.75000000000000E+0 |
| Node | 5 | 1.45615339196216E+1 | 8.38714202019245E+1 | 8.75000000000000E+0 |
| Node | 6 | 1.45615339196216E+1 | 8.33571344882907E+1 | 8.75000000000000E+0 |
| Node | 7 | 1.45615339196216E+1 | 8.28428487746569E+1 | 8.75000000000000E+0 |
| Node | 8 | 1.45615339196216E+1 | 8.23285630610231E+1 | 8.75000000000000E+0 |
| Node | 9 | 1.45615339196216E+1 | 8.23285630610231E+1 | 9.2866666666667E+0 |
| Node | 10 | 1.45615339196216E+1 | 8.23285630610231E+1 | 9.8233333333333E+0 |
| Node | 11 | 1.45615339196216E+1 | 8.23285630610231E+1 | 1.03600000000000E+1 |
| Node | 12 | 1.45615339196216E+1 | 8.28428487746569E+1 | 1.03600000000000E+1 |
| Node | 13 | 1.45615339196216E+1 | 8.33571344882907E+1 | 1.03600000000000E+1 |
| Node | 14 | 1.45615339196216E+1 | 8.38714202019245E+1 | 1.03600000000000E+1 |
| Node | 15 | 1.45615339196216E+1 | 8.43857059155583E+1 | 1.03600000000000E+1 |
| Node | 16 | 1.45615339196216E+1 | 8.48999916291920E+1 | 1.03600000000000E+1 |
| Node | 17 | 1.45615339196216E+1 | 8.54142773428258E+1 | 1.03600000000000E+1 |
| Node | 18 | 1.45615339196216E+1 | 8.59285630564596E+1 | 1.03600000000000E+1 |
| Node | 19 | 1.45615339196216E+1 | 8.59285630564596E+1 | 9.8233333333333E+0 |
| Node | 20 | 1.45615339196216E+1 | 8.59285630564596E+1 | 9.2866666666667E+0 |
| Node | 21 | 1.45615339196216E+1 | 8.54142773428258E+1 | 9.2866666666667E+0 |
| Node | 22 | 1.45615339196216E+1 | 8.48999916291920E+1 | 9.2866666666667E+0 |
| Node | 23 | 1.45615339196216E+1 | 8.43857059155583E+1 | 9.2866666666667E+0 |
| Node | 24 | 1.45615339196216E+1 | 8.38714202019245E+1 | 9.2866666666667E+0 |
| Node | 25 | 1.45615339196216E+1 | 8.33571344882907E+1 | 9.2866666666667E+0 |
| Node | 26 | 1.45615339196216E+1 | 8.28428487746569E+1 | 9.2866666666667E+0 |



RADDOPPIO LINEA CODOGNO – CREMONA – MANTOVA
TRATTA PIADENA - MANTOVA

Relazione di calcolo spalle

COMMESMA
NM25 LOTTO
03 D 26 CODIFICA
CL DOCUMENTO
IV 37 04 001 REV.
A FOGLIO
134 di 439

| | | | | |
|------|----|---------------------|---------------------|---------------------|
| Node | 27 | 1.45615339196216E+1 | 8.54142773428258E+1 | 9.82333333333333E+0 |
| Node | 28 | 1.45615339196216E+1 | 8.48999916291920E+1 | 9.82333333333333E+0 |
| Node | 29 | 1.45615339196216E+1 | 8.43857059155583E+1 | 9.82333333333333E+0 |
| Node | 30 | 1.45615339196216E+1 | 8.38714202019245E+1 | 9.82333333333333E+0 |
| Node | 31 | 1.45615339196216E+1 | 8.33571344882907E+1 | 9.82333333333333E+0 |
| Node | 32 | 1.45615339196216E+1 | 8.28428487746569E+1 | 9.82333333333333E+0 |
| Node | 33 | 5.81153391883709E+0 | 8.59285630646593E+1 | 8.75000000000000E+0 |
| Node | 34 | 6.32623980123618E+0 | 8.59285630641770E+1 | 8.75000000000000E+0 |
| Node | 35 | 6.84094568363527E+0 | 8.59285630636946E+1 | 8.75000000000000E+0 |
| Node | 36 | 7.35565156603436E+0 | 8.59285630632123E+1 | 8.75000000000000E+0 |
| Node | 37 | 7.87035744843345E+0 | 8.59285630627300E+1 | 8.75000000000000E+0 |
| Node | 38 | 8.38506333083254E+0 | 8.59285630622476E+1 | 8.75000000000000E+0 |
| Node | 39 | 8.89976921323163E+0 | 8.59285630617653E+1 | 8.75000000000000E+0 |
| Node | 40 | 9.41447509563072E+0 | 8.59285630612830E+1 | 8.75000000000000E+0 |
| Node | 41 | 9.92918097802981E+0 | 8.59285630608007E+1 | 8.75000000000000E+0 |
| Node | 42 | 1.04438868604289E+1 | 8.59285630603183E+1 | 8.75000000000000E+0 |
| Node | 43 | 1.09585927428279E+1 | 8.59285630598360E+1 | 8.75000000000000E+0 |
| Node | 44 | 1.14732986252270E+1 | 8.59285630593536E+1 | 8.75000000000000E+0 |
| Node | 45 | 1.19880045076261E+1 | 8.59285630588713E+1 | 8.75000000000000E+0 |
| Node | 46 | 1.25027103900252E+1 | 8.59285630583890E+1 | 8.75000000000000E+0 |
| Node | 47 | 1.30174162724243E+1 | 8.59285630579066E+1 | 8.75000000000000E+0 |
| Node | 48 | 1.35321221548234E+1 | 8.59285630574243E+1 | 8.75000000000000E+0 |
| Node | 49 | 1.40468280372225E+1 | 8.59285630569420E+1 | 8.75000000000000E+0 |
| Node | 50 | 1.40468280372225E+1 | 8.59285630569420E+1 | 1.03600000000000E+1 |
| Node | 51 | 1.35321221548234E+1 | 8.59285630574243E+1 | 1.03600000000000E+1 |
| Node | 52 | 1.30174162724243E+1 | 8.59285630579066E+1 | 1.03600000000000E+1 |
| Node | 53 | 1.25027103900252E+1 | 8.59285630583890E+1 | 1.03600000000000E+1 |



RADDOPPIO LINEA CODOGNO – CREMONA – MANTOVA
TRATTA PIADENA - MANTOVA

Relazione di calcolo spalle

COMMESMA LOTTO CODIFICA DOCUMENTO REV. FOGLIO
NM25 03 D 26 CL IV 37 04 001 A 135 di 439

| | | | | | | |
|------|----|---------------------|---------------------|----------------------|--|--|
| Node | 54 | 1.19880045076261E+1 | 8.59285630588713E+1 | 1.036000000000000E+1 | | |
| Node | 55 | 1.14732986252270E+1 | 8.59285630593536E+1 | 1.036000000000000E+1 | | |
| Node | 56 | 1.09585927428279E+1 | 8.59285630598360E+1 | 1.036000000000000E+1 | | |
| Node | 57 | 1.04438868604289E+1 | 8.59285630603183E+1 | 1.036000000000000E+1 | | |
| Node | 58 | 9.92918097802981E+0 | 8.59285630608007E+1 | 1.036000000000000E+1 | | |
| Node | 59 | 9.41447509563072E+0 | 8.59285630612830E+1 | 1.036000000000000E+1 | | |
| Node | 60 | 8.89976921323163E+0 | 8.59285630617653E+1 | 1.036000000000000E+1 | | |
| Node | 61 | 8.38506333083253E+0 | 8.59285630622476E+1 | 1.036000000000000E+1 | | |
| Node | 62 | 7.87035744843344E+0 | 8.59285630627300E+1 | 1.036000000000000E+1 | | |
| Node | 63 | 7.35565156603435E+0 | 8.59285630632123E+1 | 1.036000000000000E+1 | | |
| Node | 64 | 6.84094568363526E+0 | 8.59285630636946E+1 | 1.036000000000000E+1 | | |
| Node | 65 | 6.32623980123617E+0 | 8.59285630641770E+1 | 1.036000000000000E+1 | | |
| Node | 66 | 5.81153391883709E+0 | 8.59285630646593E+1 | 1.036000000000000E+1 | | |
| Node | 67 | 5.81153391883709E+0 | 8.59285630646593E+1 | 9.8233333333333E+0 | | |
| Node | 68 | 5.81153391883709E+0 | 8.59285630646593E+1 | 9.28666666666667E+0 | | |
| Node | 69 | 6.32623980123618E+0 | 8.59285630641770E+1 | 9.28666666666667E+0 | | |
| Node | 70 | 6.84094568363527E+0 | 8.59285630636946E+1 | 9.28666666666667E+0 | | |
| Node | 71 | 7.35565156603436E+0 | 8.59285630632123E+1 | 9.28666666666667E+0 | | |
| Node | 72 | 7.87035744843345E+0 | 8.59285630627300E+1 | 9.28666666666667E+0 | | |
| Node | 73 | 8.38506333083254E+0 | 8.59285630622476E+1 | 9.28666666666667E+0 | | |
| Node | 74 | 8.89976921323163E+0 | 8.59285630617653E+1 | 9.28666666666667E+0 | | |
| Node | 75 | 9.41447509563072E+0 | 8.59285630612830E+1 | 9.28666666666667E+0 | | |
| Node | 76 | 9.92918097802981E+0 | 8.59285630608007E+1 | 9.28666666666667E+0 | | |
| Node | 77 | 1.04438868604289E+1 | 8.59285630603183E+1 | 9.28666666666667E+0 | | |
| Node | 78 | 1.09585927428279E+1 | 8.59285630598360E+1 | 9.28666666666667E+0 | | |
| Node | 79 | 1.14732986252270E+1 | 8.59285630593536E+1 | 9.28666666666667E+0 | | |
| Node | 80 | 1.19880045076261E+1 | 8.59285630588713E+1 | 9.28666666666667E+0 | | |

Relazione di calcolo spalle

| | | | | | |
|------------------|------------------|----------------|---------------------------|-----------|----------------------|
| COMMESMA NM25 | LOTTO 03 D 26 | CODIFICA CL | DOCUMENTO IV 37 04 001 | REV. A | FOGLIO 136 di 439 |
|------------------|------------------|----------------|---------------------------|-----------|----------------------|

| | | | | |
|------|-----|---------------------|---------------------|---------------------|
| Node | 81 | 1.25027103900252E+1 | 8.59285630583890E+1 | 9.28666666666667E+0 |
| Node | 82 | 1.30174162724243E+1 | 8.59285630579066E+1 | 9.28666666666667E+0 |
| Node | 83 | 1.35321221548234E+1 | 8.59285630574243E+1 | 9.28666666666667E+0 |
| Node | 84 | 1.40468280372225E+1 | 8.59285630569420E+1 | 9.28666666666667E+0 |
| Node | 85 | 6.32623980123617E+0 | 8.59285630641770E+1 | 9.82333333333333E+0 |
| Node | 86 | 6.84094568363526E+0 | 8.59285630636946E+1 | 9.82333333333333E+0 |
| Node | 87 | 7.35565156603435E+0 | 8.59285630632123E+1 | 9.82333333333333E+0 |
| Node | 88 | 7.87035744843344E+0 | 8.59285630627300E+1 | 9.82333333333333E+0 |
| Node | 89 | 8.38506333083254E+0 | 8.59285630622476E+1 | 9.82333333333333E+0 |
| Node | 90 | 8.89976921323163E+0 | 8.59285630617653E+1 | 9.82333333333333E+0 |
| Node | 91 | 9.41447509563072E+0 | 8.59285630612830E+1 | 9.82333333333333E+0 |
| Node | 92 | 9.92918097802981E+0 | 8.59285630608007E+1 | 9.82333333333333E+0 |
| Node | 93 | 1.04438868604289E+1 | 8.59285630603183E+1 | 9.82333333333333E+0 |
| Node | 94 | 1.09585927428279E+1 | 8.59285630598360E+1 | 9.82333333333333E+0 |
| Node | 95 | 1.14732986252270E+1 | 8.59285630593536E+1 | 9.82333333333333E+0 |
| Node | 96 | 1.19880045076261E+1 | 8.59285630588713E+1 | 9.82333333333333E+0 |
| Node | 97 | 1.25027103900252E+1 | 8.59285630583890E+1 | 9.82333333333333E+0 |
| Node | 98 | 1.30174162724243E+1 | 8.59285630579066E+1 | 9.82333333333333E+0 |
| Node | 99 | 1.35321221548234E+1 | 8.59285630574243E+1 | 9.82333333333333E+0 |
| Node | 100 | 1.40468280372225E+1 | 8.59285630569420E+1 | 9.82333333333333E+0 |
| Node | 101 | 1.40468280372773E+1 | 8.23285630610231E+1 | 8.75000000000000E+0 |
| Node | 102 | 1.35321221549330E+1 | 8.23285630610231E+1 | 8.75000000000000E+0 |
| Node | 103 | 1.30174162725887E+1 | 8.23285630610231E+1 | 8.75000000000000E+0 |
| Node | 104 | 1.25027103902444E+1 | 8.23285630610231E+1 | 8.75000000000000E+0 |
| Node | 105 | 1.19880045079000E+1 | 8.23285630610231E+1 | 8.75000000000000E+0 |
| Node | 106 | 1.14732986255557E+1 | 8.23285630610231E+1 | 8.75000000000000E+0 |
| Node | 107 | 1.09585927432114E+1 | 8.23285630610231E+1 | 8.75000000000000E+0 |

Relazione di calcolo spalle

| | | | | | |
|----------|---------|----------|--------------|------|------------|
| COMMESMA | LOTTO | CODIFICA | DOCUMENTO | REV. | FOGLIO |
| NM25 | 03 D 26 | CL | IV 37 04 001 | A | 137 di 439 |

| | | | | |
|------|-----|---------------------|---------------------|----------------------|
| Node | 108 | 1.04438868608671E+1 | 8.23285630610231E+1 | 8.750000000000000E+0 |
| Node | 109 | 9.92918097852287E+0 | 8.23285630610231E+1 | 8.750000000000000E+0 |
| Node | 110 | 9.41447509617856E+0 | 8.23285630610231E+1 | 8.750000000000000E+0 |
| Node | 111 | 8.89976921383425E+0 | 8.23285630610231E+1 | 8.750000000000000E+0 |
| Node | 112 | 8.38506333148994E+0 | 8.23285630610231E+1 | 8.750000000000000E+0 |
| Node | 113 | 7.87035744914564E+0 | 8.23285630610231E+1 | 8.750000000000000E+0 |
| Node | 114 | 7.35565156680133E+0 | 8.23285630610231E+1 | 8.750000000000000E+0 |
| Node | 115 | 6.84094568445702E+0 | 8.23285630610231E+1 | 8.750000000000000E+0 |
| Node | 116 | 6.32623980211272E+0 | 8.23285630610231E+1 | 8.750000000000000E+0 |
| Node | 117 | 5.81153391976841E+0 | 8.23285630610231E+1 | 8.750000000000000E+0 |
| Node | 118 | 5.81153391976841E+0 | 8.23285630610231E+1 | 9.28666666666667E+0 |
| Node | 119 | 5.81153391976841E+0 | 8.23285630610231E+1 | 9.8233333333333E+0 |
| Node | 120 | 5.81153391976841E+0 | 8.23285630610231E+1 | 1.036000000000000E+1 |
| Node | 121 | 6.32623980211272E+0 | 8.23285630610231E+1 | 1.036000000000000E+1 |
| Node | 122 | 6.84094568445702E+0 | 8.23285630610231E+1 | 1.036000000000000E+1 |
| Node | 123 | 7.35565156680133E+0 | 8.23285630610231E+1 | 1.036000000000000E+1 |
| Node | 124 | 7.87035744914564E+0 | 8.23285630610231E+1 | 1.036000000000000E+1 |
| Node | 125 | 8.38506333148994E+0 | 8.23285630610231E+1 | 1.036000000000000E+1 |
| Node | 126 | 8.89976921383425E+0 | 8.23285630610231E+1 | 1.036000000000000E+1 |
| Node | 127 | 9.41447509617856E+0 | 8.23285630610231E+1 | 1.036000000000000E+1 |
| Node | 128 | 9.92918097852286E+0 | 8.23285630610231E+1 | 1.036000000000000E+1 |
| Node | 129 | 1.04438868608671E+1 | 8.23285630610231E+1 | 1.036000000000000E+1 |
| Node | 130 | 1.09585927432114E+1 | 8.23285630610231E+1 | 1.036000000000000E+1 |
| Node | 131 | 1.14732986255557E+1 | 8.23285630610231E+1 | 1.036000000000000E+1 |
| Node | 132 | 1.19880045079000E+1 | 8.23285630610231E+1 | 1.036000000000000E+1 |
| Node | 133 | 1.25027103902444E+1 | 8.23285630610231E+1 | 1.036000000000000E+1 |
| Node | 134 | 1.30174162725887E+1 | 8.23285630610231E+1 | 1.036000000000000E+1 |



RADDOPPIO LINEA CODOGNO – CREMONA – MANTOVA
TRATTA PIADENA - MANTOVA

Relazione di calcolo spalle

COMMESMA LOTTO CODIFICA DOCUMENTO REV. FOGLIO
NM25 03 D 26 CL IV 37 04 001 A 138 di 439

| | | | | |
|------|-----|---------------------|---------------------|----------------------|
| Node | 135 | 1.35321221549330E+1 | 8.23285630610231E+1 | 1.036000000000000E+1 |
| Node | 136 | 1.40468280372773E+1 | 8.23285630610231E+1 | 1.036000000000000E+1 |
| Node | 137 | 1.40468280372773E+1 | 8.23285630610231E+1 | 9.28666666666667E+0 |
| Node | 138 | 1.35321221549330E+1 | 8.23285630610231E+1 | 9.28666666666667E+0 |
| Node | 139 | 1.30174162725887E+1 | 8.23285630610231E+1 | 9.28666666666667E+0 |
| Node | 140 | 1.25027103902444E+1 | 8.23285630610231E+1 | 9.28666666666667E+0 |
| Node | 141 | 1.19880045079000E+1 | 8.23285630610231E+1 | 9.28666666666667E+0 |
| Node | 142 | 1.14732986255557E+1 | 8.23285630610231E+1 | 9.28666666666667E+0 |
| Node | 143 | 1.09585927432114E+1 | 8.23285630610231E+1 | 9.28666666666667E+0 |
| Node | 144 | 1.04438868608671E+1 | 8.23285630610231E+1 | 9.28666666666667E+0 |
| Node | 145 | 9.92918097852287E+0 | 8.23285630610231E+1 | 9.28666666666667E+0 |
| Node | 146 | 9.41447509617856E+0 | 8.23285630610231E+1 | 9.28666666666667E+0 |
| Node | 147 | 8.89976921383425E+0 | 8.23285630610231E+1 | 9.28666666666667E+0 |
| Node | 148 | 8.38506333148994E+0 | 8.23285630610231E+1 | 9.28666666666667E+0 |
| Node | 149 | 7.87035744914564E+0 | 8.23285630610231E+1 | 9.28666666666667E+0 |
| Node | 150 | 7.35565156680133E+0 | 8.23285630610231E+1 | 9.28666666666667E+0 |
| Node | 151 | 6.84094568445702E+0 | 8.23285630610231E+1 | 9.28666666666667E+0 |
| Node | 152 | 6.32623980211272E+0 | 8.23285630610231E+1 | 9.28666666666667E+0 |
| Node | 153 | 1.40468280372773E+1 | 8.23285630610231E+1 | 9.82333333333333E+0 |
| Node | 154 | 1.35321221549330E+1 | 8.23285630610231E+1 | 9.82333333333333E+0 |
| Node | 155 | 1.30174162725887E+1 | 8.23285630610231E+1 | 9.82333333333333E+0 |
| Node | 156 | 1.25027103902444E+1 | 8.23285630610231E+1 | 9.82333333333333E+0 |
| Node | 157 | 1.19880045079000E+1 | 8.23285630610231E+1 | 9.82333333333333E+0 |
| Node | 158 | 1.14732986255557E+1 | 8.23285630610231E+1 | 9.82333333333333E+0 |
| Node | 159 | 1.09585927432114E+1 | 8.23285630610231E+1 | 9.82333333333333E+0 |
| Node | 160 | 1.04438868608671E+1 | 8.23285630610231E+1 | 9.82333333333333E+0 |
| Node | 161 | 9.92918097852287E+0 | 8.23285630610231E+1 | 9.82333333333333E+0 |

| Relazione di calcolo spalle | | COMMESSE NM25 | LOTTO 03 D 26 | CODIFICA CL | DOCUMENTO IV 37 04 001 | REV. A | FOGLIO 139 di 439 |
|-----------------------------|--|------------------|------------------|----------------|---------------------------|-----------|----------------------|
|-----------------------------|--|------------------|------------------|----------------|---------------------------|-----------|----------------------|

| | | | | | | | |
|------|-----|---------------------|---------------------|---------------------|--|--|--|
| Node | 162 | 9.41447509617856E+0 | 8.23285630610231E+1 | 9.82333333333333E+0 | | | |
| Node | 163 | 8.89976921383425E+0 | 8.23285630610231E+1 | 9.82333333333333E+0 | | | |
| Node | 164 | 8.38506333148994E+0 | 8.23285630610231E+1 | 9.82333333333333E+0 | | | |
| Node | 165 | 7.87035744914564E+0 | 8.23285630610231E+1 | 9.82333333333333E+0 | | | |
| Node | 166 | 7.35565156680133E+0 | 8.23285630610231E+1 | 9.82333333333333E+0 | | | |
| Node | 167 | 6.84094568445702E+0 | 8.23285630610231E+1 | 9.82333333333333E+0 | | | |
| Node | 168 | 6.32623980211272E+0 | 8.23285630610231E+1 | 9.82333333333333E+0 | | | |
| Node | 169 | 1.45615339196216E+1 | 8.23285630589276E+1 | 0.00000000000000E+0 | | | |
| Node | 170 | 1.40754228085359E+1 | 8.23285630592336E+1 | 0.00000000000000E+0 | | | |
| Node | 171 | 1.35893116974502E+1 | 8.23285630593246E+1 | 0.00000000000000E+0 | | | |
| Node | 172 | 1.31032005863645E+1 | 8.23285630594157E+1 | 0.00000000000000E+0 | | | |
| Node | 173 | 1.26170894752787E+1 | 8.23285630595067E+1 | 0.00000000000000E+0 | | | |
| Node | 174 | 1.21309783641930E+1 | 8.23285630595978E+1 | 0.00000000000000E+0 | | | |
| Node | 175 | 1.16448672531073E+1 | 8.23285630596888E+1 | 0.00000000000000E+0 | | | |
| Node | 176 | 1.11587561420216E+1 | 8.23285630597799E+1 | 0.00000000000000E+0 | | | |
| Node | 177 | 1.06726450309359E+1 | 8.23285630598709E+1 | 0.00000000000000E+0 | | | |
| Node | 178 | 1.01865339196950E+1 | 8.23285630599619E+1 | 0.00000000000000E+0 | | | |
| Node | 179 | 9.70042280876453E+0 | 8.23285630600530E+1 | 0.00000000000000E+0 | | | |
| Node | 180 | 9.21431169767882E+0 | 8.23285630601440E+1 | 0.00000000000000E+0 | | | |
| Node | 181 | 8.72820058659311E+0 | 8.23285630602351E+1 | 0.00000000000000E+0 | | | |
| Node | 182 | 8.24208947550740E+0 | 8.23285630603261E+1 | 0.00000000000000E+0 | | | |
| Node | 183 | 7.75597836442169E+0 | 8.23285630604172E+1 | 0.00000000000000E+0 | | | |
| Node | 184 | 7.26986725333598E+0 | 8.23285630605082E+1 | 0.00000000000000E+0 | | | |
| Node | 185 | 6.78375614225028E+0 | 8.23285630605992E+1 | 0.00000000000000E+0 | | | |
| Node | 186 | 6.29764503116457E+0 | 8.23285630606903E+1 | 0.00000000000000E+0 | | | |
| Node | 187 | 5.81153391976841E+0 | 8.23285630610231E+1 | 0.00000000000000E+0 | | | |
| Node | 188 | 5.81153391976841E+0 | 8.23285630610231E+1 | 5.14705882352941E-1 | | | |



RADDOPPIO LINEA CODOGNO – CREMONA – MANTOVA
TRATTA PIADENA - MANTOVA

Relazione di calcolo spalle

COMMESMA LOTTO CODIFICA DOCUMENTO REV. FOGLIO
NM25 03 D 26 CL IV 37 04 001 A 140 di 439

| | | | | |
|------|-----|---------------------|---------------------|---------------------|
| Node | 189 | 5.81153391976841E+0 | 8.23285630610231E+1 | 1.02941176470588E+0 |
| Node | 190 | 5.81153391976841E+0 | 8.23285630610231E+1 | 1.54411764705882E+0 |
| Node | 191 | 5.81153391976841E+0 | 8.23285630610231E+1 | 2.05882352941176E+0 |
| Node | 192 | 5.81153391976841E+0 | 8.23285630610231E+1 | 2.57352941176471E+0 |
| Node | 193 | 5.81153391976841E+0 | 8.23285630610231E+1 | 3.08823529411765E+0 |
| Node | 194 | 5.81153391976841E+0 | 8.23285630610231E+1 | 3.60294117647059E+0 |
| Node | 195 | 5.81153391976841E+0 | 8.23285630610231E+1 | 4.11764705882353E+0 |
| Node | 196 | 5.81153391976841E+0 | 8.23285630610231E+1 | 4.63235294117647E+0 |
| Node | 197 | 5.81153391976841E+0 | 8.23285630610231E+1 | 5.14705882352941E+0 |
| Node | 198 | 5.81153391976841E+0 | 8.23285630610231E+1 | 5.66176470588235E+0 |
| Node | 199 | 5.81153391976841E+0 | 8.23285630610231E+1 | 6.17647058823529E+0 |
| Node | 200 | 5.81153391976841E+0 | 8.23285630610231E+1 | 6.69117647058824E+0 |
| Node | 201 | 5.81153391976841E+0 | 8.23285630610231E+1 | 7.20588235294118E+0 |
| Node | 202 | 5.81153391976841E+0 | 8.23285630610231E+1 | 7.72058823529412E+0 |
| Node | 203 | 5.81153391976841E+0 | 8.23285630610231E+1 | 8.23529411764706E+0 |
| Node | 204 | 1.45615339196216E+1 | 8.23285630606194E+1 | 8.23529411764706E+0 |
| Node | 205 | 1.45615339196216E+1 | 8.23285630605363E+1 | 7.72058823529412E+0 |
| Node | 206 | 1.45615339196216E+1 | 8.23285630604533E+1 | 7.20588235294118E+0 |
| Node | 207 | 1.45615339196216E+1 | 8.23285630603703E+1 | 6.69117647058824E+0 |
| Node | 208 | 1.45615339196216E+1 | 8.23285630602873E+1 | 6.17647058823529E+0 |
| Node | 209 | 1.45615339196216E+1 | 8.23285630602043E+1 | 5.66176470588235E+0 |
| Node | 210 | 1.45615339196216E+1 | 8.23285630601213E+1 | 5.14705882352941E+0 |
| Node | 211 | 1.45615339196216E+1 | 8.23285630600382E+1 | 4.63235294117647E+0 |
| Node | 212 | 1.45615339196216E+1 | 8.23285630599552E+1 | 4.11764705882353E+0 |
| Node | 213 | 1.45615339196216E+1 | 8.23285630598722E+1 | 3.60294117647059E+0 |
| Node | 214 | 1.45615339196216E+1 | 8.23285630597892E+1 | 3.08823529411765E+0 |
| Node | 215 | 1.45615339196216E+1 | 8.23285630597062E+1 | 2.57352941176471E+0 |

Relazione di calcolo spalle

| | | | | | |
|------------------|------------------|----------------|---------------------------|-----------|----------------------|
| COMMESMA NM25 | LOTTO 03 D 26 | CODIFICA CL | DOCUMENTO IV 37 04 001 | REV. A | FOGLIO 141 di 439 |
|------------------|------------------|----------------|---------------------------|-----------|----------------------|

| | | | | |
|------|-----|---------------------|---------------------|---------------------|
| Node | 216 | 1.45615339196216E+1 | 8.23285630596232E+1 | 2.05882352941176E+0 |
| Node | 217 | 1.45615339196216E+1 | 8.23285630595402E+1 | 1.54411764705882E+0 |
| Node | 218 | 1.45615339196216E+1 | 8.23285630594572E+1 | 1.02941176470588E+0 |
| Node | 219 | 1.45615339196216E+1 | 8.23285630593741E+1 | 5.14705882352941E-1 |
| Node | 220 | 6.32627954480783E+0 | 8.23285630610231E+1 | 8.23534558744174E+0 |
| Node | 221 | 6.84103701101742E+0 | 8.23285630610231E+1 | 8.23536774321899E+0 |
| Node | 222 | 7.35582100217585E+0 | 8.23285630610231E+1 | 8.23532808969659E+0 |
| Node | 223 | 7.87059209863919E+0 | 8.23285630610231E+1 | 8.23521946447030E+0 |
| Node | 224 | 8.38531828432537E+0 | 8.23285630610231E+1 | 8.23502192746912E+0 |
| Node | 225 | 8.89996988051392E+0 | 8.23285630610231E+1 | 8.23476505633760E+0 |
| Node | 226 | 9.41453980997301E+0 | 8.23285630610231E+1 | 8.23451545897622E+0 |
| Node | 227 | 9.92906399662678E+0 | 8.23285630610231E+1 | 8.23436535345322E+0 |
| Node | 228 | 1.04436189233103E+1 | 8.23285630610231E+1 | 8.23440068144201E+0 |
| Node | 229 | 1.09582659578736E+1 | 8.23285630610231E+1 | 8.23462018406574E+0 |
| Node | 230 | 1.14729822883340E+1 | 8.23285630610231E+1 | 8.23487452442405E+0 |
| Node | 231 | 1.19877246470558E+1 | 8.23285630610231E+1 | 8.23502369447840E+0 |
| Node | 232 | 1.25024749227271E+1 | 8.23285630610231E+1 | 8.23506624740631E+0 |
| Node | 233 | 1.30172327460498E+1 | 8.23285630610231E+1 | 8.23508795479368E+0 |
| Node | 234 | 1.35319950291485E+1 | 8.23285630610231E+1 | 8.23510920523203E+0 |
| Node | 235 | 1.40467635472008E+1 | 8.23285630610231E+1 | 8.23518535058150E+0 |
| Node | 236 | 1.40466858274444E+1 | 8.23285630610231E+1 | 7.72027920158585E+0 |
| Node | 237 | 1.40466024578122E+1 | 8.23285630610231E+1 | 7.20523940888623E+0 |
| Node | 238 | 1.40465344464688E+1 | 8.23285630610231E+1 | 6.68997545540961E+0 |
| Node | 239 | 1.40465381322050E+1 | 8.23285630610231E+1 | 6.17445473888858E+0 |
| Node | 240 | 1.40467079566497E+1 | 8.23285630610231E+1 | 5.65865284131395E+0 |
| Node | 241 | 1.40471637729881E+1 | 8.23285630610231E+1 | 5.14258680838417E+0 |
| Node | 242 | 1.40480263063055E+1 | 8.23285630610231E+1 | 4.62632611323696E+0 |



RADDOPPIO LINEA CODOGNO – CREMONA – MANTOVA
TRATTA PIADENA - MANTOVA

Relazione di calcolo spalle

COMMESMA LOTTO CODIFICA DOCUMENTO REV. FOGLIO
NM25 03 D 26 CL IV 37 04 001 A 142 di 439

| | | | | |
|------|-----|---------------------|---------------------|---------------------|
| Node | 243 | 1.40494013810920E+1 | 8.23285630610231E+1 | 4.10998420241879E+0 |
| Node | 244 | 1.40513869383814E+1 | 8.23285630610231E+1 | 3.59373856918864E+0 |
| Node | 245 | 1.40540301995506E+1 | 8.23285630610231E+1 | 3.07785082402864E+0 |
| Node | 246 | 1.40572597748581E+1 | 8.23285630610231E+1 | 2.56262578430343E+0 |
| Node | 247 | 1.40608788921673E+1 | 8.23285630610231E+1 | 2.04831273175511E+0 |
| Node | 248 | 1.40646462149198E+1 | 8.23285630610231E+1 | 1.53502635830041E+0 |
| Node | 249 | 1.40683751110524E+1 | 8.23285630610231E+1 | 1.02272100983857E+0 |
| Node | 250 | 1.40719796979121E+1 | 8.23285630610231E+1 | 5.11182669325205E-1 |
| Node | 251 | 1.35829604150894E+1 | 8.23285630610231E+1 | 5.07559283977800E-1 |
| Node | 252 | 1.30948161766035E+1 | 8.23285630610231E+1 | 5.03687878266105E-1 |
| Node | 253 | 1.26078874380669E+1 | 8.23285630610231E+1 | 4.99601205051311E-1 |
| Node | 254 | 1.21223903421414E+1 | 8.23285630610231E+1 | 4.95503683092905E-1 |
| Node | 255 | 1.16383371656685E+1 | 8.23285630610231E+1 | 4.91757291568510E-1 |
| Node | 256 | 1.11554886114610E+1 | 8.23285630610231E+1 | 4.88808809756640E-1 |
| Node | 257 | 1.06733683391491E+1 | 8.23285630610231E+1 | 4.87067460648062E-1 |
| Node | 258 | 1.01913546297406E+1 | 8.23285630610231E+1 | 4.86770389385133E-1 |
| Node | 259 | 9.70883016888453E+0 | 8.23285630610231E+1 | 4.87896440452415E-1 |
| Node | 260 | 9.22533501510072E+0 | 8.23285630610231E+1 | 4.90181119657552E-1 |
| Node | 261 | 8.74064679583652E+0 | 8.23285630610231E+1 | 4.93235450814539E-1 |
| Node | 262 | 8.25475272458632E+0 | 8.23285630610231E+1 | 4.96689128503486E-1 |
| Node | 263 | 7.76775136944854E+0 | 8.23285630610231E+1 | 5.00291020999489E-1 |
| Node | 264 | 7.27976048764589E+0 | 8.23285630610231E+1 | 5.03924615621703E-1 |
| Node | 265 | 6.79090376827673E+0 | 8.23285630610231E+1 | 5.07554725038605E-1 |
| Node | 266 | 6.30137536545790E+0 | 8.23285630610231E+1 | 5.11168360226124E-1 |
| Node | 267 | 6.30518258697371E+0 | 8.23285630610231E+1 | 1.02276651030805E+0 |
| Node | 268 | 6.30918507469194E+0 | 8.23285630610231E+1 | 1.53504838190681E+0 |
| Node | 269 | 6.31333891469795E+0 | 8.23285630610231E+1 | 2.04829209817122E+0 |

Relazione di calcolo spalle

| | | | | | |
|----------|---------|----------|--------------|------|------------|
| COMMESSE | LOTTO | CODIFICA | DOCUMENTO | REV. | FOGLIO |
| NM25 | 03 D 26 | CL | IV 37 04 001 | A | 143 di 439 |

| | | | | |
|------|-----|---------------------|---------------------|---------------------|
| Node | 270 | 6.31746083680874E+0 | 8.23285630610231E+1 | 2.56267942943929E+0 |
| Node | 271 | 6.32125413681672E+0 | 8.23285630610231E+1 | 3.07821919121305E+0 |
| Node | 272 | 6.32438068170615E+0 | 8.23285630610231E+1 | 3.59470267639917E+0 |
| Node | 273 | 6.32656606935838E+0 | 8.23285630610231E+1 | 4.11172299511739E+0 |
| Node | 274 | 6.32770657998553E+0 | 8.23285630610231E+1 | 4.62877430569699E+0 |
| Node | 275 | 6.32793340421679E+0 | 8.23285630610231E+1 | 5.14540705526211E+0 |
| Node | 276 | 6.32758446613154E+0 | 8.23285630610231E+1 | 5.66137381677334E+0 |
| Node | 277 | 6.32705633604228E+0 | 8.23285630610231E+1 | 6.17667831788217E+0 |
| Node | 278 | 6.32663235935280E+0 | 8.23285630610231E+1 | 6.69151237253892E+0 |
| Node | 279 | 6.32640420482070E+0 | 8.23285630610231E+1 | 7.20612541253030E+0 |
| Node | 280 | 6.32630744633277E+0 | 8.23285630610231E+1 | 7.72072048890090E+0 |
| Node | 281 | 1.35318388505488E+1 | 8.23285630610231E+1 | 7.72007421975441E+0 |
| Node | 282 | 1.35316530571700E+1 | 8.23285630610231E+1 | 7.20473713951685E+0 |
| Node | 283 | 1.35314748394107E+1 | 8.23285630610231E+1 | 6.68886945890252E+0 |
| Node | 284 | 1.35314275101335E+1 | 8.23285630610231E+1 | 6.17244436147637E+0 |
| Node | 285 | 1.35317265658916E+1 | 8.23285630610231E+1 | 5.65539407980864E+0 |
| Node | 286 | 1.35326492814752E+1 | 8.23285630610231E+1 | 5.13776598490930E+0 |
| Node | 287 | 1.35344533831400E+1 | 8.23285630610231E+1 | 4.61974212235074E+0 |
| Node | 288 | 1.35373188256878E+1 | 8.23285630610231E+1 | 4.10156409088521E+0 |
| Node | 289 | 1.35414351815385E+1 | 8.23285630610231E+1 | 3.58358970905763E+0 |
| Node | 290 | 1.35469103454576E+1 | 8.23285630610231E+1 | 3.06637622981491E+0 |
| Node | 291 | 1.35535793564158E+1 | 8.23285630610231E+1 | 2.55059023551886E+0 |
| Node | 292 | 1.35609785395923E+1 | 8.23285630610231E+1 | 2.03676247015556E+0 |
| Node | 293 | 1.35685552611107E+1 | 8.23285630610231E+1 | 1.52511304732261E+0 |
| Node | 294 | 1.35759136994641E+1 | 8.23285630610231E+1 | 1.01552092472787E+0 |
| Node | 295 | 1.30855151789889E+1 | 8.23285630610231E+1 | 1.00792279961347E+0 |
| Node | 296 | 1.25975789158949E+1 | 8.23285630610231E+1 | 9.99765058777196E-1 |

Relazione di calcolo spalle

| | | | | | |
|----------|---------|----------|--------------|------|------------|
| COMMESSE | LOTTO | CODIFICA | DOCUMENTO | REV. | FOGLIO |
| NM25 | 03 D 26 | CL | IV 37 04 001 | A | 144 di 439 |

| | | | | |
|------|-----|---------------------|---------------------|---------------------|
| Node | 297 | 1.21125914124391E+1 | 8.23285630610231E+1 | 9.91454739872410E-1 |
| Node | 298 | 1.16306315562652E+1 | 8.23285630610231E+1 | 9.83741701826133E-1 |
| Node | 299 | 1.11512545046879E+1 | 8.23285630610231E+1 | 9.77580464949353E-1 |
| Node | 300 | 1.06734988671032E+1 | 8.23285630610231E+1 | 9.73876133622338E-1 |
| Node | 301 | 1.01960557890481E+1 | 8.23285630610231E+1 | 9.73185546346182E-1 |
| Node | 302 | 9.71758322701389E+0 | 8.23285630610231E+1 | 9.75500020902282E-1 |
| Node | 303 | 9.23706217194996E+0 | 8.23285630610231E+1 | 9.80254686821584E-1 |
| Node | 304 | 8.75400147849282E+0 | 8.23285630610231E+1 | 9.86603652640914E-1 |
| Node | 305 | 8.26837624384445E+0 | 8.23285630610231E+1 | 9.93735811326847E-1 |
| Node | 306 | 7.78040703961048E+0 | 8.23285630610231E+1 | 1.00109112947041E+0 |
| Node | 307 | 7.29035622962579E+0 | 8.23285630610231E+1 | 1.00840679017906E+0 |
| Node | 308 | 6.79849017537093E+0 | 8.23285630610231E+1 | 1.01561592611509E+0 |
| Node | 309 | 6.80636869143905E+0 | 8.23285630610231E+1 | 1.52530536650412E+0 |
| Node | 310 | 6.81464451431173E+0 | 8.23285630610231E+1 | 2.03691744679514E+0 |
| Node | 311 | 6.82294567047613E+0 | 8.23285630610231E+1 | 2.55086571588417E+0 |
| Node | 312 | 6.83066251271074E+0 | 8.23285630610231E+1 | 3.06721390116362E+0 |
| Node | 313 | 6.83708587126671E+0 | 8.23285630610231E+1 | 3.58556603029490E+0 |
| Node | 314 | 6.84161709438081E+0 | 8.23285630610231E+1 | 4.10508926341989E+0 |
| Node | 315 | 6.84399141348477E+0 | 8.23285630610231E+1 | 4.62471092735785E+0 |
| Node | 316 | 6.84444263714429E+0 | 8.23285630610231E+1 | 5.14345854061942E+0 |
| Node | 317 | 6.84368899115195E+0 | 8.23285630610231E+1 | 5.66080435334202E+0 |
| Node | 318 | 6.84258807163299E+0 | 8.23285630610231E+1 | 6.17676753335869E+0 |
| Node | 319 | 6.84173167821940E+0 | 8.23285630610231E+1 | 6.69175611790581E+0 |
| Node | 320 | 6.84130466067228E+0 | 8.23285630610231E+1 | 7.20627190846180E+0 |
| Node | 321 | 6.84111626082502E+0 | 8.23285630610231E+1 | 7.72079213562167E+0 |
| Node | 322 | 7.35602430292712E+0 | 8.23285630610231E+1 | 7.72070197419929E+0 |
| Node | 323 | 7.87088778708352E+0 | 8.23285630610231E+1 | 7.72045243661934E+0 |



RADDOPPIO LINEA CODOGNO – CREMONA – MANTOVA
TRATTA PIADENA - MANTOVA

Relazione di calcolo spalle

COMMESMA LOTTO CODIFICA DOCUMENTO REV. FOGLIO
NM25 03 D 26 CL IV 37 04 001 A 145 di 439

| | | | | |
|------|-----|---------------------|---------------------|---------------------|
| Node | 324 | 8.38564389204244E+0 | 8.23285630610231E+1 | 7.71994986474242E+0 |
| Node | 325 | 8.90021108927526E+0 | 8.23285630610231E+1 | 7.71926358154102E+0 |
| Node | 326 | 9.41456324001760E+0 | 8.23285630610231E+1 | 7.71854658317066E+0 |
| Node | 327 | 9.92878680818519E+0 | 8.23285630610231E+1 | 7.71803650032020E+0 |
| Node | 328 | 1.04431021582655E+1 | 8.23285630610231E+1 | 7.71801971811523E+0 |
| Node | 329 | 1.09577081588667E+1 | 8.23285630610231E+1 | 7.71859143386432E+0 |
| Node | 330 | 1.14724974438464E+1 | 8.23285630610231E+1 | 7.71931320140864E+0 |
| Node | 331 | 1.19873319563298E+1 | 8.23285630610231E+1 | 7.71975341287226E+0 |
| Node | 332 | 1.25021670691664E+1 | 8.23285630610231E+1 | 7.71990212969349E+0 |
| Node | 333 | 1.30170075325766E+1 | 8.23285630610231E+1 | 7.72002896873043E+0 |
| Node | 334 | 7.35634620409380E+0 | 8.23285630610231E+1 | 7.20613475948017E+0 |
| Node | 335 | 7.87134115062337E+0 | 8.23285630610231E+1 | 7.20563319775581E+0 |
| Node | 336 | 8.38612993055669E+0 | 8.23285630610231E+1 | 7.20447897211730E+0 |
| Node | 337 | 8.90050560454137E+0 | 8.23285630610231E+1 | 7.20284637304105E+0 |
| Node | 338 | 9.41440294613778E+0 | 8.23285630610231E+1 | 7.20101217580396E+0 |
| Node | 339 | 9.92797985565245E+0 | 8.23285630610231E+1 | 7.19947068430947E+0 |
| Node | 340 | 1.04417922411861E+1 | 8.23285630610231E+1 | 7.19906013722515E+0 |
| Node | 341 | 1.09564784197105E+1 | 8.23285630610231E+1 | 7.20042661480126E+0 |
| Node | 342 | 1.14715666724368E+1 | 8.23285630610231E+1 | 7.20233694078072E+0 |
| Node | 343 | 1.19866673949616E+1 | 8.23285630610231E+1 | 7.20355471127742E+0 |
| Node | 344 | 1.25016996343691E+1 | 8.23285630610231E+1 | 7.20400585531188E+0 |
| Node | 345 | 1.30166929732700E+1 | 8.23285630610231E+1 | 7.20444946349110E+0 |
| Node | 346 | 1.30163426690663E+1 | 8.23285630610231E+1 | 6.68773099724868E+0 |
| Node | 347 | 1.30161857112987E+1 | 8.23285630610231E+1 | 6.17007668529530E+0 |
| Node | 348 | 1.30166328853136E+1 | 8.23285630610231E+1 | 5.65129257737544E+0 |
| Node | 349 | 1.30182365029922E+1 | 8.23285630610231E+1 | 5.13152664451681E+0 |
| Node | 350 | 1.30214316146095E+1 | 8.23285630610231E+1 | 4.61126818648867E+0 |

| Relazione di calcolo spalle | | COMMESSE NM25 | LOTTO 03 D 26 | CODIFICA CL | DOCUMENTO IV 37 04 001 | REV. A | FOGLIO 146 di 439 |
|-----------------------------|--|------------------|------------------|----------------|---------------------------|-----------|----------------------|
|-----------------------------|--|------------------|------------------|----------------|---------------------------|-----------|----------------------|

| | | | | | | | |
|------|-----|---------------------|---------------------|---------------------|--|--|--|
| Node | 351 | 1.30262771519289E+1 | 8.23285630610231E+1 | 4.09093474837020E+0 | | | |
| Node | 352 | 1.30329665954885E+1 | 8.23285630610231E+1 | 3.57102815582818E+0 | | | |
| Node | 353 | 1.30416908794917E+1 | 8.23285630610231E+1 | 3.05242773702166E+0 | | | |
| Node | 354 | 1.30521603501573E+1 | 8.23285630610231E+1 | 2.53624379959191E+0 | | | |
| Node | 355 | 1.30635099542843E+1 | 8.23285630610231E+1 | 2.02330822072568E+0 | | | |
| Node | 356 | 1.30747479988750E+1 | 8.23285630610231E+1 | 1.51386734086198E+0 | | | |
| Node | 357 | 1.25853030167213E+1 | 8.23285630610231E+1 | 1.50191041758342E+0 | | | |
| Node | 358 | 1.21003808852052E+1 | 8.23285630610231E+1 | 1.48937620945262E+0 | | | |
| Node | 359 | 1.16202956609004E+1 | 8.23285630610231E+1 | 1.47738170505581E+0 | | | |
| Node | 360 | 1.11445619158221E+1 | 8.23285630610231E+1 | 1.46746313571562E+0 | | | |
| Node | 361 | 1.06718140931864E+1 | 8.23285630610231E+1 | 1.46120943170579E+0 | | | |
| Node | 362 | 1.01999616878117E+1 | 8.23285630610231E+1 | 1.45974365426673E+0 | | | |
| Node | 363 | 9.72666090588885E+0 | 8.23285630610231E+1 | 1.46323078849281E+0 | | | |
| Node | 364 | 9.25002173941545E+0 | 8.23285630610231E+1 | 1.47076514041660E+0 | | | |
| Node | 365 | 8.76910185351750E+0 | 8.23285630610231E+1 | 1.48090759454593E+0 | | | |
| Node | 366 | 8.28382607421964E+0 | 8.23285630610231E+1 | 1.49221112666874E+0 | | | |
| Node | 367 | 7.79462598116778E+0 | 8.23285630610231E+1 | 1.50360674865191E+0 | | | |
| Node | 368 | 7.30206049194630E+0 | 8.23285630610231E+1 | 1.51458011646368E+0 | | | |
| Node | 369 | 7.31416314126858E+0 | 8.23285630610231E+1 | 2.02407043495942E+0 | | | |
| Node | 370 | 7.32653801228572E+0 | 8.23285630610231E+1 | 2.53706901905650E+0 | | | |
| Node | 371 | 7.33831843113543E+0 | 8.23285630610231E+1 | 3.05384059876752E+0 | | | |
| Node | 372 | 7.34843301319922E+0 | 8.23285630610231E+1 | 3.57393143713028E+0 | | | |
| Node | 373 | 7.35587363182158E+0 | 8.23285630610231E+1 | 4.09613904650474E+0 | | | |
| Node | 374 | 7.36001874417046E+0 | 8.23285630610231E+1 | 4.61875297346138E+0 | | | |
| Node | 375 | 7.36100003513986E+0 | 8.23285630610231E+1 | 5.14010977507825E+0 | | | |
| Node | 376 | 7.35993081049660E+0 | 8.23285630610231E+1 | 5.65929323056620E+0 | | | |
| Node | 377 | 7.35824971171060E+0 | 8.23285630610231E+1 | 6.17628938086378E+0 | | | |

| Relazione di calcolo spalle | | COMMESMA NM25 | LOTTO 03 D 26 | CODIFICA CL | DOCUMENTO IV 37 04 001 | REV. A | FOGLIO 147 di 439 |
|-----------------------------|--|------------------|------------------|----------------|---------------------------|-----------|----------------------|
|-----------------------------|--|------------------|------------------|----------------|---------------------------|-----------|----------------------|

| | | | | | | | |
|------|-----|---------------------|---------------------|---------------------|--|--|--|
| Node | 378 | 7.35691951753188E+0 | 8.23285630610231E+1 | 6.69169424927849E+0 | | | |
| Node | 379 | 1.25010851598153E+1 | 8.23285630610231E+1 | 6.68649229371352E+0 | | | |
| Node | 380 | 1.25006986318576E+1 | 8.23285630610231E+1 | 6.16700338337558E+0 | | | |
| Node | 381 | 1.25013039526199E+1 | 8.23285630610231E+1 | 5.64548393404130E+0 | | | |
| Node | 382 | 1.25040747859536E+1 | 8.23285630610231E+1 | 5.12235535464811E+0 | | | |
| Node | 383 | 1.25098469220340E+1 | 8.23285630610231E+1 | 4.59908664692131E+0 | | | |
| Node | 384 | 1.25178048034107E+1 | 8.23285630610231E+1 | 4.07631141140232E+0 | | | |
| Node | 385 | 1.25278781408822E+1 | 8.23285630610231E+1 | 3.55445058493285E+0 | | | |
| Node | 386 | 1.25404514153099E+1 | 8.23285630610231E+1 | 3.03467364254192E+0 | | | |
| Node | 387 | 1.25551270648815E+1 | 8.23285630610231E+1 | 2.51863915187250E+0 | | | |
| Node | 388 | 1.25704455241809E+1 | 8.23285630610231E+1 | 2.00744983122608E+0 | | | |
| Node | 389 | 1.20847602327595E+1 | 8.23285630610231E+1 | 1.99086681289368E+0 | | | |
| Node | 390 | 1.16060151113795E+1 | 8.23285630610231E+1 | 1.97425163845788E+0 | | | |
| Node | 391 | 1.11340079771656E+1 | 8.23285630610231E+1 | 1.95977818669933E+0 | | | |
| Node | 392 | 1.06671987540663E+1 | 8.23285630610231E+1 | 1.95003062424724E+0 | | | |
| Node | 393 | 1.02025980936217E+1 | 8.23285630610231E+1 | 1.94719274142210E+0 | | | |
| Node | 394 | 9.73629952007813E+0 | 8.23285630610231E+1 | 1.95193436574124E+0 | | | |
| Node | 395 | 9.26490049236598E+0 | 8.23285630610231E+1 | 1.96280260165218E+0 | | | |
| Node | 396 | 8.78673962590078E+0 | 8.23285630610231E+1 | 1.97750221337765E+0 | | | |
| Node | 397 | 8.30171142844399E+0 | 8.23285630610231E+1 | 1.99363823989122E+0 | | | |
| Node | 398 | 7.81069560706713E+0 | 8.23285630610231E+1 | 2.00931665968244E+0 | | | |
| Node | 399 | 7.82672269964847E+0 | 8.23285630610231E+1 | 2.52039236054665E+0 | | | |
| Node | 400 | 7.84254952025277E+0 | 8.23285630610231E+1 | 3.03678543925064E+0 | | | |
| Node | 401 | 7.85687967040743E+0 | 8.23285630610231E+1 | 3.55822359909486E+0 | | | |
| Node | 402 | 7.86823353330369E+0 | 8.23285630610231E+1 | 4.08329234873387E+0 | | | |
| Node | 403 | 7.87523653276824E+0 | 8.23285630610231E+1 | 4.60954550206015E+0 | | | |
| Node | 404 | 7.87732858180204E+0 | 8.23285630610231E+1 | 5.13425927062662E+0 | | | |



RADDOPPIO LINEA CODOGNO – CREMONA – MANTOVA
TRATTA PIADENA - MANTOVA

Relazione di calcolo spalle

COMMESSE LOTTO CODIFICA DOCUMENTO REV. FOGLIO
NM25 03 D 26 CL IV 37 04 001 A 148 di 439

| | | | | |
|------|-----|---------------------|---------------------|---------------------|
| Node | 405 | 7.87611133122061E+0 | 8.23285630610231E+1 | 5.65599543725287E+0 |
| Node | 406 | 7.87391951804725E+0 | 8.23285630610231E+1 | 6.17467842142122E+0 |
| Node | 407 | 7.87216371505066E+0 | 8.23285630610231E+1 | 6.69086138248628E+0 |
| Node | 408 | 8.38703179712756E+0 | 8.23285630610231E+1 | 6.68834116820611E+0 |
| Node | 409 | 8.90099353137693E+0 | 8.23285630610231E+1 | 6.68475746388543E+0 |
| Node | 410 | 9.41396659128251E+0 | 8.23285630610231E+1 | 6.68048395914900E+0 |
| Node | 411 | 9.92609744198964E+0 | 8.23285630610231E+1 | 6.67626683935850E+0 |
| Node | 412 | 1.04386704174482E+1 | 8.23285630610231E+1 | 6.67424987494616E+0 |
| Node | 413 | 1.09539776504147E+1 | 8.23285630610231E+1 | 6.67757287308062E+0 |
| Node | 414 | 1.14699606229769E+1 | 8.23285630610231E+1 | 6.68244867122576E+0 |
| Node | 415 | 1.19856716102599E+1 | 8.23285630610231E+1 | 6.68550078155968E+0 |
| Node | 416 | 1.19847126194860E+1 | 8.23285630610231E+1 | 6.16291040089150E+0 |
| Node | 417 | 1.19852152536275E+1 | 8.23285630610231E+1 | 5.63677888251061E+0 |
| Node | 418 | 1.19898817235190E+1 | 8.23285630610231E+1 | 5.10762912787188E+0 |
| Node | 419 | 1.20012092351413E+1 | 8.23285630610231E+1 | 4.58033142854896E+0 |
| Node | 420 | 1.20146288182300E+1 | 8.23285630610231E+1 | 4.05539061407512E+0 |
| Node | 421 | 1.20292727827181E+1 | 8.23285630610231E+1 | 3.53224055586909E+0 |
| Node | 422 | 1.20462319461135E+1 | 8.23285630610231E+1 | 3.01216704599485E+0 |
| Node | 423 | 1.20652342167630E+1 | 8.23285630610231E+1 | 2.49752023887179E+0 |
| Node | 424 | 1.15869637190983E+1 | 8.23285630610231E+1 | 2.47612107192513E+0 |
| Node | 425 | 1.11185775677764E+1 | 8.23285630610231E+1 | 2.45614989890181E+0 |
| Node | 426 | 1.06588916678716E+1 | 8.23285630610231E+1 | 2.44164025543525E+0 |
| Node | 427 | 1.02039826832715E+1 | 8.23285630610231E+1 | 2.43677147351309E+0 |
| Node | 428 | 9.74726775753180E+0 | 8.23285630610231E+1 | 2.44341234396770E+0 |
| Node | 429 | 9.28256031340868E+0 | 8.23285630610231E+1 | 2.45856870267215E+0 |
| Node | 430 | 8.80740498971259E+0 | 8.23285630610231E+1 | 2.47869612920605E+0 |
| Node | 431 | 8.32196193386893E+0 | 8.23285630610231E+1 | 2.50016515534214E+0 |



RADDOPPIO LINEA CODOGNO – CREMONA – MANTOVA
TRATTA PIADENA - MANTOVA

Relazione di calcolo spalle

COMMESMA LOTTO CODIFICA DOCUMENTO REV. FOGLIO
NM25 03 D 26 CL IV 37 04 001 A 149 di 439

| | | | | |
|------|-----|---------------------|---------------------|---------------------|
| Node | 432 | 8.34122265484701E+0 | 8.23285630610231E+1 | 3.01499658136132E+0 |
| Node | 433 | 8.36014502605062E+0 | 8.23285630610231E+1 | 3.53711703219612E+0 |
| Node | 434 | 8.37692759697803E+0 | 8.23285630610231E+1 | 4.06523299357578E+0 |
| Node | 435 | 8.38879502540766E+0 | 8.23285630610231E+1 | 4.59607831856681E+0 |
| Node | 436 | 8.39270024627455E+0 | 8.23285630610231E+1 | 5.12490117658636E+0 |
| Node | 437 | 8.39137770190774E+0 | 8.23285630610231E+1 | 5.64985814801459E+0 |
| Node | 438 | 8.38896504980992E+0 | 8.23285630610231E+1 | 6.17123904913667E+0 |
| Node | 439 | 8.90199788460685E+0 | 8.23285630610231E+1 | 6.16403981595373E+0 |
| Node | 440 | 9.41331258775815E+0 | 8.23285630610231E+1 | 6.15516596611335E+0 |
| Node | 441 | 9.92230428537692E+0 | 8.23285630610231E+1 | 6.14466418060300E+0 |
| Node | 442 | 1.04312652588365E+1 | 8.23285630610231E+1 | 6.13674280493956E+0 |
| Node | 443 | 1.09494977868916E+1 | 8.23285630610231E+1 | 6.14548204593770E+0 |
| Node | 444 | 1.14677774383676E+1 | 8.23285630610231E+1 | 6.15753176476087E+0 |
| Node | 445 | 8.90377720872059E+0 | 8.23285630610231E+1 | 5.63940953494733E+0 |
| Node | 446 | 9.41299074626268E+0 | 8.23285630610231E+1 | 5.62395772174642E+0 |
| Node | 447 | 9.91596561605787E+0 | 8.23285630610231E+1 | 5.60071011786516E+0 |
| Node | 448 | 1.04121603526584E+1 | 8.23285630610231E+1 | 5.57079495041032E+0 |
| Node | 449 | 1.09433096202332E+1 | 8.23285630610231E+1 | 5.59747644580160E+0 |
| Node | 450 | 1.14668010878219E+1 | 8.23285630610231E+1 | 5.62384398676478E+0 |
| Node | 451 | 1.14732792352852E+1 | 8.23285630610231E+1 | 5.08200721334015E+0 |
| Node | 452 | 1.14982065658645E+1 | 8.23285630610231E+1 | 4.55009704868538E+0 |
| Node | 453 | 1.15216127824019E+1 | 8.23285630610231E+1 | 4.02533318425691E+0 |
| Node | 454 | 1.15420042808201E+1 | 8.23285630610231E+1 | 3.50320140430361E+0 |
| Node | 455 | 1.15631742377794E+1 | 8.23285630610231E+1 | 2.98493475222244E+0 |
| Node | 456 | 1.10979202042838E+1 | 8.23285630610231E+1 | 2.95836353873722E+0 |
| Node | 457 | 1.06466702466058E+1 | 8.23285630610231E+1 | 2.93723310326977E+0 |
| Node | 458 | 1.02051814172241E+1 | 8.23285630610231E+1 | 2.92958963402021E+0 |

| Relazione di calcolo spalle | | COMMESMA NM25 | LOTTO 03 D 26 | CODIFICA CL | DOCUMENTO IV 37 04 001 | REV. A | FOGLIO 150 di 439 |
|-----------------------------|--|------------------|------------------|----------------|---------------------------|-----------|----------------------|
|-----------------------------|--|------------------|------------------|----------------|---------------------------|-----------|----------------------|

| | | | | | | | |
|------|-----|---------------------|---------------------|----------------------|--|--|--|
| Node | 459 | 9.76176055873212E+0 | 8.23285630610231E+1 | 2.94070434997501E+0 | | | |
| Node | 460 | 9.30444960511573E+0 | 8.23285630610231E+1 | 2.96174617641663E+0 | | | |
| Node | 461 | 8.83123483184472E+0 | 8.23285630610231E+1 | 2.98791449286953E+0 | | | |
| Node | 462 | 8.85450464885275E+0 | 8.23285630610231E+1 | 3.50989795199297E+0 | | | |
| Node | 463 | 8.87906633163528E+0 | 8.23285630610231E+1 | 4.04132309450094E+0 | | | |
| Node | 464 | 8.90028924330909E+0 | 8.23285630610231E+1 | 4.57859023926759E+0 | | | |
| Node | 465 | 8.90610778995673E+0 | 8.23285630610231E+1 | 5.11156662575682E+0 | | | |
| Node | 466 | 1.09433341272570E+1 | 8.23285630610231E+1 | 5.03242736519875E+0 | | | |
| Node | 467 | 1.10069466288895E+1 | 8.23285630610231E+1 | 4.49995638676086E+0 | | | |
| Node | 468 | 1.10472783146222E+1 | 8.23285630610231E+1 | 3.98373984735133E+0 | | | |
| Node | 469 | 1.10725999534685E+1 | 8.23285630610231E+1 | 3.46785499321654E+0 | | | |
| Node | 470 | 1.06303867301885E+1 | 8.23285630610231E+1 | 3.43624196685855E+0 | | | |
| Node | 471 | 1.02090743366608E+1 | 8.23285630610231E+1 | 3.42347130682312E+0 | | | |
| Node | 472 | 9.78572085820768E+0 | 8.23285630610231E+1 | 3.44828620774858E+0 | | | |
| Node | 473 | 9.33346639664476E+0 | 8.23285630610231E+1 | 3.47729498900345E+0 | | | |
| Node | 474 | 9.36952716949156E+0 | 8.23285630610231E+1 | 4.01188443253341E+0 | | | |
| Node | 475 | 9.41356810227707E+0 | 8.23285630610231E+1 | 4.56111196426642E+0 | | | |
| Node | 476 | 9.41486332428796E+0 | 8.23285630610231E+1 | 5.09011045322399E+0 | | | |
| Node | 477 | 9.91184193363469E+0 | 8.23285630610231E+1 | 5.05026153738456E+0 | | | |
| Node | 478 | 1.03545432831529E+1 | 8.23285630610231E+1 | 4.93232068209665E+0 | | | |
| Node | 479 | 1.05500234052578E+1 | 8.23285630610231E+1 | 4.41823810833045E+0 | | | |
| Node | 480 | 1.06062791603955E+1 | 8.23285630610231E+1 | 3.93326946471938E+0 | | | |
| Node | 481 | 1.02203588783587E+1 | 8.23285630610231E+1 | 3.90192115742050E+0 | | | |
| Node | 482 | 9.83514911391252E+0 | 8.23285630610231E+1 | 3.97540675751579E+0 | | | |
| Node | 483 | 9.95419669948802E+0 | 8.23285630610231E+1 | 4.56417757666659E+0 | | | |
| Node | 484 | 1.02402276740807E+1 | 8.23285630610231E+1 | 4.29327940532070E+0 | | | |
| Node | 485 | 1.45615339196216E+1 | 8.59285630605595E+1 | 0.000000000000000E+0 | | | |

Relazione di calcolo spalle

| | | | | | |
|----------|---------|----------|--------------|------|------------|
| COMMESSE | LOTTO | CODIFICA | DOCUMENTO | REV. | FOGLIO |
| NM25 | 03 D 26 | CL | IV 37 04 001 | A | 151 di 439 |

| | | | | |
|------|-----|---------------------|---------------------|-----------------------|
| Node | 486 | 1.45615339196216E+1 | 8.54142773469878E+1 | 0.0000000000000000E+0 |
| Node | 487 | 1.45615339196216E+1 | 8.48999916328727E+1 | 0.0000000000000000E+0 |
| Node | 488 | 1.45615339196216E+1 | 8.43857059187575E+1 | 0.0000000000000000E+0 |
| Node | 489 | 1.45615339196216E+1 | 8.38714202046424E+1 | 0.0000000000000000E+0 |
| Node | 490 | 1.45615339196216E+1 | 8.33571344905273E+1 | 0.0000000000000000E+0 |
| Node | 491 | 1.45615339196216E+1 | 8.28428487764122E+1 | 0.0000000000000000E+0 |
| Node | 492 | 1.45615339196216E+1 | 8.59285630572496E+1 | 8.23529411764706E+0 |
| Node | 493 | 1.45615339196216E+1 | 8.59285630574120E+1 | 7.72058823529412E+0 |
| Node | 494 | 1.45615339196216E+1 | 8.59285630575744E+1 | 7.20588235294118E+0 |
| Node | 495 | 1.45615339196216E+1 | 8.59285630577368E+1 | 6.69117647058824E+0 |
| Node | 496 | 1.45615339196216E+1 | 8.59285630578993E+1 | 6.17647058823529E+0 |
| Node | 497 | 1.45615339196216E+1 | 8.59285630580617E+1 | 5.66176470588235E+0 |
| Node | 498 | 1.45615339196216E+1 | 8.59285630582241E+1 | 5.14705882352941E+0 |
| Node | 499 | 1.45615339196216E+1 | 8.59285630583865E+1 | 4.63235294117647E+0 |
| Node | 500 | 1.45615339196216E+1 | 8.59285630585489E+1 | 4.11764705882353E+0 |
| Node | 501 | 1.45615339196216E+1 | 8.59285630587113E+1 | 3.60294117647059E+0 |
| Node | 502 | 1.45615339196216E+1 | 8.59285630588738E+1 | 3.08823529411765E+0 |
| Node | 503 | 1.45615339196216E+1 | 8.59285630590362E+1 | 2.57352941176471E+0 |
| Node | 504 | 1.45615339196216E+1 | 8.59285630591986E+1 | 2.05882352941176E+0 |
| Node | 505 | 1.45615339196216E+1 | 8.59285630593610E+1 | 1.54411764705882E+0 |
| Node | 506 | 1.45615339196216E+1 | 8.59285630595234E+1 | 1.02941176470588E+0 |
| Node | 507 | 1.45615339196216E+1 | 8.59285630596859E+1 | 5.14705882352941E-1 |
| Node | 508 | 1.45615339196216E+1 | 8.54142773428258E+1 | 5.14705882352941E-1 |
| Node | 509 | 1.45615339196216E+1 | 8.48999916291920E+1 | 5.14705882352941E-1 |
| Node | 510 | 1.45615339196216E+1 | 8.43857059155583E+1 | 5.14705882352941E-1 |
| Node | 511 | 1.45615339196216E+1 | 8.38714202019245E+1 | 5.14705882352941E-1 |
| Node | 512 | 1.45615339196216E+1 | 8.33571344882907E+1 | 5.14705882352941E-1 |

Relazione di calcolo spalle

| | | | | | |
|----------|---------|----------|--------------|------|------------|
| COMMESSE | LOTTO | CODIFICA | DOCUMENTO | REV. | FOGLIO |
| NM25 | 03 D 26 | CL | IV 37 04 001 | A | 152 di 439 |

| | | | | |
|------|-----|---------------------|---------------------|---------------------|
| Node | 513 | 1.45615339196216E+1 | 8.28428487746569E+1 | 5.14705882352941E-1 |
| Node | 514 | 1.45615339196216E+1 | 8.54142773428258E+1 | 1.02941176470588E+0 |
| Node | 515 | 1.45615339196216E+1 | 8.48999916291920E+1 | 1.02941176470588E+0 |
| Node | 516 | 1.45615339196216E+1 | 8.43857059155583E+1 | 1.02941176470588E+0 |
| Node | 517 | 1.45615339196216E+1 | 8.38714202019245E+1 | 1.02941176470588E+0 |
| Node | 518 | 1.45615339196216E+1 | 8.33571344882907E+1 | 1.02941176470588E+0 |
| Node | 519 | 1.45615339196216E+1 | 8.28428487746569E+1 | 1.02941176470588E+0 |
| Node | 520 | 1.45615339196216E+1 | 8.54142773428258E+1 | 1.54411764705882E+0 |
| Node | 521 | 1.45615339196216E+1 | 8.48999916291920E+1 | 1.54411764705882E+0 |
| Node | 522 | 1.45615339196216E+1 | 8.43857059155583E+1 | 1.54411764705882E+0 |
| Node | 523 | 1.45615339196216E+1 | 8.38714202019245E+1 | 1.54411764705882E+0 |
| Node | 524 | 1.45615339196216E+1 | 8.33571344882907E+1 | 1.54411764705882E+0 |
| Node | 525 | 1.45615339196216E+1 | 8.28428487746569E+1 | 1.54411764705882E+0 |
| Node | 526 | 1.45615339196216E+1 | 8.54142773428258E+1 | 2.05882352941176E+0 |
| Node | 527 | 1.45615339196216E+1 | 8.48999916291920E+1 | 2.05882352941176E+0 |
| Node | 528 | 1.45615339196216E+1 | 8.43857059155583E+1 | 2.05882352941176E+0 |
| Node | 529 | 1.45615339196216E+1 | 8.38714202019245E+1 | 2.05882352941176E+0 |
| Node | 530 | 1.45615339196216E+1 | 8.33571344882907E+1 | 2.05882352941176E+0 |
| Node | 531 | 1.45615339196216E+1 | 8.28428487746569E+1 | 2.05882352941176E+0 |
| Node | 532 | 1.45615339196216E+1 | 8.54142773428258E+1 | 2.57352941176471E+0 |
| Node | 533 | 1.45615339196216E+1 | 8.48999916291920E+1 | 2.57352941176471E+0 |
| Node | 534 | 1.45615339196216E+1 | 8.43857059155583E+1 | 2.57352941176471E+0 |
| Node | 535 | 1.45615339196216E+1 | 8.38714202019245E+1 | 2.57352941176471E+0 |
| Node | 536 | 1.45615339196216E+1 | 8.33571344882907E+1 | 2.57352941176471E+0 |
| Node | 537 | 1.45615339196216E+1 | 8.28428487746569E+1 | 2.57352941176471E+0 |
| Node | 538 | 1.45615339196216E+1 | 8.54142773428258E+1 | 3.08823529411765E+0 |
| Node | 539 | 1.45615339196216E+1 | 8.48999916291920E+1 | 3.08823529411765E+0 |

| Relazione di calcolo spalle | | COMMESMA NM25 | LOTTO 03 D 26 | CODIFICA CL | DOCUMENTO IV 37 04 001 | REV. A | FOGLIO 153 di 439 |
|-----------------------------|--|------------------|------------------|----------------|---------------------------|-----------|----------------------|
|-----------------------------|--|------------------|------------------|----------------|---------------------------|-----------|----------------------|

| | | | | | | | |
|------|-----|---------------------|---------------------|---------------------|--|--|--|
| Node | 540 | 1.45615339196216E+1 | 8.43857059155583E+1 | 3.08823529411765E+0 | | | |
| Node | 541 | 1.45615339196216E+1 | 8.38714202019245E+1 | 3.08823529411765E+0 | | | |
| Node | 542 | 1.45615339196216E+1 | 8.33571344882907E+1 | 3.08823529411765E+0 | | | |
| Node | 543 | 1.45615339196216E+1 | 8.28428487746569E+1 | 3.08823529411765E+0 | | | |
| Node | 544 | 1.45615339196216E+1 | 8.54142773428258E+1 | 3.60294117647059E+0 | | | |
| Node | 545 | 1.45615339196216E+1 | 8.48999916291920E+1 | 3.60294117647059E+0 | | | |
| Node | 546 | 1.45615339196216E+1 | 8.43857059155583E+1 | 3.60294117647059E+0 | | | |
| Node | 547 | 1.45615339196216E+1 | 8.38714202019245E+1 | 3.60294117647059E+0 | | | |
| Node | 548 | 1.45615339196216E+1 | 8.33571344882907E+1 | 3.60294117647059E+0 | | | |
| Node | 549 | 1.45615339196216E+1 | 8.28428487746569E+1 | 3.60294117647059E+0 | | | |
| Node | 550 | 1.45615339196216E+1 | 8.54142773428258E+1 | 4.11764705882353E+0 | | | |
| Node | 551 | 1.45615339196216E+1 | 8.48999916291920E+1 | 4.11764705882353E+0 | | | |
| Node | 552 | 1.45615339196216E+1 | 8.43857059155583E+1 | 4.11764705882353E+0 | | | |
| Node | 553 | 1.45615339196216E+1 | 8.38714202019245E+1 | 4.11764705882353E+0 | | | |
| Node | 554 | 1.45615339196216E+1 | 8.33571344882907E+1 | 4.11764705882353E+0 | | | |
| Node | 555 | 1.45615339196216E+1 | 8.28428487746569E+1 | 4.11764705882353E+0 | | | |
| Node | 556 | 1.45615339196216E+1 | 8.54142773428258E+1 | 4.63235294117647E+0 | | | |
| Node | 557 | 1.45615339196216E+1 | 8.48999916291920E+1 | 4.63235294117647E+0 | | | |
| Node | 558 | 1.45615339196216E+1 | 8.43857059155583E+1 | 4.63235294117647E+0 | | | |
| Node | 559 | 1.45615339196216E+1 | 8.38714202019245E+1 | 4.63235294117647E+0 | | | |
| Node | 560 | 1.45615339196216E+1 | 8.33571344882907E+1 | 4.63235294117647E+0 | | | |
| Node | 561 | 1.45615339196216E+1 | 8.28428487746569E+1 | 4.63235294117647E+0 | | | |
| Node | 562 | 1.45615339196216E+1 | 8.54142773428258E+1 | 5.14705882352941E+0 | | | |
| Node | 563 | 1.45615339196216E+1 | 8.48999916291920E+1 | 5.14705882352941E+0 | | | |
| Node | 564 | 1.45615339196216E+1 | 8.43857059155583E+1 | 5.14705882352941E+0 | | | |
| Node | 565 | 1.45615339196216E+1 | 8.38714202019245E+1 | 5.14705882352941E+0 | | | |
| Node | 566 | 1.45615339196216E+1 | 8.33571344882907E+1 | 5.14705882352941E+0 | | | |

| Relazione di calcolo spalle | | | COMMESSE NM25 | LOTTO 03 D 26 | CODIFICA CL | DOCUMENTO IV 37 04 001 | REV. A | FOGLIO 154 di 439 |
|-----------------------------|--|--|------------------|------------------|----------------|---------------------------|-----------|----------------------|
|-----------------------------|--|--|------------------|------------------|----------------|---------------------------|-----------|----------------------|

| | | | | |
|------|-----|---------------------|---------------------|---------------------|
| Node | 567 | 1.45615339196216E+1 | 8.28428487746569E+1 | 5.14705882352941E+0 |
| Node | 568 | 1.45615339196216E+1 | 8.54142773428258E+1 | 5.66176470588235E+0 |
| Node | 569 | 1.45615339196216E+1 | 8.48999916291920E+1 | 5.66176470588235E+0 |
| Node | 570 | 1.45615339196216E+1 | 8.43857059155583E+1 | 5.66176470588235E+0 |
| Node | 571 | 1.45615339196216E+1 | 8.38714202019245E+1 | 5.66176470588235E+0 |
| Node | 572 | 1.45615339196216E+1 | 8.33571344882907E+1 | 5.66176470588235E+0 |
| Node | 573 | 1.45615339196216E+1 | 8.28428487746569E+1 | 5.66176470588235E+0 |
| Node | 574 | 1.45615339196216E+1 | 8.54142773428258E+1 | 6.17647058823529E+0 |
| Node | 575 | 1.45615339196216E+1 | 8.48999916291920E+1 | 6.17647058823529E+0 |
| Node | 576 | 1.45615339196216E+1 | 8.43857059155583E+1 | 6.17647058823529E+0 |
| Node | 577 | 1.45615339196216E+1 | 8.38714202019245E+1 | 6.17647058823529E+0 |
| Node | 578 | 1.45615339196216E+1 | 8.33571344882907E+1 | 6.17647058823529E+0 |
| Node | 579 | 1.45615339196216E+1 | 8.28428487746569E+1 | 6.17647058823529E+0 |
| Node | 580 | 1.45615339196216E+1 | 8.54142773428258E+1 | 6.69117647058824E+0 |
| Node | 581 | 1.45615339196216E+1 | 8.48999916291920E+1 | 6.69117647058824E+0 |
| Node | 582 | 1.45615339196216E+1 | 8.43857059155583E+1 | 6.69117647058824E+0 |
| Node | 583 | 1.45615339196216E+1 | 8.38714202019245E+1 | 6.69117647058823E+0 |
| Node | 584 | 1.45615339196216E+1 | 8.33571344882907E+1 | 6.69117647058824E+0 |
| Node | 585 | 1.45615339196216E+1 | 8.28428487746569E+1 | 6.69117647058824E+0 |
| Node | 586 | 1.45615339196216E+1 | 8.54142773428258E+1 | 7.20588235294118E+0 |
| Node | 587 | 1.45615339196216E+1 | 8.48999916291920E+1 | 7.20588235294118E+0 |
| Node | 588 | 1.45615339196216E+1 | 8.43857059155583E+1 | 7.20588235294118E+0 |
| Node | 589 | 1.45615339196216E+1 | 8.38714202019245E+1 | 7.20588235294118E+0 |
| Node | 590 | 1.45615339196216E+1 | 8.33571344882907E+1 | 7.20588235294118E+0 |
| Node | 591 | 1.45615339196216E+1 | 8.28428487746569E+1 | 7.20588235294118E+0 |
| Node | 592 | 1.45615339196216E+1 | 8.54142773428258E+1 | 7.72058823529412E+0 |
| Node | 593 | 1.45615339196216E+1 | 8.48999916291920E+1 | 7.72058823529412E+0 |

Relazione di calcolo spalle

| | | | | | |
|----------|---------|----------|--------------|------|------------|
| COMMESSE | LOTTO | CODIFICA | DOCUMENTO | REV. | FOGLIO |
| NM25 | 03 D 26 | CL | IV 37 04 001 | A | 155 di 439 |

| | | | | |
|------|-----|---------------------|---------------------|----------------------|
| Node | 594 | 1.45615339196216E+1 | 8.43857059155583E+1 | 7.72058823529412E+0 |
| Node | 595 | 1.45615339196216E+1 | 8.38714202019245E+1 | 7.72058823529412E+0 |
| Node | 596 | 1.45615339196216E+1 | 8.33571344882907E+1 | 7.72058823529412E+0 |
| Node | 597 | 1.45615339196216E+1 | 8.28428487746569E+1 | 7.72058823529412E+0 |
| Node | 598 | 1.45615339196216E+1 | 8.54142773428258E+1 | 8.23529411764706E+0 |
| Node | 599 | 1.45615339196216E+1 | 8.48999916291920E+1 | 8.23529411764706E+0 |
| Node | 600 | 1.45615339196216E+1 | 8.43857059155583E+1 | 8.23529411764706E+0 |
| Node | 601 | 1.45615339196216E+1 | 8.38714202019245E+1 | 8.23529411764706E+0 |
| Node | 602 | 1.45615339196216E+1 | 8.33571344882907E+1 | 8.23529411764706E+0 |
| Node | 603 | 1.45615339196216E+1 | 8.28428487746569E+1 | 8.23529411764706E+0 |
| Node | 604 | 5.81153391883709E+0 | 8.59285630646593E+1 | 0.000000000000000E+0 |
| Node | 605 | 6.29764502999178E+0 | 8.59285630640607E+1 | 0.000000000000000E+0 |
| Node | 606 | 6.78375614114648E+0 | 8.59285630638826E+1 | 0.000000000000000E+0 |
| Node | 607 | 7.26986725230118E+0 | 8.59285630637044E+1 | 0.000000000000000E+0 |
| Node | 608 | 7.75597836345587E+0 | 8.59285630635263E+1 | 0.000000000000000E+0 |
| Node | 609 | 8.24208947461057E+0 | 8.59285630633482E+1 | 0.000000000000000E+0 |
| Node | 610 | 8.72820058576527E+0 | 8.59285630631700E+1 | 0.000000000000000E+0 |
| Node | 611 | 9.21431169691996E+0 | 8.59285630629919E+1 | 0.000000000000000E+0 |
| Node | 612 | 9.70042280807466E+0 | 8.59285630628138E+1 | 0.000000000000000E+0 |
| Node | 613 | 1.01865339192293E+1 | 8.59285630626357E+1 | 0.000000000000000E+0 |
| Node | 614 | 1.06726450303840E+1 | 8.59285630624576E+1 | 0.000000000000000E+0 |
| Node | 615 | 1.11587561415387E+1 | 8.59285630622794E+1 | 0.000000000000000E+0 |
| Node | 616 | 1.16448672526934E+1 | 8.59285630621013E+1 | 0.000000000000000E+0 |
| Node | 617 | 1.21309783638481E+1 | 8.59285630619232E+1 | 0.000000000000000E+0 |
| Node | 618 | 1.26170894750028E+1 | 8.59285630617450E+1 | 0.000000000000000E+0 |
| Node | 619 | 1.31032005861575E+1 | 8.59285630615669E+1 | 0.000000000000000E+0 |
| Node | 620 | 1.35893116973122E+1 | 8.59285630613888E+1 | 0.000000000000000E+0 |

Relazione di calcolo spalle

| | | | | | |
|------------------|------------------|----------------|---------------------------|-----------|----------------------|
| COMMESMA NM25 | LOTTO 03 D 26 | CODIFICA CL | DOCUMENTO IV 37 04 001 | REV. A | FOGLIO 156 di 439 |
|------------------|------------------|----------------|---------------------------|-----------|----------------------|

| | | | | |
|------|-----|---------------------|---------------------|----------------------|
| Node | 621 | 1.40754228084669E+1 | 8.59285630612107E+1 | 0.000000000000000E+0 |
| Node | 622 | 5.81153391883709E+0 | 8.59285630646593E+1 | 8.23529411764706E+0 |
| Node | 623 | 5.81153391883709E+0 | 8.59285630646593E+1 | 7.72058823529412E+0 |
| Node | 624 | 5.81153391883709E+0 | 8.59285630646593E+1 | 7.20588235294118E+0 |
| Node | 625 | 5.81153391883709E+0 | 8.59285630646593E+1 | 6.69117647058824E+0 |
| Node | 626 | 5.81153391883709E+0 | 8.59285630646593E+1 | 6.17647058823529E+0 |
| Node | 627 | 5.81153391883709E+0 | 8.59285630646593E+1 | 5.66176470588235E+0 |
| Node | 628 | 5.81153391883709E+0 | 8.59285630646593E+1 | 5.14705882352941E+0 |
| Node | 629 | 5.81153391883709E+0 | 8.59285630646593E+1 | 4.63235294117647E+0 |
| Node | 630 | 5.81153391883709E+0 | 8.59285630646593E+1 | 4.11764705882353E+0 |
| Node | 631 | 5.81153391883709E+0 | 8.59285630646593E+1 | 3.60294117647059E+0 |
| Node | 632 | 5.81153391883709E+0 | 8.59285630646593E+1 | 3.08823529411765E+0 |
| Node | 633 | 5.81153391883709E+0 | 8.59285630646593E+1 | 2.57352941176471E+0 |
| Node | 634 | 5.81153391883709E+0 | 8.59285630646593E+1 | 2.05882352941176E+0 |
| Node | 635 | 5.81153391883709E+0 | 8.59285630646593E+1 | 1.54411764705882E+0 |
| Node | 636 | 5.81153391883709E+0 | 8.59285630646593E+1 | 1.02941176470588E+0 |
| Node | 637 | 5.81153391883709E+0 | 8.59285630646593E+1 | 5.14705882352941E-1 |
| Node | 638 | 1.40467882943795E+1 | 8.59285630569420E+1 | 8.23534558693475E+0 |
| Node | 639 | 1.35320308300004E+1 | 8.59285630574244E+1 | 8.23536774359422E+0 |
| Node | 640 | 1.30172468447867E+1 | 8.59285630579068E+1 | 8.23532809305422E+0 |
| Node | 641 | 1.25024757565288E+1 | 8.59285630583892E+1 | 8.23521947389151E+0 |
| Node | 642 | 1.19877495827000E+1 | 8.59285630588715E+1 | 8.23502194681619E+0 |
| Node | 643 | 1.14730980049890E+1 | 8.59285630593538E+1 | 8.23476508769930E+0 |
| Node | 644 | 1.09585281038302E+1 | 8.59285630598360E+1 | 8.23451550290363E+0 |
| Node | 645 | 1.04440039565484E+1 | 8.59285630603182E+1 | 8.23436541083397E+0 |
| Node | 646 | 9.92944907690924E+0 | 8.59285630608004E+1 | 8.23440075519409E+0 |
| Node | 647 | 9.41480208795995E+0 | 8.59285630612827E+1 | 8.23462027819376E+0 |



RADDOPPIO LINEA CODOGNO – CREMONA – MANTOVA
TRATTA PIADENA - MANTOVA

Relazione di calcolo spalle

COMMESMA LOTTO CODIFICA DOCUMENTO REV. FOGLIO
NM25 03 D 26 CL IV 37 04 001 A 157 di 439

| | | | | |
|------|-----|---------------------|---------------------|---------------------|
| Node | 648 | 8.90008578951003E+0 | 8.59285630617650E+1 | 8.23487463919012E+0 |
| Node | 649 | 8.38534344009083E+0 | 8.59285630622474E+1 | 8.23502382153297E+0 |
| Node | 650 | 7.87059314943585E+0 | 8.59285630627298E+1 | 8.23506637138390E+0 |
| Node | 651 | 7.35583529029970E+0 | 8.59285630632121E+1 | 8.23508806040792E+0 |
| Node | 652 | 6.84107295840768E+0 | 8.59285630636945E+1 | 8.23510927326048E+0 |
| Node | 653 | 6.32630437139390E+0 | 8.59285630641769E+1 | 8.23518538288328E+0 |
| Node | 654 | 6.32638220316117E+0 | 8.59285630641768E+1 | 7.72027924089707E+0 |
| Node | 655 | 6.32646572683848E+0 | 8.59285630641768E+1 | 7.20523941937731E+0 |
| Node | 656 | 6.32653394888128E+0 | 8.59285630641767E+1 | 6.68997536725958E+0 |
| Node | 657 | 6.32653052272394E+0 | 8.59285630641767E+1 | 6.17445445264961E+0 |
| Node | 658 | 6.32636097301427E+0 | 8.59285630641769E+1 | 5.65865222995914E+0 |
| Node | 659 | 6.32590538723190E+0 | 8.59285630641773E+1 | 5.14258573871195E+0 |
| Node | 660 | 6.32504296633305E+0 | 8.59285630641781E+1 | 4.62632449003556E+0 |
| Node | 661 | 6.32366782204859E+0 | 8.59285630641794E+1 | 4.10998202483819E+0 |
| Node | 662 | 6.32168199283002E+0 | 8.59285630641812E+1 | 3.59373597475180E+0 |
| Node | 663 | 6.31903830365012E+0 | 8.59285630641837E+1 | 3.07784808957943E+0 |
| Node | 664 | 6.31580825148532E+0 | 8.59285630641868E+1 | 2.56262326393276E+0 |
| Node | 665 | 6.31218873623834E+0 | 8.59285630641901E+1 | 2.04831074162515E+0 |
| Node | 666 | 6.30842119109563E+0 | 8.59285630641937E+1 | 1.53502505542971E+0 |
| Node | 667 | 6.30469228433781E+0 | 8.59285630641972E+1 | 1.02272033301291E+0 |
| Node | 668 | 6.30108787472778E+0 | 8.59285630642005E+1 | 5.11182402571646E-1 |
| Node | 669 | 6.79010696114846E+0 | 8.59285630637423E+1 | 5.07558656919720E-1 |
| Node | 670 | 7.27825104695137E+0 | 8.59285630632849E+1 | 5.03686797430542E-1 |
| Node | 671 | 7.76517963603165E+0 | 8.59285630628285E+1 | 4.99599518680698E-1 |
| Node | 672 | 8.25067648106643E+0 | 8.59285630623736E+1 | 4.95501231915345E-1 |
| Node | 673 | 8.73472916820522E+0 | 8.59285630619200E+1 | 4.91754023292984E-1 |
| Node | 674 | 9.21757691595443E+0 | 8.59285630614675E+1 | 4.88804907740260E-1 |



RADDOPPIO LINEA CODOGNO – CREMONA – MANTOVA
TRATTA PIADENA - MANTOVA

Relazione di calcolo spalle

COMMESMA LOTTO CODIFICA DOCUMENTO REV. FOGLIO
NM25 03 D 26 CL IV 37 04 001 A 158 di 439

| | | | | |
|------|-----|---------------------|---------------------|---------------------|
| Node | 675 | 9.69969614430725E+0 | 8.59285630610157E+1 | 4.87063398705936E-1 |
| Node | 676 | 1.01817088373584E+1 | 8.59285630605640E+1 | 4.86766841932978E-1 |
| Node | 677 | 1.06642326669753E+1 | 8.59285630601118E+1 | 4.87894058093547E-1 |
| Node | 678 | 1.11477278499944E+1 | 8.59285630596587E+1 | 4.90180272683681E-1 |
| Node | 679 | 1.16324168019266E+1 | 8.59285630592045E+1 | 4.93236076838632E-1 |
| Node | 680 | 1.21183120857881E+1 | 8.59285630587492E+1 | 4.96690769158833E-1 |
| Node | 681 | 1.26053147485549E+1 | 8.59285630582928E+1 | 5.00293030382308E-1 |
| Node | 682 | 1.30933066703989E+1 | 8.59285630578355E+1 | 5.03926419710217E-1 |
| Node | 683 | 1.35821639719073E+1 | 8.59285630573774E+1 | 5.07555986205480E-1 |
| Node | 684 | 1.40716925250398E+1 | 8.59285630569187E+1 | 5.11168978122585E-1 |
| Node | 685 | 1.40678853076122E+1 | 8.59285630569222E+1 | 1.02276760393779E+0 |
| Node | 686 | 1.40638828367645E+1 | 8.59285630569260E+1 | 1.53504975620944E+0 |
| Node | 687 | 1.40597290253712E+1 | 8.59285630569299E+1 | 2.04829354353441E+0 |
| Node | 688 | 1.40556071375809E+1 | 8.59285630569337E+1 | 2.56268076571824E+0 |
| Node | 689 | 1.40518138738923E+1 | 8.59285630569373E+1 | 3.07822029644684E+0 |
| Node | 690 | 1.40486873623097E+1 | 8.59285630569402E+1 | 3.59470349438169E+0 |
| Node | 691 | 1.40465019935293E+1 | 8.59285630569423E+1 | 4.11172352688159E+0 |
| Node | 692 | 1.40453614737151E+1 | 8.59285630569433E+1 | 4.62877459398859E+0 |
| Node | 693 | 1.40451346080342E+1 | 8.59285630569435E+1 | 5.14540716748977E+0 |
| Node | 694 | 1.40454834847141E+1 | 8.59285630569432E+1 | 5.66137382733837E+0 |
| Node | 695 | 1.40460115558773E+1 | 8.59285630569427E+1 | 6.17667829050262E+0 |
| Node | 696 | 1.40464354941343E+1 | 8.59285630569423E+1 | 6.69151234665715E+0 |
| Node | 697 | 1.40466636339746E+1 | 8.59285630569421E+1 | 7.20612540080002E+0 |
| Node | 698 | 1.40467603906735E+1 | 8.59285630569420E+1 | 7.72072048649772E+0 |
| Node | 699 | 6.84122933984748E+0 | 8.59285630636944E+1 | 7.72007432315063E+0 |
| Node | 700 | 6.84141542960279E+0 | 8.59285630636942E+1 | 7.20473720490251E+0 |
| Node | 701 | 6.84159406992818E+0 | 8.59285630636940E+1 | 6.68886933967832E+0 |

| Relazione di calcolo spalle | | COMMESMA NM25 | LOTTO 03 D 26 | CODIFICA CL | DOCUMENTO IV 37 04 001 | REV. A | FOGLIO 159 di 439 |
|-----------------------------|--|------------------|------------------|----------------|---------------------------|-----------|----------------------|
|-----------------------------|--|------------------|------------------|----------------|---------------------------|-----------|----------------------|

| | | | | | | | |
|------|-----|---------------------|---------------------|---------------------|--|--|--|
| Node | 702 | 6.84164192900611E+0 | 8.59285630636940E+1 | 6.17244385730496E+0 | | | |
| Node | 703 | 6.84134344069170E+0 | 8.59285630636943E+1 | 5.65539292368892E+0 | | | |
| Node | 704 | 6.84042120445200E+0 | 8.59285630636951E+1 | 5.13776388623241E+0 | | | |
| Node | 705 | 6.83861733481196E+0 | 8.59285630636968E+1 | 4.61973886363633E+0 | | | |
| Node | 706 | 6.83575173895962E+0 | 8.59285630636995E+1 | 4.10155965448584E+0 | | | |
| Node | 707 | 6.83163480350213E+0 | 8.59285630637034E+1 | 3.58358437852522E+0 | | | |
| Node | 708 | 6.82615874271971E+0 | 8.59285630637085E+1 | 3.06637059592445E+0 | | | |
| Node | 709 | 6.81948875765700E+0 | 8.59285630637147E+1 | 2.55058506023744E+0 | | | |
| Node | 710 | 6.81208879382036E+0 | 8.59285630637217E+1 | 2.03675842985634E+0 | | | |
| Node | 711 | 6.80451166913359E+0 | 8.59285630637288E+1 | 1.52511045922627E+0 | | | |
| Node | 712 | 6.79715325576488E+0 | 8.59285630637357E+1 | 1.01551960599110E+0 | | | |
| Node | 713 | 7.28755153549645E+0 | 8.59285630632761E+1 | 1.00792052892797E+0 | | | |
| Node | 714 | 7.77548755793316E+0 | 8.59285630628189E+1 | 9.99761544285604E-1 | | | |
| Node | 715 | 8.26047459338711E+0 | 8.59285630623644E+1 | 9.91449655704582E-1 | | | |
| Node | 716 | 8.74243345205465E+0 | 8.59285630619127E+1 | 9.83734942311871E-1 | | | |
| Node | 717 | 9.22180880788393E+0 | 8.59285630614635E+1 | 9.77572428647255E-1 | | | |
| Node | 718 | 9.69956223920482E+0 | 8.59285630610158E+1 | 9.73867837203087E-1 | | | |
| Node | 719 | 1.01770031936531E+1 | 8.59285630605684E+1 | 9.73178415854624E-1 | | | |
| Node | 720 | 1.06554744904753E+1 | 8.59285630601200E+1 | 9.75495395292503E-1 | | | |
| Node | 721 | 1.11359957064820E+1 | 8.59285630596697E+1 | 9.80253270843673E-1 | | | |
| Node | 722 | 1.16190580306802E+1 | 8.59285630592170E+1 | 9.86605216217240E-1 | | | |
| Node | 723 | 1.21046858368941E+1 | 8.59285630587620E+1 | 9.93739311830689E-1 | | | |
| Node | 724 | 1.25926577111049E+1 | 8.59285630583047E+1 | 1.00109519823446E+0 | | | |
| Node | 725 | 1.30827105439997E+1 | 8.59285630578455E+1 | 1.00841029258813E+0 | | | |
| Node | 726 | 1.35745776247535E+1 | 8.59285630573845E+1 | 1.01561827570465E+0 | | | |
| Node | 727 | 1.35666990461032E+1 | 8.59285630573919E+1 | 1.52530827376410E+0 | | | |
| Node | 728 | 1.35584232314871E+1 | 8.59285630573996E+1 | 2.03692048113881E+0 | | | |

| Relazione di calcolo spalle | | COMMESSE NM25 | LOTTO 03 D 26 | CODIFICA CL | DOCUMENTO IV 37 04 001 | REV. A | FOGLIO 160 di 439 |
|-----------------------------|--|------------------|------------------|----------------|---------------------------|-----------|----------------------|
|-----------------------------|--|------------------|------------------|----------------|---------------------------|-----------|----------------------|

| | | | | | | | |
|------|-----|---------------------|---------------------|---------------------|--|--|--|
| Node | 729 | 1.35501221370073E+1 | 8.59285630574074E+1 | 2.55086851297975E+0 | | | |
| Node | 730 | 1.35424053965622E+1 | 8.59285630574146E+1 | 3.06721621761568E+0 | | | |
| Node | 731 | 1.35359821597005E+1 | 8.59285630574207E+1 | 3.58556775560168E+0 | | | |
| Node | 732 | 1.35314510402493E+1 | 8.59285630574249E+1 | 4.10509040096111E+0 | | | |
| Node | 733 | 1.35290767637460E+1 | 8.59285630574271E+1 | 4.62471156306976E+0 | | | |
| Node | 734 | 1.35286255028565E+1 | 8.59285630574276E+1 | 5.14345880956172E+0 | | | |
| Node | 735 | 1.35293790539680E+1 | 8.59285630574269E+1 | 5.66080440525036E+0 | | | |
| Node | 736 | 1.35304798697726E+1 | 8.59285630574258E+1 | 6.17676749813756E+0 | | | |
| Node | 737 | 1.35313361920356E+1 | 8.59285630574250E+1 | 6.69175607766926E+0 | | | |
| Node | 738 | 1.35317631835935E+1 | 8.59285630574246E+1 | 7.20627189213722E+0 | | | |
| Node | 739 | 1.35319515788561E+1 | 8.59285630574245E+1 | 7.72079213343829E+0 | | | |
| Node | 740 | 1.30170435516344E+1 | 8.59285630579070E+1 | 7.72070197728127E+0 | | | |
| Node | 741 | 1.25021800842607E+1 | 8.59285630583895E+1 | 7.72045245285391E+0 | | | |
| Node | 742 | 1.19874240018548E+1 | 8.59285630588718E+1 | 7.71994990384581E+0 | | | |
| Node | 743 | 1.14728568402382E+1 | 8.59285630593540E+1 | 7.71926364610782E+0 | | | |
| Node | 744 | 1.09585047480143E+1 | 8.59285630598361E+1 | 7.71854667063740E+0 | | | |
| Node | 745 | 1.04442812673432E+1 | 8.59285630603179E+1 | 7.71803660850662E+0 | | | |
| Node | 746 | 9.92996602802886E+0 | 8.59285630607999E+1 | 7.71801985145965E+0 | | | |
| Node | 747 | 9.41536013981222E+0 | 8.59285630612822E+1 | 7.71859160305929E+0 | | | |
| Node | 748 | 8.90057093667866E+0 | 8.59285630617645E+1 | 7.71931341099409E+0 | | | |
| Node | 749 | 8.38573645043618E+0 | 8.59285630622470E+1 | 7.71975364653392E+0 | | | |
| Node | 750 | 7.87090130523734E+0 | 8.59285630627295E+1 | 7.71990235409326E+0 | | | |
| Node | 751 | 7.35606075741319E+0 | 8.59285630632119E+1 | 7.72002916230502E+0 | | | |
| Node | 752 | 1.30167216644576E+1 | 8.59285630579073E+1 | 7.20613475312233E+0 | | | |
| Node | 753 | 1.25017267452898E+1 | 8.59285630583899E+1 | 7.20563321693382E+0 | | | |
| Node | 754 | 1.19869379957948E+1 | 8.59285630588723E+1 | 7.20447903776347E+0 | | | |
| Node | 755 | 1.14725623692852E+1 | 8.59285630593543E+1 | 7.20284648067805E+0 | | | |

| Relazione di calcolo spalle | | COMMESSE NM25 | LOTTO 03 D 26 | CODIFICA CL | DOCUMENTO IV 37 04 001 | REV. A | FOGLIO 161 di 439 |
|-----------------------------|--|------------------|------------------|----------------|---------------------------|-----------|----------------------|
|-----------------------------|--|------------------|------------------|----------------|---------------------------|-----------|----------------------|

| | | | | | | | |
|------|-----|---------------------|---------------------|---------------------|--|--|--|
| Node | 756 | 1.09586651197281E+1 | 8.59285630598359E+1 | 7.20101230721273E+0 | | | |
| Node | 757 | 1.04450883676258E+1 | 8.59285630603172E+1 | 7.19947082018457E+0 | | | |
| Node | 758 | 9.93127620021812E+0 | 8.59285630607987E+1 | 7.19906027676861E+0 | | | |
| Node | 759 | 9.41659025790357E+0 | 8.59285630612810E+1 | 7.20042678215234E+0 | | | |
| Node | 760 | 8.90150218442878E+0 | 8.59285630617637E+1 | 7.20233715903971E+0 | | | |
| Node | 761 | 8.38640152130656E+0 | 8.59285630622464E+1 | 7.20355496127831E+0 | | | |
| Node | 762 | 7.87136922335496E+0 | 8.59285630627290E+1 | 7.20400607326404E+0 | | | |
| Node | 763 | 7.35637572729426E+0 | 8.59285630632116E+1 | 7.20444963804949E+0 | | | |
| Node | 764 | 7.35672665201349E+0 | 8.59285630632113E+1 | 6.68773090257765E+0 | | | |
| Node | 765 | 7.35688439027053E+0 | 8.59285630632112E+1 | 6.17007604052764E+0 | | | |
| Node | 766 | 7.35643805830218E+0 | 8.59285630632116E+1 | 5.65129096826753E+0 | | | |
| Node | 767 | 7.35483514941159E+0 | 8.59285630632131E+1 | 5.13152359807845E+0 | | | |
| Node | 768 | 7.35164036582456E+0 | 8.59285630632161E+1 | 4.61126332967271E+0 | | | |
| Node | 769 | 7.34679456222580E+0 | 8.59285630632206E+1 | 4.09092801949068E+0 | | | |
| Node | 770 | 7.34010420773183E+0 | 8.59285630632269E+1 | 3.57101997760990E+0 | | | |
| Node | 771 | 7.33137856643515E+0 | 8.59285630632351E+1 | 3.05241903532667E+0 | | | |
| Node | 772 | 7.32090769082761E+0 | 8.59285630632449E+1 | 2.53623578783768E+0 | | | |
| Node | 773 | 7.30955704045568E+0 | 8.59285630632555E+1 | 2.02330198249501E+0 | | | |
| Node | 774 | 7.29831852319492E+0 | 8.59285630632661E+1 | 1.51386337565108E+0 | | | |
| Node | 775 | 7.78776319287504E+0 | 8.59285630628074E+1 | 1.50190460917488E+0 | | | |
| Node | 776 | 8.27268462171666E+0 | 8.59285630623529E+1 | 1.48936814596343E+0 | | | |
| Node | 777 | 8.75276830205137E+0 | 8.59285630619031E+1 | 1.47737128833344E+0 | | | |
| Node | 778 | 9.22849942787254E+0 | 8.59285630614573E+1 | 1.46745101644576E+0 | | | |
| Node | 779 | 9.70124388548221E+0 | 8.59285630610142E+1 | 1.46119717145364E+0 | | | |
| Node | 780 | 1.01730931305757E+1 | 8.59285630605721E+1 | 1.45973338382719E+0 | | | |
| Node | 781 | 1.06463921517967E+1 | 8.59285630601285E+1 | 1.46322443230230E+0 | | | |
| Node | 782 | 1.11230317745462E+1 | 8.59285630596819E+1 | 1.47076359127997E+0 | | | |

| Relazione di calcolo spalle | | COMMESMA NM25 | LOTTO 03 D 26 | CODIFICA CL | DOCUMENTO IV 37 04 001 | REV. A | FOGLIO 162 di 439 |
|-----------------------------|--|------------------|------------------|----------------|---------------------------|-----------|----------------------|
|-----------------------------|--|------------------|------------------|----------------|---------------------------|-----------|----------------------|

| | | | | | | | |
|------|-----|---------------------|---------------------|---------------------|--|--|--|
| Node | 783 | 1.16039543019717E+1 | 8.59285630592312E+1 | 1.48091030646314E+0 | | | |
| Node | 784 | 1.20892340023648E+1 | 8.59285630587764E+1 | 1.49221638710141E+0 | | | |
| Node | 785 | 1.25784379764690E+1 | 8.59285630583180E+1 | 1.50361249362020E+0 | | | |
| Node | 786 | 1.30710062287926E+1 | 8.59285630578564E+1 | 1.51458478703422E+0 | | | |
| Node | 787 | 1.30589034769675E+1 | 8.59285630578677E+1 | 2.02407527493118E+0 | | | |
| Node | 788 | 1.30465287186073E+1 | 8.59285630578794E+1 | 2.53707349435557E+0 | | | |
| Node | 789 | 1.30347485801185E+1 | 8.59285630578904E+1 | 3.05384434943279E+0 | | | |
| Node | 790 | 1.30246343799864E+1 | 8.59285630578999E+1 | 3.57393429437702E+0 | | | |
| Node | 791 | 1.30171941448419E+1 | 8.59285630579068E+1 | 4.09614100549894E+0 | | | |
| Node | 792 | 1.30130493088083E+1 | 8.59285630579107E+1 | 4.61875414814855E+0 | | | |
| Node | 793 | 1.30120681243843E+1 | 8.59285630579116E+1 | 5.14011035196991E+0 | | | |
| Node | 794 | 1.30131373044086E+1 | 8.59285630579106E+1 | 5.65929342421788E+0 | | | |
| Node | 795 | 1.30148182901661E+1 | 8.59285630579091E+1 | 6.17628939192051E+0 | | | |
| Node | 796 | 1.30161483844799E+1 | 8.59285630579078E+1 | 6.69169421805781E+0 | | | |
| Node | 797 | 7.87198444094524E+0 | 8.59285630627285E+1 | 6.68649225343353E+0 | | | |
| Node | 798 | 7.87237193071827E+0 | 8.59285630627281E+1 | 6.16700267864293E+0 | | | |
| Node | 799 | 7.87176765731194E+0 | 8.59285630627287E+1 | 5.64548199191058E+0 | | | |
| Node | 800 | 7.86899768152157E+0 | 8.59285630627313E+1 | 5.12235149294549E+0 | | | |
| Node | 801 | 7.86322588881747E+0 | 8.59285630627367E+1 | 4.59908029841261E+0 | | | |
| Node | 802 | 7.85526755664082E+0 | 8.59285630627441E+1 | 4.07630243205071E+0 | | | |
| Node | 803 | 7.84519294017366E+0 | 8.59285630627536E+1 | 3.55443951014664E+0 | | | |
| Node | 804 | 7.83261788928790E+0 | 8.59285630627653E+1 | 3.03466173004781E+0 | | | |
| Node | 805 | 7.81794055387562E+0 | 8.59285630627791E+1 | 2.51862809338668E+0 | | | |
| Node | 806 | 7.80262100479275E+0 | 8.59285630627935E+1 | 2.00744117774475E+0 | | | |
| Node | 807 | 8.28830530472043E+0 | 8.59285630623383E+1 | 1.99085551321835E+0 | | | |
| Node | 808 | 8.76704830867201E+0 | 8.59285630618897E+1 | 1.97423768382166E+0 | | | |
| Node | 809 | 9.23905194991591E+0 | 8.59285630614474E+1 | 1.95976248451214E+0 | | | |

| Relazione di calcolo spalle | | COMMESSA NM25 | LOTTO 03 D 26 | CODIFICA CL | DOCUMENTO IV 37 04 001 | REV. A | FOGLIO 163 di 439 |
|-----------------------------|--|------------------|------------------|----------------|---------------------------|-----------|----------------------|
|-----------------------------|--|------------------|------------------|----------------|---------------------------|-----------|----------------------|

| | | | | | | | |
|------|-----|---------------------|---------------------|---------------------|--|--|--|
| Node | 810 | 9.70585679597517E+0 | 8.59285630610099E+1 | 1.95001518838846E+0 | | | |
| Node | 811 | 1.01704534825255E+1 | 8.59285630605745E+1 | 1.94718022963786E+0 | | | |
| Node | 812 | 1.06367500349594E+1 | 8.59285630601376E+1 | 1.95192706202583E+0 | | | |
| Node | 813 | 1.11081499651413E+1 | 8.59285630596958E+1 | 1.96280136861866E+0 | | | |
| Node | 814 | 1.15863144649178E+1 | 8.59285630592477E+1 | 1.97750605161695E+0 | | | |
| Node | 815 | 1.20713477156962E+1 | 8.59285630587932E+1 | 1.99364477021097E+0 | | | |
| Node | 816 | 1.25623682675232E+1 | 8.59285630583331E+1 | 2.00932327310314E+0 | | | |
| Node | 817 | 1.25463414206776E+1 | 8.59285630583481E+1 | 2.52039850542900E+0 | | | |
| Node | 818 | 1.25305152661481E+1 | 8.59285630583629E+1 | 3.03679067205392E+0 | | | |
| Node | 819 | 1.25161860456172E+1 | 8.59285630583763E+1 | 3.55822769779481E+0 | | | |
| Node | 820 | 1.25048331644642E+1 | 8.59285630583870E+1 | 4.08329528607506E+0 | | | |
| Node | 821 | 1.24978309707640E+1 | 8.59285630583936E+1 | 4.60954739214859E+0 | | | |
| Node | 822 | 1.24957393974039E+1 | 8.59285630583955E+1 | 5.13426031682076E+0 | | | |
| Node | 823 | 1.24969567855349E+1 | 8.59285630583944E+1 | 5.65599588818473E+0 | | | |
| Node | 824 | 1.24991485380842E+1 | 8.59285630583923E+1 | 6.17467854778044E+0 | | | |
| Node | 825 | 1.25009042314780E+1 | 8.59285630583907E+1 | 6.69086139982331E+0 | | | |
| Node | 826 | 1.19860361749855E+1 | 8.59285630588732E+1 | 6.68834128968629E+0 | | | |
| Node | 827 | 1.14720744702357E+1 | 8.59285630593548E+1 | 6.68475765072723E+0 | | | |
| Node | 828 | 1.09591015221381E+1 | 8.59285630598355E+1 | 6.68048414773066E+0 | | | |
| Node | 829 | 1.04469709213230E+1 | 8.59285630603154E+1 | 6.67626695797905E+0 | | | |
| Node | 830 | 9.93439834069247E+0 | 8.59285630607958E+1 | 6.67424989991834E+0 | | | |
| Node | 831 | 9.41909157467613E+0 | 8.59285630612787E+1 | 6.67757285878617E+0 | | | |
| Node | 832 | 8.90310897240813E+0 | 8.59285630617622E+1 | 6.68244869996339E+0 | | | |
| Node | 833 | 8.38739809616210E+0 | 8.59285630622455E+1 | 6.68550085278797E+0 | | | |
| Node | 834 | 8.38835812787902E+0 | 8.59285630622445E+1 | 6.16290972824723E+0 | | | |
| Node | 835 | 8.38785662185557E+0 | 8.59285630622450E+1 | 5.63677677009957E+0 | | | |
| Node | 836 | 8.38319097617133E+0 | 8.59285630622494E+1 | 5.10762465941466E+0 | | | |

Relazione di calcolo spalle

| | | | | | |
|----------|---------|----------|--------------|------|------------|
| COMMESSE | LOTTO | CODIFICA | DOCUMENTO | REV. | FOGLIO |
| NM25 | 03 D 26 | CL | IV 37 04 001 | A | 164 di 439 |

| | | | | |
|------|-----|---------------------|---------------------|---------------------|
| Node | 837 | 8.37186365033933E+0 | 8.59285630622600E+1 | 4.58032380333670E+0 |
| Node | 838 | 8.35844327820238E+0 | 8.59285630622726E+1 | 4.05537956093848E+0 |
| Node | 839 | 8.34379757159844E+0 | 8.59285630622863E+1 | 3.53222667299359E+0 |
| Node | 840 | 8.32683624602756E+0 | 8.59285630623022E+1 | 3.01215188361753E+0 |
| Node | 841 | 8.30783221894988E+0 | 8.59285630623200E+1 | 2.49750596491520E+0 |
| Node | 842 | 8.78610007220965E+0 | 8.59285630618718E+1 | 2.47610427359108E+0 |
| Node | 843 | 9.25448201781647E+0 | 8.59285630614329E+1 | 2.45613167818640E+0 |
| Node | 844 | 9.71416279443066E+0 | 8.59285630610021E+1 | 2.44162289936647E+0 |
| Node | 845 | 1.01690672949508E+1 | 8.59285630605758E+1 | 2.43675790581657E+0 |
| Node | 846 | 1.06257801689283E+1 | 8.59285630601479E+1 | 2.44340493521055E+0 |
| Node | 847 | 1.10904889978783E+1 | 8.59285630597124E+1 | 2.45856807985326E+0 |
| Node | 848 | 1.15656487359030E+1 | 8.59285630592671E+1 | 2.47870077962917E+0 |
| Node | 849 | 1.20510975587141E+1 | 8.59285630588122E+1 | 2.50017214843756E+0 |
| Node | 850 | 1.20318381765306E+1 | 8.59285630588302E+1 | 3.01500264756976E+0 |
| Node | 851 | 1.20129176494091E+1 | 8.59285630588480E+1 | 3.53712192771482E+0 |
| Node | 852 | 1.19961370591170E+1 | 8.59285630588637E+1 | 4.06523665956471E+0 |
| Node | 853 | 1.19842713416840E+1 | 8.59285630588748E+1 | 4.59608083283970E+0 |
| Node | 854 | 1.19803672517431E+1 | 8.59285630588785E+1 | 5.12490270388624E+0 |
| Node | 855 | 1.19816902685659E+1 | 8.59285630588772E+1 | 5.64985889076293E+0 |
| Node | 856 | 1.19841030027101E+1 | 8.59285630588750E+1 | 6.17123933102414E+0 |
| Node | 857 | 1.14710700657928E+1 | 8.59285630593557E+1 | 6.16404018722016E+0 |
| Node | 858 | 1.09597554262432E+1 | 8.59285630598349E+1 | 6.15516626226455E+0 |
| Node | 859 | 1.04507640643977E+1 | 8.59285630603119E+1 | 6.14466419820102E+0 |
| Node | 860 | 9.94180374168748E+0 | 8.59285630607888E+1 | 6.13674246077288E+0 |
| Node | 861 | 9.42357209231534E+0 | 8.59285630612744E+1 | 6.14548146758133E+0 |
| Node | 862 | 8.90529318481968E+0 | 8.59285630617601E+1 | 6.15753120396327E+0 |
| Node | 863 | 1.14692904285695E+1 | 8.59285630593574E+1 | 5.63941035355623E+0 |



RADDOPPIO LINEA CODOGNO – CREMONA – MANTOVA
TRATTA PIADENA - MANTOVA

Relazione di calcolo spalle

COMMESSE LOTTO CODIFICA DOCUMENTO REV. FOGLIO
NM25 03 D 26 CL IV 37 04 001 A 165 di 439

| | | | | |
|------|-----|---------------------|---------------------|---------------------|
| Node | 864 | 1.09600767583117E+1 | 8.59285630598346E+1 | 5.62395825941612E+0 |
| Node | 865 | 1.04571022269390E+1 | 8.59285630603059E+1 | 5.60070987486983E+0 |
| Node | 866 | 9.96090842609036E+0 | 8.59285630607709E+1 | 5.57079372534021E+0 |
| Node | 867 | 9.42976074604513E+0 | 8.59285630612686E+1 | 5.59747454310996E+0 |
| Node | 868 | 8.90627057809734E+0 | 8.59285630617592E+1 | 5.62384194566128E+0 |
| Node | 869 | 8.89979285020914E+0 | 8.59285630617653E+1 | 5.08200247356026E+0 |
| Node | 870 | 8.87486527470415E+0 | 8.59285630617886E+1 | 4.55008854850400E+0 |
| Node | 871 | 8.85145767382849E+0 | 8.59285630618106E+1 | 4.02532048945636E+0 |
| Node | 872 | 8.83106377249023E+0 | 8.59285630618297E+1 | 3.50318510112227E+0 |
| Node | 873 | 8.80989124611307E+0 | 8.59285630618495E+1 | 2.98491659179978E+0 |
| Node | 874 | 9.27514063600199E+0 | 8.59285630614135E+1 | 2.95834444770148E+0 |
| Node | 875 | 9.72638506186138E+0 | 8.59285630609907E+1 | 2.93721542147507E+0 |
| Node | 876 | 1.01678692001420E+1 | 8.59285630605770E+1 | 2.92957628530711E+0 |
| Node | 877 | 1.06112881254466E+1 | 8.59285630601614E+1 | 2.94069758169718E+0 |
| Node | 878 | 1.10686008200010E+1 | 8.59285630597329E+1 | 2.96174627240068E+0 |
| Node | 879 | 1.15418204054805E+1 | 8.59285630592894E+1 | 2.98791947572835E+0 |
| Node | 880 | 1.15185536970332E+1 | 8.59285630593112E+1 | 3.50990217298490E+0 |
| Node | 881 | 1.14939953749665E+1 | 8.59285630593342E+1 | 4.04132645185273E+0 |
| Node | 882 | 1.14727754607965E+1 | 8.59285630593541E+1 | 4.57859272938980E+0 |
| Node | 883 | 1.14669589897452E+1 | 8.59285630593596E+1 | 5.11156830816154E+0 |
| Node | 884 | 9.42973614521786E+0 | 8.59285630612687E+1 | 5.03242287923497E+0 |
| Node | 885 | 9.36612276957436E+0 | 8.59285630613283E+1 | 4.49994770461350E+0 |
| Node | 886 | 9.32578879641640E+0 | 8.59285630613661E+1 | 3.98372638359957E+0 |
| Node | 887 | 9.30046378603447E+0 | 8.59285630613898E+1 | 3.46783722169378E+0 |
| Node | 888 | 9.74267145648000E+0 | 8.59285630609754E+1 | 3.43622578799685E+0 |
| Node | 889 | 1.01639792357652E+1 | 8.59285630605806E+1 | 3.42345943004487E+0 |
| Node | 890 | 1.05873310131604E+1 | 8.59285630601839E+1 | 3.44828072417918E+0 |

Relazione di calcolo spalle

| | | | | | |
|----------|---------|----------|--------------|------|------------|
| COMMESSE | LOTTO | CODIFICA | DOCUMENTO | REV. | FOGLIO |
| NM25 | 03 D 26 | CL | IV 37 04 001 | A | 166 di 439 |

| | | | | |
|------|-----|---------------------|---------------------|----------------------|
| Node | 891 | 1.10395873106615E+1 | 8.59285630597601E+1 | 3.47729586467781E+0 |
| Node | 892 | 1.10035314157623E+1 | 8.59285630597939E+1 | 4.01188549407058E+0 |
| Node | 893 | 1.09594950204504E+1 | 8.59285630598351E+1 | 4.56111306417437E+0 |
| Node | 894 | 1.09582028043761E+1 | 8.59285630598363E+1 | 5.09011148493782E+0 |
| Node | 895 | 1.04612243410533E+1 | 8.59285630603021E+1 | 5.05026070671503E+0 |
| Node | 896 | 1.00185239903123E+1 | 8.59285630607169E+1 | 4.93231760101133E+0 |
| Node | 897 | 9.82304236452475E+0 | 8.59285630609001E+1 | 4.41823024552577E+0 |
| Node | 898 | 9.76678311753077E+0 | 8.59285630609528E+1 | 3.93325669714534E+0 |
| Node | 899 | 1.01526991587173E+1 | 8.59285630605912E+1 | 3.90191182006533E+0 |
| Node | 900 | 1.05379077693674E+1 | 8.59285630602302E+1 | 3.97540309252010E+0 |
| Node | 901 | 1.04188664388504E+1 | 8.59285630603417E+1 | 4.56417547882485E+0 |
| Node | 902 | 1.01328344310434E+1 | 8.59285630606098E+1 | 4.29327281128800E+0 |
| Node | 903 | 1.58115339294472E+1 | 8.11285630557146E+1 | 0.000000000000000E+0 |
| Node | 904 | 1.59066650764278E+1 | 8.08351670573528E+1 | 0.000000000000000E+0 |
| Node | 905 | 1.61558587768661E+1 | 8.06534154503656E+1 | 0.000000000000000E+0 |
| Node | 906 | 1.64648748404933E+1 | 8.06526570093151E+1 | 0.000000000000000E+0 |
| Node | 907 | 1.67145949169225E+1 | 8.08326883518694E+1 | 0.000000000000000E+0 |
| Node | 908 | 1.68115279055309E+1 | 8.11261086963106E+1 | 0.000000000000000E+0 |
| Node | 909 | 1.67174801894455E+1 | 8.14204665226235E+1 | 0.000000000000000E+0 |
| Node | 910 | 1.64707033934736E+1 | 8.16025515384033E+1 | 0.000000000000000E+0 |
| Node | 911 | 1.61617012909492E+1 | 8.16055852569177E+1 | 0.000000000000000E+0 |
| Node | 912 | 1.59099301637069E+1 | 8.14264127079608E+1 | 0.000000000000000E+0 |
| Node | 913 | 1.61410818178251E+1 | 8.12861439201423E+1 | 0.000000000000000E+0 |
| Node | 914 | 1.60661806480406E+1 | 8.10988168611402E+1 | 0.000000000000000E+0 |
| Node | 915 | 1.60968302030718E+1 | 8.09487232807454E+1 | 0.000000000000000E+0 |
| Node | 916 | 1.61996961388518E+1 | 8.08281845186958E+1 | 0.000000000000000E+0 |
| Node | 917 | 1.63472454613750E+1 | 8.08815862589934E+1 | 0.000000000000000E+0 |



RADDOPPIO LINEA CODOGNO – CREMONA – MANTOVA
TRATTA PIADENA - MANTOVA

Relazione di calcolo spalle

COMMESSE LOTTO CODIFICA DOCUMENTO REV. FOGLIO
NM25 03 D 26 CL IV 37 04 001 A 167 di 439

| | | | | |
|------|-----|---------------------|---------------------|----------------------|
| Node | 918 | 1.65078735842021E+1 | 8.10130443667123E+1 | 0.000000000000000E+0 |
| Node | 919 | 1.66134646912594E+1 | 8.11404972075588E+1 | 0.000000000000000E+0 |
| Node | 920 | 1.65207019695949E+1 | 8.12830989027385E+1 | 0.000000000000000E+0 |
| Node | 921 | 1.63950869695664E+1 | 8.13757079737819E+1 | 0.000000000000000E+0 |
| Node | 922 | 1.62321949782979E+1 | 8.14220705974899E+1 | 0.000000000000000E+0 |
| Node | 923 | 1.62160757007897E+1 | 8.10320170602164E+1 | 0.000000000000000E+0 |
| Node | 924 | 1.63560214812551E+1 | 8.11972755139783E+1 | 0.000000000000000E+0 |
| Node | 925 | 1.28115339294472E+1 | 8.11285630451427E+1 | 0.000000000000000E+0 |
| Node | 926 | 1.29066650764278E+1 | 8.08351670467810E+1 | 0.000000000000000E+0 |
| Node | 927 | 1.31558587768660E+1 | 8.06534154397938E+1 | 0.000000000000000E+0 |
| Node | 928 | 1.34648748404933E+1 | 8.06526569987433E+1 | 0.000000000000000E+0 |
| Node | 929 | 1.37145949169225E+1 | 8.08326883412976E+1 | 0.000000000000000E+0 |
| Node | 930 | 1.38115279055309E+1 | 8.11261086857387E+1 | 0.000000000000000E+0 |
| Node | 931 | 1.37174801894455E+1 | 8.14204665120516E+1 | 0.000000000000000E+0 |
| Node | 932 | 1.34707033934735E+1 | 8.16025515278315E+1 | 0.000000000000000E+0 |
| Node | 933 | 1.31617012909491E+1 | 8.16055852463459E+1 | 0.000000000000000E+0 |
| Node | 934 | 1.29099301637069E+1 | 8.14264126973889E+1 | 0.000000000000000E+0 |
| Node | 935 | 1.31410818178251E+1 | 8.12861439095705E+1 | 0.000000000000000E+0 |
| Node | 936 | 1.30661806480406E+1 | 8.10988168505683E+1 | 0.000000000000000E+0 |
| Node | 937 | 1.30968302030717E+1 | 8.09487232701736E+1 | 0.000000000000000E+0 |
| Node | 938 | 1.31996961388517E+1 | 8.08281845081240E+1 | 0.000000000000000E+0 |
| Node | 939 | 1.33472454613750E+1 | 8.08815862484215E+1 | 0.000000000000000E+0 |
| Node | 940 | 1.35078735842021E+1 | 8.10130443561404E+1 | 0.000000000000000E+0 |
| Node | 941 | 1.36134646912593E+1 | 8.11404971969870E+1 | 0.000000000000000E+0 |
| Node | 942 | 1.35207019695948E+1 | 8.12830988921666E+1 | 0.000000000000000E+0 |
| Node | 943 | 1.33950869695664E+1 | 8.13757079632100E+1 | 0.000000000000000E+0 |
| Node | 944 | 1.32321949782979E+1 | 8.14220705869181E+1 | 0.000000000000000E+0 |

Relazione di calcolo spalle

| | | | | | |
|----------|---------|----------|--------------|------|------------|
| COMMESSE | LOTTO | CODIFICA | DOCUMENTO | REV. | FOGLIO |
| NM25 | 03 D 26 | CL | IV 37 04 001 | A | 168 di 439 |

| | | | | |
|------|-----|---------------------|---------------------|----------------------|
| Node | 945 | 1.32160757007896E+1 | 8.10320170496446E+1 | 0.000000000000000E+0 |
| Node | 946 | 1.33560214812550E+1 | 8.11972755034065E+1 | 0.000000000000000E+0 |
| Node | 947 | 6.81153392944728E+0 | 8.11285630451427E+1 | 0.000000000000000E+0 |
| Node | 948 | 6.90666507642781E+0 | 8.08351670467810E+1 | 0.000000000000000E+0 |
| Node | 949 | 7.15585877686607E+0 | 8.06534154397938E+1 | 0.000000000000000E+0 |
| Node | 950 | 7.46487484049335E+0 | 8.06526569987433E+1 | 0.000000000000000E+0 |
| Node | 951 | 7.71459491692254E+0 | 8.08326883412976E+1 | 0.000000000000000E+0 |
| Node | 952 | 7.81152790553091E+0 | 8.11261086857387E+1 | 0.000000000000000E+0 |
| Node | 953 | 7.71748018944553E+0 | 8.14204665120516E+1 | 0.000000000000000E+0 |
| Node | 954 | 7.47070339347356E+0 | 8.16025515278315E+1 | 0.000000000000000E+0 |
| Node | 955 | 7.16170129094915E+0 | 8.16055852463459E+1 | 0.000000000000000E+0 |
| Node | 956 | 6.90993016370696E+0 | 8.14264126973889E+1 | 0.000000000000000E+0 |
| Node | 957 | 7.14108181782515E+0 | 8.12861439095705E+1 | 0.000000000000000E+0 |
| Node | 958 | 7.06618064804065E+0 | 8.10988168505683E+1 | 0.000000000000000E+0 |
| Node | 959 | 7.09683020307178E+0 | 8.09487232701736E+1 | 0.000000000000000E+0 |
| Node | 960 | 7.19969613885179E+0 | 8.08281845081240E+1 | 0.000000000000000E+0 |
| Node | 961 | 7.34724546137501E+0 | 8.08815862484215E+1 | 0.000000000000000E+0 |
| Node | 962 | 7.50787358420210E+0 | 8.10130443561404E+1 | 0.000000000000000E+0 |
| Node | 963 | 7.61346469125938E+0 | 8.11404971969870E+1 | 0.000000000000000E+0 |
| Node | 964 | 7.52070196959489E+0 | 8.12830988921666E+1 | 0.000000000000000E+0 |
| Node | 965 | 7.39508696956644E+0 | 8.13757079632100E+1 | 0.000000000000000E+0 |
| Node | 966 | 7.23219497829791E+0 | 8.14220705869181E+1 | 0.000000000000000E+0 |
| Node | 967 | 7.21607570078966E+0 | 8.10320170496446E+1 | 0.000000000000000E+0 |
| Node | 968 | 7.35602148125507E+0 | 8.11972755034065E+1 | 0.000000000000000E+0 |
| Node | 969 | 9.81153392944728E+0 | 8.11285630486667E+1 | 0.000000000000000E+0 |
| Node | 970 | 9.90666507642781E+0 | 8.08351670503049E+1 | 0.000000000000000E+0 |
| Node | 971 | 1.01558587768660E+1 | 8.06534154433178E+1 | 0.000000000000000E+0 |

| Relazione di calcolo spalle | | COMMESMA NM25 | LOTTO 03 D 26 | CODIFICA CL | DOCUMENTO IV 37 04 001 | REV. A | FOGLIO 169 di 439 |
|-----------------------------|--|------------------|------------------|----------------|---------------------------|-----------|----------------------|
|-----------------------------|--|------------------|------------------|----------------|---------------------------|-----------|----------------------|

| | | | | | | | |
|------|-----|---------------------|---------------------|----------------------|--|--|--|
| Node | 972 | 1.04648748404933E+1 | 8.06526570022672E+1 | 0.000000000000000E+0 | | | |
| Node | 973 | 1.07145949169225E+1 | 8.08326883448215E+1 | 0.000000000000000E+0 | | | |
| Node | 974 | 1.08115279055309E+1 | 8.11261086892627E+1 | 0.000000000000000E+0 | | | |
| Node | 975 | 1.07174801894455E+1 | 8.14204665155756E+1 | 0.000000000000000E+0 | | | |
| Node | 976 | 1.04707033934735E+1 | 8.16025515313554E+1 | 0.000000000000000E+0 | | | |
| Node | 977 | 1.01617012909491E+1 | 8.16055852498698E+1 | 0.000000000000000E+0 | | | |
| Node | 978 | 9.90993016370696E+0 | 8.14264127009129E+1 | 0.000000000000000E+0 | | | |
| Node | 979 | 1.01410818178251E+1 | 8.12861439130944E+1 | 0.000000000000000E+0 | | | |
| Node | 980 | 1.00661806480406E+1 | 8.10988168540923E+1 | 0.000000000000000E+0 | | | |
| Node | 981 | 1.00968302030717E+1 | 8.09487232736975E+1 | 0.000000000000000E+0 | | | |
| Node | 982 | 1.01996961388517E+1 | 8.08281845116479E+1 | 0.000000000000000E+0 | | | |
| Node | 983 | 1.03472454613750E+1 | 8.08815862519455E+1 | 0.000000000000000E+0 | | | |
| Node | 984 | 1.05078735842021E+1 | 8.10130443596644E+1 | 0.000000000000000E+0 | | | |
| Node | 985 | 1.06134646912593E+1 | 8.11404972005109E+1 | 0.000000000000000E+0 | | | |
| Node | 986 | 1.05207019695948E+1 | 8.12830988956906E+1 | 0.000000000000000E+0 | | | |
| Node | 987 | 1.03950869695664E+1 | 8.13757079667340E+1 | 0.000000000000000E+0 | | | |
| Node | 988 | 1.02321949782979E+1 | 8.14220705904420E+1 | 0.000000000000000E+0 | | | |
| Node | 989 | 1.02160757007896E+1 | 8.10320170531686E+1 | 0.000000000000000E+0 | | | |
| Node | 990 | 1.03560214812550E+1 | 8.11972755069304E+1 | 0.000000000000000E+0 | | | |
| Node | 991 | 1.58115339259233E+1 | 8.41285630557146E+1 | 0.000000000000000E+0 | | | |
| Node | 992 | 1.59066650729038E+1 | 8.38351670573528E+1 | 0.000000000000000E+0 | | | |
| Node | 993 | 1.61558587733421E+1 | 8.36534154503656E+1 | 0.000000000000000E+0 | | | |
| Node | 994 | 1.64648748369694E+1 | 8.36526570093151E+1 | 0.000000000000000E+0 | | | |
| Node | 995 | 1.67145949133986E+1 | 8.38326883518694E+1 | 0.000000000000000E+0 | | | |
| Node | 996 | 1.68115279020070E+1 | 8.41261086963106E+1 | 0.000000000000000E+0 | | | |
| Node | 997 | 1.67174801859216E+1 | 8.44204665226235E+1 | 0.000000000000000E+0 | | | |
| Node | 998 | 1.64707033899496E+1 | 8.46025515384033E+1 | 0.000000000000000E+0 | | | |



RADDOPPIO LINEA CODOGNO – CREMONA – MANTOVA
TRATTA PIADENA - MANTOVA

Relazione di calcolo spalle

COMMESSE LOTTO CODIFICA DOCUMENTO REV. FOGLIO
NM25 03 D 26 CL IV 37 04 001 A 170 di 439

| | | | | |
|------|------|---------------------|---------------------|-----------------------|
| Node | 999 | 1.61617012874252E+1 | 8.46055852569177E+1 | 0.0000000000000000E+0 |
| Node | 1000 | 1.59099301601830E+1 | 8.44264127079608E+1 | 0.0000000000000000E+0 |
| Node | 1001 | 1.61410818819223E+1 | 8.42861440715870E+1 | 0.0000000000000000E+0 |
| Node | 1002 | 1.60661806803082E+1 | 8.40988170590194E+1 | 0.0000000000000000E+0 |
| Node | 1003 | 1.60968302229268E+1 | 8.39487235125081E+1 | 0.0000000000000000E+0 |
| Node | 1004 | 1.61996961476438E+1 | 8.38281847471915E+1 | 0.0000000000000000E+0 |
| Node | 1005 | 1.63472454906070E+1 | 8.38815865382264E+1 | 0.0000000000000000E+0 |
| Node | 1006 | 1.65078736617011E+1 | 8.40130446377498E+1 | 0.0000000000000000E+0 |
| Node | 1007 | 1.66134648031855E+1 | 8.41404974132824E+1 | 0.0000000000000000E+0 |
| Node | 1008 | 1.65207021091800E+1 | 8.42830990845360E+1 | 0.0000000000000000E+0 |
| Node | 1009 | 1.63950870971281E+1 | 8.43757081273103E+1 | 0.0000000000000000E+0 |
| Node | 1010 | 1.62321950477045E+1 | 8.44220706859331E+1 | 0.0000000000000000E+0 |
| Node | 1011 | 1.62160757560724E+1 | 8.40320174568636E+1 | 0.0000000000000000E+0 |
| Node | 1012 | 1.63560216394937E+1 | 8.41972758334348E+1 | 0.0000000000000000E+0 |
| Node | 1013 | 1.28115339259233E+1 | 8.41285630451427E+1 | 0.0000000000000000E+0 |
| Node | 1014 | 1.29066650729038E+1 | 8.38351670467810E+1 | 0.0000000000000000E+0 |
| Node | 1015 | 1.31558587733421E+1 | 8.36534154397938E+1 | 0.0000000000000000E+0 |
| Node | 1016 | 1.34648748369694E+1 | 8.36526569987433E+1 | 0.0000000000000000E+0 |
| Node | 1017 | 1.37145949133986E+1 | 8.38326883412976E+1 | 0.0000000000000000E+0 |
| Node | 1018 | 1.38115279020069E+1 | 8.41261086857387E+1 | 0.0000000000000000E+0 |
| Node | 1019 | 1.37174801859215E+1 | 8.44204665120516E+1 | 0.0000000000000000E+0 |
| Node | 1020 | 1.34707033899496E+1 | 8.46025515278315E+1 | 0.0000000000000000E+0 |
| Node | 1021 | 1.31617012874252E+1 | 8.46055852463459E+1 | 0.0000000000000000E+0 |
| Node | 1022 | 1.29099301601830E+1 | 8.44264126973889E+1 | 0.0000000000000000E+0 |
| Node | 1023 | 1.31410818819223E+1 | 8.42861440610152E+1 | 0.0000000000000000E+0 |
| Node | 1024 | 1.30661806803082E+1 | 8.40988170484476E+1 | 0.0000000000000000E+0 |
| Node | 1025 | 1.30968302229268E+1 | 8.39487235019363E+1 | 0.0000000000000000E+0 |

| Relazione di calcolo spalle | | COMMESSE NM25 | LOTTO 03 D 26 | CODIFICA CL | DOCUMENTO IV 37 04 001 | REV. A | FOGLIO 171 di 439 |
|-----------------------------|--|------------------|------------------|----------------|---------------------------|-----------|----------------------|
|-----------------------------|--|------------------|------------------|----------------|---------------------------|-----------|----------------------|

| | | | | | | | |
|------|------|---------------------|---------------------|-----------------------|--|--|--|
| Node | 1026 | 1.31996961476438E+1 | 8.38281847366196E+1 | 0.0000000000000000E+0 | | | |
| Node | 1027 | 1.33472454906070E+1 | 8.38815865276546E+1 | 0.0000000000000000E+0 | | | |
| Node | 1028 | 1.35078736617010E+1 | 8.40130446271779E+1 | 0.0000000000000000E+0 | | | |
| Node | 1029 | 1.36134648031855E+1 | 8.41404974027105E+1 | 0.0000000000000000E+0 | | | |
| Node | 1030 | 1.35207021091800E+1 | 8.42830990739642E+1 | 0.0000000000000000E+0 | | | |
| Node | 1031 | 1.33950870971280E+1 | 8.43757081167385E+1 | 0.0000000000000000E+0 | | | |
| Node | 1032 | 1.32321950477044E+1 | 8.44220706753613E+1 | 0.0000000000000000E+0 | | | |
| Node | 1033 | 1.32160757560724E+1 | 8.40320174462917E+1 | 0.0000000000000000E+0 | | | |
| Node | 1034 | 1.33560216394936E+1 | 8.41972758228630E+1 | 0.0000000000000000E+0 | | | |
| Node | 1035 | 6.81153392592334E+0 | 8.41285630451427E+1 | 0.0000000000000000E+0 | | | |
| Node | 1036 | 6.90666507290386E+0 | 8.38351670467810E+1 | 0.0000000000000000E+0 | | | |
| Node | 1037 | 7.15585877334212E+0 | 8.36534154397938E+1 | 0.0000000000000000E+0 | | | |
| Node | 1038 | 7.46487483696940E+0 | 8.36526569987433E+1 | 0.0000000000000000E+0 | | | |
| Node | 1039 | 7.71459491339860E+0 | 8.38326883412976E+1 | 0.0000000000000000E+0 | | | |
| Node | 1040 | 7.81152790200696E+0 | 8.41261086857387E+1 | 0.0000000000000000E+0 | | | |
| Node | 1041 | 7.71748018592159E+0 | 8.44204665120516E+1 | 0.0000000000000000E+0 | | | |
| Node | 1042 | 7.47070338994961E+0 | 8.46025515278315E+1 | 0.0000000000000000E+0 | | | |
| Node | 1043 | 7.16170128742521E+0 | 8.46055852463459E+1 | 0.0000000000000000E+0 | | | |
| Node | 1044 | 6.90993016018301E+0 | 8.44264126973889E+1 | 0.0000000000000000E+0 | | | |
| Node | 1045 | 7.14108188192233E+0 | 8.42861440610152E+1 | 0.0000000000000000E+0 | | | |
| Node | 1046 | 7.06618068030821E+0 | 8.40988170484476E+1 | 0.0000000000000000E+0 | | | |
| Node | 1047 | 7.09683022292681E+0 | 8.39487235019363E+1 | 0.0000000000000000E+0 | | | |
| Node | 1048 | 7.19969614764384E+0 | 8.38281847366196E+1 | 0.0000000000000000E+0 | | | |
| Node | 1049 | 7.34724549060703E+0 | 8.38815865276546E+1 | 0.0000000000000000E+0 | | | |
| Node | 1050 | 7.50787366170107E+0 | 8.40130446271779E+1 | 0.0000000000000000E+0 | | | |
| Node | 1051 | 7.61346480318551E+0 | 8.41404974027105E+1 | 0.0000000000000000E+0 | | | |
| Node | 1052 | 7.52070210918001E+0 | 8.42830990739642E+1 | 0.0000000000000000E+0 | | | |

| Relazione di calcolo spalle | | COMMESMA NM25 | LOTTO 03 D 26 | CODIFICA CL | DOCUMENTO IV 37 04 001 | REV. A | FOGLIO 172 di 439 |
|-----------------------------|--|------------------|------------------|----------------|---------------------------|-----------|----------------------|
|-----------------------------|--|------------------|------------------|----------------|---------------------------|-----------|----------------------|

| | | | | | | |
|------|------|---------------------|---------------------|-----------------------|--|--|
| Node | 1053 | 7.39508709712806E+0 | 8.43757081167385E+1 | 0.0000000000000000E+0 | | |
| Node | 1054 | 7.23219504770445E+0 | 8.44220706753613E+1 | 0.0000000000000000E+0 | | |
| Node | 1055 | 7.21607575607242E+0 | 8.40320174462917E+1 | 0.0000000000000000E+0 | | |
| Node | 1056 | 7.35602163949365E+0 | 8.41972758228630E+1 | 0.0000000000000000E+0 | | |
| Node | 1057 | 9.81153392592334E+0 | 8.41285630486667E+1 | 0.0000000000000000E+0 | | |
| Node | 1058 | 9.90666507290386E+0 | 8.38351670503049E+1 | 0.0000000000000000E+0 | | |
| Node | 1059 | 1.01558587733421E+1 | 8.36534154433177E+1 | 0.0000000000000000E+0 | | |
| Node | 1060 | 1.04648748369694E+1 | 8.36526570022672E+1 | 0.0000000000000000E+0 | | |
| Node | 1061 | 1.07145949133986E+1 | 8.38326883448215E+1 | 0.0000000000000000E+0 | | |
| Node | 1062 | 1.08115279020069E+1 | 8.41261086892627E+1 | 0.0000000000000000E+0 | | |
| Node | 1063 | 1.07174801859215E+1 | 8.44204665155756E+1 | 0.0000000000000000E+0 | | |
| Node | 1064 | 1.04707033899496E+1 | 8.46025515313554E+1 | 0.0000000000000000E+0 | | |
| Node | 1065 | 1.01617012874252E+1 | 8.46055852498698E+1 | 0.0000000000000000E+0 | | |
| Node | 1066 | 9.90993016018301E+0 | 8.44264127009129E+1 | 0.0000000000000000E+0 | | |
| Node | 1067 | 1.01410818819223E+1 | 8.42861440645391E+1 | 0.0000000000000000E+0 | | |
| Node | 1068 | 1.00661806803082E+1 | 8.40988170519715E+1 | 0.0000000000000000E+0 | | |
| Node | 1069 | 1.00968302229268E+1 | 8.39487235054602E+1 | 0.0000000000000000E+0 | | |
| Node | 1070 | 1.01996961476438E+1 | 8.38281847401436E+1 | 0.0000000000000000E+0 | | |
| Node | 1071 | 1.03472454906070E+1 | 8.38815865311785E+1 | 0.0000000000000000E+0 | | |
| Node | 1072 | 1.05078736617010E+1 | 8.40130446307019E+1 | 0.0000000000000000E+0 | | |
| Node | 1073 | 1.06134648031855E+1 | 8.41404974062345E+1 | 0.0000000000000000E+0 | | |
| Node | 1074 | 1.05207021091800E+1 | 8.42830990774881E+1 | 0.0000000000000000E+0 | | |
| Node | 1075 | 1.03950870971280E+1 | 8.43757081202624E+1 | 0.0000000000000000E+0 | | |
| Node | 1076 | 1.02321950477044E+1 | 8.44220706788852E+1 | 0.0000000000000000E+0 | | |
| Node | 1077 | 1.02160757560724E+1 | 8.40320174498157E+1 | 0.0000000000000000E+0 | | |
| Node | 1078 | 1.03560216394936E+1 | 8.41972758263869E+1 | 0.0000000000000000E+0 | | |
| Node | 1079 | 1.58115339223993E+1 | 8.71285630662864E+1 | 0.0000000000000000E+0 | | |

Relazione di calcolo spalle

| | | | | | |
|----------|---------|----------|--------------|------|------------|
| COMMESSE | LOTTO | CODIFICA | DOCUMENTO | REV. | FOGLIO |
| NM25 | 03 D 26 | CL | IV 37 04 001 | A | 173 di 439 |

| | | | | |
|------|------|---------------------|---------------------|-----------------------|
| Node | 1080 | 1.59066650693799E+1 | 8.68351670679246E+1 | 0.0000000000000000E+0 |
| Node | 1081 | 1.61558587698182E+1 | 8.66534154609375E+1 | 0.0000000000000000E+0 |
| Node | 1082 | 1.64648748334455E+1 | 8.66526570198869E+1 | 0.0000000000000000E+0 |
| Node | 1083 | 1.67145949098747E+1 | 8.68326883624412E+1 | 0.0000000000000000E+0 |
| Node | 1084 | 1.68115278984830E+1 | 8.71261087068824E+1 | 0.0000000000000000E+0 |
| Node | 1085 | 1.67174801823976E+1 | 8.74204665331953E+1 | 0.0000000000000000E+0 |
| Node | 1086 | 1.64707033864257E+1 | 8.76025515489752E+1 | 0.0000000000000000E+0 |
| Node | 1087 | 1.61617012839013E+1 | 8.76055852674895E+1 | 0.0000000000000000E+0 |
| Node | 1088 | 1.59099301566590E+1 | 8.74264127185326E+1 | 0.0000000000000000E+0 |
| Node | 1089 | 1.61410818783984E+1 | 8.72861440821589E+1 | 0.0000000000000000E+0 |
| Node | 1090 | 1.60661806767843E+1 | 8.70988170695912E+1 | 0.0000000000000000E+0 |
| Node | 1091 | 1.60968302194029E+1 | 8.69487235230800E+1 | 0.0000000000000000E+0 |
| Node | 1092 | 1.61996961441199E+1 | 8.68281847577633E+1 | 0.0000000000000000E+0 |
| Node | 1093 | 1.63472454870831E+1 | 8.68815865487983E+1 | 0.0000000000000000E+0 |
| Node | 1094 | 1.65078736581771E+1 | 8.70130446483216E+1 | 0.0000000000000000E+0 |
| Node | 1095 | 1.66134647996616E+1 | 8.71404974238542E+1 | 0.0000000000000000E+0 |
| Node | 1096 | 1.65207021056561E+1 | 8.72830990951079E+1 | 0.0000000000000000E+0 |
| Node | 1097 | 1.63950870936041E+1 | 8.73757081378821E+1 | 0.0000000000000000E+0 |
| Node | 1098 | 1.62321950441805E+1 | 8.74220706965049E+1 | 0.0000000000000000E+0 |
| Node | 1099 | 1.62160757525485E+1 | 8.70320174674354E+1 | 0.0000000000000000E+0 |
| Node | 1100 | 1.63560216359697E+1 | 8.71972758440066E+1 | 0.0000000000000000E+0 |
| Node | 1101 | 1.28115339223993E+1 | 8.71285630557146E+1 | 0.0000000000000000E+0 |
| Node | 1102 | 1.29066650693799E+1 | 8.68351670573528E+1 | 0.0000000000000000E+0 |
| Node | 1103 | 1.31558587698181E+1 | 8.66534154503656E+1 | 0.0000000000000000E+0 |
| Node | 1104 | 1.34648748334454E+1 | 8.66526570093151E+1 | 0.0000000000000000E+0 |
| Node | 1105 | 1.37145949098746E+1 | 8.68326883518694E+1 | 0.0000000000000000E+0 |
| Node | 1106 | 1.38115278984830E+1 | 8.71261086963106E+1 | 0.0000000000000000E+0 |

Relazione di calcolo spalle

| | | | | | |
|----------|---------|----------|--------------|------|------------|
| COMMESSE | LOTTO | CODIFICA | DOCUMENTO | REV. | FOGLIO |
| NM25 | 03 D 26 | CL | IV 37 04 001 | A | 174 di 439 |

| | | | | |
|------|------|---------------------|---------------------|-----------------------|
| Node | 1107 | 1.37174801823976E+1 | 8.74204665226235E+1 | 0.0000000000000000E+0 |
| Node | 1108 | 1.34707033864256E+1 | 8.76025515384033E+1 | 0.0000000000000000E+0 |
| Node | 1109 | 1.31617012839012E+1 | 8.76055852569177E+1 | 0.0000000000000000E+0 |
| Node | 1110 | 1.29099301566590E+1 | 8.74264127079608E+1 | 0.0000000000000000E+0 |
| Node | 1111 | 1.31410818783983E+1 | 8.72861440715870E+1 | 0.0000000000000000E+0 |
| Node | 1112 | 1.30661806767842E+1 | 8.70988170590194E+1 | 0.0000000000000000E+0 |
| Node | 1113 | 1.30968302194028E+1 | 8.69487235125081E+1 | 0.0000000000000000E+0 |
| Node | 1114 | 1.31996961441199E+1 | 8.68281847471915E+1 | 0.0000000000000000E+0 |
| Node | 1115 | 1.33472454870830E+1 | 8.68815865382264E+1 | 0.0000000000000000E+0 |
| Node | 1116 | 1.35078736581771E+1 | 8.70130446377498E+1 | 0.0000000000000000E+0 |
| Node | 1117 | 1.36134647996615E+1 | 8.71404974132824E+1 | 0.0000000000000000E+0 |
| Node | 1118 | 1.35207021056560E+1 | 8.72830990845360E+1 | 0.0000000000000000E+0 |
| Node | 1119 | 1.33950870936041E+1 | 8.73757081273103E+1 | 0.0000000000000000E+0 |
| Node | 1120 | 1.32321950441805E+1 | 8.74220706859331E+1 | 0.0000000000000000E+0 |
| Node | 1121 | 1.32160757525484E+1 | 8.70320174568636E+1 | 0.0000000000000000E+0 |
| Node | 1122 | 1.33560216359697E+1 | 8.71972758334348E+1 | 0.0000000000000000E+0 |
| Node | 1123 | 6.81153392239939E+0 | 8.71285630557146E+1 | 0.0000000000000000E+0 |
| Node | 1124 | 6.90666506937992E+0 | 8.68351670573528E+1 | 0.0000000000000000E+0 |
| Node | 1125 | 7.15585876981818E+0 | 8.66534154503656E+1 | 0.0000000000000000E+0 |
| Node | 1126 | 7.46487483344546E+0 | 8.66526570093151E+1 | 0.0000000000000000E+0 |
| Node | 1127 | 7.71459490987466E+0 | 8.68326883518694E+1 | 0.0000000000000000E+0 |
| Node | 1128 | 7.81152789848302E+0 | 8.71261086963106E+1 | 0.0000000000000000E+0 |
| Node | 1129 | 7.71748018239765E+0 | 8.74204665226235E+1 | 0.0000000000000000E+0 |
| Node | 1130 | 7.47070338642567E+0 | 8.76025515384033E+1 | 0.0000000000000000E+0 |
| Node | 1131 | 7.16170128390127E+0 | 8.76055852569177E+1 | 0.0000000000000000E+0 |
| Node | 1132 | 6.90993015665907E+0 | 8.74264127079608E+1 | 0.0000000000000000E+0 |
| Node | 1133 | 7.14108187839839E+0 | 8.72861440715870E+1 | 0.0000000000000000E+0 |

| Relazione di calcolo spalle | | COMMESSE NM25 | LOTTO 03 D 26 | CODIFICA CL | DOCUMENTO IV 37 04 001 | REV. A | FOGLIO 175 di 439 |
|-----------------------------|--|------------------|------------------|----------------|---------------------------|-----------|----------------------|
|-----------------------------|--|------------------|------------------|----------------|---------------------------|-----------|----------------------|

| | | | | | | |
|------|------|---------------------|---------------------|-----------------------|--|--|
| Node | 1134 | 7.06618067678427E+0 | 8.70988170590194E+1 | 0.0000000000000000E+0 | | |
| Node | 1135 | 7.09683021940287E+0 | 8.69487235125081E+1 | 0.0000000000000000E+0 | | |
| Node | 1136 | 7.19969614411990E+0 | 8.68281847471915E+1 | 0.0000000000000000E+0 | | |
| Node | 1137 | 7.34724548708309E+0 | 8.68815865382264E+1 | 0.0000000000000000E+0 | | |
| Node | 1138 | 7.50787365817713E+0 | 8.70130446377498E+1 | 0.0000000000000000E+0 | | |
| Node | 1139 | 7.61346479966157E+0 | 8.71404974132824E+1 | 0.0000000000000000E+0 | | |
| Node | 1140 | 7.52070210565607E+0 | 8.72830990845360E+1 | 0.0000000000000000E+0 | | |
| Node | 1141 | 7.39508709360412E+0 | 8.73757081273103E+1 | 0.0000000000000000E+0 | | |
| Node | 1142 | 7.23219504418051E+0 | 8.74220706859331E+1 | 0.0000000000000000E+0 | | |
| Node | 1143 | 7.21607575254848E+0 | 8.70320174568636E+1 | 0.0000000000000000E+0 | | |
| Node | 1144 | 7.35602163596971E+0 | 8.71972758334348E+1 | 0.0000000000000000E+0 | | |
| Node | 1145 | 9.81153392239939E+0 | 8.71285630592385E+1 | 0.0000000000000000E+0 | | |
| Node | 1146 | 9.90666506937992E+0 | 8.68351670608768E+1 | 0.0000000000000000E+0 | | |
| Node | 1147 | 1.01558587698181E+1 | 8.66534154538896E+1 | 0.0000000000000000E+0 | | |
| Node | 1148 | 1.04648748334454E+1 | 8.66526570128391E+1 | 0.0000000000000000E+0 | | |
| Node | 1149 | 1.07145949098746E+1 | 8.68326883553933E+1 | 0.0000000000000000E+0 | | |
| Node | 1150 | 1.08115278984830E+1 | 8.71261086998345E+1 | 0.0000000000000000E+0 | | |
| Node | 1151 | 1.07174801823976E+1 | 8.74204665261474E+1 | 0.0000000000000000E+0 | | |
| Node | 1152 | 1.04707033864256E+1 | 8.76025515419273E+1 | 0.0000000000000000E+0 | | |
| Node | 1153 | 1.01617012839012E+1 | 8.76055852604417E+1 | 0.0000000000000000E+0 | | |
| Node | 1154 | 9.90993015665907E+0 | 8.74264127114847E+1 | 0.0000000000000000E+0 | | |
| Node | 1155 | 1.01410818783983E+1 | 8.72861440751110E+1 | 0.0000000000000000E+0 | | |
| Node | 1156 | 1.00661806767842E+1 | 8.70988170625434E+1 | 0.0000000000000000E+0 | | |
| Node | 1157 | 1.00968302194028E+1 | 8.69487235160321E+1 | 0.0000000000000000E+0 | | |
| Node | 1158 | 1.01996961441199E+1 | 8.68281847507154E+1 | 0.0000000000000000E+0 | | |
| Node | 1159 | 1.03472454870830E+1 | 8.68815865417504E+1 | 0.0000000000000000E+0 | | |
| Node | 1160 | 1.05078736581771E+1 | 8.70130446412737E+1 | 0.0000000000000000E+0 | | |



RADDOPPIO LINEA CODOGNO – CREMONA – MANTOVA
TRATTA PIADENA - MANTOVA

Relazione di calcolo spalle

| COMMESSE | LOTTO | CODIFICA | DOCUMENTO | REV. | FOGLIO |
|----------|---------|----------|--------------|------|------------|
| NM25 | 03 D 26 | CL | IV 37 04 001 | A | 176 di 439 |

| | | | | | |
|------|------|---------------------|---------------------|-----------------------|--|
| Node | 1161 | 1.06134647996615E+1 | 8.71404974168063E+1 | 0.0000000000000000E+0 | |
| Node | 1162 | 1.05207021056560E+1 | 8.72830990880600E+1 | 0.0000000000000000E+0 | |
| Node | 1163 | 1.03950870936041E+1 | 8.73757081308343E+1 | 0.0000000000000000E+0 | |
| Node | 1164 | 1.02321950441805E+1 | 8.74220706894571E+1 | 0.0000000000000000E+0 | |
| Node | 1165 | 1.02160757525484E+1 | 8.70320174603875E+1 | 0.0000000000000000E+0 | |
| Node | 1166 | 1.03560216359697E+1 | 8.71972758369588E+1 | 0.0000000000000000E+0 | |
| Node | 1167 | 1.73115339223994E+1 | 8.81285630566459E+1 | 0.0000000000000000E+0 | |
| Node | 1168 | 1.73115339230280E+1 | 8.75785630586492E+1 | 0.0000000000000000E+0 | |
| Node | 1169 | 1.73115339231538E+1 | 8.70285630606526E+1 | 0.0000000000000000E+0 | |
| Node | 1170 | 1.73115339232795E+1 | 8.64785630626560E+1 | 0.0000000000000000E+0 | |
| Node | 1171 | 1.73115339236567E+1 | 8.59285630646593E+1 | 0.0000000000000000E+0 | |
| Node | 1172 | 1.68532005895461E+1 | 8.59285630636771E+1 | 0.0000000000000000E+0 | |
| Node | 1173 | 1.63948672554354E+1 | 8.59285630632073E+1 | 0.0000000000000000E+0 | |
| Node | 1174 | 1.59365339213248E+1 | 8.59285630627375E+1 | 0.0000000000000000E+0 | |
| Node | 1175 | 1.54782005872142E+1 | 8.59285630622678E+1 | 0.0000000000000000E+0 | |
| Node | 1176 | 1.50198672531036E+1 | 8.59285630617980E+1 | 0.0000000000000000E+0 | |
| Node | 1177 | 5.81153391883709E+0 | 8.64785630626560E+1 | 0.0000000000000000E+0 | |
| Node | 1178 | 5.81153391883709E+0 | 8.70285630606526E+1 | 0.0000000000000000E+0 | |
| Node | 1179 | 5.81153391883709E+0 | 8.75785630586492E+1 | 0.0000000000000000E+0 | |
| Node | 1180 | 5.81153391883709E+0 | 8.81285630566459E+1 | 0.0000000000000000E+0 | |
| Node | 1181 | 6.31153391899197E+0 | 8.81285630566459E+1 | 0.0000000000000000E+0 | |
| Node | 1182 | 6.81153391914686E+0 | 8.81285630566459E+1 | 0.0000000000000000E+0 | |
| Node | 1183 | 7.31153391930174E+0 | 8.81285630566459E+1 | 0.0000000000000000E+0 | |
| Node | 1184 | 7.81153391945662E+0 | 8.81285630566459E+1 | 0.0000000000000000E+0 | |
| Node | 1185 | 8.31153391961151E+0 | 8.81285630566459E+1 | 0.0000000000000000E+0 | |
| Node | 1186 | 8.81153391976639E+0 | 8.81285630566459E+1 | 0.0000000000000000E+0 | |
| Node | 1187 | 9.31153391992127E+0 | 8.81285630566459E+1 | 0.0000000000000000E+0 | |

Relazione di calcolo spalle

| | | | | | |
|----------|---------|----------|--------------|------|------------|
| COMMESSE | LOTTO | CODIFICA | DOCUMENTO | REV. | FOGLIO |
| NM25 | 03 D 26 | CL | IV 37 04 001 | A | 177 di 439 |

| | | | | |
|------|------|---------------------|---------------------|-----------------------|
| Node | 1188 | 9.81153392007616E+0 | 8.81285630566459E+1 | 0.0000000000000000E+0 |
| Node | 1189 | 1.03115339202310E+1 | 8.81285630566459E+1 | 0.0000000000000000E+0 |
| Node | 1190 | 1.08115339203859E+1 | 8.81285630566459E+1 | 0.0000000000000000E+0 |
| Node | 1191 | 1.13115339205408E+1 | 8.81285630566459E+1 | 0.0000000000000000E+0 |
| Node | 1192 | 1.18115339206956E+1 | 8.81285630566459E+1 | 0.0000000000000000E+0 |
| Node | 1193 | 1.23115339208505E+1 | 8.81285630566459E+1 | 0.0000000000000000E+0 |
| Node | 1194 | 1.28115339210054E+1 | 8.81285630566459E+1 | 0.0000000000000000E+0 |
| Node | 1195 | 1.33115339211603E+1 | 8.81285630566459E+1 | 0.0000000000000000E+0 |
| Node | 1196 | 1.38115339213152E+1 | 8.81285630566459E+1 | 0.0000000000000000E+0 |
| Node | 1197 | 1.43115339214701E+1 | 8.81285630566459E+1 | 0.0000000000000000E+0 |
| Node | 1198 | 1.48115339216249E+1 | 8.81285630566459E+1 | 0.0000000000000000E+0 |
| Node | 1199 | 1.53115339217798E+1 | 8.81285630566459E+1 | 0.0000000000000000E+0 |
| Node | 1200 | 1.58115339219347E+1 | 8.81285630566459E+1 | 0.0000000000000000E+0 |
| Node | 1201 | 1.63115339220896E+1 | 8.81285630566459E+1 | 0.0000000000000000E+0 |
| Node | 1202 | 1.68115339222445E+1 | 8.81285630566459E+1 | 0.0000000000000000E+0 |
| Node | 1203 | 6.98661760152406E+0 | 8.78670741567818E+1 | 0.0000000000000000E+0 |
| Node | 1204 | 7.39111865286371E+0 | 8.78655572975246E+1 | 0.0000000000000000E+0 |
| Node | 1205 | 7.76450705092713E+0 | 8.77745147896347E+1 | 0.0000000000000000E+0 |
| Node | 1206 | 1.00554633843834E+1 | 8.78438802685430E+1 | 0.0000000000000000E+0 |
| Node | 1207 | 1.03911186533283E+1 | 8.78655572992866E+1 | 0.0000000000000000E+0 |
| Node | 1208 | 1.07645070513917E+1 | 8.77745147913966E+1 | 0.0000000000000000E+0 |
| Node | 1209 | 1.29866176024533E+1 | 8.78670741567818E+1 | 0.0000000000000000E+0 |
| Node | 1210 | 1.33911186537930E+1 | 8.78655572975246E+1 | 0.0000000000000000E+0 |
| Node | 1211 | 1.37645070518564E+1 | 8.77745147896347E+1 | 0.0000000000000000E+0 |
| Node | 1212 | 1.59866176029180E+1 | 8.78670741620677E+1 | 0.0000000000000000E+0 |
| Node | 1213 | 1.65339514734206E+1 | 8.78776611266181E+1 | 0.0000000000000000E+0 |
| Node | 1214 | 1.68714708574458E+1 | 8.76879648870382E+1 | 0.0000000000000000E+0 |

Relazione di calcolo spalle

| | | | | | |
|----------|---------|----------|--------------|------|------------|
| COMMESSE | LOTTO | CODIFICA | DOCUMENTO | REV. | FOGLIO |
| NM25 | 03 D 26 | CL | IV 37 04 001 | A | 178 di 439 |

| | | | | |
|------|------|---------------------|---------------------|-----------------------|
| Node | 1215 | 1.70130644161370E+1 | 8.66556257125486E+1 | 0.0000000000000000E+0 |
| Node | 1216 | 1.70615309104412E+1 | 8.70773358837675E+1 | 0.0000000000000000E+0 |
| Node | 1217 | 1.69870282330312E+1 | 8.74442224741737E+1 | 0.0000000000000000E+0 |
| Node | 1218 | 1.56107320392194E+1 | 8.77774878875893E+1 | 0.0000000000000000E+0 |
| Node | 1219 | 1.54971533374941E+1 | 8.72100080398649E+1 | 0.0000000000000000E+0 |
| Node | 1220 | 1.68882043779224E+1 | 8.62906100422731E+1 | 0.0000000000000000E+0 |
| Node | 1221 | 1.67564640268353E+1 | 8.61801033150392E+1 | 0.0000000000000000E+0 |
| Node | 1222 | 1.65659872908667E+1 | 8.62445430179895E+1 | 0.0000000000000000E+0 |
| Node | 1223 | 1.60461963451000E+1 | 8.62909892627984E+1 | 0.0000000000000000E+0 |
| Node | 1224 | 1.53277411277841E+1 | 8.65371633398995E+1 | 0.0000000000000000E+0 |
| Node | 1225 | 1.49538977400487E+1 | 8.62566002671451E+1 | 0.0000000000000000E+0 |
| Node | 1226 | 1.45867444997276E+1 | 8.62586158551087E+1 | 0.0000000000000000E+0 |
| Node | 1227 | 1.42148992713095E+1 | 8.62699386824585E+1 | 0.0000000000000000E+0 |
| Node | 1228 | 1.31295296779878E+1 | 8.62909892575125E+1 | 0.0000000000000000E+0 |
| Node | 1229 | 1.26393065592020E+1 | 8.65584194204658E+1 | 0.0000000000000000E+0 |
| Node | 1230 | 1.17006217851318E+1 | 8.63067575133646E+1 | 0.0000000000000000E+0 |
| Node | 1231 | 1.13033186629590E+1 | 8.62860628902923E+1 | 0.0000000000000000E+0 |
| Node | 1232 | 1.01711963445237E+1 | 8.62909892592745E+1 | 0.0000000000000000E+0 |
| Node | 1233 | 9.65374579786866E+0 | 8.65697362313636E+1 | 0.0000000000000000E+0 |
| Node | 1234 | 9.17663818350601E+0 | 8.64454328549640E+1 | 0.0000000000000000E+0 |
| Node | 1235 | 8.72089483454514E+0 | 8.64244785215962E+1 | 0.0000000000000000E+0 |
| Node | 1236 | 8.27771889683812E+0 | 8.64244423097050E+1 | 0.0000000000000000E+0 |
| Node | 1237 | 7.21286301105968E+0 | 8.62909892575125E+1 | 0.0000000000000000E+0 |
| Node | 1238 | 1.39159959958076E+1 | 8.62818303610841E+1 | 0.0000000000000000E+0 |
| Node | 1239 | 1.35270932653788E+1 | 8.62906100369872E+1 | 0.0000000000000000E+0 |
| Node | 1240 | 1.09767197254447E+1 | 8.62867994668781E+1 | 0.0000000000000000E+0 |
| Node | 1241 | 1.05687599319147E+1 | 8.62906100387492E+1 | 0.0000000000000000E+0 |

| Relazione di calcolo spalle | | COMMESSE NM25 | LOTTO 03 D 26 | CODIFICA CL | DOCUMENTO IV 37 04 001 | REV. A | FOGLIO 179 di 439 |
|-----------------------------|--|------------------|------------------|----------------|---------------------------|-----------|----------------------|
|-----------------------------|--|------------------|------------------|----------------|---------------------------|-----------|----------------------|

| | | | | | | |
|------|------|---------------------|---------------------|-----------------------|--|--|
| Node | 1242 | 7.97740899748678E+0 | 8.63353356579845E+1 | 0.0000000000000000E+0 | | |
| Node | 1243 | 6.56983381334377E+0 | 8.65214844782593E+1 | 0.0000000000000000E+0 | | |
| Node | 1244 | 1.62990133519124E+1 | 8.63052807998155E+1 | 0.0000000000000000E+0 | | |
| Node | 1245 | 1.56924328278779E+1 | 8.63818650662920E+1 | 0.0000000000000000E+0 | | |
| Node | 1246 | 1.52529219958700E+1 | 8.62411220159898E+1 | 0.0000000000000000E+0 | | |
| Node | 1247 | 1.54146490515888E+1 | 8.69004143789747E+1 | 0.0000000000000000E+0 | | |
| Node | 1248 | 6.26925522977105E+0 | 8.75534961542061E+1 | 0.0000000000000000E+0 | | |
| Node | 1249 | 6.61073203782552E+0 | 8.77774878823033E+1 | 0.0000000000000000E+0 | | |
| Node | 1250 | 6.31153392061824E+0 | 8.70785630581836E+1 | 0.0000000000000000E+0 | | |
| Node | 1251 | 7.61042659845067E+0 | 8.62906100369872E+1 | 0.0000000000000000E+0 | | |
| Node | 1252 | 7.89860110689956E+0 | 8.66532694520272E+1 | 0.0000000000000000E+0 | | |
| Node | 1253 | 8.17082965421896E+0 | 8.70099243704092E+1 | 0.0000000000000000E+0 | | |
| Node | 1254 | 8.24458342036944E+0 | 8.73736779662204E+1 | 0.0000000000000000E+0 | | |
| Node | 1255 | 8.29148811034712E+0 | 8.77549944442209E+1 | 0.0000000000000000E+0 | | |
| Node | 1256 | 6.59444568037042E+0 | 8.74622998445513E+1 | 0.0000000000000000E+0 | | |
| Node | 1257 | 9.67875887149809E+0 | 8.76520386276854E+1 | 0.0000000000000000E+0 | | |
| Node | 1258 | 9.36711044471419E+0 | 8.71403095458899E+1 | 0.0000000000000000E+0 | | |
| Node | 1259 | 1.09536331261472E+1 | 8.66472730085518E+1 | 0.0000000000000000E+0 | | |
| Node | 1260 | 1.11109423855221E+1 | 8.70834449080515E+1 | 0.0000000000000000E+0 | | |
| Node | 1261 | 1.11657295932089E+1 | 8.74030867764265E+1 | 0.0000000000000000E+0 | | |
| Node | 1262 | 1.12472109802179E+1 | 8.77612275705770E+1 | 0.0000000000000000E+0 | | |
| Node | 1263 | 8.78359332384959E+0 | 8.77287942945816E+1 | 0.0000000000000000E+0 | | |
| Node | 1264 | 9.23333598979214E+0 | 8.77224947732162E+1 | 0.0000000000000000E+0 | | |
| Node | 1265 | 9.50409617606038E+0 | 8.73251985267993E+1 | 0.0000000000000000E+0 | | |
| Node | 1266 | 9.48709212530252E+0 | 8.69239703957465E+1 | 0.0000000000000000E+0 | | |
| Node | 1267 | 1.25359281225655E+1 | 8.74994280029349E+1 | 0.0000000000000000E+0 | | |
| Node | 1268 | 1.22295212226754E+1 | 8.68483746655469E+1 | 0.0000000000000000E+0 | | |

| Relazione di calcolo spalle | | COMMESSE NM25 | LOTTO 03 D 26 | CODIFICA CL | DOCUMENTO IV 37 04 001 | REV. A | FOGLIO 180 di 439 |
|-----------------------------|--|------------------|------------------|----------------|---------------------------|-----------|----------------------|
|-----------------------------|--|------------------|------------------|----------------|---------------------------|-----------|----------------------|

| | | | | | | | |
|------|------|---------------------|---------------------|-----------------------|--|--|--|
| Node | 1269 | 1.39302479330954E+1 | 8.66473745305314E+1 | 0.0000000000000000E+0 | | | |
| Node | 1270 | 1.40865225111065E+1 | 8.70730425547375E+1 | 0.0000000000000000E+0 | | | |
| Node | 1271 | 1.41417014837890E+1 | 8.73680746563581E+1 | 0.0000000000000000E+0 | | | |
| Node | 1272 | 1.42333075633321E+1 | 8.77332881565753E+1 | 0.0000000000000000E+0 | | | |
| Node | 1273 | 1.46688576425619E+1 | 8.76523536793741E+1 | 0.0000000000000000E+0 | | | |
| Node | 1274 | 1.51010331387236E+1 | 8.75023297402928E+1 | 0.0000000000000000E+0 | | | |
| Node | 1275 | 1.27040360580997E+1 | 8.77273320017717E+1 | 0.0000000000000000E+0 | | | |
| Node | 1276 | 1.16953538842432E+1 | 8.77232742447668E+1 | 0.0000000000000000E+0 | | | |
| Node | 1277 | 1.21354906805921E+1 | 8.76564302974129E+1 | 0.0000000000000000E+0 | | | |
| Node | 1278 | 1.23942555949113E+1 | 8.71875370045941E+1 | 0.0000000000000000E+0 | | | |
| Node | 1279 | 1.25606680113359E+1 | 8.68442789667032E+1 | 0.0000000000000000E+0 | | | |
| Node | 1280 | 1.42868606200699E+1 | 8.66101230109783E+1 | 0.0000000000000000E+0 | | | |
| Node | 1281 | 1.43858912271734E+1 | 8.69440227824361E+1 | 0.0000000000000000E+0 | | | |
| Node | 1282 | 1.45302214570288E+1 | 8.72455587113292E+1 | 0.0000000000000000E+0 | | | |
| Node | 1283 | 1.49280955275042E+1 | 8.70186753997477E+1 | 0.0000000000000000E+0 | | | |
| Node | 1284 | 1.49560572122270E+1 | 8.65981001328227E+1 | 0.0000000000000000E+0 | | | |
| Node | 1285 | 1.46171607888882E+1 | 8.65788735697654E+1 | 0.0000000000000000E+0 | | | |
| Node | 1286 | 1.46420997289050E+1 | 8.68473268000363E+1 | 0.0000000000000000E+0 | | | |
| Node | 1287 | 9.16092146058415E+0 | 8.73817333713590E+1 | 0.0000000000000000E+0 | | | |
| Node | 1288 | 9.11014303277966E+0 | 8.71717597151239E+1 | 0.0000000000000000E+0 | | | |
| Node | 1289 | 9.11783226566913E+0 | 8.68592008689443E+1 | 0.0000000000000000E+0 | | | |
| Node | 1290 | 8.70155162498366E+0 | 8.69001382861361E+1 | 0.0000000000000000E+0 | | | |
| Node | 1291 | 8.79862770335660E+0 | 8.73096327172685E+1 | 0.0000000000000000E+0 | | | |
| Node | 1292 | 1.13763448974517E+1 | 8.66239409136724E+1 | 0.0000000000000000E+0 | | | |
| Node | 1293 | 1.14863934550993E+1 | 8.69932213256293E+1 | 0.0000000000000000E+0 | | | |
| Node | 1294 | 1.15869010399305E+1 | 8.73477758834578E+1 | 0.0000000000000000E+0 | | | |
| Node | 1295 | 1.19976871567137E+1 | 8.72766570967506E+1 | 0.0000000000000000E+0 | | | |

| Relazione di calcolo spalle | | COMMESSE NM25 | LOTTO 03 D 26 | CODIFICA CL | DOCUMENTO IV 37 04 001 | REV. A | FOGLIO 181 di 439 |
|-----------------------------|--|------------------|------------------|----------------|---------------------------|-----------|----------------------|
|-----------------------------|--|------------------|------------------|----------------|---------------------------|-----------|----------------------|

| | | | | | | | |
|------|------|---------------------|---------------------|-----------------------|--|--|--|
| Node | 1296 | 1.18700064318539E+1 | 8.69205434810032E+1 | 0.0000000000000000E+0 | | | |
| Node | 1297 | 1.17611463722743E+1 | 8.65712648886197E+1 | 0.0000000000000000E+0 | | | |
| Node | 1298 | 1.20931548526004E+1 | 8.64411392098870E+1 | 0.0000000000000000E+0 | | | |
| Node | 1299 | 5.81153391937627E+0 | 8.28428487710811E+1 | 0.0000000000000000E+0 | | | |
| Node | 1300 | 5.81153391932726E+0 | 8.33571344863178E+1 | 0.0000000000000000E+0 | | | |
| Node | 1301 | 5.81153391927824E+0 | 8.38714202015546E+1 | 0.0000000000000000E+0 | | | |
| Node | 1302 | 5.81153391922922E+0 | 8.43857059167913E+1 | 0.0000000000000000E+0 | | | |
| Node | 1303 | 5.81153391918020E+0 | 8.48999916320280E+1 | 0.0000000000000000E+0 | | | |
| Node | 1304 | 5.81153391913119E+0 | 8.54142773472648E+1 | 0.0000000000000000E+0 | | | |
| Node | 1305 | 7.55614096512171E+0 | 8.48758618774560E+1 | 0.0000000000000000E+0 | | | |
| Node | 1306 | 7.09395088313429E+0 | 8.48200215640630E+1 | 0.0000000000000000E+0 | | | |
| Node | 1307 | 6.68672701647449E+0 | 8.45820243400818E+1 | 0.0000000000000000E+0 | | | |
| Node | 1308 | 6.56538468508826E+0 | 8.40991040543574E+1 | 0.0000000000000000E+0 | | | |
| Node | 1309 | 6.68022247321716E+0 | 8.35912341635603E+1 | 0.0000000000000000E+0 | | | |
| Node | 1310 | 7.11433773527801E+0 | 8.33722038298033E+1 | 0.0000000000000000E+0 | | | |
| Node | 1311 | 7.61880490334983E+0 | 8.33759646641723E+1 | 0.0000000000000000E+0 | | | |
| Node | 1312 | 7.91206952037274E+0 | 8.37131252488679E+1 | 0.0000000000000000E+0 | | | |
| Node | 1313 | 8.07402597255027E+0 | 8.41296252210344E+1 | 0.0000000000000000E+0 | | | |
| Node | 1314 | 7.90556962364520E+0 | 8.45485369810776E+1 | 0.0000000000000000E+0 | | | |
| Node | 1315 | 1.05804859623772E+1 | 8.49398063999510E+1 | 0.0000000000000000E+0 | | | |
| Node | 1316 | 1.00580189803458E+1 | 8.49048669237906E+1 | 0.0000000000000000E+0 | | | |
| Node | 1317 | 9.58341826192044E+0 | 8.46713813318781E+1 | 0.0000000000000000E+0 | | | |
| Node | 1318 | 9.47968895450433E+0 | 8.41379361261440E+1 | 0.0000000000000000E+0 | | | |
| Node | 1319 | 9.56056924404091E+0 | 8.35976202902049E+1 | 0.0000000000000000E+0 | | | |
| Node | 1320 | 1.00456684409645E+1 | 8.33594810467412E+1 | 0.0000000000000000E+0 | | | |
| Node | 1321 | 1.05527903384975E+1 | 8.33363824651995E+1 | 0.0000000000000000E+0 | | | |
| Node | 1322 | 1.09315032611159E+1 | 8.36696368525404E+1 | 0.0000000000000000E+0 | | | |

| Relazione di calcolo spalle | | | COMMESMA NM25 | LOTTO 03 D 26 | CODIFICA CL | DOCUMENTO IV 37 04 001 | REV. A | FOGLIO 182 di 439 |
|-----------------------------|--|--|------------------|------------------|----------------|---------------------------|-----------|----------------------|
|-----------------------------|--|--|------------------|------------------|----------------|---------------------------|-----------|----------------------|

| | | | | |
|------|------|---------------------|---------------------|-----------------------|
| Node | 1323 | 1.11742668378454E+1 | 8.41261682843716E+1 | 0.0000000000000000E+0 |
| Node | 1324 | 1.09711326557752E+1 | 8.46003227715770E+1 | 0.0000000000000000E+0 |
| Node | 1325 | 1.35794731571880E+1 | 8.48521477377671E+1 | 0.0000000000000000E+0 |
| Node | 1326 | 1.29497675728798E+1 | 8.51362793205502E+1 | 0.0000000000000000E+0 |
| Node | 1327 | 1.24918648204009E+1 | 8.40692820224572E+1 | 0.0000000000000000E+0 |
| Node | 1328 | 1.27117178094475E+1 | 8.36276267085839E+1 | 0.0000000000000000E+0 |
| Node | 1329 | 1.30939523940523E+1 | 8.33870501991454E+1 | 0.0000000000000000E+0 |
| Node | 1330 | 1.35293568377424E+1 | 8.33726544944635E+1 | 0.0000000000000000E+0 |
| Node | 1331 | 1.41309739805499E+1 | 8.36303334793066E+1 | 0.0000000000000000E+0 |
| Node | 1332 | 1.39887812213920E+1 | 8.45814836204138E+1 | 0.0000000000000000E+0 |
| Node | 1333 | 6.24194504664799E+0 | 8.44732979096832E+1 | 0.0000000000000000E+0 |
| Node | 1334 | 6.25331569903699E+0 | 8.49517889683146E+1 | 0.0000000000000000E+0 |
| Node | 1335 | 6.28005722372581E+0 | 8.54302541384646E+1 | 0.0000000000000000E+0 |
| Node | 1336 | 6.75755877754507E+0 | 8.54267084609566E+1 | 0.0000000000000000E+0 |
| Node | 1337 | 7.28671039810479E+0 | 8.53444557451469E+1 | 0.0000000000000000E+0 |
| Node | 1338 | 8.29646911253995E+0 | 8.54475710010218E+1 | 0.0000000000000000E+0 |
| Node | 1339 | 9.86738793571968E+0 | 8.54063735989294E+1 | 0.0000000000000000E+0 |
| Node | 1340 | 1.03607576189713E+1 | 8.54636021087110E+1 | 0.0000000000000000E+0 |
| Node | 1341 | 1.11402767015875E+1 | 8.56848381765030E+1 | 0.0000000000000000E+0 |
| Node | 1342 | 1.14525817460858E+1 | 8.55457603994723E+1 | 0.0000000000000000E+0 |
| Node | 1343 | 1.19603748631975E+1 | 8.53255249275046E+1 | 0.0000000000000000E+0 |
| Node | 1344 | 1.31380689776762E+1 | 8.53654881131790E+1 | 0.0000000000000000E+0 |
| Node | 1345 | 1.36662351154115E+1 | 8.55197304348711E+1 | 0.0000000000000000E+0 |
| Node | 1346 | 1.40954199953732E+1 | 8.54727776354786E+1 | 0.0000000000000000E+0 |
| Node | 1347 | 1.40782666098735E+1 | 8.50291004826547E+1 | 0.0000000000000000E+0 |
| Node | 1348 | 1.41113607795609E+1 | 8.28467469010958E+1 | 0.0000000000000000E+0 |
| Node | 1349 | 1.41865309108142E+1 | 8.39987644438316E+1 | 0.0000000000000000E+0 |

Relazione di calcolo spalle

| | | | | | |
|----------|---------|----------|--------------|------|------------|
| COMMESSE | LOTTO | CODIFICA | DOCUMENTO | REV. | FOGLIO |
| NM25 | 03 D 26 | CL | IV 37 04 001 | A | 183 di 439 |

| | | | | |
|------|------|---------------------|---------------------|-----------------------|
| Node | 1350 | 1.36391756587266E+1 | 8.29458105550287E+1 | 0.0000000000000000E+0 |
| Node | 1351 | 1.30925110596798E+1 | 8.29362989133091E+1 | 0.0000000000000000E+0 |
| Node | 1352 | 1.25333879070630E+1 | 8.30844296745527E+1 | 0.0000000000000000E+0 |
| Node | 1353 | 1.20096902057645E+1 | 8.28801885677069E+1 | 0.0000000000000000E+0 |
| Node | 1354 | 1.15648962955822E+1 | 8.27589642402222E+1 | 0.0000000000000000E+0 |
| Node | 1355 | 1.11694021179047E+1 | 8.27023111471333E+1 | 0.0000000000000000E+0 |
| Node | 1356 | 1.07786592588944E+1 | 8.27410544454115E+1 | 0.0000000000000000E+0 |
| Node | 1357 | 9.35053151346559E+0 | 8.29300478063676E+1 | 0.0000000000000000E+0 |
| Node | 1358 | 8.76713174559876E+0 | 8.29355412444513E+1 | 0.0000000000000000E+0 |
| Node | 1359 | 1.38120726616861E+1 | 8.35201157618698E+1 | 0.0000000000000000E+0 |
| Node | 1360 | 1.39809786095154E+1 | 8.38600327397573E+1 | 0.0000000000000000E+0 |
| Node | 1361 | 7.20530439051387E+0 | 8.28706921140855E+1 | 0.0000000000000000E+0 |
| Node | 1362 | 8.22581127769502E+0 | 8.28776238809066E+1 | 0.0000000000000000E+0 |
| Node | 1363 | 8.16063015688824E+0 | 8.36739466474874E+1 | 0.0000000000000000E+0 |
| Node | 1364 | 8.51021502831730E+0 | 8.42922426492870E+1 | 0.0000000000000000E+0 |
| Node | 1365 | 8.15671968147194E+0 | 8.46563909641924E+1 | 0.0000000000000000E+0 |
| Node | 1366 | 7.82972898561188E+0 | 8.54355110793196E+1 | 0.0000000000000000E+0 |
| Node | 1367 | 7.02243173025844E+0 | 8.50485970672306E+1 | 0.0000000000000000E+0 |
| Node | 1368 | 6.21605547654003E+0 | 8.39738584034365E+1 | 0.0000000000000000E+0 |
| Node | 1369 | 6.27244088367892E+0 | 8.28855640914379E+1 | 0.0000000000000000E+0 |
| Node | 1370 | 7.70153618671256E+0 | 8.28631287561124E+1 | 0.0000000000000000E+0 |
| Node | 1371 | 8.19241473114378E+0 | 8.33833069569396E+1 | 0.0000000000000000E+0 |
| Node | 1372 | 8.37730266792125E+0 | 8.39254803683630E+1 | 0.0000000000000000E+0 |
| Node | 1373 | 8.24700635886833E+0 | 8.43595449722532E+1 | 0.0000000000000000E+0 |
| Node | 1374 | 7.97982126485008E+0 | 8.50215765056236E+1 | 0.0000000000000000E+0 |
| Node | 1375 | 6.67958531761652E+0 | 8.50038189130698E+1 | 0.0000000000000000E+0 |
| Node | 1376 | 6.24511943551077E+0 | 8.34518872095403E+1 | 0.0000000000000000E+0 |

Relazione di calcolo spalle

| | | | | | |
|----------|---------|----------|--------------|------|------------|
| COMMESSE | LOTTO | CODIFICA | DOCUMENTO | REV. | FOGLIO |
| NM25 | 03 D 26 | CL | IV 37 04 001 | A | 184 di 439 |

| | | | | |
|------|------|---------------------|---------------------|-----------------------|
| Node | 1377 | 6.73546514949647E+0 | 8.29189573275594E+1 | 0.0000000000000000E+0 |
| Node | 1378 | 9.86011601691612E+0 | 8.28584744475506E+1 | 0.0000000000000000E+0 |
| Node | 1379 | 1.12196196458299E+1 | 8.34152132329405E+1 | 0.0000000000000000E+0 |
| Node | 1380 | 1.21204593010355E+1 | 8.41002646571719E+1 | 0.0000000000000000E+0 |
| Node | 1381 | 1.14292971610375E+1 | 8.49161267456988E+1 | 0.0000000000000000E+0 |
| Node | 1382 | 1.08094922171380E+1 | 8.55801910735769E+1 | 0.0000000000000000E+0 |
| Node | 1383 | 8.73721636721773E+0 | 8.53078168038617E+1 | 0.0000000000000000E+0 |
| Node | 1384 | 1.03439706425287E+1 | 8.28159273278744E+1 | 0.0000000000000000E+0 |
| Node | 1385 | 1.09304162228325E+1 | 8.31181728047342E+1 | 0.0000000000000000E+0 |
| Node | 1386 | 1.15778559183628E+1 | 8.37472810848021E+1 | 0.0000000000000000E+0 |
| Node | 1387 | 1.17257100781766E+1 | 8.44958924323045E+1 | 0.0000000000000000E+0 |
| Node | 1388 | 1.10658711373925E+1 | 8.52446140248584E+1 | 0.0000000000000000E+0 |
| Node | 1389 | 9.35046160183129E+0 | 8.53285623518629E+1 | 0.0000000000000000E+0 |
| Node | 1390 | 8.76400522213671E+0 | 8.36059767149592E+1 | 0.0000000000000000E+0 |
| Node | 1391 | 8.92208825620235E+0 | 8.41880638573029E+1 | 0.0000000000000000E+0 |
| Node | 1392 | 8.93424213133300E+0 | 8.47158813228325E+1 | 0.0000000000000000E+0 |
| Node | 1393 | 8.49446283027726E+0 | 8.46958813992290E+1 | 0.0000000000000000E+0 |
| Node | 1394 | 8.37684162271961E+0 | 8.51183930644462E+1 | 0.0000000000000000E+0 |
| Node | 1395 | 1.36671478683098E+1 | 8.51624857047702E+1 | 0.0000000000000000E+0 |
| Node | 1396 | 1.32585184105858E+1 | 8.49606560791491E+1 | 0.0000000000000000E+0 |
| Node | 1397 | 1.28027946088217E+1 | 8.48250124880369E+1 | 0.0000000000000000E+0 |
| Node | 1398 | 1.33442276111690E+1 | 8.52501266083346E+1 | 0.0000000000000000E+0 |
| Node | 1399 | 1.25996882944356E+1 | 8.53939606018358E+1 | 0.0000000000000000E+0 |
| Node | 1400 | 1.25298748932457E+1 | 8.50202156240529E+1 | 0.0000000000000000E+0 |
| Node | 1401 | 1.29463167947766E+1 | 8.55616622965690E+1 | 0.0000000000000000E+0 |
| Node | 1402 | 1.33130609006507E+1 | 8.55150953427759E+1 | 0.0000000000000000E+0 |
| Node | 1403 | 1.41693107313767E+1 | 8.32697652136747E+1 | 0.0000000000000000E+0 |

Relazione di calcolo spalle

| | | | | | |
|----------|---------|----------|--------------|------|------------|
| COMMESSE | LOTTO | CODIFICA | DOCUMENTO | REV. | FOGLIO |
| NM25 | 03 D 26 | CL | IV 37 04 001 | A | 185 di 439 |

| | | | | |
|------|------|---------------------|---------------------|-----------------------|
| Node | 1404 | 1.38734419069407E+1 | 8.32450417025867E+1 | 0.0000000000000000E+0 |
| Node | 1405 | 1.11782016469546E+1 | 8.29815545737155E+1 | 0.0000000000000000E+0 |
| Node | 1406 | 1.14403566863578E+1 | 8.31256721052539E+1 | 0.0000000000000000E+0 |
| Node | 1407 | 1.18106068616679E+1 | 8.33498859623293E+1 | 0.0000000000000000E+0 |
| Node | 1408 | 1.22352664702810E+1 | 8.36499823999209E+1 | 0.0000000000000000E+0 |
| Node | 1409 | 1.25709316505073E+1 | 8.45391808767125E+1 | 0.0000000000000000E+0 |
| Node | 1410 | 1.21913359517450E+1 | 8.48440506854996E+1 | 0.0000000000000000E+0 |
| Node | 1411 | 1.73115339236567E+1 | 8.54142773492554E+1 | 0.0000000000000000E+0 |
| Node | 1412 | 1.73115339236567E+1 | 8.48999916338516E+1 | 0.0000000000000000E+0 |
| Node | 1413 | 1.73115339236567E+1 | 8.43857059184477E+1 | 0.0000000000000000E+0 |
| Node | 1414 | 1.73115339236567E+1 | 8.38714202030438E+1 | 0.0000000000000000E+0 |
| Node | 1415 | 1.73115339236567E+1 | 8.33571344876399E+1 | 0.0000000000000000E+0 |
| Node | 1416 | 1.73115339236567E+1 | 8.28428487722360E+1 | 0.0000000000000000E+0 |
| Node | 1417 | 1.73115339236567E+1 | 8.23285630568322E+1 | 0.0000000000000000E+0 |
| Node | 1418 | 1.68532005893307E+1 | 8.23285630574652E+1 | 0.0000000000000000E+0 |
| Node | 1419 | 1.63948672553889E+1 | 8.23285630577053E+1 | 0.0000000000000000E+0 |
| Node | 1420 | 1.59365339214470E+1 | 8.23285630579454E+1 | 0.0000000000000000E+0 |
| Node | 1421 | 1.54782005875052E+1 | 8.23285630581855E+1 | 0.0000000000000000E+0 |
| Node | 1422 | 1.50198672535634E+1 | 8.23285630584256E+1 | 0.0000000000000000E+0 |
| Node | 1423 | 1.70145070547891E+1 | 8.44030862205356E+1 | 0.0000000000000000E+0 |
| Node | 1424 | 1.70615309128318E+1 | 8.39987644496772E+1 | 0.0000000000000000E+0 |
| Node | 1425 | 1.68873663767953E+1 | 8.27903312537310E+1 | 0.0000000000000000E+0 |
| Node | 1426 | 1.70130644185276E+1 | 8.35949114197547E+1 | 0.0000000000000000E+0 |
| Node | 1427 | 1.69219123551992E+1 | 8.31620347353189E+1 | 0.0000000000000000E+0 |
| Node | 1428 | 1.64628186386746E+1 | 8.28278784505369E+1 | 0.0000000000000000E+0 |
| Node | 1429 | 1.60022041571123E+1 | 8.28539810269986E+1 | 0.0000000000000000E+0 |
| Node | 1430 | 1.55369653767855E+1 | 8.29052608891456E+1 | 0.0000000000000000E+0 |

| Relazione di calcolo spalle | | | COMMESSE NM25 | LOTTO 03 D 26 | CODIFICA CL | DOCUMENTO IV 37 04 001 | REV. A | FOGLIO 186 di 439 |
|-----------------------------|--|--|------------------|------------------|----------------|---------------------------|-----------|----------------------|
|-----------------------------|--|--|------------------|------------------|----------------|---------------------------|-----------|----------------------|

| | | | | |
|------|------|---------------------|---------------------|-----------------------|
| Node | 1431 | 1.50480273977918E+1 | 8.28765219784785E+1 | 0.0000000000000000E+0 |
| Node | 1432 | 1.50748090559349E+1 | 8.34311052431095E+1 | 0.0000000000000000E+0 |
| Node | 1433 | 1.50702651376758E+1 | 8.39287375493877E+1 | 0.0000000000000000E+0 |
| Node | 1434 | 1.51358696075913E+1 | 8.44404731384387E+1 | 0.0000000000000000E+0 |
| Node | 1435 | 1.50596080475239E+1 | 8.49401439853259E+1 | 0.0000000000000000E+0 |
| Node | 1436 | 1.50348135021288E+1 | 8.54316156160800E+1 | 0.0000000000000000E+0 |
| Node | 1437 | 1.54988973334500E+1 | 8.54447870632637E+1 | 0.0000000000000000E+0 |
| Node | 1438 | 1.59761964268508E+1 | 8.54285652290725E+1 | 0.0000000000000000E+0 |
| Node | 1439 | 1.64480503372998E+1 | 8.54316699686333E+1 | 0.0000000000000000E+0 |
| Node | 1440 | 1.68737891315550E+1 | 8.54455099535935E+1 | 0.0000000000000000E+0 |
| Node | 1441 | 1.68830144789687E+1 | 8.50071634692771E+1 | 0.0000000000000000E+0 |
| Node | 1442 | 1.70480738269258E+1 | 8.46826587061962E+1 | 0.0000000000000000E+0 |
| Node | 1443 | 1.67990269183316E+1 | 8.47588330270018E+1 | 0.0000000000000000E+0 |
| Node | 1444 | 1.65481752742005E+1 | 8.49240102315863E+1 | 0.0000000000000000E+0 |
| Node | 1445 | 1.65669113285367E+1 | 8.33390409769128E+1 | 0.0000000000000000E+0 |
| Node | 1446 | 1.60727238529282E+1 | 8.33551161784770E+1 | 0.0000000000000000E+0 |
| Node | 1447 | 1.56201107349586E+1 | 8.35634086153281E+1 | 0.0000000000000000E+0 |
| Node | 1448 | 1.55097681056706E+1 | 8.39739309900274E+1 | 0.0000000000000000E+0 |
| Node | 1449 | 1.57057091754828E+1 | 8.45833871472998E+1 | 0.0000000000000000E+0 |
| Node | 1450 | 1.55069811875254E+1 | 8.49907786717808E+1 | 0.0000000000000000E+0 |
| Node | 1451 | 1.55401224579025E+1 | 8.42800036140594E+1 | 0.0000000000000000E+0 |
| Node | 1452 | 1.54487677998211E+1 | 8.46702518187547E+1 | 0.0000000000000000E+0 |
| Node | 1453 | 1.60222006424353E+1 | 8.49095922561407E+1 | 0.0000000000000000E+0 |
| Node | 1454 | 1.73115339240409E+1 | 8.17785630575747E+1 | 0.0000000000000000E+0 |
| Node | 1455 | 1.73115339241177E+1 | 8.12285630583173E+1 | 0.0000000000000000E+0 |
| Node | 1456 | 1.73115339241945E+1 | 8.06785630590599E+1 | 0.0000000000000000E+0 |
| Node | 1457 | 1.73115339244250E+1 | 8.01285630598024E+1 | 0.0000000000000000E+0 |

| Relazione di calcolo spalle | | | COMMESMA NM25 | LOTTO 03 D 26 | CODIFICA CL | DOCUMENTO IV 37 04 001 | REV. A | FOGLIO 187 di 439 |
|-----------------------------|--|--|------------------|------------------|----------------|---------------------------|-----------|----------------------|
|-----------------------------|--|--|------------------|------------------|----------------|---------------------------|-----------|----------------------|

| | | | | |
|------|------|---------------------|---------------------|-----------------------|
| Node | 1458 | 1.68115339242226E+1 | 8.01285630598024E+1 | 0.0000000000000000E+0 |
| Node | 1459 | 1.63115339240201E+1 | 8.01285630598024E+1 | 0.0000000000000000E+0 |
| Node | 1460 | 1.58115339238176E+1 | 8.01285630598024E+1 | 0.0000000000000000E+0 |
| Node | 1461 | 1.53115339236151E+1 | 8.01285630598024E+1 | 0.0000000000000000E+0 |
| Node | 1462 | 1.48115339234127E+1 | 8.01285630598024E+1 | 0.0000000000000000E+0 |
| Node | 1463 | 1.43115339232102E+1 | 8.01285630598024E+1 | 0.0000000000000000E+0 |
| Node | 1464 | 1.38115339230077E+1 | 8.01285630598024E+1 | 0.0000000000000000E+0 |
| Node | 1465 | 1.33115339228053E+1 | 8.01285630598024E+1 | 0.0000000000000000E+0 |
| Node | 1466 | 1.28115339226028E+1 | 8.01285630598024E+1 | 0.0000000000000000E+0 |
| Node | 1467 | 1.23115339224004E+1 | 8.01285630598024E+1 | 0.0000000000000000E+0 |
| Node | 1468 | 1.18115339221979E+1 | 8.01285630598024E+1 | 0.0000000000000000E+0 |
| Node | 1469 | 1.13115339219954E+1 | 8.01285630598024E+1 | 0.0000000000000000E+0 |
| Node | 1470 | 1.08115339217930E+1 | 8.01285630598024E+1 | 0.0000000000000000E+0 |
| Node | 1471 | 1.03115339215905E+1 | 8.01285630598024E+1 | 0.0000000000000000E+0 |
| Node | 1472 | 9.81153392138810E+0 | 8.01285630598024E+1 | 0.0000000000000000E+0 |
| Node | 1473 | 9.31153392118564E+0 | 8.01285630598024E+1 | 0.0000000000000000E+0 |
| Node | 1474 | 8.81153392098318E+0 | 8.01285630598024E+1 | 0.0000000000000000E+0 |
| Node | 1475 | 8.31153392078072E+0 | 8.01285630598024E+1 | 0.0000000000000000E+0 |
| Node | 1476 | 7.81153392057826E+0 | 8.01285630598024E+1 | 0.0000000000000000E+0 |
| Node | 1477 | 7.31153392037579E+0 | 8.01285630598024E+1 | 0.0000000000000000E+0 |
| Node | 1478 | 6.81153392017333E+0 | 8.01285630598024E+1 | 0.0000000000000000E+0 |
| Node | 1479 | 6.31153391997087E+0 | 8.01285630598024E+1 | 0.0000000000000000E+0 |
| Node | 1480 | 5.81153391976841E+0 | 8.01285630598024E+1 | 0.0000000000000000E+0 |
| Node | 1481 | 5.81153391976841E+0 | 8.06785630580121E+1 | 0.0000000000000000E+0 |
| Node | 1482 | 5.81153391976841E+0 | 8.12285630587364E+1 | 0.0000000000000000E+0 |
| Node | 1483 | 5.81153391976841E+0 | 8.17785630594607E+1 | 0.0000000000000000E+0 |
| Node | 1484 | 1.69552419416994E+1 | 8.14987993195209E+1 | 0.0000000000000000E+0 |

Relazione di calcolo spalle

| | | | | | |
|----------|---------|----------|--------------|------|------------|
| COMMESSE | LOTTO | CODIFICA | DOCUMENTO | REV. | FOGLIO |
| NM25 | 03 D 26 | CL | IV 37 04 001 | A | 188 di 439 |

| | | | | |
|------|------|---------------------|---------------------|-----------------------|
| Node | 1485 | 1.70615309149780E+1 | 8.11773358773139E+1 | 0.0000000000000000E+0 |
| Node | 1486 | 1.69196768525471E+1 | 8.06486517769615E+1 | 0.0000000000000000E+0 |
| Node | 1487 | 1.58768855596205E+1 | 8.04511578169547E+1 | 0.0000000000000000E+0 |
| Node | 1488 | 1.62336963504431E+1 | 8.03909892550841E+1 | 0.0000000000000000E+0 |
| Node | 1489 | 1.65684907794886E+1 | 8.04213143565961E+1 | 0.0000000000000000E+0 |
| Node | 1490 | 1.36382043817505E+1 | 8.03906100292728E+1 | 0.0000000000000000E+0 |
| Node | 1491 | 1.32336963498357E+1 | 8.03909892497981E+1 | 0.0000000000000000E+0 |
| Node | 1492 | 1.28590994995153E+1 | 8.04818650532917E+1 | 0.0000000000000000E+0 |
| Node | 1493 | 1.06382043811431E+1 | 8.03906100310348E+1 | 0.0000000000000000E+0 |
| Node | 1494 | 1.02336963492283E+1 | 8.03909892515601E+1 | 0.0000000000000000E+0 |
| Node | 1495 | 9.85909949890796E+0 | 8.04818650550537E+1 | 0.0000000000000000E+0 |
| Node | 1496 | 7.61246042285709E+0 | 8.04240283559457E+1 | 0.0000000000000000E+0 |
| Node | 1497 | 7.23369634862093E+0 | 8.03909892497981E+1 | 0.0000000000000000E+0 |
| Node | 1498 | 6.85909949830057E+0 | 8.04818650532917E+1 | 0.0000000000000000E+0 |
| Node | 1499 | 1.40130644200664E+1 | 8.04806257005500E+1 | 0.0000000000000000E+0 |
| Node | 1500 | 1.41249173178433E+1 | 8.10359849590078E+1 | 0.0000000000000000E+0 |
| Node | 1501 | 1.35300075454446E+1 | 8.19655572923318E+1 | 0.0000000000000000E+0 |
| Node | 1502 | 1.31324509386309E+1 | 8.19670741515890E+1 | 0.0000000000000000E+0 |
| Node | 1503 | 1.26442194540975E+1 | 8.16763112298728E+1 | 0.0000000000000000E+0 |
| Node | 1504 | 1.24864475362858E+1 | 8.11938008334699E+1 | 0.0000000000000000E+0 |
| Node | 1505 | 1.24023694651855E+1 | 8.08688851024946E+1 | 0.0000000000000000E+0 |
| Node | 1506 | 1.23516076840472E+1 | 8.04928328307727E+1 | 0.0000000000000000E+0 |
| Node | 1507 | 1.18903304180183E+1 | 8.05088084694113E+1 | 0.0000000000000000E+0 |
| Node | 1508 | 1.15333715202065E+1 | 8.04599502634775E+1 | 0.0000000000000000E+0 |
| Node | 1509 | 1.10130644194590E+1 | 8.04806257023120E+1 | 0.0000000000000000E+0 |
| Node | 1510 | 1.11940597255211E+1 | 8.10269500153681E+1 | 0.0000000000000000E+0 |
| Node | 1511 | 1.11025514756596E+1 | 8.12479586045651E+1 | 0.0000000000000000E+0 |

| Relazione di calcolo spalle | | COMMESSE NM25 | LOTTO 03 D 26 | CODIFICA CL | DOCUMENTO IV 37 04 001 | REV. A | FOGLIO 189 di 439 |
|-----------------------------|--|------------------|------------------|----------------|---------------------------|-----------|----------------------|
|-----------------------------|--|------------------|------------------|----------------|---------------------------|-----------|----------------------|

| | | | | | | | |
|------|------|---------------------|---------------------|-----------------------|--|--|--|
| Node | 1512 | 1.09381181656732E+1 | 8.18745147862039E+1 | 0.0000000000000000E+0 | | | |
| Node | 1513 | 1.05716742121357E+1 | 8.19655572940938E+1 | 0.0000000000000000E+0 | | | |
| Node | 1514 | 1.01741176053220E+1 | 8.19670741533510E+1 | 0.0000000000000000E+0 | | | |
| Node | 1515 | 9.51717958970782E+0 | 8.11813389909786E+1 | 0.0000000000000000E+0 | | | |
| Node | 1516 | 9.47962191987559E+0 | 8.08644843869010E+1 | 0.0000000000000000E+0 | | | |
| Node | 1517 | 9.38142622745158E+0 | 8.05121588146716E+1 | 0.0000000000000000E+0 | | | |
| Node | 1518 | 1.13983096608713E+1 | 8.07418832752800E+1 | 0.0000000000000000E+0 | | | |
| Node | 1519 | 1.15607828486311E+1 | 8.12852698368058E+1 | 0.0000000000000000E+0 | | | |
| Node | 1520 | 1.13915918041491E+1 | 8.16710951501182E+1 | 0.0000000000000000E+0 | | | |
| Node | 1521 | 9.17331774764300E+0 | 8.17404760591274E+1 | 0.0000000000000000E+0 | | | |
| Node | 1522 | 9.15505542252824E+0 | 8.12743255640287E+1 | 0.0000000000000000E+0 | | | |
| Node | 1523 | 9.11272469872642E+0 | 8.09291336604725E+1 | 0.0000000000000000E+0 | | | |
| Node | 1524 | 8.92321145591816E+0 | 8.05863331655503E+1 | 0.0000000000000000E+0 | | | |
| Node | 1525 | 9.66437694643040E+0 | 8.16657200713079E+1 | 0.0000000000000000E+0 | | | |
| Node | 1526 | 7.90057275135161E+0 | 8.06743857648092E+1 | 0.0000000000000000E+0 | | | |
| Node | 1527 | 8.34422903767644E+0 | 8.12896817190109E+1 | 0.0000000000000000E+0 | | | |
| Node | 1528 | 6.69384447683735E+0 | 8.15533189795061E+1 | 0.0000000000000000E+0 | | | |
| Node | 1529 | 6.32851087226119E+0 | 8.05619609582661E+1 | 0.0000000000000000E+0 | | | |
| Node | 1530 | 6.52607455287189E+0 | 8.12059333079225E+1 | 0.0000000000000000E+0 | | | |
| Node | 1531 | 6.24729632705440E+0 | 8.18759153284241E+1 | 0.0000000000000000E+0 | | | |
| Node | 1532 | 6.35909949809811E+0 | 8.10318650515014E+1 | 0.0000000000000000E+0 | | | |
| Node | 1533 | 6.27740494346384E+0 | 8.14900875089115E+1 | 0.0000000000000000E+0 | | | |
| Node | 1534 | 7.21578427201322E+0 | 8.19670741515890E+1 | 0.0000000000000000E+0 | | | |
| Node | 1535 | 7.89436281730160E+0 | 8.16369776753886E+1 | 0.0000000000000000E+0 | | | |
| Node | 1536 | 8.23365156900544E+0 | 8.18606651028833E+1 | 0.0000000000000000E+0 | | | |
| Node | 1537 | 8.65952692412424E+0 | 8.16932955443407E+1 | 0.0000000000000000E+0 | | | |
| Node | 1538 | 6.60260141411397E+0 | 8.19064476914258E+1 | 0.0000000000000000E+0 | | | |

| Relazione di calcolo spalle | | COMMESSE NM25 | LOTTO 03 D 26 | CODIFICA CL | DOCUMENTO IV 37 04 001 | REV. A | FOGLIO 190 di 439 |
|-----------------------------|--|------------------|------------------|----------------|---------------------------|-----------|----------------------|
|-----------------------------|--|------------------|------------------|----------------|---------------------------|-----------|----------------------|

| | | | | | | | |
|------|------|---------------------|---------------------|-----------------------|--|--|--|
| Node | 1539 | 7.61334087882690E+0 | 8.19655572923318E+1 | 0.0000000000000000E+0 | | | |
| Node | 1540 | 7.96156915772808E+0 | 8.19421964689805E+1 | 0.0000000000000000E+0 | | | |
| Node | 1541 | 6.85467098328566E+0 | 8.17713707543113E+1 | 0.0000000000000000E+0 | | | |
| Node | 1542 | 6.96045836076058E+0 | 8.20201486201118E+1 | 0.0000000000000000E+0 | | | |
| Node | 1543 | 8.09286698632476E+0 | 8.09635782287073E+1 | 0.0000000000000000E+0 | | | |
| Node | 1544 | 8.07142071888624E+0 | 8.14786053413798E+1 | 0.0000000000000000E+0 | | | |
| Node | 1545 | 8.57152823473508E+0 | 8.05679266424633E+1 | 0.0000000000000000E+0 | | | |
| Node | 1546 | 8.03464303743289E+0 | 8.04976364623641E+1 | 0.0000000000000000E+0 | | | |
| Node | 1547 | 8.31375509879640E+0 | 8.07634535820108E+1 | 0.0000000000000000E+0 | | | |
| Node | 1548 | 8.55310152137052E+0 | 8.10232477616158E+1 | 0.0000000000000000E+0 | | | |
| Node | 1549 | 8.81577937377104E+0 | 8.12458849193865E+1 | 0.0000000000000000E+0 | | | |
| Node | 1550 | 1.53034576335183E+1 | 8.04446998751276E+1 | 0.0000000000000000E+0 | | | |
| Node | 1551 | 1.49355598184475E+1 | 8.05330267244073E+1 | 0.0000000000000000E+0 | | | |
| Node | 1552 | 1.45256609950008E+1 | 8.07146303736838E+1 | 0.0000000000000000E+0 | | | |
| Node | 1553 | 1.56410490419512E+1 | 8.04409992055079E+1 | 0.0000000000000000E+0 | | | |
| Node | 1554 | 1.64933707489059E+1 | 8.18209647591050E+1 | 0.0000000000000000E+0 | | | |
| Node | 1555 | 1.60591361532178E+1 | 8.18876843862417E+1 | 0.0000000000000000E+0 | | | |
| Node | 1556 | 1.57125471600959E+1 | 8.16316750386219E+1 | 0.0000000000000000E+0 | | | |
| Node | 1557 | 1.51823656993646E+1 | 8.13082456366053E+1 | 0.0000000000000000E+0 | | | |
| Node | 1558 | 1.55723671346308E+1 | 8.07395119767982E+1 | 0.0000000000000000E+0 | | | |
| Node | 1559 | 1.67519997510997E+1 | 8.16709985065614E+1 | 0.0000000000000000E+0 | | | |
| Node | 1560 | 1.68412821907864E+1 | 8.19434252147310E+1 | 0.0000000000000000E+0 | | | |
| Node | 1561 | 1.17442881050963E+1 | 8.18214462814329E+1 | 0.0000000000000000E+0 | | | |
| Node | 1562 | 1.21480750660455E+1 | 8.17964681039379E+1 | 0.0000000000000000E+0 | | | |
| Node | 1563 | 1.38359379569943E+1 | 8.17522338452540E+1 | 0.0000000000000000E+0 | | | |
| Node | 1564 | 1.41971056819901E+1 | 8.20005776550733E+1 | 0.0000000000000000E+0 | | | |
| Node | 1565 | 1.46180920034486E+1 | 8.19747437765190E+1 | 0.0000000000000000E+0 | | | |

Relazione di calcolo spalle

| | | | | | |
|----------|---------|----------|--------------|------|------------|
| COMMESSE | LOTTO | CODIFICA | DOCUMENTO | REV. | FOGLIO |
| NM25 | 03 D 26 | CL | IV 37 04 001 | A | 191 di 439 |

| | | | | |
|------|------|---------------------|---------------------|------------------------|
| Node | 1566 | 1.50587895828498E+1 | 8.19578739116938E+1 | 0.0000000000000000E+0 |
| Node | 1567 | 1.55350999710152E+1 | 8.18925322569707E+1 | 0.0000000000000000E+0 |
| Node | 1568 | 1.38735882131107E+1 | 8.20271938406657E+1 | 0.0000000000000000E+0 |
| Node | 1569 | 1.64475435093149E+1 | 8.19953030249585E+1 | 0.0000000000000000E+0 |
| Node | 1570 | 1.41986169353244E+1 | 8.13222840028620E+1 | 0.0000000000000000E+0 |
| Node | 1571 | 6.52465913262528E+0 | 8.16499439999138E+1 | 0.0000000000000000E+0 |
| Node | 1572 | 8.73595529704042E+0 | 8.07926059836672E+1 | 0.0000000000000000E+0 |
| Node | 1573 | 8.89055476950108E+0 | 8.09903310913070E+1 | 0.0000000000000000E+0 |
| Node | 1574 | 1.17926297118300E+1 | 8.14890378152684E+1 | 0.0000000000000000E+0 |
| Node | 1575 | 1.20729293394798E+1 | 8.13587262067391E+1 | 0.0000000000000000E+0 |
| Node | 1576 | 1.18648633926885E+1 | 8.09535116341388E+1 | 0.0000000000000000E+0 |
| Node | 1577 | 1.55182032096780E+1 | 8.14314058375306E+1 | 0.0000000000000000E+0 |
| Node | 1578 | 1.54160822997718E+1 | 8.10056378607121E+1 | 0.0000000000000000E+0 |
| Node | 1579 | 1.42213197028825E+1 | 8.16718099462762E+1 | 0.0000000000000000E+0 |
| Node | 1580 | 1.53707678697811E+1 | 8.16543583639382E+1 | 0.0000000000000000E+0 |
| Node | 1581 | 1.50643162351457E+1 | 8.16350909018974E+1 | 0.0000000000000000E+0 |
| Node | 1582 | 1.46560057056813E+1 | 8.16117840157356E+1 | 0.0000000000000000E+0 |
| Node | 1583 | 1.53256877500592E+1 | 8.06762105107928E+1 | 0.0000000000000000E+0 |
| Node | 1584 | 1.51016323371824E+1 | 8.08441580156502E+1 | 0.0000000000000000E+0 |
| Node | 1585 | 1.47308610528630E+1 | 8.11608479462811E+1 | 0.0000000000000000E+0 |
| Node | 1586 | 1.63560214812551E+1 | 8.11972755139783E+1 | -2.0000000000000000E+1 |
| Node | 1587 | 1.33560214812550E+1 | 8.11972755034065E+1 | -2.0000000000000000E+1 |
| Node | 1588 | 7.35602148125507E+0 | 8.11972755034065E+1 | -2.0000000000000000E+1 |
| Node | 1589 | 1.03560214812550E+1 | 8.11972755069304E+1 | -2.0000000000000000E+1 |
| Node | 1590 | 1.63560216394937E+1 | 8.41972758334348E+1 | -2.0000000000000000E+1 |
| Node | 1591 | 1.33560216394936E+1 | 8.41972758228630E+1 | -2.0000000000000000E+1 |
| Node | 1592 | 7.35602163949365E+0 | 8.41972758228630E+1 | -2.0000000000000000E+1 |

Relazione di calcolo spalle

| COMMESMA | LOTTO | CODIFICA | DOCUMENTO | REV. | FOGLIO |
|----------|---------|----------|--------------|------|------------|
| NM25 | 03 D 26 | CL | IV 37 04 001 | A | 192 di 439 |

| | | | | |
|------|------|---------------------|---------------------|-----------------------|
| Node | 1593 | 1.03560216394936E+1 | 8.41972758263869E+1 | -2.000000000000000E+1 |
| Node | 1594 | 1.63560216359697E+1 | 8.71972758440066E+1 | -2.000000000000000E+1 |
| Node | 1595 | 1.33560216359697E+1 | 8.71972758334348E+1 | -2.000000000000000E+1 |
| Node | 1596 | 7.35602163596971E+0 | 8.71972758334348E+1 | -2.000000000000000E+1 |
| Node | 1597 | 1.03560216359697E+1 | 8.71972758369588E+1 | -2.000000000000000E+1 |
| Node | 1598 | 1.50615339196216E+1 | 8.48999916291920E+1 | 8.750000000000000E+0 |
| Node | 1599 | 1.50615339196216E+1 | 8.33571344882907E+1 | 8.750000000000000E+0 |

/ BEAM ELEMENTS

| | | | | | |
|------|----|---|---|------|------|
| Beam | 1 | 1 | 1 | 924 | 1586 |
| Beam | 2 | 1 | 1 | 946 | 1587 |
| Beam | 3 | 1 | 1 | 968 | 1588 |
| Beam | 4 | 1 | 1 | 990 | 1589 |
| Beam | 5 | 1 | 1 | 1012 | 1590 |
| Beam | 6 | 1 | 1 | 1034 | 1591 |
| Beam | 7 | 1 | 1 | 1056 | 1592 |
| Beam | 8 | 1 | 1 | 1078 | 1593 |
| Beam | 9 | 1 | 1 | 1100 | 1594 |
| Beam | 10 | 1 | 1 | 1122 | 1595 |
| Beam | 11 | 1 | 1 | 1144 | 1596 |
| Beam | 12 | 1 | 1 | 1166 | 1597 |

/ BEAM SUPPORTS

| | | | | | | |
|---|---|------------------|----------------|---------------------------|-----------|----------------------|
|  ITALFERR GRUPPO FERROVIE DELLO STATO ITALIANE | RADDOPPIO LINEA CODOGNO – CREMONA – MANTOVA TRATTA PIADENA - MANTOVA | | | | | |
| Relazione di calcolo spalle | COMMESA NM25 | LOTTO 03 D 26 | CODIFICA CL | DOCUMENTO IV 37 04 001 | REV. A | FOGLIO 193 di 439 |

| | | | |
|-----------|----|----------------------|----------------------|
| BmSupport | 1 | 1.000000000000000E+4 | 1.000000000000000E+4 |
| BmSupport | 2 | 1.000000000000000E+4 | 1.000000000000000E+4 |
| BmSupport | 3 | 1.000000000000000E+4 | 1.000000000000000E+4 |
| BmSupport | 4 | 1.000000000000000E+4 | 1.000000000000000E+4 |
| BmSupport | 5 | 1.000000000000000E+4 | 1.000000000000000E+4 |
| BmSupport | 6 | 1.000000000000000E+4 | 1.000000000000000E+4 |
| BmSupport | 7 | 1.000000000000000E+4 | 1.000000000000000E+4 |
| BmSupport | 8 | 1.000000000000000E+4 | 1.000000000000000E+4 |
| BmSupport | 9 | 1.000000000000000E+4 | 1.000000000000000E+4 |
| BmSupport | 10 | 1.000000000000000E+4 | 1.000000000000000E+4 |
| BmSupport | 11 | 1.000000000000000E+4 | 1.000000000000000E+4 |
| BmSupport | 12 | 1.000000000000000E+4 | 1.000000000000000E+4 |

/ _____

/ PLATE ELEMENTS

| | | | | | | | |
|-------|----|---|---|----|----|----|----|
| Quad4 | 1 | 5 | 3 | 20 | 21 | 2 | 1 |
| Quad4 | 2 | 5 | 3 | 21 | 22 | 3 | 2 |
| Quad4 | 3 | 5 | 3 | 22 | 23 | 4 | 3 |
| Quad4 | 4 | 5 | 3 | 23 | 24 | 5 | 4 |
| Quad4 | 5 | 5 | 3 | 24 | 25 | 6 | 5 |
| Quad4 | 6 | 5 | 3 | 25 | 26 | 7 | 6 |
| Quad4 | 7 | 5 | 3 | 7 | 26 | 9 | 8 |
| Quad4 | 8 | 5 | 3 | 19 | 27 | 21 | 20 |
| Quad4 | 9 | 5 | 3 | 27 | 28 | 22 | 21 |
| Quad4 | 10 | 5 | 3 | 28 | 29 | 23 | 22 |
| Quad4 | 11 | 5 | 3 | 29 | 30 | 24 | 23 |

Relazione di calcolo spalle

COMMESMA

LOTTO

CODIFICA

DOCUMENTO

REV.

FOGLIO

NM25

03 D 26

CL

IV 37 04 001

A

194 di 439

| | | | | | | | |
|-------|----|---|---|----|----|----|----|
| Quad4 | 12 | 5 | 3 | 30 | 31 | 25 | 24 |
| Quad4 | 13 | 5 | 3 | 31 | 32 | 26 | 25 |
| Quad4 | 14 | 5 | 3 | 26 | 32 | 10 | 9 |
| Quad4 | 15 | 5 | 3 | 17 | 27 | 19 | 18 |
| Quad4 | 16 | 5 | 3 | 16 | 28 | 27 | 17 |
| Quad4 | 17 | 5 | 3 | 15 | 29 | 28 | 16 |
| Quad4 | 18 | 5 | 3 | 14 | 30 | 29 | 15 |
| Quad4 | 19 | 5 | 3 | 13 | 31 | 30 | 14 |
| Quad4 | 20 | 5 | 3 | 12 | 32 | 31 | 13 |
| Quad4 | 21 | 5 | 3 | 10 | 32 | 12 | 11 |
| Quad4 | 22 | 6 | 4 | 68 | 69 | 34 | 33 |
| Quad4 | 23 | 6 | 4 | 69 | 70 | 35 | 34 |
| Quad4 | 24 | 6 | 4 | 70 | 71 | 36 | 35 |
| Quad4 | 25 | 6 | 4 | 71 | 72 | 37 | 36 |
| Quad4 | 26 | 6 | 4 | 72 | 73 | 38 | 37 |
| Quad4 | 27 | 6 | 4 | 73 | 74 | 39 | 38 |
| Quad4 | 28 | 6 | 4 | 74 | 75 | 40 | 39 |
| Quad4 | 29 | 6 | 4 | 75 | 76 | 41 | 40 |
| Quad4 | 30 | 6 | 4 | 76 | 77 | 42 | 41 |
| Quad4 | 31 | 6 | 4 | 77 | 78 | 43 | 42 |
| Quad4 | 32 | 6 | 4 | 78 | 79 | 44 | 43 |
| Quad4 | 33 | 6 | 4 | 79 | 80 | 45 | 44 |
| Quad4 | 34 | 6 | 4 | 80 | 81 | 46 | 45 |
| Quad4 | 35 | 6 | 4 | 81 | 82 | 47 | 46 |
| Quad4 | 36 | 6 | 4 | 82 | 83 | 48 | 47 |
| Quad4 | 37 | 6 | 4 | 83 | 84 | 49 | 48 |
| Quad4 | 38 | 6 | 4 | 49 | 84 | 20 | 1 |

Relazione di calcolo spalle

COMMESMA

LOTTO

CODIFICA

DOCUMENTO

REV.

FOGLIO

NM25

03 D 26

CL

IV 37 04 001

A

195 di 439

| | | | | | | | |
|-------|----|---|---|----|-----|----|----|
| Quad4 | 39 | 6 | 4 | 67 | 85 | 69 | 68 |
| Quad4 | 40 | 6 | 4 | 85 | 86 | 70 | 69 |
| Quad4 | 41 | 6 | 4 | 86 | 87 | 71 | 70 |
| Quad4 | 42 | 6 | 4 | 87 | 88 | 72 | 71 |
| Quad4 | 43 | 6 | 4 | 88 | 89 | 73 | 72 |
| Quad4 | 44 | 6 | 4 | 89 | 90 | 74 | 73 |
| Quad4 | 45 | 6 | 4 | 90 | 91 | 75 | 74 |
| Quad4 | 46 | 6 | 4 | 91 | 92 | 76 | 75 |
| Quad4 | 47 | 6 | 4 | 92 | 93 | 77 | 76 |
| Quad4 | 48 | 6 | 4 | 93 | 94 | 78 | 77 |
| Quad4 | 49 | 6 | 4 | 94 | 95 | 79 | 78 |
| Quad4 | 50 | 6 | 4 | 95 | 96 | 80 | 79 |
| Quad4 | 51 | 6 | 4 | 96 | 97 | 81 | 80 |
| Quad4 | 52 | 6 | 4 | 97 | 98 | 82 | 81 |
| Quad4 | 53 | 6 | 4 | 98 | 99 | 83 | 82 |
| Quad4 | 54 | 6 | 4 | 99 | 100 | 84 | 83 |
| Quad4 | 55 | 6 | 4 | 84 | 100 | 19 | 20 |
| Quad4 | 56 | 6 | 4 | 65 | 85 | 67 | 66 |
| Quad4 | 57 | 6 | 4 | 64 | 86 | 85 | 65 |
| Quad4 | 58 | 6 | 4 | 63 | 87 | 86 | 64 |
| Quad4 | 59 | 6 | 4 | 62 | 88 | 87 | 63 |
| Quad4 | 60 | 6 | 4 | 61 | 89 | 88 | 62 |
| Quad4 | 61 | 6 | 4 | 60 | 90 | 89 | 61 |
| Quad4 | 62 | 6 | 4 | 59 | 91 | 90 | 60 |
| Quad4 | 63 | 6 | 4 | 58 | 92 | 91 | 59 |
| Quad4 | 64 | 6 | 4 | 57 | 93 | 92 | 58 |
| Quad4 | 65 | 6 | 4 | 56 | 94 | 93 | 57 |

Relazione di calcolo spalle

COMMESSA

LOTTO

CODIFICA

DOCUMENTO

REV.

FOGLIO

NM25

03 D 26

CL

IV 37 04 001

A

196 di 439

| | | | | | | | |
|-------|----|---|---|-----|-----|-----|-----|
| Quad4 | 66 | 6 | 4 | 55 | 95 | 94 | 56 |
| Quad4 | 67 | 6 | 4 | 54 | 96 | 95 | 55 |
| Quad4 | 68 | 6 | 4 | 53 | 97 | 96 | 54 |
| Quad4 | 69 | 6 | 4 | 52 | 98 | 97 | 53 |
| Quad4 | 70 | 6 | 4 | 51 | 99 | 98 | 52 |
| Quad4 | 71 | 6 | 4 | 50 | 100 | 99 | 51 |
| Quad4 | 72 | 6 | 4 | 19 | 100 | 50 | 18 |
| Quad4 | 73 | 6 | 4 | 9 | 137 | 101 | 8 |
| Quad4 | 74 | 6 | 4 | 137 | 138 | 102 | 101 |
| Quad4 | 75 | 6 | 4 | 138 | 139 | 103 | 102 |
| Quad4 | 76 | 6 | 4 | 139 | 140 | 104 | 103 |
| Quad4 | 77 | 6 | 4 | 140 | 141 | 105 | 104 |
| Quad4 | 78 | 6 | 4 | 141 | 142 | 106 | 105 |
| Quad4 | 79 | 6 | 4 | 142 | 143 | 107 | 106 |
| Quad4 | 80 | 6 | 4 | 143 | 144 | 108 | 107 |
| Quad4 | 81 | 6 | 4 | 144 | 145 | 109 | 108 |
| Quad4 | 82 | 6 | 4 | 145 | 146 | 110 | 109 |
| Quad4 | 83 | 6 | 4 | 146 | 147 | 111 | 110 |
| Quad4 | 84 | 6 | 4 | 147 | 148 | 112 | 111 |
| Quad4 | 85 | 6 | 4 | 148 | 149 | 113 | 112 |
| Quad4 | 86 | 6 | 4 | 149 | 150 | 114 | 113 |
| Quad4 | 87 | 6 | 4 | 150 | 151 | 115 | 114 |
| Quad4 | 88 | 6 | 4 | 151 | 152 | 116 | 115 |
| Quad4 | 89 | 6 | 4 | 116 | 152 | 118 | 117 |
| Quad4 | 90 | 6 | 4 | 10 | 153 | 137 | 9 |
| Quad4 | 91 | 6 | 4 | 153 | 154 | 138 | 137 |
| Quad4 | 92 | 6 | 4 | 154 | 155 | 139 | 138 |

| Relazione di calcolo spalle | | | | | | | | COMMESMA NM25 | LOTTO 03 D 26 | CODIFICA CL | DOCUMENTO IV 37 04 001 | REV. A | FOGLIO 197 di 439 |
|-----------------------------|--|--|--|--|--|--|--|------------------|------------------|----------------|---------------------------|-----------|----------------------|
|-----------------------------|--|--|--|--|--|--|--|------------------|------------------|----------------|---------------------------|-----------|----------------------|

| | | | | | | | |
|-------|-----|---|---|-----|-----|-----|-----|
| Quad4 | 93 | 6 | 4 | 155 | 156 | 140 | 139 |
| Quad4 | 94 | 6 | 4 | 156 | 157 | 141 | 140 |
| Quad4 | 95 | 6 | 4 | 157 | 158 | 142 | 141 |
| Quad4 | 96 | 6 | 4 | 158 | 159 | 143 | 142 |
| Quad4 | 97 | 6 | 4 | 159 | 160 | 144 | 143 |
| Quad4 | 98 | 6 | 4 | 160 | 161 | 145 | 144 |
| Quad4 | 99 | 6 | 4 | 161 | 162 | 146 | 145 |
| Quad4 | 100 | 6 | 4 | 162 | 163 | 147 | 146 |
| Quad4 | 101 | 6 | 4 | 163 | 164 | 148 | 147 |
| Quad4 | 102 | 6 | 4 | 164 | 165 | 149 | 148 |
| Quad4 | 103 | 6 | 4 | 165 | 166 | 150 | 149 |
| Quad4 | 104 | 6 | 4 | 166 | 167 | 151 | 150 |
| Quad4 | 105 | 6 | 4 | 167 | 168 | 152 | 151 |
| Quad4 | 106 | 6 | 4 | 152 | 168 | 119 | 118 |
| Quad4 | 107 | 6 | 4 | 136 | 153 | 10 | 11 |
| Quad4 | 108 | 6 | 4 | 135 | 154 | 153 | 136 |
| Quad4 | 109 | 6 | 4 | 134 | 155 | 154 | 135 |
| Quad4 | 110 | 6 | 4 | 133 | 156 | 155 | 134 |
| Quad4 | 111 | 6 | 4 | 132 | 157 | 156 | 133 |
| Quad4 | 112 | 6 | 4 | 131 | 158 | 157 | 132 |
| Quad4 | 113 | 6 | 4 | 130 | 159 | 158 | 131 |
| Quad4 | 114 | 6 | 4 | 129 | 160 | 159 | 130 |
| Quad4 | 115 | 6 | 4 | 128 | 161 | 160 | 129 |
| Quad4 | 116 | 6 | 4 | 127 | 162 | 161 | 128 |
| Quad4 | 117 | 6 | 4 | 126 | 163 | 162 | 127 |
| Quad4 | 118 | 6 | 4 | 125 | 164 | 163 | 126 |
| Quad4 | 119 | 6 | 4 | 124 | 165 | 164 | 125 |

| Relazione di calcolo spalle | COMMESSA NM25 | LOTTO 03 D 26 | CODIFICA CL | DOCUMENTO IV 37 04 001 | REV. A | FOGLIO 198 di 439 |
|-----------------------------|------------------|------------------|----------------|---------------------------|-----------|----------------------|
|-----------------------------|------------------|------------------|----------------|---------------------------|-----------|----------------------|

| | | | | | | | |
|-------|-----|---|---|-----|-----|-----|-----|
| Quad4 | 120 | 6 | 4 | 123 | 166 | 165 | 124 |
| Quad4 | 121 | 6 | 4 | 122 | 167 | 166 | 123 |
| Quad4 | 122 | 6 | 4 | 121 | 168 | 167 | 122 |
| Quad4 | 123 | 6 | 4 | 119 | 168 | 121 | 120 |
| Quad4 | 124 | 6 | 4 | 203 | 220 | 116 | 117 |
| Quad4 | 125 | 6 | 4 | 220 | 221 | 115 | 116 |
| Quad4 | 126 | 6 | 4 | 221 | 222 | 114 | 115 |
| Quad4 | 127 | 6 | 4 | 222 | 223 | 113 | 114 |
| Quad4 | 128 | 6 | 4 | 223 | 224 | 112 | 113 |
| Quad4 | 129 | 6 | 4 | 224 | 225 | 111 | 112 |
| Quad4 | 130 | 6 | 4 | 225 | 226 | 110 | 111 |
| Quad4 | 131 | 6 | 4 | 226 | 227 | 109 | 110 |
| Quad4 | 132 | 6 | 4 | 227 | 228 | 108 | 109 |
| Quad4 | 133 | 6 | 4 | 228 | 229 | 107 | 108 |
| Quad4 | 134 | 6 | 4 | 229 | 230 | 106 | 107 |
| Quad4 | 135 | 6 | 4 | 230 | 231 | 105 | 106 |
| Quad4 | 136 | 6 | 4 | 231 | 232 | 104 | 105 |
| Quad4 | 137 | 6 | 4 | 232 | 233 | 103 | 104 |
| Quad4 | 138 | 6 | 4 | 233 | 234 | 102 | 103 |
| Quad4 | 139 | 6 | 4 | 234 | 235 | 101 | 102 |
| Quad4 | 140 | 6 | 4 | 101 | 235 | 204 | 8 |
| Quad4 | 141 | 6 | 4 | 235 | 236 | 205 | 204 |
| Quad4 | 142 | 6 | 4 | 236 | 237 | 206 | 205 |
| Quad4 | 143 | 6 | 4 | 237 | 238 | 207 | 206 |
| Quad4 | 144 | 6 | 4 | 238 | 239 | 208 | 207 |
| Quad4 | 145 | 6 | 4 | 239 | 240 | 209 | 208 |
| Quad4 | 146 | 6 | 4 | 240 | 241 | 210 | 209 |

| Relazione di calcolo spalle | | | | | | | | COMMESSA NM25 | LOTTO 03 D 26 | CODIFICA CL | DOCUMENTO IV 37 04 001 | REV. A | FOGLIO 199 di 439 |
|-----------------------------|--|--|--|--|--|--|--|------------------|------------------|----------------|---------------------------|-----------|----------------------|
|-----------------------------|--|--|--|--|--|--|--|------------------|------------------|----------------|---------------------------|-----------|----------------------|

| | | | | | | | |
|-------|-----|---|---|-----|-----|-----|-----|
| Quad4 | 147 | 6 | 4 | 241 | 242 | 211 | 210 |
| Quad4 | 148 | 6 | 4 | 242 | 243 | 212 | 211 |
| Quad4 | 149 | 6 | 4 | 243 | 244 | 213 | 212 |
| Quad4 | 150 | 6 | 4 | 244 | 245 | 214 | 213 |
| Quad4 | 151 | 6 | 4 | 245 | 246 | 215 | 214 |
| Quad4 | 152 | 6 | 4 | 246 | 247 | 216 | 215 |
| Quad4 | 153 | 6 | 4 | 247 | 248 | 217 | 216 |
| Quad4 | 154 | 6 | 4 | 248 | 249 | 218 | 217 |
| Quad4 | 155 | 6 | 4 | 249 | 250 | 219 | 218 |
| Quad4 | 156 | 6 | 4 | 219 | 250 | 170 | 169 |
| Quad4 | 157 | 6 | 4 | 250 | 251 | 171 | 170 |
| Quad4 | 158 | 6 | 4 | 251 | 252 | 172 | 171 |
| Quad4 | 159 | 6 | 4 | 252 | 253 | 173 | 172 |
| Quad4 | 160 | 6 | 4 | 253 | 254 | 174 | 173 |
| Quad4 | 161 | 6 | 4 | 254 | 255 | 175 | 174 |
| Quad4 | 162 | 6 | 4 | 255 | 256 | 176 | 175 |
| Quad4 | 163 | 6 | 4 | 256 | 257 | 177 | 176 |
| Quad4 | 164 | 6 | 4 | 257 | 258 | 178 | 177 |
| Quad4 | 165 | 6 | 4 | 258 | 259 | 179 | 178 |
| Quad4 | 166 | 6 | 4 | 259 | 260 | 180 | 179 |
| Quad4 | 167 | 6 | 4 | 260 | 261 | 181 | 180 |
| Quad4 | 168 | 6 | 4 | 261 | 262 | 182 | 181 |
| Quad4 | 169 | 6 | 4 | 262 | 263 | 183 | 182 |
| Quad4 | 170 | 6 | 4 | 263 | 264 | 184 | 183 |
| Quad4 | 171 | 6 | 4 | 264 | 265 | 185 | 184 |
| Quad4 | 172 | 6 | 4 | 265 | 266 | 186 | 185 |
| Quad4 | 173 | 6 | 4 | 186 | 266 | 188 | 187 |

| Relazione di calcolo spalle | | | | | | | | COMMESMA NM25 | LOTTO 03 D 26 | CODIFICA CL | DOCUMENTO IV 37 04 001 | REV. A | FOGLIO 200 di 439 |
|-----------------------------|--|--|--|--|--|--|--|------------------|------------------|----------------|---------------------------|-----------|----------------------|
|-----------------------------|--|--|--|--|--|--|--|------------------|------------------|----------------|---------------------------|-----------|----------------------|

| | | | | | | | |
|-------|-----|---|---|-----|-----|-----|-----|
| Quad4 | 174 | 6 | 4 | 266 | 267 | 189 | 188 |
| Quad4 | 175 | 6 | 4 | 267 | 268 | 190 | 189 |
| Quad4 | 176 | 6 | 4 | 268 | 269 | 191 | 190 |
| Quad4 | 177 | 6 | 4 | 269 | 270 | 192 | 191 |
| Quad4 | 178 | 6 | 4 | 270 | 271 | 193 | 192 |
| Quad4 | 179 | 6 | 4 | 271 | 272 | 194 | 193 |
| Quad4 | 180 | 6 | 4 | 272 | 273 | 195 | 194 |
| Quad4 | 181 | 6 | 4 | 273 | 274 | 196 | 195 |
| Quad4 | 182 | 6 | 4 | 274 | 275 | 197 | 196 |
| Quad4 | 183 | 6 | 4 | 275 | 276 | 198 | 197 |
| Quad4 | 184 | 6 | 4 | 276 | 277 | 199 | 198 |
| Quad4 | 185 | 6 | 4 | 277 | 278 | 200 | 199 |
| Quad4 | 186 | 6 | 4 | 278 | 279 | 201 | 200 |
| Quad4 | 187 | 6 | 4 | 279 | 280 | 202 | 201 |
| Quad4 | 188 | 6 | 4 | 202 | 280 | 220 | 203 |
| Quad4 | 189 | 6 | 4 | 234 | 281 | 236 | 235 |
| Quad4 | 190 | 6 | 4 | 281 | 282 | 237 | 236 |
| Quad4 | 191 | 6 | 4 | 282 | 283 | 238 | 237 |
| Quad4 | 192 | 6 | 4 | 283 | 284 | 239 | 238 |
| Quad4 | 193 | 6 | 4 | 284 | 285 | 240 | 239 |
| Quad4 | 194 | 6 | 4 | 285 | 286 | 241 | 240 |
| Quad4 | 195 | 6 | 4 | 286 | 287 | 242 | 241 |
| Quad4 | 196 | 6 | 4 | 287 | 288 | 243 | 242 |
| Quad4 | 197 | 6 | 4 | 288 | 289 | 244 | 243 |
| Quad4 | 198 | 6 | 4 | 289 | 290 | 245 | 244 |
| Quad4 | 199 | 6 | 4 | 290 | 291 | 246 | 245 |
| Quad4 | 200 | 6 | 4 | 291 | 292 | 247 | 246 |

Relazione di calcolo spalle

 COMMESSA
 NM25

 LOTTO
 03 D 26

 CODIFICA
 CL

 DOCUMENTO
 IV 37 04 001

 REV.
 A

 FOGLIO
 201 di 439

| | | | | | | | |
|-------|-----|---|---|-----|-----|-----|-----|
| Quad4 | 201 | 6 | 4 | 292 | 293 | 248 | 247 |
| Quad4 | 202 | 6 | 4 | 293 | 294 | 249 | 248 |
| Quad4 | 203 | 6 | 4 | 249 | 294 | 251 | 250 |
| Quad4 | 204 | 6 | 4 | 294 | 295 | 252 | 251 |
| Quad4 | 205 | 6 | 4 | 295 | 296 | 253 | 252 |
| Quad4 | 206 | 6 | 4 | 296 | 297 | 254 | 253 |
| Quad4 | 207 | 6 | 4 | 297 | 298 | 255 | 254 |
| Quad4 | 208 | 6 | 4 | 298 | 299 | 256 | 255 |
| Quad4 | 209 | 6 | 4 | 299 | 300 | 257 | 256 |
| Quad4 | 210 | 6 | 4 | 300 | 301 | 258 | 257 |
| Quad4 | 211 | 6 | 4 | 301 | 302 | 259 | 258 |
| Quad4 | 212 | 6 | 4 | 302 | 303 | 260 | 259 |
| Quad4 | 213 | 6 | 4 | 303 | 304 | 261 | 260 |
| Quad4 | 214 | 6 | 4 | 304 | 305 | 262 | 261 |
| Quad4 | 215 | 6 | 4 | 305 | 306 | 263 | 262 |
| Quad4 | 216 | 6 | 4 | 306 | 307 | 264 | 263 |
| Quad4 | 217 | 6 | 4 | 307 | 308 | 265 | 264 |
| Quad4 | 218 | 6 | 4 | 265 | 308 | 267 | 266 |
| Quad4 | 219 | 6 | 4 | 308 | 309 | 268 | 267 |
| Quad4 | 220 | 6 | 4 | 309 | 310 | 269 | 268 |
| Quad4 | 221 | 6 | 4 | 310 | 311 | 270 | 269 |
| Quad4 | 222 | 6 | 4 | 311 | 312 | 271 | 270 |
| Quad4 | 223 | 6 | 4 | 312 | 313 | 272 | 271 |
| Quad4 | 224 | 6 | 4 | 313 | 314 | 273 | 272 |
| Quad4 | 225 | 6 | 4 | 314 | 315 | 274 | 273 |
| Quad4 | 226 | 6 | 4 | 315 | 316 | 275 | 274 |
| Quad4 | 227 | 6 | 4 | 316 | 317 | 276 | 275 |

Relazione di calcolo spalle

COMMESSA
NM25

LOTTO
03 D 26

CODIFICA
CL

DOCUMENTO
IV 37 04 001

REV.
A

FOGLIO
202 di 439

| | | | | | | | |
|-------|-----|---|---|-----|-----|-----|-----|
| Quad4 | 228 | 6 | 4 | 317 | 318 | 277 | 276 |
| Quad4 | 229 | 6 | 4 | 318 | 319 | 278 | 277 |
| Quad4 | 230 | 6 | 4 | 319 | 320 | 279 | 278 |
| Quad4 | 231 | 6 | 4 | 320 | 321 | 280 | 279 |
| Quad4 | 232 | 6 | 4 | 280 | 321 | 221 | 220 |
| Quad4 | 233 | 6 | 4 | 321 | 322 | 222 | 221 |
| Quad4 | 234 | 6 | 4 | 322 | 323 | 223 | 222 |
| Quad4 | 235 | 6 | 4 | 323 | 324 | 224 | 223 |
| Quad4 | 236 | 6 | 4 | 324 | 325 | 225 | 224 |
| Quad4 | 237 | 6 | 4 | 325 | 326 | 226 | 225 |
| Quad4 | 238 | 6 | 4 | 326 | 327 | 227 | 226 |
| Quad4 | 239 | 6 | 4 | 327 | 328 | 228 | 227 |
| Quad4 | 240 | 6 | 4 | 328 | 329 | 229 | 228 |
| Quad4 | 241 | 6 | 4 | 329 | 330 | 230 | 229 |
| Quad4 | 242 | 6 | 4 | 330 | 331 | 231 | 230 |
| Quad4 | 243 | 6 | 4 | 331 | 332 | 232 | 231 |
| Quad4 | 244 | 6 | 4 | 332 | 333 | 233 | 232 |
| Quad4 | 245 | 6 | 4 | 233 | 333 | 281 | 234 |
| Quad4 | 246 | 6 | 4 | 320 | 334 | 322 | 321 |
| Quad4 | 247 | 6 | 4 | 334 | 335 | 323 | 322 |
| Quad4 | 248 | 6 | 4 | 335 | 336 | 324 | 323 |
| Quad4 | 249 | 6 | 4 | 336 | 337 | 325 | 324 |
| Quad4 | 250 | 6 | 4 | 337 | 338 | 326 | 325 |
| Quad4 | 251 | 6 | 4 | 338 | 339 | 327 | 326 |
| Quad4 | 252 | 6 | 4 | 339 | 340 | 328 | 327 |
| Quad4 | 253 | 6 | 4 | 340 | 341 | 329 | 328 |
| Quad4 | 254 | 6 | 4 | 341 | 342 | 330 | 329 |

| Relazione di calcolo spalle | COMMESSA NM25 | LOTTO 03 D 26 | CODIFICA CL | DOCUMENTO IV 37 04 001 | REV. A | FOGLIO 203 di 439 |
|-----------------------------|------------------|------------------|----------------|---------------------------|-----------|----------------------|
|-----------------------------|------------------|------------------|----------------|---------------------------|-----------|----------------------|

| | | | | | | | |
|-------|-----|---|---|-----|-----|-----|-----|
| Quad4 | 255 | 6 | 4 | 342 | 343 | 331 | 330 |
| Quad4 | 256 | 6 | 4 | 343 | 344 | 332 | 331 |
| Quad4 | 257 | 6 | 4 | 344 | 345 | 333 | 332 |
| Quad4 | 258 | 6 | 4 | 333 | 345 | 282 | 281 |
| Quad4 | 259 | 6 | 4 | 345 | 346 | 283 | 282 |
| Quad4 | 260 | 6 | 4 | 346 | 347 | 284 | 283 |
| Quad4 | 261 | 6 | 4 | 347 | 348 | 285 | 284 |
| Quad4 | 262 | 6 | 4 | 348 | 349 | 286 | 285 |
| Quad4 | 263 | 6 | 4 | 349 | 350 | 287 | 286 |
| Quad4 | 264 | 6 | 4 | 350 | 351 | 288 | 287 |
| Quad4 | 265 | 6 | 4 | 351 | 352 | 289 | 288 |
| Quad4 | 266 | 6 | 4 | 352 | 353 | 290 | 289 |
| Quad4 | 267 | 6 | 4 | 353 | 354 | 291 | 290 |
| Quad4 | 268 | 6 | 4 | 354 | 355 | 292 | 291 |
| Quad4 | 269 | 6 | 4 | 355 | 356 | 293 | 292 |
| Quad4 | 270 | 6 | 4 | 293 | 356 | 295 | 294 |
| Quad4 | 271 | 6 | 4 | 356 | 357 | 296 | 295 |
| Quad4 | 272 | 6 | 4 | 357 | 358 | 297 | 296 |
| Quad4 | 273 | 6 | 4 | 358 | 359 | 298 | 297 |
| Quad4 | 274 | 6 | 4 | 359 | 360 | 299 | 298 |
| Quad4 | 275 | 6 | 4 | 360 | 361 | 300 | 299 |
| Quad4 | 276 | 6 | 4 | 361 | 362 | 301 | 300 |
| Quad4 | 277 | 6 | 4 | 362 | 363 | 302 | 301 |
| Quad4 | 278 | 6 | 4 | 363 | 364 | 303 | 302 |
| Quad4 | 279 | 6 | 4 | 364 | 365 | 304 | 303 |
| Quad4 | 280 | 6 | 4 | 365 | 366 | 305 | 304 |
| Quad4 | 281 | 6 | 4 | 366 | 367 | 306 | 305 |

| Relazione di calcolo spalle | COMMESSA NM25 | LOTTO 03 D 26 | CODIFICA CL | DOCUMENTO IV 37 04 001 | REV. A | FOGLIO 204 di 439 |
|-----------------------------|------------------|------------------|----------------|---------------------------|-----------|----------------------|
|-----------------------------|------------------|------------------|----------------|---------------------------|-----------|----------------------|

| | | | | | | | |
|-------|-----|---|---|-----|-----|-----|-----|
| Quad4 | 282 | 6 | 4 | 367 | 368 | 307 | 306 |
| Quad4 | 283 | 6 | 4 | 307 | 368 | 309 | 308 |
| Quad4 | 284 | 6 | 4 | 368 | 369 | 310 | 309 |
| Quad4 | 285 | 6 | 4 | 369 | 370 | 311 | 310 |
| Quad4 | 286 | 6 | 4 | 370 | 371 | 312 | 311 |
| Quad4 | 287 | 6 | 4 | 371 | 372 | 313 | 312 |
| Quad4 | 288 | 6 | 4 | 372 | 373 | 314 | 313 |
| Quad4 | 289 | 6 | 4 | 373 | 374 | 315 | 314 |
| Quad4 | 290 | 6 | 4 | 374 | 375 | 316 | 315 |
| Quad4 | 291 | 6 | 4 | 375 | 376 | 317 | 316 |
| Quad4 | 292 | 6 | 4 | 376 | 377 | 318 | 317 |
| Quad4 | 293 | 6 | 4 | 377 | 378 | 319 | 318 |
| Quad4 | 294 | 6 | 4 | 319 | 378 | 334 | 320 |
| Quad4 | 295 | 6 | 4 | 344 | 379 | 346 | 345 |
| Quad4 | 296 | 6 | 4 | 379 | 380 | 347 | 346 |
| Quad4 | 297 | 6 | 4 | 380 | 381 | 348 | 347 |
| Quad4 | 298 | 6 | 4 | 381 | 382 | 349 | 348 |
| Quad4 | 299 | 6 | 4 | 382 | 383 | 350 | 349 |
| Quad4 | 300 | 6 | 4 | 383 | 384 | 351 | 350 |
| Quad4 | 301 | 6 | 4 | 384 | 385 | 352 | 351 |
| Quad4 | 302 | 6 | 4 | 385 | 386 | 353 | 352 |
| Quad4 | 303 | 6 | 4 | 386 | 387 | 354 | 353 |
| Quad4 | 304 | 6 | 4 | 387 | 388 | 355 | 354 |
| Quad4 | 305 | 6 | 4 | 355 | 388 | 357 | 356 |
| Quad4 | 306 | 6 | 4 | 388 | 389 | 358 | 357 |
| Quad4 | 307 | 6 | 4 | 389 | 390 | 359 | 358 |
| Quad4 | 308 | 6 | 4 | 390 | 391 | 360 | 359 |

| Relazione di calcolo spalle | | | | | | | | COMMESSA NM25 | LOTTO 03 D 26 | CODIFICA CL | DOCUMENTO IV 37 04 001 | REV. A | FOGLIO 205 di 439 |
|-----------------------------|--|--|--|--|--|--|--|------------------|------------------|----------------|---------------------------|-----------|----------------------|
|-----------------------------|--|--|--|--|--|--|--|------------------|------------------|----------------|---------------------------|-----------|----------------------|

| | | | | | | | |
|-------|-----|---|---|-----|-----|-----|-----|
| Quad4 | 309 | 6 | 4 | 391 | 392 | 361 | 360 |
| Quad4 | 310 | 6 | 4 | 392 | 393 | 362 | 361 |
| Quad4 | 311 | 6 | 4 | 393 | 394 | 363 | 362 |
| Quad4 | 312 | 6 | 4 | 394 | 395 | 364 | 363 |
| Quad4 | 313 | 6 | 4 | 395 | 396 | 365 | 364 |
| Quad4 | 314 | 6 | 4 | 396 | 397 | 366 | 365 |
| Quad4 | 315 | 6 | 4 | 397 | 398 | 367 | 366 |
| Quad4 | 316 | 6 | 4 | 367 | 398 | 369 | 368 |
| Quad4 | 317 | 6 | 4 | 398 | 399 | 370 | 369 |
| Quad4 | 318 | 6 | 4 | 399 | 400 | 371 | 370 |
| Quad4 | 319 | 6 | 4 | 400 | 401 | 372 | 371 |
| Quad4 | 320 | 6 | 4 | 401 | 402 | 373 | 372 |
| Quad4 | 321 | 6 | 4 | 402 | 403 | 374 | 373 |
| Quad4 | 322 | 6 | 4 | 403 | 404 | 375 | 374 |
| Quad4 | 323 | 6 | 4 | 404 | 405 | 376 | 375 |
| Quad4 | 324 | 6 | 4 | 405 | 406 | 377 | 376 |
| Quad4 | 325 | 6 | 4 | 406 | 407 | 378 | 377 |
| Quad4 | 326 | 6 | 4 | 378 | 407 | 335 | 334 |
| Quad4 | 327 | 6 | 4 | 407 | 408 | 336 | 335 |
| Quad4 | 328 | 6 | 4 | 408 | 409 | 337 | 336 |
| Quad4 | 329 | 6 | 4 | 409 | 410 | 338 | 337 |
| Quad4 | 330 | 6 | 4 | 410 | 411 | 339 | 338 |
| Quad4 | 331 | 6 | 4 | 411 | 412 | 340 | 339 |
| Quad4 | 332 | 6 | 4 | 412 | 413 | 341 | 340 |
| Quad4 | 333 | 6 | 4 | 413 | 414 | 342 | 341 |
| Quad4 | 334 | 6 | 4 | 414 | 415 | 343 | 342 |
| Quad4 | 335 | 6 | 4 | 343 | 415 | 379 | 344 |

| Relazione di calcolo spalle | | | | | | | | COMMESSA NM25 | LOTTO 03 D 26 | CODIFICA CL | DOCUMENTO IV 37 04 001 | REV. A | FOGLIO 206 di 439 |
|-----------------------------|--|--|--|--|--|--|--|------------------|------------------|----------------|---------------------------|-----------|----------------------|
|-----------------------------|--|--|--|--|--|--|--|------------------|------------------|----------------|---------------------------|-----------|----------------------|

| | | | | | | | |
|-------|-----|---|---|-----|-----|-----|-----|
| Quad4 | 336 | 6 | 4 | 415 | 416 | 380 | 379 |
| Quad4 | 337 | 6 | 4 | 416 | 417 | 381 | 380 |
| Quad4 | 338 | 6 | 4 | 417 | 418 | 382 | 381 |
| Quad4 | 339 | 6 | 4 | 418 | 419 | 383 | 382 |
| Quad4 | 340 | 6 | 4 | 419 | 420 | 384 | 383 |
| Quad4 | 341 | 6 | 4 | 420 | 421 | 385 | 384 |
| Quad4 | 342 | 6 | 4 | 421 | 422 | 386 | 385 |
| Quad4 | 343 | 6 | 4 | 422 | 423 | 387 | 386 |
| Quad4 | 344 | 6 | 4 | 387 | 423 | 389 | 388 |
| Quad4 | 345 | 6 | 4 | 423 | 424 | 390 | 389 |
| Quad4 | 346 | 6 | 4 | 424 | 425 | 391 | 390 |
| Quad4 | 347 | 6 | 4 | 425 | 426 | 392 | 391 |
| Quad4 | 348 | 6 | 4 | 426 | 427 | 393 | 392 |
| Quad4 | 349 | 6 | 4 | 427 | 428 | 394 | 393 |
| Quad4 | 350 | 6 | 4 | 428 | 429 | 395 | 394 |
| Quad4 | 351 | 6 | 4 | 429 | 430 | 396 | 395 |
| Quad4 | 352 | 6 | 4 | 430 | 431 | 397 | 396 |
| Quad4 | 353 | 6 | 4 | 397 | 431 | 399 | 398 |
| Quad4 | 354 | 6 | 4 | 431 | 432 | 400 | 399 |
| Quad4 | 355 | 6 | 4 | 432 | 433 | 401 | 400 |
| Quad4 | 356 | 6 | 4 | 433 | 434 | 402 | 401 |
| Quad4 | 357 | 6 | 4 | 434 | 435 | 403 | 402 |
| Quad4 | 358 | 6 | 4 | 435 | 436 | 404 | 403 |
| Quad4 | 359 | 6 | 4 | 436 | 437 | 405 | 404 |
| Quad4 | 360 | 6 | 4 | 437 | 438 | 406 | 405 |
| Quad4 | 361 | 6 | 4 | 406 | 438 | 408 | 407 |
| Quad4 | 362 | 6 | 4 | 438 | 439 | 409 | 408 |

| Relazione di calcolo spalle | | | | | | | | COMMESSA NM25 | LOTTO 03 D 26 | CODIFICA CL | DOCUMENTO IV 37 04 001 | REV. A | FOGLIO 207 di 439 |
|-----------------------------|--|--|--|--|--|--|--|------------------|------------------|----------------|---------------------------|-----------|----------------------|
|-----------------------------|--|--|--|--|--|--|--|------------------|------------------|----------------|---------------------------|-----------|----------------------|

| | | | | | | | |
|-------|-----|---|---|-----|-----|-----|-----|
| Quad4 | 363 | 6 | 4 | 439 | 440 | 410 | 409 |
| Quad4 | 364 | 6 | 4 | 440 | 441 | 411 | 410 |
| Quad4 | 365 | 6 | 4 | 441 | 442 | 412 | 411 |
| Quad4 | 366 | 6 | 4 | 442 | 443 | 413 | 412 |
| Quad4 | 367 | 6 | 4 | 443 | 444 | 414 | 413 |
| Quad4 | 368 | 6 | 4 | 414 | 444 | 416 | 415 |
| Quad4 | 369 | 6 | 4 | 437 | 445 | 439 | 438 |
| Quad4 | 370 | 6 | 4 | 445 | 446 | 440 | 439 |
| Quad4 | 371 | 6 | 4 | 446 | 447 | 441 | 440 |
| Quad4 | 372 | 6 | 4 | 447 | 448 | 442 | 441 |
| Quad4 | 373 | 6 | 4 | 448 | 449 | 443 | 442 |
| Quad4 | 374 | 6 | 4 | 449 | 450 | 444 | 443 |
| Quad4 | 375 | 6 | 4 | 444 | 450 | 417 | 416 |
| Quad4 | 376 | 6 | 4 | 450 | 451 | 418 | 417 |
| Quad4 | 377 | 6 | 4 | 451 | 452 | 419 | 418 |
| Quad4 | 378 | 6 | 4 | 452 | 453 | 420 | 419 |
| Quad4 | 379 | 6 | 4 | 453 | 454 | 421 | 420 |
| Quad4 | 380 | 6 | 4 | 454 | 455 | 422 | 421 |
| Quad4 | 381 | 6 | 4 | 422 | 455 | 424 | 423 |
| Quad4 | 382 | 6 | 4 | 455 | 456 | 425 | 424 |
| Quad4 | 383 | 6 | 4 | 456 | 457 | 426 | 425 |
| Quad4 | 384 | 6 | 4 | 457 | 458 | 427 | 426 |
| Quad4 | 385 | 6 | 4 | 458 | 459 | 428 | 427 |
| Quad4 | 386 | 6 | 4 | 459 | 460 | 429 | 428 |
| Quad4 | 387 | 6 | 4 | 460 | 461 | 430 | 429 |
| Quad4 | 388 | 6 | 4 | 430 | 461 | 432 | 431 |
| Quad4 | 389 | 6 | 4 | 461 | 462 | 433 | 432 |

| Relazione di calcolo spalle | | | | | | | | COMMESSA NM25 | LOTTO 03 D 26 | CODIFICA CL | DOCUMENTO IV 37 04 001 | REV. A | FOGLIO 208 di 439 |
|-----------------------------|--|--|--|--|--|--|--|------------------|------------------|----------------|---------------------------|-----------|----------------------|
|-----------------------------|--|--|--|--|--|--|--|------------------|------------------|----------------|---------------------------|-----------|----------------------|

| | | | | | | | |
|-------|-----|---|---|-----|-----|-----|-----|
| Quad4 | 390 | 6 | 4 | 462 | 463 | 434 | 433 |
| Quad4 | 391 | 6 | 4 | 463 | 464 | 435 | 434 |
| Quad4 | 392 | 6 | 4 | 464 | 465 | 436 | 435 |
| Quad4 | 393 | 6 | 4 | 436 | 465 | 445 | 437 |
| Quad4 | 394 | 6 | 4 | 449 | 466 | 451 | 450 |
| Quad4 | 395 | 6 | 4 | 466 | 467 | 452 | 451 |
| Quad4 | 396 | 6 | 4 | 467 | 468 | 453 | 452 |
| Quad4 | 397 | 6 | 4 | 468 | 469 | 454 | 453 |
| Quad4 | 398 | 6 | 4 | 454 | 469 | 456 | 455 |
| Quad4 | 399 | 6 | 4 | 469 | 470 | 457 | 456 |
| Quad4 | 400 | 6 | 4 | 470 | 471 | 458 | 457 |
| Quad4 | 401 | 6 | 4 | 471 | 472 | 459 | 458 |
| Quad4 | 402 | 6 | 4 | 472 | 473 | 460 | 459 |
| Quad4 | 403 | 6 | 4 | 460 | 473 | 462 | 461 |
| Quad4 | 404 | 6 | 4 | 473 | 474 | 463 | 462 |
| Quad4 | 405 | 6 | 4 | 474 | 475 | 464 | 463 |
| Quad4 | 406 | 6 | 4 | 475 | 476 | 465 | 464 |
| Quad4 | 407 | 6 | 4 | 465 | 476 | 446 | 445 |
| Quad4 | 408 | 6 | 4 | 446 | 476 | 477 | 447 |
| Quad4 | 409 | 6 | 4 | 478 | 448 | 447 | 477 |
| Quad4 | 410 | 6 | 4 | 478 | 466 | 449 | 448 |
| Quad4 | 411 | 6 | 4 | 478 | 479 | 467 | 466 |
| Quad4 | 412 | 6 | 4 | 479 | 480 | 468 | 467 |
| Quad4 | 413 | 6 | 4 | 468 | 480 | 470 | 469 |
| Quad4 | 414 | 6 | 4 | 480 | 481 | 471 | 470 |
| Quad4 | 415 | 6 | 4 | 481 | 482 | 472 | 471 |
| Quad4 | 416 | 6 | 4 | 472 | 482 | 474 | 473 |

| Relazione di calcolo spalle | | | | | | | | COMMESSA NM25 | LOTTO 03 D 26 | CODIFICA CL | DOCUMENTO IV 37 04 001 | REV. A | FOGLIO 209 di 439 |
|-----------------------------|--|--|--|--|--|--|--|------------------|------------------|----------------|---------------------------|-----------|----------------------|
|-----------------------------|--|--|--|--|--|--|--|------------------|------------------|----------------|---------------------------|-----------|----------------------|

| | | | | | | | |
|-------|-----|---|---|-----|-----|-----|-----|
| Quad4 | 417 | 6 | 4 | 474 | 482 | 483 | 475 |
| Quad4 | 418 | 6 | 4 | 477 | 476 | 475 | 483 |
| Quad4 | 419 | 6 | 4 | 484 | 481 | 480 | 479 |
| Quad4 | 420 | 6 | 4 | 483 | 482 | 481 | 484 |
| Tri3 | 421 | 6 | 4 | 477 | 483 | 478 | |
| Quad4 | 422 | 6 | 4 | 484 | 479 | 478 | 483 |
| Quad4 | 423 | 4 | 2 | 507 | 508 | 486 | 485 |
| Quad4 | 424 | 4 | 2 | 508 | 509 | 487 | 486 |
| Quad4 | 425 | 4 | 2 | 509 | 510 | 488 | 487 |
| Quad4 | 426 | 4 | 2 | 510 | 511 | 489 | 488 |
| Quad4 | 427 | 4 | 2 | 511 | 512 | 490 | 489 |
| Quad4 | 428 | 4 | 2 | 512 | 513 | 491 | 490 |
| Quad4 | 429 | 4 | 2 | 491 | 513 | 219 | 169 |
| Quad4 | 430 | 4 | 2 | 506 | 514 | 508 | 507 |
| Quad4 | 431 | 4 | 2 | 514 | 515 | 509 | 508 |
| Quad4 | 432 | 4 | 2 | 515 | 516 | 510 | 509 |
| Quad4 | 433 | 4 | 2 | 516 | 517 | 511 | 510 |
| Quad4 | 434 | 4 | 2 | 517 | 518 | 512 | 511 |
| Quad4 | 435 | 4 | 2 | 518 | 519 | 513 | 512 |
| Quad4 | 436 | 4 | 2 | 513 | 519 | 218 | 219 |
| Quad4 | 437 | 4 | 2 | 505 | 520 | 514 | 506 |
| Quad4 | 438 | 4 | 2 | 520 | 521 | 515 | 514 |
| Quad4 | 439 | 4 | 2 | 521 | 522 | 516 | 515 |
| Quad4 | 440 | 4 | 2 | 522 | 523 | 517 | 516 |
| Quad4 | 441 | 4 | 2 | 523 | 524 | 518 | 517 |
| Quad4 | 442 | 4 | 2 | 524 | 525 | 519 | 518 |
| Quad4 | 443 | 4 | 2 | 519 | 525 | 217 | 218 |

| Relazione di calcolo spalle | COMMESSA NM25 | LOTTO 03 D 26 | CODIFICA CL | DOCUMENTO IV 37 04 001 | REV. A | FOGLIO 210 di 439 |
|-----------------------------|------------------|------------------|----------------|---------------------------|-----------|----------------------|
|-----------------------------|------------------|------------------|----------------|---------------------------|-----------|----------------------|

| | | | | | | | |
|-------|-----|---|---|-----|-----|-----|-----|
| Quad4 | 444 | 4 | 2 | 504 | 526 | 520 | 505 |
| Quad4 | 445 | 4 | 2 | 526 | 527 | 521 | 520 |
| Quad4 | 446 | 4 | 2 | 527 | 528 | 522 | 521 |
| Quad4 | 447 | 4 | 2 | 528 | 529 | 523 | 522 |
| Quad4 | 448 | 4 | 2 | 529 | 530 | 524 | 523 |
| Quad4 | 449 | 4 | 2 | 530 | 531 | 525 | 524 |
| Quad4 | 450 | 4 | 2 | 525 | 531 | 216 | 217 |
| Quad4 | 451 | 4 | 2 | 503 | 532 | 526 | 504 |
| Quad4 | 452 | 4 | 2 | 532 | 533 | 527 | 526 |
| Quad4 | 453 | 4 | 2 | 533 | 534 | 528 | 527 |
| Quad4 | 454 | 4 | 2 | 534 | 535 | 529 | 528 |
| Quad4 | 455 | 4 | 2 | 535 | 536 | 530 | 529 |
| Quad4 | 456 | 4 | 2 | 536 | 537 | 531 | 530 |
| Quad4 | 457 | 4 | 2 | 531 | 537 | 215 | 216 |
| Quad4 | 458 | 4 | 2 | 502 | 538 | 532 | 503 |
| Quad4 | 459 | 4 | 2 | 538 | 539 | 533 | 532 |
| Quad4 | 460 | 4 | 2 | 539 | 540 | 534 | 533 |
| Quad4 | 461 | 4 | 2 | 540 | 541 | 535 | 534 |
| Quad4 | 462 | 4 | 2 | 541 | 542 | 536 | 535 |
| Quad4 | 463 | 4 | 2 | 542 | 543 | 537 | 536 |
| Quad4 | 464 | 4 | 2 | 537 | 543 | 214 | 215 |
| Quad4 | 465 | 4 | 2 | 501 | 544 | 538 | 502 |
| Quad4 | 466 | 4 | 2 | 544 | 545 | 539 | 538 |
| Quad4 | 467 | 4 | 2 | 545 | 546 | 540 | 539 |
| Quad4 | 468 | 4 | 2 | 546 | 547 | 541 | 540 |
| Quad4 | 469 | 4 | 2 | 547 | 548 | 542 | 541 |
| Quad4 | 470 | 4 | 2 | 548 | 549 | 543 | 542 |

| Relazione di calcolo spalle | | | | | | | | COMMESMA NM25 | LOTTO 03 D 26 | CODIFICA CL | DOCUMENTO IV 37 04 001 | REV. A | FOGLIO 211 di 439 |
|-----------------------------|--|--|--|--|--|--|--|------------------|------------------|----------------|---------------------------|-----------|----------------------|
|-----------------------------|--|--|--|--|--|--|--|------------------|------------------|----------------|---------------------------|-----------|----------------------|

| | | | | | | | |
|-------|-----|---|---|-----|-----|-----|-----|
| Quad4 | 471 | 4 | 2 | 543 | 549 | 213 | 214 |
| Quad4 | 472 | 4 | 2 | 500 | 550 | 544 | 501 |
| Quad4 | 473 | 4 | 2 | 550 | 551 | 545 | 544 |
| Quad4 | 474 | 4 | 2 | 551 | 552 | 546 | 545 |
| Quad4 | 475 | 4 | 2 | 552 | 553 | 547 | 546 |
| Quad4 | 476 | 4 | 2 | 553 | 554 | 548 | 547 |
| Quad4 | 477 | 4 | 2 | 554 | 555 | 549 | 548 |
| Quad4 | 478 | 4 | 2 | 549 | 555 | 212 | 213 |
| Quad4 | 479 | 4 | 2 | 499 | 556 | 550 | 500 |
| Quad4 | 480 | 4 | 2 | 556 | 557 | 551 | 550 |
| Quad4 | 481 | 4 | 2 | 557 | 558 | 552 | 551 |
| Quad4 | 482 | 4 | 2 | 558 | 559 | 553 | 552 |
| Quad4 | 483 | 4 | 2 | 559 | 560 | 554 | 553 |
| Quad4 | 484 | 4 | 2 | 560 | 561 | 555 | 554 |
| Quad4 | 485 | 4 | 2 | 555 | 561 | 211 | 212 |
| Quad4 | 486 | 4 | 2 | 498 | 562 | 556 | 499 |
| Quad4 | 487 | 4 | 2 | 562 | 563 | 557 | 556 |
| Quad4 | 488 | 4 | 2 | 563 | 564 | 558 | 557 |
| Quad4 | 489 | 4 | 2 | 564 | 565 | 559 | 558 |
| Quad4 | 490 | 4 | 2 | 565 | 566 | 560 | 559 |
| Quad4 | 491 | 4 | 2 | 566 | 567 | 561 | 560 |
| Quad4 | 492 | 4 | 2 | 561 | 567 | 210 | 211 |
| Quad4 | 493 | 4 | 2 | 497 | 568 | 562 | 498 |
| Quad4 | 494 | 4 | 2 | 568 | 569 | 563 | 562 |
| Quad4 | 495 | 4 | 2 | 569 | 570 | 564 | 563 |
| Quad4 | 496 | 4 | 2 | 570 | 571 | 565 | 564 |
| Quad4 | 497 | 4 | 2 | 571 | 572 | 566 | 565 |

| Relazione di calcolo spalle | | | | | | | | COMMESMA NM25 | LOTTO 03 D 26 | CODIFICA CL | DOCUMENTO IV 37 04 001 | REV. A | FOGLIO 212 di 439 |
|-----------------------------|--|--|--|--|--|--|--|------------------|------------------|----------------|---------------------------|-----------|----------------------|
|-----------------------------|--|--|--|--|--|--|--|------------------|------------------|----------------|---------------------------|-----------|----------------------|

| | | | | | | | |
|-------|-----|---|---|-----|-----|-----|-----|
| Quad4 | 498 | 4 | 2 | 572 | 573 | 567 | 566 |
| Quad4 | 499 | 4 | 2 | 567 | 573 | 209 | 210 |
| Quad4 | 500 | 4 | 2 | 496 | 574 | 568 | 497 |
| Quad4 | 501 | 4 | 2 | 574 | 575 | 569 | 568 |
| Quad4 | 502 | 4 | 2 | 575 | 576 | 570 | 569 |
| Quad4 | 503 | 4 | 2 | 576 | 577 | 571 | 570 |
| Quad4 | 504 | 4 | 2 | 577 | 578 | 572 | 571 |
| Quad4 | 505 | 4 | 2 | 578 | 579 | 573 | 572 |
| Quad4 | 506 | 4 | 2 | 573 | 579 | 208 | 209 |
| Quad4 | 507 | 4 | 2 | 495 | 580 | 574 | 496 |
| Quad4 | 508 | 4 | 2 | 580 | 581 | 575 | 574 |
| Quad4 | 509 | 4 | 2 | 581 | 582 | 576 | 575 |
| Quad4 | 510 | 4 | 2 | 582 | 583 | 577 | 576 |
| Quad4 | 511 | 4 | 2 | 583 | 584 | 578 | 577 |
| Quad4 | 512 | 4 | 2 | 584 | 585 | 579 | 578 |
| Quad4 | 513 | 4 | 2 | 579 | 585 | 207 | 208 |
| Quad4 | 514 | 4 | 2 | 494 | 586 | 580 | 495 |
| Quad4 | 515 | 4 | 2 | 586 | 587 | 581 | 580 |
| Quad4 | 516 | 4 | 2 | 587 | 588 | 582 | 581 |
| Quad4 | 517 | 4 | 2 | 588 | 589 | 583 | 582 |
| Quad4 | 518 | 4 | 2 | 589 | 590 | 584 | 583 |
| Quad4 | 519 | 4 | 2 | 590 | 591 | 585 | 584 |
| Quad4 | 520 | 4 | 2 | 585 | 591 | 206 | 207 |
| Quad4 | 521 | 4 | 2 | 493 | 592 | 586 | 494 |
| Quad4 | 522 | 4 | 2 | 592 | 593 | 587 | 586 |
| Quad4 | 523 | 4 | 2 | 593 | 594 | 588 | 587 |
| Quad4 | 524 | 4 | 2 | 594 | 595 | 589 | 588 |

| Relazione di calcolo spalle | | | | | | | | COMMESMA NM25 | LOTTO 03 D 26 | CODIFICA CL | DOCUMENTO IV 37 04 001 | REV. A | FOGLIO 213 di 439 |
|-----------------------------|--|--|--|--|--|--|--|------------------|------------------|----------------|---------------------------|-----------|----------------------|
|-----------------------------|--|--|--|--|--|--|--|------------------|------------------|----------------|---------------------------|-----------|----------------------|

| | | | | | | | |
|-------|-----|---|---|-----|-----|-----|-----|
| Quad4 | 525 | 4 | 2 | 595 | 596 | 590 | 589 |
| Quad4 | 526 | 4 | 2 | 596 | 597 | 591 | 590 |
| Quad4 | 527 | 4 | 2 | 591 | 597 | 205 | 206 |
| Quad4 | 528 | 4 | 2 | 492 | 598 | 592 | 493 |
| Quad4 | 529 | 4 | 2 | 598 | 599 | 593 | 592 |
| Quad4 | 530 | 4 | 2 | 599 | 600 | 594 | 593 |
| Quad4 | 531 | 4 | 2 | 600 | 601 | 595 | 594 |
| Quad4 | 532 | 4 | 2 | 601 | 602 | 596 | 595 |
| Quad4 | 533 | 4 | 2 | 602 | 603 | 597 | 596 |
| Quad4 | 534 | 4 | 2 | 597 | 603 | 204 | 205 |
| Quad4 | 535 | 4 | 2 | 2 | 598 | 492 | 1 |
| Quad4 | 536 | 4 | 2 | 3 | 599 | 598 | 2 |
| Quad4 | 537 | 4 | 2 | 4 | 600 | 599 | 3 |
| Quad4 | 538 | 4 | 2 | 5 | 601 | 600 | 4 |
| Quad4 | 539 | 4 | 2 | 6 | 602 | 601 | 5 |
| Quad4 | 540 | 4 | 2 | 7 | 603 | 602 | 6 |
| Quad4 | 541 | 4 | 2 | 204 | 603 | 7 | 8 |
| Quad4 | 542 | 6 | 4 | 492 | 638 | 49 | 1 |
| Quad4 | 543 | 6 | 4 | 638 | 639 | 48 | 49 |
| Quad4 | 544 | 6 | 4 | 639 | 640 | 47 | 48 |
| Quad4 | 545 | 6 | 4 | 640 | 641 | 46 | 47 |
| Quad4 | 546 | 6 | 4 | 641 | 642 | 45 | 46 |
| Quad4 | 547 | 6 | 4 | 642 | 643 | 44 | 45 |
| Quad4 | 548 | 6 | 4 | 643 | 644 | 43 | 44 |
| Quad4 | 549 | 6 | 4 | 644 | 645 | 42 | 43 |
| Quad4 | 550 | 6 | 4 | 645 | 646 | 41 | 42 |
| Quad4 | 551 | 6 | 4 | 646 | 647 | 40 | 41 |

| Relazione di calcolo spalle | | | | | | | | COMMESMA NM25 | LOTTO 03 D 26 | CODIFICA CL | DOCUMENTO IV 37 04 001 | REV. A | FOGLIO 214 di 439 |
|-----------------------------|--|--|--|--|--|--|--|------------------|------------------|----------------|---------------------------|-----------|----------------------|
|-----------------------------|--|--|--|--|--|--|--|------------------|------------------|----------------|---------------------------|-----------|----------------------|

| | | | | | | | |
|-------|-----|---|---|-----|-----|-----|-----|
| Quad4 | 552 | 6 | 4 | 647 | 648 | 39 | 40 |
| Quad4 | 553 | 6 | 4 | 648 | 649 | 38 | 39 |
| Quad4 | 554 | 6 | 4 | 649 | 650 | 37 | 38 |
| Quad4 | 555 | 6 | 4 | 650 | 651 | 36 | 37 |
| Quad4 | 556 | 6 | 4 | 651 | 652 | 35 | 36 |
| Quad4 | 557 | 6 | 4 | 652 | 653 | 34 | 35 |
| Quad4 | 558 | 6 | 4 | 34 | 653 | 622 | 33 |
| Quad4 | 559 | 6 | 4 | 653 | 654 | 623 | 622 |
| Quad4 | 560 | 6 | 4 | 654 | 655 | 624 | 623 |
| Quad4 | 561 | 6 | 4 | 655 | 656 | 625 | 624 |
| Quad4 | 562 | 6 | 4 | 656 | 657 | 626 | 625 |
| Quad4 | 563 | 6 | 4 | 657 | 658 | 627 | 626 |
| Quad4 | 564 | 6 | 4 | 658 | 659 | 628 | 627 |
| Quad4 | 565 | 6 | 4 | 659 | 660 | 629 | 628 |
| Quad4 | 566 | 6 | 4 | 660 | 661 | 630 | 629 |
| Quad4 | 567 | 6 | 4 | 661 | 662 | 631 | 630 |
| Quad4 | 568 | 6 | 4 | 662 | 663 | 632 | 631 |
| Quad4 | 569 | 6 | 4 | 663 | 664 | 633 | 632 |
| Quad4 | 570 | 6 | 4 | 664 | 665 | 634 | 633 |
| Quad4 | 571 | 6 | 4 | 665 | 666 | 635 | 634 |
| Quad4 | 572 | 6 | 4 | 666 | 667 | 636 | 635 |
| Quad4 | 573 | 6 | 4 | 667 | 668 | 637 | 636 |
| Quad4 | 574 | 6 | 4 | 637 | 668 | 605 | 604 |
| Quad4 | 575 | 6 | 4 | 668 | 669 | 606 | 605 |
| Quad4 | 576 | 6 | 4 | 669 | 670 | 607 | 606 |
| Quad4 | 577 | 6 | 4 | 670 | 671 | 608 | 607 |
| Quad4 | 578 | 6 | 4 | 671 | 672 | 609 | 608 |

| Relazione di calcolo spalle | | | | | | | | COMMESMA NM25 | LOTTO 03 D 26 | CODIFICA CL | DOCUMENTO IV 37 04 001 | REV. A | FOGLIO 215 di 439 |
|-----------------------------|--|--|--|--|--|--|--|------------------|------------------|----------------|---------------------------|-----------|----------------------|
|-----------------------------|--|--|--|--|--|--|--|------------------|------------------|----------------|---------------------------|-----------|----------------------|

| | | | | | | | |
|-------|-----|---|---|-----|-----|-----|-----|
| Quad4 | 579 | 6 | 4 | 672 | 673 | 610 | 609 |
| Quad4 | 580 | 6 | 4 | 673 | 674 | 611 | 610 |
| Quad4 | 581 | 6 | 4 | 674 | 675 | 612 | 611 |
| Quad4 | 582 | 6 | 4 | 675 | 676 | 613 | 612 |
| Quad4 | 583 | 6 | 4 | 676 | 677 | 614 | 613 |
| Quad4 | 584 | 6 | 4 | 677 | 678 | 615 | 614 |
| Quad4 | 585 | 6 | 4 | 678 | 679 | 616 | 615 |
| Quad4 | 586 | 6 | 4 | 679 | 680 | 617 | 616 |
| Quad4 | 587 | 6 | 4 | 680 | 681 | 618 | 617 |
| Quad4 | 588 | 6 | 4 | 681 | 682 | 619 | 618 |
| Quad4 | 589 | 6 | 4 | 682 | 683 | 620 | 619 |
| Quad4 | 590 | 6 | 4 | 683 | 684 | 621 | 620 |
| Quad4 | 591 | 6 | 4 | 621 | 684 | 507 | 485 |
| Quad4 | 592 | 6 | 4 | 684 | 685 | 506 | 507 |
| Quad4 | 593 | 6 | 4 | 685 | 686 | 505 | 506 |
| Quad4 | 594 | 6 | 4 | 686 | 687 | 504 | 505 |
| Quad4 | 595 | 6 | 4 | 687 | 688 | 503 | 504 |
| Quad4 | 596 | 6 | 4 | 688 | 689 | 502 | 503 |
| Quad4 | 597 | 6 | 4 | 689 | 690 | 501 | 502 |
| Quad4 | 598 | 6 | 4 | 690 | 691 | 500 | 501 |
| Quad4 | 599 | 6 | 4 | 691 | 692 | 499 | 500 |
| Quad4 | 600 | 6 | 4 | 692 | 693 | 498 | 499 |
| Quad4 | 601 | 6 | 4 | 693 | 694 | 497 | 498 |
| Quad4 | 602 | 6 | 4 | 694 | 695 | 496 | 497 |
| Quad4 | 603 | 6 | 4 | 695 | 696 | 495 | 496 |
| Quad4 | 604 | 6 | 4 | 696 | 697 | 494 | 495 |
| Quad4 | 605 | 6 | 4 | 697 | 698 | 493 | 494 |

| Relazione di calcolo spalle | | | | | | | | COMMESMA NM25 | LOTTO 03 D 26 | CODIFICA CL | DOCUMENTO IV 37 04 001 | REV. A | FOGLIO 216 di 439 |
|-----------------------------|--|--|--|--|--|--|--|------------------|------------------|----------------|---------------------------|-----------|----------------------|
|-----------------------------|--|--|--|--|--|--|--|------------------|------------------|----------------|---------------------------|-----------|----------------------|

| | | | | | | | |
|-------|-----|---|---|-----|-----|-----|-----|
| Quad4 | 606 | 6 | 4 | 493 | 698 | 638 | 492 |
| Quad4 | 607 | 6 | 4 | 652 | 699 | 654 | 653 |
| Quad4 | 608 | 6 | 4 | 699 | 700 | 655 | 654 |
| Quad4 | 609 | 6 | 4 | 700 | 701 | 656 | 655 |
| Quad4 | 610 | 6 | 4 | 701 | 702 | 657 | 656 |
| Quad4 | 611 | 6 | 4 | 702 | 703 | 658 | 657 |
| Quad4 | 612 | 6 | 4 | 703 | 704 | 659 | 658 |
| Quad4 | 613 | 6 | 4 | 704 | 705 | 660 | 659 |
| Quad4 | 614 | 6 | 4 | 705 | 706 | 661 | 660 |
| Quad4 | 615 | 6 | 4 | 706 | 707 | 662 | 661 |
| Quad4 | 616 | 6 | 4 | 707 | 708 | 663 | 662 |
| Quad4 | 617 | 6 | 4 | 708 | 709 | 664 | 663 |
| Quad4 | 618 | 6 | 4 | 709 | 710 | 665 | 664 |
| Quad4 | 619 | 6 | 4 | 710 | 711 | 666 | 665 |
| Quad4 | 620 | 6 | 4 | 711 | 712 | 667 | 666 |
| Quad4 | 621 | 6 | 4 | 667 | 712 | 669 | 668 |
| Quad4 | 622 | 6 | 4 | 712 | 713 | 670 | 669 |
| Quad4 | 623 | 6 | 4 | 713 | 714 | 671 | 670 |
| Quad4 | 624 | 6 | 4 | 714 | 715 | 672 | 671 |
| Quad4 | 625 | 6 | 4 | 715 | 716 | 673 | 672 |
| Quad4 | 626 | 6 | 4 | 716 | 717 | 674 | 673 |
| Quad4 | 627 | 6 | 4 | 717 | 718 | 675 | 674 |
| Quad4 | 628 | 6 | 4 | 718 | 719 | 676 | 675 |
| Quad4 | 629 | 6 | 4 | 719 | 720 | 677 | 676 |
| Quad4 | 630 | 6 | 4 | 720 | 721 | 678 | 677 |
| Quad4 | 631 | 6 | 4 | 721 | 722 | 679 | 678 |
| Quad4 | 632 | 6 | 4 | 722 | 723 | 680 | 679 |

| Relazione di calcolo spalle | | | | | | | | COMMESMA NM25 | LOTTO 03 D 26 | CODIFICA CL | DOCUMENTO IV 37 04 001 | REV. A | FOGLIO 217 di 439 |
|-----------------------------|--|--|--|--|--|--|--|------------------|------------------|----------------|---------------------------|-----------|----------------------|
|-----------------------------|--|--|--|--|--|--|--|------------------|------------------|----------------|---------------------------|-----------|----------------------|

| | | | | | | | |
|-------|-----|---|---|-----|-----|-----|-----|
| Quad4 | 633 | 6 | 4 | 723 | 724 | 681 | 680 |
| Quad4 | 634 | 6 | 4 | 724 | 725 | 682 | 681 |
| Quad4 | 635 | 6 | 4 | 725 | 726 | 683 | 682 |
| Quad4 | 636 | 6 | 4 | 683 | 726 | 685 | 684 |
| Quad4 | 637 | 6 | 4 | 726 | 727 | 686 | 685 |
| Quad4 | 638 | 6 | 4 | 727 | 728 | 687 | 686 |
| Quad4 | 639 | 6 | 4 | 728 | 729 | 688 | 687 |
| Quad4 | 640 | 6 | 4 | 729 | 730 | 689 | 688 |
| Quad4 | 641 | 6 | 4 | 730 | 731 | 690 | 689 |
| Quad4 | 642 | 6 | 4 | 731 | 732 | 691 | 690 |
| Quad4 | 643 | 6 | 4 | 732 | 733 | 692 | 691 |
| Quad4 | 644 | 6 | 4 | 733 | 734 | 693 | 692 |
| Quad4 | 645 | 6 | 4 | 734 | 735 | 694 | 693 |
| Quad4 | 646 | 6 | 4 | 735 | 736 | 695 | 694 |
| Quad4 | 647 | 6 | 4 | 736 | 737 | 696 | 695 |
| Quad4 | 648 | 6 | 4 | 737 | 738 | 697 | 696 |
| Quad4 | 649 | 6 | 4 | 738 | 739 | 698 | 697 |
| Quad4 | 650 | 6 | 4 | 698 | 739 | 639 | 638 |
| Quad4 | 651 | 6 | 4 | 739 | 740 | 640 | 639 |
| Quad4 | 652 | 6 | 4 | 740 | 741 | 641 | 640 |
| Quad4 | 653 | 6 | 4 | 741 | 742 | 642 | 641 |
| Quad4 | 654 | 6 | 4 | 742 | 743 | 643 | 642 |
| Quad4 | 655 | 6 | 4 | 743 | 744 | 644 | 643 |
| Quad4 | 656 | 6 | 4 | 744 | 745 | 645 | 644 |
| Quad4 | 657 | 6 | 4 | 745 | 746 | 646 | 645 |
| Quad4 | 658 | 6 | 4 | 746 | 747 | 647 | 646 |
| Quad4 | 659 | 6 | 4 | 747 | 748 | 648 | 647 |

| Relazione di calcolo spalle | | | | | | | | COMMESSA NM25 | LOTTO 03 D 26 | CODIFICA CL | DOCUMENTO IV 37 04 001 | REV. A | FOGLIO 218 di 439 |
|-----------------------------|--|--|--|--|--|--|--|------------------|------------------|----------------|---------------------------|-----------|----------------------|
|-----------------------------|--|--|--|--|--|--|--|------------------|------------------|----------------|---------------------------|-----------|----------------------|

| | | | | | | | |
|-------|-----|---|---|-----|-----|-----|-----|
| Quad4 | 660 | 6 | 4 | 748 | 749 | 649 | 648 |
| Quad4 | 661 | 6 | 4 | 749 | 750 | 650 | 649 |
| Quad4 | 662 | 6 | 4 | 750 | 751 | 651 | 650 |
| Quad4 | 663 | 6 | 4 | 651 | 751 | 699 | 652 |
| Quad4 | 664 | 6 | 4 | 738 | 752 | 740 | 739 |
| Quad4 | 665 | 6 | 4 | 752 | 753 | 741 | 740 |
| Quad4 | 666 | 6 | 4 | 753 | 754 | 742 | 741 |
| Quad4 | 667 | 6 | 4 | 754 | 755 | 743 | 742 |
| Quad4 | 668 | 6 | 4 | 755 | 756 | 744 | 743 |
| Quad4 | 669 | 6 | 4 | 756 | 757 | 745 | 744 |
| Quad4 | 670 | 6 | 4 | 757 | 758 | 746 | 745 |
| Quad4 | 671 | 6 | 4 | 758 | 759 | 747 | 746 |
| Quad4 | 672 | 6 | 4 | 759 | 760 | 748 | 747 |
| Quad4 | 673 | 6 | 4 | 760 | 761 | 749 | 748 |
| Quad4 | 674 | 6 | 4 | 761 | 762 | 750 | 749 |
| Quad4 | 675 | 6 | 4 | 762 | 763 | 751 | 750 |
| Quad4 | 676 | 6 | 4 | 751 | 763 | 700 | 699 |
| Quad4 | 677 | 6 | 4 | 763 | 764 | 701 | 700 |
| Quad4 | 678 | 6 | 4 | 764 | 765 | 702 | 701 |
| Quad4 | 679 | 6 | 4 | 765 | 766 | 703 | 702 |
| Quad4 | 680 | 6 | 4 | 766 | 767 | 704 | 703 |
| Quad4 | 681 | 6 | 4 | 767 | 768 | 705 | 704 |
| Quad4 | 682 | 6 | 4 | 768 | 769 | 706 | 705 |
| Quad4 | 683 | 6 | 4 | 769 | 770 | 707 | 706 |
| Quad4 | 684 | 6 | 4 | 770 | 771 | 708 | 707 |
| Quad4 | 685 | 6 | 4 | 771 | 772 | 709 | 708 |
| Quad4 | 686 | 6 | 4 | 772 | 773 | 710 | 709 |

| Relazione di calcolo spalle | | | | | | | | COMMESSA NM25 | LOTTO 03 D 26 | CODIFICA CL | DOCUMENTO IV 37 04 001 | REV. A | FOGLIO 219 di 439 |
|-----------------------------|--|--|--|--|--|--|--|------------------|------------------|----------------|---------------------------|-----------|----------------------|
|-----------------------------|--|--|--|--|--|--|--|------------------|------------------|----------------|---------------------------|-----------|----------------------|

| | | | | | | | |
|-------|-----|---|---|-----|-----|-----|-----|
| Quad4 | 687 | 6 | 4 | 773 | 774 | 711 | 710 |
| Quad4 | 688 | 6 | 4 | 711 | 774 | 713 | 712 |
| Quad4 | 689 | 6 | 4 | 774 | 775 | 714 | 713 |
| Quad4 | 690 | 6 | 4 | 775 | 776 | 715 | 714 |
| Quad4 | 691 | 6 | 4 | 776 | 777 | 716 | 715 |
| Quad4 | 692 | 6 | 4 | 777 | 778 | 717 | 716 |
| Quad4 | 693 | 6 | 4 | 778 | 779 | 718 | 717 |
| Quad4 | 694 | 6 | 4 | 779 | 780 | 719 | 718 |
| Quad4 | 695 | 6 | 4 | 780 | 781 | 720 | 719 |
| Quad4 | 696 | 6 | 4 | 781 | 782 | 721 | 720 |
| Quad4 | 697 | 6 | 4 | 782 | 783 | 722 | 721 |
| Quad4 | 698 | 6 | 4 | 783 | 784 | 723 | 722 |
| Quad4 | 699 | 6 | 4 | 784 | 785 | 724 | 723 |
| Quad4 | 700 | 6 | 4 | 785 | 786 | 725 | 724 |
| Quad4 | 701 | 6 | 4 | 725 | 786 | 727 | 726 |
| Quad4 | 702 | 6 | 4 | 786 | 787 | 728 | 727 |
| Quad4 | 703 | 6 | 4 | 787 | 788 | 729 | 728 |
| Quad4 | 704 | 6 | 4 | 788 | 789 | 730 | 729 |
| Quad4 | 705 | 6 | 4 | 789 | 790 | 731 | 730 |
| Quad4 | 706 | 6 | 4 | 790 | 791 | 732 | 731 |
| Quad4 | 707 | 6 | 4 | 791 | 792 | 733 | 732 |
| Quad4 | 708 | 6 | 4 | 792 | 793 | 734 | 733 |
| Quad4 | 709 | 6 | 4 | 793 | 794 | 735 | 734 |
| Quad4 | 710 | 6 | 4 | 794 | 795 | 736 | 735 |
| Quad4 | 711 | 6 | 4 | 795 | 796 | 737 | 736 |
| Quad4 | 712 | 6 | 4 | 737 | 796 | 752 | 738 |
| Quad4 | 713 | 6 | 4 | 762 | 797 | 764 | 763 |

| Relazione di calcolo spalle | | | | | | | | COMMESSA NM25 | LOTTO 03 D 26 | CODIFICA CL | DOCUMENTO IV 37 04 001 | REV. A | FOGLIO 220 di 439 |
|-----------------------------|--|--|--|--|--|--|--|------------------|------------------|----------------|---------------------------|-----------|----------------------|
|-----------------------------|--|--|--|--|--|--|--|------------------|------------------|----------------|---------------------------|-----------|----------------------|

| | | | | | | | |
|-------|-----|---|---|-----|-----|-----|-----|
| Quad4 | 714 | 6 | 4 | 797 | 798 | 765 | 764 |
| Quad4 | 715 | 6 | 4 | 798 | 799 | 766 | 765 |
| Quad4 | 716 | 6 | 4 | 799 | 800 | 767 | 766 |
| Quad4 | 717 | 6 | 4 | 800 | 801 | 768 | 767 |
| Quad4 | 718 | 6 | 4 | 801 | 802 | 769 | 768 |
| Quad4 | 719 | 6 | 4 | 802 | 803 | 770 | 769 |
| Quad4 | 720 | 6 | 4 | 803 | 804 | 771 | 770 |
| Quad4 | 721 | 6 | 4 | 804 | 805 | 772 | 771 |
| Quad4 | 722 | 6 | 4 | 805 | 806 | 773 | 772 |
| Quad4 | 723 | 6 | 4 | 773 | 806 | 775 | 774 |
| Quad4 | 724 | 6 | 4 | 806 | 807 | 776 | 775 |
| Quad4 | 725 | 6 | 4 | 807 | 808 | 777 | 776 |
| Quad4 | 726 | 6 | 4 | 808 | 809 | 778 | 777 |
| Quad4 | 727 | 6 | 4 | 809 | 810 | 779 | 778 |
| Quad4 | 728 | 6 | 4 | 810 | 811 | 780 | 779 |
| Quad4 | 729 | 6 | 4 | 811 | 812 | 781 | 780 |
| Quad4 | 730 | 6 | 4 | 812 | 813 | 782 | 781 |
| Quad4 | 731 | 6 | 4 | 813 | 814 | 783 | 782 |
| Quad4 | 732 | 6 | 4 | 814 | 815 | 784 | 783 |
| Quad4 | 733 | 6 | 4 | 815 | 816 | 785 | 784 |
| Quad4 | 734 | 6 | 4 | 785 | 816 | 787 | 786 |
| Quad4 | 735 | 6 | 4 | 816 | 817 | 788 | 787 |
| Quad4 | 736 | 6 | 4 | 817 | 818 | 789 | 788 |
| Quad4 | 737 | 6 | 4 | 818 | 819 | 790 | 789 |
| Quad4 | 738 | 6 | 4 | 819 | 820 | 791 | 790 |
| Quad4 | 739 | 6 | 4 | 820 | 821 | 792 | 791 |
| Quad4 | 740 | 6 | 4 | 821 | 822 | 793 | 792 |

Relazione di calcolo spalle

COMMESSA
NM25LOTTO
03 D 26CODIFICA
CLDOCUMENTO
IV 37 04 001REV.
AFOGLIO
221 di 439

| | | | | | | | |
|-------|-----|---|---|-----|-----|-----|-----|
| Quad4 | 741 | 6 | 4 | 822 | 823 | 794 | 793 |
| Quad4 | 742 | 6 | 4 | 823 | 824 | 795 | 794 |
| Quad4 | 743 | 6 | 4 | 824 | 825 | 796 | 795 |
| Quad4 | 744 | 6 | 4 | 796 | 825 | 753 | 752 |
| Quad4 | 745 | 6 | 4 | 825 | 826 | 754 | 753 |
| Quad4 | 746 | 6 | 4 | 826 | 827 | 755 | 754 |
| Quad4 | 747 | 6 | 4 | 827 | 828 | 756 | 755 |
| Quad4 | 748 | 6 | 4 | 828 | 829 | 757 | 756 |
| Quad4 | 749 | 6 | 4 | 829 | 830 | 758 | 757 |
| Quad4 | 750 | 6 | 4 | 830 | 831 | 759 | 758 |
| Quad4 | 751 | 6 | 4 | 831 | 832 | 760 | 759 |
| Quad4 | 752 | 6 | 4 | 832 | 833 | 761 | 760 |
| Quad4 | 753 | 6 | 4 | 761 | 833 | 797 | 762 |
| Quad4 | 754 | 6 | 4 | 833 | 834 | 798 | 797 |
| Quad4 | 755 | 6 | 4 | 834 | 835 | 799 | 798 |
| Quad4 | 756 | 6 | 4 | 835 | 836 | 800 | 799 |
| Quad4 | 757 | 6 | 4 | 836 | 837 | 801 | 800 |
| Quad4 | 758 | 6 | 4 | 837 | 838 | 802 | 801 |
| Quad4 | 759 | 6 | 4 | 838 | 839 | 803 | 802 |
| Quad4 | 760 | 6 | 4 | 839 | 840 | 804 | 803 |
| Quad4 | 761 | 6 | 4 | 840 | 841 | 805 | 804 |
| Quad4 | 762 | 6 | 4 | 805 | 841 | 807 | 806 |
| Quad4 | 763 | 6 | 4 | 841 | 842 | 808 | 807 |
| Quad4 | 764 | 6 | 4 | 842 | 843 | 809 | 808 |
| Quad4 | 765 | 6 | 4 | 843 | 844 | 810 | 809 |
| Quad4 | 766 | 6 | 4 | 844 | 845 | 811 | 810 |
| Quad4 | 767 | 6 | 4 | 845 | 846 | 812 | 811 |

| Relazione di calcolo spalle | | | | | | | | COMMESSA NM25 | LOTTO 03 D 26 | CODIFICA CL | DOCUMENTO IV 37 04 001 | REV. A | FOGLIO 222 di 439 |
|-----------------------------|--|--|--|--|--|--|--|------------------|------------------|----------------|---------------------------|-----------|----------------------|
|-----------------------------|--|--|--|--|--|--|--|------------------|------------------|----------------|---------------------------|-----------|----------------------|

| | | | | | | | |
|-------|-----|---|---|-----|-----|-----|-----|
| Quad4 | 768 | 6 | 4 | 846 | 847 | 813 | 812 |
| Quad4 | 769 | 6 | 4 | 847 | 848 | 814 | 813 |
| Quad4 | 770 | 6 | 4 | 848 | 849 | 815 | 814 |
| Quad4 | 771 | 6 | 4 | 815 | 849 | 817 | 816 |
| Quad4 | 772 | 6 | 4 | 849 | 850 | 818 | 817 |
| Quad4 | 773 | 6 | 4 | 850 | 851 | 819 | 818 |
| Quad4 | 774 | 6 | 4 | 851 | 852 | 820 | 819 |
| Quad4 | 775 | 6 | 4 | 852 | 853 | 821 | 820 |
| Quad4 | 776 | 6 | 4 | 853 | 854 | 822 | 821 |
| Quad4 | 777 | 6 | 4 | 854 | 855 | 823 | 822 |
| Quad4 | 778 | 6 | 4 | 855 | 856 | 824 | 823 |
| Quad4 | 779 | 6 | 4 | 824 | 856 | 826 | 825 |
| Quad4 | 780 | 6 | 4 | 856 | 857 | 827 | 826 |
| Quad4 | 781 | 6 | 4 | 857 | 858 | 828 | 827 |
| Quad4 | 782 | 6 | 4 | 858 | 859 | 829 | 828 |
| Quad4 | 783 | 6 | 4 | 859 | 860 | 830 | 829 |
| Quad4 | 784 | 6 | 4 | 860 | 861 | 831 | 830 |
| Quad4 | 785 | 6 | 4 | 861 | 862 | 832 | 831 |
| Quad4 | 786 | 6 | 4 | 832 | 862 | 834 | 833 |
| Quad4 | 787 | 6 | 4 | 855 | 863 | 857 | 856 |
| Quad4 | 788 | 6 | 4 | 863 | 864 | 858 | 857 |
| Quad4 | 789 | 6 | 4 | 864 | 865 | 859 | 858 |
| Quad4 | 790 | 6 | 4 | 865 | 866 | 860 | 859 |
| Quad4 | 791 | 6 | 4 | 866 | 867 | 861 | 860 |
| Quad4 | 792 | 6 | 4 | 867 | 868 | 862 | 861 |
| Quad4 | 793 | 6 | 4 | 862 | 868 | 835 | 834 |
| Quad4 | 794 | 6 | 4 | 868 | 869 | 836 | 835 |

| Relazione di calcolo spalle | | | | | | | | COMMESMA NM25 | LOTTO 03 D 26 | CODIFICA CL | DOCUMENTO IV 37 04 001 | REV. A | FOGLIO 223 di 439 |
|-----------------------------|--|--|--|--|--|--|--|------------------|------------------|----------------|---------------------------|-----------|----------------------|
|-----------------------------|--|--|--|--|--|--|--|------------------|------------------|----------------|---------------------------|-----------|----------------------|

| | | | | | | | |
|-------|-----|---|---|-----|-----|-----|-----|
| Quad4 | 795 | 6 | 4 | 869 | 870 | 837 | 836 |
| Quad4 | 796 | 6 | 4 | 870 | 871 | 838 | 837 |
| Quad4 | 797 | 6 | 4 | 871 | 872 | 839 | 838 |
| Quad4 | 798 | 6 | 4 | 872 | 873 | 840 | 839 |
| Quad4 | 799 | 6 | 4 | 840 | 873 | 842 | 841 |
| Quad4 | 800 | 6 | 4 | 873 | 874 | 843 | 842 |
| Quad4 | 801 | 6 | 4 | 874 | 875 | 844 | 843 |
| Quad4 | 802 | 6 | 4 | 875 | 876 | 845 | 844 |
| Quad4 | 803 | 6 | 4 | 876 | 877 | 846 | 845 |
| Quad4 | 804 | 6 | 4 | 877 | 878 | 847 | 846 |
| Quad4 | 805 | 6 | 4 | 878 | 879 | 848 | 847 |
| Quad4 | 806 | 6 | 4 | 848 | 879 | 850 | 849 |
| Quad4 | 807 | 6 | 4 | 879 | 880 | 851 | 850 |
| Quad4 | 808 | 6 | 4 | 880 | 881 | 852 | 851 |
| Quad4 | 809 | 6 | 4 | 881 | 882 | 853 | 852 |
| Quad4 | 810 | 6 | 4 | 882 | 883 | 854 | 853 |
| Quad4 | 811 | 6 | 4 | 854 | 883 | 863 | 855 |
| Quad4 | 812 | 6 | 4 | 867 | 884 | 869 | 868 |
| Quad4 | 813 | 6 | 4 | 884 | 885 | 870 | 869 |
| Quad4 | 814 | 6 | 4 | 885 | 886 | 871 | 870 |
| Quad4 | 815 | 6 | 4 | 886 | 887 | 872 | 871 |
| Quad4 | 816 | 6 | 4 | 872 | 887 | 874 | 873 |
| Quad4 | 817 | 6 | 4 | 887 | 888 | 875 | 874 |
| Quad4 | 818 | 6 | 4 | 888 | 889 | 876 | 875 |
| Quad4 | 819 | 6 | 4 | 889 | 890 | 877 | 876 |
| Quad4 | 820 | 6 | 4 | 890 | 891 | 878 | 877 |
| Quad4 | 821 | 6 | 4 | 878 | 891 | 880 | 879 |

| Relazione di calcolo spalle | | | | | | | | COMMESSA NM25 | LOTTO 03 D 26 | CODIFICA CL | DOCUMENTO IV 37 04 001 | REV. A | FOGLIO 224 di 439 |
|-----------------------------|--|--|--|--|--|--|--|------------------|------------------|----------------|---------------------------|-----------|----------------------|
|-----------------------------|--|--|--|--|--|--|--|------------------|------------------|----------------|---------------------------|-----------|----------------------|

| | | | | | | | |
|-------|-----|---|---|-----|-----|-----|-----|
| Quad4 | 822 | 6 | 4 | 891 | 892 | 881 | 880 |
| Quad4 | 823 | 6 | 4 | 892 | 893 | 882 | 881 |
| Quad4 | 824 | 6 | 4 | 893 | 894 | 883 | 882 |
| Quad4 | 825 | 6 | 4 | 883 | 894 | 864 | 863 |
| Quad4 | 826 | 6 | 4 | 864 | 894 | 895 | 865 |
| Quad4 | 827 | 6 | 4 | 896 | 866 | 865 | 895 |
| Quad4 | 828 | 6 | 4 | 896 | 884 | 867 | 866 |
| Quad4 | 829 | 6 | 4 | 896 | 897 | 885 | 884 |
| Quad4 | 830 | 6 | 4 | 897 | 898 | 886 | 885 |
| Quad4 | 831 | 6 | 4 | 886 | 898 | 888 | 887 |
| Quad4 | 832 | 6 | 4 | 898 | 899 | 889 | 888 |
| Quad4 | 833 | 6 | 4 | 899 | 900 | 890 | 889 |
| Quad4 | 834 | 6 | 4 | 890 | 900 | 892 | 891 |
| Quad4 | 835 | 6 | 4 | 892 | 900 | 901 | 893 |
| Quad4 | 836 | 6 | 4 | 895 | 894 | 893 | 901 |
| Quad4 | 837 | 6 | 4 | 902 | 899 | 898 | 897 |
| Quad4 | 838 | 6 | 4 | 901 | 900 | 899 | 902 |
| Tri3 | 839 | 6 | 4 | 895 | 901 | 896 | |
| Quad4 | 840 | 6 | 4 | 902 | 897 | 896 | 901 |
| Quad4 | 841 | 9 | 1 | 912 | 913 | 914 | 903 |
| Quad4 | 842 | 9 | 1 | 914 | 915 | 904 | 903 |
| Quad4 | 843 | 9 | 1 | 915 | 916 | 905 | 904 |
| Quad4 | 844 | 9 | 1 | 916 | 917 | 906 | 905 |
| Quad4 | 845 | 9 | 1 | 917 | 918 | 907 | 906 |
| Quad4 | 846 | 9 | 1 | 907 | 918 | 919 | 908 |
| Quad4 | 847 | 9 | 1 | 919 | 920 | 909 | 908 |
| Quad4 | 848 | 9 | 1 | 920 | 921 | 910 | 909 |

| Relazione di calcolo spalle | | | | | | | | COMMESMA NM25 | LOTTO 03 D 26 | CODIFICA CL | DOCUMENTO IV 37 04 001 | REV. A | FOGLIO 225 di 439 |
|-----------------------------|--|--|--|--|--|--|--|------------------|------------------|----------------|---------------------------|-----------|----------------------|
|-----------------------------|--|--|--|--|--|--|--|------------------|------------------|----------------|---------------------------|-----------|----------------------|

| | | | | | | | |
|-------|-----|---|---|-----|-----|-----|-----|
| Quad4 | 849 | 9 | 1 | 921 | 922 | 911 | 910 |
| Quad4 | 850 | 9 | 1 | 922 | 913 | 912 | 911 |
| Quad4 | 851 | 9 | 1 | 923 | 917 | 916 | 915 |
| Quad4 | 852 | 9 | 1 | 924 | 918 | 917 | 923 |
| Quad4 | 853 | 9 | 1 | 924 | 913 | 922 | 921 |
| Tri3 | 854 | 9 | 1 | 914 | 923 | 915 | |
| Quad4 | 855 | 9 | 1 | 914 | 913 | 924 | 923 |
| Tri3 | 856 | 9 | 1 | 921 | 920 | 924 | |
| Quad4 | 857 | 9 | 1 | 919 | 918 | 924 | 920 |
| Quad4 | 858 | 9 | 1 | 934 | 935 | 936 | 925 |
| Quad4 | 859 | 9 | 1 | 936 | 937 | 926 | 925 |
| Quad4 | 860 | 9 | 1 | 937 | 938 | 927 | 926 |
| Quad4 | 861 | 9 | 1 | 938 | 939 | 928 | 927 |
| Quad4 | 862 | 9 | 1 | 939 | 940 | 929 | 928 |
| Quad4 | 863 | 9 | 1 | 929 | 940 | 941 | 930 |
| Quad4 | 864 | 9 | 1 | 941 | 942 | 931 | 930 |
| Quad4 | 865 | 9 | 1 | 942 | 943 | 932 | 931 |
| Quad4 | 866 | 9 | 1 | 943 | 944 | 933 | 932 |
| Quad4 | 867 | 9 | 1 | 944 | 935 | 934 | 933 |
| Quad4 | 868 | 9 | 1 | 945 | 939 | 938 | 937 |
| Quad4 | 869 | 9 | 1 | 946 | 940 | 939 | 945 |
| Quad4 | 870 | 9 | 1 | 946 | 935 | 944 | 943 |
| Tri3 | 871 | 9 | 1 | 936 | 945 | 937 | |
| Quad4 | 872 | 9 | 1 | 936 | 935 | 946 | 945 |
| Tri3 | 873 | 9 | 1 | 943 | 942 | 946 | |
| Quad4 | 874 | 9 | 1 | 941 | 940 | 946 | 942 |
| Quad4 | 875 | 9 | 1 | 956 | 957 | 958 | 947 |

| Relazione di calcolo spalle | | | | | | | | COMMESSA NM25 | LOTTO 03 D 26 | CODIFICA CL | DOCUMENTO IV 37 04 001 | REV. A | FOGLIO 226 di 439 |
|-----------------------------|--|--|--|--|--|--|--|------------------|------------------|----------------|---------------------------|-----------|----------------------|
|-----------------------------|--|--|--|--|--|--|--|------------------|------------------|----------------|---------------------------|-----------|----------------------|

| | | | | | | | |
|-------|-----|---|---|-----|-----|-----|-----|
| Quad4 | 876 | 9 | 1 | 958 | 959 | 948 | 947 |
| Quad4 | 877 | 9 | 1 | 959 | 960 | 949 | 948 |
| Quad4 | 878 | 9 | 1 | 960 | 961 | 950 | 949 |
| Quad4 | 879 | 9 | 1 | 961 | 962 | 951 | 950 |
| Quad4 | 880 | 9 | 1 | 951 | 962 | 963 | 952 |
| Quad4 | 881 | 9 | 1 | 963 | 964 | 953 | 952 |
| Quad4 | 882 | 9 | 1 | 964 | 965 | 954 | 953 |
| Quad4 | 883 | 9 | 1 | 965 | 966 | 955 | 954 |
| Quad4 | 884 | 9 | 1 | 966 | 957 | 956 | 955 |
| Quad4 | 885 | 9 | 1 | 967 | 961 | 960 | 959 |
| Quad4 | 886 | 9 | 1 | 968 | 962 | 961 | 967 |
| Quad4 | 887 | 9 | 1 | 968 | 957 | 966 | 965 |
| Tri3 | 888 | 9 | 1 | 958 | 967 | 959 | |
| Quad4 | 889 | 9 | 1 | 958 | 957 | 968 | 967 |
| Tri3 | 890 | 9 | 1 | 965 | 964 | 968 | |
| Quad4 | 891 | 9 | 1 | 963 | 962 | 968 | 964 |
| Quad4 | 892 | 9 | 1 | 978 | 979 | 980 | 969 |
| Quad4 | 893 | 9 | 1 | 980 | 981 | 970 | 969 |
| Quad4 | 894 | 9 | 1 | 981 | 982 | 971 | 970 |
| Quad4 | 895 | 9 | 1 | 982 | 983 | 972 | 971 |
| Quad4 | 896 | 9 | 1 | 983 | 984 | 973 | 972 |
| Quad4 | 897 | 9 | 1 | 973 | 984 | 985 | 974 |
| Quad4 | 898 | 9 | 1 | 985 | 986 | 975 | 974 |
| Quad4 | 899 | 9 | 1 | 986 | 987 | 976 | 975 |
| Quad4 | 900 | 9 | 1 | 987 | 988 | 977 | 976 |
| Quad4 | 901 | 9 | 1 | 988 | 979 | 978 | 977 |
| Quad4 | 902 | 9 | 1 | 989 | 983 | 982 | 981 |

Relazione di calcolo spalle

| COMMESSA | LOTTO | CODIFICA | DOCUMENTO | REV. | FOGLIO |
|----------|---------|----------|--------------|------|------------|
| NM25 | 03 D 26 | CL | IV 37 04 001 | A | 227 di 439 |

| | | | | | | | |
|-------|-----|---|---|------|------|------|------|
| Quad4 | 903 | 9 | 1 | 990 | 984 | 983 | 989 |
| Quad4 | 904 | 9 | 1 | 990 | 979 | 988 | 987 |
| Tri3 | 905 | 9 | 1 | 980 | 989 | 981 | |
| Quad4 | 906 | 9 | 1 | 980 | 979 | 990 | 989 |
| Tri3 | 907 | 9 | 1 | 987 | 986 | 990 | |
| Quad4 | 908 | 9 | 1 | 985 | 984 | 990 | 986 |
| Quad4 | 909 | 9 | 1 | 1000 | 1001 | 1002 | 991 |
| Quad4 | 910 | 9 | 1 | 1002 | 1003 | 992 | 991 |
| Quad4 | 911 | 9 | 1 | 1003 | 1004 | 993 | 992 |
| Quad4 | 912 | 9 | 1 | 1004 | 1005 | 994 | 993 |
| Quad4 | 913 | 9 | 1 | 1005 | 1006 | 995 | 994 |
| Quad4 | 914 | 9 | 1 | 995 | 1006 | 1007 | 996 |
| Quad4 | 915 | 9 | 1 | 1007 | 1008 | 997 | 996 |
| Quad4 | 916 | 9 | 1 | 1008 | 1009 | 998 | 997 |
| Quad4 | 917 | 9 | 1 | 1009 | 1010 | 999 | 998 |
| Quad4 | 918 | 9 | 1 | 1010 | 1001 | 1000 | 999 |
| Quad4 | 919 | 9 | 1 | 1011 | 1005 | 1004 | 1003 |
| Quad4 | 920 | 9 | 1 | 1012 | 1006 | 1005 | 1011 |
| Quad4 | 921 | 9 | 1 | 1012 | 1001 | 1010 | 1009 |
| Tri3 | 922 | 9 | 1 | 1002 | 1011 | 1003 | |
| Quad4 | 923 | 9 | 1 | 1002 | 1001 | 1012 | 1011 |
| Tri3 | 924 | 9 | 1 | 1009 | 1008 | 1012 | |
| Quad4 | 925 | 9 | 1 | 1007 | 1006 | 1012 | 1008 |
| Quad4 | 926 | 9 | 1 | 1022 | 1023 | 1024 | 1013 |
| Quad4 | 927 | 9 | 1 | 1024 | 1025 | 1014 | 1013 |
| Quad4 | 928 | 9 | 1 | 1025 | 1026 | 1015 | 1014 |
| Quad4 | 929 | 9 | 1 | 1026 | 1027 | 1016 | 1015 |

Relazione di calcolo spalle

| COMMESSA | LOTTO | CODIFICA | DOCUMENTO | REV. | FOGLIO |
|----------|---------|----------|--------------|------|------------|
| NM25 | 03 D 26 | CL | IV 37 04 001 | A | 228 di 439 |

| | | | | | | | |
|-------|-----|---|---|------|------|------|------|
| Quad4 | 930 | 9 | 1 | 1027 | 1028 | 1017 | 1016 |
| Quad4 | 931 | 9 | 1 | 1017 | 1028 | 1029 | 1018 |
| Quad4 | 932 | 9 | 1 | 1029 | 1030 | 1019 | 1018 |
| Quad4 | 933 | 9 | 1 | 1030 | 1031 | 1020 | 1019 |
| Quad4 | 934 | 9 | 1 | 1031 | 1032 | 1021 | 1020 |
| Quad4 | 935 | 9 | 1 | 1032 | 1023 | 1022 | 1021 |
| Quad4 | 936 | 9 | 1 | 1033 | 1027 | 1026 | 1025 |
| Quad4 | 937 | 9 | 1 | 1034 | 1028 | 1027 | 1033 |
| Quad4 | 938 | 9 | 1 | 1034 | 1023 | 1032 | 1031 |
| Tri3 | 939 | 9 | 1 | 1024 | 1033 | 1025 | |
| Quad4 | 940 | 9 | 1 | 1024 | 1023 | 1034 | 1033 |
| Tri3 | 941 | 9 | 1 | 1031 | 1030 | 1034 | |
| Quad4 | 942 | 9 | 1 | 1029 | 1028 | 1034 | 1030 |
| Quad4 | 943 | 9 | 1 | 1044 | 1045 | 1046 | 1035 |
| Quad4 | 944 | 9 | 1 | 1046 | 1047 | 1036 | 1035 |
| Quad4 | 945 | 9 | 1 | 1047 | 1048 | 1037 | 1036 |
| Quad4 | 946 | 9 | 1 | 1048 | 1049 | 1038 | 1037 |
| Quad4 | 947 | 9 | 1 | 1049 | 1050 | 1039 | 1038 |
| Quad4 | 948 | 9 | 1 | 1039 | 1050 | 1051 | 1040 |
| Quad4 | 949 | 9 | 1 | 1051 | 1052 | 1041 | 1040 |
| Quad4 | 950 | 9 | 1 | 1052 | 1053 | 1042 | 1041 |
| Quad4 | 951 | 9 | 1 | 1053 | 1054 | 1043 | 1042 |
| Quad4 | 952 | 9 | 1 | 1054 | 1045 | 1044 | 1043 |
| Quad4 | 953 | 9 | 1 | 1055 | 1049 | 1048 | 1047 |
| Quad4 | 954 | 9 | 1 | 1056 | 1050 | 1049 | 1055 |
| Quad4 | 955 | 9 | 1 | 1056 | 1045 | 1054 | 1053 |
| Tri3 | 956 | 9 | 1 | 1046 | 1055 | 1047 | |

| Relazione di calcolo spalle | COMMESSA NM25 | LOTTO 03 D 26 | CODIFICA CL | DOCUMENTO IV 37 04 001 | REV. A | FOGLIO 229 di 439 |
|-----------------------------|------------------|------------------|----------------|---------------------------|-----------|----------------------|
|-----------------------------|------------------|------------------|----------------|---------------------------|-----------|----------------------|

| | | | | | | | |
|-------|-----|---|---|------|------|------|------|
| Quad4 | 957 | 9 | 1 | 1046 | 1045 | 1056 | 1055 |
| Tri3 | 958 | 9 | 1 | 1053 | 1052 | 1056 | |
| Quad4 | 959 | 9 | 1 | 1051 | 1050 | 1056 | 1052 |
| Quad4 | 960 | 9 | 1 | 1066 | 1067 | 1068 | 1057 |
| Quad4 | 961 | 9 | 1 | 1068 | 1069 | 1058 | 1057 |
| Quad4 | 962 | 9 | 1 | 1069 | 1070 | 1059 | 1058 |
| Quad4 | 963 | 9 | 1 | 1070 | 1071 | 1060 | 1059 |
| Quad4 | 964 | 9 | 1 | 1071 | 1072 | 1061 | 1060 |
| Quad4 | 965 | 9 | 1 | 1061 | 1072 | 1073 | 1062 |
| Quad4 | 966 | 9 | 1 | 1073 | 1074 | 1063 | 1062 |
| Quad4 | 967 | 9 | 1 | 1074 | 1075 | 1064 | 1063 |
| Quad4 | 968 | 9 | 1 | 1075 | 1076 | 1065 | 1064 |
| Quad4 | 969 | 9 | 1 | 1076 | 1067 | 1066 | 1065 |
| Quad4 | 970 | 9 | 1 | 1077 | 1071 | 1070 | 1069 |
| Quad4 | 971 | 9 | 1 | 1078 | 1072 | 1071 | 1077 |
| Quad4 | 972 | 9 | 1 | 1078 | 1067 | 1076 | 1075 |
| Tri3 | 973 | 9 | 1 | 1068 | 1077 | 1069 | |
| Quad4 | 974 | 9 | 1 | 1068 | 1067 | 1078 | 1077 |
| Tri3 | 975 | 9 | 1 | 1075 | 1074 | 1078 | |
| Quad4 | 976 | 9 | 1 | 1073 | 1072 | 1078 | 1074 |
| Quad4 | 977 | 9 | 1 | 1088 | 1089 | 1090 | 1079 |
| Quad4 | 978 | 9 | 1 | 1090 | 1091 | 1080 | 1079 |
| Quad4 | 979 | 9 | 1 | 1091 | 1092 | 1081 | 1080 |
| Quad4 | 980 | 9 | 1 | 1092 | 1093 | 1082 | 1081 |
| Quad4 | 981 | 9 | 1 | 1093 | 1094 | 1083 | 1082 |
| Quad4 | 982 | 9 | 1 | 1083 | 1094 | 1095 | 1084 |
| Quad4 | 983 | 9 | 1 | 1095 | 1096 | 1085 | 1084 |

| Relazione di calcolo spalle | | | | COMMESSA NM25 | LOTTO 03 D 26 | CODIFICA CL | DOCUMENTO IV 37 04 001 | REV. A | FOGLIO 230 di 439 |
|-----------------------------|--|--|--|------------------|------------------|----------------|---------------------------|-----------|----------------------|
|-----------------------------|--|--|--|------------------|------------------|----------------|---------------------------|-----------|----------------------|

| | | | | | | | | | |
|-------|------|---|---|------|------|------|------|--|--|
| Quad4 | 984 | 9 | 1 | 1096 | 1097 | 1086 | 1085 | | |
| Quad4 | 985 | 9 | 1 | 1097 | 1098 | 1087 | 1086 | | |
| Quad4 | 986 | 9 | 1 | 1098 | 1089 | 1088 | 1087 | | |
| Quad4 | 987 | 9 | 1 | 1099 | 1093 | 1092 | 1091 | | |
| Quad4 | 988 | 9 | 1 | 1100 | 1094 | 1093 | 1099 | | |
| Quad4 | 989 | 9 | 1 | 1100 | 1089 | 1098 | 1097 | | |
| Tri3 | 990 | 9 | 1 | 1090 | 1099 | 1091 | | | |
| Quad4 | 991 | 9 | 1 | 1090 | 1089 | 1100 | 1099 | | |
| Tri3 | 992 | 9 | 1 | 1097 | 1096 | 1100 | | | |
| Quad4 | 993 | 9 | 1 | 1095 | 1094 | 1100 | 1096 | | |
| Quad4 | 994 | 9 | 1 | 1110 | 1111 | 1112 | 1101 | | |
| Quad4 | 995 | 9 | 1 | 1112 | 1113 | 1102 | 1101 | | |
| Quad4 | 996 | 9 | 1 | 1113 | 1114 | 1103 | 1102 | | |
| Quad4 | 997 | 9 | 1 | 1114 | 1115 | 1104 | 1103 | | |
| Quad4 | 998 | 9 | 1 | 1115 | 1116 | 1105 | 1104 | | |
| Quad4 | 999 | 9 | 1 | 1105 | 1116 | 1117 | 1106 | | |
| Quad4 | 1000 | 9 | 1 | 1117 | 1118 | 1107 | 1106 | | |
| Quad4 | 1001 | 9 | 1 | 1118 | 1119 | 1108 | 1107 | | |
| Quad4 | 1002 | 9 | 1 | 1119 | 1120 | 1109 | 1108 | | |
| Quad4 | 1003 | 9 | 1 | 1120 | 1111 | 1110 | 1109 | | |
| Quad4 | 1004 | 9 | 1 | 1121 | 1115 | 1114 | 1113 | | |
| Quad4 | 1005 | 9 | 1 | 1122 | 1116 | 1115 | 1121 | | |
| Quad4 | 1006 | 9 | 1 | 1122 | 1111 | 1120 | 1119 | | |
| Tri3 | 1007 | 9 | 1 | 1112 | 1121 | 1113 | | | |
| Quad4 | 1008 | 9 | 1 | 1112 | 1111 | 1122 | 1121 | | |
| Tri3 | 1009 | 9 | 1 | 1119 | 1118 | 1122 | | | |
| Quad4 | 1010 | 9 | 1 | 1117 | 1116 | 1122 | 1118 | | |

Relazione di calcolo spalle

| | | | |
|----------|---------|----------|--------------|
| COMMESSA | LOTTO | CODIFICA | DOCUMENTO |
| NM25 | 03 D 26 | CL | IV 37 04 001 |

| | |
|------|------------|
| REV. | FOGLIO |
| A | 231 di 439 |

| | | | | | | | |
|-------|------|---|---|------|------|------|------|
| Quad4 | 1011 | 9 | 1 | 1132 | 1133 | 1134 | 1123 |
| Quad4 | 1012 | 9 | 1 | 1134 | 1135 | 1124 | 1123 |
| Quad4 | 1013 | 9 | 1 | 1135 | 1136 | 1125 | 1124 |
| Quad4 | 1014 | 9 | 1 | 1136 | 1137 | 1126 | 1125 |
| Quad4 | 1015 | 9 | 1 | 1137 | 1138 | 1127 | 1126 |
| Quad4 | 1016 | 9 | 1 | 1127 | 1138 | 1139 | 1128 |
| Quad4 | 1017 | 9 | 1 | 1139 | 1140 | 1129 | 1128 |
| Quad4 | 1018 | 9 | 1 | 1140 | 1141 | 1130 | 1129 |
| Quad4 | 1019 | 9 | 1 | 1141 | 1142 | 1131 | 1130 |
| Quad4 | 1020 | 9 | 1 | 1142 | 1133 | 1132 | 1131 |
| Quad4 | 1021 | 9 | 1 | 1143 | 1137 | 1136 | 1135 |
| Quad4 | 1022 | 9 | 1 | 1144 | 1138 | 1137 | 1143 |
| Quad4 | 1023 | 9 | 1 | 1144 | 1133 | 1142 | 1141 |
| Tri3 | 1024 | 9 | 1 | 1134 | 1143 | 1135 | |
| Quad4 | 1025 | 9 | 1 | 1134 | 1133 | 1144 | 1143 |
| Tri3 | 1026 | 9 | 1 | 1141 | 1140 | 1144 | |
| Quad4 | 1027 | 9 | 1 | 1139 | 1138 | 1144 | 1140 |
| Quad4 | 1028 | 9 | 1 | 1154 | 1155 | 1156 | 1145 |
| Quad4 | 1029 | 9 | 1 | 1156 | 1157 | 1146 | 1145 |
| Quad4 | 1030 | 9 | 1 | 1157 | 1158 | 1147 | 1146 |
| Quad4 | 1031 | 9 | 1 | 1158 | 1159 | 1148 | 1147 |
| Quad4 | 1032 | 9 | 1 | 1159 | 1160 | 1149 | 1148 |
| Quad4 | 1033 | 9 | 1 | 1149 | 1160 | 1161 | 1150 |
| Quad4 | 1034 | 9 | 1 | 1161 | 1162 | 1151 | 1150 |
| Quad4 | 1035 | 9 | 1 | 1162 | 1163 | 1152 | 1151 |
| Quad4 | 1036 | 9 | 1 | 1163 | 1164 | 1153 | 1152 |
| Quad4 | 1037 | 9 | 1 | 1164 | 1155 | 1154 | 1153 |

Relazione di calcolo spalle

| COMMESSA | LOTTO | CODIFICA | DOCUMENTO | REV. | FOGLIO |
|----------|---------|----------|--------------|------|------------|
| NM25 | 03 D 26 | CL | IV 37 04 001 | A | 232 di 439 |

| | | | | | | | |
|-------|------|---|---|------|------|------|------|
| Quad4 | 1038 | 9 | 1 | 1165 | 1159 | 1158 | 1157 |
| Quad4 | 1039 | 9 | 1 | 1166 | 1160 | 1159 | 1165 |
| Quad4 | 1040 | 9 | 1 | 1166 | 1155 | 1164 | 1163 |
| Tri3 | 1041 | 9 | 1 | 1156 | 1165 | 1157 | |
| Quad4 | 1042 | 9 | 1 | 1156 | 1155 | 1166 | 1165 |
| Tri3 | 1043 | 9 | 1 | 1163 | 1162 | 1166 | |
| Quad4 | 1044 | 9 | 1 | 1161 | 1160 | 1166 | 1162 |
| Quad4 | 1045 | 9 | 1 | 1204 | 1130 | 1131 | 1203 |
| Quad4 | 1046 | 9 | 1 | 1204 | 1203 | 1182 | 1183 |
| Quad4 | 1047 | 9 | 1 | 1205 | 1129 | 1130 | 1204 |
| Quad4 | 1048 | 9 | 1 | 1205 | 1204 | 1183 | 1184 |
| Quad4 | 1049 | 9 | 1 | 1207 | 1152 | 1153 | 1206 |
| Quad4 | 1050 | 9 | 1 | 1207 | 1206 | 1188 | 1189 |
| Quad4 | 1051 | 9 | 1 | 1208 | 1151 | 1152 | 1207 |
| Quad4 | 1052 | 9 | 1 | 1208 | 1207 | 1189 | 1190 |
| Quad4 | 1053 | 9 | 1 | 1210 | 1108 | 1109 | 1209 |
| Quad4 | 1054 | 9 | 1 | 1210 | 1209 | 1194 | 1195 |
| Quad4 | 1055 | 9 | 1 | 1211 | 1107 | 1108 | 1210 |
| Quad4 | 1056 | 9 | 1 | 1211 | 1210 | 1195 | 1196 |
| Quad4 | 1057 | 9 | 1 | 1212 | 1213 | 1086 | 1087 |
| Quad4 | 1058 | 9 | 1 | 1212 | 1200 | 1201 | 1213 |
| Quad4 | 1059 | 9 | 1 | 1216 | 1169 | 1170 | 1215 |
| Quad4 | 1060 | 9 | 1 | 1216 | 1215 | 1083 | 1084 |
| Quad4 | 1061 | 9 | 1 | 1216 | 1217 | 1168 | 1169 |
| Quad4 | 1062 | 9 | 1 | 1216 | 1084 | 1085 | 1217 |
| Quad4 | 1063 | 9 | 1 | 1218 | 1212 | 1087 | 1088 |
| Quad4 | 1064 | 9 | 1 | 1219 | 1218 | 1088 | 1079 |

Relazione di calcolo spalle

| | | | |
|----------|---------|----------|--------------|
| COMMESSA | LOTTO | CODIFICA | DOCUMENTO |
| NM25 | 03 D 26 | CL | IV 37 04 001 |

| | |
|------|------------|
| REV. | FOGLIO |
| A | 233 di 439 |

| | | | | | | | |
|-------|------|---|---|------|------|------|------|
| Quad4 | 1065 | 9 | 1 | 1247 | 1219 | 1079 | 1080 |
| Quad4 | 1066 | 9 | 1 | 1245 | 1080 | 1081 | 1223 |
| Quad4 | 1067 | 9 | 1 | 1223 | 1081 | 1082 | 1244 |
| Quad4 | 1068 | 9 | 1 | 1220 | 1082 | 1083 | 1215 |
| Quad4 | 1069 | 9 | 1 | 1244 | 1082 | 1222 | 1173 |
| Quad4 | 1070 | 9 | 1 | 1220 | 1215 | 1170 | 1171 |
| Quad4 | 1071 | 9 | 1 | 1220 | 1171 | 1172 | 1221 |
| Quad4 | 1072 | 9 | 1 | 1222 | 1221 | 1172 | 1173 |
| Quad4 | 1073 | 9 | 1 | 1223 | 1244 | 1173 | 1174 |
| Quad4 | 1074 | 9 | 1 | 1245 | 1223 | 1174 | 1175 |
| Quad4 | 1075 | 9 | 1 | 1225 | 1246 | 1175 | 1176 |
| Quad4 | 1076 | 9 | 1 | 1226 | 1225 | 1176 | 485 |
| Quad4 | 1077 | 9 | 1 | 1227 | 1226 | 485 | 621 |
| Quad4 | 1078 | 9 | 1 | 1227 | 621 | 620 | 1238 |
| Quad4 | 1079 | 9 | 1 | 1239 | 620 | 619 | 1228 |
| Quad4 | 1080 | 9 | 1 | 1228 | 619 | 618 | 1229 |
| Quad4 | 1081 | 9 | 1 | 1298 | 1229 | 618 | 617 |
| Quad4 | 1082 | 9 | 1 | 1231 | 1230 | 616 | 615 |
| Quad4 | 1083 | 9 | 1 | 1231 | 615 | 614 | 1240 |
| Quad4 | 1084 | 9 | 1 | 1241 | 614 | 613 | 1232 |
| Quad4 | 1085 | 9 | 1 | 1232 | 613 | 612 | 1233 |
| Quad4 | 1086 | 9 | 1 | 1234 | 1233 | 612 | 611 |
| Quad4 | 1087 | 9 | 1 | 1235 | 1234 | 611 | 610 |
| Quad4 | 1088 | 9 | 1 | 1236 | 1235 | 610 | 609 |
| Quad4 | 1089 | 9 | 1 | 1236 | 609 | 608 | 1242 |
| Quad4 | 1090 | 9 | 1 | 1251 | 608 | 607 | 1237 |
| Quad4 | 1091 | 9 | 1 | 1237 | 607 | 606 | 1243 |

| Relazione di calcolo spalle | | | | | | | | COMMESSA NM25 | LOTTO 03 D 26 | CODIFICA CL | DOCUMENTO IV 37 04 001 | REV. A | FOGLIO 234 di 439 |
|-----------------------------|--|--|--|--|--|--|--|------------------|------------------|----------------|---------------------------|-----------|----------------------|
|-----------------------------|--|--|--|--|--|--|--|------------------|------------------|----------------|---------------------------|-----------|----------------------|

| | | | | | | | |
|-------|------|---|---|------|------|------|------|
| Quad4 | 1092 | 9 | 1 | 1239 | 1269 | 1238 | 620 |
| Quad4 | 1093 | 9 | 1 | 1241 | 1259 | 1240 | 614 |
| Quad4 | 1094 | 9 | 1 | 1252 | 1242 | 608 | 1251 |
| Quad4 | 1095 | 9 | 1 | 1220 | 1221 | 1222 | 1082 |
| Quad4 | 1096 | 9 | 1 | 1245 | 1175 | 1246 | 1224 |
| Quad4 | 1097 | 9 | 1 | 1247 | 1080 | 1245 | 1224 |
| Quad4 | 1098 | 9 | 1 | 1250 | 1243 | 1177 | 1178 |
| Quad4 | 1099 | 9 | 1 | 1248 | 1179 | 1180 | 1181 |
| Quad4 | 1100 | 9 | 1 | 1249 | 1181 | 1182 | 1203 |
| Quad4 | 1101 | 9 | 1 | 1249 | 1256 | 1248 | 1181 |
| Quad4 | 1102 | 9 | 1 | 1249 | 1203 | 1131 | 1132 |
| Quad4 | 1103 | 9 | 1 | 1249 | 1132 | 1123 | 1256 |
| Quad4 | 1104 | 9 | 1 | 1250 | 1123 | 1124 | 1243 |
| Quad4 | 1105 | 9 | 1 | 1237 | 1243 | 1124 | 1125 |
| Quad4 | 1106 | 9 | 1 | 1251 | 1237 | 1125 | 1126 |
| Quad4 | 1107 | 9 | 1 | 1252 | 1251 | 1126 | 1127 |
| Quad4 | 1108 | 9 | 1 | 1252 | 1127 | 1128 | 1253 |
| Quad4 | 1109 | 9 | 1 | 1254 | 1253 | 1128 | 1129 |
| Quad4 | 1110 | 9 | 1 | 1255 | 1254 | 1129 | 1205 |
| Quad4 | 1111 | 9 | 1 | 1255 | 1205 | 1184 | 1185 |
| Quad4 | 1112 | 9 | 1 | 1265 | 1257 | 1154 | 1145 |
| Quad4 | 1113 | 9 | 1 | 1266 | 1145 | 1146 | 1233 |
| Quad4 | 1114 | 9 | 1 | 1232 | 1233 | 1146 | 1147 |
| Quad4 | 1115 | 9 | 1 | 1241 | 1232 | 1147 | 1148 |
| Quad4 | 1116 | 9 | 1 | 1241 | 1148 | 1149 | 1259 |
| Quad4 | 1117 | 9 | 1 | 1260 | 1259 | 1149 | 1150 |
| Quad4 | 1118 | 9 | 1 | 1261 | 1260 | 1150 | 1151 |

Relazione di calcolo spalle

| COMMESSA | LOTTO | CODIFICA | DOCUMENTO | REV. | FOGLIO |
|----------|---------|----------|--------------|------|------------|
| NM25 | 03 D 26 | CL | IV 37 04 001 | A | 235 di 439 |

| | | | | | | | |
|-------|------|---|---|------|------|------|------|
| Quad4 | 1119 | 9 | 1 | 1262 | 1261 | 1151 | 1208 |
| Quad4 | 1120 | 9 | 1 | 1262 | 1208 | 1190 | 1191 |
| Quad4 | 1121 | 9 | 1 | 1263 | 1255 | 1185 | 1186 |
| Quad4 | 1122 | 9 | 1 | 1264 | 1263 | 1186 | 1187 |
| Quad4 | 1123 | 9 | 1 | 1266 | 1258 | 1265 | 1145 |
| Quad4 | 1124 | 9 | 1 | 1229 | 1279 | 1101 | 1102 |
| Quad4 | 1125 | 9 | 1 | 1228 | 1229 | 1102 | 1103 |
| Quad4 | 1126 | 9 | 1 | 1239 | 1228 | 1103 | 1104 |
| Quad4 | 1127 | 9 | 1 | 1239 | 1104 | 1105 | 1269 |
| Quad4 | 1128 | 9 | 1 | 1270 | 1269 | 1105 | 1106 |
| Quad4 | 1129 | 9 | 1 | 1271 | 1270 | 1106 | 1107 |
| Quad4 | 1130 | 9 | 1 | 1272 | 1271 | 1107 | 1211 |
| Quad4 | 1131 | 9 | 1 | 1272 | 1211 | 1196 | 1197 |
| Quad4 | 1132 | 9 | 1 | 1273 | 1272 | 1197 | 1198 |
| Quad4 | 1133 | 9 | 1 | 1274 | 1273 | 1198 | 1199 |
| Quad4 | 1134 | 9 | 1 | 1218 | 1199 | 1200 | 1212 |
| Quad4 | 1135 | 9 | 1 | 1274 | 1199 | 1218 | 1219 |
| Quad4 | 1136 | 9 | 1 | 1276 | 1262 | 1191 | 1192 |
| Quad4 | 1137 | 9 | 1 | 1277 | 1276 | 1192 | 1193 |
| Quad4 | 1138 | 9 | 1 | 1209 | 1275 | 1193 | 1194 |
| Quad4 | 1139 | 9 | 1 | 1277 | 1193 | 1275 | 1267 |
| Quad4 | 1140 | 9 | 1 | 1278 | 1101 | 1279 | 1268 |
| Quad4 | 1141 | 9 | 1 | 1280 | 1227 | 1238 | 1269 |
| Quad4 | 1142 | 9 | 1 | 1281 | 1280 | 1269 | 1270 |
| Quad4 | 1143 | 9 | 1 | 1282 | 1281 | 1270 | 1271 |
| Quad4 | 1144 | 9 | 1 | 1282 | 1271 | 1272 | 1273 |
| Quad4 | 1145 | 9 | 1 | 1282 | 1273 | 1274 | 1283 |

| Relazione di calcolo spalle | | | | | | | | COMMESSA NM25 | LOTTO 03 D 26 | CODIFICA CL | DOCUMENTO IV 37 04 001 | REV. A | FOGLIO 236 di 439 |
|-----------------------------|--|--|--|--|--|--|--|------------------|------------------|----------------|---------------------------|-----------|----------------------|
|-----------------------------|--|--|--|--|--|--|--|------------------|------------------|----------------|---------------------------|-----------|----------------------|

| | | | | | | | |
|-------|------|---|---|------|------|------|------|
| Quad4 | 1146 | 9 | 1 | 1274 | 1219 | 1247 | 1283 |
| Quad4 | 1147 | 9 | 1 | 1284 | 1283 | 1247 | 1224 |
| Quad4 | 1148 | 9 | 1 | 1284 | 1224 | 1246 | 1225 |
| Quad4 | 1149 | 9 | 1 | 1285 | 1284 | 1225 | 1226 |
| Quad4 | 1150 | 9 | 1 | 1285 | 1226 | 1227 | 1280 |
| Quad4 | 1151 | 9 | 1 | 1285 | 1280 | 1281 | 1286 |
| Quad4 | 1152 | 9 | 1 | 1282 | 1283 | 1286 | 1281 |
| Quad4 | 1153 | 9 | 1 | 1285 | 1286 | 1283 | 1284 |
| Quad4 | 1154 | 9 | 1 | 1265 | 1287 | 1264 | 1257 |
| Quad4 | 1155 | 9 | 1 | 1265 | 1258 | 1288 | 1287 |
| Quad4 | 1156 | 9 | 1 | 1289 | 1266 | 1233 | 1234 |
| Quad4 | 1157 | 9 | 1 | 1290 | 1289 | 1234 | 1235 |
| Quad4 | 1158 | 9 | 1 | 1290 | 1235 | 1236 | 1253 |
| Quad4 | 1159 | 9 | 1 | 1252 | 1253 | 1236 | 1242 |
| Quad4 | 1160 | 9 | 1 | 1290 | 1253 | 1254 | 1291 |
| Quad4 | 1161 | 9 | 1 | 1263 | 1291 | 1254 | 1255 |
| Quad4 | 1162 | 9 | 1 | 1292 | 1231 | 1240 | 1259 |
| Quad4 | 1163 | 9 | 1 | 1293 | 1292 | 1259 | 1260 |
| Quad4 | 1164 | 9 | 1 | 1294 | 1293 | 1260 | 1261 |
| Quad4 | 1165 | 9 | 1 | 1294 | 1261 | 1262 | 1276 |
| Quad4 | 1166 | 9 | 1 | 1295 | 1294 | 1276 | 1277 |
| Quad4 | 1167 | 9 | 1 | 1295 | 1277 | 1267 | 1278 |
| Quad4 | 1168 | 9 | 1 | 1296 | 1295 | 1278 | 1268 |
| Quad4 | 1169 | 9 | 1 | 1296 | 1268 | 1298 | 1297 |
| Quad4 | 1170 | 9 | 1 | 1268 | 1279 | 1229 | 1298 |
| Quad4 | 1171 | 9 | 1 | 1296 | 1297 | 1292 | 1293 |
| Quad4 | 1172 | 9 | 1 | 1296 | 1293 | 1294 | 1295 |

Relazione di calcolo spalle

| COMMESSA | LOTTO | CODIFICA | DOCUMENTO | REV. | FOGLIO |
|----------|---------|----------|--------------|------|------------|
| NM25 | 03 D 26 | CL | IV 37 04 001 | A | 237 di 439 |

| | | | | | | | |
|-------|------|---|---|------|------|------|------|
| Quad4 | 1173 | 9 | 1 | 1292 | 1297 | 1230 | 1231 |
| Quad4 | 1174 | 9 | 1 | 1206 | 1153 | 1154 | 1257 |
| Quad4 | 1175 | 9 | 1 | 1209 | 1109 | 1110 | 1275 |
| Quad4 | 1176 | 9 | 1 | 1250 | 1248 | 1256 | 1123 |
| Quad4 | 1177 | 9 | 1 | 1250 | 1178 | 1179 | 1248 |
| Quad4 | 1178 | 9 | 1 | 1290 | 1291 | 1288 | 1289 |
| Quad4 | 1179 | 9 | 1 | 1289 | 1288 | 1258 | 1266 |
| Tri3 | 1180 | 9 | 1 | 1213 | 1201 | 1202 | |
| Tri3 | 1181 | 9 | 1 | 1287 | 1288 | 1291 | |
| Quad4 | 1182 | 9 | 1 | 1264 | 1287 | 1291 | 1263 |
| Tri3 | 1183 | 9 | 1 | 1214 | 1213 | 1202 | |
| Tri3 | 1184 | 9 | 1 | 1214 | 1168 | 1217 | |
| Quad4 | 1185 | 9 | 1 | 1214 | 1202 | 1167 | 1168 |
| Tri3 | 1186 | 9 | 1 | 1214 | 1217 | 1085 | |
| Quad4 | 1187 | 9 | 1 | 1214 | 1085 | 1086 | 1213 |
| Tri3 | 1188 | 9 | 1 | 1243 | 606 | 605 | |
| Quad4 | 1189 | 9 | 1 | 1243 | 605 | 604 | 1177 |
| Tri3 | 1190 | 9 | 1 | 1267 | 1275 | 1110 | |
| Quad4 | 1191 | 9 | 1 | 1278 | 1267 | 1110 | 1101 |
| Tri3 | 1192 | 9 | 1 | 1230 | 1297 | 1298 | |
| Quad4 | 1193 | 9 | 1 | 1230 | 1298 | 617 | 616 |
| Tri3 | 1194 | 9 | 1 | 1257 | 1188 | 1206 | |
| Quad4 | 1195 | 9 | 1 | 1264 | 1187 | 1188 | 1257 |
| Quad4 | 1196 | 9 | 1 | 1306 | 1305 | 1042 | 1043 |
| Quad4 | 1197 | 9 | 1 | 1306 | 1043 | 1044 | 1307 |
| Quad4 | 1198 | 9 | 1 | 1308 | 1307 | 1044 | 1035 |
| Quad4 | 1199 | 9 | 1 | 1308 | 1035 | 1036 | 1309 |

| Relazione di calcolo spalle | | | | | | | | COMMESSA NM25 | LOTTO 03 D 26 | CODIFICA CL | DOCUMENTO IV 37 04 001 | REV. A | FOGLIO 238 di 439 |
|-----------------------------|--|--|--|--|--|--|--|------------------|------------------|----------------|---------------------------|-----------|----------------------|
|-----------------------------|--|--|--|--|--|--|--|------------------|------------------|----------------|---------------------------|-----------|----------------------|

| | | | | | | | |
|-------|------|---|---|------|------|------|------|
| Quad4 | 1200 | 9 | 1 | 1310 | 1309 | 1036 | 1037 |
| Quad4 | 1201 | 9 | 1 | 1310 | 1037 | 1038 | 1311 |
| Quad4 | 1202 | 9 | 1 | 1312 | 1311 | 1038 | 1039 |
| Quad4 | 1203 | 9 | 1 | 1312 | 1039 | 1040 | 1313 |
| Quad4 | 1204 | 9 | 1 | 1314 | 1313 | 1040 | 1041 |
| Quad4 | 1205 | 9 | 1 | 1314 | 1041 | 1042 | 1305 |
| Quad4 | 1206 | 9 | 1 | 1316 | 1315 | 1064 | 1065 |
| Quad4 | 1207 | 9 | 1 | 1316 | 1065 | 1066 | 1317 |
| Quad4 | 1208 | 9 | 1 | 1318 | 1317 | 1066 | 1057 |
| Quad4 | 1209 | 9 | 1 | 1318 | 1057 | 1058 | 1319 |
| Quad4 | 1210 | 9 | 1 | 1320 | 1319 | 1058 | 1059 |
| Quad4 | 1211 | 9 | 1 | 1320 | 1059 | 1060 | 1321 |
| Quad4 | 1212 | 9 | 1 | 1322 | 1321 | 1060 | 1061 |
| Quad4 | 1213 | 9 | 1 | 1322 | 1061 | 1062 | 1323 |
| Quad4 | 1214 | 9 | 1 | 1324 | 1323 | 1062 | 1063 |
| Quad4 | 1215 | 9 | 1 | 1324 | 1063 | 1064 | 1315 |
| Quad4 | 1216 | 9 | 1 | 1396 | 1325 | 1020 | 1021 |
| Quad4 | 1217 | 9 | 1 | 1397 | 1021 | 1022 | 1409 |
| Quad4 | 1218 | 9 | 1 | 1327 | 1409 | 1022 | 1013 |
| Quad4 | 1219 | 9 | 1 | 1328 | 1327 | 1013 | 1014 |
| Quad4 | 1220 | 9 | 1 | 1329 | 1328 | 1014 | 1015 |
| Quad4 | 1221 | 9 | 1 | 1330 | 1329 | 1015 | 1016 |
| Quad4 | 1222 | 9 | 1 | 1359 | 1330 | 1016 | 1017 |
| Quad4 | 1223 | 9 | 1 | 1349 | 1360 | 1017 | 1018 |
| Quad4 | 1224 | 9 | 1 | 1349 | 1018 | 1019 | 1332 |
| Quad4 | 1225 | 9 | 1 | 1325 | 1332 | 1019 | 1020 |
| Quad4 | 1226 | 9 | 1 | 1369 | 186 | 187 | 1299 |

Relazione di calcolo spalle

| COMMESSA | LOTTO | CODIFICA | DOCUMENTO | REV. | FOGLIO |
|----------|---------|----------|--------------|------|------------|
| NM25 | 03 D 26 | CL | IV 37 04 001 | A | 239 di 439 |

| | | | | | | | |
|-------|------|---|---|------|------|------|------|
| Quad4 | 1227 | 9 | 1 | 1376 | 1369 | 1299 | 1300 |
| Quad4 | 1228 | 9 | 1 | 1376 | 1300 | 1301 | 1368 |
| Quad4 | 1229 | 9 | 1 | 1368 | 1301 | 1302 | 1333 |
| Quad4 | 1230 | 9 | 1 | 1334 | 1333 | 1302 | 1303 |
| Quad4 | 1231 | 9 | 1 | 1335 | 1334 | 1303 | 1304 |
| Quad4 | 1232 | 9 | 1 | 1335 | 1304 | 604 | 605 |
| Quad4 | 1233 | 9 | 1 | 1336 | 1335 | 605 | 606 |
| Quad4 | 1234 | 9 | 1 | 1336 | 606 | 607 | 1337 |
| Quad4 | 1235 | 9 | 1 | 1366 | 1337 | 607 | 608 |
| Quad4 | 1236 | 9 | 1 | 1366 | 608 | 609 | 1338 |
| Quad4 | 1237 | 9 | 1 | 1389 | 1383 | 610 | 611 |
| Quad4 | 1238 | 9 | 1 | 1389 | 611 | 612 | 1339 |
| Quad4 | 1239 | 9 | 1 | 1340 | 1339 | 612 | 613 |
| Quad4 | 1240 | 9 | 1 | 1382 | 1340 | 613 | 614 |
| Quad4 | 1241 | 9 | 1 | 1382 | 614 | 615 | 1341 |
| Quad4 | 1242 | 9 | 1 | 1342 | 1341 | 615 | 616 |
| Quad4 | 1243 | 9 | 1 | 1342 | 616 | 617 | 1343 |
| Quad4 | 1244 | 9 | 1 | 1399 | 1343 | 617 | 618 |
| Quad4 | 1245 | 9 | 1 | 1399 | 618 | 619 | 1401 |
| Quad4 | 1246 | 9 | 1 | 1345 | 1402 | 619 | 620 |
| Quad4 | 1247 | 9 | 1 | 1346 | 1345 | 620 | 621 |
| Quad4 | 1248 | 9 | 1 | 1346 | 621 | 485 | 486 |
| Quad4 | 1249 | 9 | 1 | 1347 | 1346 | 486 | 487 |
| Quad4 | 1250 | 9 | 1 | 1347 | 487 | 488 | 1332 |
| Quad4 | 1251 | 9 | 1 | 1403 | 490 | 491 | 1348 |
| Quad4 | 1252 | 9 | 1 | 1348 | 491 | 169 | 170 |
| Quad4 | 1253 | 9 | 1 | 1349 | 1332 | 488 | 489 |

Relazione di calcolo spalle

| COMMESSA | LOTTO | CODIFICA | DOCUMENTO | REV. | FOGLIO |
|----------|---------|----------|--------------|------|------------|
| NM25 | 03 D 26 | CL | IV 37 04 001 | A | 240 di 439 |

| | | | | | | | |
|-------|------|---|---|------|------|------|------|
| Quad4 | 1254 | 9 | 1 | 1348 | 170 | 171 | 1350 |
| Quad4 | 1255 | 9 | 1 | 1351 | 1350 | 171 | 172 |
| Quad4 | 1256 | 9 | 1 | 1351 | 172 | 173 | 1352 |
| Quad4 | 1257 | 9 | 1 | 1353 | 1352 | 173 | 174 |
| Quad4 | 1258 | 9 | 1 | 1354 | 1353 | 174 | 175 |
| Quad4 | 1259 | 9 | 1 | 1355 | 1354 | 175 | 176 |
| Quad4 | 1260 | 9 | 1 | 1356 | 1355 | 176 | 177 |
| Quad4 | 1261 | 9 | 1 | 1384 | 1356 | 177 | 178 |
| Quad4 | 1262 | 9 | 1 | 1384 | 178 | 179 | 1378 |
| Quad4 | 1263 | 9 | 1 | 1378 | 179 | 180 | 1357 |
| Quad4 | 1264 | 9 | 1 | 1358 | 1357 | 180 | 181 |
| Quad4 | 1265 | 9 | 1 | 1362 | 1358 | 181 | 182 |
| Quad4 | 1266 | 9 | 1 | 1370 | 1362 | 182 | 183 |
| Quad4 | 1267 | 9 | 1 | 1370 | 183 | 184 | 1361 |
| Quad4 | 1268 | 9 | 1 | 1377 | 1361 | 184 | 185 |
| Quad4 | 1269 | 9 | 1 | 1377 | 185 | 186 | 1369 |
| Quad4 | 1270 | 9 | 1 | 1359 | 1017 | 1360 | 1331 |
| Quad4 | 1271 | 9 | 1 | 1370 | 1361 | 1310 | 1311 |
| Quad4 | 1272 | 9 | 1 | 1371 | 1311 | 1312 | 1363 |
| Quad4 | 1273 | 9 | 1 | 1372 | 1363 | 1312 | 1313 |
| Quad4 | 1274 | 9 | 1 | 1365 | 1373 | 1313 | 1314 |
| Quad4 | 1275 | 9 | 1 | 1374 | 1365 | 1314 | 1305 |
| Quad4 | 1276 | 9 | 1 | 1306 | 1367 | 1337 | 1305 |
| Quad4 | 1277 | 9 | 1 | 1375 | 1367 | 1306 | 1307 |
| Quad4 | 1278 | 9 | 1 | 1368 | 1333 | 1307 | 1308 |
| Quad4 | 1279 | 9 | 1 | 1376 | 1368 | 1308 | 1309 |
| Quad4 | 1280 | 9 | 1 | 1377 | 1309 | 1310 | 1361 |

Relazione di calcolo spalle

COMMESSA
NM25LOTTO
03 D 26CODIFICA
CLDOCUMENTO
IV 37 04 001REV.
AFOGLIO
241 di 439

| | | | | | | | |
|-------|------|---|---|------|------|------|------|
| Quad4 | 1281 | 9 | 1 | 1371 | 1362 | 1370 | 1311 |
| Quad4 | 1282 | 9 | 1 | 1372 | 1313 | 1373 | 1364 |
| Quad4 | 1283 | 9 | 1 | 1374 | 1305 | 1337 | 1366 |
| Quad4 | 1284 | 9 | 1 | 1375 | 1307 | 1333 | 1334 |
| Quad4 | 1285 | 9 | 1 | 1377 | 1369 | 1376 | 1309 |
| Quad4 | 1286 | 9 | 1 | 1384 | 1378 | 1320 | 1321 |
| Quad4 | 1287 | 9 | 1 | 1385 | 1321 | 1322 | 1379 |
| Quad4 | 1288 | 9 | 1 | 1386 | 1379 | 1322 | 1323 |
| Quad4 | 1289 | 9 | 1 | 1387 | 1323 | 1324 | 1381 |
| Quad4 | 1290 | 9 | 1 | 1388 | 1381 | 1324 | 1315 |
| Quad4 | 1291 | 9 | 1 | 1340 | 1315 | 1316 | 1339 |
| Quad4 | 1292 | 9 | 1 | 1389 | 1339 | 1316 | 1317 |
| Quad4 | 1293 | 9 | 1 | 1392 | 1317 | 1318 | 1391 |
| Quad4 | 1294 | 9 | 1 | 1391 | 1318 | 1319 | 1390 |
| Quad4 | 1295 | 9 | 1 | 1378 | 1357 | 1319 | 1320 |
| Quad4 | 1296 | 9 | 1 | 1385 | 1356 | 1384 | 1321 |
| Quad4 | 1297 | 9 | 1 | 1387 | 1380 | 1386 | 1323 |
| Quad4 | 1298 | 9 | 1 | 1388 | 1315 | 1340 | 1382 |
| Quad4 | 1299 | 9 | 1 | 1392 | 1383 | 1389 | 1317 |
| Quad4 | 1300 | 9 | 1 | 1358 | 1390 | 1319 | 1357 |
| Quad4 | 1301 | 9 | 1 | 1375 | 1336 | 1337 | 1367 |
| Quad4 | 1302 | 9 | 1 | 1375 | 1334 | 1335 | 1336 |
| Quad4 | 1303 | 9 | 1 | 1371 | 1390 | 1358 | 1362 |
| Quad4 | 1304 | 9 | 1 | 1372 | 1390 | 1371 | 1363 |
| Quad4 | 1305 | 9 | 1 | 1391 | 1390 | 1372 | 1364 |
| Quad4 | 1306 | 9 | 1 | 1393 | 1365 | 1374 | 1394 |
| Quad4 | 1307 | 9 | 1 | 1374 | 1366 | 1338 | 1394 |

Relazione di calcolo spalle

| | | | |
|----------|---------|----------|--------------|
| COMMESSA | LOTTO | CODIFICA | DOCUMENTO |
| NM25 | 03 D 26 | CL | IV 37 04 001 |

| | |
|------|------------|
| REV. | FOGLIO |
| A | 242 di 439 |

| | | | | | | | |
|-------|------|---|---|------|------|------|------|
| Quad4 | 1308 | 9 | 1 | 1393 | 1394 | 1383 | 1392 |
| Quad4 | 1309 | 9 | 1 | 1395 | 1345 | 1346 | 1347 |
| Quad4 | 1310 | 9 | 1 | 1395 | 1347 | 1332 | 1325 |
| Quad4 | 1311 | 9 | 1 | 1397 | 1326 | 1396 | 1021 |
| Quad4 | 1312 | 9 | 1 | 1396 | 1398 | 1395 | 1325 |
| Quad4 | 1313 | 9 | 1 | 1396 | 1326 | 1344 | 1398 |
| Quad4 | 1314 | 9 | 1 | 1326 | 1399 | 1401 | 1344 |
| Quad4 | 1315 | 9 | 1 | 1397 | 1400 | 1399 | 1326 |
| Quad4 | 1316 | 9 | 1 | 1410 | 1400 | 1397 | 1409 |
| Quad4 | 1317 | 9 | 1 | 1328 | 1352 | 1408 | 1327 |
| Quad4 | 1318 | 9 | 1 | 1351 | 1352 | 1328 | 1329 |
| Quad4 | 1319 | 9 | 1 | 1351 | 1329 | 1330 | 1350 |
| Quad4 | 1320 | 9 | 1 | 1359 | 1404 | 1350 | 1330 |
| Quad4 | 1321 | 9 | 1 | 1401 | 619 | 1402 | 1344 |
| Quad4 | 1322 | 9 | 1 | 1403 | 1348 | 1350 | 1404 |
| Quad4 | 1323 | 9 | 1 | 1407 | 1408 | 1352 | 1353 |
| Quad4 | 1324 | 9 | 1 | 1407 | 1353 | 1354 | 1406 |
| Quad4 | 1325 | 9 | 1 | 1406 | 1354 | 1355 | 1405 |
| Quad4 | 1326 | 9 | 1 | 1385 | 1405 | 1355 | 1356 |
| Quad4 | 1327 | 9 | 1 | 1406 | 1405 | 1385 | 1379 |
| Quad4 | 1328 | 9 | 1 | 1407 | 1406 | 1379 | 1386 |
| Quad4 | 1329 | 9 | 1 | 1407 | 1386 | 1380 | 1408 |
| Quad4 | 1330 | 9 | 1 | 1410 | 1387 | 1381 | 1343 |
| Quad4 | 1331 | 9 | 1 | 1388 | 1342 | 1343 | 1381 |
| Quad4 | 1332 | 9 | 1 | 1388 | 1382 | 1341 | 1342 |
| Quad4 | 1333 | 9 | 1 | 1410 | 1343 | 1399 | 1400 |
| Quad4 | 1334 | 9 | 1 | 1393 | 1392 | 1391 | 1364 |

Relazione di calcolo spalle

| | | | |
|----------|---------|----------|--------------|
| COMMESSA | LOTTO | CODIFICA | DOCUMENTO |
| NM25 | 03 D 26 | CL | IV 37 04 001 |

| | |
|------|------------|
| REV. | FOGLIO |
| A | 243 di 439 |

| | | | | | | | |
|-------|------|---|---|------|------|------|------|
| Quad4 | 1335 | 9 | 1 | 1393 | 1364 | 1373 | 1365 |
| Quad4 | 1336 | 9 | 1 | 1403 | 1404 | 1359 | 1331 |
| Quad4 | 1337 | 9 | 1 | 1403 | 1331 | 489 | 490 |
| Quad4 | 1338 | 9 | 1 | 1349 | 489 | 1331 | 1360 |
| Tri3 | 1339 | 9 | 1 | 1327 | 1408 | 1380 | |
| Tri3 | 1340 | 9 | 1 | 1380 | 1409 | 1327 | |
| Quad4 | 1341 | 9 | 1 | 1410 | 1409 | 1380 | 1387 |
| Tri3 | 1342 | 9 | 1 | 1398 | 1344 | 1402 | |
| Quad4 | 1343 | 9 | 1 | 1395 | 1398 | 1402 | 1345 |
| Tri3 | 1344 | 9 | 1 | 1338 | 1383 | 1394 | |
| Quad4 | 1345 | 9 | 1 | 1338 | 609 | 610 | 1383 |
| Quad4 | 1346 | 9 | 1 | 1424 | 996 | 997 | 1423 |
| Quad4 | 1347 | 9 | 1 | 1424 | 1423 | 1413 | 1414 |
| Quad4 | 1348 | 9 | 1 | 1426 | 1424 | 1414 | 1415 |
| Quad4 | 1349 | 9 | 1 | 1425 | 1427 | 1415 | 1416 |
| Quad4 | 1350 | 9 | 1 | 1425 | 1416 | 1417 | 1418 |
| Quad4 | 1351 | 9 | 1 | 1426 | 1415 | 1427 | 1445 |
| Quad4 | 1352 | 9 | 1 | 1428 | 1425 | 1418 | 1419 |
| Quad4 | 1353 | 9 | 1 | 1429 | 1428 | 1419 | 1420 |
| Quad4 | 1354 | 9 | 1 | 1430 | 1429 | 1420 | 1421 |
| Quad4 | 1355 | 9 | 1 | 1431 | 1430 | 1421 | 1422 |
| Quad4 | 1356 | 9 | 1 | 1431 | 1422 | 169 | 491 |
| Quad4 | 1357 | 9 | 1 | 1432 | 1431 | 491 | 490 |
| Quad4 | 1358 | 9 | 1 | 1433 | 1432 | 490 | 489 |
| Quad4 | 1359 | 9 | 1 | 1433 | 489 | 488 | 1434 |
| Quad4 | 1360 | 9 | 1 | 1435 | 1434 | 488 | 487 |
| Quad4 | 1361 | 9 | 1 | 1436 | 1435 | 487 | 486 |

Relazione di calcolo spalle

COMMESMA
NM25LOTTO
03 D 26CODIFICA
CLDOCUMENTO
IV 37 04 001REV.
AFOGLIO
244 di 439

| | | | | | | | |
|-------|------|---|---|------|------|------|------|
| Quad4 | 1362 | 9 | 1 | 1436 | 486 | 485 | 1176 |
| Quad4 | 1363 | 9 | 1 | 1437 | 1436 | 1176 | 1175 |
| Quad4 | 1364 | 9 | 1 | 1438 | 1437 | 1175 | 1174 |
| Quad4 | 1365 | 9 | 1 | 1439 | 1438 | 1174 | 1173 |
| Quad4 | 1366 | 9 | 1 | 1440 | 1439 | 1173 | 1172 |
| Quad4 | 1367 | 9 | 1 | 1440 | 1172 | 1171 | 1411 |
| Quad4 | 1368 | 9 | 1 | 1440 | 1411 | 1412 | 1441 |
| Quad4 | 1369 | 9 | 1 | 1423 | 1442 | 1412 | 1413 |
| Quad4 | 1370 | 9 | 1 | 1443 | 1441 | 1412 | 1442 |
| Quad4 | 1371 | 9 | 1 | 1423 | 997 | 1443 | 1442 |
| Quad4 | 1372 | 9 | 1 | 1444 | 1443 | 997 | 998 |
| Quad4 | 1373 | 9 | 1 | 1453 | 1444 | 998 | 999 |
| Quad4 | 1374 | 9 | 1 | 1449 | 1453 | 999 | 1000 |
| Quad4 | 1375 | 9 | 1 | 1449 | 1000 | 991 | 1451 |
| Quad4 | 1376 | 9 | 1 | 1446 | 1447 | 992 | 993 |
| Quad4 | 1377 | 9 | 1 | 1446 | 993 | 994 | 1445 |
| Quad4 | 1378 | 9 | 1 | 1426 | 1445 | 994 | 995 |
| Quad4 | 1379 | 9 | 1 | 1426 | 995 | 996 | 1424 |
| Quad4 | 1380 | 9 | 1 | 1428 | 1445 | 1427 | 1425 |
| Quad4 | 1381 | 9 | 1 | 1446 | 1445 | 1428 | 1429 |
| Quad4 | 1382 | 9 | 1 | 1446 | 1429 | 1430 | 1447 |
| Quad4 | 1383 | 9 | 1 | 1432 | 1447 | 1430 | 1431 |
| Quad4 | 1384 | 9 | 1 | 1433 | 1448 | 1447 | 1432 |
| Quad4 | 1385 | 9 | 1 | 1433 | 1434 | 1451 | 1448 |
| Quad4 | 1386 | 9 | 1 | 1450 | 1452 | 1434 | 1435 |
| Quad4 | 1387 | 9 | 1 | 1450 | 1435 | 1436 | 1437 |
| Quad4 | 1388 | 9 | 1 | 1449 | 1451 | 1434 | 1452 |

Relazione di calcolo spalle

| COMMESSA | LOTTO | CODIFICA | DOCUMENTO | REV. | FOGLIO |
|----------|---------|----------|--------------|------|------------|
| NM25 | 03 D 26 | CL | IV 37 04 001 | A | 245 di 439 |

| | | | | | | | |
|-------|------|---|---|------|------|------|------|
| Quad4 | 1389 | 9 | 1 | 1450 | 1437 | 1438 | 1453 |
| Quad4 | 1390 | 9 | 1 | 1439 | 1444 | 1453 | 1438 |
| Quad4 | 1391 | 9 | 1 | 1450 | 1453 | 1449 | 1452 |
| Tri3 | 1392 | 9 | 1 | 1441 | 1443 | 1444 | |
| Quad4 | 1393 | 9 | 1 | 1440 | 1441 | 1444 | 1439 |
| Tri3 | 1394 | 9 | 1 | 1448 | 1451 | 991 | |
| Quad4 | 1395 | 9 | 1 | 1448 | 991 | 992 | 1447 |
| Quad4 | 1396 | 9 | 1 | 1485 | 908 | 909 | 1484 |
| Quad4 | 1397 | 9 | 1 | 1485 | 1484 | 1454 | 1455 |
| Quad4 | 1398 | 9 | 1 | 1485 | 1486 | 907 | 908 |
| Quad4 | 1399 | 9 | 1 | 1485 | 1455 | 1456 | 1486 |
| Quad4 | 1400 | 9 | 1 | 1488 | 1459 | 1460 | 1487 |
| Quad4 | 1401 | 9 | 1 | 1488 | 1487 | 904 | 905 |
| Quad4 | 1402 | 9 | 1 | 1488 | 1489 | 1458 | 1459 |
| Quad4 | 1403 | 9 | 1 | 1488 | 905 | 906 | 1489 |
| Quad4 | 1404 | 9 | 1 | 1491 | 927 | 928 | 1490 |
| Quad4 | 1405 | 9 | 1 | 1491 | 1490 | 1464 | 1465 |
| Quad4 | 1406 | 9 | 1 | 1492 | 926 | 927 | 1491 |
| Quad4 | 1407 | 9 | 1 | 1492 | 1491 | 1465 | 1466 |
| Quad4 | 1408 | 9 | 1 | 1494 | 971 | 972 | 1493 |
| Quad4 | 1409 | 9 | 1 | 1494 | 1493 | 1470 | 1471 |
| Quad4 | 1410 | 9 | 1 | 1495 | 970 | 971 | 1494 |
| Quad4 | 1411 | 9 | 1 | 1495 | 1494 | 1471 | 1472 |
| Quad4 | 1412 | 9 | 1 | 1497 | 949 | 950 | 1496 |
| Quad4 | 1413 | 9 | 1 | 1497 | 1496 | 1476 | 1477 |
| Quad4 | 1414 | 9 | 1 | 1498 | 948 | 949 | 1497 |
| Quad4 | 1415 | 9 | 1 | 1498 | 1497 | 1477 | 1478 |

Relazione di calcolo spalle

| COMMESSA | LOTTO | CODIFICA | DOCUMENTO | REV. | FOGLIO |
|----------|---------|----------|--------------|------|------------|
| NM25 | 03 D 26 | CL | IV 37 04 001 | A | 246 di 439 |

| | | | | | | | |
|-------|------|---|---|------|------|------|------|
| Quad4 | 1416 | 9 | 1 | 1489 | 906 | 907 | 1486 |
| Quad4 | 1417 | 9 | 1 | 1499 | 1490 | 928 | 929 |
| Quad4 | 1418 | 9 | 1 | 1500 | 1499 | 929 | 930 |
| Quad4 | 1419 | 9 | 1 | 1570 | 1500 | 930 | 931 |
| Quad4 | 1420 | 9 | 1 | 1563 | 931 | 932 | 1501 |
| Quad4 | 1421 | 9 | 1 | 1502 | 1501 | 932 | 933 |
| Quad4 | 1422 | 9 | 1 | 1502 | 933 | 934 | 1503 |
| Quad4 | 1423 | 9 | 1 | 1504 | 1503 | 934 | 925 |
| Quad4 | 1424 | 9 | 1 | 1505 | 1504 | 925 | 926 |
| Quad4 | 1425 | 9 | 1 | 1506 | 1505 | 926 | 1492 |
| Quad4 | 1426 | 9 | 1 | 1506 | 1492 | 1466 | 1467 |
| Quad4 | 1427 | 9 | 1 | 1507 | 1506 | 1467 | 1468 |
| Quad4 | 1428 | 9 | 1 | 1507 | 1468 | 1469 | 1508 |
| Quad4 | 1429 | 9 | 1 | 1509 | 1469 | 1470 | 1493 |
| Quad4 | 1430 | 9 | 1 | 1518 | 1508 | 1469 | 1509 |
| Quad4 | 1431 | 9 | 1 | 1509 | 1493 | 972 | 973 |
| Quad4 | 1432 | 9 | 1 | 1511 | 1510 | 973 | 974 |
| Quad4 | 1433 | 9 | 1 | 1512 | 1511 | 974 | 975 |
| Quad4 | 1434 | 9 | 1 | 1513 | 1512 | 975 | 976 |
| Quad4 | 1435 | 9 | 1 | 1514 | 1513 | 976 | 977 |
| Quad4 | 1436 | 9 | 1 | 1514 | 977 | 978 | 1525 |
| Quad4 | 1437 | 9 | 1 | 1515 | 1525 | 978 | 969 |
| Quad4 | 1438 | 9 | 1 | 1516 | 1515 | 969 | 970 |
| Quad4 | 1439 | 9 | 1 | 1517 | 1516 | 970 | 1495 |
| Quad4 | 1440 | 9 | 1 | 1517 | 1495 | 1472 | 1473 |
| Quad4 | 1441 | 9 | 1 | 1518 | 1509 | 973 | 1510 |
| Quad4 | 1442 | 9 | 1 | 1519 | 1576 | 1518 | 1510 |

Relazione di calcolo spalle

| | | | |
|----------|---------|----------|--------------|
| COMMESSA | LOTTO | CODIFICA | DOCUMENTO |
| NM25 | 03 D 26 | CL | IV 37 04 001 |

| | |
|------|------------|
| REV. | FOGLIO |
| A | 247 di 439 |

| | | | | | | | |
|-------|------|---|---|------|------|------|------|
| Quad4 | 1443 | 9 | 1 | 1520 | 1519 | 1510 | 1511 |
| Quad4 | 1444 | 9 | 1 | 1520 | 1511 | 1512 | 176 |
| Quad4 | 1445 | 9 | 1 | 1513 | 177 | 176 | 1512 |
| Quad4 | 1446 | 9 | 1 | 1514 | 178 | 177 | 1513 |
| Quad4 | 1447 | 9 | 1 | 1522 | 1521 | 1525 | 1515 |
| Quad4 | 1448 | 9 | 1 | 1523 | 1522 | 1515 | 1516 |
| Quad4 | 1449 | 9 | 1 | 1523 | 1516 | 1517 | 1524 |
| Quad4 | 1450 | 9 | 1 | 1517 | 1473 | 1474 | 1524 |
| Quad4 | 1451 | 9 | 1 | 1514 | 1525 | 179 | 178 |
| Quad4 | 1452 | 9 | 1 | 1543 | 1526 | 951 | 952 |
| Quad4 | 1453 | 9 | 1 | 1544 | 952 | 953 | 1535 |
| Quad4 | 1454 | 9 | 1 | 1539 | 1535 | 953 | 954 |
| Quad4 | 1455 | 9 | 1 | 1539 | 954 | 955 | 1534 |
| Quad4 | 1456 | 9 | 1 | 1541 | 955 | 956 | 1528 |
| Quad4 | 1457 | 9 | 1 | 1530 | 1528 | 956 | 947 |
| Quad4 | 1458 | 9 | 1 | 1532 | 1530 | 947 | 948 |
| Quad4 | 1459 | 9 | 1 | 1532 | 948 | 1498 | 1529 |
| Quad4 | 1460 | 9 | 1 | 1529 | 1498 | 1478 | 1479 |
| Quad4 | 1461 | 9 | 1 | 1529 | 1479 | 1480 | 1481 |
| Quad4 | 1462 | 9 | 1 | 1532 | 1529 | 1481 | 1482 |
| Quad4 | 1463 | 9 | 1 | 1533 | 1482 | 1483 | 1531 |
| Quad4 | 1464 | 9 | 1 | 1531 | 1483 | 187 | 186 |
| Quad4 | 1465 | 9 | 1 | 1533 | 1530 | 1532 | 1482 |
| Quad4 | 1466 | 9 | 1 | 1538 | 1531 | 186 | 185 |
| Quad4 | 1467 | 9 | 1 | 1534 | 1542 | 185 | 184 |
| Quad4 | 1468 | 9 | 1 | 1539 | 1534 | 184 | 183 |
| Quad4 | 1469 | 9 | 1 | 1536 | 1540 | 183 | 182 |

Relazione di calcolo spalle

| COMMESMA | LOTTO | CODIFICA | DOCUMENTO | REV. | FOGLIO |
|----------|---------|----------|--------------|------|------------|
| NM25 | 03 D 26 | CL | IV 37 04 001 | A | 248 di 439 |

| | | | | | | | |
|-------|------|---|---|------|------|------|------|
| Quad4 | 1470 | 9 | 1 | 1536 | 182 | 181 | 1537 |
| Quad4 | 1471 | 9 | 1 | 1521 | 1537 | 181 | 180 |
| Quad4 | 1472 | 9 | 1 | 1521 | 180 | 179 | 1525 |
| Quad4 | 1473 | 9 | 1 | 1541 | 1538 | 185 | 1542 |
| Quad4 | 1474 | 9 | 1 | 1539 | 183 | 1540 | 1535 |
| Quad4 | 1475 | 9 | 1 | 1541 | 1542 | 1534 | 955 |
| Quad4 | 1476 | 9 | 1 | 1544 | 1527 | 1543 | 952 |
| Quad4 | 1477 | 9 | 1 | 1547 | 1545 | 1475 | 1546 |
| Quad4 | 1478 | 9 | 1 | 1547 | 1546 | 1526 | 1543 |
| Quad4 | 1479 | 9 | 1 | 1548 | 1547 | 1543 | 1527 |
| Quad4 | 1480 | 9 | 1 | 1549 | 1548 | 1527 | 1537 |
| Quad4 | 1481 | 9 | 1 | 1544 | 1536 | 1537 | 1527 |
| Quad4 | 1482 | 9 | 1 | 1544 | 1535 | 1540 | 1536 |
| Quad4 | 1483 | 9 | 1 | 1551 | 1550 | 1461 | 1462 |
| Quad4 | 1484 | 9 | 1 | 1552 | 1551 | 1462 | 1463 |
| Quad4 | 1485 | 9 | 1 | 1499 | 1463 | 1464 | 1490 |
| Quad4 | 1486 | 9 | 1 | 1552 | 1463 | 1499 | 1500 |
| Quad4 | 1487 | 9 | 1 | 1554 | 910 | 911 | 1555 |
| Quad4 | 1488 | 9 | 1 | 1555 | 911 | 912 | 1556 |
| Quad4 | 1489 | 9 | 1 | 1577 | 1556 | 912 | 903 |
| Quad4 | 1490 | 9 | 1 | 1578 | 903 | 904 | 1558 |
| Quad4 | 1491 | 9 | 1 | 1558 | 904 | 1487 | 1553 |
| Quad4 | 1492 | 9 | 1 | 1560 | 1418 | 1417 | 1454 |
| Quad4 | 1493 | 9 | 1 | 1560 | 1454 | 1484 | 1559 |
| Quad4 | 1494 | 9 | 1 | 1561 | 1520 | 176 | 175 |
| Quad4 | 1495 | 9 | 1 | 1562 | 1561 | 175 | 174 |
| Quad4 | 1496 | 9 | 1 | 1562 | 174 | 173 | 1503 |

Relazione di calcolo spalle

| COMMESSA | LOTTO | CODIFICA | DOCUMENTO | REV. | FOGLIO |
|----------|---------|----------|--------------|------|------------|
| NM25 | 03 D 26 | CL | IV 37 04 001 | A | 249 di 439 |

| | | | | | | | |
|-------|------|---|---|------|------|------|------|
| Quad4 | 1497 | 9 | 1 | 1502 | 1503 | 173 | 172 |
| Quad4 | 1498 | 9 | 1 | 1502 | 172 | 171 | 1501 |
| Quad4 | 1499 | 9 | 1 | 1564 | 1568 | 171 | 170 |
| Quad4 | 1500 | 9 | 1 | 1565 | 1564 | 170 | 169 |
| Quad4 | 1501 | 9 | 1 | 1566 | 1565 | 169 | 1422 |
| Quad4 | 1502 | 9 | 1 | 1566 | 1422 | 1421 | 1567 |
| Quad4 | 1503 | 9 | 1 | 1560 | 1569 | 1419 | 1418 |
| Quad4 | 1504 | 9 | 1 | 1563 | 1501 | 171 | 1568 |
| Quad4 | 1505 | 9 | 1 | 1579 | 1570 | 931 | 1563 |
| Quad4 | 1506 | 9 | 1 | 1560 | 1559 | 1554 | 1569 |
| Quad4 | 1507 | 9 | 1 | 1541 | 1528 | 1571 | 1538 |
| Quad4 | 1508 | 9 | 1 | 1533 | 1571 | 1528 | 1530 |
| Quad4 | 1509 | 9 | 1 | 1538 | 1571 | 1533 | 1531 |
| Quad4 | 1510 | 9 | 1 | 1548 | 1572 | 1545 | 1547 |
| Quad4 | 1511 | 9 | 1 | 1549 | 1573 | 1572 | 1548 |
| Quad4 | 1512 | 9 | 1 | 1549 | 1522 | 1523 | 1573 |
| Quad4 | 1513 | 9 | 1 | 1549 | 1537 | 1521 | 1522 |
| Quad4 | 1514 | 9 | 1 | 1523 | 1524 | 1572 | 1573 |
| Quad4 | 1515 | 9 | 1 | 1561 | 1574 | 1519 | 1520 |
| Quad4 | 1516 | 9 | 1 | 1575 | 1574 | 1561 | 1562 |
| Quad4 | 1517 | 9 | 1 | 1575 | 1562 | 1503 | 1504 |
| Quad4 | 1518 | 9 | 1 | 1575 | 1504 | 1505 | 1576 |
| Quad4 | 1519 | 9 | 1 | 1507 | 1576 | 1505 | 1506 |
| Quad4 | 1520 | 9 | 1 | 1518 | 1576 | 1507 | 1508 |
| Quad4 | 1521 | 9 | 1 | 1575 | 1576 | 1519 | 1574 |
| Quad4 | 1522 | 9 | 1 | 1578 | 1557 | 1577 | 903 |
| Quad4 | 1523 | 9 | 1 | 1579 | 1563 | 1568 | 1564 |

Relazione di calcolo spalle

| COMMESSA | LOTTO | CODIFICA | DOCUMENTO | REV. | FOGLIO |
|----------|---------|----------|--------------|------|------------|
| NM25 | 03 D 26 | CL | IV 37 04 001 | A | 250 di 439 |

| | | | | | | | |
|-------|------|---|---|------|------|------|------|
| Quad4 | 1524 | 9 | 1 | 1582 | 1579 | 1564 | 1565 |
| Quad4 | 1525 | 9 | 1 | 1582 | 1565 | 1566 | 1581 |
| Quad4 | 1526 | 9 | 1 | 1581 | 1566 | 1567 | 1580 |
| Quad4 | 1527 | 9 | 1 | 1577 | 1580 | 1567 | 1556 |
| Quad4 | 1528 | 9 | 1 | 1581 | 1580 | 1577 | 1557 |
| Quad4 | 1529 | 9 | 1 | 1582 | 1581 | 1557 | 1585 |
| Quad4 | 1530 | 9 | 1 | 1584 | 1585 | 1557 | 1578 |
| Quad4 | 1531 | 9 | 1 | 1584 | 1578 | 1558 | 1583 |
| Quad4 | 1532 | 9 | 1 | 1558 | 1553 | 1550 | 1583 |
| Quad4 | 1533 | 9 | 1 | 1584 | 1583 | 1550 | 1551 |
| Quad4 | 1534 | 9 | 1 | 1584 | 1551 | 1552 | 1585 |
| Quad4 | 1535 | 9 | 1 | 1570 | 1585 | 1552 | 1500 |
| Quad4 | 1536 | 9 | 1 | 1582 | 1585 | 1570 | 1579 |
| Quad4 | 1537 | 9 | 1 | 1526 | 1496 | 950 | 951 |
| Tri3 | 1538 | 9 | 1 | 1569 | 1554 | 1555 | |
| Quad4 | 1539 | 9 | 1 | 1569 | 1555 | 1420 | 1419 |
| Tri3 | 1540 | 9 | 1 | 1486 | 1458 | 1489 | |
| Quad4 | 1541 | 9 | 1 | 1486 | 1456 | 1457 | 1458 |
| Tri3 | 1542 | 9 | 1 | 1553 | 1487 | 1460 | |
| Quad4 | 1543 | 9 | 1 | 1550 | 1553 | 1460 | 1461 |
| Tri3 | 1544 | 9 | 1 | 1559 | 1484 | 909 | |
| Quad4 | 1545 | 9 | 1 | 1559 | 909 | 910 | 1554 |
| Tri3 | 1546 | 9 | 1 | 1545 | 1572 | 1524 | |
| Quad4 | 1547 | 9 | 1 | 1545 | 1524 | 1474 | 1475 |
| Tri3 | 1548 | 9 | 1 | 1546 | 1496 | 1526 | |
| Quad4 | 1549 | 9 | 1 | 1546 | 1475 | 1476 | 1496 |
| Tri3 | 1550 | 9 | 1 | 1567 | 1555 | 1556 | |



RADDOPPIO LINEA CODOGNO – CREMONA – MANTOVA
TRATTA PIADENA - MANTOVA

Relazione di calcolo spalle

COMMESMA LOTTO CODIFICA DOCUMENTO REV. FOGLIO
NM25 03 D 26 CL IV 37 04 001 A 251 di 439

Quad4 1551 9 1 1567 1421 1420 1555

/ _____

/ RIGID LINKS

RigidLink 1 3 1598 XYZ

RigidLink 1 6 1599 XYZ

/ _____

/ NODE RESTRAINTS (ROTATION AS RADIAN)

/ Freedom Case 1

NdFreedom 2 1586 1 DZ

NdFreedom 2 1587 1 DZ

NdFreedom 2 1588 1 DZ

NdFreedom 2 1589 1 DZ

NdFreedom 2 1590 1 DZ

NdFreedom 2 1591 1 DZ

NdFreedom 2 1592 1 DZ

NdFreedom 2 1593 1 DZ

NdFreedom 2 1594 1 DZ

NdFreedom 2 1595 1 DZ

NdFreedom 2 1596 1 DZ

NdFreedom 2 1597 1 DZ

/ _____

/ PLATE FACE PRESSURES

| | | | | | | |
|---|---|------------------|----------------|---------------------------|-----------|----------------------|
|  ITALFERR GRUPPO FERROVIE DELLO STATO ITALIANE | RADDOPPIO LINEA CODOGNO – CREMONA – MANTOVA TRATTA PIADENA - MANTOVA | | | | | |
| Relazione di calcolo spalle | COMMESA NM25 | LOTTO 03 D 26 | CODIFICA CL | DOCUMENTO IV 37 04 001 | REV. A | FOGLIO 252 di 439 |

/ SPINTA STATICÀ

| | | | |
|------------|---|----|----------------------|
| PlPressure | 7 | 1 | 1.085944999999999E+1 |
| PlPressure | 7 | 2 | 1.085944999999999E+1 |
| PlPressure | 7 | 3 | 1.085944999999999E+1 |
| PlPressure | 7 | 4 | 1.085944999999999E+1 |
| PlPressure | 7 | 5 | 1.085944999999999E+1 |
| PlPressure | 7 | 6 | 1.085944999999999E+1 |
| PlPressure | 7 | 7 | 1.085944999999999E+1 |
| PlPressure | 7 | 8 | 6.51567000000000E+0 |
| PlPressure | 7 | 9 | 6.51567000000000E+0 |
| PlPressure | 7 | 10 | 6.51567000000000E+0 |
| PlPressure | 7 | 11 | 6.51567000000000E+0 |
| PlPressure | 7 | 12 | 6.51567000000000E+0 |
| PlPressure | 7 | 13 | 6.51567000000000E+0 |
| PlPressure | 7 | 14 | 6.51567000000000E+0 |
| PlPressure | 7 | 15 | 2.17189000000001E+0 |
| PlPressure | 7 | 16 | 2.17189000000001E+0 |
| PlPressure | 7 | 17 | 2.17189000000001E+0 |
| PlPressure | 7 | 18 | 2.17189000000001E+0 |
| PlPressure | 7 | 19 | 2.17189000000001E+0 |
| PlPressure | 7 | 20 | 2.17189000000001E+0 |
| PlPressure | 7 | 21 | 2.17189000000001E+0 |
| PlPressure | 7 | 22 | 1.085944999999999E+1 |
| PlPressure | 7 | 23 | 1.085944999999999E+1 |
| PlPressure | 7 | 24 | 1.085944999999999E+1 |
| PlPressure | 7 | 25 | 1.085944999999999E+1 |
| PlPressure | 7 | 26 | 1.085944999999999E+1 |

Relazione di calcolo spalle

| COMMESA | LOTTO | CODIFICA | DOCUMENTO | REV. | FOGLIO |
|---------|---------|----------|--------------|------|------------|
| NM25 | 03 D 26 | CL | IV 37 04 001 | A | 253 di 439 |

| | | | |
|------------|---|----|----------------------|
| PlPressure | 7 | 27 | 1.085944999999999E+1 |
| PlPressure | 7 | 28 | 1.085944999999999E+1 |
| PlPressure | 7 | 29 | 1.085944999999999E+1 |
| PlPressure | 7 | 30 | 1.085944999999999E+1 |
| PlPressure | 7 | 31 | 1.085944999999999E+1 |
| PlPressure | 7 | 32 | 1.085944999999999E+1 |
| PlPressure | 7 | 33 | 1.085944999999999E+1 |
| PlPressure | 7 | 34 | 1.085944999999999E+1 |
| PlPressure | 7 | 35 | 1.085944999999999E+1 |
| PlPressure | 7 | 36 | 1.085944999999999E+1 |
| PlPressure | 7 | 37 | 1.085944999999999E+1 |
| PlPressure | 7 | 38 | 1.085944999999999E+1 |
| PlPressure | 7 | 39 | 6.51567000000000E+0 |
| PlPressure | 7 | 40 | 6.51567000000000E+0 |
| PlPressure | 7 | 41 | 6.51567000000000E+0 |
| PlPressure | 7 | 42 | 6.51567000000000E+0 |
| PlPressure | 7 | 43 | 6.51567000000000E+0 |
| PlPressure | 7 | 44 | 6.51567000000000E+0 |
| PlPressure | 7 | 45 | 6.51566999999998E+0 |
| PlPressure | 7 | 46 | 6.51566999999998E+0 |
| PlPressure | 7 | 47 | 6.51566999999998E+0 |
| PlPressure | 7 | 48 | 6.51566999999998E+0 |
| PlPressure | 7 | 49 | 6.51566999999998E+0 |
| PlPressure | 7 | 50 | 6.51566999999998E+0 |
| PlPressure | 7 | 51 | 6.51566999999998E+0 |
| PlPressure | 7 | 52 | 6.51566999999998E+0 |
| PlPressure | 7 | 53 | 6.51567000000000E+0 |

| Relazione di calcolo spalle | COMMESMA NM25 | LOTTO 03 D 26 | CODIFICA CL | DOCUMENTO IV 37 04 001 | REV. A | FOGLIO 254 di 439 |
|-----------------------------|------------------|------------------|----------------|---------------------------|-----------|----------------------|
|-----------------------------|------------------|------------------|----------------|---------------------------|-----------|----------------------|

| | | | |
|------------|---|----|----------------------|
| PlPressure | 7 | 54 | 6.515670000000000E+0 |
| PlPressure | 7 | 55 | 6.515670000000000E+0 |
| PlPressure | 7 | 56 | 2.17189000000001E+0 |
| PlPressure | 7 | 57 | 2.17189000000001E+0 |
| PlPressure | 7 | 58 | 2.17189000000001E+0 |
| PlPressure | 7 | 59 | 2.17189000000001E+0 |
| PlPressure | 7 | 60 | 2.17189000000001E+0 |
| PlPressure | 7 | 61 | 2.17189000000001E+0 |
| PlPressure | 7 | 62 | 2.1718899999999E+0 |
| PlPressure | 7 | 63 | 2.17189000000001E+0 |
| PlPressure | 7 | 64 | 2.1718899999999E+0 |
| PlPressure | 7 | 65 | 2.1718899999999E+0 |
| PlPressure | 7 | 66 | 2.1718899999999E+0 |
| PlPressure | 7 | 67 | 2.1718899999999E+0 |
| PlPressure | 7 | 68 | 2.1718899999999E+0 |
| PlPressure | 7 | 69 | 2.17189000000001E+0 |
| PlPressure | 7 | 70 | 2.17189000000001E+0 |
| PlPressure | 7 | 71 | 2.17189000000001E+0 |
| PlPressure | 7 | 72 | 2.17189000000001E+0 |
| PlPressure | 7 | 73 | 1.08594499999999E+1 |
| PlPressure | 7 | 74 | 1.08594499999999E+1 |
| PlPressure | 7 | 75 | 1.08594499999999E+1 |
| PlPressure | 7 | 76 | 1.08594499999999E+1 |
| PlPressure | 7 | 77 | 1.08594499999999E+1 |
| PlPressure | 7 | 78 | 1.08594499999999E+1 |
| PlPressure | 7 | 79 | 1.08594499999999E+1 |
| PlPressure | 7 | 80 | 1.08594499999999E+1 |

Relazione di calcolo spalle

COMMESA LOTTO CODIFICA DOCUMENTO REV. FOGLIO
NM25 03 D 26 CL IV 37 04 001 A 255 di 439

| | | | |
|------------|---|-----|----------------------|
| PlPressure | 7 | 81 | 1.085944999999999E+1 |
| PlPressure | 7 | 82 | 1.085944999999999E+1 |
| PlPressure | 7 | 83 | 1.085944999999999E+1 |
| PlPressure | 7 | 84 | 1.085944999999999E+1 |
| PlPressure | 7 | 85 | 1.085944999999999E+1 |
| PlPressure | 7 | 86 | 1.085944999999999E+1 |
| PlPressure | 7 | 87 | 1.085944999999999E+1 |
| PlPressure | 7 | 88 | 1.085944999999999E+1 |
| PlPressure | 7 | 89 | 1.085944999999999E+1 |
| PlPressure | 7 | 90 | 6.515670000000000E+0 |
| PlPressure | 7 | 91 | 6.515670000000000E+0 |
| PlPressure | 7 | 92 | 6.515670000000000E+0 |
| PlPressure | 7 | 93 | 6.515670000000000E+0 |
| PlPressure | 7 | 94 | 6.515670000000000E+0 |
| PlPressure | 7 | 95 | 6.515670000000000E+0 |
| PlPressure | 7 | 96 | 6.515670000000000E+0 |
| PlPressure | 7 | 97 | 6.515670000000000E+0 |
| PlPressure | 7 | 98 | 6.515670000000000E+0 |
| PlPressure | 7 | 99 | 6.515670000000000E+0 |
| PlPressure | 7 | 100 | 6.515670000000000E+0 |
| PlPressure | 7 | 101 | 6.515670000000000E+0 |
| PlPressure | 7 | 102 | 6.515670000000000E+0 |
| PlPressure | 7 | 103 | 6.515670000000000E+0 |
| PlPressure | 7 | 104 | 6.515670000000000E+0 |
| PlPressure | 7 | 105 | 6.515670000000000E+0 |
| PlPressure | 7 | 106 | 6.515670000000000E+0 |
| PlPressure | 7 | 107 | 2.17189000000001E+0 |

Relazione di calcolo spalle

| | | | |
|----------|---------|----------|--------------|
| COMMESMA | LOTTO | CODIFICA | DOCUMENTO |
| NM25 | 03 D 26 | CL | IV 37 04 001 |

| | |
|------|------------|
| REV. | FOGLIO |
| A | 256 di 439 |

| | | | |
|------------|---|-----|----------------------|
| PlPressure | 7 | 108 | 2.171890000000001E+0 |
| PlPressure | 7 | 109 | 2.171890000000001E+0 |
| PlPressure | 7 | 110 | 2.171890000000001E+0 |
| PlPressure | 7 | 111 | 2.171890000000001E+0 |
| PlPressure | 7 | 112 | 2.171890000000001E+0 |
| PlPressure | 7 | 113 | 2.171890000000001E+0 |
| PlPressure | 7 | 114 | 2.171890000000001E+0 |
| PlPressure | 7 | 115 | 2.171890000000001E+0 |
| PlPressure | 7 | 116 | 2.171890000000001E+0 |
| PlPressure | 7 | 117 | 2.171890000000001E+0 |
| PlPressure | 7 | 118 | 2.171890000000001E+0 |
| PlPressure | 7 | 119 | 2.171890000000001E+0 |
| PlPressure | 7 | 120 | 2.171890000000001E+0 |
| PlPressure | 7 | 121 | 2.171890000000001E+0 |
| PlPressure | 7 | 122 | 2.171890000000001E+0 |
| PlPressure | 7 | 123 | 2.171890000000001E+0 |
| PlPressure | 7 | 124 | 1.51142505567528E+1 |
| PlPressure | 7 | 125 | 1.51141015754080E+1 |
| PlPressure | 7 | 126 | 1.51141369820953E+1 |
| PlPressure | 7 | 127 | 1.51144370241433E+1 |
| PlPressure | 7 | 128 | 1.51150565434105E+1 |
| PlPressure | 7 | 129 | 1.51159760382671E+1 |
| PlPressure | 7 | 130 | 1.51170008772624E+1 |
| PlPressure | 7 | 131 | 1.51178096760490E+1 |
| PlPressure | 7 | 132 | 1.51180419283894E+1 |
| PlPressure | 7 | 133 | 1.51175262786450E+1 |
| PlPressure | 7 | 134 | 1.51165674573709E+1 |

Relazione di calcolo spalle

COMMESA LOTTO CODIFICA DOCUMENTO REV. FOGLIO
NM25 03 D 26 CL IV 37 04 001 A 257 di 439

| | | | |
|------------|---|-----|---------------------|
| PlPressure | 7 | 135 | 1.51157509540508E+1 |
| PlPressure | 7 | 136 | 1.51153630025962E+1 |
| PlPressure | 7 | 137 | 1.51152329718483E+1 |
| PlPressure | 7 | 138 | 1.51151460466879E+1 |
| PlPressure | 7 | 139 | 1.51149489663113E+1 |
| PlPressure | 7 | 140 | 1.51145747960395E+1 |
| PlPressure | 7 | 141 | 1.92812295375129E+1 |
| PlPressure | 7 | 142 | 2.34483398564156E+1 |
| PlPressure | 7 | 143 | 2.76161741926856E+1 |
| PlPressure | 7 | 144 | 3.17849816783082E+1 |
| PlPressure | 7 | 145 | 3.59548776938131E+1 |
| PlPressure | 7 | 146 | 4.01258771570711E+1 |
| PlPressure | 7 | 147 | 4.42978049972173E+1 |
| PlPressure | 7 | 148 | 4.84702910762706E+1 |
| PlPressure | 7 | 149 | 5.26427466775347E+1 |
| PlPressure | 7 | 150 | 5.68142832745895E+1 |
| PlPressure | 7 | 151 | 6.09837547006871E+1 |
| PlPressure | 7 | 152 | 6.51500397362849E+1 |
| PlPressure | 7 | 153 | 6.93124018806844E+1 |
| PlPressure | 7 | 154 | 7.34707014358649E+1 |
| PlPressure | 7 | 155 | 7.76254638463886E+1 |
| PlPressure | 7 | 156 | 8.17779545156793E+1 |
| PlPressure | 7 | 157 | 8.17924156574914E+1 |
| PlPressure | 7 | 158 | 8.18075813671994E+1 |
| PlPressure | 7 | 159 | 8.18236845399072E+1 |
| PlPressure | 7 | 160 | 8.18402452588402E+1 |
| PlPressure | 7 | 161 | 8.18561174177726E+1 |

Relazione di calcolo spalle

| COMMESSA | LOTTO | CODIFICA | DOCUMENTO | REV. | FOGLIO |
|----------|---------|----------|--------------|------|------------|
| NM25 | 03 D 26 | CL | IV 37 04 001 | A | 258 di 439 |

| | | | |
|------------|---|-----|---------------------|
| PlPressure | 7 | 162 | 8.18696644939685E+1 |
| PlPressure | 7 | 163 | 8.18791543668361E+1 |
| PlPressure | 7 | 164 | 8.18832791104578E+1 |
| PlPressure | 7 | 165 | 8.18816016698237E+1 |
| PlPressure | 7 | 166 | 8.18747000571175E+1 |
| PlPressure | 7 | 167 | 8.18638965696497E+1 |
| PlPressure | 7 | 168 | 8.18507276137500E+1 |
| PlPressure | 7 | 169 | 8.18364506674807E+1 |
| PlPressure | 7 | 170 | 8.18218096592970E+1 |
| PlPressure | 7 | 171 | 8.18071115541739E+1 |
| PlPressure | 7 | 172 | 8.17924538369668E+1 |
| PlPressure | 7 | 173 | 8.17779834701413E+1 |
| PlPressure | 7 | 174 | 7.76254007306506E+1 |
| PlPressure | 7 | 175 | 7.34705648008973E+1 |
| PlPressure | 7 | 176 | 6.93123990679739E+1 |
| PlPressure | 7 | 177 | 6.51499729374095E+1 |
| PlPressure | 7 | 178 | 6.09829007587570E+1 |
| PlPressure | 7 | 179 | 5.68115870126514E+1 |
| PlPressure | 7 | 180 | 5.26372773595686E+1 |
| PlPressure | 7 | 181 | 4.84618187118021E+1 |
| PlPressure | 7 | 182 | 4.42871443102169E+1 |
| PlPressure | 7 | 183 | 4.01146644936715E+1 |
| PlPressure | 7 | 184 | 3.59448723878775E+1 |
| PlPressure | 7 | 185 | 3.17773723144035E+1 |
| PlPressure | 7 | 186 | 2.76112714125007E+1 |
| PlPressure | 7 | 187 | 2.34456540831598E+1 |
| PlPressure | 7 | 188 | 1.92800123533442E+1 |

| Relazione di calcolo spalle | COMMESSA NM25 | LOTTO 03 D 26 | CODIFICA CL | DOCUMENTO IV 37 04 001 | REV. A | FOGLIO 259 di 439 |
|-----------------------------|------------------|------------------|----------------|---------------------------|-----------|----------------------|
|-----------------------------|------------------|------------------|----------------|---------------------------|-----------|----------------------|

| | | | |
|------------|---|-----|---------------------|
| PlPressure | 7 | 189 | 1.92826438182293E+1 |
| PlPressure | 7 | 190 | 2.34516973062243E+1 |
| PlPressure | 7 | 191 | 2.76231597701958E+1 |
| PlPressure | 7 | 192 | 3.17977969863009E+1 |
| PlPressure | 7 | 193 | 3.59759157255199E+1 |
| PlPressure | 7 | 194 | 4.01575721778791E+1 |
| PlPressure | 7 | 195 | 4.43421270480589E+1 |
| PlPressure | 7 | 196 | 4.85283529537876E+1 |
| PlPressure | 7 | 197 | 5.27144482574680E+1 |
| PlPressure | 7 | 198 | 5.68976727855162E+1 |
| PlPressure | 7 | 199 | 6.10744039404372E+1 |
| PlPressure | 7 | 200 | 6.52410977128233E+1 |
| PlPressure | 7 | 201 | 6.93954982416556E+1 |
| PlPressure | 7 | 202 | 7.35372653581266E+1 |
| PlPressure | 7 | 203 | 7.76680331028962E+1 |
| PlPressure | 7 | 204 | 7.77131429909948E+1 |
| PlPressure | 7 | 205 | 7.77611281584537E+1 |
| PlPressure | 7 | 206 | 7.78110119962727E+1 |
| PlPressure | 7 | 207 | 7.78593074179956E+1 |
| PlPressure | 7 | 208 | 7.79009290894984E+1 |
| PlPressure | 7 | 209 | 7.79303819396263E+1 |
| PlPressure | 7 | 210 | 7.79433998010415E+1 |
| PlPressure | 7 | 211 | 7.79384364244964E+1 |
| PlPressure | 7 | 212 | 7.79172304060382E+1 |
| PlPressure | 7 | 213 | 7.78839587197473E+1 |
| PlPressure | 7 | 214 | 7.78435107084112E+1 |
| PlPressure | 7 | 215 | 7.77999183527775E+1 |

Relazione di calcolo spalle

| COMMESSA | LOTTO | CODIFICA | DOCUMENTO | REV. | FOGLIO |
|----------|---------|----------|--------------|------|------------|
| NM25 | 03 D 26 | CL | IV 37 04 001 | A | 260 di 439 |

| | | | |
|------------|---|-----|---------------------|
| PlPressure | 7 | 216 | 7.77555906188863E+1 |
| PlPressure | 7 | 217 | 7.77115015877527E+1 |
| PlPressure | 7 | 218 | 7.76677869768646E+1 |
| PlPressure | 7 | 219 | 7.35365473299883E+1 |
| PlPressure | 7 | 220 | 6.93947926758511E+1 |
| PlPressure | 7 | 221 | 6.52401598841985E+1 |
| PlPressure | 7 | 222 | 6.10712975360138E+1 |
| PlPressure | 7 | 223 | 5.68892824095803E+1 |
| PlPressure | 7 | 224 | 5.26978466668544E+1 |
| PlPressure | 7 | 225 | 4.85026930257633E+1 |
| PlPressure | 7 | 226 | 4.43098930976472E+1 |
| PlPressure | 7 | 227 | 4.01238929395053E+1 |
| PlPressure | 7 | 228 | 3.59462147927857E+1 |
| PlPressure | 7 | 229 | 3.17755985295992E+1 |
| PlPressure | 7 | 230 | 2.76093102305576E+1 |
| PlPressure | 7 | 231 | 2.34444532252511E+1 |
| PlPressure | 7 | 232 | 1.92794507796866E+1 |
| PlPressure | 7 | 233 | 1.92795236508726E+1 |
| PlPressure | 7 | 234 | 1.92805110738518E+1 |
| PlPressure | 7 | 235 | 1.92826524866051E+1 |
| PlPressure | 7 | 236 | 1.92859776297126E+1 |
| PlPressure | 7 | 237 | 1.92898420089684E+1 |
| PlPressure | 7 | 238 | 1.92931338066053E+1 |
| PlPressure | 7 | 239 | 1.92944321703854E+1 |
| PlPressure | 7 | 240 | 1.92927936126144E+1 |
| PlPressure | 7 | 241 | 1.92892174278960E+1 |
| PlPressure | 7 | 242 | 1.92860496600535E+1 |

| Relazione di calcolo spalle | COMMESSA NM25 | LOTTO 03 D 26 | CODIFICA CL | DOCUMENTO IV 37 04 001 | REV. A | FOGLIO 261 di 439 |
|-----------------------------|------------------|------------------|----------------|---------------------------|-----------|----------------------|
|-----------------------------|------------------|------------------|----------------|---------------------------|-----------|----------------------|

| | | | |
|------------|---|-----|---------------------|
| PlPressure | 7 | 243 | 1.92844700122145E+1 |
| PlPressure | 7 | 244 | 1.92837823941875E+1 |
| PlPressure | 7 | 245 | 1.92833472447889E+1 |
| PlPressure | 7 | 246 | 2.34444717761967E+1 |
| PlPressure | 7 | 247 | 2.34464515882415E+1 |
| PlPressure | 7 | 248 | 2.34513239674563E+1 |
| PlPressure | 7 | 249 | 2.34593687555175E+1 |
| PlPressure | 7 | 250 | 2.34692233581180E+1 |
| PlPressure | 7 | 251 | 2.34785370631167E+1 |
| PlPressure | 7 | 252 | 2.34835531246206E+1 |
| PlPressure | 7 | 253 | 2.34804958912439E+1 |
| PlPressure | 7 | 254 | 2.34712479158050E+1 |
| PlPressure | 7 | 255 | 2.34625669480630E+1 |
| PlPressure | 7 | 256 | 2.34579982031248E+1 |
| PlPressure | 7 | 257 | 2.34556300847414E+1 |
| PlPressure | 7 | 258 | 2.34538021069143E+1 |
| PlPressure | 7 | 259 | 2.76292998857915E+1 |
| PlPressure | 7 | 260 | 3.18111976388356E+1 |
| PlPressure | 7 | 261 | 3.59996682110455E+1 |
| PlPressure | 7 | 262 | 4.01948459135443E+1 |
| PlPressure | 7 | 263 | 4.43949770044197E+1 |
| PlPressure | 7 | 264 | 4.85973692388301E+1 |
| PlPressure | 7 | 265 | 5.27989493491702E+1 |
| PlPressure | 7 | 266 | 5.69950709235097E+1 |
| PlPressure | 7 | 267 | 6.11792315030595E+1 |
| PlPressure | 7 | 268 | 6.53450782869551E+1 |
| PlPressure | 7 | 269 | 6.94889101415103E+1 |

| Relazione di calcolo spalle | COMMESSA NM25 | LOTTO 03 D 26 | CODIFICA CL | DOCUMENTO IV 37 04 001 | REV. A | FOGLIO 262 di 439 |
|-----------------------------|------------------|------------------|----------------|---------------------------|-----------|----------------------|
|-----------------------------|------------------|------------------|----------------|---------------------------|-----------|----------------------|

| | | | |
|------------|---|-----|---------------------|
| PlPressure | 7 | 270 | 7.36100248083038E+1 |
| PlPressure | 7 | 271 | 7.36888573243322E+1 |
| PlPressure | 7 | 272 | 7.37717382476251E+1 |
| PlPressure | 7 | 273 | 7.38537953602152E+1 |
| PlPressure | 7 | 274 | 7.39262110602288E+1 |
| PlPressure | 7 | 275 | 7.39788986326129E+1 |
| PlPressure | 7 | 276 | 7.40034121211183E+1 |
| PlPressure | 7 | 277 | 7.39960359697488E+1 |
| PlPressure | 7 | 278 | 7.39594295867726E+1 |
| PlPressure | 7 | 279 | 7.39011923709009E+1 |
| PlPressure | 7 | 280 | 7.38305173622833E+1 |
| PlPressure | 7 | 281 | 7.37552702145854E+1 |
| PlPressure | 7 | 282 | 7.36803198380279E+1 |
| PlPressure | 7 | 283 | 7.36070217587935E+1 |
| PlPressure | 7 | 284 | 6.94852227464843E+1 |
| PlPressure | 7 | 285 | 6.53409950851172E+1 |
| PlPressure | 7 | 286 | 6.11724502832369E+1 |
| PlPressure | 7 | 287 | 5.69806430940545E+1 |
| PlPressure | 7 | 288 | 5.27714113895327E+1 |
| PlPressure | 7 | 289 | 4.85545053115598E+1 |
| PlPressure | 7 | 290 | 4.43408903098780E+1 |
| PlPressure | 7 | 291 | 4.01388220521475E+1 |
| PlPressure | 7 | 292 | 3.59512118730326E+1 |
| PlPressure | 7 | 293 | 3.17760175160734E+1 |
| PlPressure | 7 | 294 | 2.76089232894220E+1 |
| PlPressure | 7 | 295 | 2.76355898331402E+1 |
| PlPressure | 7 | 296 | 3.18270176517825E+1 |

Relazione di calcolo spalle

COMMESA LOTTO CODIFICA DOCUMENTO REV. FOGLIO
NM25 03 D 26 CL IV 37 04 001 A 263 di 439

| | | | |
|------------|---|-----|---------------------|
| PlPressure | 7 | 297 | 3.60307312101927E+1 |
| PlPressure | 7 | 298 | 4.02460825038380E+1 |
| PlPressure | 7 | 299 | 4.44679567692847E+1 |
| PlPressure | 7 | 300 | 4.86902643902952E+1 |
| PlPressure | 7 | 301 | 5.29090111637703E+1 |
| PlPressure | 7 | 302 | 5.71181841265231E+1 |
| PlPressure | 7 | 303 | 6.13080347061648E+1 |
| PlPressure | 7 | 304 | 6.54690454295874E+1 |
| PlPressure | 7 | 305 | 6.95951747876613E+1 |
| PlPressure | 7 | 306 | 6.97103777808163E+1 |
| PlPressure | 7 | 307 | 6.98271881736823E+1 |
| PlPressure | 7 | 308 | 6.99344371134934E+1 |
| PlPressure | 7 | 309 | 7.00161729308724E+1 |
| PlPressure | 7 | 310 | 7.00572599501027E+1 |
| PlPressure | 7 | 311 | 7.00493175137311E+1 |
| PlPressure | 7 | 312 | 6.99954289843312E+1 |
| PlPressure | 7 | 313 | 6.99079234275904E+1 |
| PlPressure | 7 | 314 | 6.98021315604325E+1 |
| PlPressure | 7 | 315 | 6.96918232900014E+1 |
| PlPressure | 7 | 316 | 6.95849800924308E+1 |
| PlPressure | 7 | 317 | 6.54585081123653E+1 |
| PlPressure | 7 | 318 | 6.12956851104433E+1 |
| PlPressure | 7 | 319 | 5.70975424962687E+1 |
| PlPressure | 7 | 320 | 5.28708448559331E+1 |
| PlPressure | 7 | 321 | 4.86292986065168E+1 |
| PlPressure | 7 | 322 | 4.43901922707984E+1 |
| PlPressure | 7 | 323 | 4.01671676166843E+1 |

Relazione di calcolo spalle

COMMESA LOTTO CODIFICA DOCUMENTO REV. FOGLIO
NM25 03 D 26 CL IV 37 04 001 A 264 di 439

| | | | |
|------------|---|-----|---------------------|
| PlPressure | 7 | 324 | 3.59651700327444E+1 |
| PlPressure | 7 | 325 | 3.17820553312003E+1 |
| PlPressure | 7 | 326 | 2.76120262176570E+1 |
| PlPressure | 7 | 327 | 2.76221616629357E+1 |
| PlPressure | 7 | 328 | 2.76401520820348E+1 |
| PlPressure | 7 | 329 | 2.76630662069019E+1 |
| PlPressure | 7 | 330 | 2.76870776917805E+1 |
| PlPressure | 7 | 331 | 2.77036423112292E+1 |
| PlPressure | 7 | 332 | 2.76990652266424E+1 |
| PlPressure | 7 | 333 | 2.76758443503759E+1 |
| PlPressure | 7 | 334 | 2.76534725243490E+1 |
| PlPressure | 7 | 335 | 2.76419132056912E+1 |
| PlPressure | 7 | 336 | 3.18460314697202E+1 |
| PlPressure | 7 | 337 | 3.60746006482428E+1 |
| PlPressure | 7 | 338 | 4.03238075903280E+1 |
| PlPressure | 7 | 339 | 4.45789139239067E+1 |
| PlPressure | 7 | 340 | 4.88247884757323E+1 |
| PlPressure | 7 | 341 | 5.30594214280337E+1 |
| PlPressure | 7 | 342 | 5.72781383433331E+1 |
| PlPressure | 7 | 343 | 6.14678593395748E+1 |
| PlPressure | 7 | 344 | 6.56130477434526E+1 |
| PlPressure | 7 | 345 | 6.57662596212925E+1 |
| PlPressure | 7 | 346 | 6.59128803393261E+1 |
| PlPressure | 7 | 347 | 6.60316634937486E+1 |
| PlPressure | 7 | 348 | 6.60963423860411E+1 |
| PlPressure | 7 | 349 | 6.60889043439826E+1 |
| PlPressure | 7 | 350 | 6.60132110986037E+1 |

| Relazione di calcolo spalle | COMMESSA NM25 | LOTTO 03 D 26 | CODIFICA CL | DOCUMENTO IV 37 04 001 | REV. A | FOGLIO 265 di 439 |
|-----------------------------|------------------|------------------|----------------|---------------------------|-----------|----------------------|
|-----------------------------|------------------|------------------|----------------|---------------------------|-----------|----------------------|

| | | | |
|------------|---|-----|---------------------|
| PlPressure | 7 | 351 | 6.58900778194816E+1 |
| PlPressure | 7 | 352 | 6.57435114835272E+1 |
| PlPressure | 7 | 353 | 6.55947626273117E+1 |
| PlPressure | 7 | 354 | 6.14489609478907E+1 |
| PlPressure | 7 | 355 | 5.72506373138744E+1 |
| PlPressure | 7 | 356 | 5.30078772024191E+1 |
| PlPressure | 7 | 357 | 4.87377191687978E+1 |
| PlPressure | 7 | 358 | 4.44668490340259E+1 |
| PlPressure | 7 | 359 | 4.02170341052758E+1 |
| PlPressure | 7 | 360 | 3.59944812685374E+1 |
| PlPressure | 7 | 361 | 3.17990596370001E+1 |
| PlPressure | 7 | 362 | 3.18329381344524E+1 |
| PlPressure | 7 | 363 | 3.18813610804771E+1 |
| PlPressure | 7 | 364 | 3.19377484573395E+1 |
| PlPressure | 7 | 365 | 3.19876423933591E+1 |
| PlPressure | 7 | 366 | 3.19833446836177E+1 |
| PlPressure | 7 | 367 | 3.19246879591475E+1 |
| PlPressure | 7 | 368 | 3.18733795600911E+1 |
| PlPressure | 7 | 369 | 3.60495700600161E+1 |
| PlPressure | 7 | 370 | 3.61345034560675E+1 |
| PlPressure | 7 | 371 | 3.62520183246654E+1 |
| PlPressure | 7 | 372 | 3.63968724590992E+1 |
| PlPressure | 7 | 373 | 3.64017608440150E+1 |
| PlPressure | 7 | 374 | 3.62523496587534E+1 |
| PlPressure | 7 | 375 | 3.61375549018237E+1 |
| PlPressure | 7 | 376 | 4.04492404875787E+1 |
| PlPressure | 7 | 377 | 4.47596888398738E+1 |

Relazione di calcolo spalle

| COMMESSA | LOTTO | CODIFICA | DOCUMENTO | REV. | FOGLIO |
|----------|---------|----------|--------------|------|------------|
| NM25 | 03 D 26 | CL | IV 37 04 001 | A | 266 di 439 |

| | | | |
|------------|---|-----|---------------------|
| PlPressure | 7 | 378 | 4.90270733703914E+1 |
| PlPressure | 7 | 379 | 5.32662785876657E+1 |
| PlPressure | 7 | 380 | 5.74824877048978E+1 |
| PlPressure | 7 | 381 | 6.16545413189097E+1 |
| PlPressure | 7 | 382 | 6.18471255987748E+1 |
| PlPressure | 7 | 383 | 6.20134218175978E+1 |
| PlPressure | 7 | 384 | 6.21108580575668E+1 |
| PlPressure | 7 | 385 | 6.21002481687133E+1 |
| PlPressure | 7 | 386 | 6.19910727119708E+1 |
| PlPressure | 7 | 387 | 6.18241462483939E+1 |
| PlPressure | 7 | 388 | 6.16322236320106E+1 |
| PlPressure | 7 | 389 | 5.74473146207872E+1 |
| PlPressure | 7 | 390 | 5.31905889352701E+1 |
| PlPressure | 7 | 391 | 4.88852819289989E+1 |
| PlPressure | 7 | 392 | 4.45754055751807E+1 |
| PlPressure | 7 | 393 | 4.02965142454851E+1 |
| PlPressure | 7 | 394 | 4.06809397350285E+1 |
| PlPressure | 7 | 395 | 4.50744985037011E+1 |
| PlPressure | 7 | 396 | 4.93346975939152E+1 |
| PlPressure | 7 | 397 | 5.35415481001587E+1 |
| PlPressure | 7 | 398 | 5.77216432878611E+1 |
| PlPressure | 7 | 399 | 5.79536599961869E+1 |
| PlPressure | 7 | 400 | 5.81016943817989E+1 |
| PlPressure | 7 | 401 | 5.80702987926498E+1 |
| PlPressure | 7 | 402 | 5.78963178082188E+1 |
| PlPressure | 7 | 403 | 5.76761167195932E+1 |
| PlPressure | 7 | 404 | 5.34195896529397E+1 |

| Relazione di calcolo spalle | COMMESSA NM25 | LOTTO 03 D 26 | CODIFICA CL | DOCUMENTO IV 37 04 001 | REV. A | FOGLIO 267 di 439 |
|-----------------------------|------------------|------------------|----------------|---------------------------|-----------|----------------------|
|-----------------------------|------------------|------------------|----------------|---------------------------|-----------|----------------------|

| | | | |
|------------|---|-----|---------------------|
| PlPressure | 7 | 405 | 4.90639871601949E+1 |
| PlPressure | 7 | 406 | 4.47165590218312E+1 |
| PlPressure | 7 | 407 | 4.04193227867625E+1 |
| PlPressure | 7 | 408 | 4.06216819035496E+1 |
| PlPressure | 7 | 409 | 4.10485443732243E+1 |
| PlPressure | 7 | 410 | 4.10911751560629E+1 |
| PlPressure | 7 | 411 | 4.56442057654805E+1 |
| PlPressure | 7 | 412 | 4.97878050962076E+1 |
| PlPressure | 7 | 413 | 5.38633314583130E+1 |
| PlPressure | 7 | 414 | 5.41187019668051E+1 |
| PlPressure | 7 | 415 | 5.40090656333906E+1 |
| PlPressure | 7 | 416 | 5.36776427253077E+1 |
| PlPressure | 7 | 417 | 4.92265328908575E+1 |
| PlPressure | 7 | 418 | 4.48697738909256E+1 |
| PlPressure | 7 | 419 | 5.03715760872268E+1 |
| PlPressure | 7 | 420 | 4.99910027610751E+1 |
| PlPressure | 7 | 421 | 4.46066820699932E+1 |
| PlPressure | 7 | 422 | 4.70099200845195E+1 |
| PlPressure | 7 | 423 | 8.17708252941176E+1 |
| PlPressure | 7 | 424 | 8.17708252941176E+1 |
| PlPressure | 7 | 425 | 8.17708252941176E+1 |
| PlPressure | 7 | 426 | 8.17708252941176E+1 |
| PlPressure | 7 | 427 | 8.17708252941176E+1 |
| PlPressure | 7 | 428 | 8.17708252941176E+1 |
| PlPressure | 7 | 429 | 8.17708252941176E+1 |
| PlPressure | 7 | 430 | 7.76047958823529E+1 |
| PlPressure | 7 | 431 | 7.76047958823529E+1 |

| Relazione di calcolo spalle | COMMESSA NM25 | LOTTO 03 D 26 | CODIFICA CL | DOCUMENTO IV 37 04 001 | REV. A | FOGLIO 268 di 439 |
|-----------------------------|------------------|------------------|----------------|---------------------------|-----------|----------------------|
|-----------------------------|------------------|------------------|----------------|---------------------------|-----------|----------------------|

| | | | |
|------------|---|-----|---------------------|
| PlPressure | 7 | 432 | 7.76047958823529E+1 |
| PlPressure | 7 | 433 | 7.76047958823529E+1 |
| PlPressure | 7 | 434 | 7.76047958823529E+1 |
| PlPressure | 7 | 435 | 7.76047958823529E+1 |
| PlPressure | 7 | 436 | 7.76047958823529E+1 |
| PlPressure | 7 | 437 | 7.34387664705882E+1 |
| PlPressure | 7 | 438 | 7.34387664705882E+1 |
| PlPressure | 7 | 439 | 7.34387664705882E+1 |
| PlPressure | 7 | 440 | 7.34387664705882E+1 |
| PlPressure | 7 | 441 | 7.34387664705882E+1 |
| PlPressure | 7 | 442 | 7.34387664705882E+1 |
| PlPressure | 7 | 443 | 7.34387664705882E+1 |
| PlPressure | 7 | 444 | 6.92727370588235E+1 |
| PlPressure | 7 | 445 | 6.92727370588235E+1 |
| PlPressure | 7 | 446 | 6.92727370588235E+1 |
| PlPressure | 7 | 447 | 6.92727370588235E+1 |
| PlPressure | 7 | 448 | 6.92727370588235E+1 |
| PlPressure | 7 | 449 | 6.92727370588235E+1 |
| PlPressure | 7 | 450 | 6.92727370588235E+1 |
| PlPressure | 7 | 451 | 6.51067076470588E+1 |
| PlPressure | 7 | 452 | 6.51067076470588E+1 |
| PlPressure | 7 | 453 | 6.51067076470588E+1 |
| PlPressure | 7 | 454 | 6.51067076470588E+1 |
| PlPressure | 7 | 455 | 6.51067076470588E+1 |
| PlPressure | 7 | 456 | 6.51067076470588E+1 |
| PlPressure | 7 | 457 | 6.51067076470588E+1 |
| PlPressure | 7 | 458 | 6.09406782352941E+1 |

| Relazione di calcolo spalle | COMMESSA NM25 | LOTTO 03 D 26 | CODIFICA CL | DOCUMENTO IV 37 04 001 | REV. A | FOGLIO 269 di 439 |
|-----------------------------|------------------|------------------|----------------|---------------------------|-----------|----------------------|
|-----------------------------|------------------|------------------|----------------|---------------------------|-----------|----------------------|

| | | | |
|------------|---|-----|----------------------|
| PlPressure | 7 | 459 | 6.09406782352941E+1 |
| PlPressure | 7 | 460 | 6.09406782352941E+1 |
| PlPressure | 7 | 461 | 6.09406782352941E+1 |
| PlPressure | 7 | 462 | 6.09406782352941E+1 |
| PlPressure | 7 | 463 | 6.09406782352941E+1 |
| PlPressure | 7 | 464 | 6.09406782352941E+1 |
| PlPressure | 7 | 465 | 5.67746488235294E+1 |
| PlPressure | 7 | 466 | 5.67746488235294E+1 |
| PlPressure | 7 | 467 | 5.67746488235294E+1 |
| PlPressure | 7 | 468 | 5.67746488235294E+1 |
| PlPressure | 7 | 469 | 5.67746488235294E+1 |
| PlPressure | 7 | 470 | 5.67746488235294E+1 |
| PlPressure | 7 | 471 | 5.67746488235294E+1 |
| PlPressure | 7 | 472 | 5.26086194117647E+1 |
| PlPressure | 7 | 473 | 5.26086194117647E+1 |
| PlPressure | 7 | 474 | 5.26086194117647E+1 |
| PlPressure | 7 | 475 | 5.26086194117647E+1 |
| PlPressure | 7 | 476 | 5.26086194117647E+1 |
| PlPressure | 7 | 477 | 5.26086194117647E+1 |
| PlPressure | 7 | 478 | 5.26086194117647E+1 |
| PlPressure | 7 | 479 | 4.844259000000000E+1 |
| PlPressure | 7 | 480 | 4.844259000000000E+1 |
| PlPressure | 7 | 481 | 4.844259000000000E+1 |
| PlPressure | 7 | 482 | 4.844259000000000E+1 |
| PlPressure | 7 | 483 | 4.844259000000000E+1 |
| PlPressure | 7 | 484 | 4.844259000000000E+1 |
| PlPressure | 7 | 485 | 4.844259000000000E+1 |

| Relazione di calcolo spalle | COMMESSA NM25 | LOTTO 03 D 26 | CODIFICA CL | DOCUMENTO IV 37 04 001 | REV. A | FOGLIO 270 di 439 |
|-----------------------------|------------------|------------------|----------------|---------------------------|-----------|----------------------|
|-----------------------------|------------------|------------------|----------------|---------------------------|-----------|----------------------|

| | | | |
|------------|---|-----|---------------------|
| PlPressure | 7 | 486 | 4.42765605882353E+1 |
| PlPressure | 7 | 487 | 4.42765605882353E+1 |
| PlPressure | 7 | 488 | 4.42765605882353E+1 |
| PlPressure | 7 | 489 | 4.42765605882353E+1 |
| PlPressure | 7 | 490 | 4.42765605882353E+1 |
| PlPressure | 7 | 491 | 4.42765605882353E+1 |
| PlPressure | 7 | 492 | 4.42765605882353E+1 |
| PlPressure | 7 | 493 | 4.01105311764706E+1 |
| PlPressure | 7 | 494 | 4.01105311764706E+1 |
| PlPressure | 7 | 495 | 4.01105311764706E+1 |
| PlPressure | 7 | 496 | 4.01105311764706E+1 |
| PlPressure | 7 | 497 | 4.01105311764706E+1 |
| PlPressure | 7 | 498 | 4.01105311764706E+1 |
| PlPressure | 7 | 499 | 4.01105311764706E+1 |
| PlPressure | 7 | 500 | 3.59445017647059E+1 |
| PlPressure | 7 | 501 | 3.59445017647059E+1 |
| PlPressure | 7 | 502 | 3.59445017647059E+1 |
| PlPressure | 7 | 503 | 3.59445017647059E+1 |
| PlPressure | 7 | 504 | 3.59445017647059E+1 |
| PlPressure | 7 | 505 | 3.59445017647059E+1 |
| PlPressure | 7 | 506 | 3.59445017647059E+1 |
| PlPressure | 7 | 507 | 3.17784723529412E+1 |
| PlPressure | 7 | 508 | 3.17784723529412E+1 |
| PlPressure | 7 | 509 | 3.17784723529412E+1 |
| PlPressure | 7 | 510 | 3.17784723529412E+1 |
| PlPressure | 7 | 511 | 3.17784723529412E+1 |
| PlPressure | 7 | 512 | 3.17784723529412E+1 |

Relazione di calcolo spalle

| COMMESSA | LOTTO | CODIFICA | DOCUMENTO | REV. | FOGLIO |
|----------|---------|----------|--------------|------|------------|
| NM25 | 03 D 26 | CL | IV 37 04 001 | A | 271 di 439 |

| | | | |
|------------|---|-----|---------------------|
| PlPressure | 7 | 513 | 3.17784723529412E+1 |
| PlPressure | 7 | 514 | 2.76124429411765E+1 |
| PlPressure | 7 | 515 | 2.76124429411765E+1 |
| PlPressure | 7 | 516 | 2.76124429411765E+1 |
| PlPressure | 7 | 517 | 2.76124429411765E+1 |
| PlPressure | 7 | 518 | 2.76124429411765E+1 |
| PlPressure | 7 | 519 | 2.76124429411765E+1 |
| PlPressure | 7 | 520 | 2.76124429411765E+1 |
| PlPressure | 7 | 521 | 2.34464135294118E+1 |
| PlPressure | 7 | 522 | 2.34464135294118E+1 |
| PlPressure | 7 | 523 | 2.34464135294117E+1 |
| PlPressure | 7 | 524 | 2.34464135294118E+1 |
| PlPressure | 7 | 525 | 2.34464135294118E+1 |
| PlPressure | 7 | 526 | 2.34464135294118E+1 |
| PlPressure | 7 | 527 | 2.34464135294118E+1 |
| PlPressure | 7 | 528 | 1.92803841176470E+1 |
| PlPressure | 7 | 529 | 1.92803841176470E+1 |
| PlPressure | 7 | 530 | 1.92803841176470E+1 |
| PlPressure | 7 | 531 | 1.92803841176471E+1 |
| PlPressure | 7 | 532 | 1.92803841176471E+1 |
| PlPressure | 7 | 533 | 1.92803841176471E+1 |
| PlPressure | 7 | 534 | 1.92803841176470E+1 |
| PlPressure | 7 | 535 | 1.51143547058823E+1 |
| PlPressure | 7 | 536 | 1.51143547058823E+1 |
| PlPressure | 7 | 537 | 1.51143547058823E+1 |
| PlPressure | 7 | 538 | 1.51143547058823E+1 |
| PlPressure | 7 | 539 | 1.51143547058823E+1 |

| Relazione di calcolo spalle | COMMESSA NM25 | LOTTO 03 D 26 | CODIFICA CL | DOCUMENTO IV 37 04 001 | REV. A | FOGLIO 272 di 439 |
|-----------------------------|------------------|------------------|----------------|---------------------------|-----------|----------------------|
|-----------------------------|------------------|------------------|----------------|---------------------------|-----------|----------------------|

| | | | |
|------------|---|-----|---------------------|
| PlPressure | 7 | 540 | 1.51143547058823E+1 |
| PlPressure | 7 | 541 | 1.51143547058823E+1 |
| PlPressure | 7 | 542 | 1.51142505577787E+1 |
| PlPressure | 7 | 543 | 1.51141015756746E+1 |
| PlPressure | 7 | 544 | 1.51141369745418E+1 |
| PlPressure | 7 | 545 | 1.51144369982853E+1 |
| PlPressure | 7 | 546 | 1.51150564851979E+1 |
| PlPressure | 7 | 547 | 1.51159759356579E+1 |
| PlPressure | 7 | 548 | 1.51170007249149E+1 |
| PlPressure | 7 | 549 | 1.51178094710519E+1 |
| PlPressure | 7 | 550 | 1.51180416630422E+1 |
| PlPressure | 7 | 551 | 1.51175259389396E+1 |
| PlPressure | 7 | 552 | 1.51165670346737E+1 |
| PlPressure | 7 | 553 | 1.51157504647268E+1 |
| PlPressure | 7 | 554 | 1.51153624946327E+1 |
| PlPressure | 7 | 555 | 1.51152325072692E+1 |
| PlPressure | 7 | 556 | 1.51151456953220E+1 |
| PlPressure | 7 | 557 | 1.51149487632931E+1 |
| PlPressure | 7 | 558 | 1.51145747306768E+1 |
| PlPressure | 7 | 559 | 1.92812293926040E+1 |
| PlPressure | 7 | 560 | 2.34483397556407E+1 |
| PlPressure | 7 | 561 | 2.76161743498285E+1 |
| PlPressure | 7 | 562 | 3.17849824358843E+1 |
| PlPressure | 7 | 563 | 3.59548795100941E+1 |
| PlPressure | 7 | 564 | 4.01258805586293E+1 |
| PlPressure | 7 | 565 | 4.42978104462470E+1 |
| PlPressure | 7 | 566 | 4.84702987671530E+1 |

Relazione di calcolo spalle

 COMMESSA LOTTO CODIFICA DOCUMENTO REV. FOGLIO
 NM25 03 D 26 CL IV 37 04 001 A 273 di 439

| | | | |
|------------|---|-----|---------------------|
| PlPressure | 7 | 567 | 5.26427563337120E+1 |
| PlPressure | 7 | 568 | 5.68142940575904E+1 |
| PlPressure | 7 | 569 | 6.09837653338151E+1 |
| PlPressure | 7 | 570 | 6.51500488632830E+1 |
| PlPressure | 7 | 571 | 6.93124085440712E+1 |
| PlPressure | 7 | 572 | 7.34707054417805E+1 |
| PlPressure | 7 | 573 | 7.76254657557211E+1 |
| PlPressure | 7 | 574 | 8.17779550554551E+1 |
| PlPressure | 7 | 575 | 8.17924174661192E+1 |
| PlPressure | 7 | 576 | 8.18075848231222E+1 |
| PlPressure | 7 | 577 | 8.18236901393489E+1 |
| PlPressure | 7 | 578 | 8.18402536311689E+1 |
| PlPressure | 7 | 579 | 8.18561289910859E+1 |
| PlPressure | 7 | 580 | 8.18696790030542E+1 |
| PlPressure | 7 | 581 | 8.18791704819061E+1 |
| PlPressure | 7 | 582 | 8.18832945080672E+1 |
| PlPressure | 7 | 583 | 8.18816136687963E+1 |
| PlPressure | 7 | 584 | 8.18747065916723E+1 |
| PlPressure | 7 | 585 | 8.18638970167416E+1 |
| PlPressure | 7 | 586 | 8.18507230271241E+1 |
| PlPressure | 7 | 587 | 8.18364432816285E+1 |
| PlPressure | 7 | 588 | 8.18218019427378E+1 |
| PlPressure | 7 | 589 | 8.18071053516296E+1 |
| PlPressure | 7 | 590 | 8.17924500346821E+1 |
| PlPressure | 7 | 591 | 8.17779822198278E+1 |
| PlPressure | 7 | 592 | 7.76253972673773E+1 |
| PlPressure | 7 | 593 | 7.34705598070362E+1 |

Relazione di calcolo spalle

COMMESA LOTTO CODIFICA DOCUMENTO REV. FOGLIO
NM25 03 D 26 CL IV 37 04 001 A 274 di 439

| | | | |
|------------|---|-----|---------------------|
| PlPressure | 7 | 594 | 6.93123933623801E+1 |
| PlPressure | 7 | 595 | 6.51499673087567E+1 |
| PlPressure | 7 | 596 | 6.09828958183560E+1 |
| PlPressure | 7 | 597 | 5.68115831210232E+1 |
| PlPressure | 7 | 598 | 5.26372746283561E+1 |
| PlPressure | 7 | 599 | 4.84618170524192E+1 |
| PlPressure | 7 | 600 | 4.42871434997662E+1 |
| PlPressure | 7 | 601 | 4.01146642452005E+1 |
| PlPressure | 7 | 602 | 3.59448724219017E+1 |
| PlPressure | 7 | 603 | 3.17773724221778E+1 |
| PlPressure | 7 | 604 | 2.76112714886086E+1 |
| PlPressure | 7 | 605 | 2.34456541117589E+1 |
| PlPressure | 7 | 606 | 1.92800123592329E+1 |
| PlPressure | 7 | 607 | 1.92826433264426E+1 |
| PlPressure | 7 | 608 | 2.34516968639193E+1 |
| PlPressure | 7 | 609 | 2.76231600362809E+1 |
| PlPressure | 7 | 610 | 3.17977990053181E+1 |
| PlPressure | 7 | 611 | 3.59759209014001E+1 |
| PlPressure | 7 | 612 | 4.01575821655182E+1 |
| PlPressure | 7 | 613 | 4.43421433377700E+1 |
| PlPressure | 7 | 614 | 4.85283762157327E+1 |
| PlPressure | 7 | 615 | 5.27144776770318E+1 |
| PlPressure | 7 | 616 | 5.68977057550268E+1 |
| PlPressure | 7 | 617 | 6.10744364459245E+1 |
| PlPressure | 7 | 618 | 6.52411254875488E+1 |
| PlPressure | 7 | 619 | 6.93955183176008E+1 |
| PlPressure | 7 | 620 | 7.35372772695190E+1 |

| Relazione di calcolo spalle | COMMESSA NM25 | LOTTO 03 D 26 | CODIFICA CL | DOCUMENTO IV 37 04 001 | REV. A | FOGLIO 275 di 439 |
|-----------------------------|------------------|------------------|----------------|---------------------------|-----------|----------------------|
|-----------------------------|------------------|------------------|----------------|---------------------------|-----------|----------------------|

| | | | |
|------------|---|-----|---------------------|
| PlPressure | 7 | 621 | 7.76680389495446E+1 |
| PlPressure | 7 | 622 | 7.77131537101135E+1 |
| PlPressure | 7 | 623 | 7.77611454642012E+1 |
| PlPressure | 7 | 624 | 7.78110377679888E+1 |
| PlPressure | 7 | 625 | 7.78593429569997E+1 |
| PlPressure | 7 | 626 | 7.79009735379184E+1 |
| PlPressure | 7 | 627 | 7.79304311039579E+1 |
| PlPressure | 7 | 628 | 7.79434464150049E+1 |
| PlPressure | 7 | 629 | 7.79384722119401E+1 |
| PlPressure | 7 | 630 | 7.79172491657457E+1 |
| PlPressure | 7 | 631 | 7.78839588681738E+1 |
| PlPressure | 7 | 632 | 7.78434958746191E+1 |
| PlPressure | 7 | 633 | 7.77998956505117E+1 |
| PlPressure | 7 | 634 | 7.77555675820583E+1 |
| PlPressure | 7 | 635 | 7.77114835436891E+1 |
| PlPressure | 7 | 636 | 7.76677762072257E+1 |
| PlPressure | 7 | 637 | 7.35365316988920E+1 |
| PlPressure | 7 | 638 | 6.93947749474223E+1 |
| PlPressure | 7 | 639 | 6.52401424556283E+1 |
| PlPressure | 7 | 640 | 6.10712822483491E+1 |
| PlPressure | 7 | 641 | 5.68892703394531E+1 |
| PlPressure | 7 | 642 | 5.26978381426689E+1 |
| PlPressure | 7 | 643 | 4.85026877782027E+1 |
| PlPressure | 7 | 644 | 4.43098904566287E+1 |
| PlPressure | 7 | 645 | 4.01238920417930E+1 |
| PlPressure | 7 | 646 | 3.59462147930433E+1 |
| PlPressure | 7 | 647 | 3.17755987900621E+1 |

| Relazione di calcolo spalle | COMMESSA NM25 | LOTTO 03 D 26 | CODIFICA CL | DOCUMENTO IV 37 04 001 | REV. A | FOGLIO 276 di 439 |
|-----------------------------|------------------|------------------|----------------|---------------------------|-----------|----------------------|
|-----------------------------|------------------|------------------|----------------|---------------------------|-----------|----------------------|

| | | | |
|------------|---|-----|---------------------|
| PlPressure | 7 | 648 | 2.76093104211170E+1 |
| PlPressure | 7 | 649 | 2.34444532913010E+1 |
| PlPressure | 7 | 650 | 1.92794507892341E+1 |
| PlPressure | 7 | 651 | 1.92795236415008E+1 |
| PlPressure | 7 | 652 | 1.92805110089068E+1 |
| PlPressure | 7 | 653 | 1.92826523164161E+1 |
| PlPressure | 7 | 654 | 1.92859773173267E+1 |
| PlPressure | 7 | 655 | 1.92898415489810E+1 |
| PlPressure | 7 | 656 | 1.92931332057040E+1 |
| PlPressure | 7 | 657 | 1.92944314163005E+1 |
| PlPressure | 7 | 658 | 1.92927926607206E+1 |
| PlPressure | 7 | 659 | 1.92892162387367E+1 |
| PlPressure | 7 | 660 | 1.92860482738189E+1 |
| PlPressure | 7 | 661 | 1.92844685773636E+1 |
| PlPressure | 7 | 662 | 1.92837810838373E+1 |
| PlPressure | 7 | 663 | 1.92833462925025E+1 |
| PlPressure | 7 | 664 | 2.34444718202763E+1 |
| PlPressure | 7 | 665 | 2.34464515232128E+1 |
| PlPressure | 7 | 666 | 2.34513236838381E+1 |
| PlPressure | 7 | 667 | 2.34593681951024E+1 |
| PlPressure | 7 | 668 | 2.34692225667690E+1 |
| PlPressure | 7 | 669 | 2.34785361263636E+1 |
| PlPressure | 7 | 670 | 2.34835520785735E+1 |
| PlPressure | 7 | 671 | 2.34804946580544E+1 |
| PlPressure | 7 | 672 | 2.34712463690609E+1 |
| PlPressure | 7 | 673 | 2.34625651036286E+1 |
| PlPressure | 7 | 674 | 2.34579963293344E+1 |

Relazione di calcolo spalle

COMMESA LOTTO CODIFICA DOCUMENTO REV. FOGLIO
NM25 03 D 26 CL IV 37 04 001 A 277 di 439

| | | | |
|------------|---|-----|---------------------|
| PlPressure | 7 | 675 | 2.34556284447251E+1 |
| PlPressure | 7 | 676 | 2.34538010204671E+1 |
| PlPressure | 7 | 677 | 2.76292998330816E+1 |
| PlPressure | 7 | 678 | 3.18112003965307E+1 |
| PlPressure | 7 | 679 | 3.59996761313618E+1 |
| PlPressure | 7 | 680 | 4.01948619201231E+1 |
| PlPressure | 7 | 681 | 4.43950038373361E+1 |
| PlPressure | 7 | 682 | 4.85974082535477E+1 |
| PlPressure | 7 | 683 | 5.27989992770691E+1 |
| PlPressure | 7 | 684 | 5.69951272665239E+1 |
| PlPressure | 7 | 685 | 6.11792871950833E+1 |
| PlPressure | 7 | 686 | 6.53451257695270E+1 |
| PlPressure | 7 | 687 | 6.94889442007327E+1 |
| PlPressure | 7 | 688 | 7.36100453321169E+1 |
| PlPressure | 7 | 689 | 7.36888888075570E+1 |
| PlPressure | 7 | 690 | 7.37717837167975E+1 |
| PlPressure | 7 | 691 | 7.38538567206140E+1 |
| PlPressure | 7 | 692 | 7.39262866011435E+1 |
| PlPressure | 7 | 693 | 7.39789810138374E+1 |
| PlPressure | 7 | 694 | 7.40034889283270E+1 |
| PlPressure | 7 | 695 | 7.39960934022058E+1 |
| PlPressure | 7 | 696 | 7.39594578083547E+1 |
| PlPressure | 7 | 697 | 7.39011897193491E+1 |
| PlPressure | 7 | 698 | 7.38304909830671E+1 |
| PlPressure | 7 | 699 | 7.37552326287430E+1 |
| PlPressure | 7 | 700 | 7.36802834419163E+1 |
| PlPressure | 7 | 701 | 7.36069945835342E+1 |

| Relazione di calcolo spalle | COMMESSA NM25 | LOTTO 03 D 26 | CODIFICA CL | DOCUMENTO IV 37 04 001 | REV. A | FOGLIO 278 di 439 |
|-----------------------------|------------------|------------------|----------------|---------------------------|-----------|----------------------|
|-----------------------------|------------------|------------------|----------------|---------------------------|-----------|----------------------|

| | | | |
|------------|---|-----|---------------------|
| PlPressure | 7 | 702 | 6.94851914790670E+1 |
| PlPressure | 7 | 703 | 6.53409644357494E+1 |
| PlPressure | 7 | 704 | 6.11724232907344E+1 |
| PlPressure | 7 | 705 | 5.69806215444455E+1 |
| PlPressure | 7 | 706 | 5.27713958508962E+1 |
| PlPressure | 7 | 707 | 4.85544953823778E+1 |
| PlPressure | 7 | 708 | 4.43408849349905E+1 |
| PlPressure | 7 | 709 | 4.01388198437118E+1 |
| PlPressure | 7 | 710 | 3.59512114250385E+1 |
| PlPressure | 7 | 711 | 3.17760177095638E+1 |
| PlPressure | 7 | 712 | 2.76089234799136E+1 |
| PlPressure | 7 | 713 | 2.76355893119684E+1 |
| PlPressure | 7 | 714 | 3.18270206555697E+1 |
| PlPressure | 7 | 715 | 3.60307411268379E+1 |
| PlPressure | 7 | 716 | 4.02461036683926E+1 |
| PlPressure | 7 | 717 | 4.44679934218824E+1 |
| PlPressure | 7 | 718 | 4.86903188498754E+1 |
| PlPressure | 7 | 719 | 5.29090819078306E+1 |
| PlPressure | 7 | 720 | 5.71182647977894E+1 |
| PlPressure | 7 | 721 | 6.13081150076073E+1 |
| PlPressure | 7 | 722 | 6.54691141515973E+1 |
| PlPressure | 7 | 723 | 6.95952246979595E+1 |
| PlPressure | 7 | 724 | 6.97104462258138E+1 |
| PlPressure | 7 | 725 | 6.98272766704898E+1 |
| PlPressure | 7 | 726 | 6.99345427256558E+1 |
| PlPressure | 7 | 727 | 7.00162852706712E+1 |
| PlPressure | 7 | 728 | 7.00573620930130E+1 |

Relazione di calcolo spalle

| | | | |
|----------|---------|----------|--------------|
| COMMESSA | LOTTO | CODIFICA | DOCUMENTO |
| NM25 | 03 D 26 | CL | IV 37 04 001 |

| | |
|------|------------|
| REV. | FOGLIO |
| A | 279 di 439 |

| | | | |
|------------|---|-----|---------------------|
| PlPressure | 7 | 729 | 7.00493912543805E+1 |
| PlPressure | 7 | 730 | 6.99954622548721E+1 |
| PlPressure | 7 | 731 | 6.99079158030701E+1 |
| PlPressure | 7 | 732 | 6.98020944476033E+1 |
| PlPressure | 7 | 733 | 6.96917744242137E+1 |
| PlPressure | 7 | 734 | 6.95849358406483E+1 |
| PlPressure | 7 | 735 | 6.54584634464885E+1 |
| PlPressure | 7 | 736 | 6.12956454424576E+1 |
| PlPressure | 7 | 737 | 5.70975102428620E+1 |
| PlPressure | 7 | 738 | 5.28708208728403E+1 |
| PlPressure | 7 | 739 | 4.86292824972087E+1 |
| PlPressure | 7 | 740 | 4.43901827849108E+1 |
| PlPressure | 7 | 741 | 4.01671630280554E+1 |
| PlPressure | 7 | 742 | 3.59651684503684E+1 |
| PlPressure | 7 | 743 | 3.17820550812327E+1 |
| PlPressure | 7 | 744 | 2.76120262198089E+1 |
| PlPressure | 7 | 745 | 2.76221612103973E+1 |
| PlPressure | 7 | 746 | 2.76401511075068E+1 |
| PlPressure | 7 | 747 | 2.76630649635234E+1 |
| PlPressure | 7 | 748 | 2.76870765293080E+1 |
| PlPressure | 7 | 749 | 2.77036414633599E+1 |
| PlPressure | 7 | 750 | 2.76990645840349E+1 |
| PlPressure | 7 | 751 | 2.76758435408682E+1 |
| PlPressure | 7 | 752 | 2.76534713745441E+1 |
| PlPressure | 7 | 753 | 2.76419121961643E+1 |
| PlPressure | 7 | 754 | 3.18460341942185E+1 |
| PlPressure | 7 | 755 | 3.60746116397302E+1 |

Relazione di calcolo spalle

| COMMESSA | LOTTO | CODIFICA | DOCUMENTO | REV. | FOGLIO |
|----------|---------|----------|--------------|------|------------|
| NM25 | 03 D 26 | CL | IV 37 04 001 | A | 280 di 439 |

| | | | |
|------------|---|-----|---------------------|
| PlPressure | 7 | 756 | 4.03238326507717E+1 |
| PlPressure | 7 | 757 | 4.45789590558095E+1 |
| PlPressure | 7 | 758 | 4.88248572872966E+1 |
| PlPressure | 7 | 759 | 5.30595124656021E+1 |
| PlPressure | 7 | 760 | 5.72782436311639E+1 |
| PlPressure | 7 | 761 | 6.14679653857743E+1 |
| PlPressure | 7 | 762 | 6.56131393788623E+1 |
| PlPressure | 7 | 763 | 6.57663735981721E+1 |
| PlPressure | 7 | 764 | 6.59130112109548E+1 |
| PlPressure | 7 | 765 | 6.60317984912074E+1 |
| PlPressure | 7 | 766 | 6.60964615123359E+1 |
| PlPressure | 7 | 767 | 6.60889868865002E+1 |
| PlPressure | 7 | 768 | 6.60132446246093E+1 |
| PlPressure | 7 | 769 | 6.58900643979905E+1 |
| PlPressure | 7 | 770 | 6.57434669420882E+1 |
| PlPressure | 7 | 771 | 6.55947094462549E+1 |
| PlPressure | 7 | 772 | 6.14489114996425E+1 |
| PlPressure | 7 | 773 | 5.72505962505228E+1 |
| PlPressure | 7 | 774 | 5.30078456407792E+1 |
| PlPressure | 7 | 775 | 4.87376968947341E+1 |
| PlPressure | 7 | 776 | 4.44668349143356E+1 |
| PlPressure | 7 | 777 | 4.02170264823988E+1 |
| PlPressure | 7 | 778 | 3.59944780270383E+1 |
| PlPressure | 7 | 779 | 3.17990585300163E+1 |
| PlPressure | 7 | 780 | 3.18329361889059E+1 |
| PlPressure | 7 | 781 | 3.18813589702881E+1 |
| PlPressure | 7 | 782 | 3.19377472008443E+1 |

Relazione di calcolo spalle

COMMESA LOTTO CODIFICA DOCUMENTO REV. FOGLIO
NM25 03 D 26 CL IV 37 04 001 A 281 di 439

| | | | |
|------------|---|-----|---------------------|
| PlPressure | 7 | 783 | 3.19876427636109E+1 |
| PlPressure | 7 | 784 | 3.19833465287367E+1 |
| PlPressure | 7 | 785 | 3.19246902349998E+1 |
| PlPressure | 7 | 786 | 3.18733818536797E+1 |
| PlPressure | 7 | 787 | 3.60495655789528E+1 |
| PlPressure | 7 | 788 | 3.61344993611181E+1 |
| PlPressure | 7 | 789 | 3.62520170935203E+1 |
| PlPressure | 7 | 790 | 3.63968760905413E+1 |
| PlPressure | 7 | 791 | 3.64017690397663E+1 |
| PlPressure | 7 | 792 | 3.62523599441009E+1 |
| PlPressure | 7 | 793 | 3.61375658023300E+1 |
| PlPressure | 7 | 794 | 4.04492675250832E+1 |
| PlPressure | 7 | 795 | 4.47597401024756E+1 |
| PlPressure | 7 | 796 | 4.90271540540764E+1 |
| PlPressure | 7 | 797 | 5.32663877231026E+1 |
| PlPressure | 7 | 798 | 5.74826162150696E+1 |
| PlPressure | 7 | 799 | 6.16546716223756E+1 |
| PlPressure | 7 | 800 | 6.18472718381474E+1 |
| PlPressure | 7 | 801 | 6.20135682170430E+1 |
| PlPressure | 7 | 802 | 6.21109834220384E+1 |
| PlPressure | 7 | 803 | 6.21003313212984E+1 |
| PlPressure | 7 | 804 | 6.19911024652514E+1 |
| PlPressure | 7 | 805 | 6.18241278214982E+1 |
| PlPressure | 7 | 806 | 6.16321777135633E+1 |
| PlPressure | 7 | 807 | 5.74472738157404E+1 |
| PlPressure | 7 | 808 | 5.31905562762809E+1 |
| PlPressure | 7 | 809 | 4.88852575908754E+1 |

Relazione di calcolo spalle

COMMESA LOTTO CODIFICA DOCUMENTO REV. FOGLIO
NM25 03 D 26 CL IV 37 04 001 A 282 di 439

| | | | |
|------------|---|-----|---------------------|
| PlPressure | 7 | 810 | 4.45753889539499E+1 |
| PlPressure | 7 | 811 | 4.02965045912415E+1 |
| PlPressure | 7 | 812 | 4.06809663835903E+1 |
| PlPressure | 7 | 813 | 4.50745519404356E+1 |
| PlPressure | 7 | 814 | 4.93347852941881E+1 |
| PlPressure | 7 | 815 | 5.35416699821530E+1 |
| PlPressure | 7 | 816 | 5.77217876163509E+1 |
| PlPressure | 7 | 817 | 5.79538031046123E+1 |
| PlPressure | 7 | 818 | 5.81018139426188E+1 |
| PlPressure | 7 | 819 | 5.80703746280445E+1 |
| PlPressure | 7 | 820 | 5.78963406336808E+1 |
| PlPressure | 7 | 821 | 5.76760961294504E+1 |
| PlPressure | 7 | 822 | 5.34195703982137E+1 |
| PlPressure | 7 | 823 | 4.90639709541471E+1 |
| PlPressure | 7 | 824 | 4.47165462653863E+1 |
| PlPressure | 7 | 825 | 4.04193145503139E+1 |
| PlPressure | 7 | 826 | 4.06216809004628E+1 |
| PlPressure | 7 | 827 | 4.10485552592907E+1 |
| PlPressure | 7 | 828 | 4.10911967970127E+1 |
| PlPressure | 7 | 829 | 4.56442545561148E+1 |
| PlPressure | 7 | 830 | 4.97878916540059E+1 |
| PlPressure | 7 | 831 | 5.38634532360037E+1 |
| PlPressure | 7 | 832 | 5.41188034667168E+1 |
| PlPressure | 7 | 833 | 5.40091270723110E+1 |
| PlPressure | 7 | 834 | 5.36776573174816E+1 |
| PlPressure | 7 | 835 | 4.92265401782748E+1 |
| PlPressure | 7 | 836 | 4.48697755034315E+1 |

| | | | | | | |
|---|---|------------------|----------------|---------------------------|-----------|----------------------|
|  ITALFERR GRUPPO FERROVIE DELLO STATO ITALIANE | RADDOPPIO LINEA CODOGNO – CREMONA – MANTOVA TRATTA PIADENA - MANTOVA | | | | | |
| Relazione di calcolo spalle | COMMESMA NM25 | LOTTO 03 D 26 | CODIFICA CL | DOCUMENTO IV 37 04 001 | REV. A | FOGLIO 283 di 439 |

PIPressure 7 837 5.03716500699615E+1
 PIPressure 7 838 4.99910466593400E+1
 PIPressure 7 839 4.46066982838848E+1
 PIPressure 7 840 4.70099598174888E+1

/ _____

/ PLATE EDGE PRESSURES

/ SPINTA STATICÀ

PIEdgePressure 7 1226 3 -9.11500000000000E+1
 PIEdgePressure 7 1227 3 -9.11500000000000E+1
 PIEdgePressure 7 1228 2 -9.11500000000000E+1
 PIEdgePressure 7 1229 2 -9.11500000000000E+1
 PIEdgePressure 7 1230 3 -9.11500000000000E+1
 PIEdgePressure 7 1231 3 -9.11500000000000E+1
 PIEdgePressure 7 1232 2 -9.11500000000000E+1

/ _____

/ PLATE FACE GLOBAL LOADS

/ RIEMPIMENTO

| | | | | | |
|--------------|---|-----|---------------------|---------------------|----------------------|
| PIGlobalLoad | 3 | 841 | 0.00000000000000E+0 | 0.00000000000000E+0 | -1.90000000000000E+1 |
| PIGlobalLoad | 3 | 842 | 0.00000000000000E+0 | 0.00000000000000E+0 | -1.90000000000000E+1 |
| PIGlobalLoad | 3 | 843 | 0.00000000000000E+0 | 0.00000000000000E+0 | -1.90000000000000E+1 |
| PIGlobalLoad | 3 | 844 | 0.00000000000000E+0 | 0.00000000000000E+0 | -1.90000000000000E+1 |
| PIGlobalLoad | 3 | 845 | 0.00000000000000E+0 | 0.00000000000000E+0 | -1.90000000000000E+1 |
| PIGlobalLoad | 3 | 846 | 0.00000000000000E+0 | 0.00000000000000E+0 | -1.90000000000000E+1 |
| PIGlobalLoad | 3 | 847 | 0.00000000000000E+0 | 0.00000000000000E+0 | -1.90000000000000E+1 |
| PIGlobalLoad | 3 | 848 | 0.00000000000000E+0 | 0.00000000000000E+0 | -1.90000000000000E+1 |

| Relazione di calcolo spalle | | | COMMESSE NM25 | LOTTO 03 D 26 | CODIFICA CL | DOCUMENTO IV 37 04 001 | REV. A | FOGLIO 284 di 439 |
|-----------------------------|--|--|------------------|------------------|----------------|---------------------------|-----------|----------------------|
|-----------------------------|--|--|------------------|------------------|----------------|---------------------------|-----------|----------------------|

| | | | | | |
|--------------|---|-----|----------------------|----------------------|-----------------------|
| PIGlobalLoad | 3 | 849 | 0.000000000000000E+0 | 0.000000000000000E+0 | -1.900000000000000E+1 |
| PIGlobalLoad | 3 | 850 | 0.000000000000000E+0 | 0.000000000000000E+0 | -1.900000000000000E+1 |
| PIGlobalLoad | 3 | 851 | 0.000000000000000E+0 | 0.000000000000000E+0 | -1.900000000000000E+1 |
| PIGlobalLoad | 3 | 852 | 0.000000000000000E+0 | 0.000000000000000E+0 | -1.900000000000000E+1 |
| PIGlobalLoad | 3 | 853 | 0.000000000000000E+0 | 0.000000000000000E+0 | -1.900000000000000E+1 |
| PIGlobalLoad | 3 | 854 | 0.000000000000000E+0 | 0.000000000000000E+0 | -1.900000000000000E+1 |
| PIGlobalLoad | 3 | 855 | 0.000000000000000E+0 | 0.000000000000000E+0 | -1.900000000000000E+1 |
| PIGlobalLoad | 3 | 856 | 0.000000000000000E+0 | 0.000000000000000E+0 | -1.900000000000000E+1 |
| PIGlobalLoad | 3 | 857 | 0.000000000000000E+0 | 0.000000000000000E+0 | -1.900000000000000E+1 |
| PIGlobalLoad | 3 | 858 | 0.000000000000000E+0 | 0.000000000000000E+0 | -1.900000000000000E+1 |
| PIGlobalLoad | 3 | 859 | 0.000000000000000E+0 | 0.000000000000000E+0 | -1.900000000000000E+1 |
| PIGlobalLoad | 3 | 860 | 0.000000000000000E+0 | 0.000000000000000E+0 | -1.900000000000000E+1 |
| PIGlobalLoad | 3 | 861 | 0.000000000000000E+0 | 0.000000000000000E+0 | -1.900000000000000E+1 |
| PIGlobalLoad | 3 | 862 | 0.000000000000000E+0 | 0.000000000000000E+0 | -1.900000000000000E+1 |
| PIGlobalLoad | 3 | 863 | 0.000000000000000E+0 | 0.000000000000000E+0 | -1.900000000000000E+1 |
| PIGlobalLoad | 3 | 864 | 0.000000000000000E+0 | 0.000000000000000E+0 | -1.900000000000000E+1 |
| PIGlobalLoad | 3 | 865 | 0.000000000000000E+0 | 0.000000000000000E+0 | -1.900000000000000E+1 |
| PIGlobalLoad | 3 | 866 | 0.000000000000000E+0 | 0.000000000000000E+0 | -1.900000000000000E+1 |
| PIGlobalLoad | 3 | 867 | 0.000000000000000E+0 | 0.000000000000000E+0 | -1.900000000000000E+1 |
| PIGlobalLoad | 3 | 868 | 0.000000000000000E+0 | 0.000000000000000E+0 | -1.900000000000000E+1 |
| PIGlobalLoad | 3 | 869 | 0.000000000000000E+0 | 0.000000000000000E+0 | -1.900000000000000E+1 |
| PIGlobalLoad | 3 | 870 | 0.000000000000000E+0 | 0.000000000000000E+0 | -1.900000000000000E+1 |
| PIGlobalLoad | 3 | 871 | 0.000000000000000E+0 | 0.000000000000000E+0 | -1.900000000000000E+1 |
| PIGlobalLoad | 3 | 872 | 0.000000000000000E+0 | 0.000000000000000E+0 | -1.900000000000000E+1 |
| PIGlobalLoad | 3 | 873 | 0.000000000000000E+0 | 0.000000000000000E+0 | -1.900000000000000E+1 |
| PIGlobalLoad | 3 | 874 | 0.000000000000000E+0 | 0.000000000000000E+0 | -1.900000000000000E+1 |
| PIGlobalLoad | 3 | 875 | 0.000000000000000E+0 | 0.000000000000000E+0 | -1.900000000000000E+1 |

| Relazione di calcolo spalle | | | COMMESSE NM25 | LOTTO 03 D 26 | CODIFICA CL | DOCUMENTO IV 37 04 001 | REV. A | FOGLIO 285 di 439 |
|-----------------------------|--|--|------------------|------------------|----------------|---------------------------|-----------|----------------------|
|-----------------------------|--|--|------------------|------------------|----------------|---------------------------|-----------|----------------------|

| | | | | | |
|--------------|---|-----|----------------------|----------------------|-----------------------|
| PIGlobalLoad | 3 | 876 | 0.000000000000000E+0 | 0.000000000000000E+0 | -1.900000000000000E+1 |
| PIGlobalLoad | 3 | 877 | 0.000000000000000E+0 | 0.000000000000000E+0 | -1.900000000000000E+1 |
| PIGlobalLoad | 3 | 878 | 0.000000000000000E+0 | 0.000000000000000E+0 | -1.900000000000000E+1 |
| PIGlobalLoad | 3 | 879 | 0.000000000000000E+0 | 0.000000000000000E+0 | -1.900000000000000E+1 |
| PIGlobalLoad | 3 | 880 | 0.000000000000000E+0 | 0.000000000000000E+0 | -1.900000000000000E+1 |
| PIGlobalLoad | 3 | 881 | 0.000000000000000E+0 | 0.000000000000000E+0 | -1.900000000000000E+1 |
| PIGlobalLoad | 3 | 882 | 0.000000000000000E+0 | 0.000000000000000E+0 | -1.900000000000000E+1 |
| PIGlobalLoad | 3 | 883 | 0.000000000000000E+0 | 0.000000000000000E+0 | -1.900000000000000E+1 |
| PIGlobalLoad | 3 | 884 | 0.000000000000000E+0 | 0.000000000000000E+0 | -1.900000000000000E+1 |
| PIGlobalLoad | 3 | 885 | 0.000000000000000E+0 | 0.000000000000000E+0 | -1.900000000000000E+1 |
| PIGlobalLoad | 3 | 886 | 0.000000000000000E+0 | 0.000000000000000E+0 | -1.900000000000000E+1 |
| PIGlobalLoad | 3 | 887 | 0.000000000000000E+0 | 0.000000000000000E+0 | -1.900000000000000E+1 |
| PIGlobalLoad | 3 | 888 | 0.000000000000000E+0 | 0.000000000000000E+0 | -1.900000000000000E+1 |
| PIGlobalLoad | 3 | 889 | 0.000000000000000E+0 | 0.000000000000000E+0 | -1.900000000000000E+1 |
| PIGlobalLoad | 3 | 890 | 0.000000000000000E+0 | 0.000000000000000E+0 | -1.900000000000000E+1 |
| PIGlobalLoad | 3 | 891 | 0.000000000000000E+0 | 0.000000000000000E+0 | -1.900000000000000E+1 |
| PIGlobalLoad | 3 | 892 | 0.000000000000000E+0 | 0.000000000000000E+0 | -1.900000000000000E+1 |
| PIGlobalLoad | 3 | 893 | 0.000000000000000E+0 | 0.000000000000000E+0 | -1.900000000000000E+1 |
| PIGlobalLoad | 3 | 894 | 0.000000000000000E+0 | 0.000000000000000E+0 | -1.900000000000000E+1 |
| PIGlobalLoad | 3 | 895 | 0.000000000000000E+0 | 0.000000000000000E+0 | -1.900000000000000E+1 |
| PIGlobalLoad | 3 | 896 | 0.000000000000000E+0 | 0.000000000000000E+0 | -1.900000000000000E+1 |
| PIGlobalLoad | 3 | 897 | 0.000000000000000E+0 | 0.000000000000000E+0 | -1.900000000000000E+1 |
| PIGlobalLoad | 3 | 898 | 0.000000000000000E+0 | 0.000000000000000E+0 | -1.900000000000000E+1 |
| PIGlobalLoad | 3 | 899 | 0.000000000000000E+0 | 0.000000000000000E+0 | -1.900000000000000E+1 |
| PIGlobalLoad | 3 | 900 | 0.000000000000000E+0 | 0.000000000000000E+0 | -1.900000000000000E+1 |
| PIGlobalLoad | 3 | 901 | 0.000000000000000E+0 | 0.000000000000000E+0 | -1.900000000000000E+1 |
| PIGlobalLoad | 3 | 902 | 0.000000000000000E+0 | 0.000000000000000E+0 | -1.900000000000000E+1 |

| Relazione di calcolo spalle | | | COMMESSE NM25 | LOTTO 03 D 26 | CODIFICA CL | DOCUMENTO IV 37 04 001 | REV. A | FOGLIO 286 di 439 |
|-----------------------------|--|--|------------------|------------------|----------------|---------------------------|-----------|----------------------|
|-----------------------------|--|--|------------------|------------------|----------------|---------------------------|-----------|----------------------|

| | | | | | |
|--------------|---|-----|----------------------|----------------------|-----------------------|
| PIGlobalLoad | 3 | 903 | 0.000000000000000E+0 | 0.000000000000000E+0 | -1.900000000000000E+1 |
| PIGlobalLoad | 3 | 904 | 0.000000000000000E+0 | 0.000000000000000E+0 | -1.900000000000000E+1 |
| PIGlobalLoad | 3 | 905 | 0.000000000000000E+0 | 0.000000000000000E+0 | -1.900000000000000E+1 |
| PIGlobalLoad | 3 | 906 | 0.000000000000000E+0 | 0.000000000000000E+0 | -1.900000000000000E+1 |
| PIGlobalLoad | 3 | 907 | 0.000000000000000E+0 | 0.000000000000000E+0 | -1.900000000000000E+1 |
| PIGlobalLoad | 3 | 908 | 0.000000000000000E+0 | 0.000000000000000E+0 | -1.900000000000000E+1 |
| PIGlobalLoad | 3 | 909 | 0.000000000000000E+0 | 0.000000000000000E+0 | -1.900000000000000E+1 |
| PIGlobalLoad | 3 | 910 | 0.000000000000000E+0 | 0.000000000000000E+0 | -1.900000000000000E+1 |
| PIGlobalLoad | 3 | 911 | 0.000000000000000E+0 | 0.000000000000000E+0 | -1.900000000000000E+1 |
| PIGlobalLoad | 3 | 912 | 0.000000000000000E+0 | 0.000000000000000E+0 | -1.900000000000000E+1 |
| PIGlobalLoad | 3 | 913 | 0.000000000000000E+0 | 0.000000000000000E+0 | -1.900000000000000E+1 |
| PIGlobalLoad | 3 | 914 | 0.000000000000000E+0 | 0.000000000000000E+0 | -1.900000000000000E+1 |
| PIGlobalLoad | 3 | 915 | 0.000000000000000E+0 | 0.000000000000000E+0 | -1.900000000000000E+1 |
| PIGlobalLoad | 3 | 916 | 0.000000000000000E+0 | 0.000000000000000E+0 | -1.900000000000000E+1 |
| PIGlobalLoad | 3 | 917 | 0.000000000000000E+0 | 0.000000000000000E+0 | -1.900000000000000E+1 |
| PIGlobalLoad | 3 | 918 | 0.000000000000000E+0 | 0.000000000000000E+0 | -1.900000000000000E+1 |
| PIGlobalLoad | 3 | 919 | 0.000000000000000E+0 | 0.000000000000000E+0 | -1.900000000000000E+1 |
| PIGlobalLoad | 3 | 920 | 0.000000000000000E+0 | 0.000000000000000E+0 | -1.900000000000000E+1 |
| PIGlobalLoad | 3 | 921 | 0.000000000000000E+0 | 0.000000000000000E+0 | -1.900000000000000E+1 |
| PIGlobalLoad | 3 | 922 | 0.000000000000000E+0 | 0.000000000000000E+0 | -1.900000000000000E+1 |
| PIGlobalLoad | 3 | 923 | 0.000000000000000E+0 | 0.000000000000000E+0 | -1.900000000000000E+1 |
| PIGlobalLoad | 3 | 924 | 0.000000000000000E+0 | 0.000000000000000E+0 | -1.900000000000000E+1 |
| PIGlobalLoad | 3 | 925 | 0.000000000000000E+0 | 0.000000000000000E+0 | -1.900000000000000E+1 |
| PIGlobalLoad | 3 | 926 | 0.000000000000000E+0 | 0.000000000000000E+0 | -1.966500000000000E+2 |
| PIGlobalLoad | 3 | 927 | 0.000000000000000E+0 | 0.000000000000000E+0 | -1.966500000000000E+2 |
| PIGlobalLoad | 3 | 928 | 0.000000000000000E+0 | 0.000000000000000E+0 | -1.966500000000000E+2 |
| PIGlobalLoad | 3 | 929 | 0.000000000000000E+0 | 0.000000000000000E+0 | -1.966500000000000E+2 |

| Relazione di calcolo spalle | | | COMMESSE NM25 | LOTTO 03 D 26 | CODIFICA CL | DOCUMENTO IV 37 04 001 | REV. A | FOGLIO 287 di 439 |
|-----------------------------|--|--|------------------|------------------|----------------|---------------------------|-----------|----------------------|
|-----------------------------|--|--|------------------|------------------|----------------|---------------------------|-----------|----------------------|

| | | | | | |
|--------------|---|-----|----------------------|----------------------|-----------------------|
| PIGlobalLoad | 3 | 930 | 0.000000000000000E+0 | 0.000000000000000E+0 | -1.966500000000000E+2 |
| PIGlobalLoad | 3 | 931 | 0.000000000000000E+0 | 0.000000000000000E+0 | -1.966500000000000E+2 |
| PIGlobalLoad | 3 | 932 | 0.000000000000000E+0 | 0.000000000000000E+0 | -1.966500000000000E+2 |
| PIGlobalLoad | 3 | 933 | 0.000000000000000E+0 | 0.000000000000000E+0 | -1.966500000000000E+2 |
| PIGlobalLoad | 3 | 934 | 0.000000000000000E+0 | 0.000000000000000E+0 | -1.966500000000000E+2 |
| PIGlobalLoad | 3 | 935 | 0.000000000000000E+0 | 0.000000000000000E+0 | -1.966500000000000E+2 |
| PIGlobalLoad | 3 | 936 | 0.000000000000000E+0 | 0.000000000000000E+0 | -1.966500000000000E+2 |
| PIGlobalLoad | 3 | 937 | 0.000000000000000E+0 | 0.000000000000000E+0 | -1.966500000000000E+2 |
| PIGlobalLoad | 3 | 938 | 0.000000000000000E+0 | 0.000000000000000E+0 | -1.966500000000000E+2 |
| PIGlobalLoad | 3 | 939 | 0.000000000000000E+0 | 0.000000000000000E+0 | -1.966500000000000E+2 |
| PIGlobalLoad | 3 | 940 | 0.000000000000000E+0 | 0.000000000000000E+0 | -1.966500000000000E+2 |
| PIGlobalLoad | 3 | 941 | 0.000000000000000E+0 | 0.000000000000000E+0 | -1.966500000000000E+2 |
| PIGlobalLoad | 3 | 942 | 0.000000000000000E+0 | 0.000000000000000E+0 | -1.966500000000000E+2 |
| PIGlobalLoad | 3 | 943 | 0.000000000000000E+0 | 0.000000000000000E+0 | -1.966500000000000E+2 |
| PIGlobalLoad | 3 | 944 | 0.000000000000000E+0 | 0.000000000000000E+0 | -1.966500000000000E+2 |
| PIGlobalLoad | 3 | 945 | 0.000000000000000E+0 | 0.000000000000000E+0 | -1.966500000000000E+2 |
| PIGlobalLoad | 3 | 946 | 0.000000000000000E+0 | 0.000000000000000E+0 | -1.966500000000000E+2 |
| PIGlobalLoad | 3 | 947 | 0.000000000000000E+0 | 0.000000000000000E+0 | -1.966500000000000E+2 |
| PIGlobalLoad | 3 | 948 | 0.000000000000000E+0 | 0.000000000000000E+0 | -1.966500000000000E+2 |
| PIGlobalLoad | 3 | 949 | 0.000000000000000E+0 | 0.000000000000000E+0 | -1.966500000000000E+2 |
| PIGlobalLoad | 3 | 950 | 0.000000000000000E+0 | 0.000000000000000E+0 | -1.966500000000000E+2 |
| PIGlobalLoad | 3 | 951 | 0.000000000000000E+0 | 0.000000000000000E+0 | -1.966500000000000E+2 |
| PIGlobalLoad | 3 | 952 | 0.000000000000000E+0 | 0.000000000000000E+0 | -1.966500000000000E+2 |
| PIGlobalLoad | 3 | 953 | 0.000000000000000E+0 | 0.000000000000000E+0 | -1.966500000000000E+2 |
| PIGlobalLoad | 3 | 954 | 0.000000000000000E+0 | 0.000000000000000E+0 | -1.966500000000000E+2 |
| PIGlobalLoad | 3 | 955 | 0.000000000000000E+0 | 0.000000000000000E+0 | -1.966500000000000E+2 |
| PIGlobalLoad | 3 | 956 | 0.000000000000000E+0 | 0.000000000000000E+0 | -1.966500000000000E+2 |

| Relazione di calcolo spalle | | | COMMESSE NM25 | LOTTO 03 D 26 | CODIFICA CL | DOCUMENTO IV 37 04 001 | REV. A | FOGLIO 288 di 439 |
|-----------------------------|--|--|------------------|------------------|----------------|---------------------------|-----------|----------------------|
|-----------------------------|--|--|------------------|------------------|----------------|---------------------------|-----------|----------------------|

| | | | | | |
|--------------|---|-----|----------------------|----------------------|-----------------------|
| PIGlobalLoad | 3 | 957 | 0.000000000000000E+0 | 0.000000000000000E+0 | -1.966500000000000E+2 |
| PIGlobalLoad | 3 | 958 | 0.000000000000000E+0 | 0.000000000000000E+0 | -1.966500000000000E+2 |
| PIGlobalLoad | 3 | 959 | 0.000000000000000E+0 | 0.000000000000000E+0 | -1.966500000000000E+2 |
| PIGlobalLoad | 3 | 960 | 0.000000000000000E+0 | 0.000000000000000E+0 | -1.966500000000000E+2 |
| PIGlobalLoad | 3 | 961 | 0.000000000000000E+0 | 0.000000000000000E+0 | -1.966500000000000E+2 |
| PIGlobalLoad | 3 | 962 | 0.000000000000000E+0 | 0.000000000000000E+0 | -1.966500000000000E+2 |
| PIGlobalLoad | 3 | 963 | 0.000000000000000E+0 | 0.000000000000000E+0 | -1.966500000000000E+2 |
| PIGlobalLoad | 3 | 964 | 0.000000000000000E+0 | 0.000000000000000E+0 | -1.966500000000000E+2 |
| PIGlobalLoad | 3 | 965 | 0.000000000000000E+0 | 0.000000000000000E+0 | -1.966500000000000E+2 |
| PIGlobalLoad | 3 | 966 | 0.000000000000000E+0 | 0.000000000000000E+0 | -1.966500000000000E+2 |
| PIGlobalLoad | 3 | 967 | 0.000000000000000E+0 | 0.000000000000000E+0 | -1.966500000000000E+2 |
| PIGlobalLoad | 3 | 968 | 0.000000000000000E+0 | 0.000000000000000E+0 | -1.966500000000000E+2 |
| PIGlobalLoad | 3 | 969 | 0.000000000000000E+0 | 0.000000000000000E+0 | -1.966500000000000E+2 |
| PIGlobalLoad | 3 | 970 | 0.000000000000000E+0 | 0.000000000000000E+0 | -1.966500000000000E+2 |
| PIGlobalLoad | 3 | 971 | 0.000000000000000E+0 | 0.000000000000000E+0 | -1.966500000000000E+2 |
| PIGlobalLoad | 3 | 972 | 0.000000000000000E+0 | 0.000000000000000E+0 | -1.966500000000000E+2 |
| PIGlobalLoad | 3 | 973 | 0.000000000000000E+0 | 0.000000000000000E+0 | -1.966500000000000E+2 |
| PIGlobalLoad | 3 | 974 | 0.000000000000000E+0 | 0.000000000000000E+0 | -1.966500000000000E+2 |
| PIGlobalLoad | 3 | 975 | 0.000000000000000E+0 | 0.000000000000000E+0 | -1.966500000000000E+2 |
| PIGlobalLoad | 3 | 976 | 0.000000000000000E+0 | 0.000000000000000E+0 | -1.966500000000000E+2 |
| PIGlobalLoad | 3 | 977 | 0.000000000000000E+0 | 0.000000000000000E+0 | -1.900000000000000E+1 |
| PIGlobalLoad | 3 | 978 | 0.000000000000000E+0 | 0.000000000000000E+0 | -1.900000000000000E+1 |
| PIGlobalLoad | 3 | 979 | 0.000000000000000E+0 | 0.000000000000000E+0 | -1.900000000000000E+1 |
| PIGlobalLoad | 3 | 980 | 0.000000000000000E+0 | 0.000000000000000E+0 | -1.900000000000000E+1 |
| PIGlobalLoad | 3 | 981 | 0.000000000000000E+0 | 0.000000000000000E+0 | -1.900000000000000E+1 |
| PIGlobalLoad | 3 | 982 | 0.000000000000000E+0 | 0.000000000000000E+0 | -1.900000000000000E+1 |
| PIGlobalLoad | 3 | 983 | 0.000000000000000E+0 | 0.000000000000000E+0 | -1.900000000000000E+1 |

| Relazione di calcolo spalle | | | COMMESMA NM25 | LOTTO 03 D 26 | CODIFICA CL | DOCUMENTO IV 37 04 001 | REV. A | FOGLIO 289 di 439 |
|-----------------------------|--|--|------------------|------------------|----------------|---------------------------|-----------|----------------------|
|-----------------------------|--|--|------------------|------------------|----------------|---------------------------|-----------|----------------------|

| | | | | | |
|--------------|---|------|----------------------|----------------------|-----------------------|
| PIGlobalLoad | 3 | 984 | 0.000000000000000E+0 | 0.000000000000000E+0 | -1.900000000000000E+1 |
| PIGlobalLoad | 3 | 985 | 0.000000000000000E+0 | 0.000000000000000E+0 | -1.900000000000000E+1 |
| PIGlobalLoad | 3 | 986 | 0.000000000000000E+0 | 0.000000000000000E+0 | -1.900000000000000E+1 |
| PIGlobalLoad | 3 | 987 | 0.000000000000000E+0 | 0.000000000000000E+0 | -1.900000000000000E+1 |
| PIGlobalLoad | 3 | 988 | 0.000000000000000E+0 | 0.000000000000000E+0 | -1.900000000000000E+1 |
| PIGlobalLoad | 3 | 989 | 0.000000000000000E+0 | 0.000000000000000E+0 | -1.900000000000000E+1 |
| PIGlobalLoad | 3 | 990 | 0.000000000000000E+0 | 0.000000000000000E+0 | -1.900000000000000E+1 |
| PIGlobalLoad | 3 | 991 | 0.000000000000000E+0 | 0.000000000000000E+0 | -1.900000000000000E+1 |
| PIGlobalLoad | 3 | 992 | 0.000000000000000E+0 | 0.000000000000000E+0 | -1.900000000000000E+1 |
| PIGlobalLoad | 3 | 993 | 0.000000000000000E+0 | 0.000000000000000E+0 | -1.900000000000000E+1 |
| PIGlobalLoad | 3 | 994 | 0.000000000000000E+0 | 0.000000000000000E+0 | -1.900000000000000E+1 |
| PIGlobalLoad | 3 | 995 | 0.000000000000000E+0 | 0.000000000000000E+0 | -1.900000000000000E+1 |
| PIGlobalLoad | 3 | 996 | 0.000000000000000E+0 | 0.000000000000000E+0 | -1.900000000000000E+1 |
| PIGlobalLoad | 3 | 997 | 0.000000000000000E+0 | 0.000000000000000E+0 | -1.900000000000000E+1 |
| PIGlobalLoad | 3 | 998 | 0.000000000000000E+0 | 0.000000000000000E+0 | -1.900000000000000E+1 |
| PIGlobalLoad | 3 | 999 | 0.000000000000000E+0 | 0.000000000000000E+0 | -1.900000000000000E+1 |
| PIGlobalLoad | 3 | 1000 | 0.000000000000000E+0 | 0.000000000000000E+0 | -1.900000000000000E+1 |
| PIGlobalLoad | 3 | 1001 | 0.000000000000000E+0 | 0.000000000000000E+0 | -1.900000000000000E+1 |
| PIGlobalLoad | 3 | 1002 | 0.000000000000000E+0 | 0.000000000000000E+0 | -1.900000000000000E+1 |
| PIGlobalLoad | 3 | 1003 | 0.000000000000000E+0 | 0.000000000000000E+0 | -1.900000000000000E+1 |
| PIGlobalLoad | 3 | 1004 | 0.000000000000000E+0 | 0.000000000000000E+0 | -1.900000000000000E+1 |
| PIGlobalLoad | 3 | 1005 | 0.000000000000000E+0 | 0.000000000000000E+0 | -1.900000000000000E+1 |
| PIGlobalLoad | 3 | 1006 | 0.000000000000000E+0 | 0.000000000000000E+0 | -1.900000000000000E+1 |
| PIGlobalLoad | 3 | 1007 | 0.000000000000000E+0 | 0.000000000000000E+0 | -1.900000000000000E+1 |
| PIGlobalLoad | 3 | 1008 | 0.000000000000000E+0 | 0.000000000000000E+0 | -1.900000000000000E+1 |
| PIGlobalLoad | 3 | 1009 | 0.000000000000000E+0 | 0.000000000000000E+0 | -1.900000000000000E+1 |
| PIGlobalLoad | 3 | 1010 | 0.000000000000000E+0 | 0.000000000000000E+0 | -1.900000000000000E+1 |

| Relazione di calcolo spalle | COMMESSE NM25 | LOTTO 03 D 26 | CODIFICA CL | DOCUMENTO IV 37 04 001 | REV. A | FOGLIO 290 di 439 |
|-----------------------------|------------------|------------------|----------------|---------------------------|-----------|----------------------|
|-----------------------------|------------------|------------------|----------------|---------------------------|-----------|----------------------|

| | | | | | | |
|--------------|---|------|----------------------|----------------------|-----------------------|--|
| PIGlobalLoad | 3 | 1011 | 0.000000000000000E+0 | 0.000000000000000E+0 | -1.900000000000000E+1 | |
| PIGlobalLoad | 3 | 1012 | 0.000000000000000E+0 | 0.000000000000000E+0 | -1.900000000000000E+1 | |
| PIGlobalLoad | 3 | 1013 | 0.000000000000000E+0 | 0.000000000000000E+0 | -1.900000000000000E+1 | |
| PIGlobalLoad | 3 | 1014 | 0.000000000000000E+0 | 0.000000000000000E+0 | -1.900000000000000E+1 | |
| PIGlobalLoad | 3 | 1015 | 0.000000000000000E+0 | 0.000000000000000E+0 | -1.900000000000000E+1 | |
| PIGlobalLoad | 3 | 1016 | 0.000000000000000E+0 | 0.000000000000000E+0 | -1.900000000000000E+1 | |
| PIGlobalLoad | 3 | 1017 | 0.000000000000000E+0 | 0.000000000000000E+0 | -1.900000000000000E+1 | |
| PIGlobalLoad | 3 | 1018 | 0.000000000000000E+0 | 0.000000000000000E+0 | -1.900000000000000E+1 | |
| PIGlobalLoad | 3 | 1019 | 0.000000000000000E+0 | 0.000000000000000E+0 | -1.900000000000000E+1 | |
| PIGlobalLoad | 3 | 1020 | 0.000000000000000E+0 | 0.000000000000000E+0 | -1.900000000000000E+1 | |
| PIGlobalLoad | 3 | 1021 | 0.000000000000000E+0 | 0.000000000000000E+0 | -1.900000000000000E+1 | |
| PIGlobalLoad | 3 | 1022 | 0.000000000000000E+0 | 0.000000000000000E+0 | -1.900000000000000E+1 | |
| PIGlobalLoad | 3 | 1023 | 0.000000000000000E+0 | 0.000000000000000E+0 | -1.900000000000000E+1 | |
| PIGlobalLoad | 3 | 1024 | 0.000000000000000E+0 | 0.000000000000000E+0 | -1.900000000000000E+1 | |
| PIGlobalLoad | 3 | 1025 | 0.000000000000000E+0 | 0.000000000000000E+0 | -1.900000000000000E+1 | |
| PIGlobalLoad | 3 | 1026 | 0.000000000000000E+0 | 0.000000000000000E+0 | -1.900000000000000E+1 | |
| PIGlobalLoad | 3 | 1027 | 0.000000000000000E+0 | 0.000000000000000E+0 | -1.900000000000000E+1 | |
| PIGlobalLoad | 3 | 1028 | 0.000000000000000E+0 | 0.000000000000000E+0 | -1.900000000000000E+1 | |
| PIGlobalLoad | 3 | 1029 | 0.000000000000000E+0 | 0.000000000000000E+0 | -1.900000000000000E+1 | |
| PIGlobalLoad | 3 | 1030 | 0.000000000000000E+0 | 0.000000000000000E+0 | -1.900000000000000E+1 | |
| PIGlobalLoad | 3 | 1031 | 0.000000000000000E+0 | 0.000000000000000E+0 | -1.900000000000000E+1 | |
| PIGlobalLoad | 3 | 1032 | 0.000000000000000E+0 | 0.000000000000000E+0 | -1.900000000000000E+1 | |
| PIGlobalLoad | 3 | 1033 | 0.000000000000000E+0 | 0.000000000000000E+0 | -1.900000000000000E+1 | |
| PIGlobalLoad | 3 | 1034 | 0.000000000000000E+0 | 0.000000000000000E+0 | -1.900000000000000E+1 | |
| PIGlobalLoad | 3 | 1035 | 0.000000000000000E+0 | 0.000000000000000E+0 | -1.900000000000000E+1 | |
| PIGlobalLoad | 3 | 1036 | 0.000000000000000E+0 | 0.000000000000000E+0 | -1.900000000000000E+1 | |
| PIGlobalLoad | 3 | 1037 | 0.000000000000000E+0 | 0.000000000000000E+0 | -1.900000000000000E+1 | |

| Relazione di calcolo spalle | COMMESSE NM25 | LOTTO 03 D 26 | CODIFICA CL | DOCUMENTO IV 37 04 001 | REV. A | FOGLIO 291 di 439 |
|-----------------------------|------------------|------------------|----------------|---------------------------|-----------|----------------------|
|-----------------------------|------------------|------------------|----------------|---------------------------|-----------|----------------------|

| | | | | | | |
|--------------|---|------|----------------------|----------------------|-----------------------|--|
| PIGlobalLoad | 3 | 1038 | 0.000000000000000E+0 | 0.000000000000000E+0 | -1.900000000000000E+1 | |
| PIGlobalLoad | 3 | 1039 | 0.000000000000000E+0 | 0.000000000000000E+0 | -1.900000000000000E+1 | |
| PIGlobalLoad | 3 | 1040 | 0.000000000000000E+0 | 0.000000000000000E+0 | -1.900000000000000E+1 | |
| PIGlobalLoad | 3 | 1041 | 0.000000000000000E+0 | 0.000000000000000E+0 | -1.900000000000000E+1 | |
| PIGlobalLoad | 3 | 1042 | 0.000000000000000E+0 | 0.000000000000000E+0 | -1.900000000000000E+1 | |
| PIGlobalLoad | 3 | 1043 | 0.000000000000000E+0 | 0.000000000000000E+0 | -1.900000000000000E+1 | |
| PIGlobalLoad | 3 | 1044 | 0.000000000000000E+0 | 0.000000000000000E+0 | -1.900000000000000E+1 | |
| PIGlobalLoad | 3 | 1045 | 0.000000000000000E+0 | 0.000000000000000E+0 | -1.900000000000000E+1 | |
| PIGlobalLoad | 3 | 1046 | 0.000000000000000E+0 | 0.000000000000000E+0 | -1.900000000000000E+1 | |
| PIGlobalLoad | 3 | 1047 | 0.000000000000000E+0 | 0.000000000000000E+0 | -1.900000000000000E+1 | |
| PIGlobalLoad | 3 | 1048 | 0.000000000000000E+0 | 0.000000000000000E+0 | -1.900000000000000E+1 | |
| PIGlobalLoad | 3 | 1049 | 0.000000000000000E+0 | 0.000000000000000E+0 | -1.900000000000000E+1 | |
| PIGlobalLoad | 3 | 1050 | 0.000000000000000E+0 | 0.000000000000000E+0 | -1.900000000000000E+1 | |
| PIGlobalLoad | 3 | 1051 | 0.000000000000000E+0 | 0.000000000000000E+0 | -1.900000000000000E+1 | |
| PIGlobalLoad | 3 | 1052 | 0.000000000000000E+0 | 0.000000000000000E+0 | -1.900000000000000E+1 | |
| PIGlobalLoad | 3 | 1053 | 0.000000000000000E+0 | 0.000000000000000E+0 | -1.900000000000000E+1 | |
| PIGlobalLoad | 3 | 1054 | 0.000000000000000E+0 | 0.000000000000000E+0 | -1.900000000000000E+1 | |
| PIGlobalLoad | 3 | 1055 | 0.000000000000000E+0 | 0.000000000000000E+0 | -1.900000000000000E+1 | |
| PIGlobalLoad | 3 | 1056 | 0.000000000000000E+0 | 0.000000000000000E+0 | -1.900000000000000E+1 | |
| PIGlobalLoad | 3 | 1057 | 0.000000000000000E+0 | 0.000000000000000E+0 | -1.900000000000000E+1 | |
| PIGlobalLoad | 3 | 1058 | 0.000000000000000E+0 | 0.000000000000000E+0 | -1.900000000000000E+1 | |
| PIGlobalLoad | 3 | 1059 | 0.000000000000000E+0 | 0.000000000000000E+0 | -1.900000000000000E+1 | |
| PIGlobalLoad | 3 | 1060 | 0.000000000000000E+0 | 0.000000000000000E+0 | -1.900000000000000E+1 | |
| PIGlobalLoad | 3 | 1061 | 0.000000000000000E+0 | 0.000000000000000E+0 | -1.900000000000000E+1 | |
| PIGlobalLoad | 3 | 1062 | 0.000000000000000E+0 | 0.000000000000000E+0 | -1.900000000000000E+1 | |
| PIGlobalLoad | 3 | 1063 | 0.000000000000000E+0 | 0.000000000000000E+0 | -1.900000000000000E+1 | |
| PIGlobalLoad | 3 | 1064 | 0.000000000000000E+0 | 0.000000000000000E+0 | -1.900000000000000E+1 | |

| Relazione di calcolo spalle | COMMESMA NM25 | LOTTO 03 D 26 | CODIFICA CL | DOCUMENTO IV 37 04 001 | REV. A | FOGLIO 292 di 439 |
|-----------------------------|------------------|------------------|----------------|---------------------------|-----------|----------------------|
|-----------------------------|------------------|------------------|----------------|---------------------------|-----------|----------------------|

| | | | | | |
|--------------|---|------|----------------------|----------------------|-----------------------|
| PIGlobalLoad | 3 | 1065 | 0.000000000000000E+0 | 0.000000000000000E+0 | -1.900000000000000E+1 |
| PIGlobalLoad | 3 | 1066 | 0.000000000000000E+0 | 0.000000000000000E+0 | -1.900000000000000E+1 |
| PIGlobalLoad | 3 | 1067 | 0.000000000000000E+0 | 0.000000000000000E+0 | -1.900000000000000E+1 |
| PIGlobalLoad | 3 | 1068 | 0.000000000000000E+0 | 0.000000000000000E+0 | -1.900000000000000E+1 |
| PIGlobalLoad | 3 | 1069 | 0.000000000000000E+0 | 0.000000000000000E+0 | -1.900000000000000E+1 |
| PIGlobalLoad | 3 | 1070 | 0.000000000000000E+0 | 0.000000000000000E+0 | -1.900000000000000E+1 |
| PIGlobalLoad | 3 | 1071 | 0.000000000000000E+0 | 0.000000000000000E+0 | -1.900000000000000E+1 |
| PIGlobalLoad | 3 | 1072 | 0.000000000000000E+0 | 0.000000000000000E+0 | -1.900000000000000E+1 |
| PIGlobalLoad | 3 | 1073 | 0.000000000000000E+0 | 0.000000000000000E+0 | -1.900000000000000E+1 |
| PIGlobalLoad | 3 | 1074 | 0.000000000000000E+0 | 0.000000000000000E+0 | -1.900000000000000E+1 |
| PIGlobalLoad | 3 | 1075 | 0.000000000000000E+0 | 0.000000000000000E+0 | -1.900000000000000E+1 |
| PIGlobalLoad | 3 | 1076 | 0.000000000000000E+0 | 0.000000000000000E+0 | -1.900000000000000E+1 |
| PIGlobalLoad | 3 | 1077 | 0.000000000000000E+0 | 0.000000000000000E+0 | -1.900000000000000E+1 |
| PIGlobalLoad | 3 | 1078 | 0.000000000000000E+0 | 0.000000000000000E+0 | -1.900000000000000E+1 |
| PIGlobalLoad | 3 | 1079 | 0.000000000000000E+0 | 0.000000000000000E+0 | -1.900000000000000E+1 |
| PIGlobalLoad | 3 | 1080 | 0.000000000000000E+0 | 0.000000000000000E+0 | -1.900000000000000E+1 |
| PIGlobalLoad | 3 | 1081 | 0.000000000000000E+0 | 0.000000000000000E+0 | -1.900000000000000E+1 |
| PIGlobalLoad | 3 | 1082 | 0.000000000000000E+0 | 0.000000000000000E+0 | -1.900000000000000E+1 |
| PIGlobalLoad | 3 | 1083 | 0.000000000000000E+0 | 0.000000000000000E+0 | -1.900000000000000E+1 |
| PIGlobalLoad | 3 | 1084 | 0.000000000000000E+0 | 0.000000000000000E+0 | -1.900000000000000E+1 |
| PIGlobalLoad | 3 | 1085 | 0.000000000000000E+0 | 0.000000000000000E+0 | -1.900000000000000E+1 |
| PIGlobalLoad | 3 | 1086 | 0.000000000000000E+0 | 0.000000000000000E+0 | -1.900000000000000E+1 |
| PIGlobalLoad | 3 | 1087 | 0.000000000000000E+0 | 0.000000000000000E+0 | -1.900000000000000E+1 |
| PIGlobalLoad | 3 | 1088 | 0.000000000000000E+0 | 0.000000000000000E+0 | -1.900000000000000E+1 |
| PIGlobalLoad | 3 | 1089 | 0.000000000000000E+0 | 0.000000000000000E+0 | -1.900000000000000E+1 |
| PIGlobalLoad | 3 | 1090 | 0.000000000000000E+0 | 0.000000000000000E+0 | -1.900000000000000E+1 |
| PIGlobalLoad | 3 | 1091 | 0.000000000000000E+0 | 0.000000000000000E+0 | -1.900000000000000E+1 |

| Relazione di calcolo spalle | COMMESSE NM25 | LOTTO 03 D 26 | CODIFICA CL | DOCUMENTO IV 37 04 001 | REV. A | FOGLIO 293 di 439 |
|-----------------------------|------------------|------------------|----------------|---------------------------|-----------|----------------------|
|-----------------------------|------------------|------------------|----------------|---------------------------|-----------|----------------------|

| | | | | | | |
|--------------|---|------|----------------------|----------------------|-----------------------|--|
| PIGlobalLoad | 3 | 1092 | 0.000000000000000E+0 | 0.000000000000000E+0 | -1.900000000000000E+1 | |
| PIGlobalLoad | 3 | 1093 | 0.000000000000000E+0 | 0.000000000000000E+0 | -1.900000000000000E+1 | |
| PIGlobalLoad | 3 | 1094 | 0.000000000000000E+0 | 0.000000000000000E+0 | -1.900000000000000E+1 | |
| PIGlobalLoad | 3 | 1095 | 0.000000000000000E+0 | 0.000000000000000E+0 | -1.900000000000000E+1 | |
| PIGlobalLoad | 3 | 1096 | 0.000000000000000E+0 | 0.000000000000000E+0 | -1.900000000000000E+1 | |
| PIGlobalLoad | 3 | 1097 | 0.000000000000000E+0 | 0.000000000000000E+0 | -1.900000000000000E+1 | |
| PIGlobalLoad | 3 | 1098 | 0.000000000000000E+0 | 0.000000000000000E+0 | -1.900000000000000E+1 | |
| PIGlobalLoad | 3 | 1099 | 0.000000000000000E+0 | 0.000000000000000E+0 | -1.900000000000000E+1 | |
| PIGlobalLoad | 3 | 1100 | 0.000000000000000E+0 | 0.000000000000000E+0 | -1.900000000000000E+1 | |
| PIGlobalLoad | 3 | 1101 | 0.000000000000000E+0 | 0.000000000000000E+0 | -1.900000000000000E+1 | |
| PIGlobalLoad | 3 | 1102 | 0.000000000000000E+0 | 0.000000000000000E+0 | -1.900000000000000E+1 | |
| PIGlobalLoad | 3 | 1103 | 0.000000000000000E+0 | 0.000000000000000E+0 | -1.900000000000000E+1 | |
| PIGlobalLoad | 3 | 1104 | 0.000000000000000E+0 | 0.000000000000000E+0 | -1.900000000000000E+1 | |
| PIGlobalLoad | 3 | 1105 | 0.000000000000000E+0 | 0.000000000000000E+0 | -1.900000000000000E+1 | |
| PIGlobalLoad | 3 | 1106 | 0.000000000000000E+0 | 0.000000000000000E+0 | -1.900000000000000E+1 | |
| PIGlobalLoad | 3 | 1107 | 0.000000000000000E+0 | 0.000000000000000E+0 | -1.900000000000000E+1 | |
| PIGlobalLoad | 3 | 1108 | 0.000000000000000E+0 | 0.000000000000000E+0 | -1.900000000000000E+1 | |
| PIGlobalLoad | 3 | 1109 | 0.000000000000000E+0 | 0.000000000000000E+0 | -1.900000000000000E+1 | |
| PIGlobalLoad | 3 | 1110 | 0.000000000000000E+0 | 0.000000000000000E+0 | -1.900000000000000E+1 | |
| PIGlobalLoad | 3 | 1111 | 0.000000000000000E+0 | 0.000000000000000E+0 | -1.900000000000000E+1 | |
| PIGlobalLoad | 3 | 1112 | 0.000000000000000E+0 | 0.000000000000000E+0 | -1.900000000000000E+1 | |
| PIGlobalLoad | 3 | 1113 | 0.000000000000000E+0 | 0.000000000000000E+0 | -1.900000000000000E+1 | |
| PIGlobalLoad | 3 | 1114 | 0.000000000000000E+0 | 0.000000000000000E+0 | -1.900000000000000E+1 | |
| PIGlobalLoad | 3 | 1115 | 0.000000000000000E+0 | 0.000000000000000E+0 | -1.900000000000000E+1 | |
| PIGlobalLoad | 3 | 1116 | 0.000000000000000E+0 | 0.000000000000000E+0 | -1.900000000000000E+1 | |
| PIGlobalLoad | 3 | 1117 | 0.000000000000000E+0 | 0.000000000000000E+0 | -1.900000000000000E+1 | |
| PIGlobalLoad | 3 | 1118 | 0.000000000000000E+0 | 0.000000000000000E+0 | -1.900000000000000E+1 | |

| Relazione di calcolo spalle | COMMESSE NM25 | LOTTO 03 D 26 | CODIFICA CL | DOCUMENTO IV 37 04 001 | REV. A | FOGLIO 294 di 439 |
|-----------------------------|------------------|------------------|----------------|---------------------------|-----------|----------------------|
|-----------------------------|------------------|------------------|----------------|---------------------------|-----------|----------------------|

| | | | | | |
|--------------|---|------|----------------------|----------------------|-----------------------|
| PIGlobalLoad | 3 | 1119 | 0.000000000000000E+0 | 0.000000000000000E+0 | -1.900000000000000E+1 |
| PIGlobalLoad | 3 | 1120 | 0.000000000000000E+0 | 0.000000000000000E+0 | -1.900000000000000E+1 |
| PIGlobalLoad | 3 | 1121 | 0.000000000000000E+0 | 0.000000000000000E+0 | -1.900000000000000E+1 |
| PIGlobalLoad | 3 | 1122 | 0.000000000000000E+0 | 0.000000000000000E+0 | -1.900000000000000E+1 |
| PIGlobalLoad | 3 | 1123 | 0.000000000000000E+0 | 0.000000000000000E+0 | -1.900000000000000E+1 |
| PIGlobalLoad | 3 | 1124 | 0.000000000000000E+0 | 0.000000000000000E+0 | -1.900000000000000E+1 |
| PIGlobalLoad | 3 | 1125 | 0.000000000000000E+0 | 0.000000000000000E+0 | -1.900000000000000E+1 |
| PIGlobalLoad | 3 | 1126 | 0.000000000000000E+0 | 0.000000000000000E+0 | -1.900000000000000E+1 |
| PIGlobalLoad | 3 | 1127 | 0.000000000000000E+0 | 0.000000000000000E+0 | -1.900000000000000E+1 |
| PIGlobalLoad | 3 | 1128 | 0.000000000000000E+0 | 0.000000000000000E+0 | -1.900000000000000E+1 |
| PIGlobalLoad | 3 | 1129 | 0.000000000000000E+0 | 0.000000000000000E+0 | -1.900000000000000E+1 |
| PIGlobalLoad | 3 | 1130 | 0.000000000000000E+0 | 0.000000000000000E+0 | -1.900000000000000E+1 |
| PIGlobalLoad | 3 | 1131 | 0.000000000000000E+0 | 0.000000000000000E+0 | -1.900000000000000E+1 |
| PIGlobalLoad | 3 | 1132 | 0.000000000000000E+0 | 0.000000000000000E+0 | -1.900000000000000E+1 |
| PIGlobalLoad | 3 | 1133 | 0.000000000000000E+0 | 0.000000000000000E+0 | -1.900000000000000E+1 |
| PIGlobalLoad | 3 | 1134 | 0.000000000000000E+0 | 0.000000000000000E+0 | -1.900000000000000E+1 |
| PIGlobalLoad | 3 | 1135 | 0.000000000000000E+0 | 0.000000000000000E+0 | -1.900000000000000E+1 |
| PIGlobalLoad | 3 | 1136 | 0.000000000000000E+0 | 0.000000000000000E+0 | -1.900000000000000E+1 |
| PIGlobalLoad | 3 | 1137 | 0.000000000000000E+0 | 0.000000000000000E+0 | -1.900000000000000E+1 |
| PIGlobalLoad | 3 | 1138 | 0.000000000000000E+0 | 0.000000000000000E+0 | -1.900000000000000E+1 |
| PIGlobalLoad | 3 | 1139 | 0.000000000000000E+0 | 0.000000000000000E+0 | -1.900000000000000E+1 |
| PIGlobalLoad | 3 | 1140 | 0.000000000000000E+0 | 0.000000000000000E+0 | -1.900000000000000E+1 |
| PIGlobalLoad | 3 | 1141 | 0.000000000000000E+0 | 0.000000000000000E+0 | -1.900000000000000E+1 |
| PIGlobalLoad | 3 | 1142 | 0.000000000000000E+0 | 0.000000000000000E+0 | -1.900000000000000E+1 |
| PIGlobalLoad | 3 | 1143 | 0.000000000000000E+0 | 0.000000000000000E+0 | -1.900000000000000E+1 |
| PIGlobalLoad | 3 | 1144 | 0.000000000000000E+0 | 0.000000000000000E+0 | -1.900000000000000E+1 |
| PIGlobalLoad | 3 | 1145 | 0.000000000000000E+0 | 0.000000000000000E+0 | -1.900000000000000E+1 |

| Relazione di calcolo spalle | COMMESSE NM25 | LOTTO 03 D 26 | CODIFICA CL | DOCUMENTO IV 37 04 001 | REV. A | FOGLIO 295 di 439 |
|-----------------------------|------------------|------------------|----------------|---------------------------|-----------|----------------------|
|-----------------------------|------------------|------------------|----------------|---------------------------|-----------|----------------------|

| | | | | | | |
|--------------|---|------|----------------------|----------------------|-----------------------|--|
| PIGlobalLoad | 3 | 1146 | 0.000000000000000E+0 | 0.000000000000000E+0 | -1.900000000000000E+1 | |
| PIGlobalLoad | 3 | 1147 | 0.000000000000000E+0 | 0.000000000000000E+0 | -1.900000000000000E+1 | |
| PIGlobalLoad | 3 | 1148 | 0.000000000000000E+0 | 0.000000000000000E+0 | -1.900000000000000E+1 | |
| PIGlobalLoad | 3 | 1149 | 0.000000000000000E+0 | 0.000000000000000E+0 | -1.900000000000000E+1 | |
| PIGlobalLoad | 3 | 1150 | 0.000000000000000E+0 | 0.000000000000000E+0 | -1.900000000000000E+1 | |
| PIGlobalLoad | 3 | 1151 | 0.000000000000000E+0 | 0.000000000000000E+0 | -1.900000000000000E+1 | |
| PIGlobalLoad | 3 | 1152 | 0.000000000000000E+0 | 0.000000000000000E+0 | -1.900000000000000E+1 | |
| PIGlobalLoad | 3 | 1153 | 0.000000000000000E+0 | 0.000000000000000E+0 | -1.900000000000000E+1 | |
| PIGlobalLoad | 3 | 1154 | 0.000000000000000E+0 | 0.000000000000000E+0 | -1.900000000000000E+1 | |
| PIGlobalLoad | 3 | 1155 | 0.000000000000000E+0 | 0.000000000000000E+0 | -1.900000000000000E+1 | |
| PIGlobalLoad | 3 | 1156 | 0.000000000000000E+0 | 0.000000000000000E+0 | -1.900000000000000E+1 | |
| PIGlobalLoad | 3 | 1157 | 0.000000000000000E+0 | 0.000000000000000E+0 | -1.900000000000000E+1 | |
| PIGlobalLoad | 3 | 1158 | 0.000000000000000E+0 | 0.000000000000000E+0 | -1.900000000000000E+1 | |
| PIGlobalLoad | 3 | 1159 | 0.000000000000000E+0 | 0.000000000000000E+0 | -1.900000000000000E+1 | |
| PIGlobalLoad | 3 | 1160 | 0.000000000000000E+0 | 0.000000000000000E+0 | -1.900000000000000E+1 | |
| PIGlobalLoad | 3 | 1161 | 0.000000000000000E+0 | 0.000000000000000E+0 | -1.900000000000000E+1 | |
| PIGlobalLoad | 3 | 1162 | 0.000000000000000E+0 | 0.000000000000000E+0 | -1.900000000000000E+1 | |
| PIGlobalLoad | 3 | 1163 | 0.000000000000000E+0 | 0.000000000000000E+0 | -1.900000000000000E+1 | |
| PIGlobalLoad | 3 | 1164 | 0.000000000000000E+0 | 0.000000000000000E+0 | -1.900000000000000E+1 | |
| PIGlobalLoad | 3 | 1165 | 0.000000000000000E+0 | 0.000000000000000E+0 | -1.900000000000000E+1 | |
| PIGlobalLoad | 3 | 1166 | 0.000000000000000E+0 | 0.000000000000000E+0 | -1.900000000000000E+1 | |
| PIGlobalLoad | 3 | 1167 | 0.000000000000000E+0 | 0.000000000000000E+0 | -1.900000000000000E+1 | |
| PIGlobalLoad | 3 | 1168 | 0.000000000000000E+0 | 0.000000000000000E+0 | -1.900000000000000E+1 | |
| PIGlobalLoad | 3 | 1169 | 0.000000000000000E+0 | 0.000000000000000E+0 | -1.900000000000000E+1 | |
| PIGlobalLoad | 3 | 1170 | 0.000000000000000E+0 | 0.000000000000000E+0 | -1.900000000000000E+1 | |
| PIGlobalLoad | 3 | 1171 | 0.000000000000000E+0 | 0.000000000000000E+0 | -1.900000000000000E+1 | |
| PIGlobalLoad | 3 | 1172 | 0.000000000000000E+0 | 0.000000000000000E+0 | -1.900000000000000E+1 | |

| Relazione di calcolo spalle | COMMESSE NM25 | LOTTO 03 D 26 | CODIFICA CL | DOCUMENTO IV 37 04 001 | REV. A | FOGLIO 296 di 439 |
|-----------------------------|------------------|------------------|----------------|---------------------------|-----------|----------------------|
|-----------------------------|------------------|------------------|----------------|---------------------------|-----------|----------------------|

| | | | | | | |
|--------------|---|------|----------------------|----------------------|-----------------------|--|
| PIGlobalLoad | 3 | 1173 | 0.000000000000000E+0 | 0.000000000000000E+0 | -1.900000000000000E+1 | |
| PIGlobalLoad | 3 | 1174 | 0.000000000000000E+0 | 0.000000000000000E+0 | -1.900000000000000E+1 | |
| PIGlobalLoad | 3 | 1175 | 0.000000000000000E+0 | 0.000000000000000E+0 | -1.900000000000000E+1 | |
| PIGlobalLoad | 3 | 1176 | 0.000000000000000E+0 | 0.000000000000000E+0 | -1.900000000000000E+1 | |
| PIGlobalLoad | 3 | 1177 | 0.000000000000000E+0 | 0.000000000000000E+0 | -1.900000000000000E+1 | |
| PIGlobalLoad | 3 | 1178 | 0.000000000000000E+0 | 0.000000000000000E+0 | -1.900000000000000E+1 | |
| PIGlobalLoad | 3 | 1179 | 0.000000000000000E+0 | 0.000000000000000E+0 | -1.900000000000000E+1 | |
| PIGlobalLoad | 3 | 1180 | 0.000000000000000E+0 | 0.000000000000000E+0 | -1.900000000000000E+1 | |
| PIGlobalLoad | 3 | 1181 | 0.000000000000000E+0 | 0.000000000000000E+0 | -1.900000000000000E+1 | |
| PIGlobalLoad | 3 | 1182 | 0.000000000000000E+0 | 0.000000000000000E+0 | -1.900000000000000E+1 | |
| PIGlobalLoad | 3 | 1183 | 0.000000000000000E+0 | 0.000000000000000E+0 | -1.900000000000000E+1 | |
| PIGlobalLoad | 3 | 1184 | 0.000000000000000E+0 | 0.000000000000000E+0 | -1.900000000000000E+1 | |
| PIGlobalLoad | 3 | 1185 | 0.000000000000000E+0 | 0.000000000000000E+0 | -1.900000000000000E+1 | |
| PIGlobalLoad | 3 | 1186 | 0.000000000000000E+0 | 0.000000000000000E+0 | -1.900000000000000E+1 | |
| PIGlobalLoad | 3 | 1187 | 0.000000000000000E+0 | 0.000000000000000E+0 | -1.900000000000000E+1 | |
| PIGlobalLoad | 3 | 1188 | 0.000000000000000E+0 | 0.000000000000000E+0 | -1.900000000000000E+1 | |
| PIGlobalLoad | 3 | 1189 | 0.000000000000000E+0 | 0.000000000000000E+0 | -1.900000000000000E+1 | |
| PIGlobalLoad | 3 | 1190 | 0.000000000000000E+0 | 0.000000000000000E+0 | -1.900000000000000E+1 | |
| PIGlobalLoad | 3 | 1191 | 0.000000000000000E+0 | 0.000000000000000E+0 | -1.900000000000000E+1 | |
| PIGlobalLoad | 3 | 1192 | 0.000000000000000E+0 | 0.000000000000000E+0 | -1.900000000000000E+1 | |
| PIGlobalLoad | 3 | 1193 | 0.000000000000000E+0 | 0.000000000000000E+0 | -1.900000000000000E+1 | |
| PIGlobalLoad | 3 | 1194 | 0.000000000000000E+0 | 0.000000000000000E+0 | -1.900000000000000E+1 | |
| PIGlobalLoad | 3 | 1195 | 0.000000000000000E+0 | 0.000000000000000E+0 | -1.900000000000000E+1 | |
| PIGlobalLoad | 3 | 1196 | 0.000000000000000E+0 | 0.000000000000000E+0 | -1.966500000000000E+2 | |
| PIGlobalLoad | 3 | 1197 | 0.000000000000000E+0 | 0.000000000000000E+0 | -1.966500000000000E+2 | |
| PIGlobalLoad | 3 | 1198 | 0.000000000000000E+0 | 0.000000000000000E+0 | -1.966500000000000E+2 | |
| PIGlobalLoad | 3 | 1199 | 0.000000000000000E+0 | 0.000000000000000E+0 | -1.966500000000000E+2 | |

| Relazione di calcolo spalle | COMMESSE NM25 | LOTTO 03 D 26 | CODIFICA CL | DOCUMENTO IV 37 04 001 | REV. A | FOGLIO 297 di 439 |
|-----------------------------|------------------|------------------|----------------|---------------------------|-----------|----------------------|
|-----------------------------|------------------|------------------|----------------|---------------------------|-----------|----------------------|

| | | | | | |
|--------------|---|------|----------------------|----------------------|-----------------------|
| PIGlobalLoad | 3 | 1200 | 0.000000000000000E+0 | 0.000000000000000E+0 | -1.966500000000000E+2 |
| PIGlobalLoad | 3 | 1201 | 0.000000000000000E+0 | 0.000000000000000E+0 | -1.966500000000000E+2 |
| PIGlobalLoad | 3 | 1202 | 0.000000000000000E+0 | 0.000000000000000E+0 | -1.966500000000000E+2 |
| PIGlobalLoad | 3 | 1203 | 0.000000000000000E+0 | 0.000000000000000E+0 | -1.966500000000000E+2 |
| PIGlobalLoad | 3 | 1204 | 0.000000000000000E+0 | 0.000000000000000E+0 | -1.966500000000000E+2 |
| PIGlobalLoad | 3 | 1205 | 0.000000000000000E+0 | 0.000000000000000E+0 | -1.966500000000000E+2 |
| PIGlobalLoad | 3 | 1206 | 0.000000000000000E+0 | 0.000000000000000E+0 | -1.966500000000000E+2 |
| PIGlobalLoad | 3 | 1207 | 0.000000000000000E+0 | 0.000000000000000E+0 | -1.966500000000000E+2 |
| PIGlobalLoad | 3 | 1208 | 0.000000000000000E+0 | 0.000000000000000E+0 | -1.966500000000000E+2 |
| PIGlobalLoad | 3 | 1209 | 0.000000000000000E+0 | 0.000000000000000E+0 | -1.966500000000000E+2 |
| PIGlobalLoad | 3 | 1210 | 0.000000000000000E+0 | 0.000000000000000E+0 | -1.966500000000000E+2 |
| PIGlobalLoad | 3 | 1211 | 0.000000000000000E+0 | 0.000000000000000E+0 | -1.966500000000000E+2 |
| PIGlobalLoad | 3 | 1212 | 0.000000000000000E+0 | 0.000000000000000E+0 | -1.966500000000000E+2 |
| PIGlobalLoad | 3 | 1213 | 0.000000000000000E+0 | 0.000000000000000E+0 | -1.966500000000000E+2 |
| PIGlobalLoad | 3 | 1214 | 0.000000000000000E+0 | 0.000000000000000E+0 | -1.966500000000000E+2 |
| PIGlobalLoad | 3 | 1215 | 0.000000000000000E+0 | 0.000000000000000E+0 | -1.966500000000000E+2 |
| PIGlobalLoad | 3 | 1216 | 0.000000000000000E+0 | 0.000000000000000E+0 | -1.966500000000000E+2 |
| PIGlobalLoad | 3 | 1217 | 0.000000000000000E+0 | 0.000000000000000E+0 | -1.966500000000000E+2 |
| PIGlobalLoad | 3 | 1218 | 0.000000000000000E+0 | 0.000000000000000E+0 | -1.966500000000000E+2 |
| PIGlobalLoad | 3 | 1219 | 0.000000000000000E+0 | 0.000000000000000E+0 | -1.966500000000000E+2 |
| PIGlobalLoad | 3 | 1220 | 0.000000000000000E+0 | 0.000000000000000E+0 | -1.966500000000000E+2 |
| PIGlobalLoad | 3 | 1221 | 0.000000000000000E+0 | 0.000000000000000E+0 | -1.966500000000000E+2 |
| PIGlobalLoad | 3 | 1222 | 0.000000000000000E+0 | 0.000000000000000E+0 | -1.966500000000000E+2 |
| PIGlobalLoad | 3 | 1223 | 0.000000000000000E+0 | 0.000000000000000E+0 | -1.966500000000000E+2 |
| PIGlobalLoad | 3 | 1224 | 0.000000000000000E+0 | 0.000000000000000E+0 | -1.966500000000000E+2 |
| PIGlobalLoad | 3 | 1225 | 0.000000000000000E+0 | 0.000000000000000E+0 | -1.966500000000000E+2 |
| PIGlobalLoad | 3 | 1226 | 0.000000000000000E+0 | 0.000000000000000E+0 | -1.966500000000000E+2 |

| Relazione di calcolo spalle | COMMESSE NM25 | LOTTO 03 D 26 | CODIFICA CL | DOCUMENTO IV 37 04 001 | REV. A | FOGLIO 298 di 439 |
|-----------------------------|------------------|------------------|----------------|---------------------------|-----------|----------------------|
|-----------------------------|------------------|------------------|----------------|---------------------------|-----------|----------------------|

| | | | | | |
|--------------|---|------|----------------------|----------------------|-----------------------|
| PIGlobalLoad | 3 | 1227 | 0.000000000000000E+0 | 0.000000000000000E+0 | -1.966500000000000E+2 |
| PIGlobalLoad | 3 | 1228 | 0.000000000000000E+0 | 0.000000000000000E+0 | -1.966500000000000E+2 |
| PIGlobalLoad | 3 | 1229 | 0.000000000000000E+0 | 0.000000000000000E+0 | -1.966500000000000E+2 |
| PIGlobalLoad | 3 | 1230 | 0.000000000000000E+0 | 0.000000000000000E+0 | -1.966500000000000E+2 |
| PIGlobalLoad | 3 | 1231 | 0.000000000000000E+0 | 0.000000000000000E+0 | -1.966500000000000E+2 |
| PIGlobalLoad | 3 | 1232 | 0.000000000000000E+0 | 0.000000000000000E+0 | -1.966500000000000E+2 |
| PIGlobalLoad | 3 | 1233 | 0.000000000000000E+0 | 0.000000000000000E+0 | -1.966500000000000E+2 |
| PIGlobalLoad | 3 | 1234 | 0.000000000000000E+0 | 0.000000000000000E+0 | -1.966500000000000E+2 |
| PIGlobalLoad | 3 | 1235 | 0.000000000000000E+0 | 0.000000000000000E+0 | -1.966500000000000E+2 |
| PIGlobalLoad | 3 | 1236 | 0.000000000000000E+0 | 0.000000000000000E+0 | -1.966500000000000E+2 |
| PIGlobalLoad | 3 | 1237 | 0.000000000000000E+0 | 0.000000000000000E+0 | -1.966500000000000E+2 |
| PIGlobalLoad | 3 | 1238 | 0.000000000000000E+0 | 0.000000000000000E+0 | -1.966500000000000E+2 |
| PIGlobalLoad | 3 | 1239 | 0.000000000000000E+0 | 0.000000000000000E+0 | -1.966500000000000E+2 |
| PIGlobalLoad | 3 | 1240 | 0.000000000000000E+0 | 0.000000000000000E+0 | -1.966500000000000E+2 |
| PIGlobalLoad | 3 | 1241 | 0.000000000000000E+0 | 0.000000000000000E+0 | -1.966500000000000E+2 |
| PIGlobalLoad | 3 | 1242 | 0.000000000000000E+0 | 0.000000000000000E+0 | -1.966500000000000E+2 |
| PIGlobalLoad | 3 | 1243 | 0.000000000000000E+0 | 0.000000000000000E+0 | -1.966500000000000E+2 |
| PIGlobalLoad | 3 | 1244 | 0.000000000000000E+0 | 0.000000000000000E+0 | -1.966500000000000E+2 |
| PIGlobalLoad | 3 | 1245 | 0.000000000000000E+0 | 0.000000000000000E+0 | -1.966500000000000E+2 |
| PIGlobalLoad | 3 | 1246 | 0.000000000000000E+0 | 0.000000000000000E+0 | -1.966500000000000E+2 |
| PIGlobalLoad | 3 | 1247 | 0.000000000000000E+0 | 0.000000000000000E+0 | -1.966500000000000E+2 |
| PIGlobalLoad | 3 | 1248 | 0.000000000000000E+0 | 0.000000000000000E+0 | -1.966500000000000E+2 |
| PIGlobalLoad | 3 | 1249 | 0.000000000000000E+0 | 0.000000000000000E+0 | -1.966500000000000E+2 |
| PIGlobalLoad | 3 | 1250 | 0.000000000000000E+0 | 0.000000000000000E+0 | -1.966500000000000E+2 |
| PIGlobalLoad | 3 | 1251 | 0.000000000000000E+0 | 0.000000000000000E+0 | -1.966500000000000E+2 |
| PIGlobalLoad | 3 | 1252 | 0.000000000000000E+0 | 0.000000000000000E+0 | -1.966500000000000E+2 |
| PIGlobalLoad | 3 | 1253 | 0.000000000000000E+0 | 0.000000000000000E+0 | -1.966500000000000E+2 |

| Relazione di calcolo spalle | COMMESSE NM25 | LOTTO 03 D 26 | CODIFICA CL | DOCUMENTO IV 37 04 001 | REV. A | FOGLIO 299 di 439 |
|-----------------------------|------------------|------------------|----------------|---------------------------|-----------|----------------------|
|-----------------------------|------------------|------------------|----------------|---------------------------|-----------|----------------------|

| | | | | | |
|--------------|---|------|----------------------|----------------------|-----------------------|
| PIGlobalLoad | 3 | 1254 | 0.000000000000000E+0 | 0.000000000000000E+0 | -1.966500000000000E+2 |
| PIGlobalLoad | 3 | 1255 | 0.000000000000000E+0 | 0.000000000000000E+0 | -1.966500000000000E+2 |
| PIGlobalLoad | 3 | 1256 | 0.000000000000000E+0 | 0.000000000000000E+0 | -1.966500000000000E+2 |
| PIGlobalLoad | 3 | 1257 | 0.000000000000000E+0 | 0.000000000000000E+0 | -1.966500000000000E+2 |
| PIGlobalLoad | 3 | 1258 | 0.000000000000000E+0 | 0.000000000000000E+0 | -1.966500000000000E+2 |
| PIGlobalLoad | 3 | 1259 | 0.000000000000000E+0 | 0.000000000000000E+0 | -1.966500000000000E+2 |
| PIGlobalLoad | 3 | 1260 | 0.000000000000000E+0 | 0.000000000000000E+0 | -1.966500000000000E+2 |
| PIGlobalLoad | 3 | 1261 | 0.000000000000000E+0 | 0.000000000000000E+0 | -1.966500000000000E+2 |
| PIGlobalLoad | 3 | 1262 | 0.000000000000000E+0 | 0.000000000000000E+0 | -1.966500000000000E+2 |
| PIGlobalLoad | 3 | 1263 | 0.000000000000000E+0 | 0.000000000000000E+0 | -1.966500000000000E+2 |
| PIGlobalLoad | 3 | 1264 | 0.000000000000000E+0 | 0.000000000000000E+0 | -1.966500000000000E+2 |
| PIGlobalLoad | 3 | 1265 | 0.000000000000000E+0 | 0.000000000000000E+0 | -1.966500000000000E+2 |
| PIGlobalLoad | 3 | 1266 | 0.000000000000000E+0 | 0.000000000000000E+0 | -1.966500000000000E+2 |
| PIGlobalLoad | 3 | 1267 | 0.000000000000000E+0 | 0.000000000000000E+0 | -1.966500000000000E+2 |
| PIGlobalLoad | 3 | 1268 | 0.000000000000000E+0 | 0.000000000000000E+0 | -1.966500000000000E+2 |
| PIGlobalLoad | 3 | 1269 | 0.000000000000000E+0 | 0.000000000000000E+0 | -1.966500000000000E+2 |
| PIGlobalLoad | 3 | 1270 | 0.000000000000000E+0 | 0.000000000000000E+0 | -1.966500000000000E+2 |
| PIGlobalLoad | 3 | 1271 | 0.000000000000000E+0 | 0.000000000000000E+0 | -1.966500000000000E+2 |
| PIGlobalLoad | 3 | 1272 | 0.000000000000000E+0 | 0.000000000000000E+0 | -1.966500000000000E+2 |
| PIGlobalLoad | 3 | 1273 | 0.000000000000000E+0 | 0.000000000000000E+0 | -1.966500000000000E+2 |
| PIGlobalLoad | 3 | 1274 | 0.000000000000000E+0 | 0.000000000000000E+0 | -1.966500000000000E+2 |
| PIGlobalLoad | 3 | 1275 | 0.000000000000000E+0 | 0.000000000000000E+0 | -1.966500000000000E+2 |
| PIGlobalLoad | 3 | 1276 | 0.000000000000000E+0 | 0.000000000000000E+0 | -1.966500000000000E+2 |
| PIGlobalLoad | 3 | 1277 | 0.000000000000000E+0 | 0.000000000000000E+0 | -1.966500000000000E+2 |
| PIGlobalLoad | 3 | 1278 | 0.000000000000000E+0 | 0.000000000000000E+0 | -1.966500000000000E+2 |
| PIGlobalLoad | 3 | 1279 | 0.000000000000000E+0 | 0.000000000000000E+0 | -1.966500000000000E+2 |
| PIGlobalLoad | 3 | 1280 | 0.000000000000000E+0 | 0.000000000000000E+0 | -1.966500000000000E+2 |

| Relazione di calcolo spalle | COMMESSE NM25 | LOTTO 03 D 26 | CODIFICA CL | DOCUMENTO IV 37 04 001 | REV. A | FOGLIO 300 di 439 |
|-----------------------------|------------------|------------------|----------------|---------------------------|-----------|----------------------|
|-----------------------------|------------------|------------------|----------------|---------------------------|-----------|----------------------|

| | | | | | |
|--------------|---|------|----------------------|----------------------|-----------------------|
| PIGlobalLoad | 3 | 1281 | 0.000000000000000E+0 | 0.000000000000000E+0 | -1.966500000000000E+2 |
| PIGlobalLoad | 3 | 1282 | 0.000000000000000E+0 | 0.000000000000000E+0 | -1.966500000000000E+2 |
| PIGlobalLoad | 3 | 1283 | 0.000000000000000E+0 | 0.000000000000000E+0 | -1.966500000000000E+2 |
| PIGlobalLoad | 3 | 1284 | 0.000000000000000E+0 | 0.000000000000000E+0 | -1.966500000000000E+2 |
| PIGlobalLoad | 3 | 1285 | 0.000000000000000E+0 | 0.000000000000000E+0 | -1.966500000000000E+2 |
| PIGlobalLoad | 3 | 1286 | 0.000000000000000E+0 | 0.000000000000000E+0 | -1.966500000000000E+2 |
| PIGlobalLoad | 3 | 1287 | 0.000000000000000E+0 | 0.000000000000000E+0 | -1.966500000000000E+2 |
| PIGlobalLoad | 3 | 1288 | 0.000000000000000E+0 | 0.000000000000000E+0 | -1.966500000000000E+2 |
| PIGlobalLoad | 3 | 1289 | 0.000000000000000E+0 | 0.000000000000000E+0 | -1.966500000000000E+2 |
| PIGlobalLoad | 3 | 1290 | 0.000000000000000E+0 | 0.000000000000000E+0 | -1.966500000000000E+2 |
| PIGlobalLoad | 3 | 1291 | 0.000000000000000E+0 | 0.000000000000000E+0 | -1.966500000000000E+2 |
| PIGlobalLoad | 3 | 1292 | 0.000000000000000E+0 | 0.000000000000000E+0 | -1.966500000000000E+2 |
| PIGlobalLoad | 3 | 1293 | 0.000000000000000E+0 | 0.000000000000000E+0 | -1.966500000000000E+2 |
| PIGlobalLoad | 3 | 1294 | 0.000000000000000E+0 | 0.000000000000000E+0 | -1.966500000000000E+2 |
| PIGlobalLoad | 3 | 1295 | 0.000000000000000E+0 | 0.000000000000000E+0 | -1.966500000000000E+2 |
| PIGlobalLoad | 3 | 1296 | 0.000000000000000E+0 | 0.000000000000000E+0 | -1.966500000000000E+2 |
| PIGlobalLoad | 3 | 1297 | 0.000000000000000E+0 | 0.000000000000000E+0 | -1.966500000000000E+2 |
| PIGlobalLoad | 3 | 1298 | 0.000000000000000E+0 | 0.000000000000000E+0 | -1.966500000000000E+2 |
| PIGlobalLoad | 3 | 1299 | 0.000000000000000E+0 | 0.000000000000000E+0 | -1.966500000000000E+2 |
| PIGlobalLoad | 3 | 1300 | 0.000000000000000E+0 | 0.000000000000000E+0 | -1.966500000000000E+2 |
| PIGlobalLoad | 3 | 1301 | 0.000000000000000E+0 | 0.000000000000000E+0 | -1.966500000000000E+2 |
| PIGlobalLoad | 3 | 1302 | 0.000000000000000E+0 | 0.000000000000000E+0 | -1.966500000000000E+2 |
| PIGlobalLoad | 3 | 1303 | 0.000000000000000E+0 | 0.000000000000000E+0 | -1.966500000000000E+2 |
| PIGlobalLoad | 3 | 1304 | 0.000000000000000E+0 | 0.000000000000000E+0 | -1.966500000000000E+2 |
| PIGlobalLoad | 3 | 1305 | 0.000000000000000E+0 | 0.000000000000000E+0 | -1.966500000000000E+2 |
| PIGlobalLoad | 3 | 1306 | 0.000000000000000E+0 | 0.000000000000000E+0 | -1.966500000000000E+2 |
| PIGlobalLoad | 3 | 1307 | 0.000000000000000E+0 | 0.000000000000000E+0 | -1.966500000000000E+2 |

| Relazione di calcolo spalle | COMMESSE NM25 | LOTTO 03 D 26 | CODIFICA CL | DOCUMENTO IV 37 04 001 | REV. A | FOGLIO 301 di 439 |
|-----------------------------|------------------|------------------|----------------|---------------------------|-----------|----------------------|
|-----------------------------|------------------|------------------|----------------|---------------------------|-----------|----------------------|

| | | | | | |
|--------------|---|------|----------------------|----------------------|-----------------------|
| PIGlobalLoad | 3 | 1308 | 0.000000000000000E+0 | 0.000000000000000E+0 | -1.966500000000000E+2 |
| PIGlobalLoad | 3 | 1309 | 0.000000000000000E+0 | 0.000000000000000E+0 | -1.966500000000000E+2 |
| PIGlobalLoad | 3 | 1310 | 0.000000000000000E+0 | 0.000000000000000E+0 | -1.966500000000000E+2 |
| PIGlobalLoad | 3 | 1311 | 0.000000000000000E+0 | 0.000000000000000E+0 | -1.966500000000000E+2 |
| PIGlobalLoad | 3 | 1312 | 0.000000000000000E+0 | 0.000000000000000E+0 | -1.966500000000000E+2 |
| PIGlobalLoad | 3 | 1313 | 0.000000000000000E+0 | 0.000000000000000E+0 | -1.966500000000000E+2 |
| PIGlobalLoad | 3 | 1314 | 0.000000000000000E+0 | 0.000000000000000E+0 | -1.966500000000000E+2 |
| PIGlobalLoad | 3 | 1315 | 0.000000000000000E+0 | 0.000000000000000E+0 | -1.966500000000000E+2 |
| PIGlobalLoad | 3 | 1316 | 0.000000000000000E+0 | 0.000000000000000E+0 | -1.966500000000000E+2 |
| PIGlobalLoad | 3 | 1317 | 0.000000000000000E+0 | 0.000000000000000E+0 | -1.966500000000000E+2 |
| PIGlobalLoad | 3 | 1318 | 0.000000000000000E+0 | 0.000000000000000E+0 | -1.966500000000000E+2 |
| PIGlobalLoad | 3 | 1319 | 0.000000000000000E+0 | 0.000000000000000E+0 | -1.966500000000000E+2 |
| PIGlobalLoad | 3 | 1320 | 0.000000000000000E+0 | 0.000000000000000E+0 | -1.966500000000000E+2 |
| PIGlobalLoad | 3 | 1321 | 0.000000000000000E+0 | 0.000000000000000E+0 | -1.966500000000000E+2 |
| PIGlobalLoad | 3 | 1322 | 0.000000000000000E+0 | 0.000000000000000E+0 | -1.966500000000000E+2 |
| PIGlobalLoad | 3 | 1323 | 0.000000000000000E+0 | 0.000000000000000E+0 | -1.966500000000000E+2 |
| PIGlobalLoad | 3 | 1324 | 0.000000000000000E+0 | 0.000000000000000E+0 | -1.966500000000000E+2 |
| PIGlobalLoad | 3 | 1325 | 0.000000000000000E+0 | 0.000000000000000E+0 | -1.966500000000000E+2 |
| PIGlobalLoad | 3 | 1326 | 0.000000000000000E+0 | 0.000000000000000E+0 | -1.966500000000000E+2 |
| PIGlobalLoad | 3 | 1327 | 0.000000000000000E+0 | 0.000000000000000E+0 | -1.966500000000000E+2 |
| PIGlobalLoad | 3 | 1328 | 0.000000000000000E+0 | 0.000000000000000E+0 | -1.966500000000000E+2 |
| PIGlobalLoad | 3 | 1329 | 0.000000000000000E+0 | 0.000000000000000E+0 | -1.966500000000000E+2 |
| PIGlobalLoad | 3 | 1330 | 0.000000000000000E+0 | 0.000000000000000E+0 | -1.966500000000000E+2 |
| PIGlobalLoad | 3 | 1331 | 0.000000000000000E+0 | 0.000000000000000E+0 | -1.966500000000000E+2 |
| PIGlobalLoad | 3 | 1332 | 0.000000000000000E+0 | 0.000000000000000E+0 | -1.966500000000000E+2 |
| PIGlobalLoad | 3 | 1333 | 0.000000000000000E+0 | 0.000000000000000E+0 | -1.966500000000000E+2 |
| PIGlobalLoad | 3 | 1334 | 0.000000000000000E+0 | 0.000000000000000E+0 | -1.966500000000000E+2 |

| Relazione di calcolo spalle | COMMESSE NM25 | LOTTO 03 D 26 | CODIFICA CL | DOCUMENTO IV 37 04 001 | REV. A | FOGLIO 302 di 439 |
|-----------------------------|------------------|------------------|----------------|---------------------------|-----------|----------------------|
|-----------------------------|------------------|------------------|----------------|---------------------------|-----------|----------------------|

| | | | | | |
|--------------|---|------|----------------------|----------------------|-----------------------|
| PIGlobalLoad | 3 | 1335 | 0.000000000000000E+0 | 0.000000000000000E+0 | -1.966500000000000E+2 |
| PIGlobalLoad | 3 | 1336 | 0.000000000000000E+0 | 0.000000000000000E+0 | -1.966500000000000E+2 |
| PIGlobalLoad | 3 | 1337 | 0.000000000000000E+0 | 0.000000000000000E+0 | -1.966500000000000E+2 |
| PIGlobalLoad | 3 | 1338 | 0.000000000000000E+0 | 0.000000000000000E+0 | -1.966500000000000E+2 |
| PIGlobalLoad | 3 | 1339 | 0.000000000000000E+0 | 0.000000000000000E+0 | -1.966500000000000E+2 |
| PIGlobalLoad | 3 | 1340 | 0.000000000000000E+0 | 0.000000000000000E+0 | -1.966500000000000E+2 |
| PIGlobalLoad | 3 | 1341 | 0.000000000000000E+0 | 0.000000000000000E+0 | -1.966500000000000E+2 |
| PIGlobalLoad | 3 | 1342 | 0.000000000000000E+0 | 0.000000000000000E+0 | -1.966500000000000E+2 |
| PIGlobalLoad | 3 | 1343 | 0.000000000000000E+0 | 0.000000000000000E+0 | -1.966500000000000E+2 |
| PIGlobalLoad | 3 | 1344 | 0.000000000000000E+0 | 0.000000000000000E+0 | -1.966500000000000E+2 |
| PIGlobalLoad | 3 | 1345 | 0.000000000000000E+0 | 0.000000000000000E+0 | -1.966500000000000E+2 |
| PIGlobalLoad | 3 | 1346 | 0.000000000000000E+0 | 0.000000000000000E+0 | -1.900000000000000E+1 |
| PIGlobalLoad | 3 | 1347 | 0.000000000000000E+0 | 0.000000000000000E+0 | -1.900000000000000E+1 |
| PIGlobalLoad | 3 | 1348 | 0.000000000000000E+0 | 0.000000000000000E+0 | -1.900000000000000E+1 |
| PIGlobalLoad | 3 | 1349 | 0.000000000000000E+0 | 0.000000000000000E+0 | -1.900000000000000E+1 |
| PIGlobalLoad | 3 | 1350 | 0.000000000000000E+0 | 0.000000000000000E+0 | -1.900000000000000E+1 |
| PIGlobalLoad | 3 | 1351 | 0.000000000000000E+0 | 0.000000000000000E+0 | -1.900000000000000E+1 |
| PIGlobalLoad | 3 | 1352 | 0.000000000000000E+0 | 0.000000000000000E+0 | -1.900000000000000E+1 |
| PIGlobalLoad | 3 | 1353 | 0.000000000000000E+0 | 0.000000000000000E+0 | -1.900000000000000E+1 |
| PIGlobalLoad | 3 | 1354 | 0.000000000000000E+0 | 0.000000000000000E+0 | -1.900000000000000E+1 |
| PIGlobalLoad | 3 | 1355 | 0.000000000000000E+0 | 0.000000000000000E+0 | -1.900000000000000E+1 |
| PIGlobalLoad | 3 | 1356 | 0.000000000000000E+0 | 0.000000000000000E+0 | -1.900000000000000E+1 |
| PIGlobalLoad | 3 | 1357 | 0.000000000000000E+0 | 0.000000000000000E+0 | -1.900000000000000E+1 |
| PIGlobalLoad | 3 | 1358 | 0.000000000000000E+0 | 0.000000000000000E+0 | -1.900000000000000E+1 |
| PIGlobalLoad | 3 | 1359 | 0.000000000000000E+0 | 0.000000000000000E+0 | -1.900000000000000E+1 |
| PIGlobalLoad | 3 | 1360 | 0.000000000000000E+0 | 0.000000000000000E+0 | -1.900000000000000E+1 |
| PIGlobalLoad | 3 | 1361 | 0.000000000000000E+0 | 0.000000000000000E+0 | -1.900000000000000E+1 |

| Relazione di calcolo spalle | COMMESSE NM25 | LOTTO 03 D 26 | CODIFICA CL | DOCUMENTO IV 37 04 001 | REV. A | FOGLIO 303 di 439 |
|-----------------------------|------------------|------------------|----------------|---------------------------|-----------|----------------------|
|-----------------------------|------------------|------------------|----------------|---------------------------|-----------|----------------------|

| | | | | | |
|--------------|---|------|----------------------|----------------------|-----------------------|
| PIGlobalLoad | 3 | 1362 | 0.000000000000000E+0 | 0.000000000000000E+0 | -1.900000000000000E+1 |
| PIGlobalLoad | 3 | 1363 | 0.000000000000000E+0 | 0.000000000000000E+0 | -1.900000000000000E+1 |
| PIGlobalLoad | 3 | 1364 | 0.000000000000000E+0 | 0.000000000000000E+0 | -1.900000000000000E+1 |
| PIGlobalLoad | 3 | 1365 | 0.000000000000000E+0 | 0.000000000000000E+0 | -1.900000000000000E+1 |
| PIGlobalLoad | 3 | 1366 | 0.000000000000000E+0 | 0.000000000000000E+0 | -1.900000000000000E+1 |
| PIGlobalLoad | 3 | 1367 | 0.000000000000000E+0 | 0.000000000000000E+0 | -1.900000000000000E+1 |
| PIGlobalLoad | 3 | 1368 | 0.000000000000000E+0 | 0.000000000000000E+0 | -1.900000000000000E+1 |
| PIGlobalLoad | 3 | 1369 | 0.000000000000000E+0 | 0.000000000000000E+0 | -1.900000000000000E+1 |
| PIGlobalLoad | 3 | 1370 | 0.000000000000000E+0 | 0.000000000000000E+0 | -1.900000000000000E+1 |
| PIGlobalLoad | 3 | 1371 | 0.000000000000000E+0 | 0.000000000000000E+0 | -1.900000000000000E+1 |
| PIGlobalLoad | 3 | 1372 | 0.000000000000000E+0 | 0.000000000000000E+0 | -1.900000000000000E+1 |
| PIGlobalLoad | 3 | 1373 | 0.000000000000000E+0 | 0.000000000000000E+0 | -1.900000000000000E+1 |
| PIGlobalLoad | 3 | 1374 | 0.000000000000000E+0 | 0.000000000000000E+0 | -1.900000000000000E+1 |
| PIGlobalLoad | 3 | 1375 | 0.000000000000000E+0 | 0.000000000000000E+0 | -1.900000000000000E+1 |
| PIGlobalLoad | 3 | 1376 | 0.000000000000000E+0 | 0.000000000000000E+0 | -1.900000000000000E+1 |
| PIGlobalLoad | 3 | 1377 | 0.000000000000000E+0 | 0.000000000000000E+0 | -1.900000000000000E+1 |
| PIGlobalLoad | 3 | 1378 | 0.000000000000000E+0 | 0.000000000000000E+0 | -1.900000000000000E+1 |
| PIGlobalLoad | 3 | 1379 | 0.000000000000000E+0 | 0.000000000000000E+0 | -1.900000000000000E+1 |
| PIGlobalLoad | 3 | 1380 | 0.000000000000000E+0 | 0.000000000000000E+0 | -1.900000000000000E+1 |
| PIGlobalLoad | 3 | 1381 | 0.000000000000000E+0 | 0.000000000000000E+0 | -1.900000000000000E+1 |
| PIGlobalLoad | 3 | 1382 | 0.000000000000000E+0 | 0.000000000000000E+0 | -1.900000000000000E+1 |
| PIGlobalLoad | 3 | 1383 | 0.000000000000000E+0 | 0.000000000000000E+0 | -1.900000000000000E+1 |
| PIGlobalLoad | 3 | 1384 | 0.000000000000000E+0 | 0.000000000000000E+0 | -1.900000000000000E+1 |
| PIGlobalLoad | 3 | 1385 | 0.000000000000000E+0 | 0.000000000000000E+0 | -1.900000000000000E+1 |
| PIGlobalLoad | 3 | 1386 | 0.000000000000000E+0 | 0.000000000000000E+0 | -1.900000000000000E+1 |
| PIGlobalLoad | 3 | 1387 | 0.000000000000000E+0 | 0.000000000000000E+0 | -1.900000000000000E+1 |
| PIGlobalLoad | 3 | 1388 | 0.000000000000000E+0 | 0.000000000000000E+0 | -1.900000000000000E+1 |

| Relazione di calcolo spalle | COMMESSE | LOTTO | CODIFICA | DOCUMENTO | REV. | FOGLIO |
|-----------------------------|----------|---------|----------|--------------|------|------------|
| | NM25 | 03 D 26 | CL | IV 37 04 001 | A | 304 di 439 |

| | | | | | |
|--------------|---|------|----------------------|----------------------|-----------------------|
| PIGlobalLoad | 3 | 1389 | 0.000000000000000E+0 | 0.000000000000000E+0 | -1.900000000000000E+1 |
| PIGlobalLoad | 3 | 1390 | 0.000000000000000E+0 | 0.000000000000000E+0 | -1.900000000000000E+1 |
| PIGlobalLoad | 3 | 1391 | 0.000000000000000E+0 | 0.000000000000000E+0 | -1.900000000000000E+1 |
| PIGlobalLoad | 3 | 1392 | 0.000000000000000E+0 | 0.000000000000000E+0 | -1.900000000000000E+1 |
| PIGlobalLoad | 3 | 1393 | 0.000000000000000E+0 | 0.000000000000000E+0 | -1.900000000000000E+1 |
| PIGlobalLoad | 3 | 1394 | 0.000000000000000E+0 | 0.000000000000000E+0 | -1.900000000000000E+1 |
| PIGlobalLoad | 3 | 1395 | 0.000000000000000E+0 | 0.000000000000000E+0 | -1.900000000000000E+1 |
| PIGlobalLoad | 3 | 1396 | 0.000000000000000E+0 | 0.000000000000000E+0 | -1.900000000000000E+1 |
| PIGlobalLoad | 3 | 1397 | 0.000000000000000E+0 | 0.000000000000000E+0 | -1.900000000000000E+1 |
| PIGlobalLoad | 3 | 1398 | 0.000000000000000E+0 | 0.000000000000000E+0 | -1.900000000000000E+1 |
| PIGlobalLoad | 3 | 1399 | 0.000000000000000E+0 | 0.000000000000000E+0 | -1.900000000000000E+1 |
| PIGlobalLoad | 3 | 1400 | 0.000000000000000E+0 | 0.000000000000000E+0 | -1.900000000000000E+1 |
| PIGlobalLoad | 3 | 1401 | 0.000000000000000E+0 | 0.000000000000000E+0 | -1.900000000000000E+1 |
| PIGlobalLoad | 3 | 1402 | 0.000000000000000E+0 | 0.000000000000000E+0 | -1.900000000000000E+1 |
| PIGlobalLoad | 3 | 1403 | 0.000000000000000E+0 | 0.000000000000000E+0 | -1.900000000000000E+1 |
| PIGlobalLoad | 3 | 1404 | 0.000000000000000E+0 | 0.000000000000000E+0 | -1.900000000000000E+1 |
| PIGlobalLoad | 3 | 1405 | 0.000000000000000E+0 | 0.000000000000000E+0 | -1.900000000000000E+1 |
| PIGlobalLoad | 3 | 1406 | 0.000000000000000E+0 | 0.000000000000000E+0 | -1.900000000000000E+1 |
| PIGlobalLoad | 3 | 1407 | 0.000000000000000E+0 | 0.000000000000000E+0 | -1.900000000000000E+1 |
| PIGlobalLoad | 3 | 1408 | 0.000000000000000E+0 | 0.000000000000000E+0 | -1.900000000000000E+1 |
| PIGlobalLoad | 3 | 1409 | 0.000000000000000E+0 | 0.000000000000000E+0 | -1.900000000000000E+1 |
| PIGlobalLoad | 3 | 1410 | 0.000000000000000E+0 | 0.000000000000000E+0 | -1.900000000000000E+1 |
| PIGlobalLoad | 3 | 1411 | 0.000000000000000E+0 | 0.000000000000000E+0 | -1.900000000000000E+1 |
| PIGlobalLoad | 3 | 1412 | 0.000000000000000E+0 | 0.000000000000000E+0 | -1.900000000000000E+1 |
| PIGlobalLoad | 3 | 1413 | 0.000000000000000E+0 | 0.000000000000000E+0 | -1.900000000000000E+1 |
| PIGlobalLoad | 3 | 1414 | 0.000000000000000E+0 | 0.000000000000000E+0 | -1.900000000000000E+1 |
| PIGlobalLoad | 3 | 1415 | 0.000000000000000E+0 | 0.000000000000000E+0 | -1.900000000000000E+1 |

| Relazione di calcolo spalle | COMMESSE NM25 | LOTTO 03 D 26 | CODIFICA CL | DOCUMENTO IV 37 04 001 | REV. A | FOGLIO 305 di 439 |
|-----------------------------|------------------|------------------|----------------|---------------------------|-----------|----------------------|
|-----------------------------|------------------|------------------|----------------|---------------------------|-----------|----------------------|

| | | | | | | |
|--------------|---|------|----------------------|----------------------|-----------------------|--|
| PIGlobalLoad | 3 | 1416 | 0.000000000000000E+0 | 0.000000000000000E+0 | -1.900000000000000E+1 | |
| PIGlobalLoad | 3 | 1417 | 0.000000000000000E+0 | 0.000000000000000E+0 | -1.900000000000000E+1 | |
| PIGlobalLoad | 3 | 1418 | 0.000000000000000E+0 | 0.000000000000000E+0 | -1.900000000000000E+1 | |
| PIGlobalLoad | 3 | 1419 | 0.000000000000000E+0 | 0.000000000000000E+0 | -1.900000000000000E+1 | |
| PIGlobalLoad | 3 | 1420 | 0.000000000000000E+0 | 0.000000000000000E+0 | -1.900000000000000E+1 | |
| PIGlobalLoad | 3 | 1421 | 0.000000000000000E+0 | 0.000000000000000E+0 | -1.900000000000000E+1 | |
| PIGlobalLoad | 3 | 1422 | 0.000000000000000E+0 | 0.000000000000000E+0 | -1.900000000000000E+1 | |
| PIGlobalLoad | 3 | 1423 | 0.000000000000000E+0 | 0.000000000000000E+0 | -1.900000000000000E+1 | |
| PIGlobalLoad | 3 | 1424 | 0.000000000000000E+0 | 0.000000000000000E+0 | -1.900000000000000E+1 | |
| PIGlobalLoad | 3 | 1425 | 0.000000000000000E+0 | 0.000000000000000E+0 | -1.900000000000000E+1 | |
| PIGlobalLoad | 3 | 1426 | 0.000000000000000E+0 | 0.000000000000000E+0 | -1.900000000000000E+1 | |
| PIGlobalLoad | 3 | 1427 | 0.000000000000000E+0 | 0.000000000000000E+0 | -1.900000000000000E+1 | |
| PIGlobalLoad | 3 | 1428 | 0.000000000000000E+0 | 0.000000000000000E+0 | -1.900000000000000E+1 | |
| PIGlobalLoad | 3 | 1429 | 0.000000000000000E+0 | 0.000000000000000E+0 | -1.900000000000000E+1 | |
| PIGlobalLoad | 3 | 1430 | 0.000000000000000E+0 | 0.000000000000000E+0 | -1.900000000000000E+1 | |
| PIGlobalLoad | 3 | 1431 | 0.000000000000000E+0 | 0.000000000000000E+0 | -1.900000000000000E+1 | |
| PIGlobalLoad | 3 | 1432 | 0.000000000000000E+0 | 0.000000000000000E+0 | -1.900000000000000E+1 | |
| PIGlobalLoad | 3 | 1433 | 0.000000000000000E+0 | 0.000000000000000E+0 | -1.900000000000000E+1 | |
| PIGlobalLoad | 3 | 1434 | 0.000000000000000E+0 | 0.000000000000000E+0 | -1.900000000000000E+1 | |
| PIGlobalLoad | 3 | 1435 | 0.000000000000000E+0 | 0.000000000000000E+0 | -1.900000000000000E+1 | |
| PIGlobalLoad | 3 | 1436 | 0.000000000000000E+0 | 0.000000000000000E+0 | -1.900000000000000E+1 | |
| PIGlobalLoad | 3 | 1437 | 0.000000000000000E+0 | 0.000000000000000E+0 | -1.900000000000000E+1 | |
| PIGlobalLoad | 3 | 1438 | 0.000000000000000E+0 | 0.000000000000000E+0 | -1.900000000000000E+1 | |
| PIGlobalLoad | 3 | 1439 | 0.000000000000000E+0 | 0.000000000000000E+0 | -1.900000000000000E+1 | |
| PIGlobalLoad | 3 | 1440 | 0.000000000000000E+0 | 0.000000000000000E+0 | -1.900000000000000E+1 | |
| PIGlobalLoad | 3 | 1441 | 0.000000000000000E+0 | 0.000000000000000E+0 | -1.900000000000000E+1 | |
| PIGlobalLoad | 3 | 1442 | 0.000000000000000E+0 | 0.000000000000000E+0 | -1.900000000000000E+1 | |

| Relazione di calcolo spalle | COMMESSE | LOTTO | CODIFICA | DOCUMENTO | REV. | FOGLIO |
|-----------------------------|----------|---------|----------|--------------|------|------------|
| | NM25 | 03 D 26 | CL | IV 37 04 001 | A | 306 di 439 |

| | | | | | |
|--------------|---|------|----------------------|----------------------|-----------------------|
| PIGlobalLoad | 3 | 1443 | 0.000000000000000E+0 | 0.000000000000000E+0 | -1.900000000000000E+1 |
| PIGlobalLoad | 3 | 1444 | 0.000000000000000E+0 | 0.000000000000000E+0 | -1.900000000000000E+1 |
| PIGlobalLoad | 3 | 1445 | 0.000000000000000E+0 | 0.000000000000000E+0 | -1.900000000000000E+1 |
| PIGlobalLoad | 3 | 1446 | 0.000000000000000E+0 | 0.000000000000000E+0 | -1.900000000000000E+1 |
| PIGlobalLoad | 3 | 1447 | 0.000000000000000E+0 | 0.000000000000000E+0 | -1.900000000000000E+1 |
| PIGlobalLoad | 3 | 1448 | 0.000000000000000E+0 | 0.000000000000000E+0 | -1.900000000000000E+1 |
| PIGlobalLoad | 3 | 1449 | 0.000000000000000E+0 | 0.000000000000000E+0 | -1.900000000000000E+1 |
| PIGlobalLoad | 3 | 1450 | 0.000000000000000E+0 | 0.000000000000000E+0 | -1.900000000000000E+1 |
| PIGlobalLoad | 3 | 1451 | 0.000000000000000E+0 | 0.000000000000000E+0 | -1.900000000000000E+1 |
| PIGlobalLoad | 3 | 1452 | 0.000000000000000E+0 | 0.000000000000000E+0 | -1.900000000000000E+1 |
| PIGlobalLoad | 3 | 1453 | 0.000000000000000E+0 | 0.000000000000000E+0 | -1.900000000000000E+1 |
| PIGlobalLoad | 3 | 1454 | 0.000000000000000E+0 | 0.000000000000000E+0 | -1.900000000000000E+1 |
| PIGlobalLoad | 3 | 1455 | 0.000000000000000E+0 | 0.000000000000000E+0 | -1.900000000000000E+1 |
| PIGlobalLoad | 3 | 1456 | 0.000000000000000E+0 | 0.000000000000000E+0 | -1.900000000000000E+1 |
| PIGlobalLoad | 3 | 1457 | 0.000000000000000E+0 | 0.000000000000000E+0 | -1.900000000000000E+1 |
| PIGlobalLoad | 3 | 1458 | 0.000000000000000E+0 | 0.000000000000000E+0 | -1.900000000000000E+1 |
| PIGlobalLoad | 3 | 1459 | 0.000000000000000E+0 | 0.000000000000000E+0 | -1.900000000000000E+1 |
| PIGlobalLoad | 3 | 1460 | 0.000000000000000E+0 | 0.000000000000000E+0 | -1.900000000000000E+1 |
| PIGlobalLoad | 3 | 1461 | 0.000000000000000E+0 | 0.000000000000000E+0 | -1.900000000000000E+1 |
| PIGlobalLoad | 3 | 1462 | 0.000000000000000E+0 | 0.000000000000000E+0 | -1.900000000000000E+1 |
| PIGlobalLoad | 3 | 1463 | 0.000000000000000E+0 | 0.000000000000000E+0 | -1.900000000000000E+1 |
| PIGlobalLoad | 3 | 1464 | 0.000000000000000E+0 | 0.000000000000000E+0 | -1.900000000000000E+1 |
| PIGlobalLoad | 3 | 1465 | 0.000000000000000E+0 | 0.000000000000000E+0 | -1.900000000000000E+1 |
| PIGlobalLoad | 3 | 1466 | 0.000000000000000E+0 | 0.000000000000000E+0 | -1.900000000000000E+1 |
| PIGlobalLoad | 3 | 1467 | 0.000000000000000E+0 | 0.000000000000000E+0 | -1.900000000000000E+1 |
| PIGlobalLoad | 3 | 1468 | 0.000000000000000E+0 | 0.000000000000000E+0 | -1.900000000000000E+1 |
| PIGlobalLoad | 3 | 1469 | 0.000000000000000E+0 | 0.000000000000000E+0 | -1.900000000000000E+1 |

| Relazione di calcolo spalle | COMMESSE NM25 | LOTTO 03 D 26 | CODIFICA CL | DOCUMENTO IV 37 04 001 | REV. A | FOGLIO 307 di 439 |
|-----------------------------|------------------|------------------|----------------|---------------------------|-----------|----------------------|
|-----------------------------|------------------|------------------|----------------|---------------------------|-----------|----------------------|

| | | | | | | |
|--------------|---|------|----------------------|----------------------|-----------------------|--|
| PIGlobalLoad | 3 | 1470 | 0.000000000000000E+0 | 0.000000000000000E+0 | -1.900000000000000E+1 | |
| PIGlobalLoad | 3 | 1471 | 0.000000000000000E+0 | 0.000000000000000E+0 | -1.900000000000000E+1 | |
| PIGlobalLoad | 3 | 1472 | 0.000000000000000E+0 | 0.000000000000000E+0 | -1.900000000000000E+1 | |
| PIGlobalLoad | 3 | 1473 | 0.000000000000000E+0 | 0.000000000000000E+0 | -1.900000000000000E+1 | |
| PIGlobalLoad | 3 | 1474 | 0.000000000000000E+0 | 0.000000000000000E+0 | -1.900000000000000E+1 | |
| PIGlobalLoad | 3 | 1475 | 0.000000000000000E+0 | 0.000000000000000E+0 | -1.900000000000000E+1 | |
| PIGlobalLoad | 3 | 1476 | 0.000000000000000E+0 | 0.000000000000000E+0 | -1.900000000000000E+1 | |
| PIGlobalLoad | 3 | 1477 | 0.000000000000000E+0 | 0.000000000000000E+0 | -1.900000000000000E+1 | |
| PIGlobalLoad | 3 | 1478 | 0.000000000000000E+0 | 0.000000000000000E+0 | -1.900000000000000E+1 | |
| PIGlobalLoad | 3 | 1479 | 0.000000000000000E+0 | 0.000000000000000E+0 | -1.900000000000000E+1 | |
| PIGlobalLoad | 3 | 1480 | 0.000000000000000E+0 | 0.000000000000000E+0 | -1.900000000000000E+1 | |
| PIGlobalLoad | 3 | 1481 | 0.000000000000000E+0 | 0.000000000000000E+0 | -1.900000000000000E+1 | |
| PIGlobalLoad | 3 | 1482 | 0.000000000000000E+0 | 0.000000000000000E+0 | -1.900000000000000E+1 | |
| PIGlobalLoad | 3 | 1483 | 0.000000000000000E+0 | 0.000000000000000E+0 | -1.900000000000000E+1 | |
| PIGlobalLoad | 3 | 1484 | 0.000000000000000E+0 | 0.000000000000000E+0 | -1.900000000000000E+1 | |
| PIGlobalLoad | 3 | 1485 | 0.000000000000000E+0 | 0.000000000000000E+0 | -1.900000000000000E+1 | |
| PIGlobalLoad | 3 | 1486 | 0.000000000000000E+0 | 0.000000000000000E+0 | -1.900000000000000E+1 | |
| PIGlobalLoad | 3 | 1487 | 0.000000000000000E+0 | 0.000000000000000E+0 | -1.900000000000000E+1 | |
| PIGlobalLoad | 3 | 1488 | 0.000000000000000E+0 | 0.000000000000000E+0 | -1.900000000000000E+1 | |
| PIGlobalLoad | 3 | 1489 | 0.000000000000000E+0 | 0.000000000000000E+0 | -1.900000000000000E+1 | |
| PIGlobalLoad | 3 | 1490 | 0.000000000000000E+0 | 0.000000000000000E+0 | -1.900000000000000E+1 | |
| PIGlobalLoad | 3 | 1491 | 0.000000000000000E+0 | 0.000000000000000E+0 | -1.900000000000000E+1 | |
| PIGlobalLoad | 3 | 1492 | 0.000000000000000E+0 | 0.000000000000000E+0 | -1.900000000000000E+1 | |
| PIGlobalLoad | 3 | 1493 | 0.000000000000000E+0 | 0.000000000000000E+0 | -1.900000000000000E+1 | |
| PIGlobalLoad | 3 | 1494 | 0.000000000000000E+0 | 0.000000000000000E+0 | -1.900000000000000E+1 | |
| PIGlobalLoad | 3 | 1495 | 0.000000000000000E+0 | 0.000000000000000E+0 | -1.900000000000000E+1 | |
| PIGlobalLoad | 3 | 1496 | 0.000000000000000E+0 | 0.000000000000000E+0 | -1.900000000000000E+1 | |

| Relazione di calcolo spalle | COMMESSE NM25 | LOTTO 03 D 26 | CODIFICA CL | DOCUMENTO IV 37 04 001 | REV. A | FOGLIO 308 di 439 |
|-----------------------------|------------------|------------------|----------------|---------------------------|-----------|----------------------|
|-----------------------------|------------------|------------------|----------------|---------------------------|-----------|----------------------|

| | | | | | | |
|--------------|---|------|----------------------|----------------------|-----------------------|--|
| PIGlobalLoad | 3 | 1497 | 0.000000000000000E+0 | 0.000000000000000E+0 | -1.900000000000000E+1 | |
| PIGlobalLoad | 3 | 1498 | 0.000000000000000E+0 | 0.000000000000000E+0 | -1.900000000000000E+1 | |
| PIGlobalLoad | 3 | 1499 | 0.000000000000000E+0 | 0.000000000000000E+0 | -1.900000000000000E+1 | |
| PIGlobalLoad | 3 | 1500 | 0.000000000000000E+0 | 0.000000000000000E+0 | -1.900000000000000E+1 | |
| PIGlobalLoad | 3 | 1501 | 0.000000000000000E+0 | 0.000000000000000E+0 | -1.900000000000000E+1 | |
| PIGlobalLoad | 3 | 1502 | 0.000000000000000E+0 | 0.000000000000000E+0 | -1.900000000000000E+1 | |
| PIGlobalLoad | 3 | 1503 | 0.000000000000000E+0 | 0.000000000000000E+0 | -1.900000000000000E+1 | |
| PIGlobalLoad | 3 | 1504 | 0.000000000000000E+0 | 0.000000000000000E+0 | -1.900000000000000E+1 | |
| PIGlobalLoad | 3 | 1505 | 0.000000000000000E+0 | 0.000000000000000E+0 | -1.900000000000000E+1 | |
| PIGlobalLoad | 3 | 1506 | 0.000000000000000E+0 | 0.000000000000000E+0 | -1.900000000000000E+1 | |
| PIGlobalLoad | 3 | 1507 | 0.000000000000000E+0 | 0.000000000000000E+0 | -1.900000000000000E+1 | |
| PIGlobalLoad | 3 | 1508 | 0.000000000000000E+0 | 0.000000000000000E+0 | -1.900000000000000E+1 | |
| PIGlobalLoad | 3 | 1509 | 0.000000000000000E+0 | 0.000000000000000E+0 | -1.900000000000000E+1 | |
| PIGlobalLoad | 3 | 1510 | 0.000000000000000E+0 | 0.000000000000000E+0 | -1.900000000000000E+1 | |
| PIGlobalLoad | 3 | 1511 | 0.000000000000000E+0 | 0.000000000000000E+0 | -1.900000000000000E+1 | |
| PIGlobalLoad | 3 | 1512 | 0.000000000000000E+0 | 0.000000000000000E+0 | -1.900000000000000E+1 | |
| PIGlobalLoad | 3 | 1513 | 0.000000000000000E+0 | 0.000000000000000E+0 | -1.900000000000000E+1 | |
| PIGlobalLoad | 3 | 1514 | 0.000000000000000E+0 | 0.000000000000000E+0 | -1.900000000000000E+1 | |
| PIGlobalLoad | 3 | 1515 | 0.000000000000000E+0 | 0.000000000000000E+0 | -1.900000000000000E+1 | |
| PIGlobalLoad | 3 | 1516 | 0.000000000000000E+0 | 0.000000000000000E+0 | -1.900000000000000E+1 | |
| PIGlobalLoad | 3 | 1517 | 0.000000000000000E+0 | 0.000000000000000E+0 | -1.900000000000000E+1 | |
| PIGlobalLoad | 3 | 1518 | 0.000000000000000E+0 | 0.000000000000000E+0 | -1.900000000000000E+1 | |
| PIGlobalLoad | 3 | 1519 | 0.000000000000000E+0 | 0.000000000000000E+0 | -1.900000000000000E+1 | |
| PIGlobalLoad | 3 | 1520 | 0.000000000000000E+0 | 0.000000000000000E+0 | -1.900000000000000E+1 | |
| PIGlobalLoad | 3 | 1521 | 0.000000000000000E+0 | 0.000000000000000E+0 | -1.900000000000000E+1 | |
| PIGlobalLoad | 3 | 1522 | 0.000000000000000E+0 | 0.000000000000000E+0 | -1.900000000000000E+1 | |
| PIGlobalLoad | 3 | 1523 | 0.000000000000000E+0 | 0.000000000000000E+0 | -1.900000000000000E+1 | |

| Relazione di calcolo spalle | COMMESSE NM25 | LOTTO 03 D 26 | CODIFICA CL | DOCUMENTO IV 37 04 001 | REV. A | FOGLIO 309 di 439 |
|-----------------------------|------------------|------------------|----------------|---------------------------|-----------|----------------------|
|-----------------------------|------------------|------------------|----------------|---------------------------|-----------|----------------------|

| | | | | | | |
|--------------|---|------|----------------------|----------------------|-----------------------|--|
| PIGlobalLoad | 3 | 1524 | 0.000000000000000E+0 | 0.000000000000000E+0 | -1.900000000000000E+1 | |
| PIGlobalLoad | 3 | 1525 | 0.000000000000000E+0 | 0.000000000000000E+0 | -1.900000000000000E+1 | |
| PIGlobalLoad | 3 | 1526 | 0.000000000000000E+0 | 0.000000000000000E+0 | -1.900000000000000E+1 | |
| PIGlobalLoad | 3 | 1527 | 0.000000000000000E+0 | 0.000000000000000E+0 | -1.900000000000000E+1 | |
| PIGlobalLoad | 3 | 1528 | 0.000000000000000E+0 | 0.000000000000000E+0 | -1.900000000000000E+1 | |
| PIGlobalLoad | 3 | 1529 | 0.000000000000000E+0 | 0.000000000000000E+0 | -1.900000000000000E+1 | |
| PIGlobalLoad | 3 | 1530 | 0.000000000000000E+0 | 0.000000000000000E+0 | -1.900000000000000E+1 | |
| PIGlobalLoad | 3 | 1531 | 0.000000000000000E+0 | 0.000000000000000E+0 | -1.900000000000000E+1 | |
| PIGlobalLoad | 3 | 1532 | 0.000000000000000E+0 | 0.000000000000000E+0 | -1.900000000000000E+1 | |
| PIGlobalLoad | 3 | 1533 | 0.000000000000000E+0 | 0.000000000000000E+0 | -1.900000000000000E+1 | |
| PIGlobalLoad | 3 | 1534 | 0.000000000000000E+0 | 0.000000000000000E+0 | -1.900000000000000E+1 | |
| PIGlobalLoad | 3 | 1535 | 0.000000000000000E+0 | 0.000000000000000E+0 | -1.900000000000000E+1 | |
| PIGlobalLoad | 3 | 1536 | 0.000000000000000E+0 | 0.000000000000000E+0 | -1.900000000000000E+1 | |
| PIGlobalLoad | 3 | 1537 | 0.000000000000000E+0 | 0.000000000000000E+0 | -1.900000000000000E+1 | |
| PIGlobalLoad | 3 | 1538 | 0.000000000000000E+0 | 0.000000000000000E+0 | -1.900000000000000E+1 | |
| PIGlobalLoad | 3 | 1539 | 0.000000000000000E+0 | 0.000000000000000E+0 | -1.900000000000000E+1 | |
| PIGlobalLoad | 3 | 1540 | 0.000000000000000E+0 | 0.000000000000000E+0 | -1.900000000000000E+1 | |
| PIGlobalLoad | 3 | 1541 | 0.000000000000000E+0 | 0.000000000000000E+0 | -1.900000000000000E+1 | |
| PIGlobalLoad | 3 | 1542 | 0.000000000000000E+0 | 0.000000000000000E+0 | -1.900000000000000E+1 | |
| PIGlobalLoad | 3 | 1543 | 0.000000000000000E+0 | 0.000000000000000E+0 | -1.900000000000000E+1 | |
| PIGlobalLoad | 3 | 1544 | 0.000000000000000E+0 | 0.000000000000000E+0 | -1.900000000000000E+1 | |
| PIGlobalLoad | 3 | 1545 | 0.000000000000000E+0 | 0.000000000000000E+0 | -1.900000000000000E+1 | |
| PIGlobalLoad | 3 | 1546 | 0.000000000000000E+0 | 0.000000000000000E+0 | -1.900000000000000E+1 | |
| PIGlobalLoad | 3 | 1547 | 0.000000000000000E+0 | 0.000000000000000E+0 | -1.900000000000000E+1 | |
| PIGlobalLoad | 3 | 1548 | 0.000000000000000E+0 | 0.000000000000000E+0 | -1.900000000000000E+1 | |
| PIGlobalLoad | 3 | 1549 | 0.000000000000000E+0 | 0.000000000000000E+0 | -1.900000000000000E+1 | |
| PIGlobalLoad | 3 | 1550 | 0.000000000000000E+0 | 0.000000000000000E+0 | -1.900000000000000E+1 | |

| | | | | | | |
|---|--|--|--|--|--|--|
|  ITALFERR GRUPPO FERROVIE DELLO STATO ITALIANE | RADDOPPIO LINEA CODOGNO – CREMONA – MANTOVA TRATTA PIADENA - MANTOVA | | | | | |
| Relazione di calcolo spalle | COMMESSA LOTTO CODIFICA DOCUMENTO REV. FOGLIO NM25 03 D 26 CL IV 37 04 001 A 310 di 439 | | | | | |

PIGlobalLoad 3 1551 0.000000000000000E+0 0.000000000000000E+0 -1.900000000000000E+1

/ _____

/ PLATE FACE PRESSURES

/ SPINTA PERM

| | | | |
|------------|---|----|----------------------|
| PIPressure | 8 | 1 | 1.710000000000000E+0 |
| PIPressure | 8 | 2 | 1.710000000000000E+0 |
| PIPressure | 8 | 3 | 1.710000000000000E+0 |
| PIPressure | 8 | 4 | 1.710000000000000E+0 |
| PIPressure | 8 | 5 | 1.710000000000000E+0 |
| PIPressure | 8 | 6 | 1.710000000000000E+0 |
| PIPressure | 8 | 7 | 1.710000000000000E+0 |
| PIPressure | 8 | 8 | 1.710000000000000E+0 |
| PIPressure | 8 | 9 | 1.710000000000000E+0 |
| PIPressure | 8 | 10 | 1.710000000000000E+0 |
| PIPressure | 8 | 11 | 1.710000000000000E+0 |
| PIPressure | 8 | 12 | 1.710000000000000E+0 |
| PIPressure | 8 | 13 | 1.710000000000000E+0 |
| PIPressure | 8 | 14 | 1.710000000000000E+0 |
| PIPressure | 8 | 15 | 1.710000000000000E+0 |
| PIPressure | 8 | 16 | 1.710000000000000E+0 |
| PIPressure | 8 | 17 | 1.710000000000000E+0 |
| PIPressure | 8 | 18 | 1.710000000000000E+0 |
| PIPressure | 8 | 19 | 1.710000000000000E+0 |
| PIPressure | 8 | 20 | 1.710000000000000E+0 |

Relazione di calcolo spalle

COMMESA LOTTO CODIFICA DOCUMENTO REV. FOGLIO
NM25 03 D 26 CL IV 37 04 001 A 311 di 439

| | | | |
|------------|---|----|----------------------|
| PlPressure | 8 | 21 | 1.710000000000000E+0 |
| PlPressure | 8 | 22 | 1.710000000000000E+0 |
| PlPressure | 8 | 23 | 1.710000000000000E+0 |
| PlPressure | 8 | 24 | 1.710000000000000E+0 |
| PlPressure | 8 | 25 | 1.710000000000000E+0 |
| PlPressure | 8 | 26 | 1.710000000000000E+0 |
| PlPressure | 8 | 27 | 1.710000000000000E+0 |
| PlPressure | 8 | 28 | 1.710000000000000E+0 |
| PlPressure | 8 | 29 | 1.710000000000000E+0 |
| PlPressure | 8 | 30 | 1.710000000000000E+0 |
| PlPressure | 8 | 31 | 1.710000000000000E+0 |
| PlPressure | 8 | 32 | 1.710000000000000E+0 |
| PlPressure | 8 | 33 | 1.710000000000000E+0 |
| PlPressure | 8 | 34 | 1.710000000000000E+0 |
| PlPressure | 8 | 35 | 1.710000000000000E+0 |
| PlPressure | 8 | 36 | 1.710000000000000E+0 |
| PlPressure | 8 | 37 | 1.710000000000000E+0 |
| PlPressure | 8 | 38 | 1.710000000000000E+0 |
| PlPressure | 8 | 39 | 1.710000000000000E+0 |
| PlPressure | 8 | 40 | 1.710000000000000E+0 |
| PlPressure | 8 | 41 | 1.710000000000000E+0 |
| PlPressure | 8 | 42 | 1.710000000000000E+0 |
| PlPressure | 8 | 43 | 1.710000000000000E+0 |
| PlPressure | 8 | 44 | 1.710000000000000E+0 |
| PlPressure | 8 | 45 | 1.710000000000000E+0 |
| PlPressure | 8 | 46 | 1.710000000000000E+0 |
| PlPressure | 8 | 47 | 1.710000000000000E+0 |

Relazione di calcolo spalle

COMMESA LOTTO CODIFICA DOCUMENTO REV. FOGLIO
NM25 03 D 26 CL IV 37 04 001 A 312 di 439

| | | | |
|------------|---|----|----------------------|
| PlPressure | 8 | 48 | 1.710000000000000E+0 |
| PlPressure | 8 | 49 | 1.710000000000000E+0 |
| PlPressure | 8 | 50 | 1.710000000000000E+0 |
| PlPressure | 8 | 51 | 1.710000000000000E+0 |
| PlPressure | 8 | 52 | 1.710000000000000E+0 |
| PlPressure | 8 | 53 | 1.710000000000000E+0 |
| PlPressure | 8 | 54 | 1.710000000000000E+0 |
| PlPressure | 8 | 55 | 1.710000000000000E+0 |
| PlPressure | 8 | 56 | 1.710000000000000E+0 |
| PlPressure | 8 | 57 | 1.710000000000000E+0 |
| PlPressure | 8 | 58 | 1.710000000000000E+0 |
| PlPressure | 8 | 59 | 1.710000000000000E+0 |
| PlPressure | 8 | 60 | 1.710000000000000E+0 |
| PlPressure | 8 | 61 | 1.710000000000000E+0 |
| PlPressure | 8 | 62 | 1.710000000000000E+0 |
| PlPressure | 8 | 63 | 1.710000000000000E+0 |
| PlPressure | 8 | 64 | 1.710000000000000E+0 |
| PlPressure | 8 | 65 | 1.710000000000000E+0 |
| PlPressure | 8 | 66 | 1.710000000000000E+0 |
| PlPressure | 8 | 67 | 1.710000000000000E+0 |
| PlPressure | 8 | 68 | 1.710000000000000E+0 |
| PlPressure | 8 | 69 | 1.710000000000000E+0 |
| PlPressure | 8 | 70 | 1.710000000000000E+0 |
| PlPressure | 8 | 71 | 1.710000000000000E+0 |
| PlPressure | 8 | 72 | 1.710000000000000E+0 |
| PlPressure | 8 | 73 | 1.710000000000000E+0 |
| PlPressure | 8 | 74 | 1.710000000000000E+0 |

Relazione di calcolo spalle

| | | | |
|---------|---------|----------|--------------|
| COMMESA | LOTTO | CODIFICA | DOCUMENTO |
| NM25 | 03 D 26 | CL | IV 37 04 001 |

| | |
|------|------------|
| REV. | FOGLIO |
| A | 313 di 439 |

| | | | |
|------------|---|-----|----------------------|
| PlPressure | 8 | 75 | 1.710000000000000E+0 |
| PlPressure | 8 | 76 | 1.710000000000000E+0 |
| PlPressure | 8 | 77 | 1.710000000000000E+0 |
| PlPressure | 8 | 78 | 1.710000000000000E+0 |
| PlPressure | 8 | 79 | 1.710000000000000E+0 |
| PlPressure | 8 | 80 | 1.710000000000000E+0 |
| PlPressure | 8 | 81 | 1.710000000000000E+0 |
| PlPressure | 8 | 82 | 1.710000000000000E+0 |
| PlPressure | 8 | 83 | 1.710000000000000E+0 |
| PlPressure | 8 | 84 | 1.710000000000000E+0 |
| PlPressure | 8 | 85 | 1.710000000000000E+0 |
| PlPressure | 8 | 86 | 1.710000000000000E+0 |
| PlPressure | 8 | 87 | 1.710000000000000E+0 |
| PlPressure | 8 | 88 | 1.710000000000000E+0 |
| PlPressure | 8 | 89 | 1.710000000000000E+0 |
| PlPressure | 8 | 90 | 1.710000000000000E+0 |
| PlPressure | 8 | 91 | 1.710000000000000E+0 |
| PlPressure | 8 | 92 | 1.710000000000000E+0 |
| PlPressure | 8 | 93 | 1.710000000000000E+0 |
| PlPressure | 8 | 94 | 1.710000000000000E+0 |
| PlPressure | 8 | 95 | 1.710000000000000E+0 |
| PlPressure | 8 | 96 | 1.710000000000000E+0 |
| PlPressure | 8 | 97 | 1.710000000000000E+0 |
| PlPressure | 8 | 98 | 1.710000000000000E+0 |
| PlPressure | 8 | 99 | 1.710000000000000E+0 |
| PlPressure | 8 | 100 | 1.710000000000000E+0 |
| PlPressure | 8 | 101 | 1.710000000000000E+0 |

Relazione di calcolo spalle

COMMESA LOTTO CODIFICA DOCUMENTO REV. FOGLIO
NM25 03 D 26 CL IV 37 04 001 A 314 di 439

| | | | |
|------------|---|-----|----------------------|
| PlPressure | 8 | 102 | 1.710000000000000E+0 |
| PlPressure | 8 | 103 | 1.710000000000000E+0 |
| PlPressure | 8 | 104 | 1.710000000000000E+0 |
| PlPressure | 8 | 105 | 1.710000000000000E+0 |
| PlPressure | 8 | 106 | 1.710000000000000E+0 |
| PlPressure | 8 | 107 | 1.710000000000000E+0 |
| PlPressure | 8 | 108 | 1.710000000000000E+0 |
| PlPressure | 8 | 109 | 1.710000000000000E+0 |
| PlPressure | 8 | 110 | 1.710000000000000E+0 |
| PlPressure | 8 | 111 | 1.710000000000000E+0 |
| PlPressure | 8 | 112 | 1.710000000000000E+0 |
| PlPressure | 8 | 113 | 1.710000000000000E+0 |
| PlPressure | 8 | 114 | 1.710000000000000E+0 |
| PlPressure | 8 | 115 | 1.710000000000000E+0 |
| PlPressure | 8 | 116 | 1.710000000000000E+0 |
| PlPressure | 8 | 117 | 1.710000000000000E+0 |
| PlPressure | 8 | 118 | 1.710000000000000E+0 |
| PlPressure | 8 | 119 | 1.710000000000000E+0 |
| PlPressure | 8 | 120 | 1.710000000000000E+0 |
| PlPressure | 8 | 121 | 1.710000000000000E+0 |
| PlPressure | 8 | 122 | 1.710000000000000E+0 |
| PlPressure | 8 | 123 | 1.710000000000000E+0 |
| PlPressure | 8 | 124 | 1.710000000000000E+0 |
| PlPressure | 8 | 125 | 1.710000000000000E+0 |
| PlPressure | 8 | 126 | 1.710000000000000E+0 |
| PlPressure | 8 | 127 | 1.710000000000000E+0 |
| PlPressure | 8 | 128 | 1.710000000000000E+0 |

| Relazione di calcolo spalle | COMMESSA NM25 | LOTTO 03 D 26 | CODIFICA CL | DOCUMENTO IV 37 04 001 | REV. A | FOGLIO 315 di 439 |
|-----------------------------|------------------|------------------|----------------|---------------------------|-----------|----------------------|
|-----------------------------|------------------|------------------|----------------|---------------------------|-----------|----------------------|

| | | | |
|------------|---|-----|----------------------|
| PlPressure | 8 | 129 | 1.710000000000000E+0 |
| PlPressure | 8 | 130 | 1.710000000000000E+0 |
| PlPressure | 8 | 131 | 1.710000000000000E+0 |
| PlPressure | 8 | 132 | 1.710000000000000E+0 |
| PlPressure | 8 | 133 | 1.710000000000000E+0 |
| PlPressure | 8 | 134 | 1.710000000000000E+0 |
| PlPressure | 8 | 135 | 1.710000000000000E+0 |
| PlPressure | 8 | 136 | 1.710000000000000E+0 |
| PlPressure | 8 | 137 | 1.710000000000000E+0 |
| PlPressure | 8 | 138 | 1.710000000000000E+0 |
| PlPressure | 8 | 139 | 1.710000000000000E+0 |
| PlPressure | 8 | 140 | 1.710000000000000E+0 |
| PlPressure | 8 | 141 | 1.710000000000000E+0 |
| PlPressure | 8 | 142 | 1.710000000000000E+0 |
| PlPressure | 8 | 143 | 1.710000000000000E+0 |
| PlPressure | 8 | 144 | 1.710000000000000E+0 |
| PlPressure | 8 | 145 | 1.710000000000000E+0 |
| PlPressure | 8 | 146 | 1.710000000000000E+0 |
| PlPressure | 8 | 147 | 1.710000000000000E+0 |
| PlPressure | 8 | 148 | 1.710000000000000E+0 |
| PlPressure | 8 | 149 | 1.710000000000000E+0 |
| PlPressure | 8 | 150 | 1.710000000000000E+0 |
| PlPressure | 8 | 151 | 1.710000000000000E+0 |
| PlPressure | 8 | 152 | 1.710000000000000E+0 |
| PlPressure | 8 | 153 | 1.710000000000000E+0 |
| PlPressure | 8 | 154 | 1.710000000000000E+0 |
| PlPressure | 8 | 155 | 1.710000000000000E+0 |

Relazione di calcolo spalle

| | | | |
|----------|---------|----------|--------------|
| COMMESSA | LOTTO | CODIFICA | DOCUMENTO |
| NM25 | 03 D 26 | CL | IV 37 04 001 |

| | |
|------|------------|
| REV. | FOGLIO |
| A | 316 di 439 |

| | | | |
|------------|---|-----|----------------------|
| PlPressure | 8 | 156 | 1.710000000000000E+0 |
| PlPressure | 8 | 157 | 1.710000000000000E+0 |
| PlPressure | 8 | 158 | 1.710000000000000E+0 |
| PlPressure | 8 | 159 | 1.710000000000000E+0 |
| PlPressure | 8 | 160 | 1.710000000000000E+0 |
| PlPressure | 8 | 161 | 1.710000000000000E+0 |
| PlPressure | 8 | 162 | 1.710000000000000E+0 |
| PlPressure | 8 | 163 | 1.710000000000000E+0 |
| PlPressure | 8 | 164 | 1.710000000000000E+0 |
| PlPressure | 8 | 165 | 1.710000000000000E+0 |
| PlPressure | 8 | 166 | 1.710000000000000E+0 |
| PlPressure | 8 | 167 | 1.710000000000000E+0 |
| PlPressure | 8 | 168 | 1.710000000000000E+0 |
| PlPressure | 8 | 169 | 1.710000000000000E+0 |
| PlPressure | 8 | 170 | 1.710000000000000E+0 |
| PlPressure | 8 | 171 | 1.710000000000000E+0 |
| PlPressure | 8 | 172 | 1.710000000000000E+0 |
| PlPressure | 8 | 173 | 1.710000000000000E+0 |
| PlPressure | 8 | 174 | 1.710000000000000E+0 |
| PlPressure | 8 | 175 | 1.710000000000000E+0 |
| PlPressure | 8 | 176 | 1.710000000000000E+0 |
| PlPressure | 8 | 177 | 1.710000000000000E+0 |
| PlPressure | 8 | 178 | 1.710000000000000E+0 |
| PlPressure | 8 | 179 | 1.710000000000000E+0 |
| PlPressure | 8 | 180 | 1.710000000000000E+0 |
| PlPressure | 8 | 181 | 1.710000000000000E+0 |
| PlPressure | 8 | 182 | 1.710000000000000E+0 |

| Relazione di calcolo spalle | COMMESSA NM25 | LOTTO 03 D 26 | CODIFICA CL | DOCUMENTO IV 37 04 001 | REV. A | FOGLIO 317 di 439 |
|-----------------------------|------------------|------------------|----------------|---------------------------|-----------|----------------------|
|-----------------------------|------------------|------------------|----------------|---------------------------|-----------|----------------------|

| | | | |
|------------|---|-----|----------------------|
| PlPressure | 8 | 183 | 1.710000000000000E+0 |
| PlPressure | 8 | 184 | 1.710000000000000E+0 |
| PlPressure | 8 | 185 | 1.710000000000000E+0 |
| PlPressure | 8 | 186 | 1.710000000000000E+0 |
| PlPressure | 8 | 187 | 1.710000000000000E+0 |
| PlPressure | 8 | 188 | 1.710000000000000E+0 |
| PlPressure | 8 | 189 | 1.710000000000000E+0 |
| PlPressure | 8 | 190 | 1.710000000000000E+0 |
| PlPressure | 8 | 191 | 1.710000000000000E+0 |
| PlPressure | 8 | 192 | 1.710000000000000E+0 |
| PlPressure | 8 | 193 | 1.710000000000000E+0 |
| PlPressure | 8 | 194 | 1.710000000000000E+0 |
| PlPressure | 8 | 195 | 1.710000000000000E+0 |
| PlPressure | 8 | 196 | 1.710000000000000E+0 |
| PlPressure | 8 | 197 | 1.710000000000000E+0 |
| PlPressure | 8 | 198 | 1.710000000000000E+0 |
| PlPressure | 8 | 199 | 1.710000000000000E+0 |
| PlPressure | 8 | 200 | 1.710000000000000E+0 |
| PlPressure | 8 | 201 | 1.710000000000000E+0 |
| PlPressure | 8 | 202 | 1.710000000000000E+0 |
| PlPressure | 8 | 203 | 1.710000000000000E+0 |
| PlPressure | 8 | 204 | 1.710000000000000E+0 |
| PlPressure | 8 | 205 | 1.710000000000000E+0 |
| PlPressure | 8 | 206 | 1.710000000000000E+0 |
| PlPressure | 8 | 207 | 1.710000000000000E+0 |
| PlPressure | 8 | 208 | 1.710000000000000E+0 |
| PlPressure | 8 | 209 | 1.710000000000000E+0 |

Relazione di calcolo spalle

| COMMESSA | LOTTO | CODIFICA | DOCUMENTO | REV. | FOGLIO |
|----------|---------|----------|--------------|------|------------|
| NM25 | 03 D 26 | CL | IV 37 04 001 | A | 318 di 439 |

| | | | |
|------------|---|-----|----------------------|
| PlPressure | 8 | 210 | 1.710000000000000E+0 |
| PlPressure | 8 | 211 | 1.710000000000000E+0 |
| PlPressure | 8 | 212 | 1.710000000000000E+0 |
| PlPressure | 8 | 213 | 1.710000000000000E+0 |
| PlPressure | 8 | 214 | 1.710000000000000E+0 |
| PlPressure | 8 | 215 | 1.710000000000000E+0 |
| PlPressure | 8 | 216 | 1.710000000000000E+0 |
| PlPressure | 8 | 217 | 1.710000000000000E+0 |
| PlPressure | 8 | 218 | 1.710000000000000E+0 |
| PlPressure | 8 | 219 | 1.710000000000000E+0 |
| PlPressure | 8 | 220 | 1.710000000000000E+0 |
| PlPressure | 8 | 221 | 1.710000000000000E+0 |
| PlPressure | 8 | 222 | 1.710000000000000E+0 |
| PlPressure | 8 | 223 | 1.710000000000000E+0 |
| PlPressure | 8 | 224 | 1.710000000000000E+0 |
| PlPressure | 8 | 225 | 1.710000000000000E+0 |
| PlPressure | 8 | 226 | 1.710000000000000E+0 |
| PlPressure | 8 | 227 | 1.710000000000000E+0 |
| PlPressure | 8 | 228 | 1.710000000000000E+0 |
| PlPressure | 8 | 229 | 1.710000000000000E+0 |
| PlPressure | 8 | 230 | 1.710000000000000E+0 |
| PlPressure | 8 | 231 | 1.710000000000000E+0 |
| PlPressure | 8 | 232 | 1.710000000000000E+0 |
| PlPressure | 8 | 233 | 1.710000000000000E+0 |
| PlPressure | 8 | 234 | 1.710000000000000E+0 |
| PlPressure | 8 | 235 | 1.710000000000000E+0 |
| PlPressure | 8 | 236 | 1.710000000000000E+0 |

Relazione di calcolo spalle

| | | | | | |
|----------|---------|----------|--------------|------|------------|
| COMMESSA | LOTTO | CODIFICA | DOCUMENTO | REV. | FOGLIO |
| NM25 | 03 D 26 | CL | IV 37 04 001 | A | 319 di 439 |

| | | | |
|------------|---|-----|----------------------|
| PlPressure | 8 | 237 | 1.710000000000000E+0 |
| PlPressure | 8 | 238 | 1.710000000000000E+0 |
| PlPressure | 8 | 239 | 1.710000000000000E+0 |
| PlPressure | 8 | 240 | 1.710000000000000E+0 |
| PlPressure | 8 | 241 | 1.710000000000000E+0 |
| PlPressure | 8 | 242 | 1.710000000000000E+0 |
| PlPressure | 8 | 243 | 1.710000000000000E+0 |
| PlPressure | 8 | 244 | 1.710000000000000E+0 |
| PlPressure | 8 | 245 | 1.710000000000000E+0 |
| PlPressure | 8 | 246 | 1.710000000000000E+0 |
| PlPressure | 8 | 247 | 1.710000000000000E+0 |
| PlPressure | 8 | 248 | 1.710000000000000E+0 |
| PlPressure | 8 | 249 | 1.710000000000000E+0 |
| PlPressure | 8 | 250 | 1.710000000000000E+0 |
| PlPressure | 8 | 251 | 1.710000000000000E+0 |
| PlPressure | 8 | 252 | 1.710000000000000E+0 |
| PlPressure | 8 | 253 | 1.710000000000000E+0 |
| PlPressure | 8 | 254 | 1.710000000000000E+0 |
| PlPressure | 8 | 255 | 1.710000000000000E+0 |
| PlPressure | 8 | 256 | 1.710000000000000E+0 |
| PlPressure | 8 | 257 | 1.710000000000000E+0 |
| PlPressure | 8 | 258 | 1.710000000000000E+0 |
| PlPressure | 8 | 259 | 1.710000000000000E+0 |
| PlPressure | 8 | 260 | 1.710000000000000E+0 |
| PlPressure | 8 | 261 | 1.710000000000000E+0 |
| PlPressure | 8 | 262 | 1.710000000000000E+0 |
| PlPressure | 8 | 263 | 1.710000000000000E+0 |

Relazione di calcolo spalle

COMMESA LOTTO CODIFICA DOCUMENTO REV. FOGLIO
NM25 03 D 26 CL IV 37 04 001 A 320 di 439

| | | | |
|------------|---|-----|----------------------|
| PlPressure | 8 | 264 | 1.710000000000000E+0 |
| PlPressure | 8 | 265 | 1.710000000000000E+0 |
| PlPressure | 8 | 266 | 1.710000000000000E+0 |
| PlPressure | 8 | 267 | 1.710000000000000E+0 |
| PlPressure | 8 | 268 | 1.710000000000000E+0 |
| PlPressure | 8 | 269 | 1.710000000000000E+0 |
| PlPressure | 8 | 270 | 1.710000000000000E+0 |
| PlPressure | 8 | 271 | 1.710000000000000E+0 |
| PlPressure | 8 | 272 | 1.710000000000000E+0 |
| PlPressure | 8 | 273 | 1.710000000000000E+0 |
| PlPressure | 8 | 274 | 1.710000000000000E+0 |
| PlPressure | 8 | 275 | 1.710000000000000E+0 |
| PlPressure | 8 | 276 | 1.710000000000000E+0 |
| PlPressure | 8 | 277 | 1.710000000000000E+0 |
| PlPressure | 8 | 278 | 1.710000000000000E+0 |
| PlPressure | 8 | 279 | 1.710000000000000E+0 |
| PlPressure | 8 | 280 | 1.710000000000000E+0 |
| PlPressure | 8 | 281 | 1.710000000000000E+0 |
| PlPressure | 8 | 282 | 1.710000000000000E+0 |
| PlPressure | 8 | 283 | 1.710000000000000E+0 |
| PlPressure | 8 | 284 | 1.710000000000000E+0 |
| PlPressure | 8 | 285 | 1.710000000000000E+0 |
| PlPressure | 8 | 286 | 1.710000000000000E+0 |
| PlPressure | 8 | 287 | 1.710000000000000E+0 |
| PlPressure | 8 | 288 | 1.710000000000000E+0 |
| PlPressure | 8 | 289 | 1.710000000000000E+0 |
| PlPressure | 8 | 290 | 1.710000000000000E+0 |

Relazione di calcolo spalle

COMMESA LOTTO CODIFICA DOCUMENTO REV. FOGLIO
NM25 03 D 26 CL IV 37 04 001 A 321 di 439

| | | | |
|------------|---|-----|----------------------|
| PlPressure | 8 | 291 | 1.710000000000000E+0 |
| PlPressure | 8 | 292 | 1.710000000000000E+0 |
| PlPressure | 8 | 293 | 1.710000000000000E+0 |
| PlPressure | 8 | 294 | 1.710000000000000E+0 |
| PlPressure | 8 | 295 | 1.710000000000000E+0 |
| PlPressure | 8 | 296 | 1.710000000000000E+0 |
| PlPressure | 8 | 297 | 1.710000000000000E+0 |
| PlPressure | 8 | 298 | 1.710000000000000E+0 |
| PlPressure | 8 | 299 | 1.710000000000000E+0 |
| PlPressure | 8 | 300 | 1.710000000000000E+0 |
| PlPressure | 8 | 301 | 1.710000000000000E+0 |
| PlPressure | 8 | 302 | 1.710000000000000E+0 |
| PlPressure | 8 | 303 | 1.710000000000000E+0 |
| PlPressure | 8 | 304 | 1.710000000000000E+0 |
| PlPressure | 8 | 305 | 1.710000000000000E+0 |
| PlPressure | 8 | 306 | 1.710000000000000E+0 |
| PlPressure | 8 | 307 | 1.710000000000000E+0 |
| PlPressure | 8 | 308 | 1.710000000000000E+0 |
| PlPressure | 8 | 309 | 1.710000000000000E+0 |
| PlPressure | 8 | 310 | 1.710000000000000E+0 |
| PlPressure | 8 | 311 | 1.710000000000000E+0 |
| PlPressure | 8 | 312 | 1.710000000000000E+0 |
| PlPressure | 8 | 313 | 1.710000000000000E+0 |
| PlPressure | 8 | 314 | 1.710000000000000E+0 |
| PlPressure | 8 | 315 | 1.710000000000000E+0 |
| PlPressure | 8 | 316 | 1.710000000000000E+0 |
| PlPressure | 8 | 317 | 1.710000000000000E+0 |

Relazione di calcolo spalle

| | | | | | |
|----------|---------|----------|--------------|------|------------|
| COMMESSA | LOTTO | CODIFICA | DOCUMENTO | REV. | FOGLIO |
| NM25 | 03 D 26 | CL | IV 37 04 001 | A | 322 di 439 |

| | | | |
|------------|---|-----|----------------------|
| PlPressure | 8 | 318 | 1.710000000000000E+0 |
| PlPressure | 8 | 319 | 1.710000000000000E+0 |
| PlPressure | 8 | 320 | 1.710000000000000E+0 |
| PlPressure | 8 | 321 | 1.710000000000000E+0 |
| PlPressure | 8 | 322 | 1.710000000000000E+0 |
| PlPressure | 8 | 323 | 1.710000000000000E+0 |
| PlPressure | 8 | 324 | 1.710000000000000E+0 |
| PlPressure | 8 | 325 | 1.710000000000000E+0 |
| PlPressure | 8 | 326 | 1.710000000000000E+0 |
| PlPressure | 8 | 327 | 1.710000000000000E+0 |
| PlPressure | 8 | 328 | 1.710000000000000E+0 |
| PlPressure | 8 | 329 | 1.710000000000000E+0 |
| PlPressure | 8 | 330 | 1.710000000000000E+0 |
| PlPressure | 8 | 331 | 1.710000000000000E+0 |
| PlPressure | 8 | 332 | 1.710000000000000E+0 |
| PlPressure | 8 | 333 | 1.710000000000000E+0 |
| PlPressure | 8 | 334 | 1.710000000000000E+0 |
| PlPressure | 8 | 335 | 1.710000000000000E+0 |
| PlPressure | 8 | 336 | 1.710000000000000E+0 |
| PlPressure | 8 | 337 | 1.710000000000000E+0 |
| PlPressure | 8 | 338 | 1.710000000000000E+0 |
| PlPressure | 8 | 339 | 1.710000000000000E+0 |
| PlPressure | 8 | 340 | 1.710000000000000E+0 |
| PlPressure | 8 | 341 | 1.710000000000000E+0 |
| PlPressure | 8 | 342 | 1.710000000000000E+0 |
| PlPressure | 8 | 343 | 1.710000000000000E+0 |
| PlPressure | 8 | 344 | 1.710000000000000E+0 |

| Relazione di calcolo spalle | COMMESSA NM25 | LOTTO 03 D 26 | CODIFICA CL | DOCUMENTO IV 37 04 001 | REV. A | FOGLIO 323 di 439 |
|-----------------------------|------------------|------------------|----------------|---------------------------|-----------|----------------------|
|-----------------------------|------------------|------------------|----------------|---------------------------|-----------|----------------------|

| | | | |
|------------|---|-----|----------------------|
| PlPressure | 8 | 345 | 1.710000000000000E+0 |
| PlPressure | 8 | 346 | 1.710000000000000E+0 |
| PlPressure | 8 | 347 | 1.710000000000000E+0 |
| PlPressure | 8 | 348 | 1.710000000000000E+0 |
| PlPressure | 8 | 349 | 1.710000000000000E+0 |
| PlPressure | 8 | 350 | 1.710000000000000E+0 |
| PlPressure | 8 | 351 | 1.710000000000000E+0 |
| PlPressure | 8 | 352 | 1.710000000000000E+0 |
| PlPressure | 8 | 353 | 1.710000000000000E+0 |
| PlPressure | 8 | 354 | 1.710000000000000E+0 |
| PlPressure | 8 | 355 | 1.710000000000000E+0 |
| PlPressure | 8 | 356 | 1.710000000000000E+0 |
| PlPressure | 8 | 357 | 1.710000000000000E+0 |
| PlPressure | 8 | 358 | 1.710000000000000E+0 |
| PlPressure | 8 | 359 | 1.710000000000000E+0 |
| PlPressure | 8 | 360 | 1.710000000000000E+0 |
| PlPressure | 8 | 361 | 1.710000000000000E+0 |
| PlPressure | 8 | 362 | 1.710000000000000E+0 |
| PlPressure | 8 | 363 | 1.710000000000000E+0 |
| PlPressure | 8 | 364 | 1.710000000000000E+0 |
| PlPressure | 8 | 365 | 1.710000000000000E+0 |
| PlPressure | 8 | 366 | 1.710000000000000E+0 |
| PlPressure | 8 | 367 | 1.710000000000000E+0 |
| PlPressure | 8 | 368 | 1.710000000000000E+0 |
| PlPressure | 8 | 369 | 1.710000000000000E+0 |
| PlPressure | 8 | 370 | 1.710000000000000E+0 |
| PlPressure | 8 | 371 | 1.710000000000000E+0 |

Relazione di calcolo spalle

| COMMESSA | LOTTO | CODIFICA | DOCUMENTO | REV. | FOGLIO |
|----------|---------|----------|--------------|------|------------|
| NM25 | 03 D 26 | CL | IV 37 04 001 | A | 324 di 439 |

| | | | |
|------------|---|-----|----------------------|
| PlPressure | 8 | 372 | 1.710000000000000E+0 |
| PlPressure | 8 | 373 | 1.710000000000000E+0 |
| PlPressure | 8 | 374 | 1.710000000000000E+0 |
| PlPressure | 8 | 375 | 1.710000000000000E+0 |
| PlPressure | 8 | 376 | 1.710000000000000E+0 |
| PlPressure | 8 | 377 | 1.710000000000000E+0 |
| PlPressure | 8 | 378 | 1.710000000000000E+0 |
| PlPressure | 8 | 379 | 1.710000000000000E+0 |
| PlPressure | 8 | 380 | 1.710000000000000E+0 |
| PlPressure | 8 | 381 | 1.710000000000000E+0 |
| PlPressure | 8 | 382 | 1.710000000000000E+0 |
| PlPressure | 8 | 383 | 1.710000000000000E+0 |
| PlPressure | 8 | 384 | 1.710000000000000E+0 |
| PlPressure | 8 | 385 | 1.710000000000000E+0 |
| PlPressure | 8 | 386 | 1.710000000000000E+0 |
| PlPressure | 8 | 387 | 1.710000000000000E+0 |
| PlPressure | 8 | 388 | 1.710000000000000E+0 |
| PlPressure | 8 | 389 | 1.710000000000000E+0 |
| PlPressure | 8 | 390 | 1.710000000000000E+0 |
| PlPressure | 8 | 391 | 1.710000000000000E+0 |
| PlPressure | 8 | 392 | 1.710000000000000E+0 |
| PlPressure | 8 | 393 | 1.710000000000000E+0 |
| PlPressure | 8 | 394 | 1.710000000000000E+0 |
| PlPressure | 8 | 395 | 1.710000000000000E+0 |
| PlPressure | 8 | 396 | 1.710000000000000E+0 |
| PlPressure | 8 | 397 | 1.710000000000000E+0 |
| PlPressure | 8 | 398 | 1.710000000000000E+0 |

Relazione di calcolo spalle

| | | | |
|----------|---------|----------|--------------|
| COMMESSA | LOTTO | CODIFICA | DOCUMENTO |
| NM25 | 03 D 26 | CL | IV 37 04 001 |

| | | |
|------|------------|--|
| REV. | FOGLIO | |
| A | 325 di 439 | |

| | | | |
|------------|---|-----|----------------------|
| PlPressure | 8 | 399 | 1.710000000000000E+0 |
| PlPressure | 8 | 400 | 1.710000000000000E+0 |
| PlPressure | 8 | 401 | 1.710000000000000E+0 |
| PlPressure | 8 | 402 | 1.710000000000000E+0 |
| PlPressure | 8 | 403 | 1.710000000000000E+0 |
| PlPressure | 8 | 404 | 1.710000000000000E+0 |
| PlPressure | 8 | 405 | 1.710000000000000E+0 |
| PlPressure | 8 | 406 | 1.710000000000000E+0 |
| PlPressure | 8 | 407 | 1.710000000000000E+0 |
| PlPressure | 8 | 408 | 1.710000000000000E+0 |
| PlPressure | 8 | 409 | 1.710000000000000E+0 |
| PlPressure | 8 | 410 | 1.710000000000000E+0 |
| PlPressure | 8 | 411 | 1.710000000000000E+0 |
| PlPressure | 8 | 412 | 1.710000000000000E+0 |
| PlPressure | 8 | 413 | 1.710000000000000E+0 |
| PlPressure | 8 | 414 | 1.710000000000000E+0 |
| PlPressure | 8 | 415 | 1.710000000000000E+0 |
| PlPressure | 8 | 416 | 1.710000000000000E+0 |
| PlPressure | 8 | 417 | 1.710000000000000E+0 |
| PlPressure | 8 | 418 | 1.710000000000000E+0 |
| PlPressure | 8 | 419 | 1.710000000000000E+0 |
| PlPressure | 8 | 420 | 1.710000000000000E+0 |
| PlPressure | 8 | 421 | 1.710000000000000E+0 |
| PlPressure | 8 | 422 | 1.710000000000000E+0 |
| PlPressure | 8 | 423 | 1.710000000000000E+0 |
| PlPressure | 8 | 424 | 1.710000000000000E+0 |
| PlPressure | 8 | 425 | 1.710000000000000E+0 |

Relazione di calcolo spalle

| | | | | | |
|----------|---------|----------|--------------|------|------------|
| COMMESSA | LOTTO | CODIFICA | DOCUMENTO | REV. | FOGLIO |
| NM25 | 03 D 26 | CL | IV 37 04 001 | A | 326 di 439 |

| | | | |
|------------|---|-----|----------------------|
| PlPressure | 8 | 426 | 1.710000000000000E+0 |
| PlPressure | 8 | 427 | 1.710000000000000E+0 |
| PlPressure | 8 | 428 | 1.710000000000000E+0 |
| PlPressure | 8 | 429 | 1.710000000000000E+0 |
| PlPressure | 8 | 430 | 1.710000000000000E+0 |
| PlPressure | 8 | 431 | 1.710000000000000E+0 |
| PlPressure | 8 | 432 | 1.710000000000000E+0 |
| PlPressure | 8 | 433 | 1.710000000000000E+0 |
| PlPressure | 8 | 434 | 1.710000000000000E+0 |
| PlPressure | 8 | 435 | 1.710000000000000E+0 |
| PlPressure | 8 | 436 | 1.710000000000000E+0 |
| PlPressure | 8 | 437 | 1.710000000000000E+0 |
| PlPressure | 8 | 438 | 1.710000000000000E+0 |
| PlPressure | 8 | 439 | 1.710000000000000E+0 |
| PlPressure | 8 | 440 | 1.710000000000000E+0 |
| PlPressure | 8 | 441 | 1.710000000000000E+0 |
| PlPressure | 8 | 442 | 1.710000000000000E+0 |
| PlPressure | 8 | 443 | 1.710000000000000E+0 |
| PlPressure | 8 | 444 | 1.710000000000000E+0 |
| PlPressure | 8 | 445 | 1.710000000000000E+0 |
| PlPressure | 8 | 446 | 1.710000000000000E+0 |
| PlPressure | 8 | 447 | 1.710000000000000E+0 |
| PlPressure | 8 | 448 | 1.710000000000000E+0 |
| PlPressure | 8 | 449 | 1.710000000000000E+0 |
| PlPressure | 8 | 450 | 1.710000000000000E+0 |
| PlPressure | 8 | 451 | 1.710000000000000E+0 |
| PlPressure | 8 | 452 | 1.710000000000000E+0 |

Relazione di calcolo spalle

| COMMESSA | LOTTO | CODIFICA | DOCUMENTO | REV. | FOGLIO |
|----------|---------|----------|--------------|------|------------|
| NM25 | 03 D 26 | CL | IV 37 04 001 | A | 327 di 439 |

| | | | |
|------------|---|-----|----------------------|
| PlPressure | 8 | 453 | 1.710000000000000E+0 |
| PlPressure | 8 | 454 | 1.710000000000000E+0 |
| PlPressure | 8 | 455 | 1.710000000000000E+0 |
| PlPressure | 8 | 456 | 1.710000000000000E+0 |
| PlPressure | 8 | 457 | 1.710000000000000E+0 |
| PlPressure | 8 | 458 | 1.710000000000000E+0 |
| PlPressure | 8 | 459 | 1.710000000000000E+0 |
| PlPressure | 8 | 460 | 1.710000000000000E+0 |
| PlPressure | 8 | 461 | 1.710000000000000E+0 |
| PlPressure | 8 | 462 | 1.710000000000000E+0 |
| PlPressure | 8 | 463 | 1.710000000000000E+0 |
| PlPressure | 8 | 464 | 1.710000000000000E+0 |
| PlPressure | 8 | 465 | 1.710000000000000E+0 |
| PlPressure | 8 | 466 | 1.710000000000000E+0 |
| PlPressure | 8 | 467 | 1.710000000000000E+0 |
| PlPressure | 8 | 468 | 1.710000000000000E+0 |
| PlPressure | 8 | 469 | 1.710000000000000E+0 |
| PlPressure | 8 | 470 | 1.710000000000000E+0 |
| PlPressure | 8 | 471 | 1.710000000000000E+0 |
| PlPressure | 8 | 472 | 1.710000000000000E+0 |
| PlPressure | 8 | 473 | 1.710000000000000E+0 |
| PlPressure | 8 | 474 | 1.710000000000000E+0 |
| PlPressure | 8 | 475 | 1.710000000000000E+0 |
| PlPressure | 8 | 476 | 1.710000000000000E+0 |
| PlPressure | 8 | 477 | 1.710000000000000E+0 |
| PlPressure | 8 | 478 | 1.710000000000000E+0 |
| PlPressure | 8 | 479 | 1.710000000000000E+0 |

Relazione di calcolo spalle

COMMESA LOTTO CODIFICA DOCUMENTO REV. FOGLIO
NM25 03 D 26 CL IV 37 04 001 A 328 di 439

| | | | |
|------------|---|-----|----------------------|
| PlPressure | 8 | 480 | 1.710000000000000E+0 |
| PlPressure | 8 | 481 | 1.710000000000000E+0 |
| PlPressure | 8 | 482 | 1.710000000000000E+0 |
| PlPressure | 8 | 483 | 1.710000000000000E+0 |
| PlPressure | 8 | 484 | 1.710000000000000E+0 |
| PlPressure | 8 | 485 | 1.710000000000000E+0 |
| PlPressure | 8 | 486 | 1.710000000000000E+0 |
| PlPressure | 8 | 487 | 1.710000000000000E+0 |
| PlPressure | 8 | 488 | 1.710000000000000E+0 |
| PlPressure | 8 | 489 | 1.710000000000000E+0 |
| PlPressure | 8 | 490 | 1.710000000000000E+0 |
| PlPressure | 8 | 491 | 1.710000000000000E+0 |
| PlPressure | 8 | 492 | 1.710000000000000E+0 |
| PlPressure | 8 | 493 | 1.710000000000000E+0 |
| PlPressure | 8 | 494 | 1.710000000000000E+0 |
| PlPressure | 8 | 495 | 1.710000000000000E+0 |
| PlPressure | 8 | 496 | 1.710000000000000E+0 |
| PlPressure | 8 | 497 | 1.710000000000000E+0 |
| PlPressure | 8 | 498 | 1.710000000000000E+0 |
| PlPressure | 8 | 499 | 1.710000000000000E+0 |
| PlPressure | 8 | 500 | 1.710000000000000E+0 |
| PlPressure | 8 | 501 | 1.710000000000000E+0 |
| PlPressure | 8 | 502 | 1.710000000000000E+0 |
| PlPressure | 8 | 503 | 1.710000000000000E+0 |
| PlPressure | 8 | 504 | 1.710000000000000E+0 |
| PlPressure | 8 | 505 | 1.710000000000000E+0 |
| PlPressure | 8 | 506 | 1.710000000000000E+0 |

Relazione di calcolo spalle

COMMESA LOTTO CODIFICA DOCUMENTO REV. FOGLIO
NM25 03 D 26 CL IV 37 04 001 A 329 di 439

| | | | |
|------------|---|-----|----------------------|
| PlPressure | 8 | 507 | 1.710000000000000E+0 |
| PlPressure | 8 | 508 | 1.710000000000000E+0 |
| PlPressure | 8 | 509 | 1.710000000000000E+0 |
| PlPressure | 8 | 510 | 1.710000000000000E+0 |
| PlPressure | 8 | 511 | 1.710000000000000E+0 |
| PlPressure | 8 | 512 | 1.710000000000000E+0 |
| PlPressure | 8 | 513 | 1.710000000000000E+0 |
| PlPressure | 8 | 514 | 1.710000000000000E+0 |
| PlPressure | 8 | 515 | 1.710000000000000E+0 |
| PlPressure | 8 | 516 | 1.710000000000000E+0 |
| PlPressure | 8 | 517 | 1.710000000000000E+0 |
| PlPressure | 8 | 518 | 1.710000000000000E+0 |
| PlPressure | 8 | 519 | 1.710000000000000E+0 |
| PlPressure | 8 | 520 | 1.710000000000000E+0 |
| PlPressure | 8 | 521 | 1.710000000000000E+0 |
| PlPressure | 8 | 522 | 1.710000000000000E+0 |
| PlPressure | 8 | 523 | 1.710000000000000E+0 |
| PlPressure | 8 | 524 | 1.710000000000000E+0 |
| PlPressure | 8 | 525 | 1.710000000000000E+0 |
| PlPressure | 8 | 526 | 1.710000000000000E+0 |
| PlPressure | 8 | 527 | 1.710000000000000E+0 |
| PlPressure | 8 | 528 | 1.710000000000000E+0 |
| PlPressure | 8 | 529 | 1.710000000000000E+0 |
| PlPressure | 8 | 530 | 1.710000000000000E+0 |
| PlPressure | 8 | 531 | 1.710000000000000E+0 |
| PlPressure | 8 | 532 | 1.710000000000000E+0 |
| PlPressure | 8 | 533 | 1.710000000000000E+0 |

| Relazione di calcolo spalle | COMMESSA NM25 | LOTTO 03 D 26 | CODIFICA CL | DOCUMENTO IV 37 04 001 | REV. A | FOGLIO 330 di 439 |
|-----------------------------|------------------|------------------|----------------|---------------------------|-----------|----------------------|
|-----------------------------|------------------|------------------|----------------|---------------------------|-----------|----------------------|

| | | | |
|------------|---|-----|----------------------|
| PlPressure | 8 | 534 | 1.710000000000000E+0 |
| PlPressure | 8 | 535 | 1.710000000000000E+0 |
| PlPressure | 8 | 536 | 1.710000000000000E+0 |
| PlPressure | 8 | 537 | 1.710000000000000E+0 |
| PlPressure | 8 | 538 | 1.710000000000000E+0 |
| PlPressure | 8 | 539 | 1.710000000000000E+0 |
| PlPressure | 8 | 540 | 1.710000000000000E+0 |
| PlPressure | 8 | 541 | 1.710000000000000E+0 |
| PlPressure | 8 | 542 | 1.710000000000000E+0 |
| PlPressure | 8 | 543 | 1.710000000000000E+0 |
| PlPressure | 8 | 544 | 1.710000000000000E+0 |
| PlPressure | 8 | 545 | 1.710000000000000E+0 |
| PlPressure | 8 | 546 | 1.710000000000000E+0 |
| PlPressure | 8 | 547 | 1.710000000000000E+0 |
| PlPressure | 8 | 548 | 1.710000000000000E+0 |
| PlPressure | 8 | 549 | 1.710000000000000E+0 |
| PlPressure | 8 | 550 | 1.710000000000000E+0 |
| PlPressure | 8 | 551 | 1.710000000000000E+0 |
| PlPressure | 8 | 552 | 1.710000000000000E+0 |
| PlPressure | 8 | 553 | 1.710000000000000E+0 |
| PlPressure | 8 | 554 | 1.710000000000000E+0 |
| PlPressure | 8 | 555 | 1.710000000000000E+0 |
| PlPressure | 8 | 556 | 1.710000000000000E+0 |
| PlPressure | 8 | 557 | 1.710000000000000E+0 |
| PlPressure | 8 | 558 | 1.710000000000000E+0 |
| PlPressure | 8 | 559 | 1.710000000000000E+0 |
| PlPressure | 8 | 560 | 1.710000000000000E+0 |

| Relazione di calcolo spalle | COMMESSA NM25 | LOTTO 03 D 26 | CODIFICA CL | DOCUMENTO IV 37 04 001 | REV. A | FOGLIO 331 di 439 |
|-----------------------------|------------------|------------------|----------------|---------------------------|-----------|----------------------|
|-----------------------------|------------------|------------------|----------------|---------------------------|-----------|----------------------|

| | | | |
|------------|---|-----|----------------------|
| PlPressure | 8 | 561 | 1.710000000000000E+0 |
| PlPressure | 8 | 562 | 1.710000000000000E+0 |
| PlPressure | 8 | 563 | 1.710000000000000E+0 |
| PlPressure | 8 | 564 | 1.710000000000000E+0 |
| PlPressure | 8 | 565 | 1.710000000000000E+0 |
| PlPressure | 8 | 566 | 1.710000000000000E+0 |
| PlPressure | 8 | 567 | 1.710000000000000E+0 |
| PlPressure | 8 | 568 | 1.710000000000000E+0 |
| PlPressure | 8 | 569 | 1.710000000000000E+0 |
| PlPressure | 8 | 570 | 1.710000000000000E+0 |
| PlPressure | 8 | 571 | 1.710000000000000E+0 |
| PlPressure | 8 | 572 | 1.710000000000000E+0 |
| PlPressure | 8 | 573 | 1.710000000000000E+0 |
| PlPressure | 8 | 574 | 1.710000000000000E+0 |
| PlPressure | 8 | 575 | 1.710000000000000E+0 |
| PlPressure | 8 | 576 | 1.710000000000000E+0 |
| PlPressure | 8 | 577 | 1.710000000000000E+0 |
| PlPressure | 8 | 578 | 1.710000000000000E+0 |
| PlPressure | 8 | 579 | 1.710000000000000E+0 |
| PlPressure | 8 | 580 | 1.710000000000000E+0 |
| PlPressure | 8 | 581 | 1.710000000000000E+0 |
| PlPressure | 8 | 582 | 1.710000000000000E+0 |
| PlPressure | 8 | 583 | 1.710000000000000E+0 |
| PlPressure | 8 | 584 | 1.710000000000000E+0 |
| PlPressure | 8 | 585 | 1.710000000000000E+0 |
| PlPressure | 8 | 586 | 1.710000000000000E+0 |
| PlPressure | 8 | 587 | 1.710000000000000E+0 |

| Relazione di calcolo spalle | COMMESSA NM25 | LOTTO 03 D 26 | CODIFICA CL | DOCUMENTO IV 37 04 001 | REV. A | FOGLIO 332 di 439 |
|-----------------------------|------------------|------------------|----------------|---------------------------|-----------|----------------------|
|-----------------------------|------------------|------------------|----------------|---------------------------|-----------|----------------------|

| | | | |
|------------|---|-----|----------------------|
| PlPressure | 8 | 588 | 1.710000000000000E+0 |
| PlPressure | 8 | 589 | 1.710000000000000E+0 |
| PlPressure | 8 | 590 | 1.710000000000000E+0 |
| PlPressure | 8 | 591 | 1.710000000000000E+0 |
| PlPressure | 8 | 592 | 1.710000000000000E+0 |
| PlPressure | 8 | 593 | 1.710000000000000E+0 |
| PlPressure | 8 | 594 | 1.710000000000000E+0 |
| PlPressure | 8 | 595 | 1.710000000000000E+0 |
| PlPressure | 8 | 596 | 1.710000000000000E+0 |
| PlPressure | 8 | 597 | 1.710000000000000E+0 |
| PlPressure | 8 | 598 | 1.710000000000000E+0 |
| PlPressure | 8 | 599 | 1.710000000000000E+0 |
| PlPressure | 8 | 600 | 1.710000000000000E+0 |
| PlPressure | 8 | 601 | 1.710000000000000E+0 |
| PlPressure | 8 | 602 | 1.710000000000000E+0 |
| PlPressure | 8 | 603 | 1.710000000000000E+0 |
| PlPressure | 8 | 604 | 1.710000000000000E+0 |
| PlPressure | 8 | 605 | 1.710000000000000E+0 |
| PlPressure | 8 | 606 | 1.710000000000000E+0 |
| PlPressure | 8 | 607 | 1.710000000000000E+0 |
| PlPressure | 8 | 608 | 1.710000000000000E+0 |
| PlPressure | 8 | 609 | 1.710000000000000E+0 |
| PlPressure | 8 | 610 | 1.710000000000000E+0 |
| PlPressure | 8 | 611 | 1.710000000000000E+0 |
| PlPressure | 8 | 612 | 1.710000000000000E+0 |
| PlPressure | 8 | 613 | 1.710000000000000E+0 |
| PlPressure | 8 | 614 | 1.710000000000000E+0 |

Relazione di calcolo spalle

COMMESA LOTTO CODIFICA DOCUMENTO REV. FOGLIO
NM25 03 D 26 CL IV 37 04 001 A 333 di 439

| | | | |
|------------|---|-----|----------------------|
| PlPressure | 8 | 615 | 1.710000000000000E+0 |
| PlPressure | 8 | 616 | 1.710000000000000E+0 |
| PlPressure | 8 | 617 | 1.710000000000000E+0 |
| PlPressure | 8 | 618 | 1.710000000000000E+0 |
| PlPressure | 8 | 619 | 1.710000000000000E+0 |
| PlPressure | 8 | 620 | 1.710000000000000E+0 |
| PlPressure | 8 | 621 | 1.710000000000000E+0 |
| PlPressure | 8 | 622 | 1.710000000000000E+0 |
| PlPressure | 8 | 623 | 1.710000000000000E+0 |
| PlPressure | 8 | 624 | 1.710000000000000E+0 |
| PlPressure | 8 | 625 | 1.710000000000000E+0 |
| PlPressure | 8 | 626 | 1.710000000000000E+0 |
| PlPressure | 8 | 627 | 1.710000000000000E+0 |
| PlPressure | 8 | 628 | 1.710000000000000E+0 |
| PlPressure | 8 | 629 | 1.710000000000000E+0 |
| PlPressure | 8 | 630 | 1.710000000000000E+0 |
| PlPressure | 8 | 631 | 1.710000000000000E+0 |
| PlPressure | 8 | 632 | 1.710000000000000E+0 |
| PlPressure | 8 | 633 | 1.710000000000000E+0 |
| PlPressure | 8 | 634 | 1.710000000000000E+0 |
| PlPressure | 8 | 635 | 1.710000000000000E+0 |
| PlPressure | 8 | 636 | 1.710000000000000E+0 |
| PlPressure | 8 | 637 | 1.710000000000000E+0 |
| PlPressure | 8 | 638 | 1.710000000000000E+0 |
| PlPressure | 8 | 639 | 1.710000000000000E+0 |
| PlPressure | 8 | 640 | 1.710000000000000E+0 |
| PlPressure | 8 | 641 | 1.710000000000000E+0 |

Relazione di calcolo spalle

COMMESA LOTTO CODIFICA DOCUMENTO REV. FOGLIO
NM25 03 D 26 CL IV 37 04 001 A 334 di 439

| | | | |
|------------|---|-----|----------------------|
| PlPressure | 8 | 642 | 1.710000000000000E+0 |
| PlPressure | 8 | 643 | 1.710000000000000E+0 |
| PlPressure | 8 | 644 | 1.710000000000000E+0 |
| PlPressure | 8 | 645 | 1.710000000000000E+0 |
| PlPressure | 8 | 646 | 1.710000000000000E+0 |
| PlPressure | 8 | 647 | 1.710000000000000E+0 |
| PlPressure | 8 | 648 | 1.710000000000000E+0 |
| PlPressure | 8 | 649 | 1.710000000000000E+0 |
| PlPressure | 8 | 650 | 1.710000000000000E+0 |
| PlPressure | 8 | 651 | 1.710000000000000E+0 |
| PlPressure | 8 | 652 | 1.710000000000000E+0 |
| PlPressure | 8 | 653 | 1.710000000000000E+0 |
| PlPressure | 8 | 654 | 1.710000000000000E+0 |
| PlPressure | 8 | 655 | 1.710000000000000E+0 |
| PlPressure | 8 | 656 | 1.710000000000000E+0 |
| PlPressure | 8 | 657 | 1.710000000000000E+0 |
| PlPressure | 8 | 658 | 1.710000000000000E+0 |
| PlPressure | 8 | 659 | 1.710000000000000E+0 |
| PlPressure | 8 | 660 | 1.710000000000000E+0 |
| PlPressure | 8 | 661 | 1.710000000000000E+0 |
| PlPressure | 8 | 662 | 1.710000000000000E+0 |
| PlPressure | 8 | 663 | 1.710000000000000E+0 |
| PlPressure | 8 | 664 | 1.710000000000000E+0 |
| PlPressure | 8 | 665 | 1.710000000000000E+0 |
| PlPressure | 8 | 666 | 1.710000000000000E+0 |
| PlPressure | 8 | 667 | 1.710000000000000E+0 |
| PlPressure | 8 | 668 | 1.710000000000000E+0 |

Relazione di calcolo spalle

COMMESA LOTTO CODIFICA DOCUMENTO REV. FOGLIO
NM25 03 D 26 CL IV 37 04 001 A 335 di 439

| | | | |
|------------|---|-----|----------------------|
| PlPressure | 8 | 669 | 1.710000000000000E+0 |
| PlPressure | 8 | 670 | 1.710000000000000E+0 |
| PlPressure | 8 | 671 | 1.710000000000000E+0 |
| PlPressure | 8 | 672 | 1.710000000000000E+0 |
| PlPressure | 8 | 673 | 1.710000000000000E+0 |
| PlPressure | 8 | 674 | 1.710000000000000E+0 |
| PlPressure | 8 | 675 | 1.710000000000000E+0 |
| PlPressure | 8 | 676 | 1.710000000000000E+0 |
| PlPressure | 8 | 677 | 1.710000000000000E+0 |
| PlPressure | 8 | 678 | 1.710000000000000E+0 |
| PlPressure | 8 | 679 | 1.710000000000000E+0 |
| PlPressure | 8 | 680 | 1.710000000000000E+0 |
| PlPressure | 8 | 681 | 1.710000000000000E+0 |
| PlPressure | 8 | 682 | 1.710000000000000E+0 |
| PlPressure | 8 | 683 | 1.710000000000000E+0 |
| PlPressure | 8 | 684 | 1.710000000000000E+0 |
| PlPressure | 8 | 685 | 1.710000000000000E+0 |
| PlPressure | 8 | 686 | 1.710000000000000E+0 |
| PlPressure | 8 | 687 | 1.710000000000000E+0 |
| PlPressure | 8 | 688 | 1.710000000000000E+0 |
| PlPressure | 8 | 689 | 1.710000000000000E+0 |
| PlPressure | 8 | 690 | 1.710000000000000E+0 |
| PlPressure | 8 | 691 | 1.710000000000000E+0 |
| PlPressure | 8 | 692 | 1.710000000000000E+0 |
| PlPressure | 8 | 693 | 1.710000000000000E+0 |
| PlPressure | 8 | 694 | 1.710000000000000E+0 |
| PlPressure | 8 | 695 | 1.710000000000000E+0 |

Relazione di calcolo spalle

| COMMESSA | LOTTO | CODIFICA | DOCUMENTO | REV. | FOGLIO |
|----------|---------|----------|--------------|------|------------|
| NM25 | 03 D 26 | CL | IV 37 04 001 | A | 336 di 439 |

| | | | |
|------------|---|-----|----------------------|
| PlPressure | 8 | 696 | 1.710000000000000E+0 |
| PlPressure | 8 | 697 | 1.710000000000000E+0 |
| PlPressure | 8 | 698 | 1.710000000000000E+0 |
| PlPressure | 8 | 699 | 1.710000000000000E+0 |
| PlPressure | 8 | 700 | 1.710000000000000E+0 |
| PlPressure | 8 | 701 | 1.710000000000000E+0 |
| PlPressure | 8 | 702 | 1.710000000000000E+0 |
| PlPressure | 8 | 703 | 1.710000000000000E+0 |
| PlPressure | 8 | 704 | 1.710000000000000E+0 |
| PlPressure | 8 | 705 | 1.710000000000000E+0 |
| PlPressure | 8 | 706 | 1.710000000000000E+0 |
| PlPressure | 8 | 707 | 1.710000000000000E+0 |
| PlPressure | 8 | 708 | 1.710000000000000E+0 |
| PlPressure | 8 | 709 | 1.710000000000000E+0 |
| PlPressure | 8 | 710 | 1.710000000000000E+0 |
| PlPressure | 8 | 711 | 1.710000000000000E+0 |
| PlPressure | 8 | 712 | 1.710000000000000E+0 |
| PlPressure | 8 | 713 | 1.710000000000000E+0 |
| PlPressure | 8 | 714 | 1.710000000000000E+0 |
| PlPressure | 8 | 715 | 1.710000000000000E+0 |
| PlPressure | 8 | 716 | 1.710000000000000E+0 |
| PlPressure | 8 | 717 | 1.710000000000000E+0 |
| PlPressure | 8 | 718 | 1.710000000000000E+0 |
| PlPressure | 8 | 719 | 1.710000000000000E+0 |
| PlPressure | 8 | 720 | 1.710000000000000E+0 |
| PlPressure | 8 | 721 | 1.710000000000000E+0 |
| PlPressure | 8 | 722 | 1.710000000000000E+0 |

| Relazione di calcolo spalle | COMMESSA NM25 | LOTTO 03 D 26 | CODIFICA CL | DOCUMENTO IV 37 04 001 | REV. A | FOGLIO 337 di 439 |
|-----------------------------|------------------|------------------|----------------|---------------------------|-----------|----------------------|
|-----------------------------|------------------|------------------|----------------|---------------------------|-----------|----------------------|

| | | | |
|------------|---|-----|----------------------|
| PlPressure | 8 | 723 | 1.710000000000000E+0 |
| PlPressure | 8 | 724 | 1.710000000000000E+0 |
| PlPressure | 8 | 725 | 1.710000000000000E+0 |
| PlPressure | 8 | 726 | 1.710000000000000E+0 |
| PlPressure | 8 | 727 | 1.710000000000000E+0 |
| PlPressure | 8 | 728 | 1.710000000000000E+0 |
| PlPressure | 8 | 729 | 1.710000000000000E+0 |
| PlPressure | 8 | 730 | 1.710000000000000E+0 |
| PlPressure | 8 | 731 | 1.710000000000000E+0 |
| PlPressure | 8 | 732 | 1.710000000000000E+0 |
| PlPressure | 8 | 733 | 1.710000000000000E+0 |
| PlPressure | 8 | 734 | 1.710000000000000E+0 |
| PlPressure | 8 | 735 | 1.710000000000000E+0 |
| PlPressure | 8 | 736 | 1.710000000000000E+0 |
| PlPressure | 8 | 737 | 1.710000000000000E+0 |
| PlPressure | 8 | 738 | 1.710000000000000E+0 |
| PlPressure | 8 | 739 | 1.710000000000000E+0 |
| PlPressure | 8 | 740 | 1.710000000000000E+0 |
| PlPressure | 8 | 741 | 1.710000000000000E+0 |
| PlPressure | 8 | 742 | 1.710000000000000E+0 |
| PlPressure | 8 | 743 | 1.710000000000000E+0 |
| PlPressure | 8 | 744 | 1.710000000000000E+0 |
| PlPressure | 8 | 745 | 1.710000000000000E+0 |
| PlPressure | 8 | 746 | 1.710000000000000E+0 |
| PlPressure | 8 | 747 | 1.710000000000000E+0 |
| PlPressure | 8 | 748 | 1.710000000000000E+0 |
| PlPressure | 8 | 749 | 1.710000000000000E+0 |

Relazione di calcolo spalle

| | | | | | |
|----------|---------|----------|--------------|------|------------|
| COMMESSA | LOTTO | CODIFICA | DOCUMENTO | REV. | FOGLIO |
| NM25 | 03 D 26 | CL | IV 37 04 001 | A | 338 di 439 |

| | | | |
|------------|---|-----|----------------------|
| PlPressure | 8 | 750 | 1.710000000000000E+0 |
| PlPressure | 8 | 751 | 1.710000000000000E+0 |
| PlPressure | 8 | 752 | 1.710000000000000E+0 |
| PlPressure | 8 | 753 | 1.710000000000000E+0 |
| PlPressure | 8 | 754 | 1.710000000000000E+0 |
| PlPressure | 8 | 755 | 1.710000000000000E+0 |
| PlPressure | 8 | 756 | 1.710000000000000E+0 |
| PlPressure | 8 | 757 | 1.710000000000000E+0 |
| PlPressure | 8 | 758 | 1.710000000000000E+0 |
| PlPressure | 8 | 759 | 1.710000000000000E+0 |
| PlPressure | 8 | 760 | 1.710000000000000E+0 |
| PlPressure | 8 | 761 | 1.710000000000000E+0 |
| PlPressure | 8 | 762 | 1.710000000000000E+0 |
| PlPressure | 8 | 763 | 1.710000000000000E+0 |
| PlPressure | 8 | 764 | 1.710000000000000E+0 |
| PlPressure | 8 | 765 | 1.710000000000000E+0 |
| PlPressure | 8 | 766 | 1.710000000000000E+0 |
| PlPressure | 8 | 767 | 1.710000000000000E+0 |
| PlPressure | 8 | 768 | 1.710000000000000E+0 |
| PlPressure | 8 | 769 | 1.710000000000000E+0 |
| PlPressure | 8 | 770 | 1.710000000000000E+0 |
| PlPressure | 8 | 771 | 1.710000000000000E+0 |
| PlPressure | 8 | 772 | 1.710000000000000E+0 |
| PlPressure | 8 | 773 | 1.710000000000000E+0 |
| PlPressure | 8 | 774 | 1.710000000000000E+0 |
| PlPressure | 8 | 775 | 1.710000000000000E+0 |
| PlPressure | 8 | 776 | 1.710000000000000E+0 |

Relazione di calcolo spalle

COMMESA LOTTO CODIFICA DOCUMENTO REV. FOGLIO
NM25 03 D 26 CL IV 37 04 001 A 339 di 439

| | | | |
|------------|---|-----|----------------------|
| PlPressure | 8 | 777 | 1.710000000000000E+0 |
| PlPressure | 8 | 778 | 1.710000000000000E+0 |
| PlPressure | 8 | 779 | 1.710000000000000E+0 |
| PlPressure | 8 | 780 | 1.710000000000000E+0 |
| PlPressure | 8 | 781 | 1.710000000000000E+0 |
| PlPressure | 8 | 782 | 1.710000000000000E+0 |
| PlPressure | 8 | 783 | 1.710000000000000E+0 |
| PlPressure | 8 | 784 | 1.710000000000000E+0 |
| PlPressure | 8 | 785 | 1.710000000000000E+0 |
| PlPressure | 8 | 786 | 1.710000000000000E+0 |
| PlPressure | 8 | 787 | 1.710000000000000E+0 |
| PlPressure | 8 | 788 | 1.710000000000000E+0 |
| PlPressure | 8 | 789 | 1.710000000000000E+0 |
| PlPressure | 8 | 790 | 1.710000000000000E+0 |
| PlPressure | 8 | 791 | 1.710000000000000E+0 |
| PlPressure | 8 | 792 | 1.710000000000000E+0 |
| PlPressure | 8 | 793 | 1.710000000000000E+0 |
| PlPressure | 8 | 794 | 1.710000000000000E+0 |
| PlPressure | 8 | 795 | 1.710000000000000E+0 |
| PlPressure | 8 | 796 | 1.710000000000000E+0 |
| PlPressure | 8 | 797 | 1.710000000000000E+0 |
| PlPressure | 8 | 798 | 1.710000000000000E+0 |
| PlPressure | 8 | 799 | 1.710000000000000E+0 |
| PlPressure | 8 | 800 | 1.710000000000000E+0 |
| PlPressure | 8 | 801 | 1.710000000000000E+0 |
| PlPressure | 8 | 802 | 1.710000000000000E+0 |
| PlPressure | 8 | 803 | 1.710000000000000E+0 |

Relazione di calcolo spalle

COMMESA LOTTO CODIFICA DOCUMENTO REV. FOGLIO
NM25 03 D 26 CL IV 37 04 001 A 340 di 439

| | | | |
|------------|---|-----|----------------------|
| PlPressure | 8 | 804 | 1.710000000000000E+0 |
| PlPressure | 8 | 805 | 1.710000000000000E+0 |
| PlPressure | 8 | 806 | 1.710000000000000E+0 |
| PlPressure | 8 | 807 | 1.710000000000000E+0 |
| PlPressure | 8 | 808 | 1.710000000000000E+0 |
| PlPressure | 8 | 809 | 1.710000000000000E+0 |
| PlPressure | 8 | 810 | 1.710000000000000E+0 |
| PlPressure | 8 | 811 | 1.710000000000000E+0 |
| PlPressure | 8 | 812 | 1.710000000000000E+0 |
| PlPressure | 8 | 813 | 1.710000000000000E+0 |
| PlPressure | 8 | 814 | 1.710000000000000E+0 |
| PlPressure | 8 | 815 | 1.710000000000000E+0 |
| PlPressure | 8 | 816 | 1.710000000000000E+0 |
| PlPressure | 8 | 817 | 1.710000000000000E+0 |
| PlPressure | 8 | 818 | 1.710000000000000E+0 |
| PlPressure | 8 | 819 | 1.710000000000000E+0 |
| PlPressure | 8 | 820 | 1.710000000000000E+0 |
| PlPressure | 8 | 821 | 1.710000000000000E+0 |
| PlPressure | 8 | 822 | 1.710000000000000E+0 |
| PlPressure | 8 | 823 | 1.710000000000000E+0 |
| PlPressure | 8 | 824 | 1.710000000000000E+0 |
| PlPressure | 8 | 825 | 1.710000000000000E+0 |
| PlPressure | 8 | 826 | 1.710000000000000E+0 |
| PlPressure | 8 | 827 | 1.710000000000000E+0 |
| PlPressure | 8 | 828 | 1.710000000000000E+0 |
| PlPressure | 8 | 829 | 1.710000000000000E+0 |
| PlPressure | 8 | 830 | 1.710000000000000E+0 |

| | | | | | | |
|---|---|--|-----------------|------------------|----------------|---------------------------|
|  ITALFERR GRUPPO FERROVIE DELLO STATO ITALIANE | RADDOPPIO LINEA CODOGNO – CREMONA – MANTOVA TRATTA PIADENA - MANTOVA | | | | | |
| Relazione di calcolo spalle | | | COMMESA NM25 | LOTTO 03 D 26 | CODIFICA CL | DOCUMENTO IV 37 04 001 |
| | | | | | REV. A | FOGLIO 341 di 439 |

| | | | |
|------------|---|-----|----------------------|
| PlPressure | 8 | 831 | 1.710000000000000E+0 |
| PlPressure | 8 | 832 | 1.710000000000000E+0 |
| PlPressure | 8 | 833 | 1.710000000000000E+0 |
| PlPressure | 8 | 834 | 1.710000000000000E+0 |
| PlPressure | 8 | 835 | 1.710000000000000E+0 |
| PlPressure | 8 | 836 | 1.710000000000000E+0 |
| PlPressure | 8 | 837 | 1.710000000000000E+0 |
| PlPressure | 8 | 838 | 1.710000000000000E+0 |
| PlPressure | 8 | 839 | 1.710000000000000E+0 |
| PlPressure | 8 | 840 | 1.710000000000000E+0 |

/ _____

/ PLATE EDGE PRESSURES

/ SPINTA PERM

| | | | | |
|----------------|---|------|---|-----------------------|
| PlEdgePressure | 8 | 1226 | 3 | -1.710000000000000E+0 |
| PlEdgePressure | 8 | 1227 | 3 | -1.710000000000000E+0 |
| PlEdgePressure | 8 | 1228 | 2 | -1.710000000000000E+0 |
| PlEdgePressure | 8 | 1229 | 2 | -1.710000000000000E+0 |
| PlEdgePressure | 8 | 1230 | 3 | -1.710000000000000E+0 |
| PlEdgePressure | 8 | 1231 | 3 | -1.710000000000000E+0 |
| PlEdgePressure | 8 | 1232 | 2 | -1.710000000000000E+0 |

/ _____

/ PLATE FACE GLOBAL LOADS

/ SPINTA PERM

| | | | | | |
|--------------|---|-----|----------------------|----------------------|-----------------------|
| PlGlobalLoad | 8 | 926 | 0.000000000000000E+0 | 0.000000000000000E+0 | -4.000000000000000E+0 |
| PlGlobalLoad | 8 | 927 | 0.000000000000000E+0 | 0.000000000000000E+0 | -4.000000000000000E+0 |

| Relazione di calcolo spalle | | | COMMESSE NM25 | LOTTO 03 D 26 | CODIFICA CL | DOCUMENTO IV 37 04 001 | REV. A | FOGLIO 342 di 439 |
|-----------------------------|--|--|------------------|------------------|----------------|---------------------------|-----------|----------------------|
|-----------------------------|--|--|------------------|------------------|----------------|---------------------------|-----------|----------------------|

| | | | | | | | | |
|--------------|---|-----|----------------------|----------------------|-----------------------|--|--|--|
| PIGlobalLoad | 8 | 928 | 0.000000000000000E+0 | 0.000000000000000E+0 | -4.000000000000000E+0 | | | |
| PIGlobalLoad | 8 | 929 | 0.000000000000000E+0 | 0.000000000000000E+0 | -4.000000000000000E+0 | | | |
| PIGlobalLoad | 8 | 930 | 0.000000000000000E+0 | 0.000000000000000E+0 | -4.000000000000000E+0 | | | |
| PIGlobalLoad | 8 | 931 | 0.000000000000000E+0 | 0.000000000000000E+0 | -4.000000000000000E+0 | | | |
| PIGlobalLoad | 8 | 932 | 0.000000000000000E+0 | 0.000000000000000E+0 | -4.000000000000000E+0 | | | |
| PIGlobalLoad | 8 | 933 | 0.000000000000000E+0 | 0.000000000000000E+0 | -4.000000000000000E+0 | | | |
| PIGlobalLoad | 8 | 934 | 0.000000000000000E+0 | 0.000000000000000E+0 | -4.000000000000000E+0 | | | |
| PIGlobalLoad | 8 | 935 | 0.000000000000000E+0 | 0.000000000000000E+0 | -4.000000000000000E+0 | | | |
| PIGlobalLoad | 8 | 936 | 0.000000000000000E+0 | 0.000000000000000E+0 | -4.000000000000000E+0 | | | |
| PIGlobalLoad | 8 | 937 | 0.000000000000000E+0 | 0.000000000000000E+0 | -4.000000000000000E+0 | | | |
| PIGlobalLoad | 8 | 938 | 0.000000000000000E+0 | 0.000000000000000E+0 | -4.000000000000000E+0 | | | |
| PIGlobalLoad | 8 | 939 | 0.000000000000000E+0 | 0.000000000000000E+0 | -4.000000000000000E+0 | | | |
| PIGlobalLoad | 8 | 940 | 0.000000000000000E+0 | 0.000000000000000E+0 | -4.000000000000000E+0 | | | |
| PIGlobalLoad | 8 | 941 | 0.000000000000000E+0 | 0.000000000000000E+0 | -4.000000000000000E+0 | | | |
| PIGlobalLoad | 8 | 942 | 0.000000000000000E+0 | 0.000000000000000E+0 | -4.000000000000000E+0 | | | |
| PIGlobalLoad | 8 | 943 | 0.000000000000000E+0 | 0.000000000000000E+0 | -4.000000000000000E+0 | | | |
| PIGlobalLoad | 8 | 944 | 0.000000000000000E+0 | 0.000000000000000E+0 | -4.000000000000000E+0 | | | |
| PIGlobalLoad | 8 | 945 | 0.000000000000000E+0 | 0.000000000000000E+0 | -4.000000000000000E+0 | | | |
| PIGlobalLoad | 8 | 946 | 0.000000000000000E+0 | 0.000000000000000E+0 | -4.000000000000000E+0 | | | |
| PIGlobalLoad | 8 | 947 | 0.000000000000000E+0 | 0.000000000000000E+0 | -4.000000000000000E+0 | | | |
| PIGlobalLoad | 8 | 948 | 0.000000000000000E+0 | 0.000000000000000E+0 | -4.000000000000000E+0 | | | |
| PIGlobalLoad | 8 | 949 | 0.000000000000000E+0 | 0.000000000000000E+0 | -4.000000000000000E+0 | | | |
| PIGlobalLoad | 8 | 950 | 0.000000000000000E+0 | 0.000000000000000E+0 | -4.000000000000000E+0 | | | |
| PIGlobalLoad | 8 | 951 | 0.000000000000000E+0 | 0.000000000000000E+0 | -4.000000000000000E+0 | | | |
| PIGlobalLoad | 8 | 952 | 0.000000000000000E+0 | 0.000000000000000E+0 | -4.000000000000000E+0 | | | |
| PIGlobalLoad | 8 | 953 | 0.000000000000000E+0 | 0.000000000000000E+0 | -4.000000000000000E+0 | | | |
| PIGlobalLoad | 8 | 954 | 0.000000000000000E+0 | 0.000000000000000E+0 | -4.000000000000000E+0 | | | |

| Relazione di calcolo spalle | | | COMMESSE NM25 | LOTTO 03 D 26 | CODIFICA CL | DOCUMENTO IV 37 04 001 | REV. A | FOGLIO 343 di 439 |
|-----------------------------|--|--|------------------|------------------|----------------|---------------------------|-----------|----------------------|
|-----------------------------|--|--|------------------|------------------|----------------|---------------------------|-----------|----------------------|

| | | | | | | | | |
|--------------|---|------|----------------------|----------------------|-----------------------|--|--|--|
| PIGlobalLoad | 8 | 955 | 0.000000000000000E+0 | 0.000000000000000E+0 | -4.000000000000000E+0 | | | |
| PIGlobalLoad | 8 | 956 | 0.000000000000000E+0 | 0.000000000000000E+0 | -4.000000000000000E+0 | | | |
| PIGlobalLoad | 8 | 957 | 0.000000000000000E+0 | 0.000000000000000E+0 | -4.000000000000000E+0 | | | |
| PIGlobalLoad | 8 | 958 | 0.000000000000000E+0 | 0.000000000000000E+0 | -4.000000000000000E+0 | | | |
| PIGlobalLoad | 8 | 959 | 0.000000000000000E+0 | 0.000000000000000E+0 | -4.000000000000000E+0 | | | |
| PIGlobalLoad | 8 | 960 | 0.000000000000000E+0 | 0.000000000000000E+0 | -4.000000000000000E+0 | | | |
| PIGlobalLoad | 8 | 961 | 0.000000000000000E+0 | 0.000000000000000E+0 | -4.000000000000000E+0 | | | |
| PIGlobalLoad | 8 | 962 | 0.000000000000000E+0 | 0.000000000000000E+0 | -4.000000000000000E+0 | | | |
| PIGlobalLoad | 8 | 963 | 0.000000000000000E+0 | 0.000000000000000E+0 | -4.000000000000000E+0 | | | |
| PIGlobalLoad | 8 | 964 | 0.000000000000000E+0 | 0.000000000000000E+0 | -4.000000000000000E+0 | | | |
| PIGlobalLoad | 8 | 965 | 0.000000000000000E+0 | 0.000000000000000E+0 | -4.000000000000000E+0 | | | |
| PIGlobalLoad | 8 | 966 | 0.000000000000000E+0 | 0.000000000000000E+0 | -4.000000000000000E+0 | | | |
| PIGlobalLoad | 8 | 967 | 0.000000000000000E+0 | 0.000000000000000E+0 | -4.000000000000000E+0 | | | |
| PIGlobalLoad | 8 | 968 | 0.000000000000000E+0 | 0.000000000000000E+0 | -4.000000000000000E+0 | | | |
| PIGlobalLoad | 8 | 969 | 0.000000000000000E+0 | 0.000000000000000E+0 | -4.000000000000000E+0 | | | |
| PIGlobalLoad | 8 | 970 | 0.000000000000000E+0 | 0.000000000000000E+0 | -4.000000000000000E+0 | | | |
| PIGlobalLoad | 8 | 971 | 0.000000000000000E+0 | 0.000000000000000E+0 | -4.000000000000000E+0 | | | |
| PIGlobalLoad | 8 | 972 | 0.000000000000000E+0 | 0.000000000000000E+0 | -4.000000000000000E+0 | | | |
| PIGlobalLoad | 8 | 973 | 0.000000000000000E+0 | 0.000000000000000E+0 | -4.000000000000000E+0 | | | |
| PIGlobalLoad | 8 | 974 | 0.000000000000000E+0 | 0.000000000000000E+0 | -4.000000000000000E+0 | | | |
| PIGlobalLoad | 8 | 975 | 0.000000000000000E+0 | 0.000000000000000E+0 | -4.000000000000000E+0 | | | |
| PIGlobalLoad | 8 | 976 | 0.000000000000000E+0 | 0.000000000000000E+0 | -4.000000000000000E+0 | | | |
| PIGlobalLoad | 8 | 1196 | 0.000000000000000E+0 | 0.000000000000000E+0 | -4.000000000000000E+0 | | | |
| PIGlobalLoad | 8 | 1197 | 0.000000000000000E+0 | 0.000000000000000E+0 | -4.000000000000000E+0 | | | |
| PIGlobalLoad | 8 | 1198 | 0.000000000000000E+0 | 0.000000000000000E+0 | -4.000000000000000E+0 | | | |
| PIGlobalLoad | 8 | 1199 | 0.000000000000000E+0 | 0.000000000000000E+0 | -4.000000000000000E+0 | | | |
| PIGlobalLoad | 8 | 1200 | 0.000000000000000E+0 | 0.000000000000000E+0 | -4.000000000000000E+0 | | | |

| Relazione di calcolo spalle | COMMESSE NM25 | LOTTO 03 D 26 | CODIFICA CL | DOCUMENTO IV 37 04 001 | REV. A | FOGLIO 344 di 439 |
|-----------------------------|------------------|------------------|----------------|---------------------------|-----------|----------------------|
|-----------------------------|------------------|------------------|----------------|---------------------------|-----------|----------------------|

| | | | | | | |
|--------------|---|------|----------------------|----------------------|-----------------------|--|
| PIGlobalLoad | 8 | 1201 | 0.000000000000000E+0 | 0.000000000000000E+0 | -4.000000000000000E+0 | |
| PIGlobalLoad | 8 | 1202 | 0.000000000000000E+0 | 0.000000000000000E+0 | -4.000000000000000E+0 | |
| PIGlobalLoad | 8 | 1203 | 0.000000000000000E+0 | 0.000000000000000E+0 | -4.000000000000000E+0 | |
| PIGlobalLoad | 8 | 1204 | 0.000000000000000E+0 | 0.000000000000000E+0 | -4.000000000000000E+0 | |
| PIGlobalLoad | 8 | 1205 | 0.000000000000000E+0 | 0.000000000000000E+0 | -4.000000000000000E+0 | |
| PIGlobalLoad | 8 | 1206 | 0.000000000000000E+0 | 0.000000000000000E+0 | -4.000000000000000E+0 | |
| PIGlobalLoad | 8 | 1207 | 0.000000000000000E+0 | 0.000000000000000E+0 | -4.000000000000000E+0 | |
| PIGlobalLoad | 8 | 1208 | 0.000000000000000E+0 | 0.000000000000000E+0 | -4.000000000000000E+0 | |
| PIGlobalLoad | 8 | 1209 | 0.000000000000000E+0 | 0.000000000000000E+0 | -4.000000000000000E+0 | |
| PIGlobalLoad | 8 | 1210 | 0.000000000000000E+0 | 0.000000000000000E+0 | -4.000000000000000E+0 | |
| PIGlobalLoad | 8 | 1211 | 0.000000000000000E+0 | 0.000000000000000E+0 | -4.000000000000000E+0 | |
| PIGlobalLoad | 8 | 1212 | 0.000000000000000E+0 | 0.000000000000000E+0 | -4.000000000000000E+0 | |
| PIGlobalLoad | 8 | 1213 | 0.000000000000000E+0 | 0.000000000000000E+0 | -4.000000000000000E+0 | |
| PIGlobalLoad | 8 | 1214 | 0.000000000000000E+0 | 0.000000000000000E+0 | -4.000000000000000E+0 | |
| PIGlobalLoad | 8 | 1215 | 0.000000000000000E+0 | 0.000000000000000E+0 | -4.000000000000000E+0 | |
| PIGlobalLoad | 8 | 1216 | 0.000000000000000E+0 | 0.000000000000000E+0 | -4.000000000000000E+0 | |
| PIGlobalLoad | 8 | 1217 | 0.000000000000000E+0 | 0.000000000000000E+0 | -4.000000000000000E+0 | |
| PIGlobalLoad | 8 | 1218 | 0.000000000000000E+0 | 0.000000000000000E+0 | -4.000000000000000E+0 | |
| PIGlobalLoad | 8 | 1219 | 0.000000000000000E+0 | 0.000000000000000E+0 | -4.000000000000000E+0 | |
| PIGlobalLoad | 8 | 1220 | 0.000000000000000E+0 | 0.000000000000000E+0 | -4.000000000000000E+0 | |
| PIGlobalLoad | 8 | 1221 | 0.000000000000000E+0 | 0.000000000000000E+0 | -4.000000000000000E+0 | |
| PIGlobalLoad | 8 | 1222 | 0.000000000000000E+0 | 0.000000000000000E+0 | -4.000000000000000E+0 | |
| PIGlobalLoad | 8 | 1223 | 0.000000000000000E+0 | 0.000000000000000E+0 | -4.000000000000000E+0 | |
| PIGlobalLoad | 8 | 1224 | 0.000000000000000E+0 | 0.000000000000000E+0 | -4.000000000000000E+0 | |
| PIGlobalLoad | 8 | 1225 | 0.000000000000000E+0 | 0.000000000000000E+0 | -4.000000000000000E+0 | |
| PIGlobalLoad | 8 | 1226 | 0.000000000000000E+0 | 0.000000000000000E+0 | -4.000000000000000E+0 | |
| PIGlobalLoad | 8 | 1227 | 0.000000000000000E+0 | 0.000000000000000E+0 | -4.000000000000000E+0 | |

| Relazione di calcolo spalle | COMMESSE NM25 | LOTTO 03 D 26 | CODIFICA CL | DOCUMENTO IV 37 04 001 | REV. A | FOGLIO 345 di 439 |
|-----------------------------|------------------|------------------|----------------|---------------------------|-----------|----------------------|
|-----------------------------|------------------|------------------|----------------|---------------------------|-----------|----------------------|

| | | | | | | |
|--------------|---|------|----------------------|----------------------|-----------------------|--|
| PIGlobalLoad | 8 | 1228 | 0.000000000000000E+0 | 0.000000000000000E+0 | -4.000000000000000E+0 | |
| PIGlobalLoad | 8 | 1229 | 0.000000000000000E+0 | 0.000000000000000E+0 | -4.000000000000000E+0 | |
| PIGlobalLoad | 8 | 1230 | 0.000000000000000E+0 | 0.000000000000000E+0 | -4.000000000000000E+0 | |
| PIGlobalLoad | 8 | 1231 | 0.000000000000000E+0 | 0.000000000000000E+0 | -4.000000000000000E+0 | |
| PIGlobalLoad | 8 | 1232 | 0.000000000000000E+0 | 0.000000000000000E+0 | -4.000000000000000E+0 | |
| PIGlobalLoad | 8 | 1233 | 0.000000000000000E+0 | 0.000000000000000E+0 | -4.000000000000000E+0 | |
| PIGlobalLoad | 8 | 1234 | 0.000000000000000E+0 | 0.000000000000000E+0 | -4.000000000000000E+0 | |
| PIGlobalLoad | 8 | 1235 | 0.000000000000000E+0 | 0.000000000000000E+0 | -4.000000000000000E+0 | |
| PIGlobalLoad | 8 | 1236 | 0.000000000000000E+0 | 0.000000000000000E+0 | -4.000000000000000E+0 | |
| PIGlobalLoad | 8 | 1237 | 0.000000000000000E+0 | 0.000000000000000E+0 | -4.000000000000000E+0 | |
| PIGlobalLoad | 8 | 1238 | 0.000000000000000E+0 | 0.000000000000000E+0 | -4.000000000000000E+0 | |
| PIGlobalLoad | 8 | 1239 | 0.000000000000000E+0 | 0.000000000000000E+0 | -4.000000000000000E+0 | |
| PIGlobalLoad | 8 | 1240 | 0.000000000000000E+0 | 0.000000000000000E+0 | -4.000000000000000E+0 | |
| PIGlobalLoad | 8 | 1241 | 0.000000000000000E+0 | 0.000000000000000E+0 | -4.000000000000000E+0 | |
| PIGlobalLoad | 8 | 1242 | 0.000000000000000E+0 | 0.000000000000000E+0 | -4.000000000000000E+0 | |
| PIGlobalLoad | 8 | 1243 | 0.000000000000000E+0 | 0.000000000000000E+0 | -4.000000000000000E+0 | |
| PIGlobalLoad | 8 | 1244 | 0.000000000000000E+0 | 0.000000000000000E+0 | -4.000000000000000E+0 | |
| PIGlobalLoad | 8 | 1245 | 0.000000000000000E+0 | 0.000000000000000E+0 | -4.000000000000000E+0 | |
| PIGlobalLoad | 8 | 1246 | 0.000000000000000E+0 | 0.000000000000000E+0 | -4.000000000000000E+0 | |
| PIGlobalLoad | 8 | 1247 | 0.000000000000000E+0 | 0.000000000000000E+0 | -4.000000000000000E+0 | |
| PIGlobalLoad | 8 | 1248 | 0.000000000000000E+0 | 0.000000000000000E+0 | -4.000000000000000E+0 | |
| PIGlobalLoad | 8 | 1249 | 0.000000000000000E+0 | 0.000000000000000E+0 | -4.000000000000000E+0 | |
| PIGlobalLoad | 8 | 1250 | 0.000000000000000E+0 | 0.000000000000000E+0 | -4.000000000000000E+0 | |
| PIGlobalLoad | 8 | 1251 | 0.000000000000000E+0 | 0.000000000000000E+0 | -4.000000000000000E+0 | |
| PIGlobalLoad | 8 | 1252 | 0.000000000000000E+0 | 0.000000000000000E+0 | -4.000000000000000E+0 | |
| PIGlobalLoad | 8 | 1253 | 0.000000000000000E+0 | 0.000000000000000E+0 | -4.000000000000000E+0 | |
| PIGlobalLoad | 8 | 1254 | 0.000000000000000E+0 | 0.000000000000000E+0 | -4.000000000000000E+0 | |

| Relazione di calcolo spalle | | | | COMMESSE | LOTTO | CODIFICA | DOCUMENTO | REV. | FOGLIO |
|-----------------------------|--|------|---------|----------|-------|--------------|-----------|------------|--------|
| | | NM25 | 03 D 26 | CL | | IV 37 04 001 | A | 346 di 439 | |

| | | | | | | | | | |
|--------------|---|------|----------------------|----------------------|-----------------------|--|--|--|--|
| PIGlobalLoad | 8 | 1255 | 0.000000000000000E+0 | 0.000000000000000E+0 | -4.000000000000000E+0 | | | | |
| PIGlobalLoad | 8 | 1256 | 0.000000000000000E+0 | 0.000000000000000E+0 | -4.000000000000000E+0 | | | | |
| PIGlobalLoad | 8 | 1257 | 0.000000000000000E+0 | 0.000000000000000E+0 | -4.000000000000000E+0 | | | | |
| PIGlobalLoad | 8 | 1258 | 0.000000000000000E+0 | 0.000000000000000E+0 | -4.000000000000000E+0 | | | | |
| PIGlobalLoad | 8 | 1259 | 0.000000000000000E+0 | 0.000000000000000E+0 | -4.000000000000000E+0 | | | | |
| PIGlobalLoad | 8 | 1260 | 0.000000000000000E+0 | 0.000000000000000E+0 | -4.000000000000000E+0 | | | | |
| PIGlobalLoad | 8 | 1261 | 0.000000000000000E+0 | 0.000000000000000E+0 | -4.000000000000000E+0 | | | | |
| PIGlobalLoad | 8 | 1262 | 0.000000000000000E+0 | 0.000000000000000E+0 | -4.000000000000000E+0 | | | | |
| PIGlobalLoad | 8 | 1263 | 0.000000000000000E+0 | 0.000000000000000E+0 | -4.000000000000000E+0 | | | | |
| PIGlobalLoad | 8 | 1264 | 0.000000000000000E+0 | 0.000000000000000E+0 | -4.000000000000000E+0 | | | | |
| PIGlobalLoad | 8 | 1265 | 0.000000000000000E+0 | 0.000000000000000E+0 | -4.000000000000000E+0 | | | | |
| PIGlobalLoad | 8 | 1266 | 0.000000000000000E+0 | 0.000000000000000E+0 | -4.000000000000000E+0 | | | | |
| PIGlobalLoad | 8 | 1267 | 0.000000000000000E+0 | 0.000000000000000E+0 | -4.000000000000000E+0 | | | | |
| PIGlobalLoad | 8 | 1268 | 0.000000000000000E+0 | 0.000000000000000E+0 | -4.000000000000000E+0 | | | | |
| PIGlobalLoad | 8 | 1269 | 0.000000000000000E+0 | 0.000000000000000E+0 | -4.000000000000000E+0 | | | | |
| PIGlobalLoad | 8 | 1270 | 0.000000000000000E+0 | 0.000000000000000E+0 | -4.000000000000000E+0 | | | | |
| PIGlobalLoad | 8 | 1271 | 0.000000000000000E+0 | 0.000000000000000E+0 | -4.000000000000000E+0 | | | | |
| PIGlobalLoad | 8 | 1272 | 0.000000000000000E+0 | 0.000000000000000E+0 | -4.000000000000000E+0 | | | | |
| PIGlobalLoad | 8 | 1273 | 0.000000000000000E+0 | 0.000000000000000E+0 | -4.000000000000000E+0 | | | | |
| PIGlobalLoad | 8 | 1274 | 0.000000000000000E+0 | 0.000000000000000E+0 | -4.000000000000000E+0 | | | | |
| PIGlobalLoad | 8 | 1275 | 0.000000000000000E+0 | 0.000000000000000E+0 | -4.000000000000000E+0 | | | | |
| PIGlobalLoad | 8 | 1276 | 0.000000000000000E+0 | 0.000000000000000E+0 | -4.000000000000000E+0 | | | | |
| PIGlobalLoad | 8 | 1277 | 0.000000000000000E+0 | 0.000000000000000E+0 | -4.000000000000000E+0 | | | | |
| PIGlobalLoad | 8 | 1278 | 0.000000000000000E+0 | 0.000000000000000E+0 | -4.000000000000000E+0 | | | | |
| PIGlobalLoad | 8 | 1279 | 0.000000000000000E+0 | 0.000000000000000E+0 | -4.000000000000000E+0 | | | | |
| PIGlobalLoad | 8 | 1280 | 0.000000000000000E+0 | 0.000000000000000E+0 | -4.000000000000000E+0 | | | | |
| PIGlobalLoad | 8 | 1281 | 0.000000000000000E+0 | 0.000000000000000E+0 | -4.000000000000000E+0 | | | | |

| Relazione di calcolo spalle | | | | COMMESSE | LOTTO | CODIFICA | DOCUMENTO | REV. | FOGLIO |
|-----------------------------|--|------|---------|----------|-------|--------------|-----------|------------|--------|
| | | NM25 | 03 D 26 | CL | | IV 37 04 001 | A | 347 di 439 | |

| | | | | | | | | | |
|--------------|---|------|----------------------|----------------------|-----------------------|--|--|--|--|
| PIGlobalLoad | 8 | 1282 | 0.000000000000000E+0 | 0.000000000000000E+0 | -4.000000000000000E+0 | | | | |
| PIGlobalLoad | 8 | 1283 | 0.000000000000000E+0 | 0.000000000000000E+0 | -4.000000000000000E+0 | | | | |
| PIGlobalLoad | 8 | 1284 | 0.000000000000000E+0 | 0.000000000000000E+0 | -4.000000000000000E+0 | | | | |
| PIGlobalLoad | 8 | 1285 | 0.000000000000000E+0 | 0.000000000000000E+0 | -4.000000000000000E+0 | | | | |
| PIGlobalLoad | 8 | 1286 | 0.000000000000000E+0 | 0.000000000000000E+0 | -4.000000000000000E+0 | | | | |
| PIGlobalLoad | 8 | 1287 | 0.000000000000000E+0 | 0.000000000000000E+0 | -4.000000000000000E+0 | | | | |
| PIGlobalLoad | 8 | 1288 | 0.000000000000000E+0 | 0.000000000000000E+0 | -4.000000000000000E+0 | | | | |
| PIGlobalLoad | 8 | 1289 | 0.000000000000000E+0 | 0.000000000000000E+0 | -4.000000000000000E+0 | | | | |
| PIGlobalLoad | 8 | 1290 | 0.000000000000000E+0 | 0.000000000000000E+0 | -4.000000000000000E+0 | | | | |
| PIGlobalLoad | 8 | 1291 | 0.000000000000000E+0 | 0.000000000000000E+0 | -4.000000000000000E+0 | | | | |
| PIGlobalLoad | 8 | 1292 | 0.000000000000000E+0 | 0.000000000000000E+0 | -4.000000000000000E+0 | | | | |
| PIGlobalLoad | 8 | 1293 | 0.000000000000000E+0 | 0.000000000000000E+0 | -4.000000000000000E+0 | | | | |
| PIGlobalLoad | 8 | 1294 | 0.000000000000000E+0 | 0.000000000000000E+0 | -4.000000000000000E+0 | | | | |
| PIGlobalLoad | 8 | 1295 | 0.000000000000000E+0 | 0.000000000000000E+0 | -4.000000000000000E+0 | | | | |
| PIGlobalLoad | 8 | 1296 | 0.000000000000000E+0 | 0.000000000000000E+0 | -4.000000000000000E+0 | | | | |
| PIGlobalLoad | 8 | 1297 | 0.000000000000000E+0 | 0.000000000000000E+0 | -4.000000000000000E+0 | | | | |
| PIGlobalLoad | 8 | 1298 | 0.000000000000000E+0 | 0.000000000000000E+0 | -4.000000000000000E+0 | | | | |
| PIGlobalLoad | 8 | 1299 | 0.000000000000000E+0 | 0.000000000000000E+0 | -4.000000000000000E+0 | | | | |
| PIGlobalLoad | 8 | 1300 | 0.000000000000000E+0 | 0.000000000000000E+0 | -4.000000000000000E+0 | | | | |
| PIGlobalLoad | 8 | 1301 | 0.000000000000000E+0 | 0.000000000000000E+0 | -4.000000000000000E+0 | | | | |
| PIGlobalLoad | 8 | 1302 | 0.000000000000000E+0 | 0.000000000000000E+0 | -4.000000000000000E+0 | | | | |
| PIGlobalLoad | 8 | 1303 | 0.000000000000000E+0 | 0.000000000000000E+0 | -4.000000000000000E+0 | | | | |
| PIGlobalLoad | 8 | 1304 | 0.000000000000000E+0 | 0.000000000000000E+0 | -4.000000000000000E+0 | | | | |
| PIGlobalLoad | 8 | 1305 | 0.000000000000000E+0 | 0.000000000000000E+0 | -4.000000000000000E+0 | | | | |
| PIGlobalLoad | 8 | 1306 | 0.000000000000000E+0 | 0.000000000000000E+0 | -4.000000000000000E+0 | | | | |
| PIGlobalLoad | 8 | 1307 | 0.000000000000000E+0 | 0.000000000000000E+0 | -4.000000000000000E+0 | | | | |
| PIGlobalLoad | 8 | 1308 | 0.000000000000000E+0 | 0.000000000000000E+0 | -4.000000000000000E+0 | | | | |

| Relazione di calcolo spalle | COMMESSE NM25 | LOTTO 03 D 26 | CODIFICA CL | DOCUMENTO IV 37 04 001 | REV. A | FOGLIO 348 di 439 |
|-----------------------------|------------------|------------------|----------------|---------------------------|-----------|----------------------|
|-----------------------------|------------------|------------------|----------------|---------------------------|-----------|----------------------|

| | | | | | | |
|--------------|---|------|----------------------|----------------------|-----------------------|--|
| PIGlobalLoad | 8 | 1309 | 0.000000000000000E+0 | 0.000000000000000E+0 | -4.000000000000000E+0 | |
| PIGlobalLoad | 8 | 1310 | 0.000000000000000E+0 | 0.000000000000000E+0 | -4.000000000000000E+0 | |
| PIGlobalLoad | 8 | 1311 | 0.000000000000000E+0 | 0.000000000000000E+0 | -4.000000000000000E+0 | |
| PIGlobalLoad | 8 | 1312 | 0.000000000000000E+0 | 0.000000000000000E+0 | -4.000000000000000E+0 | |
| PIGlobalLoad | 8 | 1313 | 0.000000000000000E+0 | 0.000000000000000E+0 | -4.000000000000000E+0 | |
| PIGlobalLoad | 8 | 1314 | 0.000000000000000E+0 | 0.000000000000000E+0 | -4.000000000000000E+0 | |
| PIGlobalLoad | 8 | 1315 | 0.000000000000000E+0 | 0.000000000000000E+0 | -4.000000000000000E+0 | |
| PIGlobalLoad | 8 | 1316 | 0.000000000000000E+0 | 0.000000000000000E+0 | -4.000000000000000E+0 | |
| PIGlobalLoad | 8 | 1317 | 0.000000000000000E+0 | 0.000000000000000E+0 | -4.000000000000000E+0 | |
| PIGlobalLoad | 8 | 1318 | 0.000000000000000E+0 | 0.000000000000000E+0 | -4.000000000000000E+0 | |
| PIGlobalLoad | 8 | 1319 | 0.000000000000000E+0 | 0.000000000000000E+0 | -4.000000000000000E+0 | |
| PIGlobalLoad | 8 | 1320 | 0.000000000000000E+0 | 0.000000000000000E+0 | -4.000000000000000E+0 | |
| PIGlobalLoad | 8 | 1321 | 0.000000000000000E+0 | 0.000000000000000E+0 | -4.000000000000000E+0 | |
| PIGlobalLoad | 8 | 1322 | 0.000000000000000E+0 | 0.000000000000000E+0 | -4.000000000000000E+0 | |
| PIGlobalLoad | 8 | 1323 | 0.000000000000000E+0 | 0.000000000000000E+0 | -4.000000000000000E+0 | |
| PIGlobalLoad | 8 | 1324 | 0.000000000000000E+0 | 0.000000000000000E+0 | -4.000000000000000E+0 | |
| PIGlobalLoad | 8 | 1325 | 0.000000000000000E+0 | 0.000000000000000E+0 | -4.000000000000000E+0 | |
| PIGlobalLoad | 8 | 1326 | 0.000000000000000E+0 | 0.000000000000000E+0 | -4.000000000000000E+0 | |
| PIGlobalLoad | 8 | 1327 | 0.000000000000000E+0 | 0.000000000000000E+0 | -4.000000000000000E+0 | |
| PIGlobalLoad | 8 | 1328 | 0.000000000000000E+0 | 0.000000000000000E+0 | -4.000000000000000E+0 | |
| PIGlobalLoad | 8 | 1329 | 0.000000000000000E+0 | 0.000000000000000E+0 | -4.000000000000000E+0 | |
| PIGlobalLoad | 8 | 1330 | 0.000000000000000E+0 | 0.000000000000000E+0 | -4.000000000000000E+0 | |
| PIGlobalLoad | 8 | 1331 | 0.000000000000000E+0 | 0.000000000000000E+0 | -4.000000000000000E+0 | |
| PIGlobalLoad | 8 | 1332 | 0.000000000000000E+0 | 0.000000000000000E+0 | -4.000000000000000E+0 | |
| PIGlobalLoad | 8 | 1333 | 0.000000000000000E+0 | 0.000000000000000E+0 | -4.000000000000000E+0 | |
| PIGlobalLoad | 8 | 1334 | 0.000000000000000E+0 | 0.000000000000000E+0 | -4.000000000000000E+0 | |
| PIGlobalLoad | 8 | 1335 | 0.000000000000000E+0 | 0.000000000000000E+0 | -4.000000000000000E+0 | |

| Relazione di calcolo spalle | COMMESSA NM25 | LOTTO 03 D 26 | CODIFICA CL | DOCUMENTO IV 37 04 001 | REV. A | FOGLIO 349 di 439 |
|-----------------------------|------------------|------------------|----------------|---------------------------|-----------|----------------------|
|-----------------------------|------------------|------------------|----------------|---------------------------|-----------|----------------------|

| | | | | | |
|--------------|---|------|----------------------|----------------------|-----------------------|
| PIGlobalLoad | 8 | 1336 | 0.000000000000000E+0 | 0.000000000000000E+0 | -4.000000000000000E+0 |
| PIGlobalLoad | 8 | 1337 | 0.000000000000000E+0 | 0.000000000000000E+0 | -4.000000000000000E+0 |
| PIGlobalLoad | 8 | 1338 | 0.000000000000000E+0 | 0.000000000000000E+0 | -4.000000000000000E+0 |
| PIGlobalLoad | 8 | 1339 | 0.000000000000000E+0 | 0.000000000000000E+0 | -4.000000000000000E+0 |
| PIGlobalLoad | 8 | 1340 | 0.000000000000000E+0 | 0.000000000000000E+0 | -4.000000000000000E+0 |
| PIGlobalLoad | 8 | 1341 | 0.000000000000000E+0 | 0.000000000000000E+0 | -4.000000000000000E+0 |
| PIGlobalLoad | 8 | 1342 | 0.000000000000000E+0 | 0.000000000000000E+0 | -4.000000000000000E+0 |
| PIGlobalLoad | 8 | 1343 | 0.000000000000000E+0 | 0.000000000000000E+0 | -4.000000000000000E+0 |
| PIGlobalLoad | 8 | 1344 | 0.000000000000000E+0 | 0.000000000000000E+0 | -4.000000000000000E+0 |
| PIGlobalLoad | 8 | 1345 | 0.000000000000000E+0 | 0.000000000000000E+0 | -4.000000000000000E+0 |

/ PLATE FACE PRESSURES

/ SPINTA ACC

| | | | |
|------------|---|----|----------------------|
| PIPressure | 9 | 1 | 2.130000000000000E+0 |
| PIPressure | 9 | 2 | 2.130000000000000E+0 |
| PIPressure | 9 | 3 | 2.130000000000000E+0 |
| PIPressure | 9 | 4 | 2.130000000000000E+0 |
| PIPressure | 9 | 5 | 2.130000000000000E+0 |
| PIPressure | 9 | 6 | 2.130000000000000E+0 |
| PIPressure | 9 | 7 | 2.130000000000000E+0 |
| PIPressure | 9 | 8 | 2.130000000000000E+0 |
| PIPressure | 9 | 9 | 2.130000000000000E+0 |
| PIPressure | 9 | 10 | 2.130000000000000E+0 |
| PIPressure | 9 | 11 | 2.130000000000000E+0 |
| PIPressure | 9 | 12 | 2.130000000000000E+0 |

Relazione di calcolo spalle

COMMESA LOTTO CODIFICA DOCUMENTO REV. FOGLIO
NM25 03 D 26 CL IV 37 04 001 A 350 di 439

| | | | |
|------------|---|----|----------------------|
| PlPressure | 9 | 13 | 2.130000000000000E+0 |
| PlPressure | 9 | 14 | 2.130000000000000E+0 |
| PlPressure | 9 | 15 | 2.130000000000000E+0 |
| PlPressure | 9 | 16 | 2.130000000000000E+0 |
| PlPressure | 9 | 17 | 2.130000000000000E+0 |
| PlPressure | 9 | 18 | 2.130000000000000E+0 |
| PlPressure | 9 | 19 | 2.130000000000000E+0 |
| PlPressure | 9 | 20 | 2.130000000000000E+0 |
| PlPressure | 9 | 21 | 2.130000000000000E+0 |
| PlPressure | 9 | 22 | 2.130000000000000E+0 |
| PlPressure | 9 | 23 | 2.130000000000000E+0 |
| PlPressure | 9 | 24 | 2.130000000000000E+0 |
| PlPressure | 9 | 25 | 2.130000000000000E+0 |
| PlPressure | 9 | 26 | 2.130000000000000E+0 |
| PlPressure | 9 | 27 | 2.130000000000000E+0 |
| PlPressure | 9 | 28 | 2.130000000000000E+0 |
| PlPressure | 9 | 29 | 2.130000000000000E+0 |
| PlPressure | 9 | 30 | 2.130000000000000E+0 |
| PlPressure | 9 | 31 | 2.130000000000000E+0 |
| PlPressure | 9 | 32 | 2.130000000000000E+0 |
| PlPressure | 9 | 33 | 2.130000000000000E+0 |
| PlPressure | 9 | 34 | 2.130000000000000E+0 |
| PlPressure | 9 | 35 | 2.130000000000000E+0 |
| PlPressure | 9 | 36 | 2.130000000000000E+0 |
| PlPressure | 9 | 37 | 2.130000000000000E+0 |
| PlPressure | 9 | 38 | 2.130000000000000E+0 |
| PlPressure | 9 | 39 | 2.130000000000000E+0 |

Relazione di calcolo spalle

| COMMESMA | LOTTO | CODIFICA | DOCUMENTO | REV. | FOGLIO |
|----------|---------|----------|--------------|------|------------|
| NM25 | 03 D 26 | CL | IV 37 04 001 | A | 351 di 439 |

| | | | |
|------------|---|----|----------------------|
| PIPressure | 9 | 40 | 2.130000000000000E+0 |
| PIPressure | 9 | 41 | 2.130000000000000E+0 |
| PIPressure | 9 | 42 | 2.130000000000000E+0 |
| PIPressure | 9 | 43 | 2.130000000000000E+0 |
| PIPressure | 9 | 44 | 2.130000000000000E+0 |
| PIPressure | 9 | 45 | 2.130000000000000E+0 |
| PIPressure | 9 | 46 | 2.130000000000000E+0 |
| PIPressure | 9 | 47 | 2.130000000000000E+0 |
| PIPressure | 9 | 48 | 2.130000000000000E+0 |
| PIPressure | 9 | 49 | 2.130000000000000E+0 |
| PIPressure | 9 | 50 | 2.130000000000000E+0 |
| PIPressure | 9 | 51 | 2.130000000000000E+0 |
| PIPressure | 9 | 52 | 2.130000000000000E+0 |
| PIPressure | 9 | 53 | 2.130000000000000E+0 |
| PIPressure | 9 | 54 | 2.130000000000000E+0 |
| PIPressure | 9 | 55 | 2.130000000000000E+0 |
| PIPressure | 9 | 56 | 2.130000000000000E+0 |
| PIPressure | 9 | 57 | 2.130000000000000E+0 |
| PIPressure | 9 | 58 | 2.130000000000000E+0 |
| PIPressure | 9 | 59 | 2.130000000000000E+0 |
| PIPressure | 9 | 60 | 2.130000000000000E+0 |
| PIPressure | 9 | 61 | 2.130000000000000E+0 |
| PIPressure | 9 | 62 | 2.130000000000000E+0 |
| PIPressure | 9 | 63 | 2.130000000000000E+0 |
| PIPressure | 9 | 64 | 2.130000000000000E+0 |
| PIPressure | 9 | 65 | 2.130000000000000E+0 |
| PIPressure | 9 | 66 | 2.130000000000000E+0 |

Relazione di calcolo spalle

| COMMESA | LOTTO | CODIFICA | DOCUMENTO | REV. | FOGLIO |
|---------|---------|----------|--------------|------|------------|
| NM25 | 03 D 26 | CL | IV 37 04 001 | A | 352 di 439 |

| | | | |
|------------|---|----|----------------------|
| PIPressure | 9 | 67 | 2.130000000000000E+0 |
| PIPressure | 9 | 68 | 2.130000000000000E+0 |
| PIPressure | 9 | 69 | 2.130000000000000E+0 |
| PIPressure | 9 | 70 | 2.130000000000000E+0 |
| PIPressure | 9 | 71 | 2.130000000000000E+0 |
| PIPressure | 9 | 72 | 2.130000000000000E+0 |
| PIPressure | 9 | 73 | 2.130000000000000E+0 |
| PIPressure | 9 | 74 | 2.130000000000000E+0 |
| PIPressure | 9 | 75 | 2.130000000000000E+0 |
| PIPressure | 9 | 76 | 2.130000000000000E+0 |
| PIPressure | 9 | 77 | 2.130000000000000E+0 |
| PIPressure | 9 | 78 | 2.130000000000000E+0 |
| PIPressure | 9 | 79 | 2.130000000000000E+0 |
| PIPressure | 9 | 80 | 2.130000000000000E+0 |
| PIPressure | 9 | 81 | 2.130000000000000E+0 |
| PIPressure | 9 | 82 | 2.130000000000000E+0 |
| PIPressure | 9 | 83 | 2.130000000000000E+0 |
| PIPressure | 9 | 84 | 2.130000000000000E+0 |
| PIPressure | 9 | 85 | 2.130000000000000E+0 |
| PIPressure | 9 | 86 | 2.130000000000000E+0 |
| PIPressure | 9 | 87 | 2.130000000000000E+0 |
| PIPressure | 9 | 88 | 2.130000000000000E+0 |
| PIPressure | 9 | 89 | 2.130000000000000E+0 |
| PIPressure | 9 | 90 | 2.130000000000000E+0 |
| PIPressure | 9 | 91 | 2.130000000000000E+0 |
| PIPressure | 9 | 92 | 2.130000000000000E+0 |
| PIPressure | 9 | 93 | 2.130000000000000E+0 |

Relazione di calcolo spalle

| | | | |
|---------|---------|----------|--------------|
| COMMESA | LOTTO | CODIFICA | DOCUMENTO |
| NM25 | 03 D 26 | CL | IV 37 04 001 |

| | |
|------|------------|
| REV. | FOGLIO |
| A | 353 di 439 |

| | | | |
|------------|---|-----|----------------------|
| PIPressure | 9 | 94 | 2.130000000000000E+0 |
| PIPressure | 9 | 95 | 2.130000000000000E+0 |
| PIPressure | 9 | 96 | 2.130000000000000E+0 |
| PIPressure | 9 | 97 | 2.130000000000000E+0 |
| PIPressure | 9 | 98 | 2.130000000000000E+0 |
| PIPressure | 9 | 99 | 2.130000000000000E+0 |
| PIPressure | 9 | 100 | 2.130000000000000E+0 |
| PIPressure | 9 | 101 | 2.130000000000000E+0 |
| PIPressure | 9 | 102 | 2.130000000000000E+0 |
| PIPressure | 9 | 103 | 2.130000000000000E+0 |
| PIPressure | 9 | 104 | 2.130000000000000E+0 |
| PIPressure | 9 | 105 | 2.130000000000000E+0 |
| PIPressure | 9 | 106 | 2.130000000000000E+0 |
| PIPressure | 9 | 107 | 2.130000000000000E+0 |
| PIPressure | 9 | 108 | 2.130000000000000E+0 |
| PIPressure | 9 | 109 | 2.130000000000000E+0 |
| PIPressure | 9 | 110 | 2.130000000000000E+0 |
| PIPressure | 9 | 111 | 2.130000000000000E+0 |
| PIPressure | 9 | 112 | 2.130000000000000E+0 |
| PIPressure | 9 | 113 | 2.130000000000000E+0 |
| PIPressure | 9 | 114 | 2.130000000000000E+0 |
| PIPressure | 9 | 115 | 2.130000000000000E+0 |
| PIPressure | 9 | 116 | 2.130000000000000E+0 |
| PIPressure | 9 | 117 | 2.130000000000000E+0 |
| PIPressure | 9 | 118 | 2.130000000000000E+0 |
| PIPressure | 9 | 119 | 2.130000000000000E+0 |
| PIPressure | 9 | 120 | 2.130000000000000E+0 |

| Relazione di calcolo spalle | COMMESSA NM25 | LOTTO 03 D 26 | CODIFICA CL | DOCUMENTO IV 37 04 001 | REV. A | FOGLIO 354 di 439 |
|-----------------------------|------------------|------------------|----------------|---------------------------|-----------|----------------------|
|-----------------------------|------------------|------------------|----------------|---------------------------|-----------|----------------------|

| | | | |
|------------|---|-----|----------------------|
| PlPressure | 9 | 121 | 2.130000000000000E+0 |
| PlPressure | 9 | 122 | 2.130000000000000E+0 |
| PlPressure | 9 | 123 | 2.130000000000000E+0 |
| PlPressure | 9 | 124 | 2.130000000000000E+0 |
| PlPressure | 9 | 125 | 2.130000000000000E+0 |
| PlPressure | 9 | 126 | 2.130000000000000E+0 |
| PlPressure | 9 | 127 | 2.130000000000000E+0 |
| PlPressure | 9 | 128 | 2.130000000000000E+0 |
| PlPressure | 9 | 129 | 2.130000000000000E+0 |
| PlPressure | 9 | 130 | 2.130000000000000E+0 |
| PlPressure | 9 | 131 | 2.130000000000000E+0 |
| PlPressure | 9 | 132 | 2.130000000000000E+0 |
| PlPressure | 9 | 133 | 2.130000000000000E+0 |
| PlPressure | 9 | 134 | 2.130000000000000E+0 |
| PlPressure | 9 | 135 | 2.130000000000000E+0 |
| PlPressure | 9 | 136 | 2.130000000000000E+0 |
| PlPressure | 9 | 137 | 2.130000000000000E+0 |
| PlPressure | 9 | 138 | 2.130000000000000E+0 |
| PlPressure | 9 | 139 | 2.130000000000000E+0 |
| PlPressure | 9 | 140 | 2.130000000000000E+0 |
| PlPressure | 9 | 141 | 2.130000000000000E+0 |
| PlPressure | 9 | 142 | 2.130000000000000E+0 |
| PlPressure | 9 | 143 | 2.130000000000000E+0 |
| PlPressure | 9 | 144 | 2.130000000000000E+0 |
| PlPressure | 9 | 145 | 2.130000000000000E+0 |
| PlPressure | 9 | 146 | 2.130000000000000E+0 |
| PlPressure | 9 | 147 | 2.130000000000000E+0 |

Relazione di calcolo spalle

COMMESA LOTTO CODIFICA DOCUMENTO REV. FOGLIO
NM25 03 D 26 CL IV 37 04 001 A 355 di 439

| | | | |
|------------|---|-----|---------------------|
| PlPressure | 9 | 148 | 2.13000000000000E+0 |
| PlPressure | 9 | 149 | 2.13000000000000E+0 |
| PlPressure | 9 | 150 | 2.13000000000000E+0 |
| PlPressure | 9 | 151 | 2.13000000000000E+0 |
| PlPressure | 9 | 152 | 2.13000000000000E+0 |
| PlPressure | 9 | 153 | 2.13000000000000E+0 |
| PlPressure | 9 | 154 | 2.13000000000000E+0 |
| PlPressure | 9 | 155 | 2.13000000000000E+0 |
| PlPressure | 9 | 156 | 2.13000000000000E+0 |
| PlPressure | 9 | 157 | 2.13000000000000E+0 |
| PlPressure | 9 | 158 | 2.13000000000000E+0 |
| PlPressure | 9 | 159 | 2.13000000000000E+0 |
| PlPressure | 9 | 160 | 2.13000000000000E+0 |
| PlPressure | 9 | 161 | 2.13000000000000E+0 |
| PlPressure | 9 | 162 | 2.13000000000000E+0 |
| PlPressure | 9 | 163 | 2.13000000000000E+0 |
| PlPressure | 9 | 164 | 2.13000000000000E+0 |
| PlPressure | 9 | 165 | 2.13000000000000E+0 |
| PlPressure | 9 | 166 | 2.13000000000000E+0 |
| PlPressure | 9 | 167 | 2.13000000000000E+0 |
| PlPressure | 9 | 168 | 2.13000000000000E+0 |
| PlPressure | 9 | 169 | 2.13000000000000E+0 |
| PlPressure | 9 | 170 | 2.13000000000000E+0 |
| PlPressure | 9 | 171 | 2.13000000000000E+0 |
| PlPressure | 9 | 172 | 2.13000000000000E+0 |
| PlPressure | 9 | 173 | 2.13000000000000E+0 |
| PlPressure | 9 | 174 | 2.13000000000000E+0 |

Relazione di calcolo spalle

| COMMESA | LOTTO | CODIFICA | DOCUMENTO | REV. | FOGLIO |
|---------|---------|----------|--------------|------|------------|
| NM25 | 03 D 26 | CL | IV 37 04 001 | A | 356 di 439 |

| | | | |
|------------|---|-----|---------------------|
| PlPressure | 9 | 175 | 2.13000000000000E+0 |
| PlPressure | 9 | 176 | 2.13000000000000E+0 |
| PlPressure | 9 | 177 | 2.13000000000000E+0 |
| PlPressure | 9 | 178 | 2.13000000000000E+0 |
| PlPressure | 9 | 179 | 2.13000000000000E+0 |
| PlPressure | 9 | 180 | 2.13000000000000E+0 |
| PlPressure | 9 | 181 | 2.13000000000000E+0 |
| PlPressure | 9 | 182 | 2.13000000000000E+0 |
| PlPressure | 9 | 183 | 2.13000000000000E+0 |
| PlPressure | 9 | 184 | 2.13000000000000E+0 |
| PlPressure | 9 | 185 | 2.13000000000000E+0 |
| PlPressure | 9 | 186 | 2.13000000000000E+0 |
| PlPressure | 9 | 187 | 2.13000000000000E+0 |
| PlPressure | 9 | 188 | 2.13000000000000E+0 |
| PlPressure | 9 | 189 | 2.13000000000000E+0 |
| PlPressure | 9 | 190 | 2.13000000000000E+0 |
| PlPressure | 9 | 191 | 2.13000000000000E+0 |
| PlPressure | 9 | 192 | 2.13000000000000E+0 |
| PlPressure | 9 | 193 | 2.13000000000000E+0 |
| PlPressure | 9 | 194 | 2.13000000000000E+0 |
| PlPressure | 9 | 195 | 2.13000000000000E+0 |
| PlPressure | 9 | 196 | 2.13000000000000E+0 |
| PlPressure | 9 | 197 | 2.13000000000000E+0 |
| PlPressure | 9 | 198 | 2.13000000000000E+0 |
| PlPressure | 9 | 199 | 2.13000000000000E+0 |
| PlPressure | 9 | 200 | 2.13000000000000E+0 |
| PlPressure | 9 | 201 | 2.13000000000000E+0 |

Relazione di calcolo spalle

COMMESA LOTTO CODIFICA DOCUMENTO REV. FOGLIO
NM25 03 D 26 CL IV 37 04 001 A 357 di 439

| | | | |
|------------|---|-----|---------------------|
| PlPressure | 9 | 202 | 2.13000000000000E+0 |
| PlPressure | 9 | 203 | 2.13000000000000E+0 |
| PlPressure | 9 | 204 | 2.13000000000000E+0 |
| PlPressure | 9 | 205 | 2.13000000000000E+0 |
| PlPressure | 9 | 206 | 2.13000000000000E+0 |
| PlPressure | 9 | 207 | 2.13000000000000E+0 |
| PlPressure | 9 | 208 | 2.13000000000000E+0 |
| PlPressure | 9 | 209 | 2.13000000000000E+0 |
| PlPressure | 9 | 210 | 2.13000000000000E+0 |
| PlPressure | 9 | 211 | 2.13000000000000E+0 |
| PlPressure | 9 | 212 | 2.13000000000000E+0 |
| PlPressure | 9 | 213 | 2.13000000000000E+0 |
| PlPressure | 9 | 214 | 2.13000000000000E+0 |
| PlPressure | 9 | 215 | 2.13000000000000E+0 |
| PlPressure | 9 | 216 | 2.13000000000000E+0 |
| PlPressure | 9 | 217 | 2.13000000000000E+0 |
| PlPressure | 9 | 218 | 2.13000000000000E+0 |
| PlPressure | 9 | 219 | 2.13000000000000E+0 |
| PlPressure | 9 | 220 | 2.13000000000000E+0 |
| PlPressure | 9 | 221 | 2.13000000000000E+0 |
| PlPressure | 9 | 222 | 2.13000000000000E+0 |
| PlPressure | 9 | 223 | 2.13000000000000E+0 |
| PlPressure | 9 | 224 | 2.13000000000000E+0 |
| PlPressure | 9 | 225 | 2.13000000000000E+0 |
| PlPressure | 9 | 226 | 2.13000000000000E+0 |
| PlPressure | 9 | 227 | 2.13000000000000E+0 |
| PlPressure | 9 | 228 | 2.13000000000000E+0 |

Relazione di calcolo spalle

COMMESA LOTTO CODIFICA DOCUMENTO REV. FOGLIO
NM25 03 D 26 CL IV 37 04 001 A 358 di 439

| | | | |
|------------|---|-----|---------------------|
| PlPressure | 9 | 229 | 2.13000000000000E+0 |
| PlPressure | 9 | 230 | 2.13000000000000E+0 |
| PlPressure | 9 | 231 | 2.13000000000000E+0 |
| PlPressure | 9 | 232 | 2.13000000000000E+0 |
| PlPressure | 9 | 233 | 2.13000000000000E+0 |
| PlPressure | 9 | 234 | 2.13000000000000E+0 |
| PlPressure | 9 | 235 | 2.13000000000000E+0 |
| PlPressure | 9 | 236 | 2.13000000000000E+0 |
| PlPressure | 9 | 237 | 2.13000000000000E+0 |
| PlPressure | 9 | 238 | 2.13000000000000E+0 |
| PlPressure | 9 | 239 | 2.13000000000000E+0 |
| PlPressure | 9 | 240 | 2.13000000000000E+0 |
| PlPressure | 9 | 241 | 2.13000000000000E+0 |
| PlPressure | 9 | 242 | 2.13000000000000E+0 |
| PlPressure | 9 | 243 | 2.13000000000000E+0 |
| PlPressure | 9 | 244 | 2.13000000000000E+0 |
| PlPressure | 9 | 245 | 2.13000000000000E+0 |
| PlPressure | 9 | 246 | 2.13000000000000E+0 |
| PlPressure | 9 | 247 | 2.13000000000000E+0 |
| PlPressure | 9 | 248 | 2.13000000000000E+0 |
| PlPressure | 9 | 249 | 2.13000000000000E+0 |
| PlPressure | 9 | 250 | 2.13000000000000E+0 |
| PlPressure | 9 | 251 | 2.13000000000000E+0 |
| PlPressure | 9 | 252 | 2.13000000000000E+0 |
| PlPressure | 9 | 253 | 2.13000000000000E+0 |
| PlPressure | 9 | 254 | 2.13000000000000E+0 |
| PlPressure | 9 | 255 | 2.13000000000000E+0 |

Relazione di calcolo spalle

COMMESA LOTTO CODIFICA DOCUMENTO REV. FOGLIO
NM25 03 D 26 CL IV 37 04 001 A 359 di 439

| | | | |
|------------|---|-----|----------------------|
| PlPressure | 9 | 256 | 2.130000000000000E+0 |
| PlPressure | 9 | 257 | 2.130000000000000E+0 |
| PlPressure | 9 | 258 | 2.130000000000000E+0 |
| PlPressure | 9 | 259 | 2.130000000000000E+0 |
| PlPressure | 9 | 260 | 2.130000000000000E+0 |
| PlPressure | 9 | 261 | 2.130000000000000E+0 |
| PlPressure | 9 | 262 | 2.130000000000000E+0 |
| PlPressure | 9 | 263 | 2.130000000000000E+0 |
| PlPressure | 9 | 264 | 2.130000000000000E+0 |
| PlPressure | 9 | 265 | 2.130000000000000E+0 |
| PlPressure | 9 | 266 | 2.130000000000000E+0 |
| PlPressure | 9 | 267 | 2.130000000000000E+0 |
| PlPressure | 9 | 268 | 2.130000000000000E+0 |
| PlPressure | 9 | 269 | 2.130000000000000E+0 |
| PlPressure | 9 | 270 | 2.130000000000000E+0 |
| PlPressure | 9 | 271 | 2.130000000000000E+0 |
| PlPressure | 9 | 272 | 2.130000000000000E+0 |
| PlPressure | 9 | 273 | 2.130000000000000E+0 |
| PlPressure | 9 | 274 | 2.130000000000000E+0 |
| PlPressure | 9 | 275 | 2.130000000000000E+0 |
| PlPressure | 9 | 276 | 2.130000000000000E+0 |
| PlPressure | 9 | 277 | 2.130000000000000E+0 |
| PlPressure | 9 | 278 | 2.130000000000000E+0 |
| PlPressure | 9 | 279 | 2.130000000000000E+0 |
| PlPressure | 9 | 280 | 2.130000000000000E+0 |
| PlPressure | 9 | 281 | 2.130000000000000E+0 |
| PlPressure | 9 | 282 | 2.130000000000000E+0 |

Relazione di calcolo spalle

| | | | |
|----------|---------|----------|--------------|
| COMMESSA | LOTTO | CODIFICA | DOCUMENTO |
| NM25 | 03 D 26 | CL | IV 37 04 001 |

| | |
|------|------------|
| REV. | FOGLIO |
| A | 360 di 439 |

| | | | |
|------------|---|-----|----------------------|
| PIPressure | 9 | 283 | 2.130000000000000E+0 |
| PIPressure | 9 | 284 | 2.130000000000000E+0 |
| PIPressure | 9 | 285 | 2.130000000000000E+0 |
| PIPressure | 9 | 286 | 2.130000000000000E+0 |
| PIPressure | 9 | 287 | 2.130000000000000E+0 |
| PIPressure | 9 | 288 | 2.130000000000000E+0 |
| PIPressure | 9 | 289 | 2.130000000000000E+0 |
| PIPressure | 9 | 290 | 2.130000000000000E+0 |
| PIPressure | 9 | 291 | 2.130000000000000E+0 |
| PIPressure | 9 | 292 | 2.130000000000000E+0 |
| PIPressure | 9 | 293 | 2.130000000000000E+0 |
| PIPressure | 9 | 294 | 2.130000000000000E+0 |
| PIPressure | 9 | 295 | 2.130000000000000E+0 |
| PIPressure | 9 | 296 | 2.130000000000000E+0 |
| PIPressure | 9 | 297 | 2.130000000000000E+0 |
| PIPressure | 9 | 298 | 2.130000000000000E+0 |
| PIPressure | 9 | 299 | 2.130000000000000E+0 |
| PIPressure | 9 | 300 | 2.130000000000000E+0 |
| PIPressure | 9 | 301 | 2.130000000000000E+0 |
| PIPressure | 9 | 302 | 2.130000000000000E+0 |
| PIPressure | 9 | 303 | 2.130000000000000E+0 |
| PIPressure | 9 | 304 | 2.130000000000000E+0 |
| PIPressure | 9 | 305 | 2.130000000000000E+0 |
| PIPressure | 9 | 306 | 2.130000000000000E+0 |
| PIPressure | 9 | 307 | 2.130000000000000E+0 |
| PIPressure | 9 | 308 | 2.130000000000000E+0 |
| PIPressure | 9 | 309 | 2.130000000000000E+0 |

Relazione di calcolo spalle

| COMMESSA | LOTTO | CODIFICA | DOCUMENTO | REV. | FOGLIO |
|----------|---------|----------|--------------|------|------------|
| NM25 | 03 D 26 | CL | IV 37 04 001 | A | 361 di 439 |

| | | | |
|------------|---|-----|----------------------|
| PIPressure | 9 | 310 | 2.130000000000000E+0 |
| PIPressure | 9 | 311 | 2.130000000000000E+0 |
| PIPressure | 9 | 312 | 2.130000000000000E+0 |
| PIPressure | 9 | 313 | 2.130000000000000E+0 |
| PIPressure | 9 | 314 | 2.130000000000000E+0 |
| PIPressure | 9 | 315 | 2.130000000000000E+0 |
| PIPressure | 9 | 316 | 2.130000000000000E+0 |
| PIPressure | 9 | 317 | 2.130000000000000E+0 |
| PIPressure | 9 | 318 | 2.130000000000000E+0 |
| PIPressure | 9 | 319 | 2.130000000000000E+0 |
| PIPressure | 9 | 320 | 2.130000000000000E+0 |
| PIPressure | 9 | 321 | 2.130000000000000E+0 |
| PIPressure | 9 | 322 | 2.130000000000000E+0 |
| PIPressure | 9 | 323 | 2.130000000000000E+0 |
| PIPressure | 9 | 324 | 2.130000000000000E+0 |
| PIPressure | 9 | 325 | 2.130000000000000E+0 |
| PIPressure | 9 | 326 | 2.130000000000000E+0 |
| PIPressure | 9 | 327 | 2.130000000000000E+0 |
| PIPressure | 9 | 328 | 2.130000000000000E+0 |
| PIPressure | 9 | 329 | 2.130000000000000E+0 |
| PIPressure | 9 | 330 | 2.130000000000000E+0 |
| PIPressure | 9 | 331 | 2.130000000000000E+0 |
| PIPressure | 9 | 332 | 2.130000000000000E+0 |
| PIPressure | 9 | 333 | 2.130000000000000E+0 |
| PIPressure | 9 | 334 | 2.130000000000000E+0 |
| PIPressure | 9 | 335 | 2.130000000000000E+0 |
| PIPressure | 9 | 336 | 2.130000000000000E+0 |

| Relazione di calcolo spalle | COMMESSA NM25 | LOTTO 03 D 26 | CODIFICA CL | DOCUMENTO IV 37 04 001 | REV. A | FOGLIO 362 di 439 |
|-----------------------------|------------------|------------------|----------------|---------------------------|-----------|----------------------|
|-----------------------------|------------------|------------------|----------------|---------------------------|-----------|----------------------|

| | | | |
|------------|---|-----|----------------------|
| PlPressure | 9 | 337 | 2.130000000000000E+0 |
| PlPressure | 9 | 338 | 2.130000000000000E+0 |
| PlPressure | 9 | 339 | 2.130000000000000E+0 |
| PlPressure | 9 | 340 | 2.130000000000000E+0 |
| PlPressure | 9 | 341 | 2.130000000000000E+0 |
| PlPressure | 9 | 342 | 2.130000000000000E+0 |
| PlPressure | 9 | 343 | 2.130000000000000E+0 |
| PlPressure | 9 | 344 | 2.130000000000000E+0 |
| PlPressure | 9 | 345 | 2.130000000000000E+0 |
| PlPressure | 9 | 346 | 2.130000000000000E+0 |
| PlPressure | 9 | 347 | 2.130000000000000E+0 |
| PlPressure | 9 | 348 | 2.130000000000000E+0 |
| PlPressure | 9 | 349 | 2.130000000000000E+0 |
| PlPressure | 9 | 350 | 2.130000000000000E+0 |
| PlPressure | 9 | 351 | 2.130000000000000E+0 |
| PlPressure | 9 | 352 | 2.130000000000000E+0 |
| PlPressure | 9 | 353 | 2.130000000000000E+0 |
| PlPressure | 9 | 354 | 2.130000000000000E+0 |
| PlPressure | 9 | 355 | 2.130000000000000E+0 |
| PlPressure | 9 | 356 | 2.130000000000000E+0 |
| PlPressure | 9 | 357 | 2.130000000000000E+0 |
| PlPressure | 9 | 358 | 2.130000000000000E+0 |
| PlPressure | 9 | 359 | 2.130000000000000E+0 |
| PlPressure | 9 | 360 | 2.130000000000000E+0 |
| PlPressure | 9 | 361 | 2.130000000000000E+0 |
| PlPressure | 9 | 362 | 2.130000000000000E+0 |
| PlPressure | 9 | 363 | 2.130000000000000E+0 |

| Relazione di calcolo spalle | COMMESSA NM25 | LOTTO 03 D 26 | CODIFICA CL | DOCUMENTO IV 37 04 001 | REV. A | FOGLIO 363 di 439 |
|-----------------------------|------------------|------------------|----------------|---------------------------|-----------|----------------------|
|-----------------------------|------------------|------------------|----------------|---------------------------|-----------|----------------------|

| | | | |
|------------|---|-----|----------------------|
| PlPressure | 9 | 364 | 2.130000000000000E+0 |
| PlPressure | 9 | 365 | 2.130000000000000E+0 |
| PlPressure | 9 | 366 | 2.130000000000000E+0 |
| PlPressure | 9 | 367 | 2.130000000000000E+0 |
| PlPressure | 9 | 368 | 2.130000000000000E+0 |
| PlPressure | 9 | 369 | 2.130000000000000E+0 |
| PlPressure | 9 | 370 | 2.130000000000000E+0 |
| PlPressure | 9 | 371 | 2.130000000000000E+0 |
| PlPressure | 9 | 372 | 2.130000000000000E+0 |
| PlPressure | 9 | 373 | 2.130000000000000E+0 |
| PlPressure | 9 | 374 | 2.130000000000000E+0 |
| PlPressure | 9 | 375 | 2.130000000000000E+0 |
| PlPressure | 9 | 376 | 2.130000000000000E+0 |
| PlPressure | 9 | 377 | 2.130000000000000E+0 |
| PlPressure | 9 | 378 | 2.130000000000000E+0 |
| PlPressure | 9 | 379 | 2.130000000000000E+0 |
| PlPressure | 9 | 380 | 2.130000000000000E+0 |
| PlPressure | 9 | 381 | 2.130000000000000E+0 |
| PlPressure | 9 | 382 | 2.130000000000000E+0 |
| PlPressure | 9 | 383 | 2.130000000000000E+0 |
| PlPressure | 9 | 384 | 2.130000000000000E+0 |
| PlPressure | 9 | 385 | 2.130000000000000E+0 |
| PlPressure | 9 | 386 | 2.130000000000000E+0 |
| PlPressure | 9 | 387 | 2.130000000000000E+0 |
| PlPressure | 9 | 388 | 2.130000000000000E+0 |
| PlPressure | 9 | 389 | 2.130000000000000E+0 |
| PlPressure | 9 | 390 | 2.130000000000000E+0 |

Relazione di calcolo spalle

| | | | | | |
|---------|---------|----------|--------------|------|------------|
| COMMESA | LOTTO | CODIFICA | DOCUMENTO | REV. | FOGLIO |
| NM25 | 03 D 26 | CL | IV 37 04 001 | A | 364 di 439 |

| | | | |
|------------|---|-----|----------------------|
| PlPressure | 9 | 391 | 2.130000000000000E+0 |
| PlPressure | 9 | 392 | 2.130000000000000E+0 |
| PlPressure | 9 | 393 | 2.130000000000000E+0 |
| PlPressure | 9 | 394 | 2.130000000000000E+0 |
| PlPressure | 9 | 395 | 2.130000000000000E+0 |
| PlPressure | 9 | 396 | 2.130000000000000E+0 |
| PlPressure | 9 | 397 | 2.130000000000000E+0 |
| PlPressure | 9 | 398 | 2.130000000000000E+0 |
| PlPressure | 9 | 399 | 2.130000000000000E+0 |
| PlPressure | 9 | 400 | 2.130000000000000E+0 |
| PlPressure | 9 | 401 | 2.130000000000000E+0 |
| PlPressure | 9 | 402 | 2.130000000000000E+0 |
| PlPressure | 9 | 403 | 2.130000000000000E+0 |
| PlPressure | 9 | 404 | 2.130000000000000E+0 |
| PlPressure | 9 | 405 | 2.130000000000000E+0 |
| PlPressure | 9 | 406 | 2.130000000000000E+0 |
| PlPressure | 9 | 407 | 2.130000000000000E+0 |
| PlPressure | 9 | 408 | 2.130000000000000E+0 |
| PlPressure | 9 | 409 | 2.130000000000000E+0 |
| PlPressure | 9 | 410 | 2.130000000000000E+0 |
| PlPressure | 9 | 411 | 2.130000000000000E+0 |
| PlPressure | 9 | 412 | 2.130000000000000E+0 |
| PlPressure | 9 | 413 | 2.130000000000000E+0 |
| PlPressure | 9 | 414 | 2.130000000000000E+0 |
| PlPressure | 9 | 415 | 2.130000000000000E+0 |
| PlPressure | 9 | 416 | 2.130000000000000E+0 |
| PlPressure | 9 | 417 | 2.130000000000000E+0 |

Relazione di calcolo spalle

| COMMESSA | LOTTO | CODIFICA | DOCUMENTO | REV. | FOGLIO |
|----------|---------|----------|--------------|------|------------|
| NM25 | 03 D 26 | CL | IV 37 04 001 | A | 365 di 439 |

| | | | |
|------------|---|-----|----------------------|
| PlPressure | 9 | 418 | 2.130000000000000E+0 |
| PlPressure | 9 | 419 | 2.130000000000000E+0 |
| PlPressure | 9 | 420 | 2.130000000000000E+0 |
| PlPressure | 9 | 421 | 2.130000000000000E+0 |
| PlPressure | 9 | 422 | 2.130000000000000E+0 |
| PlPressure | 9 | 423 | 2.130000000000000E+0 |
| PlPressure | 9 | 424 | 2.130000000000000E+0 |
| PlPressure | 9 | 425 | 2.130000000000000E+0 |
| PlPressure | 9 | 426 | 2.130000000000000E+0 |
| PlPressure | 9 | 427 | 2.130000000000000E+0 |
| PlPressure | 9 | 428 | 2.130000000000000E+0 |
| PlPressure | 9 | 429 | 2.130000000000000E+0 |
| PlPressure | 9 | 430 | 2.130000000000000E+0 |
| PlPressure | 9 | 431 | 2.130000000000000E+0 |
| PlPressure | 9 | 432 | 2.130000000000000E+0 |
| PlPressure | 9 | 433 | 2.130000000000000E+0 |
| PlPressure | 9 | 434 | 2.130000000000000E+0 |
| PlPressure | 9 | 435 | 2.130000000000000E+0 |
| PlPressure | 9 | 436 | 2.130000000000000E+0 |
| PlPressure | 9 | 437 | 2.130000000000000E+0 |
| PlPressure | 9 | 438 | 2.130000000000000E+0 |
| PlPressure | 9 | 439 | 2.130000000000000E+0 |
| PlPressure | 9 | 440 | 2.130000000000000E+0 |
| PlPressure | 9 | 441 | 2.130000000000000E+0 |
| PlPressure | 9 | 442 | 2.130000000000000E+0 |
| PlPressure | 9 | 443 | 2.130000000000000E+0 |
| PlPressure | 9 | 444 | 2.130000000000000E+0 |

| Relazione di calcolo spalle | COMMESSA NM25 | LOTTO 03 D 26 | CODIFICA CL | DOCUMENTO IV 37 04 001 | REV. A | FOGLIO 366 di 439 |
|-----------------------------|------------------|------------------|----------------|---------------------------|-----------|----------------------|
|-----------------------------|------------------|------------------|----------------|---------------------------|-----------|----------------------|

| | | | |
|------------|---|-----|----------------------|
| PlPressure | 9 | 445 | 2.130000000000000E+0 |
| PlPressure | 9 | 446 | 2.130000000000000E+0 |
| PlPressure | 9 | 447 | 2.130000000000000E+0 |
| PlPressure | 9 | 448 | 2.130000000000000E+0 |
| PlPressure | 9 | 449 | 2.130000000000000E+0 |
| PlPressure | 9 | 450 | 2.130000000000000E+0 |
| PlPressure | 9 | 451 | 2.130000000000000E+0 |
| PlPressure | 9 | 452 | 2.130000000000000E+0 |
| PlPressure | 9 | 453 | 2.130000000000000E+0 |
| PlPressure | 9 | 454 | 2.130000000000000E+0 |
| PlPressure | 9 | 455 | 2.130000000000000E+0 |
| PlPressure | 9 | 456 | 2.130000000000000E+0 |
| PlPressure | 9 | 457 | 2.130000000000000E+0 |
| PlPressure | 9 | 458 | 2.130000000000000E+0 |
| PlPressure | 9 | 459 | 2.130000000000000E+0 |
| PlPressure | 9 | 460 | 2.130000000000000E+0 |
| PlPressure | 9 | 461 | 2.130000000000000E+0 |
| PlPressure | 9 | 462 | 2.130000000000000E+0 |
| PlPressure | 9 | 463 | 2.130000000000000E+0 |
| PlPressure | 9 | 464 | 2.130000000000000E+0 |
| PlPressure | 9 | 465 | 2.130000000000000E+0 |
| PlPressure | 9 | 466 | 2.130000000000000E+0 |
| PlPressure | 9 | 467 | 2.130000000000000E+0 |
| PlPressure | 9 | 468 | 2.130000000000000E+0 |
| PlPressure | 9 | 469 | 2.130000000000000E+0 |
| PlPressure | 9 | 470 | 2.130000000000000E+0 |
| PlPressure | 9 | 471 | 2.130000000000000E+0 |

Relazione di calcolo spalle

COMMESA LOTTO CODIFICA DOCUMENTO REV. FOGLIO
NM25 03 D 26 CL IV 37 04 001 A 367 di 439

| | | | |
|------------|---|-----|----------------------|
| PlPressure | 9 | 472 | 2.130000000000000E+0 |
| PlPressure | 9 | 473 | 2.130000000000000E+0 |
| PlPressure | 9 | 474 | 2.130000000000000E+0 |
| PlPressure | 9 | 475 | 2.130000000000000E+0 |
| PlPressure | 9 | 476 | 2.130000000000000E+0 |
| PlPressure | 9 | 477 | 2.130000000000000E+0 |
| PlPressure | 9 | 478 | 2.130000000000000E+0 |
| PlPressure | 9 | 479 | 2.130000000000000E+0 |
| PlPressure | 9 | 480 | 2.130000000000000E+0 |
| PlPressure | 9 | 481 | 2.130000000000000E+0 |
| PlPressure | 9 | 482 | 2.130000000000000E+0 |
| PlPressure | 9 | 483 | 2.130000000000000E+0 |
| PlPressure | 9 | 484 | 2.130000000000000E+0 |
| PlPressure | 9 | 485 | 2.130000000000000E+0 |
| PlPressure | 9 | 486 | 2.130000000000000E+0 |
| PlPressure | 9 | 487 | 2.130000000000000E+0 |
| PlPressure | 9 | 488 | 2.130000000000000E+0 |
| PlPressure | 9 | 489 | 2.130000000000000E+0 |
| PlPressure | 9 | 490 | 2.130000000000000E+0 |
| PlPressure | 9 | 491 | 2.130000000000000E+0 |
| PlPressure | 9 | 492 | 2.130000000000000E+0 |
| PlPressure | 9 | 493 | 2.130000000000000E+0 |
| PlPressure | 9 | 494 | 2.130000000000000E+0 |
| PlPressure | 9 | 495 | 2.130000000000000E+0 |
| PlPressure | 9 | 496 | 2.130000000000000E+0 |
| PlPressure | 9 | 497 | 2.130000000000000E+0 |
| PlPressure | 9 | 498 | 2.130000000000000E+0 |

Relazione di calcolo spalle

COMMESA LOTTO CODIFICA DOCUMENTO REV. FOGLIO
NM25 03 D 26 CL IV 37 04 001 A 368 di 439

| | | | |
|------------|---|-----|---------------------|
| PlPressure | 9 | 499 | 2.13000000000000E+0 |
| PlPressure | 9 | 500 | 2.13000000000000E+0 |
| PlPressure | 9 | 501 | 2.13000000000000E+0 |
| PlPressure | 9 | 502 | 2.13000000000000E+0 |
| PlPressure | 9 | 503 | 2.13000000000000E+0 |
| PlPressure | 9 | 504 | 2.13000000000000E+0 |
| PlPressure | 9 | 505 | 2.13000000000000E+0 |
| PlPressure | 9 | 506 | 2.13000000000000E+0 |
| PlPressure | 9 | 507 | 2.13000000000000E+0 |
| PlPressure | 9 | 508 | 2.13000000000000E+0 |
| PlPressure | 9 | 509 | 2.13000000000000E+0 |
| PlPressure | 9 | 510 | 2.13000000000000E+0 |
| PlPressure | 9 | 511 | 2.13000000000000E+0 |
| PlPressure | 9 | 512 | 2.13000000000000E+0 |
| PlPressure | 9 | 513 | 2.13000000000000E+0 |
| PlPressure | 9 | 514 | 2.13000000000000E+0 |
| PlPressure | 9 | 515 | 2.13000000000000E+0 |
| PlPressure | 9 | 516 | 2.13000000000000E+0 |
| PlPressure | 9 | 517 | 2.13000000000000E+0 |
| PlPressure | 9 | 518 | 2.13000000000000E+0 |
| PlPressure | 9 | 519 | 2.13000000000000E+0 |
| PlPressure | 9 | 520 | 2.13000000000000E+0 |
| PlPressure | 9 | 521 | 2.13000000000000E+0 |
| PlPressure | 9 | 522 | 2.13000000000000E+0 |
| PlPressure | 9 | 523 | 2.13000000000000E+0 |
| PlPressure | 9 | 524 | 2.13000000000000E+0 |
| PlPressure | 9 | 525 | 2.13000000000000E+0 |

Relazione di calcolo spalle

| COMMESSA | LOTTO | CODIFICA | DOCUMENTO | REV. | FOGLIO |
|----------|---------|----------|--------------|------|------------|
| NM25 | 03 D 26 | CL | IV 37 04 001 | A | 369 di 439 |

| | | | |
|------------|---|-----|----------------------|
| PlPressure | 9 | 526 | 2.130000000000000E+0 |
| PlPressure | 9 | 527 | 2.130000000000000E+0 |
| PlPressure | 9 | 528 | 2.130000000000000E+0 |
| PlPressure | 9 | 529 | 2.130000000000000E+0 |
| PlPressure | 9 | 530 | 2.130000000000000E+0 |
| PlPressure | 9 | 531 | 2.130000000000000E+0 |
| PlPressure | 9 | 532 | 2.130000000000000E+0 |
| PlPressure | 9 | 533 | 2.130000000000000E+0 |
| PlPressure | 9 | 534 | 2.130000000000000E+0 |
| PlPressure | 9 | 535 | 2.130000000000000E+0 |
| PlPressure | 9 | 536 | 2.130000000000000E+0 |
| PlPressure | 9 | 537 | 2.130000000000000E+0 |
| PlPressure | 9 | 538 | 2.130000000000000E+0 |
| PlPressure | 9 | 539 | 2.130000000000000E+0 |
| PlPressure | 9 | 540 | 2.130000000000000E+0 |
| PlPressure | 9 | 541 | 2.130000000000000E+0 |
| PlPressure | 9 | 542 | 2.130000000000000E+0 |
| PlPressure | 9 | 543 | 2.130000000000000E+0 |
| PlPressure | 9 | 544 | 2.130000000000000E+0 |
| PlPressure | 9 | 545 | 2.130000000000000E+0 |
| PlPressure | 9 | 546 | 2.130000000000000E+0 |
| PlPressure | 9 | 547 | 2.130000000000000E+0 |
| PlPressure | 9 | 548 | 2.130000000000000E+0 |
| PlPressure | 9 | 549 | 2.130000000000000E+0 |
| PlPressure | 9 | 550 | 2.130000000000000E+0 |
| PlPressure | 9 | 551 | 2.130000000000000E+0 |
| PlPressure | 9 | 552 | 2.130000000000000E+0 |

Relazione di calcolo spalle

COMMESA LOTTO CODIFICA DOCUMENTO REV. FOGLIO
NM25 03 D 26 CL IV 37 04 001 A 370 di 439

| | | | |
|------------|---|-----|---------------------|
| PlPressure | 9 | 553 | 2.13000000000000E+0 |
| PlPressure | 9 | 554 | 2.13000000000000E+0 |
| PlPressure | 9 | 555 | 2.13000000000000E+0 |
| PlPressure | 9 | 556 | 2.13000000000000E+0 |
| PlPressure | 9 | 557 | 2.13000000000000E+0 |
| PlPressure | 9 | 558 | 2.13000000000000E+0 |
| PlPressure | 9 | 559 | 2.13000000000000E+0 |
| PlPressure | 9 | 560 | 2.13000000000000E+0 |
| PlPressure | 9 | 561 | 2.13000000000000E+0 |
| PlPressure | 9 | 562 | 2.13000000000000E+0 |
| PlPressure | 9 | 563 | 2.13000000000000E+0 |
| PlPressure | 9 | 564 | 2.13000000000000E+0 |
| PlPressure | 9 | 565 | 2.13000000000000E+0 |
| PlPressure | 9 | 566 | 2.13000000000000E+0 |
| PlPressure | 9 | 567 | 2.13000000000000E+0 |
| PlPressure | 9 | 568 | 2.13000000000000E+0 |
| PlPressure | 9 | 569 | 2.13000000000000E+0 |
| PlPressure | 9 | 570 | 2.13000000000000E+0 |
| PlPressure | 9 | 571 | 2.13000000000000E+0 |
| PlPressure | 9 | 572 | 2.13000000000000E+0 |
| PlPressure | 9 | 573 | 2.13000000000000E+0 |
| PlPressure | 9 | 574 | 2.13000000000000E+0 |
| PlPressure | 9 | 575 | 2.13000000000000E+0 |
| PlPressure | 9 | 576 | 2.13000000000000E+0 |
| PlPressure | 9 | 577 | 2.13000000000000E+0 |
| PlPressure | 9 | 578 | 2.13000000000000E+0 |
| PlPressure | 9 | 579 | 2.13000000000000E+0 |

Relazione di calcolo spalle

| | | | |
|---------|---------|----------|--------------|
| COMMESA | LOTTO | CODIFICA | DOCUMENTO |
| NM25 | 03 D 26 | CL | IV 37 04 001 |

| | |
|------|------------|
| REV. | FOGLIO |
| A | 371 di 439 |

| | | | |
|------------|---|-----|----------------------|
| PIPressure | 9 | 580 | 2.130000000000000E+0 |
| PIPressure | 9 | 581 | 2.130000000000000E+0 |
| PIPressure | 9 | 582 | 2.130000000000000E+0 |
| PIPressure | 9 | 583 | 2.130000000000000E+0 |
| PIPressure | 9 | 584 | 2.130000000000000E+0 |
| PIPressure | 9 | 585 | 2.130000000000000E+0 |
| PIPressure | 9 | 586 | 2.130000000000000E+0 |
| PIPressure | 9 | 587 | 2.130000000000000E+0 |
| PIPressure | 9 | 588 | 2.130000000000000E+0 |
| PIPressure | 9 | 589 | 2.130000000000000E+0 |
| PIPressure | 9 | 590 | 2.130000000000000E+0 |
| PIPressure | 9 | 591 | 2.130000000000000E+0 |
| PIPressure | 9 | 592 | 2.130000000000000E+0 |
| PIPressure | 9 | 593 | 2.130000000000000E+0 |
| PIPressure | 9 | 594 | 2.130000000000000E+0 |
| PIPressure | 9 | 595 | 2.130000000000000E+0 |
| PIPressure | 9 | 596 | 2.130000000000000E+0 |
| PIPressure | 9 | 597 | 2.130000000000000E+0 |
| PIPressure | 9 | 598 | 2.130000000000000E+0 |
| PIPressure | 9 | 599 | 2.130000000000000E+0 |
| PIPressure | 9 | 600 | 2.130000000000000E+0 |
| PIPressure | 9 | 601 | 2.130000000000000E+0 |
| PIPressure | 9 | 602 | 2.130000000000000E+0 |
| PIPressure | 9 | 603 | 2.130000000000000E+0 |
| PIPressure | 9 | 604 | 2.130000000000000E+0 |
| PIPressure | 9 | 605 | 2.130000000000000E+0 |
| PIPressure | 9 | 606 | 2.130000000000000E+0 |

Relazione di calcolo spalle

COMMESA LOTTO CODIFICA DOCUMENTO REV. FOGLIO
NM25 03 D 26 CL IV 37 04 001 A 372 di 439

| | | | |
|------------|---|-----|---------------------|
| PlPressure | 9 | 607 | 2.13000000000000E+0 |
| PlPressure | 9 | 608 | 2.13000000000000E+0 |
| PlPressure | 9 | 609 | 2.13000000000000E+0 |
| PlPressure | 9 | 610 | 2.13000000000000E+0 |
| PlPressure | 9 | 611 | 2.13000000000000E+0 |
| PlPressure | 9 | 612 | 2.13000000000000E+0 |
| PlPressure | 9 | 613 | 2.13000000000000E+0 |
| PlPressure | 9 | 614 | 2.13000000000000E+0 |
| PlPressure | 9 | 615 | 2.13000000000000E+0 |
| PlPressure | 9 | 616 | 2.13000000000000E+0 |
| PlPressure | 9 | 617 | 2.13000000000000E+0 |
| PlPressure | 9 | 618 | 2.13000000000000E+0 |
| PlPressure | 9 | 619 | 2.13000000000000E+0 |
| PlPressure | 9 | 620 | 2.13000000000000E+0 |
| PlPressure | 9 | 621 | 2.13000000000000E+0 |
| PlPressure | 9 | 622 | 2.13000000000000E+0 |
| PlPressure | 9 | 623 | 2.13000000000000E+0 |
| PlPressure | 9 | 624 | 2.13000000000000E+0 |
| PlPressure | 9 | 625 | 2.13000000000000E+0 |
| PlPressure | 9 | 626 | 2.13000000000000E+0 |
| PlPressure | 9 | 627 | 2.13000000000000E+0 |
| PlPressure | 9 | 628 | 2.13000000000000E+0 |
| PlPressure | 9 | 629 | 2.13000000000000E+0 |
| PlPressure | 9 | 630 | 2.13000000000000E+0 |
| PlPressure | 9 | 631 | 2.13000000000000E+0 |
| PlPressure | 9 | 632 | 2.13000000000000E+0 |
| PlPressure | 9 | 633 | 2.13000000000000E+0 |

Relazione di calcolo spalle

| COMMESSA | LOTTO | CODIFICA | DOCUMENTO | REV. | FOGLIO |
|----------|---------|----------|--------------|------|------------|
| NM25 | 03 D 26 | CL | IV 37 04 001 | A | 373 di 439 |

| | | | |
|------------|---|-----|---------------------|
| PlPressure | 9 | 634 | 2.13000000000000E+0 |
| PlPressure | 9 | 635 | 2.13000000000000E+0 |
| PlPressure | 9 | 636 | 2.13000000000000E+0 |
| PlPressure | 9 | 637 | 2.13000000000000E+0 |
| PlPressure | 9 | 638 | 2.13000000000000E+0 |
| PlPressure | 9 | 639 | 2.13000000000000E+0 |
| PlPressure | 9 | 640 | 2.13000000000000E+0 |
| PlPressure | 9 | 641 | 2.13000000000000E+0 |
| PlPressure | 9 | 642 | 2.13000000000000E+0 |
| PlPressure | 9 | 643 | 2.13000000000000E+0 |
| PlPressure | 9 | 644 | 2.13000000000000E+0 |
| PlPressure | 9 | 645 | 2.13000000000000E+0 |
| PlPressure | 9 | 646 | 2.13000000000000E+0 |
| PlPressure | 9 | 647 | 2.13000000000000E+0 |
| PlPressure | 9 | 648 | 2.13000000000000E+0 |
| PlPressure | 9 | 649 | 2.13000000000000E+0 |
| PlPressure | 9 | 650 | 2.13000000000000E+0 |
| PlPressure | 9 | 651 | 2.13000000000000E+0 |
| PlPressure | 9 | 652 | 2.13000000000000E+0 |
| PlPressure | 9 | 653 | 2.13000000000000E+0 |
| PlPressure | 9 | 654 | 2.13000000000000E+0 |
| PlPressure | 9 | 655 | 2.13000000000000E+0 |
| PlPressure | 9 | 656 | 2.13000000000000E+0 |
| PlPressure | 9 | 657 | 2.13000000000000E+0 |
| PlPressure | 9 | 658 | 2.13000000000000E+0 |
| PlPressure | 9 | 659 | 2.13000000000000E+0 |
| PlPressure | 9 | 660 | 2.13000000000000E+0 |

| Relazione di calcolo spalle | COMMESSA NM25 | LOTTO 03 D 26 | CODIFICA CL | DOCUMENTO IV 37 04 001 | REV. A | FOGLIO 374 di 439 |
|-----------------------------|------------------|------------------|----------------|---------------------------|-----------|----------------------|
|-----------------------------|------------------|------------------|----------------|---------------------------|-----------|----------------------|

| | | | |
|------------|---|-----|----------------------|
| PlPressure | 9 | 661 | 2.130000000000000E+0 |
| PlPressure | 9 | 662 | 2.130000000000000E+0 |
| PlPressure | 9 | 663 | 2.130000000000000E+0 |
| PlPressure | 9 | 664 | 2.130000000000000E+0 |
| PlPressure | 9 | 665 | 2.130000000000000E+0 |
| PlPressure | 9 | 666 | 2.130000000000000E+0 |
| PlPressure | 9 | 667 | 2.130000000000000E+0 |
| PlPressure | 9 | 668 | 2.130000000000000E+0 |
| PlPressure | 9 | 669 | 2.130000000000000E+0 |
| PlPressure | 9 | 670 | 2.130000000000000E+0 |
| PlPressure | 9 | 671 | 2.130000000000000E+0 |
| PlPressure | 9 | 672 | 2.130000000000000E+0 |
| PlPressure | 9 | 673 | 2.130000000000000E+0 |
| PlPressure | 9 | 674 | 2.130000000000000E+0 |
| PlPressure | 9 | 675 | 2.130000000000000E+0 |
| PlPressure | 9 | 676 | 2.130000000000000E+0 |
| PlPressure | 9 | 677 | 2.130000000000000E+0 |
| PlPressure | 9 | 678 | 2.130000000000000E+0 |
| PlPressure | 9 | 679 | 2.130000000000000E+0 |
| PlPressure | 9 | 680 | 2.130000000000000E+0 |
| PlPressure | 9 | 681 | 2.130000000000000E+0 |
| PlPressure | 9 | 682 | 2.130000000000000E+0 |
| PlPressure | 9 | 683 | 2.130000000000000E+0 |
| PlPressure | 9 | 684 | 2.130000000000000E+0 |
| PlPressure | 9 | 685 | 2.130000000000000E+0 |
| PlPressure | 9 | 686 | 2.130000000000000E+0 |
| PlPressure | 9 | 687 | 2.130000000000000E+0 |

Relazione di calcolo spalle

| COMMESSA | LOTTO | CODIFICA | DOCUMENTO | REV. | FOGLIO |
|----------|---------|----------|--------------|------|------------|
| NM25 | 03 D 26 | CL | IV 37 04 001 | A | 375 di 439 |

| | | | |
|------------|---|-----|----------------------|
| PlPressure | 9 | 688 | 2.130000000000000E+0 |
| PlPressure | 9 | 689 | 2.130000000000000E+0 |
| PlPressure | 9 | 690 | 2.130000000000000E+0 |
| PlPressure | 9 | 691 | 2.130000000000000E+0 |
| PlPressure | 9 | 692 | 2.130000000000000E+0 |
| PlPressure | 9 | 693 | 2.130000000000000E+0 |
| PlPressure | 9 | 694 | 2.130000000000000E+0 |
| PlPressure | 9 | 695 | 2.130000000000000E+0 |
| PlPressure | 9 | 696 | 2.130000000000000E+0 |
| PlPressure | 9 | 697 | 2.130000000000000E+0 |
| PlPressure | 9 | 698 | 2.130000000000000E+0 |
| PlPressure | 9 | 699 | 2.130000000000000E+0 |
| PlPressure | 9 | 700 | 2.130000000000000E+0 |
| PlPressure | 9 | 701 | 2.130000000000000E+0 |
| PlPressure | 9 | 702 | 2.130000000000000E+0 |
| PlPressure | 9 | 703 | 2.130000000000000E+0 |
| PlPressure | 9 | 704 | 2.130000000000000E+0 |
| PlPressure | 9 | 705 | 2.130000000000000E+0 |
| PlPressure | 9 | 706 | 2.130000000000000E+0 |
| PlPressure | 9 | 707 | 2.130000000000000E+0 |
| PlPressure | 9 | 708 | 2.130000000000000E+0 |
| PlPressure | 9 | 709 | 2.130000000000000E+0 |
| PlPressure | 9 | 710 | 2.130000000000000E+0 |
| PlPressure | 9 | 711 | 2.130000000000000E+0 |
| PlPressure | 9 | 712 | 2.130000000000000E+0 |
| PlPressure | 9 | 713 | 2.130000000000000E+0 |
| PlPressure | 9 | 714 | 2.130000000000000E+0 |

Relazione di calcolo spalle

| | | | |
|----------|---------|----------|--------------|
| COMMESSA | LOTTO | CODIFICA | DOCUMENTO |
| NM25 | 03 D 26 | CL | IV 37 04 001 |

| | |
|------|------------|
| REV. | FOGLIO |
| A | 376 di 439 |

| | | | |
|------------|---|-----|----------------------|
| PlPressure | 9 | 715 | 2.130000000000000E+0 |
| PlPressure | 9 | 716 | 2.130000000000000E+0 |
| PlPressure | 9 | 717 | 2.130000000000000E+0 |
| PlPressure | 9 | 718 | 2.130000000000000E+0 |
| PlPressure | 9 | 719 | 2.130000000000000E+0 |
| PlPressure | 9 | 720 | 2.130000000000000E+0 |
| PlPressure | 9 | 721 | 2.130000000000000E+0 |
| PlPressure | 9 | 722 | 2.130000000000000E+0 |
| PlPressure | 9 | 723 | 2.130000000000000E+0 |
| PlPressure | 9 | 724 | 2.130000000000000E+0 |
| PlPressure | 9 | 725 | 2.130000000000000E+0 |
| PlPressure | 9 | 726 | 2.130000000000000E+0 |
| PlPressure | 9 | 727 | 2.130000000000000E+0 |
| PlPressure | 9 | 728 | 2.130000000000000E+0 |
| PlPressure | 9 | 729 | 2.130000000000000E+0 |
| PlPressure | 9 | 730 | 2.130000000000000E+0 |
| PlPressure | 9 | 731 | 2.130000000000000E+0 |
| PlPressure | 9 | 732 | 2.130000000000000E+0 |
| PlPressure | 9 | 733 | 2.130000000000000E+0 |
| PlPressure | 9 | 734 | 2.130000000000000E+0 |
| PlPressure | 9 | 735 | 2.130000000000000E+0 |
| PlPressure | 9 | 736 | 2.130000000000000E+0 |
| PlPressure | 9 | 737 | 2.130000000000000E+0 |
| PlPressure | 9 | 738 | 2.130000000000000E+0 |
| PlPressure | 9 | 739 | 2.130000000000000E+0 |
| PlPressure | 9 | 740 | 2.130000000000000E+0 |
| PlPressure | 9 | 741 | 2.130000000000000E+0 |

Relazione di calcolo spalle

COMMESA LOTTO CODIFICA DOCUMENTO REV. FOGLIO
NM25 03 D 26 CL IV 37 04 001 A 377 di 439

| | | | |
|------------|---|-----|---------------------|
| PlPressure | 9 | 742 | 2.13000000000000E+0 |
| PlPressure | 9 | 743 | 2.13000000000000E+0 |
| PlPressure | 9 | 744 | 2.13000000000000E+0 |
| PlPressure | 9 | 745 | 2.13000000000000E+0 |
| PlPressure | 9 | 746 | 2.13000000000000E+0 |
| PlPressure | 9 | 747 | 2.13000000000000E+0 |
| PlPressure | 9 | 748 | 2.13000000000000E+0 |
| PlPressure | 9 | 749 | 2.13000000000000E+0 |
| PlPressure | 9 | 750 | 2.13000000000000E+0 |
| PlPressure | 9 | 751 | 2.13000000000000E+0 |
| PlPressure | 9 | 752 | 2.13000000000000E+0 |
| PlPressure | 9 | 753 | 2.13000000000000E+0 |
| PlPressure | 9 | 754 | 2.13000000000000E+0 |
| PlPressure | 9 | 755 | 2.13000000000000E+0 |
| PlPressure | 9 | 756 | 2.13000000000000E+0 |
| PlPressure | 9 | 757 | 2.13000000000000E+0 |
| PlPressure | 9 | 758 | 2.13000000000000E+0 |
| PlPressure | 9 | 759 | 2.13000000000000E+0 |
| PlPressure | 9 | 760 | 2.13000000000000E+0 |
| PlPressure | 9 | 761 | 2.13000000000000E+0 |
| PlPressure | 9 | 762 | 2.13000000000000E+0 |
| PlPressure | 9 | 763 | 2.13000000000000E+0 |
| PlPressure | 9 | 764 | 2.13000000000000E+0 |
| PlPressure | 9 | 765 | 2.13000000000000E+0 |
| PlPressure | 9 | 766 | 2.13000000000000E+0 |
| PlPressure | 9 | 767 | 2.13000000000000E+0 |
| PlPressure | 9 | 768 | 2.13000000000000E+0 |

Relazione di calcolo spalle

| | | | |
|----------|---------|----------|--------------|
| COMMESSA | LOTTO | CODIFICA | DOCUMENTO |
| NM25 | 03 D 26 | CL | IV 37 04 001 |

| | | |
|------|------------|--|
| REV. | FOGLIO | |
| A | 378 di 439 | |

| | | | |
|------------|---|-----|----------------------|
| PlPressure | 9 | 769 | 2.130000000000000E+0 |
| PlPressure | 9 | 770 | 2.130000000000000E+0 |
| PlPressure | 9 | 771 | 2.130000000000000E+0 |
| PlPressure | 9 | 772 | 2.130000000000000E+0 |
| PlPressure | 9 | 773 | 2.130000000000000E+0 |
| PlPressure | 9 | 774 | 2.130000000000000E+0 |
| PlPressure | 9 | 775 | 2.130000000000000E+0 |
| PlPressure | 9 | 776 | 2.130000000000000E+0 |
| PlPressure | 9 | 777 | 2.130000000000000E+0 |
| PlPressure | 9 | 778 | 2.130000000000000E+0 |
| PlPressure | 9 | 779 | 2.130000000000000E+0 |
| PlPressure | 9 | 780 | 2.130000000000000E+0 |
| PlPressure | 9 | 781 | 2.130000000000000E+0 |
| PlPressure | 9 | 782 | 2.130000000000000E+0 |
| PlPressure | 9 | 783 | 2.130000000000000E+0 |
| PlPressure | 9 | 784 | 2.130000000000000E+0 |
| PlPressure | 9 | 785 | 2.130000000000000E+0 |
| PlPressure | 9 | 786 | 2.130000000000000E+0 |
| PlPressure | 9 | 787 | 2.130000000000000E+0 |
| PlPressure | 9 | 788 | 2.130000000000000E+0 |
| PlPressure | 9 | 789 | 2.130000000000000E+0 |
| PlPressure | 9 | 790 | 2.130000000000000E+0 |
| PlPressure | 9 | 791 | 2.130000000000000E+0 |
| PlPressure | 9 | 792 | 2.130000000000000E+0 |
| PlPressure | 9 | 793 | 2.130000000000000E+0 |
| PlPressure | 9 | 794 | 2.130000000000000E+0 |
| PlPressure | 9 | 795 | 2.130000000000000E+0 |

Relazione di calcolo spalle

| | | | |
|----------|---------|----------|--------------|
| COMMESSA | LOTTO | CODIFICA | DOCUMENTO |
| NM25 | 03 D 26 | CL | IV 37 04 001 |

| | |
|------|------------|
| REV. | FOGLIO |
| A | 379 di 439 |

| | | | |
|------------|---|-----|----------------------|
| PlPressure | 9 | 796 | 2.130000000000000E+0 |
| PlPressure | 9 | 797 | 2.130000000000000E+0 |
| PlPressure | 9 | 798 | 2.130000000000000E+0 |
| PlPressure | 9 | 799 | 2.130000000000000E+0 |
| PlPressure | 9 | 800 | 2.130000000000000E+0 |
| PlPressure | 9 | 801 | 2.130000000000000E+0 |
| PlPressure | 9 | 802 | 2.130000000000000E+0 |
| PlPressure | 9 | 803 | 2.130000000000000E+0 |
| PlPressure | 9 | 804 | 2.130000000000000E+0 |
| PlPressure | 9 | 805 | 2.130000000000000E+0 |
| PlPressure | 9 | 806 | 2.130000000000000E+0 |
| PlPressure | 9 | 807 | 2.130000000000000E+0 |
| PlPressure | 9 | 808 | 2.130000000000000E+0 |
| PlPressure | 9 | 809 | 2.130000000000000E+0 |
| PlPressure | 9 | 810 | 2.130000000000000E+0 |
| PlPressure | 9 | 811 | 2.130000000000000E+0 |
| PlPressure | 9 | 812 | 2.130000000000000E+0 |
| PlPressure | 9 | 813 | 2.130000000000000E+0 |
| PlPressure | 9 | 814 | 2.130000000000000E+0 |
| PlPressure | 9 | 815 | 2.130000000000000E+0 |
| PlPressure | 9 | 816 | 2.130000000000000E+0 |
| PlPressure | 9 | 817 | 2.130000000000000E+0 |
| PlPressure | 9 | 818 | 2.130000000000000E+0 |
| PlPressure | 9 | 819 | 2.130000000000000E+0 |
| PlPressure | 9 | 820 | 2.130000000000000E+0 |
| PlPressure | 9 | 821 | 2.130000000000000E+0 |
| PlPressure | 9 | 822 | 2.130000000000000E+0 |

Relazione di calcolo spalle

| COMMESSA | LOTTO | CODIFICA | DOCUMENTO | REV. | FOGLIO |
|----------|---------|----------|--------------|------|------------|
| NM25 | 03 D 26 | CL | IV 37 04 001 | A | 380 di 439 |

| | | | |
|------------|---|-----|----------------------|
| PlPressure | 9 | 823 | 2.130000000000000E+0 |
| PlPressure | 9 | 824 | 2.130000000000000E+0 |
| PlPressure | 9 | 825 | 2.130000000000000E+0 |
| PlPressure | 9 | 826 | 2.130000000000000E+0 |
| PlPressure | 9 | 827 | 2.130000000000000E+0 |
| PlPressure | 9 | 828 | 2.130000000000000E+0 |
| PlPressure | 9 | 829 | 2.130000000000000E+0 |
| PlPressure | 9 | 830 | 2.130000000000000E+0 |
| PlPressure | 9 | 831 | 2.130000000000000E+0 |
| PlPressure | 9 | 832 | 2.130000000000000E+0 |
| PlPressure | 9 | 833 | 2.130000000000000E+0 |
| PlPressure | 9 | 834 | 2.130000000000000E+0 |
| PlPressure | 9 | 835 | 2.130000000000000E+0 |
| PlPressure | 9 | 836 | 2.130000000000000E+0 |
| PlPressure | 9 | 837 | 2.130000000000000E+0 |
| PlPressure | 9 | 838 | 2.130000000000000E+0 |
| PlPressure | 9 | 839 | 2.130000000000000E+0 |
| PlPressure | 9 | 840 | 2.130000000000000E+0 |

/ PLATE EDGE PRESSURES

/ SPINTA ACC

| | | | | |
|----------------|---|------|---|-----------------------|
| PlEdgePressure | 9 | 1226 | 3 | -2.130000000000000E+0 |
| PlEdgePressure | 9 | 1227 | 3 | -2.130000000000000E+0 |
| PlEdgePressure | 9 | 1228 | 2 | -2.130000000000000E+0 |
| PlEdgePressure | 9 | 1229 | 2 | -2.130000000000000E+0 |
| PlEdgePressure | 9 | 1230 | 3 | -2.130000000000000E+0 |



RADDOPPIO LINEA CODOGNO – CREMONA – MANTOVA
TRATTA PIADENA - MANTOVA

Relazione di calcolo spalle

COMMESMA LOTTO CODIFICA DOCUMENTO REV. FOGLIO
NM25 03 D 26 CL IV 37 04 001 A 381 di 439

PIEdgePressure 9 1231 3 -2.13000000000000E+0
PIEdgePressure 9 1232 2 -2.13000000000000E+0

/ _____

/ PLATE FACE GLOBAL LOADS

/ SPINTA ACC

PIGlobalLoad 9 926 0.00000000000000E+0 0.00000000000000E+0 -5.00000000000000E+0
PIGlobalLoad 9 927 0.00000000000000E+0 0.00000000000000E+0 -5.00000000000000E+0
PIGlobalLoad 9 928 0.00000000000000E+0 0.00000000000000E+0 -5.00000000000000E+0
PIGlobalLoad 9 929 0.00000000000000E+0 0.00000000000000E+0 -5.00000000000000E+0
PIGlobalLoad 9 930 0.00000000000000E+0 0.00000000000000E+0 -5.00000000000000E+0
PIGlobalLoad 9 931 0.00000000000000E+0 0.00000000000000E+0 -5.00000000000000E+0
PIGlobalLoad 9 932 0.00000000000000E+0 0.00000000000000E+0 -5.00000000000000E+0
PIGlobalLoad 9 933 0.00000000000000E+0 0.00000000000000E+0 -5.00000000000000E+0
PIGlobalLoad 9 934 0.00000000000000E+0 0.00000000000000E+0 -5.00000000000000E+0
PIGlobalLoad 9 935 0.00000000000000E+0 0.00000000000000E+0 -5.00000000000000E+0
PIGlobalLoad 9 936 0.00000000000000E+0 0.00000000000000E+0 -5.00000000000000E+0
PIGlobalLoad 9 937 0.00000000000000E+0 0.00000000000000E+0 -5.00000000000000E+0
PIGlobalLoad 9 938 0.00000000000000E+0 0.00000000000000E+0 -5.00000000000000E+0
PIGlobalLoad 9 939 0.00000000000000E+0 0.00000000000000E+0 -5.00000000000000E+0
PIGlobalLoad 9 940 0.00000000000000E+0 0.00000000000000E+0 -5.00000000000000E+0
PIGlobalLoad 9 941 0.00000000000000E+0 0.00000000000000E+0 -5.00000000000000E+0
PIGlobalLoad 9 942 0.00000000000000E+0 0.00000000000000E+0 -5.00000000000000E+0
PIGlobalLoad 9 943 0.00000000000000E+0 0.00000000000000E+0 -5.00000000000000E+0
PIGlobalLoad 9 944 0.00000000000000E+0 0.00000000000000E+0 -5.00000000000000E+0
PIGlobalLoad 9 945 0.00000000000000E+0 0.00000000000000E+0 -5.00000000000000E+0
PIGlobalLoad 9 946 0.00000000000000E+0 0.00000000000000E+0 -5.00000000000000E+0

| Relazione di calcolo spalle | | | COMMESSE NM25 | LOTTO 03 D 26 | CODIFICA CL | DOCUMENTO IV 37 04 001 | REV. A | FOGLIO 382 di 439 |
|-----------------------------|--|--|------------------|------------------|----------------|---------------------------|-----------|----------------------|
|-----------------------------|--|--|------------------|------------------|----------------|---------------------------|-----------|----------------------|

| | | | | | | | | |
|--------------|---|-----|----------------------|----------------------|-----------------------|--|--|--|
| PIGlobalLoad | 9 | 947 | 0.000000000000000E+0 | 0.000000000000000E+0 | -5.000000000000000E+0 | | | |
| PIGlobalLoad | 9 | 948 | 0.000000000000000E+0 | 0.000000000000000E+0 | -5.000000000000000E+0 | | | |
| PIGlobalLoad | 9 | 949 | 0.000000000000000E+0 | 0.000000000000000E+0 | -5.000000000000000E+0 | | | |
| PIGlobalLoad | 9 | 950 | 0.000000000000000E+0 | 0.000000000000000E+0 | -5.000000000000000E+0 | | | |
| PIGlobalLoad | 9 | 951 | 0.000000000000000E+0 | 0.000000000000000E+0 | -5.000000000000000E+0 | | | |
| PIGlobalLoad | 9 | 952 | 0.000000000000000E+0 | 0.000000000000000E+0 | -5.000000000000000E+0 | | | |
| PIGlobalLoad | 9 | 953 | 0.000000000000000E+0 | 0.000000000000000E+0 | -5.000000000000000E+0 | | | |
| PIGlobalLoad | 9 | 954 | 0.000000000000000E+0 | 0.000000000000000E+0 | -5.000000000000000E+0 | | | |
| PIGlobalLoad | 9 | 955 | 0.000000000000000E+0 | 0.000000000000000E+0 | -5.000000000000000E+0 | | | |
| PIGlobalLoad | 9 | 956 | 0.000000000000000E+0 | 0.000000000000000E+0 | -5.000000000000000E+0 | | | |
| PIGlobalLoad | 9 | 957 | 0.000000000000000E+0 | 0.000000000000000E+0 | -5.000000000000000E+0 | | | |
| PIGlobalLoad | 9 | 958 | 0.000000000000000E+0 | 0.000000000000000E+0 | -5.000000000000000E+0 | | | |
| PIGlobalLoad | 9 | 959 | 0.000000000000000E+0 | 0.000000000000000E+0 | -5.000000000000000E+0 | | | |
| PIGlobalLoad | 9 | 960 | 0.000000000000000E+0 | 0.000000000000000E+0 | -5.000000000000000E+0 | | | |
| PIGlobalLoad | 9 | 961 | 0.000000000000000E+0 | 0.000000000000000E+0 | -5.000000000000000E+0 | | | |
| PIGlobalLoad | 9 | 962 | 0.000000000000000E+0 | 0.000000000000000E+0 | -5.000000000000000E+0 | | | |
| PIGlobalLoad | 9 | 963 | 0.000000000000000E+0 | 0.000000000000000E+0 | -5.000000000000000E+0 | | | |
| PIGlobalLoad | 9 | 964 | 0.000000000000000E+0 | 0.000000000000000E+0 | -5.000000000000000E+0 | | | |
| PIGlobalLoad | 9 | 965 | 0.000000000000000E+0 | 0.000000000000000E+0 | -5.000000000000000E+0 | | | |
| PIGlobalLoad | 9 | 966 | 0.000000000000000E+0 | 0.000000000000000E+0 | -5.000000000000000E+0 | | | |
| PIGlobalLoad | 9 | 967 | 0.000000000000000E+0 | 0.000000000000000E+0 | -5.000000000000000E+0 | | | |
| PIGlobalLoad | 9 | 968 | 0.000000000000000E+0 | 0.000000000000000E+0 | -5.000000000000000E+0 | | | |
| PIGlobalLoad | 9 | 969 | 0.000000000000000E+0 | 0.000000000000000E+0 | -5.000000000000000E+0 | | | |
| PIGlobalLoad | 9 | 970 | 0.000000000000000E+0 | 0.000000000000000E+0 | -5.000000000000000E+0 | | | |
| PIGlobalLoad | 9 | 971 | 0.000000000000000E+0 | 0.000000000000000E+0 | -5.000000000000000E+0 | | | |
| PIGlobalLoad | 9 | 972 | 0.000000000000000E+0 | 0.000000000000000E+0 | -5.000000000000000E+0 | | | |
| PIGlobalLoad | 9 | 973 | 0.000000000000000E+0 | 0.000000000000000E+0 | -5.000000000000000E+0 | | | |

| Relazione di calcolo spalle | | | COMMESSE | LOTTO | CODIFICA | DOCUMENTO | REV. | FOGLIO |
|-----------------------------|------|---------|----------|-------|--------------|-----------|------------|--------|
| | NM25 | 03 D 26 | CL | | IV 37 04 001 | A | 383 di 439 | |

| | | | | | | | | |
|--------------|---|------|----------------------|----------------------|-----------------------|--|--|--|
| PIGlobalLoad | 9 | 974 | 0.000000000000000E+0 | 0.000000000000000E+0 | -5.000000000000000E+0 | | | |
| PIGlobalLoad | 9 | 975 | 0.000000000000000E+0 | 0.000000000000000E+0 | -5.000000000000000E+0 | | | |
| PIGlobalLoad | 9 | 976 | 0.000000000000000E+0 | 0.000000000000000E+0 | -5.000000000000000E+0 | | | |
| PIGlobalLoad | 9 | 1196 | 0.000000000000000E+0 | 0.000000000000000E+0 | -5.000000000000000E+0 | | | |
| PIGlobalLoad | 9 | 1197 | 0.000000000000000E+0 | 0.000000000000000E+0 | -5.000000000000000E+0 | | | |
| PIGlobalLoad | 9 | 1198 | 0.000000000000000E+0 | 0.000000000000000E+0 | -5.000000000000000E+0 | | | |
| PIGlobalLoad | 9 | 1199 | 0.000000000000000E+0 | 0.000000000000000E+0 | -5.000000000000000E+0 | | | |
| PIGlobalLoad | 9 | 1200 | 0.000000000000000E+0 | 0.000000000000000E+0 | -5.000000000000000E+0 | | | |
| PIGlobalLoad | 9 | 1201 | 0.000000000000000E+0 | 0.000000000000000E+0 | -5.000000000000000E+0 | | | |
| PIGlobalLoad | 9 | 1202 | 0.000000000000000E+0 | 0.000000000000000E+0 | -5.000000000000000E+0 | | | |
| PIGlobalLoad | 9 | 1203 | 0.000000000000000E+0 | 0.000000000000000E+0 | -5.000000000000000E+0 | | | |
| PIGlobalLoad | 9 | 1204 | 0.000000000000000E+0 | 0.000000000000000E+0 | -5.000000000000000E+0 | | | |
| PIGlobalLoad | 9 | 1205 | 0.000000000000000E+0 | 0.000000000000000E+0 | -5.000000000000000E+0 | | | |
| PIGlobalLoad | 9 | 1206 | 0.000000000000000E+0 | 0.000000000000000E+0 | -5.000000000000000E+0 | | | |
| PIGlobalLoad | 9 | 1207 | 0.000000000000000E+0 | 0.000000000000000E+0 | -5.000000000000000E+0 | | | |
| PIGlobalLoad | 9 | 1208 | 0.000000000000000E+0 | 0.000000000000000E+0 | -5.000000000000000E+0 | | | |
| PIGlobalLoad | 9 | 1209 | 0.000000000000000E+0 | 0.000000000000000E+0 | -5.000000000000000E+0 | | | |
| PIGlobalLoad | 9 | 1210 | 0.000000000000000E+0 | 0.000000000000000E+0 | -5.000000000000000E+0 | | | |
| PIGlobalLoad | 9 | 1211 | 0.000000000000000E+0 | 0.000000000000000E+0 | -5.000000000000000E+0 | | | |
| PIGlobalLoad | 9 | 1212 | 0.000000000000000E+0 | 0.000000000000000E+0 | -5.000000000000000E+0 | | | |
| PIGlobalLoad | 9 | 1213 | 0.000000000000000E+0 | 0.000000000000000E+0 | -5.000000000000000E+0 | | | |
| PIGlobalLoad | 9 | 1214 | 0.000000000000000E+0 | 0.000000000000000E+0 | -5.000000000000000E+0 | | | |
| PIGlobalLoad | 9 | 1215 | 0.000000000000000E+0 | 0.000000000000000E+0 | -5.000000000000000E+0 | | | |
| PIGlobalLoad | 9 | 1216 | 0.000000000000000E+0 | 0.000000000000000E+0 | -5.000000000000000E+0 | | | |
| PIGlobalLoad | 9 | 1217 | 0.000000000000000E+0 | 0.000000000000000E+0 | -5.000000000000000E+0 | | | |
| PIGlobalLoad | 9 | 1218 | 0.000000000000000E+0 | 0.000000000000000E+0 | -5.000000000000000E+0 | | | |
| PIGlobalLoad | 9 | 1219 | 0.000000000000000E+0 | 0.000000000000000E+0 | -5.000000000000000E+0 | | | |

| Relazione di calcolo spalle | COMMESSE NM25 | LOTTO 03 D 26 | CODIFICA CL | DOCUMENTO IV 37 04 001 | REV. A | FOGLIO 384 di 439 |
|-----------------------------|------------------|------------------|----------------|---------------------------|-----------|----------------------|
|-----------------------------|------------------|------------------|----------------|---------------------------|-----------|----------------------|

| | | | | | | |
|--------------|---|------|----------------------|----------------------|-----------------------|--|
| PIGlobalLoad | 9 | 1220 | 0.000000000000000E+0 | 0.000000000000000E+0 | -5.000000000000000E+0 | |
| PIGlobalLoad | 9 | 1221 | 0.000000000000000E+0 | 0.000000000000000E+0 | -5.000000000000000E+0 | |
| PIGlobalLoad | 9 | 1222 | 0.000000000000000E+0 | 0.000000000000000E+0 | -5.000000000000000E+0 | |
| PIGlobalLoad | 9 | 1223 | 0.000000000000000E+0 | 0.000000000000000E+0 | -5.000000000000000E+0 | |
| PIGlobalLoad | 9 | 1224 | 0.000000000000000E+0 | 0.000000000000000E+0 | -5.000000000000000E+0 | |
| PIGlobalLoad | 9 | 1225 | 0.000000000000000E+0 | 0.000000000000000E+0 | -5.000000000000000E+0 | |
| PIGlobalLoad | 9 | 1226 | 0.000000000000000E+0 | 0.000000000000000E+0 | -5.000000000000000E+0 | |
| PIGlobalLoad | 9 | 1227 | 0.000000000000000E+0 | 0.000000000000000E+0 | -5.000000000000000E+0 | |
| PIGlobalLoad | 9 | 1228 | 0.000000000000000E+0 | 0.000000000000000E+0 | -5.000000000000000E+0 | |
| PIGlobalLoad | 9 | 1229 | 0.000000000000000E+0 | 0.000000000000000E+0 | -5.000000000000000E+0 | |
| PIGlobalLoad | 9 | 1230 | 0.000000000000000E+0 | 0.000000000000000E+0 | -5.000000000000000E+0 | |
| PIGlobalLoad | 9 | 1231 | 0.000000000000000E+0 | 0.000000000000000E+0 | -5.000000000000000E+0 | |
| PIGlobalLoad | 9 | 1232 | 0.000000000000000E+0 | 0.000000000000000E+0 | -5.000000000000000E+0 | |
| PIGlobalLoad | 9 | 1233 | 0.000000000000000E+0 | 0.000000000000000E+0 | -5.000000000000000E+0 | |
| PIGlobalLoad | 9 | 1234 | 0.000000000000000E+0 | 0.000000000000000E+0 | -5.000000000000000E+0 | |
| PIGlobalLoad | 9 | 1235 | 0.000000000000000E+0 | 0.000000000000000E+0 | -5.000000000000000E+0 | |
| PIGlobalLoad | 9 | 1236 | 0.000000000000000E+0 | 0.000000000000000E+0 | -5.000000000000000E+0 | |
| PIGlobalLoad | 9 | 1237 | 0.000000000000000E+0 | 0.000000000000000E+0 | -5.000000000000000E+0 | |
| PIGlobalLoad | 9 | 1238 | 0.000000000000000E+0 | 0.000000000000000E+0 | -5.000000000000000E+0 | |
| PIGlobalLoad | 9 | 1239 | 0.000000000000000E+0 | 0.000000000000000E+0 | -5.000000000000000E+0 | |
| PIGlobalLoad | 9 | 1240 | 0.000000000000000E+0 | 0.000000000000000E+0 | -5.000000000000000E+0 | |
| PIGlobalLoad | 9 | 1241 | 0.000000000000000E+0 | 0.000000000000000E+0 | -5.000000000000000E+0 | |
| PIGlobalLoad | 9 | 1242 | 0.000000000000000E+0 | 0.000000000000000E+0 | -5.000000000000000E+0 | |
| PIGlobalLoad | 9 | 1243 | 0.000000000000000E+0 | 0.000000000000000E+0 | -5.000000000000000E+0 | |
| PIGlobalLoad | 9 | 1244 | 0.000000000000000E+0 | 0.000000000000000E+0 | -5.000000000000000E+0 | |
| PIGlobalLoad | 9 | 1245 | 0.000000000000000E+0 | 0.000000000000000E+0 | -5.000000000000000E+0 | |
| PIGlobalLoad | 9 | 1246 | 0.000000000000000E+0 | 0.000000000000000E+0 | -5.000000000000000E+0 | |

| Relazione di calcolo spalle | COMMESSE NM25 | LOTTO 03 D 26 | CODIFICA CL | DOCUMENTO IV 37 04 001 | REV. A | FOGLIO 385 di 439 |
|-----------------------------|------------------|------------------|----------------|---------------------------|-----------|----------------------|
|-----------------------------|------------------|------------------|----------------|---------------------------|-----------|----------------------|

| | | | | | | |
|--------------|---|------|----------------------|----------------------|-----------------------|--|
| PIGlobalLoad | 9 | 1247 | 0.000000000000000E+0 | 0.000000000000000E+0 | -5.000000000000000E+0 | |
| PIGlobalLoad | 9 | 1248 | 0.000000000000000E+0 | 0.000000000000000E+0 | -5.000000000000000E+0 | |
| PIGlobalLoad | 9 | 1249 | 0.000000000000000E+0 | 0.000000000000000E+0 | -5.000000000000000E+0 | |
| PIGlobalLoad | 9 | 1250 | 0.000000000000000E+0 | 0.000000000000000E+0 | -5.000000000000000E+0 | |
| PIGlobalLoad | 9 | 1251 | 0.000000000000000E+0 | 0.000000000000000E+0 | -5.000000000000000E+0 | |
| PIGlobalLoad | 9 | 1252 | 0.000000000000000E+0 | 0.000000000000000E+0 | -5.000000000000000E+0 | |
| PIGlobalLoad | 9 | 1253 | 0.000000000000000E+0 | 0.000000000000000E+0 | -5.000000000000000E+0 | |
| PIGlobalLoad | 9 | 1254 | 0.000000000000000E+0 | 0.000000000000000E+0 | -5.000000000000000E+0 | |
| PIGlobalLoad | 9 | 1255 | 0.000000000000000E+0 | 0.000000000000000E+0 | -5.000000000000000E+0 | |
| PIGlobalLoad | 9 | 1256 | 0.000000000000000E+0 | 0.000000000000000E+0 | -5.000000000000000E+0 | |
| PIGlobalLoad | 9 | 1257 | 0.000000000000000E+0 | 0.000000000000000E+0 | -5.000000000000000E+0 | |
| PIGlobalLoad | 9 | 1258 | 0.000000000000000E+0 | 0.000000000000000E+0 | -5.000000000000000E+0 | |
| PIGlobalLoad | 9 | 1259 | 0.000000000000000E+0 | 0.000000000000000E+0 | -5.000000000000000E+0 | |
| PIGlobalLoad | 9 | 1260 | 0.000000000000000E+0 | 0.000000000000000E+0 | -5.000000000000000E+0 | |
| PIGlobalLoad | 9 | 1261 | 0.000000000000000E+0 | 0.000000000000000E+0 | -5.000000000000000E+0 | |
| PIGlobalLoad | 9 | 1262 | 0.000000000000000E+0 | 0.000000000000000E+0 | -5.000000000000000E+0 | |
| PIGlobalLoad | 9 | 1263 | 0.000000000000000E+0 | 0.000000000000000E+0 | -5.000000000000000E+0 | |
| PIGlobalLoad | 9 | 1264 | 0.000000000000000E+0 | 0.000000000000000E+0 | -5.000000000000000E+0 | |
| PIGlobalLoad | 9 | 1265 | 0.000000000000000E+0 | 0.000000000000000E+0 | -5.000000000000000E+0 | |
| PIGlobalLoad | 9 | 1266 | 0.000000000000000E+0 | 0.000000000000000E+0 | -5.000000000000000E+0 | |
| PIGlobalLoad | 9 | 1267 | 0.000000000000000E+0 | 0.000000000000000E+0 | -5.000000000000000E+0 | |
| PIGlobalLoad | 9 | 1268 | 0.000000000000000E+0 | 0.000000000000000E+0 | -5.000000000000000E+0 | |
| PIGlobalLoad | 9 | 1269 | 0.000000000000000E+0 | 0.000000000000000E+0 | -5.000000000000000E+0 | |
| PIGlobalLoad | 9 | 1270 | 0.000000000000000E+0 | 0.000000000000000E+0 | -5.000000000000000E+0 | |
| PIGlobalLoad | 9 | 1271 | 0.000000000000000E+0 | 0.000000000000000E+0 | -5.000000000000000E+0 | |
| PIGlobalLoad | 9 | 1272 | 0.000000000000000E+0 | 0.000000000000000E+0 | -5.000000000000000E+0 | |
| PIGlobalLoad | 9 | 1273 | 0.000000000000000E+0 | 0.000000000000000E+0 | -5.000000000000000E+0 | |

| Relazione di calcolo spalle | COMMESSE NM25 | LOTTO 03 D 26 | CODIFICA CL | DOCUMENTO IV 37 04 001 | REV. A | FOGLIO 386 di 439 |
|-----------------------------|------------------|------------------|----------------|---------------------------|-----------|----------------------|
|-----------------------------|------------------|------------------|----------------|---------------------------|-----------|----------------------|

| | | | | | | |
|--------------|---|------|----------------------|----------------------|-----------------------|--|
| PIGlobalLoad | 9 | 1274 | 0.000000000000000E+0 | 0.000000000000000E+0 | -5.000000000000000E+0 | |
| PIGlobalLoad | 9 | 1275 | 0.000000000000000E+0 | 0.000000000000000E+0 | -5.000000000000000E+0 | |
| PIGlobalLoad | 9 | 1276 | 0.000000000000000E+0 | 0.000000000000000E+0 | -5.000000000000000E+0 | |
| PIGlobalLoad | 9 | 1277 | 0.000000000000000E+0 | 0.000000000000000E+0 | -5.000000000000000E+0 | |
| PIGlobalLoad | 9 | 1278 | 0.000000000000000E+0 | 0.000000000000000E+0 | -5.000000000000000E+0 | |
| PIGlobalLoad | 9 | 1279 | 0.000000000000000E+0 | 0.000000000000000E+0 | -5.000000000000000E+0 | |
| PIGlobalLoad | 9 | 1280 | 0.000000000000000E+0 | 0.000000000000000E+0 | -5.000000000000000E+0 | |
| PIGlobalLoad | 9 | 1281 | 0.000000000000000E+0 | 0.000000000000000E+0 | -5.000000000000000E+0 | |
| PIGlobalLoad | 9 | 1282 | 0.000000000000000E+0 | 0.000000000000000E+0 | -5.000000000000000E+0 | |
| PIGlobalLoad | 9 | 1283 | 0.000000000000000E+0 | 0.000000000000000E+0 | -5.000000000000000E+0 | |
| PIGlobalLoad | 9 | 1284 | 0.000000000000000E+0 | 0.000000000000000E+0 | -5.000000000000000E+0 | |
| PIGlobalLoad | 9 | 1285 | 0.000000000000000E+0 | 0.000000000000000E+0 | -5.000000000000000E+0 | |
| PIGlobalLoad | 9 | 1286 | 0.000000000000000E+0 | 0.000000000000000E+0 | -5.000000000000000E+0 | |
| PIGlobalLoad | 9 | 1287 | 0.000000000000000E+0 | 0.000000000000000E+0 | -5.000000000000000E+0 | |
| PIGlobalLoad | 9 | 1288 | 0.000000000000000E+0 | 0.000000000000000E+0 | -5.000000000000000E+0 | |
| PIGlobalLoad | 9 | 1289 | 0.000000000000000E+0 | 0.000000000000000E+0 | -5.000000000000000E+0 | |
| PIGlobalLoad | 9 | 1290 | 0.000000000000000E+0 | 0.000000000000000E+0 | -5.000000000000000E+0 | |
| PIGlobalLoad | 9 | 1291 | 0.000000000000000E+0 | 0.000000000000000E+0 | -5.000000000000000E+0 | |
| PIGlobalLoad | 9 | 1292 | 0.000000000000000E+0 | 0.000000000000000E+0 | -5.000000000000000E+0 | |
| PIGlobalLoad | 9 | 1293 | 0.000000000000000E+0 | 0.000000000000000E+0 | -5.000000000000000E+0 | |
| PIGlobalLoad | 9 | 1294 | 0.000000000000000E+0 | 0.000000000000000E+0 | -5.000000000000000E+0 | |
| PIGlobalLoad | 9 | 1295 | 0.000000000000000E+0 | 0.000000000000000E+0 | -5.000000000000000E+0 | |
| PIGlobalLoad | 9 | 1296 | 0.000000000000000E+0 | 0.000000000000000E+0 | -5.000000000000000E+0 | |
| PIGlobalLoad | 9 | 1297 | 0.000000000000000E+0 | 0.000000000000000E+0 | -5.000000000000000E+0 | |
| PIGlobalLoad | 9 | 1298 | 0.000000000000000E+0 | 0.000000000000000E+0 | -5.000000000000000E+0 | |
| PIGlobalLoad | 9 | 1299 | 0.000000000000000E+0 | 0.000000000000000E+0 | -5.000000000000000E+0 | |
| PIGlobalLoad | 9 | 1300 | 0.000000000000000E+0 | 0.000000000000000E+0 | -5.000000000000000E+0 | |

| Relazione di calcolo spalle | COMMESSE NM25 | LOTTO 03 D 26 | CODIFICA CL | DOCUMENTO IV 37 04 001 | REV. A | FOGLIO 387 di 439 |
|-----------------------------|------------------|------------------|----------------|---------------------------|-----------|----------------------|
|-----------------------------|------------------|------------------|----------------|---------------------------|-----------|----------------------|

| | | | | | | |
|--------------|---|------|----------------------|----------------------|-----------------------|--|
| PIGlobalLoad | 9 | 1301 | 0.000000000000000E+0 | 0.000000000000000E+0 | -5.000000000000000E+0 | |
| PIGlobalLoad | 9 | 1302 | 0.000000000000000E+0 | 0.000000000000000E+0 | -5.000000000000000E+0 | |
| PIGlobalLoad | 9 | 1303 | 0.000000000000000E+0 | 0.000000000000000E+0 | -5.000000000000000E+0 | |
| PIGlobalLoad | 9 | 1304 | 0.000000000000000E+0 | 0.000000000000000E+0 | -5.000000000000000E+0 | |
| PIGlobalLoad | 9 | 1305 | 0.000000000000000E+0 | 0.000000000000000E+0 | -5.000000000000000E+0 | |
| PIGlobalLoad | 9 | 1306 | 0.000000000000000E+0 | 0.000000000000000E+0 | -5.000000000000000E+0 | |
| PIGlobalLoad | 9 | 1307 | 0.000000000000000E+0 | 0.000000000000000E+0 | -5.000000000000000E+0 | |
| PIGlobalLoad | 9 | 1308 | 0.000000000000000E+0 | 0.000000000000000E+0 | -5.000000000000000E+0 | |
| PIGlobalLoad | 9 | 1309 | 0.000000000000000E+0 | 0.000000000000000E+0 | -5.000000000000000E+0 | |
| PIGlobalLoad | 9 | 1310 | 0.000000000000000E+0 | 0.000000000000000E+0 | -5.000000000000000E+0 | |
| PIGlobalLoad | 9 | 1311 | 0.000000000000000E+0 | 0.000000000000000E+0 | -5.000000000000000E+0 | |
| PIGlobalLoad | 9 | 1312 | 0.000000000000000E+0 | 0.000000000000000E+0 | -5.000000000000000E+0 | |
| PIGlobalLoad | 9 | 1313 | 0.000000000000000E+0 | 0.000000000000000E+0 | -5.000000000000000E+0 | |
| PIGlobalLoad | 9 | 1314 | 0.000000000000000E+0 | 0.000000000000000E+0 | -5.000000000000000E+0 | |
| PIGlobalLoad | 9 | 1315 | 0.000000000000000E+0 | 0.000000000000000E+0 | -5.000000000000000E+0 | |
| PIGlobalLoad | 9 | 1316 | 0.000000000000000E+0 | 0.000000000000000E+0 | -5.000000000000000E+0 | |
| PIGlobalLoad | 9 | 1317 | 0.000000000000000E+0 | 0.000000000000000E+0 | -5.000000000000000E+0 | |
| PIGlobalLoad | 9 | 1318 | 0.000000000000000E+0 | 0.000000000000000E+0 | -5.000000000000000E+0 | |
| PIGlobalLoad | 9 | 1319 | 0.000000000000000E+0 | 0.000000000000000E+0 | -5.000000000000000E+0 | |
| PIGlobalLoad | 9 | 1320 | 0.000000000000000E+0 | 0.000000000000000E+0 | -5.000000000000000E+0 | |
| PIGlobalLoad | 9 | 1321 | 0.000000000000000E+0 | 0.000000000000000E+0 | -5.000000000000000E+0 | |
| PIGlobalLoad | 9 | 1322 | 0.000000000000000E+0 | 0.000000000000000E+0 | -5.000000000000000E+0 | |
| PIGlobalLoad | 9 | 1323 | 0.000000000000000E+0 | 0.000000000000000E+0 | -5.000000000000000E+0 | |
| PIGlobalLoad | 9 | 1324 | 0.000000000000000E+0 | 0.000000000000000E+0 | -5.000000000000000E+0 | |
| PIGlobalLoad | 9 | 1325 | 0.000000000000000E+0 | 0.000000000000000E+0 | -5.000000000000000E+0 | |
| PIGlobalLoad | 9 | 1326 | 0.000000000000000E+0 | 0.000000000000000E+0 | -5.000000000000000E+0 | |
| PIGlobalLoad | 9 | 1327 | 0.000000000000000E+0 | 0.000000000000000E+0 | -5.000000000000000E+0 | |

Relazione di calcolo spalle

| COMMESSA | LOTTO | CODIFICA | DOCUMENTO | REV. | FOGLIO |
|----------|---------|----------|--------------|------|------------|
| NM25 | 03 D 26 | CL | IV 37 04 001 | A | 388 di 439 |

| | | | | | |
|--------------|---|------|----------------------|----------------------|-----------------------|
| PlGlobalLoad | 9 | 1328 | 0.000000000000000E+0 | 0.000000000000000E+0 | -5.000000000000000E+0 |
| PlGlobalLoad | 9 | 1329 | 0.000000000000000E+0 | 0.000000000000000E+0 | -5.000000000000000E+0 |
| PlGlobalLoad | 9 | 1330 | 0.000000000000000E+0 | 0.000000000000000E+0 | -5.000000000000000E+0 |
| PlGlobalLoad | 9 | 1331 | 0.000000000000000E+0 | 0.000000000000000E+0 | -5.000000000000000E+0 |
| PlGlobalLoad | 9 | 1332 | 0.000000000000000E+0 | 0.000000000000000E+0 | -5.000000000000000E+0 |
| PlGlobalLoad | 9 | 1333 | 0.000000000000000E+0 | 0.000000000000000E+0 | -5.000000000000000E+0 |
| PlGlobalLoad | 9 | 1334 | 0.000000000000000E+0 | 0.000000000000000E+0 | -5.000000000000000E+0 |
| PlGlobalLoad | 9 | 1335 | 0.000000000000000E+0 | 0.000000000000000E+0 | -5.000000000000000E+0 |
| PlGlobalLoad | 9 | 1336 | 0.000000000000000E+0 | 0.000000000000000E+0 | -5.000000000000000E+0 |
| PlGlobalLoad | 9 | 1337 | 0.000000000000000E+0 | 0.000000000000000E+0 | -5.000000000000000E+0 |
| PlGlobalLoad | 9 | 1338 | 0.000000000000000E+0 | 0.000000000000000E+0 | -5.000000000000000E+0 |
| PlGlobalLoad | 9 | 1339 | 0.000000000000000E+0 | 0.000000000000000E+0 | -5.000000000000000E+0 |
| PlGlobalLoad | 9 | 1340 | 0.000000000000000E+0 | 0.000000000000000E+0 | -5.000000000000000E+0 |
| PlGlobalLoad | 9 | 1341 | 0.000000000000000E+0 | 0.000000000000000E+0 | -5.000000000000000E+0 |
| PlGlobalLoad | 9 | 1342 | 0.000000000000000E+0 | 0.000000000000000E+0 | -5.000000000000000E+0 |
| PlGlobalLoad | 9 | 1343 | 0.000000000000000E+0 | 0.000000000000000E+0 | -5.000000000000000E+0 |
| PlGlobalLoad | 9 | 1344 | 0.000000000000000E+0 | 0.000000000000000E+0 | -5.000000000000000E+0 |
| PlGlobalLoad | 9 | 1345 | 0.000000000000000E+0 | 0.000000000000000E+0 | -5.000000000000000E+0 |

/ _____

/ PLATE FACE PRESSURES

/ SPINTA SISMA LONG

| | | | |
|------------|----|---|----------------------|
| PlPressure | 11 | 1 | 2.288000000000000E+1 |
| PlPressure | 11 | 2 | 2.288000000000000E+1 |
| PlPressure | 11 | 3 | 2.288000000000000E+1 |
| PlPressure | 11 | 4 | 2.288000000000000E+1 |

Relazione di calcolo spalle

| COMMESA | LOTTO | CODIFICA | DOCUMENTO | REV. | FOGLIO |
|---------|---------|----------|--------------|------|------------|
| NM25 | 03 D 26 | CL | IV 37 04 001 | A | 389 di 439 |

| | | | |
|------------|----|-----|----------------------|
| PlPressure | 11 | 5 | 2.288000000000000E+1 |
| PlPressure | 11 | 6 | 2.288000000000000E+1 |
| PlPressure | 11 | 7 | 2.288000000000000E+1 |
| PlPressure | 11 | 8 | 2.288000000000000E+1 |
| PlPressure | 11 | 9 | 2.288000000000000E+1 |
| PlPressure | 11 | 10 | 2.288000000000000E+1 |
| PlPressure | 11 | 11 | 2.288000000000000E+1 |
| PlPressure | 11 | 12 | 2.288000000000000E+1 |
| PlPressure | 11 | 13 | 2.288000000000000E+1 |
| PlPressure | 11 | 14 | 2.288000000000000E+1 |
| PlPressure | 11 | 15 | 2.288000000000000E+1 |
| PlPressure | 11 | 16 | 2.288000000000000E+1 |
| PlPressure | 11 | 17 | 2.288000000000000E+1 |
| PlPressure | 11 | 18 | 2.288000000000000E+1 |
| PlPressure | 11 | 19 | 2.288000000000000E+1 |
| PlPressure | 11 | 20 | 2.288000000000000E+1 |
| PlPressure | 11 | 21 | 2.288000000000000E+1 |
| PlPressure | 11 | 423 | 2.288000000000000E+1 |
| PlPressure | 11 | 424 | 2.288000000000000E+1 |
| PlPressure | 11 | 425 | 2.288000000000000E+1 |
| PlPressure | 11 | 426 | 2.288000000000000E+1 |
| PlPressure | 11 | 427 | 2.288000000000000E+1 |
| PlPressure | 11 | 428 | 2.288000000000000E+1 |
| PlPressure | 11 | 429 | 2.288000000000000E+1 |
| PlPressure | 11 | 430 | 2.288000000000000E+1 |
| PlPressure | 11 | 431 | 2.288000000000000E+1 |
| PlPressure | 11 | 432 | 2.288000000000000E+1 |

Relazione di calcolo spalle

| COMMESA | LOTTO | CODIFICA | DOCUMENTO | REV. | FOGLIO |
|---------|---------|----------|--------------|------|------------|
| NM25 | 03 D 26 | CL | IV 37 04 001 | A | 390 di 439 |

| | | | |
|------------|----|-----|----------------------|
| PlPressure | 11 | 433 | 2.288000000000000E+1 |
| PlPressure | 11 | 434 | 2.288000000000000E+1 |
| PlPressure | 11 | 435 | 2.288000000000000E+1 |
| PlPressure | 11 | 436 | 2.288000000000000E+1 |
| PlPressure | 11 | 437 | 2.288000000000000E+1 |
| PlPressure | 11 | 438 | 2.288000000000000E+1 |
| PlPressure | 11 | 439 | 2.288000000000000E+1 |
| PlPressure | 11 | 440 | 2.288000000000000E+1 |
| PlPressure | 11 | 441 | 2.288000000000000E+1 |
| PlPressure | 11 | 442 | 2.288000000000000E+1 |
| PlPressure | 11 | 443 | 2.288000000000000E+1 |
| PlPressure | 11 | 444 | 2.288000000000000E+1 |
| PlPressure | 11 | 445 | 2.288000000000000E+1 |
| PlPressure | 11 | 446 | 2.288000000000000E+1 |
| PlPressure | 11 | 447 | 2.288000000000000E+1 |
| PlPressure | 11 | 448 | 2.288000000000000E+1 |
| PlPressure | 11 | 449 | 2.288000000000000E+1 |
| PlPressure | 11 | 450 | 2.288000000000000E+1 |
| PlPressure | 11 | 451 | 2.288000000000000E+1 |
| PlPressure | 11 | 452 | 2.288000000000000E+1 |
| PlPressure | 11 | 453 | 2.288000000000000E+1 |
| PlPressure | 11 | 454 | 2.288000000000000E+1 |
| PlPressure | 11 | 455 | 2.288000000000000E+1 |
| PlPressure | 11 | 456 | 2.288000000000000E+1 |
| PlPressure | 11 | 457 | 2.288000000000000E+1 |
| PlPressure | 11 | 458 | 2.288000000000000E+1 |
| PlPressure | 11 | 459 | 2.288000000000000E+1 |

Relazione di calcolo spalle

| COMMESA | LOTTO | CODIFICA | DOCUMENTO | REV. | FOGLIO |
|---------|---------|----------|--------------|------|------------|
| NM25 | 03 D 26 | CL | IV 37 04 001 | A | 391 di 439 |

| | | | |
|------------|----|-----|----------------------|
| PlPressure | 11 | 460 | 2.288000000000000E+1 |
| PlPressure | 11 | 461 | 2.288000000000000E+1 |
| PlPressure | 11 | 462 | 2.288000000000000E+1 |
| PlPressure | 11 | 463 | 2.288000000000000E+1 |
| PlPressure | 11 | 464 | 2.288000000000000E+1 |
| PlPressure | 11 | 465 | 2.288000000000000E+1 |
| PlPressure | 11 | 466 | 2.288000000000000E+1 |
| PlPressure | 11 | 467 | 2.288000000000000E+1 |
| PlPressure | 11 | 468 | 2.288000000000000E+1 |
| PlPressure | 11 | 469 | 2.288000000000000E+1 |
| PlPressure | 11 | 470 | 2.288000000000000E+1 |
| PlPressure | 11 | 471 | 2.288000000000000E+1 |
| PlPressure | 11 | 472 | 2.288000000000000E+1 |
| PlPressure | 11 | 473 | 2.288000000000000E+1 |
| PlPressure | 11 | 474 | 2.288000000000000E+1 |
| PlPressure | 11 | 475 | 2.288000000000000E+1 |
| PlPressure | 11 | 476 | 2.288000000000000E+1 |
| PlPressure | 11 | 477 | 2.288000000000000E+1 |
| PlPressure | 11 | 478 | 2.288000000000000E+1 |
| PlPressure | 11 | 479 | 2.288000000000000E+1 |
| PlPressure | 11 | 480 | 2.288000000000000E+1 |
| PlPressure | 11 | 481 | 2.288000000000000E+1 |
| PlPressure | 11 | 482 | 2.288000000000000E+1 |
| PlPressure | 11 | 483 | 2.288000000000000E+1 |
| PlPressure | 11 | 484 | 2.288000000000000E+1 |
| PlPressure | 11 | 485 | 2.288000000000000E+1 |
| PlPressure | 11 | 486 | 2.288000000000000E+1 |

Relazione di calcolo spalle

| COMMESA | LOTTO | CODIFICA | DOCUMENTO | REV. | FOGLIO |
|---------|---------|----------|--------------|------|------------|
| NM25 | 03 D 26 | CL | IV 37 04 001 | A | 392 di 439 |

| | | | |
|------------|----|-----|----------------------|
| PlPressure | 11 | 487 | 2.288000000000000E+1 |
| PlPressure | 11 | 488 | 2.288000000000000E+1 |
| PlPressure | 11 | 489 | 2.288000000000000E+1 |
| PlPressure | 11 | 490 | 2.288000000000000E+1 |
| PlPressure | 11 | 491 | 2.288000000000000E+1 |
| PlPressure | 11 | 492 | 2.288000000000000E+1 |
| PlPressure | 11 | 493 | 2.288000000000000E+1 |
| PlPressure | 11 | 494 | 2.288000000000000E+1 |
| PlPressure | 11 | 495 | 2.288000000000000E+1 |
| PlPressure | 11 | 496 | 2.288000000000000E+1 |
| PlPressure | 11 | 497 | 2.288000000000000E+1 |
| PlPressure | 11 | 498 | 2.288000000000000E+1 |
| PlPressure | 11 | 499 | 2.288000000000000E+1 |
| PlPressure | 11 | 500 | 2.288000000000000E+1 |
| PlPressure | 11 | 501 | 2.288000000000000E+1 |
| PlPressure | 11 | 502 | 2.288000000000000E+1 |
| PlPressure | 11 | 503 | 2.288000000000000E+1 |
| PlPressure | 11 | 504 | 2.288000000000000E+1 |
| PlPressure | 11 | 505 | 2.288000000000000E+1 |
| PlPressure | 11 | 506 | 2.288000000000000E+1 |
| PlPressure | 11 | 507 | 2.288000000000000E+1 |
| PlPressure | 11 | 508 | 2.288000000000000E+1 |
| PlPressure | 11 | 509 | 2.288000000000000E+1 |
| PlPressure | 11 | 510 | 2.288000000000000E+1 |
| PlPressure | 11 | 511 | 2.288000000000000E+1 |
| PlPressure | 11 | 512 | 2.288000000000000E+1 |
| PlPressure | 11 | 513 | 2.288000000000000E+1 |

Relazione di calcolo spalle

| | | | | | |
|---------|---------|----------|--------------|------|------------|
| COMMESA | LOTTO | CODIFICA | DOCUMENTO | REV. | FOGLIO |
| NM25 | 03 D 26 | CL | IV 37 04 001 | A | 393 di 439 |

| | | | |
|------------|----|-----|----------------------|
| PlPressure | 11 | 514 | 2.288000000000000E+1 |
| PlPressure | 11 | 515 | 2.288000000000000E+1 |
| PlPressure | 11 | 516 | 2.288000000000000E+1 |
| PlPressure | 11 | 517 | 2.288000000000000E+1 |
| PlPressure | 11 | 518 | 2.288000000000000E+1 |
| PlPressure | 11 | 519 | 2.288000000000000E+1 |
| PlPressure | 11 | 520 | 2.288000000000000E+1 |
| PlPressure | 11 | 521 | 2.288000000000000E+1 |
| PlPressure | 11 | 522 | 2.288000000000000E+1 |
| PlPressure | 11 | 523 | 2.288000000000000E+1 |
| PlPressure | 11 | 524 | 2.288000000000000E+1 |
| PlPressure | 11 | 525 | 2.288000000000000E+1 |
| PlPressure | 11 | 526 | 2.288000000000000E+1 |
| PlPressure | 11 | 527 | 2.288000000000000E+1 |
| PlPressure | 11 | 528 | 2.288000000000000E+1 |
| PlPressure | 11 | 529 | 2.288000000000000E+1 |
| PlPressure | 11 | 530 | 2.288000000000000E+1 |
| PlPressure | 11 | 531 | 2.288000000000000E+1 |
| PlPressure | 11 | 532 | 2.288000000000000E+1 |
| PlPressure | 11 | 533 | 2.288000000000000E+1 |
| PlPressure | 11 | 534 | 2.288000000000000E+1 |
| PlPressure | 11 | 535 | 2.288000000000000E+1 |
| PlPressure | 11 | 536 | 2.288000000000000E+1 |
| PlPressure | 11 | 537 | 2.288000000000000E+1 |
| PlPressure | 11 | 538 | 2.288000000000000E+1 |
| PlPressure | 11 | 539 | 2.288000000000000E+1 |
| PlPressure | 11 | 540 | 2.288000000000000E+1 |

Relazione di calcolo spalle

COMMESA LOTTO CODIFICA DOCUMENTO REV. FOGLIO
NM25 03 D 26 CL IV 37 04 001 A 394 di 439

PIPressure 11 541 2.288000000000000E+1

/ _____

/ PLATE EDGE PRESSURES
/ SPINTA SISMA LONG

PIEdgePressure 11 1226 3 -2.288000000000000E+1
PIEdgePressure 11 1227 3 -2.288000000000000E+1
PIEdgePressure 11 1228 2 -2.288000000000000E+1
PIEdgePressure 11 1229 2 -2.288000000000000E+1
PIEdgePressure 11 1230 3 -2.288000000000000E+1
PIEdgePressure 11 1231 3 -2.288000000000000E+1
PIEdgePressure 11 1232 2 -2.288000000000000E+1

/ _____

/ PLATE FACE PRESSURES
/ SPINTA SISMA TRASV

PIPressure 12 22 2.288000000000000E+1
PIPressure 12 23 2.288000000000000E+1
PIPressure 12 24 2.288000000000000E+1
PIPressure 12 25 2.288000000000000E+1
PIPressure 12 26 2.288000000000000E+1
PIPressure 12 27 2.288000000000000E+1
PIPressure 12 28 2.288000000000000E+1
PIPressure 12 29 2.288000000000000E+1
PIPressure 12 30 2.288000000000000E+1
PIPressure 12 31 2.288000000000000E+1
PIPressure 12 32 2.288000000000000E+1

Relazione di calcolo spalle

| | | | | | |
|-----------------|------------------|----------------|---------------------------|-----------|----------------------|
| COMMESA NM25 | LOTTO 03 D 26 | CODIFICA CL | DOCUMENTO IV 37 04 001 | REV. A | FOGLIO 395 di 439 |
|-----------------|------------------|----------------|---------------------------|-----------|----------------------|

| | | | |
|------------|----|----|----------------------|
| PlPressure | 12 | 33 | 2.288000000000000E+1 |
| PlPressure | 12 | 34 | 2.288000000000000E+1 |
| PlPressure | 12 | 35 | 2.288000000000000E+1 |
| PlPressure | 12 | 36 | 2.288000000000000E+1 |
| PlPressure | 12 | 37 | 2.288000000000000E+1 |
| PlPressure | 12 | 38 | 2.288000000000000E+1 |
| PlPressure | 12 | 39 | 2.288000000000000E+1 |
| PlPressure | 12 | 40 | 2.288000000000000E+1 |
| PlPressure | 12 | 41 | 2.288000000000000E+1 |
| PlPressure | 12 | 42 | 2.288000000000000E+1 |
| PlPressure | 12 | 43 | 2.288000000000000E+1 |
| PlPressure | 12 | 44 | 2.288000000000000E+1 |
| PlPressure | 12 | 45 | 2.288000000000000E+1 |
| PlPressure | 12 | 46 | 2.288000000000000E+1 |
| PlPressure | 12 | 47 | 2.288000000000000E+1 |
| PlPressure | 12 | 48 | 2.288000000000000E+1 |
| PlPressure | 12 | 49 | 2.288000000000000E+1 |
| PlPressure | 12 | 50 | 2.288000000000000E+1 |
| PlPressure | 12 | 51 | 2.288000000000000E+1 |
| PlPressure | 12 | 52 | 2.288000000000000E+1 |
| PlPressure | 12 | 53 | 2.288000000000000E+1 |
| PlPressure | 12 | 54 | 2.288000000000000E+1 |
| PlPressure | 12 | 55 | 2.288000000000000E+1 |
| PlPressure | 12 | 56 | 2.288000000000000E+1 |
| PlPressure | 12 | 57 | 2.288000000000000E+1 |
| PlPressure | 12 | 58 | 2.288000000000000E+1 |
| PlPressure | 12 | 59 | 2.288000000000000E+1 |

| Relazione di calcolo spalle | COMMESSA NM25 | LOTTO 03 D 26 | CODIFICA CL | DOCUMENTO IV 37 04 001 | REV. A | FOGLIO 396 di 439 |
|-----------------------------|------------------|------------------|----------------|---------------------------|-----------|----------------------|
|-----------------------------|------------------|------------------|----------------|---------------------------|-----------|----------------------|

| | | | |
|------------|----|----|----------------------|
| PlPressure | 12 | 60 | 2.288000000000000E+1 |
| PlPressure | 12 | 61 | 2.288000000000000E+1 |
| PlPressure | 12 | 62 | 2.288000000000000E+1 |
| PlPressure | 12 | 63 | 2.288000000000000E+1 |
| PlPressure | 12 | 64 | 2.288000000000000E+1 |
| PlPressure | 12 | 65 | 2.288000000000000E+1 |
| PlPressure | 12 | 66 | 2.288000000000000E+1 |
| PlPressure | 12 | 67 | 2.288000000000000E+1 |
| PlPressure | 12 | 68 | 2.288000000000000E+1 |
| PlPressure | 12 | 69 | 2.288000000000000E+1 |
| PlPressure | 12 | 70 | 2.288000000000000E+1 |
| PlPressure | 12 | 71 | 2.288000000000000E+1 |
| PlPressure | 12 | 72 | 2.288000000000000E+1 |
| PlPressure | 12 | 73 | 2.288000000000000E+1 |
| PlPressure | 12 | 74 | 2.288000000000000E+1 |
| PlPressure | 12 | 75 | 2.288000000000000E+1 |
| PlPressure | 12 | 76 | 2.288000000000000E+1 |
| PlPressure | 12 | 77 | 2.288000000000000E+1 |
| PlPressure | 12 | 78 | 2.288000000000000E+1 |
| PlPressure | 12 | 79 | 2.288000000000000E+1 |
| PlPressure | 12 | 80 | 2.288000000000000E+1 |
| PlPressure | 12 | 81 | 2.288000000000000E+1 |
| PlPressure | 12 | 82 | 2.288000000000000E+1 |
| PlPressure | 12 | 83 | 2.288000000000000E+1 |
| PlPressure | 12 | 84 | 2.288000000000000E+1 |
| PlPressure | 12 | 85 | 2.288000000000000E+1 |
| PlPressure | 12 | 86 | 2.288000000000000E+1 |

Relazione di calcolo spalle

| COMMESSA | LOTTO | CODIFICA | DOCUMENTO | REV. | FOGLIO |
|----------|---------|----------|--------------|------|------------|
| NM25 | 03 D 26 | CL | IV 37 04 001 | A | 397 di 439 |

| | | | |
|------------|----|-----|----------------------|
| PlPressure | 12 | 87 | 2.288000000000000E+1 |
| PlPressure | 12 | 88 | 2.288000000000000E+1 |
| PlPressure | 12 | 89 | 2.288000000000000E+1 |
| PlPressure | 12 | 90 | 2.288000000000000E+1 |
| PlPressure | 12 | 91 | 2.288000000000000E+1 |
| PlPressure | 12 | 92 | 2.288000000000000E+1 |
| PlPressure | 12 | 93 | 2.288000000000000E+1 |
| PlPressure | 12 | 94 | 2.288000000000000E+1 |
| PlPressure | 12 | 95 | 2.288000000000000E+1 |
| PlPressure | 12 | 96 | 2.288000000000000E+1 |
| PlPressure | 12 | 97 | 2.288000000000000E+1 |
| PlPressure | 12 | 98 | 2.288000000000000E+1 |
| PlPressure | 12 | 99 | 2.288000000000000E+1 |
| PlPressure | 12 | 100 | 2.288000000000000E+1 |
| PlPressure | 12 | 101 | 2.288000000000000E+1 |
| PlPressure | 12 | 102 | 2.288000000000000E+1 |
| PlPressure | 12 | 103 | 2.288000000000000E+1 |
| PlPressure | 12 | 104 | 2.288000000000000E+1 |
| PlPressure | 12 | 105 | 2.288000000000000E+1 |
| PlPressure | 12 | 106 | 2.288000000000000E+1 |
| PlPressure | 12 | 107 | 2.288000000000000E+1 |
| PlPressure | 12 | 108 | 2.288000000000000E+1 |
| PlPressure | 12 | 109 | 2.288000000000000E+1 |
| PlPressure | 12 | 110 | 2.288000000000000E+1 |
| PlPressure | 12 | 111 | 2.288000000000000E+1 |
| PlPressure | 12 | 112 | 2.288000000000000E+1 |
| PlPressure | 12 | 113 | 2.288000000000000E+1 |

| Relazione di calcolo spalle | COMMESSA NM25 | LOTTO 03 D 26 | CODIFICA CL | DOCUMENTO IV 37 04 001 | REV. A | FOGLIO 398 di 439 |
|-----------------------------|------------------|------------------|----------------|---------------------------|-----------|----------------------|
|-----------------------------|------------------|------------------|----------------|---------------------------|-----------|----------------------|

| | | | |
|------------|----|-----|----------------------|
| PlPressure | 12 | 114 | 2.288000000000000E+1 |
| PlPressure | 12 | 115 | 2.288000000000000E+1 |
| PlPressure | 12 | 116 | 2.288000000000000E+1 |
| PlPressure | 12 | 117 | 2.288000000000000E+1 |
| PlPressure | 12 | 118 | 2.288000000000000E+1 |
| PlPressure | 12 | 119 | 2.288000000000000E+1 |
| PlPressure | 12 | 120 | 2.288000000000000E+1 |
| PlPressure | 12 | 121 | 2.288000000000000E+1 |
| PlPressure | 12 | 122 | 2.288000000000000E+1 |
| PlPressure | 12 | 123 | 2.288000000000000E+1 |
| PlPressure | 12 | 124 | 2.288000000000000E+1 |
| PlPressure | 12 | 125 | 2.288000000000000E+1 |
| PlPressure | 12 | 126 | 2.288000000000000E+1 |
| PlPressure | 12 | 127 | 2.288000000000000E+1 |
| PlPressure | 12 | 128 | 2.288000000000000E+1 |
| PlPressure | 12 | 129 | 2.288000000000000E+1 |
| PlPressure | 12 | 130 | 2.288000000000000E+1 |
| PlPressure | 12 | 131 | 2.288000000000000E+1 |
| PlPressure | 12 | 132 | 2.288000000000000E+1 |
| PlPressure | 12 | 133 | 2.288000000000000E+1 |
| PlPressure | 12 | 134 | 2.288000000000000E+1 |
| PlPressure | 12 | 135 | 2.288000000000000E+1 |
| PlPressure | 12 | 136 | 2.288000000000000E+1 |
| PlPressure | 12 | 137 | 2.288000000000000E+1 |
| PlPressure | 12 | 138 | 2.288000000000000E+1 |
| PlPressure | 12 | 139 | 2.288000000000000E+1 |
| PlPressure | 12 | 140 | 2.288000000000000E+1 |

| Relazione di calcolo spalle | COMMESMA NM25 | LOTTO 03 D 26 | CODIFICA CL | DOCUMENTO IV 37 04 001 | REV. A | FOGLIO 399 di 439 |
|-----------------------------|------------------|------------------|----------------|---------------------------|-----------|----------------------|
|-----------------------------|------------------|------------------|----------------|---------------------------|-----------|----------------------|

| | | | |
|------------|----|-----|----------------------|
| PlPressure | 12 | 141 | 2.288000000000000E+1 |
| PlPressure | 12 | 142 | 2.288000000000000E+1 |
| PlPressure | 12 | 143 | 2.288000000000000E+1 |
| PlPressure | 12 | 144 | 2.288000000000000E+1 |
| PlPressure | 12 | 145 | 2.288000000000000E+1 |
| PlPressure | 12 | 146 | 2.288000000000000E+1 |
| PlPressure | 12 | 147 | 2.288000000000000E+1 |
| PlPressure | 12 | 148 | 2.288000000000000E+1 |
| PlPressure | 12 | 149 | 2.288000000000000E+1 |
| PlPressure | 12 | 150 | 2.288000000000000E+1 |
| PlPressure | 12 | 151 | 2.288000000000000E+1 |
| PlPressure | 12 | 152 | 2.288000000000000E+1 |
| PlPressure | 12 | 153 | 2.288000000000000E+1 |
| PlPressure | 12 | 154 | 2.288000000000000E+1 |
| PlPressure | 12 | 155 | 2.288000000000000E+1 |
| PlPressure | 12 | 156 | 2.288000000000000E+1 |
| PlPressure | 12 | 157 | 2.288000000000000E+1 |
| PlPressure | 12 | 158 | 2.288000000000000E+1 |
| PlPressure | 12 | 159 | 2.288000000000000E+1 |
| PlPressure | 12 | 160 | 2.288000000000000E+1 |
| PlPressure | 12 | 161 | 2.288000000000000E+1 |
| PlPressure | 12 | 162 | 2.288000000000000E+1 |
| PlPressure | 12 | 163 | 2.288000000000000E+1 |
| PlPressure | 12 | 164 | 2.288000000000000E+1 |
| PlPressure | 12 | 165 | 2.288000000000000E+1 |
| PlPressure | 12 | 166 | 2.288000000000000E+1 |
| PlPressure | 12 | 167 | 2.288000000000000E+1 |

| Relazione di calcolo spalle | COMMESSA NM25 | LOTTO 03 D 26 | CODIFICA CL | DOCUMENTO IV 37 04 001 | REV. A | FOGLIO 400 di 439 |
|-----------------------------|------------------|------------------|----------------|---------------------------|-----------|----------------------|
|-----------------------------|------------------|------------------|----------------|---------------------------|-----------|----------------------|

| | | | |
|------------|----|-----|----------------------|
| PlPressure | 12 | 168 | 2.288000000000000E+1 |
| PlPressure | 12 | 169 | 2.288000000000000E+1 |
| PlPressure | 12 | 170 | 2.288000000000000E+1 |
| PlPressure | 12 | 171 | 2.288000000000000E+1 |
| PlPressure | 12 | 172 | 2.288000000000000E+1 |
| PlPressure | 12 | 173 | 2.288000000000000E+1 |
| PlPressure | 12 | 174 | 2.288000000000000E+1 |
| PlPressure | 12 | 175 | 2.288000000000000E+1 |
| PlPressure | 12 | 176 | 2.288000000000000E+1 |
| PlPressure | 12 | 177 | 2.288000000000000E+1 |
| PlPressure | 12 | 178 | 2.288000000000000E+1 |
| PlPressure | 12 | 179 | 2.288000000000000E+1 |
| PlPressure | 12 | 180 | 2.288000000000000E+1 |
| PlPressure | 12 | 181 | 2.288000000000000E+1 |
| PlPressure | 12 | 182 | 2.288000000000000E+1 |
| PlPressure | 12 | 183 | 2.288000000000000E+1 |
| PlPressure | 12 | 184 | 2.288000000000000E+1 |
| PlPressure | 12 | 185 | 2.288000000000000E+1 |
| PlPressure | 12 | 186 | 2.288000000000000E+1 |
| PlPressure | 12 | 187 | 2.288000000000000E+1 |
| PlPressure | 12 | 188 | 2.288000000000000E+1 |
| PlPressure | 12 | 189 | 2.288000000000000E+1 |
| PlPressure | 12 | 190 | 2.288000000000000E+1 |
| PlPressure | 12 | 191 | 2.288000000000000E+1 |
| PlPressure | 12 | 192 | 2.288000000000000E+1 |
| PlPressure | 12 | 193 | 2.288000000000000E+1 |
| PlPressure | 12 | 194 | 2.288000000000000E+1 |

| Relazione di calcolo spalle | COMMESSA NM25 | LOTTO 03 D 26 | CODIFICA CL | DOCUMENTO IV 37 04 001 | REV. A | FOGLIO 401 di 439 |
|-----------------------------|------------------|------------------|----------------|---------------------------|-----------|----------------------|
|-----------------------------|------------------|------------------|----------------|---------------------------|-----------|----------------------|

| | | | |
|------------|----|-----|----------------------|
| PlPressure | 12 | 195 | 2.288000000000000E+1 |
| PlPressure | 12 | 196 | 2.288000000000000E+1 |
| PlPressure | 12 | 197 | 2.288000000000000E+1 |
| PlPressure | 12 | 198 | 2.288000000000000E+1 |
| PlPressure | 12 | 199 | 2.288000000000000E+1 |
| PlPressure | 12 | 200 | 2.288000000000000E+1 |
| PlPressure | 12 | 201 | 2.288000000000000E+1 |
| PlPressure | 12 | 202 | 2.288000000000000E+1 |
| PlPressure | 12 | 203 | 2.288000000000000E+1 |
| PlPressure | 12 | 204 | 2.288000000000000E+1 |
| PlPressure | 12 | 205 | 2.288000000000000E+1 |
| PlPressure | 12 | 206 | 2.288000000000000E+1 |
| PlPressure | 12 | 207 | 2.288000000000000E+1 |
| PlPressure | 12 | 208 | 2.288000000000000E+1 |
| PlPressure | 12 | 209 | 2.288000000000000E+1 |
| PlPressure | 12 | 210 | 2.288000000000000E+1 |
| PlPressure | 12 | 211 | 2.288000000000000E+1 |
| PlPressure | 12 | 212 | 2.288000000000000E+1 |
| PlPressure | 12 | 213 | 2.288000000000000E+1 |
| PlPressure | 12 | 214 | 2.288000000000000E+1 |
| PlPressure | 12 | 215 | 2.288000000000000E+1 |
| PlPressure | 12 | 216 | 2.288000000000000E+1 |
| PlPressure | 12 | 217 | 2.288000000000000E+1 |
| PlPressure | 12 | 218 | 2.288000000000000E+1 |
| PlPressure | 12 | 219 | 2.288000000000000E+1 |
| PlPressure | 12 | 220 | 2.288000000000000E+1 |
| PlPressure | 12 | 221 | 2.288000000000000E+1 |

| Relazione di calcolo spalle | COMMESSA NM25 | LOTTO 03 D 26 | CODIFICA CL | DOCUMENTO IV 37 04 001 | REV. A | FOGLIO 402 di 439 |
|-----------------------------|------------------|------------------|----------------|---------------------------|-----------|----------------------|
|-----------------------------|------------------|------------------|----------------|---------------------------|-----------|----------------------|

| | | | |
|------------|----|-----|----------------------|
| PlPressure | 12 | 222 | 2.288000000000000E+1 |
| PlPressure | 12 | 223 | 2.288000000000000E+1 |
| PlPressure | 12 | 224 | 2.288000000000000E+1 |
| PlPressure | 12 | 225 | 2.288000000000000E+1 |
| PlPressure | 12 | 226 | 2.288000000000000E+1 |
| PlPressure | 12 | 227 | 2.288000000000000E+1 |
| PlPressure | 12 | 228 | 2.288000000000000E+1 |
| PlPressure | 12 | 229 | 2.288000000000000E+1 |
| PlPressure | 12 | 230 | 2.288000000000000E+1 |
| PlPressure | 12 | 231 | 2.288000000000000E+1 |
| PlPressure | 12 | 232 | 2.288000000000000E+1 |
| PlPressure | 12 | 233 | 2.288000000000000E+1 |
| PlPressure | 12 | 234 | 2.288000000000000E+1 |
| PlPressure | 12 | 235 | 2.288000000000000E+1 |
| PlPressure | 12 | 236 | 2.288000000000000E+1 |
| PlPressure | 12 | 237 | 2.288000000000000E+1 |
| PlPressure | 12 | 238 | 2.288000000000000E+1 |
| PlPressure | 12 | 239 | 2.288000000000000E+1 |
| PlPressure | 12 | 240 | 2.288000000000000E+1 |
| PlPressure | 12 | 241 | 2.288000000000000E+1 |
| PlPressure | 12 | 242 | 2.288000000000000E+1 |
| PlPressure | 12 | 243 | 2.288000000000000E+1 |
| PlPressure | 12 | 244 | 2.288000000000000E+1 |
| PlPressure | 12 | 245 | 2.288000000000000E+1 |
| PlPressure | 12 | 246 | 2.288000000000000E+1 |
| PlPressure | 12 | 247 | 2.288000000000000E+1 |
| PlPressure | 12 | 248 | 2.288000000000000E+1 |

Relazione di calcolo spalle

| | | | | | |
|---------|---------|----------|--------------|------|------------|
| COMMESA | LOTTO | CODIFICA | DOCUMENTO | REV. | FOGLIO |
| NM25 | 03 D 26 | CL | IV 37 04 001 | A | 403 di 439 |

| | | | |
|------------|----|-----|----------------------|
| PlPressure | 12 | 249 | 2.288000000000000E+1 |
| PlPressure | 12 | 250 | 2.288000000000000E+1 |
| PlPressure | 12 | 251 | 2.288000000000000E+1 |
| PlPressure | 12 | 252 | 2.288000000000000E+1 |
| PlPressure | 12 | 253 | 2.288000000000000E+1 |
| PlPressure | 12 | 254 | 2.288000000000000E+1 |
| PlPressure | 12 | 255 | 2.288000000000000E+1 |
| PlPressure | 12 | 256 | 2.288000000000000E+1 |
| PlPressure | 12 | 257 | 2.288000000000000E+1 |
| PlPressure | 12 | 258 | 2.288000000000000E+1 |
| PlPressure | 12 | 259 | 2.288000000000000E+1 |
| PlPressure | 12 | 260 | 2.288000000000000E+1 |
| PlPressure | 12 | 261 | 2.288000000000000E+1 |
| PlPressure | 12 | 262 | 2.288000000000000E+1 |
| PlPressure | 12 | 263 | 2.288000000000000E+1 |
| PlPressure | 12 | 264 | 2.288000000000000E+1 |
| PlPressure | 12 | 265 | 2.288000000000000E+1 |
| PlPressure | 12 | 266 | 2.288000000000000E+1 |
| PlPressure | 12 | 267 | 2.288000000000000E+1 |
| PlPressure | 12 | 268 | 2.288000000000000E+1 |
| PlPressure | 12 | 269 | 2.288000000000000E+1 |
| PlPressure | 12 | 270 | 2.288000000000000E+1 |
| PlPressure | 12 | 271 | 2.288000000000000E+1 |
| PlPressure | 12 | 272 | 2.288000000000000E+1 |
| PlPressure | 12 | 273 | 2.288000000000000E+1 |
| PlPressure | 12 | 274 | 2.288000000000000E+1 |
| PlPressure | 12 | 275 | 2.288000000000000E+1 |

| Relazione di calcolo spalle | COMMESMA NM25 | LOTTO 03 D 26 | CODIFICA CL | DOCUMENTO IV 37 04 001 | REV. A | FOGLIO 404 di 439 |
|-----------------------------|------------------|------------------|----------------|---------------------------|-----------|----------------------|
|-----------------------------|------------------|------------------|----------------|---------------------------|-----------|----------------------|

| | | | |
|------------|----|-----|----------------------|
| PlPressure | 12 | 276 | 2.288000000000000E+1 |
| PlPressure | 12 | 277 | 2.288000000000000E+1 |
| PlPressure | 12 | 278 | 2.288000000000000E+1 |
| PlPressure | 12 | 279 | 2.288000000000000E+1 |
| PlPressure | 12 | 280 | 2.288000000000000E+1 |
| PlPressure | 12 | 281 | 2.288000000000000E+1 |
| PlPressure | 12 | 282 | 2.288000000000000E+1 |
| PlPressure | 12 | 283 | 2.288000000000000E+1 |
| PlPressure | 12 | 284 | 2.288000000000000E+1 |
| PlPressure | 12 | 285 | 2.288000000000000E+1 |
| PlPressure | 12 | 286 | 2.288000000000000E+1 |
| PlPressure | 12 | 287 | 2.288000000000000E+1 |
| PlPressure | 12 | 288 | 2.288000000000000E+1 |
| PlPressure | 12 | 289 | 2.288000000000000E+1 |
| PlPressure | 12 | 290 | 2.288000000000000E+1 |
| PlPressure | 12 | 291 | 2.288000000000000E+1 |
| PlPressure | 12 | 292 | 2.288000000000000E+1 |
| PlPressure | 12 | 293 | 2.288000000000000E+1 |
| PlPressure | 12 | 294 | 2.288000000000000E+1 |
| PlPressure | 12 | 295 | 2.288000000000000E+1 |
| PlPressure | 12 | 296 | 2.288000000000000E+1 |
| PlPressure | 12 | 297 | 2.288000000000000E+1 |
| PlPressure | 12 | 298 | 2.288000000000000E+1 |
| PlPressure | 12 | 299 | 2.288000000000000E+1 |
| PlPressure | 12 | 300 | 2.288000000000000E+1 |
| PlPressure | 12 | 301 | 2.288000000000000E+1 |
| PlPressure | 12 | 302 | 2.288000000000000E+1 |

| Relazione di calcolo spalle | COMMESSA NM25 | LOTTO 03 D 26 | CODIFICA CL | DOCUMENTO IV 37 04 001 | REV. A | FOGLIO 405 di 439 |
|-----------------------------|------------------|------------------|----------------|---------------------------|-----------|----------------------|
|-----------------------------|------------------|------------------|----------------|---------------------------|-----------|----------------------|

| | | | |
|------------|----|-----|----------------------|
| PlPressure | 12 | 303 | 2.288000000000000E+1 |
| PlPressure | 12 | 304 | 2.288000000000000E+1 |
| PlPressure | 12 | 305 | 2.288000000000000E+1 |
| PlPressure | 12 | 306 | 2.288000000000000E+1 |
| PlPressure | 12 | 307 | 2.288000000000000E+1 |
| PlPressure | 12 | 308 | 2.288000000000000E+1 |
| PlPressure | 12 | 309 | 2.288000000000000E+1 |
| PlPressure | 12 | 310 | 2.288000000000000E+1 |
| PlPressure | 12 | 311 | 2.288000000000000E+1 |
| PlPressure | 12 | 312 | 2.288000000000000E+1 |
| PlPressure | 12 | 313 | 2.288000000000000E+1 |
| PlPressure | 12 | 314 | 2.288000000000000E+1 |
| PlPressure | 12 | 315 | 2.288000000000000E+1 |
| PlPressure | 12 | 316 | 2.288000000000000E+1 |
| PlPressure | 12 | 317 | 2.288000000000000E+1 |
| PlPressure | 12 | 318 | 2.288000000000000E+1 |
| PlPressure | 12 | 319 | 2.288000000000000E+1 |
| PlPressure | 12 | 320 | 2.288000000000000E+1 |
| PlPressure | 12 | 321 | 2.288000000000000E+1 |
| PlPressure | 12 | 322 | 2.288000000000000E+1 |
| PlPressure | 12 | 323 | 2.288000000000000E+1 |
| PlPressure | 12 | 324 | 2.288000000000000E+1 |
| PlPressure | 12 | 325 | 2.288000000000000E+1 |
| PlPressure | 12 | 326 | 2.288000000000000E+1 |
| PlPressure | 12 | 327 | 2.288000000000000E+1 |
| PlPressure | 12 | 328 | 2.288000000000000E+1 |
| PlPressure | 12 | 329 | 2.288000000000000E+1 |

| Relazione di calcolo spalle | COMMESSA NM25 | LOTTO 03 D 26 | CODIFICA CL | DOCUMENTO IV 37 04 001 | REV. A | FOGLIO 406 di 439 |
|-----------------------------|------------------|------------------|----------------|---------------------------|-----------|----------------------|
|-----------------------------|------------------|------------------|----------------|---------------------------|-----------|----------------------|

| | | | |
|------------|----|-----|----------------------|
| PlPressure | 12 | 330 | 2.288000000000000E+1 |
| PlPressure | 12 | 331 | 2.288000000000000E+1 |
| PlPressure | 12 | 332 | 2.288000000000000E+1 |
| PlPressure | 12 | 333 | 2.288000000000000E+1 |
| PlPressure | 12 | 334 | 2.288000000000000E+1 |
| PlPressure | 12 | 335 | 2.288000000000000E+1 |
| PlPressure | 12 | 336 | 2.288000000000000E+1 |
| PlPressure | 12 | 337 | 2.288000000000000E+1 |
| PlPressure | 12 | 338 | 2.288000000000000E+1 |
| PlPressure | 12 | 339 | 2.288000000000000E+1 |
| PlPressure | 12 | 340 | 2.288000000000000E+1 |
| PlPressure | 12 | 341 | 2.288000000000000E+1 |
| PlPressure | 12 | 342 | 2.288000000000000E+1 |
| PlPressure | 12 | 343 | 2.288000000000000E+1 |
| PlPressure | 12 | 344 | 2.288000000000000E+1 |
| PlPressure | 12 | 345 | 2.288000000000000E+1 |
| PlPressure | 12 | 346 | 2.288000000000000E+1 |
| PlPressure | 12 | 347 | 2.288000000000000E+1 |
| PlPressure | 12 | 348 | 2.288000000000000E+1 |
| PlPressure | 12 | 349 | 2.288000000000000E+1 |
| PlPressure | 12 | 350 | 2.288000000000000E+1 |
| PlPressure | 12 | 351 | 2.288000000000000E+1 |
| PlPressure | 12 | 352 | 2.288000000000000E+1 |
| PlPressure | 12 | 353 | 2.288000000000000E+1 |
| PlPressure | 12 | 354 | 2.288000000000000E+1 |
| PlPressure | 12 | 355 | 2.288000000000000E+1 |
| PlPressure | 12 | 356 | 2.288000000000000E+1 |

Relazione di calcolo spalle

| COMMESMA | LOTTO | CODIFICA | DOCUMENTO | REV. | FOGLIO |
|----------|---------|----------|--------------|------|------------|
| NM25 | 03 D 26 | CL | IV 37 04 001 | A | 407 di 439 |

| | | | |
|------------|----|-----|----------------------|
| PlPressure | 12 | 357 | 2.288000000000000E+1 |
| PlPressure | 12 | 358 | 2.288000000000000E+1 |
| PlPressure | 12 | 359 | 2.288000000000000E+1 |
| PlPressure | 12 | 360 | 2.288000000000000E+1 |
| PlPressure | 12 | 361 | 2.288000000000000E+1 |
| PlPressure | 12 | 362 | 2.288000000000000E+1 |
| PlPressure | 12 | 363 | 2.288000000000000E+1 |
| PlPressure | 12 | 364 | 2.288000000000000E+1 |
| PlPressure | 12 | 365 | 2.288000000000000E+1 |
| PlPressure | 12 | 366 | 2.288000000000000E+1 |
| PlPressure | 12 | 367 | 2.288000000000000E+1 |
| PlPressure | 12 | 368 | 2.288000000000000E+1 |
| PlPressure | 12 | 369 | 2.288000000000000E+1 |
| PlPressure | 12 | 370 | 2.288000000000000E+1 |
| PlPressure | 12 | 371 | 2.288000000000000E+1 |
| PlPressure | 12 | 372 | 2.288000000000000E+1 |
| PlPressure | 12 | 373 | 2.288000000000000E+1 |
| PlPressure | 12 | 374 | 2.288000000000000E+1 |
| PlPressure | 12 | 375 | 2.288000000000000E+1 |
| PlPressure | 12 | 376 | 2.288000000000000E+1 |
| PlPressure | 12 | 377 | 2.288000000000000E+1 |
| PlPressure | 12 | 378 | 2.288000000000000E+1 |
| PlPressure | 12 | 379 | 2.288000000000000E+1 |
| PlPressure | 12 | 380 | 2.288000000000000E+1 |
| PlPressure | 12 | 381 | 2.288000000000000E+1 |
| PlPressure | 12 | 382 | 2.288000000000000E+1 |
| PlPressure | 12 | 383 | 2.288000000000000E+1 |

| Relazione di calcolo spalle | COMMESSA NM25 | LOTTO 03 D 26 | CODIFICA CL | DOCUMENTO IV 37 04 001 | REV. A | FOGLIO 408 di 439 |
|-----------------------------|------------------|------------------|----------------|---------------------------|-----------|----------------------|
|-----------------------------|------------------|------------------|----------------|---------------------------|-----------|----------------------|

| | | | |
|------------|----|-----|----------------------|
| PlPressure | 12 | 384 | 2.288000000000000E+1 |
| PlPressure | 12 | 385 | 2.288000000000000E+1 |
| PlPressure | 12 | 386 | 2.288000000000000E+1 |
| PlPressure | 12 | 387 | 2.288000000000000E+1 |
| PlPressure | 12 | 388 | 2.288000000000000E+1 |
| PlPressure | 12 | 389 | 2.288000000000000E+1 |
| PlPressure | 12 | 390 | 2.288000000000000E+1 |
| PlPressure | 12 | 391 | 2.288000000000000E+1 |
| PlPressure | 12 | 392 | 2.288000000000000E+1 |
| PlPressure | 12 | 393 | 2.288000000000000E+1 |
| PlPressure | 12 | 394 | 2.288000000000000E+1 |
| PlPressure | 12 | 395 | 2.288000000000000E+1 |
| PlPressure | 12 | 396 | 2.288000000000000E+1 |
| PlPressure | 12 | 397 | 2.288000000000000E+1 |
| PlPressure | 12 | 398 | 2.288000000000000E+1 |
| PlPressure | 12 | 399 | 2.288000000000000E+1 |
| PlPressure | 12 | 400 | 2.288000000000000E+1 |
| PlPressure | 12 | 401 | 2.288000000000000E+1 |
| PlPressure | 12 | 402 | 2.288000000000000E+1 |
| PlPressure | 12 | 403 | 2.288000000000000E+1 |
| PlPressure | 12 | 404 | 2.288000000000000E+1 |
| PlPressure | 12 | 405 | 2.288000000000000E+1 |
| PlPressure | 12 | 406 | 2.288000000000000E+1 |
| PlPressure | 12 | 407 | 2.288000000000000E+1 |
| PlPressure | 12 | 408 | 2.288000000000000E+1 |
| PlPressure | 12 | 409 | 2.288000000000000E+1 |
| PlPressure | 12 | 410 | 2.288000000000000E+1 |

| Relazione di calcolo spalle | COMMESMA NM25 | LOTTO 03 D 26 | CODIFICA CL | DOCUMENTO IV 37 04 001 | REV. A | FOGLIO 409 di 439 |
|-----------------------------|------------------|------------------|----------------|---------------------------|-----------|----------------------|
|-----------------------------|------------------|------------------|----------------|---------------------------|-----------|----------------------|

| | | | |
|------------|----|-----|----------------------|
| PlPressure | 12 | 411 | 2.288000000000000E+1 |
| PlPressure | 12 | 412 | 2.288000000000000E+1 |
| PlPressure | 12 | 413 | 2.288000000000000E+1 |
| PlPressure | 12 | 414 | 2.288000000000000E+1 |
| PlPressure | 12 | 415 | 2.288000000000000E+1 |
| PlPressure | 12 | 416 | 2.288000000000000E+1 |
| PlPressure | 12 | 417 | 2.288000000000000E+1 |
| PlPressure | 12 | 418 | 2.288000000000000E+1 |
| PlPressure | 12 | 419 | 2.288000000000000E+1 |
| PlPressure | 12 | 420 | 2.288000000000000E+1 |
| PlPressure | 12 | 421 | 2.288000000000000E+1 |
| PlPressure | 12 | 422 | 2.288000000000000E+1 |
| PlPressure | 12 | 542 | 2.288000000000000E+1 |
| PlPressure | 12 | 543 | 2.288000000000000E+1 |
| PlPressure | 12 | 544 | 2.288000000000000E+1 |
| PlPressure | 12 | 545 | 2.288000000000000E+1 |
| PlPressure | 12 | 546 | 2.288000000000000E+1 |
| PlPressure | 12 | 547 | 2.288000000000000E+1 |
| PlPressure | 12 | 548 | 2.288000000000000E+1 |
| PlPressure | 12 | 549 | 2.288000000000000E+1 |
| PlPressure | 12 | 550 | 2.288000000000000E+1 |
| PlPressure | 12 | 551 | 2.288000000000000E+1 |
| PlPressure | 12 | 552 | 2.288000000000000E+1 |
| PlPressure | 12 | 553 | 2.288000000000000E+1 |
| PlPressure | 12 | 554 | 2.288000000000000E+1 |
| PlPressure | 12 | 555 | 2.288000000000000E+1 |
| PlPressure | 12 | 556 | 2.288000000000000E+1 |

Relazione di calcolo spalle

| | | | | | |
|---------|---------|----------|--------------|------|------------|
| COMMESA | LOTTO | CODIFICA | DOCUMENTO | REV. | FOGLIO |
| NM25 | 03 D 26 | CL | IV 37 04 001 | A | 410 di 439 |

| | | | |
|------------|----|-----|----------------------|
| PlPressure | 12 | 557 | 2.288000000000000E+1 |
| PlPressure | 12 | 558 | 2.288000000000000E+1 |
| PlPressure | 12 | 559 | 2.288000000000000E+1 |
| PlPressure | 12 | 560 | 2.288000000000000E+1 |
| PlPressure | 12 | 561 | 2.288000000000000E+1 |
| PlPressure | 12 | 562 | 2.288000000000000E+1 |
| PlPressure | 12 | 563 | 2.288000000000000E+1 |
| PlPressure | 12 | 564 | 2.288000000000000E+1 |
| PlPressure | 12 | 565 | 2.288000000000000E+1 |
| PlPressure | 12 | 566 | 2.288000000000000E+1 |
| PlPressure | 12 | 567 | 2.288000000000000E+1 |
| PlPressure | 12 | 568 | 2.288000000000000E+1 |
| PlPressure | 12 | 569 | 2.288000000000000E+1 |
| PlPressure | 12 | 570 | 2.288000000000000E+1 |
| PlPressure | 12 | 571 | 2.288000000000000E+1 |
| PlPressure | 12 | 572 | 2.288000000000000E+1 |
| PlPressure | 12 | 573 | 2.288000000000000E+1 |
| PlPressure | 12 | 574 | 2.288000000000000E+1 |
| PlPressure | 12 | 575 | 2.288000000000000E+1 |
| PlPressure | 12 | 576 | 2.288000000000000E+1 |
| PlPressure | 12 | 577 | 2.288000000000000E+1 |
| PlPressure | 12 | 578 | 2.288000000000000E+1 |
| PlPressure | 12 | 579 | 2.288000000000000E+1 |
| PlPressure | 12 | 580 | 2.288000000000000E+1 |
| PlPressure | 12 | 581 | 2.288000000000000E+1 |
| PlPressure | 12 | 582 | 2.288000000000000E+1 |
| PlPressure | 12 | 583 | 2.288000000000000E+1 |

Relazione di calcolo spalle

| | | | | | |
|---------|---------|----------|--------------|------|------------|
| COMMESA | LOTTO | CODIFICA | DOCUMENTO | REV. | FOGLIO |
| NM25 | 03 D 26 | CL | IV 37 04 001 | A | 411 di 439 |

| | | | |
|------------|----|-----|----------------------|
| PlPressure | 12 | 584 | 2.288000000000000E+1 |
| PlPressure | 12 | 585 | 2.288000000000000E+1 |
| PlPressure | 12 | 586 | 2.288000000000000E+1 |
| PlPressure | 12 | 587 | 2.288000000000000E+1 |
| PlPressure | 12 | 588 | 2.288000000000000E+1 |
| PlPressure | 12 | 589 | 2.288000000000000E+1 |
| PlPressure | 12 | 590 | 2.288000000000000E+1 |
| PlPressure | 12 | 591 | 2.288000000000000E+1 |
| PlPressure | 12 | 592 | 2.288000000000000E+1 |
| PlPressure | 12 | 593 | 2.288000000000000E+1 |
| PlPressure | 12 | 594 | 2.288000000000000E+1 |
| PlPressure | 12 | 595 | 2.288000000000000E+1 |
| PlPressure | 12 | 596 | 2.288000000000000E+1 |
| PlPressure | 12 | 597 | 2.288000000000000E+1 |
| PlPressure | 12 | 598 | 2.288000000000000E+1 |
| PlPressure | 12 | 599 | 2.288000000000000E+1 |
| PlPressure | 12 | 600 | 2.288000000000000E+1 |
| PlPressure | 12 | 601 | 2.288000000000000E+1 |
| PlPressure | 12 | 602 | 2.288000000000000E+1 |
| PlPressure | 12 | 603 | 2.288000000000000E+1 |
| PlPressure | 12 | 604 | 2.288000000000000E+1 |
| PlPressure | 12 | 605 | 2.288000000000000E+1 |
| PlPressure | 12 | 606 | 2.288000000000000E+1 |
| PlPressure | 12 | 607 | 2.288000000000000E+1 |
| PlPressure | 12 | 608 | 2.288000000000000E+1 |
| PlPressure | 12 | 609 | 2.288000000000000E+1 |
| PlPressure | 12 | 610 | 2.288000000000000E+1 |

Relazione di calcolo spalle

| COMMESA | LOTTO | CODIFICA | DOCUMENTO | REV. | FOGLIO |
|---------|---------|----------|--------------|------|------------|
| NM25 | 03 D 26 | CL | IV 37 04 001 | A | 412 di 439 |

| | | | |
|------------|----|-----|----------------------|
| PlPressure | 12 | 611 | 2.288000000000000E+1 |
| PlPressure | 12 | 612 | 2.288000000000000E+1 |
| PlPressure | 12 | 613 | 2.288000000000000E+1 |
| PlPressure | 12 | 614 | 2.288000000000000E+1 |
| PlPressure | 12 | 615 | 2.288000000000000E+1 |
| PlPressure | 12 | 616 | 2.288000000000000E+1 |
| PlPressure | 12 | 617 | 2.288000000000000E+1 |
| PlPressure | 12 | 618 | 2.288000000000000E+1 |
| PlPressure | 12 | 619 | 2.288000000000000E+1 |
| PlPressure | 12 | 620 | 2.288000000000000E+1 |
| PlPressure | 12 | 621 | 2.288000000000000E+1 |
| PlPressure | 12 | 622 | 2.288000000000000E+1 |
| PlPressure | 12 | 623 | 2.288000000000000E+1 |
| PlPressure | 12 | 624 | 2.288000000000000E+1 |
| PlPressure | 12 | 625 | 2.288000000000000E+1 |
| PlPressure | 12 | 626 | 2.288000000000000E+1 |
| PlPressure | 12 | 627 | 2.288000000000000E+1 |
| PlPressure | 12 | 628 | 2.288000000000000E+1 |
| PlPressure | 12 | 629 | 2.288000000000000E+1 |
| PlPressure | 12 | 630 | 2.288000000000000E+1 |
| PlPressure | 12 | 631 | 2.288000000000000E+1 |
| PlPressure | 12 | 632 | 2.288000000000000E+1 |
| PlPressure | 12 | 633 | 2.288000000000000E+1 |
| PlPressure | 12 | 634 | 2.288000000000000E+1 |
| PlPressure | 12 | 635 | 2.288000000000000E+1 |
| PlPressure | 12 | 636 | 2.288000000000000E+1 |
| PlPressure | 12 | 637 | 2.288000000000000E+1 |

Relazione di calcolo spalle

| COMMESMA | LOTTO | CODIFICA | DOCUMENTO | REV. | FOGLIO |
|----------|---------|----------|--------------|------|------------|
| NM25 | 03 D 26 | CL | IV 37 04 001 | A | 413 di 439 |

| | | | |
|------------|----|-----|----------------------|
| PlPressure | 12 | 638 | 2.288000000000000E+1 |
| PlPressure | 12 | 639 | 2.288000000000000E+1 |
| PlPressure | 12 | 640 | 2.288000000000000E+1 |
| PlPressure | 12 | 641 | 2.288000000000000E+1 |
| PlPressure | 12 | 642 | 2.288000000000000E+1 |
| PlPressure | 12 | 643 | 2.288000000000000E+1 |
| PlPressure | 12 | 644 | 2.288000000000000E+1 |
| PlPressure | 12 | 645 | 2.288000000000000E+1 |
| PlPressure | 12 | 646 | 2.288000000000000E+1 |
| PlPressure | 12 | 647 | 2.288000000000000E+1 |
| PlPressure | 12 | 648 | 2.288000000000000E+1 |
| PlPressure | 12 | 649 | 2.288000000000000E+1 |
| PlPressure | 12 | 650 | 2.288000000000000E+1 |
| PlPressure | 12 | 651 | 2.288000000000000E+1 |
| PlPressure | 12 | 652 | 2.288000000000000E+1 |
| PlPressure | 12 | 653 | 2.288000000000000E+1 |
| PlPressure | 12 | 654 | 2.288000000000000E+1 |
| PlPressure | 12 | 655 | 2.288000000000000E+1 |
| PlPressure | 12 | 656 | 2.288000000000000E+1 |
| PlPressure | 12 | 657 | 2.288000000000000E+1 |
| PlPressure | 12 | 658 | 2.288000000000000E+1 |
| PlPressure | 12 | 659 | 2.288000000000000E+1 |
| PlPressure | 12 | 660 | 2.288000000000000E+1 |
| PlPressure | 12 | 661 | 2.288000000000000E+1 |
| PlPressure | 12 | 662 | 2.288000000000000E+1 |
| PlPressure | 12 | 663 | 2.288000000000000E+1 |
| PlPressure | 12 | 664 | 2.288000000000000E+1 |

Relazione di calcolo spalle

| | | | | | |
|---------|---------|----------|--------------|------|------------|
| COMMESA | LOTTO | CODIFICA | DOCUMENTO | REV. | FOGLIO |
| NM25 | 03 D 26 | CL | IV 37 04 001 | A | 414 di 439 |

| | | | |
|------------|----|-----|----------------------|
| PlPressure | 12 | 665 | 2.288000000000000E+1 |
| PlPressure | 12 | 666 | 2.288000000000000E+1 |
| PlPressure | 12 | 667 | 2.288000000000000E+1 |
| PlPressure | 12 | 668 | 2.288000000000000E+1 |
| PlPressure | 12 | 669 | 2.288000000000000E+1 |
| PlPressure | 12 | 670 | 2.288000000000000E+1 |
| PlPressure | 12 | 671 | 2.288000000000000E+1 |
| PlPressure | 12 | 672 | 2.288000000000000E+1 |
| PlPressure | 12 | 673 | 2.288000000000000E+1 |
| PlPressure | 12 | 674 | 2.288000000000000E+1 |
| PlPressure | 12 | 675 | 2.288000000000000E+1 |
| PlPressure | 12 | 676 | 2.288000000000000E+1 |
| PlPressure | 12 | 677 | 2.288000000000000E+1 |
| PlPressure | 12 | 678 | 2.288000000000000E+1 |
| PlPressure | 12 | 679 | 2.288000000000000E+1 |
| PlPressure | 12 | 680 | 2.288000000000000E+1 |
| PlPressure | 12 | 681 | 2.288000000000000E+1 |
| PlPressure | 12 | 682 | 2.288000000000000E+1 |
| PlPressure | 12 | 683 | 2.288000000000000E+1 |
| PlPressure | 12 | 684 | 2.288000000000000E+1 |
| PlPressure | 12 | 685 | 2.288000000000000E+1 |
| PlPressure | 12 | 686 | 2.288000000000000E+1 |
| PlPressure | 12 | 687 | 2.288000000000000E+1 |
| PlPressure | 12 | 688 | 2.288000000000000E+1 |
| PlPressure | 12 | 689 | 2.288000000000000E+1 |
| PlPressure | 12 | 690 | 2.288000000000000E+1 |
| PlPressure | 12 | 691 | 2.288000000000000E+1 |

| Relazione di calcolo spalle | COMMESMA NM25 | LOTTO 03 D 26 | CODIFICA CL | DOCUMENTO IV 37 04 001 | REV. A | FOGLIO 415 di 439 |
|-----------------------------|------------------|------------------|----------------|---------------------------|-----------|----------------------|
|-----------------------------|------------------|------------------|----------------|---------------------------|-----------|----------------------|

| | | | |
|------------|----|-----|----------------------|
| PlPressure | 12 | 692 | 2.288000000000000E+1 |
| PlPressure | 12 | 693 | 2.288000000000000E+1 |
| PlPressure | 12 | 694 | 2.288000000000000E+1 |
| PlPressure | 12 | 695 | 2.288000000000000E+1 |
| PlPressure | 12 | 696 | 2.288000000000000E+1 |
| PlPressure | 12 | 697 | 2.288000000000000E+1 |
| PlPressure | 12 | 698 | 2.288000000000000E+1 |
| PlPressure | 12 | 699 | 2.288000000000000E+1 |
| PlPressure | 12 | 700 | 2.288000000000000E+1 |
| PlPressure | 12 | 701 | 2.288000000000000E+1 |
| PlPressure | 12 | 702 | 2.288000000000000E+1 |
| PlPressure | 12 | 703 | 2.288000000000000E+1 |
| PlPressure | 12 | 704 | 2.288000000000000E+1 |
| PlPressure | 12 | 705 | 2.288000000000000E+1 |
| PlPressure | 12 | 706 | 2.288000000000000E+1 |
| PlPressure | 12 | 707 | 2.288000000000000E+1 |
| PlPressure | 12 | 708 | 2.288000000000000E+1 |
| PlPressure | 12 | 709 | 2.288000000000000E+1 |
| PlPressure | 12 | 710 | 2.288000000000000E+1 |
| PlPressure | 12 | 711 | 2.288000000000000E+1 |
| PlPressure | 12 | 712 | 2.288000000000000E+1 |
| PlPressure | 12 | 713 | 2.288000000000000E+1 |
| PlPressure | 12 | 714 | 2.288000000000000E+1 |
| PlPressure | 12 | 715 | 2.288000000000000E+1 |
| PlPressure | 12 | 716 | 2.288000000000000E+1 |
| PlPressure | 12 | 717 | 2.288000000000000E+1 |
| PlPressure | 12 | 718 | 2.288000000000000E+1 |

Relazione di calcolo spalle

| | | | | | |
|---------|---------|----------|--------------|------|------------|
| COMMESA | LOTTO | CODIFICA | DOCUMENTO | REV. | FOGLIO |
| NM25 | 03 D 26 | CL | IV 37 04 001 | A | 416 di 439 |

| | | | |
|------------|----|-----|----------------------|
| PlPressure | 12 | 719 | 2.288000000000000E+1 |
| PlPressure | 12 | 720 | 2.288000000000000E+1 |
| PlPressure | 12 | 721 | 2.288000000000000E+1 |
| PlPressure | 12 | 722 | 2.288000000000000E+1 |
| PlPressure | 12 | 723 | 2.288000000000000E+1 |
| PlPressure | 12 | 724 | 2.288000000000000E+1 |
| PlPressure | 12 | 725 | 2.288000000000000E+1 |
| PlPressure | 12 | 726 | 2.288000000000000E+1 |
| PlPressure | 12 | 727 | 2.288000000000000E+1 |
| PlPressure | 12 | 728 | 2.288000000000000E+1 |
| PlPressure | 12 | 729 | 2.288000000000000E+1 |
| PlPressure | 12 | 730 | 2.288000000000000E+1 |
| PlPressure | 12 | 731 | 2.288000000000000E+1 |
| PlPressure | 12 | 732 | 2.288000000000000E+1 |
| PlPressure | 12 | 733 | 2.288000000000000E+1 |
| PlPressure | 12 | 734 | 2.288000000000000E+1 |
| PlPressure | 12 | 735 | 2.288000000000000E+1 |
| PlPressure | 12 | 736 | 2.288000000000000E+1 |
| PlPressure | 12 | 737 | 2.288000000000000E+1 |
| PlPressure | 12 | 738 | 2.288000000000000E+1 |
| PlPressure | 12 | 739 | 2.288000000000000E+1 |
| PlPressure | 12 | 740 | 2.288000000000000E+1 |
| PlPressure | 12 | 741 | 2.288000000000000E+1 |
| PlPressure | 12 | 742 | 2.288000000000000E+1 |
| PlPressure | 12 | 743 | 2.288000000000000E+1 |
| PlPressure | 12 | 744 | 2.288000000000000E+1 |
| PlPressure | 12 | 745 | 2.288000000000000E+1 |

| Relazione di calcolo spalle | COMMESMA NM25 | LOTTO 03 D 26 | CODIFICA CL | DOCUMENTO IV 37 04 001 | REV. A | FOGLIO 417 di 439 |
|-----------------------------|------------------|------------------|----------------|---------------------------|-----------|----------------------|
|-----------------------------|------------------|------------------|----------------|---------------------------|-----------|----------------------|

| | | | |
|------------|----|-----|----------------------|
| PlPressure | 12 | 746 | 2.288000000000000E+1 |
| PlPressure | 12 | 747 | 2.288000000000000E+1 |
| PlPressure | 12 | 748 | 2.288000000000000E+1 |
| PlPressure | 12 | 749 | 2.288000000000000E+1 |
| PlPressure | 12 | 750 | 2.288000000000000E+1 |
| PlPressure | 12 | 751 | 2.288000000000000E+1 |
| PlPressure | 12 | 752 | 2.288000000000000E+1 |
| PlPressure | 12 | 753 | 2.288000000000000E+1 |
| PlPressure | 12 | 754 | 2.288000000000000E+1 |
| PlPressure | 12 | 755 | 2.288000000000000E+1 |
| PlPressure | 12 | 756 | 2.288000000000000E+1 |
| PlPressure | 12 | 757 | 2.288000000000000E+1 |
| PlPressure | 12 | 758 | 2.288000000000000E+1 |
| PlPressure | 12 | 759 | 2.288000000000000E+1 |
| PlPressure | 12 | 760 | 2.288000000000000E+1 |
| PlPressure | 12 | 761 | 2.288000000000000E+1 |
| PlPressure | 12 | 762 | 2.288000000000000E+1 |
| PlPressure | 12 | 763 | 2.288000000000000E+1 |
| PlPressure | 12 | 764 | 2.288000000000000E+1 |
| PlPressure | 12 | 765 | 2.288000000000000E+1 |
| PlPressure | 12 | 766 | 2.288000000000000E+1 |
| PlPressure | 12 | 767 | 2.288000000000000E+1 |
| PlPressure | 12 | 768 | 2.288000000000000E+1 |
| PlPressure | 12 | 769 | 2.288000000000000E+1 |
| PlPressure | 12 | 770 | 2.288000000000000E+1 |
| PlPressure | 12 | 771 | 2.288000000000000E+1 |
| PlPressure | 12 | 772 | 2.288000000000000E+1 |

Relazione di calcolo spalle

| COMMESA | LOTTO | CODIFICA | DOCUMENTO | REV. | FOGLIO |
|---------|---------|----------|--------------|------|------------|
| NM25 | 03 D 26 | CL | IV 37 04 001 | A | 418 di 439 |

| | | | |
|------------|----|-----|----------------------|
| PlPressure | 12 | 773 | 2.288000000000000E+1 |
| PlPressure | 12 | 774 | 2.288000000000000E+1 |
| PlPressure | 12 | 775 | 2.288000000000000E+1 |
| PlPressure | 12 | 776 | 2.288000000000000E+1 |
| PlPressure | 12 | 777 | 2.288000000000000E+1 |
| PlPressure | 12 | 778 | 2.288000000000000E+1 |
| PlPressure | 12 | 779 | 2.288000000000000E+1 |
| PlPressure | 12 | 780 | 2.288000000000000E+1 |
| PlPressure | 12 | 781 | 2.288000000000000E+1 |
| PlPressure | 12 | 782 | 2.288000000000000E+1 |
| PlPressure | 12 | 783 | 2.288000000000000E+1 |
| PlPressure | 12 | 784 | 2.288000000000000E+1 |
| PlPressure | 12 | 785 | 2.288000000000000E+1 |
| PlPressure | 12 | 786 | 2.288000000000000E+1 |
| PlPressure | 12 | 787 | 2.288000000000000E+1 |
| PlPressure | 12 | 788 | 2.288000000000000E+1 |
| PlPressure | 12 | 789 | 2.288000000000000E+1 |
| PlPressure | 12 | 790 | 2.288000000000000E+1 |
| PlPressure | 12 | 791 | 2.288000000000000E+1 |
| PlPressure | 12 | 792 | 2.288000000000000E+1 |
| PlPressure | 12 | 793 | 2.288000000000000E+1 |
| PlPressure | 12 | 794 | 2.288000000000000E+1 |
| PlPressure | 12 | 795 | 2.288000000000000E+1 |
| PlPressure | 12 | 796 | 2.288000000000000E+1 |
| PlPressure | 12 | 797 | 2.288000000000000E+1 |
| PlPressure | 12 | 798 | 2.288000000000000E+1 |
| PlPressure | 12 | 799 | 2.288000000000000E+1 |

Relazione di calcolo spalle

| COMMESA | LOTTO | CODIFICA | DOCUMENTO | REV. | FOGLIO |
|---------|---------|----------|--------------|------|------------|
| NM25 | 03 D 26 | CL | IV 37 04 001 | A | 419 di 439 |

| | | | |
|------------|----|-----|----------------------|
| PlPressure | 12 | 800 | 2.288000000000000E+1 |
| PlPressure | 12 | 801 | 2.288000000000000E+1 |
| PlPressure | 12 | 802 | 2.288000000000000E+1 |
| PlPressure | 12 | 803 | 2.288000000000000E+1 |
| PlPressure | 12 | 804 | 2.288000000000000E+1 |
| PlPressure | 12 | 805 | 2.288000000000000E+1 |
| PlPressure | 12 | 806 | 2.288000000000000E+1 |
| PlPressure | 12 | 807 | 2.288000000000000E+1 |
| PlPressure | 12 | 808 | 2.288000000000000E+1 |
| PlPressure | 12 | 809 | 2.288000000000000E+1 |
| PlPressure | 12 | 810 | 2.288000000000000E+1 |
| PlPressure | 12 | 811 | 2.288000000000000E+1 |
| PlPressure | 12 | 812 | 2.288000000000000E+1 |
| PlPressure | 12 | 813 | 2.288000000000000E+1 |
| PlPressure | 12 | 814 | 2.288000000000000E+1 |
| PlPressure | 12 | 815 | 2.288000000000000E+1 |
| PlPressure | 12 | 816 | 2.288000000000000E+1 |
| PlPressure | 12 | 817 | 2.288000000000000E+1 |
| PlPressure | 12 | 818 | 2.288000000000000E+1 |
| PlPressure | 12 | 819 | 2.288000000000000E+1 |
| PlPressure | 12 | 820 | 2.288000000000000E+1 |
| PlPressure | 12 | 821 | 2.288000000000000E+1 |
| PlPressure | 12 | 822 | 2.288000000000000E+1 |
| PlPressure | 12 | 823 | 2.288000000000000E+1 |
| PlPressure | 12 | 824 | 2.288000000000000E+1 |
| PlPressure | 12 | 825 | 2.288000000000000E+1 |
| PlPressure | 12 | 826 | 2.288000000000000E+1 |

| | | | | | | |
|---|---|--|-----------------|------------------|----------------|---------------------------|
|  ITALFERR GRUPPO FERROVIE DELLO STATO ITALIANE | RADDOPPIO LINEA CODOGNO – CREMONA – MANTOVA TRATTA PIADENA - MANTOVA | | | | | |
| Relazione di calcolo spalle | | | COMMESA NM25 | LOTTO 03 D 26 | CODIFICA CL | DOCUMENTO IV 37 04 001 |
| | | | | | REV. A | FOGLIO 420 di 439 |

| | | | |
|------------|----|-----|----------------------|
| PIPressure | 12 | 827 | 2.288000000000000E+1 |
| PIPressure | 12 | 828 | 2.288000000000000E+1 |
| PIPressure | 12 | 829 | 2.288000000000000E+1 |
| PIPressure | 12 | 830 | 2.288000000000000E+1 |
| PIPressure | 12 | 831 | 2.288000000000000E+1 |
| PIPressure | 12 | 832 | 2.288000000000000E+1 |
| PIPressure | 12 | 833 | 2.288000000000000E+1 |
| PIPressure | 12 | 834 | 2.288000000000000E+1 |
| PIPressure | 12 | 835 | 2.288000000000000E+1 |
| PIPressure | 12 | 836 | 2.288000000000000E+1 |
| PIPressure | 12 | 837 | 2.288000000000000E+1 |
| PIPressure | 12 | 838 | 2.288000000000000E+1 |
| PIPressure | 12 | 839 | 2.288000000000000E+1 |
| PIPressure | 12 | 840 | 2.288000000000000E+1 |

/

/ _____

/ PLATE FACE PRESSURES

/ INERZIA TERRENO LONG

| | | | |
|------------|----|---|----------------------|
| PIPressure | 17 | 1 | 2.098000000000000E+1 |
| PIPressure | 17 | 2 | 2.098000000000000E+1 |
| PIPressure | 17 | 3 | 2.098000000000000E+1 |
| PIPressure | 17 | 4 | 2.098000000000000E+1 |
| PIPressure | 17 | 5 | 2.098000000000000E+1 |
| PIPressure | 17 | 6 | 2.098000000000000E+1 |
| PIPressure | 17 | 7 | 2.098000000000000E+1 |

Relazione di calcolo spalle

| | | | | | |
|-----------------|------------------|----------------|---------------------------|-----------|----------------------|
| COMMESA NM25 | LOTTO 03 D 26 | CODIFICA CL | DOCUMENTO IV 37 04 001 | REV. A | FOGLIO 421 di 439 |
|-----------------|------------------|----------------|---------------------------|-----------|----------------------|

| | | | |
|------------|----|-----|----------------------|
| PlPressure | 17 | 8 | 2.098000000000000E+1 |
| PlPressure | 17 | 9 | 2.098000000000000E+1 |
| PlPressure | 17 | 10 | 2.098000000000000E+1 |
| PlPressure | 17 | 11 | 2.098000000000000E+1 |
| PlPressure | 17 | 12 | 2.098000000000000E+1 |
| PlPressure | 17 | 13 | 2.098000000000000E+1 |
| PlPressure | 17 | 14 | 2.098000000000000E+1 |
| PlPressure | 17 | 15 | 2.098000000000000E+1 |
| PlPressure | 17 | 16 | 2.098000000000000E+1 |
| PlPressure | 17 | 17 | 2.098000000000000E+1 |
| PlPressure | 17 | 18 | 2.098000000000000E+1 |
| PlPressure | 17 | 19 | 2.098000000000000E+1 |
| PlPressure | 17 | 20 | 2.098000000000000E+1 |
| PlPressure | 17 | 21 | 2.098000000000000E+1 |
| PlPressure | 17 | 423 | 2.098000000000000E+1 |
| PlPressure | 17 | 424 | 2.098000000000000E+1 |
| PlPressure | 17 | 425 | 2.098000000000000E+1 |
| PlPressure | 17 | 426 | 2.098000000000000E+1 |
| PlPressure | 17 | 427 | 2.098000000000000E+1 |
| PlPressure | 17 | 428 | 2.098000000000000E+1 |
| PlPressure | 17 | 429 | 2.098000000000000E+1 |
| PlPressure | 17 | 430 | 2.098000000000000E+1 |
| PlPressure | 17 | 431 | 2.098000000000000E+1 |
| PlPressure | 17 | 432 | 2.098000000000000E+1 |
| PlPressure | 17 | 433 | 2.098000000000000E+1 |
| PlPressure | 17 | 434 | 2.098000000000000E+1 |
| PlPressure | 17 | 435 | 2.098000000000000E+1 |

| Relazione di calcolo spalle | COMMESSA NM25 | LOTTO 03 D 26 | CODIFICA CL | DOCUMENTO IV 37 04 001 | REV. A | FOGLIO 422 di 439 |
|-----------------------------|------------------|------------------|----------------|---------------------------|-----------|----------------------|
|-----------------------------|------------------|------------------|----------------|---------------------------|-----------|----------------------|

| | | | |
|------------|----|-----|----------------------|
| PlPressure | 17 | 436 | 2.098000000000000E+1 |
| PlPressure | 17 | 437 | 2.098000000000000E+1 |
| PlPressure | 17 | 438 | 2.098000000000000E+1 |
| PlPressure | 17 | 439 | 2.098000000000000E+1 |
| PlPressure | 17 | 440 | 2.098000000000000E+1 |
| PlPressure | 17 | 441 | 2.098000000000000E+1 |
| PlPressure | 17 | 442 | 2.098000000000000E+1 |
| PlPressure | 17 | 443 | 2.098000000000000E+1 |
| PlPressure | 17 | 444 | 2.098000000000000E+1 |
| PlPressure | 17 | 445 | 2.098000000000000E+1 |
| PlPressure | 17 | 446 | 2.098000000000000E+1 |
| PlPressure | 17 | 447 | 2.098000000000000E+1 |
| PlPressure | 17 | 448 | 2.098000000000000E+1 |
| PlPressure | 17 | 449 | 2.098000000000000E+1 |
| PlPressure | 17 | 450 | 2.098000000000000E+1 |
| PlPressure | 17 | 451 | 2.098000000000000E+1 |
| PlPressure | 17 | 452 | 2.098000000000000E+1 |
| PlPressure | 17 | 453 | 2.098000000000000E+1 |
| PlPressure | 17 | 454 | 2.098000000000000E+1 |
| PlPressure | 17 | 455 | 2.098000000000000E+1 |
| PlPressure | 17 | 456 | 2.098000000000000E+1 |
| PlPressure | 17 | 457 | 2.098000000000000E+1 |
| PlPressure | 17 | 458 | 2.098000000000000E+1 |
| PlPressure | 17 | 459 | 2.098000000000000E+1 |
| PlPressure | 17 | 460 | 2.098000000000000E+1 |
| PlPressure | 17 | 461 | 2.098000000000000E+1 |
| PlPressure | 17 | 462 | 2.098000000000000E+1 |

Relazione di calcolo spalle

| | | | |
|---------|---------|----------|--------------|
| COMMESA | LOTTO | CODIFICA | DOCUMENTO |
| NM25 | 03 D 26 | CL | IV 37 04 001 |

| | |
|------|------------|
| REV. | FOGLIO |
| A | 423 di 439 |

| | | | |
|------------|----|-----|----------------------|
| PlPressure | 17 | 463 | 2.098000000000000E+1 |
| PlPressure | 17 | 464 | 2.098000000000000E+1 |
| PlPressure | 17 | 465 | 2.098000000000000E+1 |
| PlPressure | 17 | 466 | 2.098000000000000E+1 |
| PlPressure | 17 | 467 | 2.098000000000000E+1 |
| PlPressure | 17 | 468 | 2.098000000000000E+1 |
| PlPressure | 17 | 469 | 2.098000000000000E+1 |
| PlPressure | 17 | 470 | 2.098000000000000E+1 |
| PlPressure | 17 | 471 | 2.098000000000000E+1 |
| PlPressure | 17 | 472 | 2.098000000000000E+1 |
| PlPressure | 17 | 473 | 2.098000000000000E+1 |
| PlPressure | 17 | 474 | 2.098000000000000E+1 |
| PlPressure | 17 | 475 | 2.098000000000000E+1 |
| PlPressure | 17 | 476 | 2.098000000000000E+1 |
| PlPressure | 17 | 477 | 2.098000000000000E+1 |
| PlPressure | 17 | 478 | 2.098000000000000E+1 |
| PlPressure | 17 | 479 | 2.098000000000000E+1 |
| PlPressure | 17 | 480 | 2.098000000000000E+1 |
| PlPressure | 17 | 481 | 2.098000000000000E+1 |
| PlPressure | 17 | 482 | 2.098000000000000E+1 |
| PlPressure | 17 | 483 | 2.098000000000000E+1 |
| PlPressure | 17 | 484 | 2.098000000000000E+1 |
| PlPressure | 17 | 485 | 2.098000000000000E+1 |
| PlPressure | 17 | 486 | 2.098000000000000E+1 |
| PlPressure | 17 | 487 | 2.098000000000000E+1 |
| PlPressure | 17 | 488 | 2.098000000000000E+1 |
| PlPressure | 17 | 489 | 2.098000000000000E+1 |

| Relazione di calcolo spalle | COMMESSA NM25 | LOTTO 03 D 26 | CODIFICA CL | DOCUMENTO IV 37 04 001 | REV. A | FOGLIO 424 di 439 |
|-----------------------------|------------------|------------------|----------------|---------------------------|-----------|----------------------|
|-----------------------------|------------------|------------------|----------------|---------------------------|-----------|----------------------|

| | | | |
|------------|----|-----|----------------------|
| PlPressure | 17 | 490 | 2.098000000000000E+1 |
| PlPressure | 17 | 491 | 2.098000000000000E+1 |
| PlPressure | 17 | 492 | 2.098000000000000E+1 |
| PlPressure | 17 | 493 | 2.098000000000000E+1 |
| PlPressure | 17 | 494 | 2.098000000000000E+1 |
| PlPressure | 17 | 495 | 2.098000000000000E+1 |
| PlPressure | 17 | 496 | 2.098000000000000E+1 |
| PlPressure | 17 | 497 | 2.098000000000000E+1 |
| PlPressure | 17 | 498 | 2.098000000000000E+1 |
| PlPressure | 17 | 499 | 2.098000000000000E+1 |
| PlPressure | 17 | 500 | 2.098000000000000E+1 |
| PlPressure | 17 | 501 | 2.098000000000000E+1 |
| PlPressure | 17 | 502 | 2.098000000000000E+1 |
| PlPressure | 17 | 503 | 2.098000000000000E+1 |
| PlPressure | 17 | 504 | 2.098000000000000E+1 |
| PlPressure | 17 | 505 | 2.098000000000000E+1 |
| PlPressure | 17 | 506 | 2.098000000000000E+1 |
| PlPressure | 17 | 507 | 2.098000000000000E+1 |
| PlPressure | 17 | 508 | 2.098000000000000E+1 |
| PlPressure | 17 | 509 | 2.098000000000000E+1 |
| PlPressure | 17 | 510 | 2.098000000000000E+1 |
| PlPressure | 17 | 511 | 2.098000000000000E+1 |
| PlPressure | 17 | 512 | 2.098000000000000E+1 |
| PlPressure | 17 | 513 | 2.098000000000000E+1 |
| PlPressure | 17 | 514 | 2.098000000000000E+1 |
| PlPressure | 17 | 515 | 2.098000000000000E+1 |
| PlPressure | 17 | 516 | 2.098000000000000E+1 |

Relazione di calcolo spalle

| COMMESMA | LOTTO | CODIFICA | DOCUMENTO | REV. | FOGLIO |
|----------|---------|----------|--------------|------|------------|
| NM25 | 03 D 26 | CL | IV 37 04 001 | A | 425 di 439 |

| | | | |
|------------|----|-----|----------------------|
| PlPressure | 17 | 517 | 2.098000000000000E+1 |
| PlPressure | 17 | 518 | 2.098000000000000E+1 |
| PlPressure | 17 | 519 | 2.098000000000000E+1 |
| PlPressure | 17 | 520 | 2.098000000000000E+1 |
| PlPressure | 17 | 521 | 2.098000000000000E+1 |
| PlPressure | 17 | 522 | 2.098000000000000E+1 |
| PlPressure | 17 | 523 | 2.098000000000000E+1 |
| PlPressure | 17 | 524 | 2.098000000000000E+1 |
| PlPressure | 17 | 525 | 2.098000000000000E+1 |
| PlPressure | 17 | 526 | 2.098000000000000E+1 |
| PlPressure | 17 | 527 | 2.098000000000000E+1 |
| PlPressure | 17 | 528 | 2.098000000000000E+1 |
| PlPressure | 17 | 529 | 2.098000000000000E+1 |
| PlPressure | 17 | 530 | 2.098000000000000E+1 |
| PlPressure | 17 | 531 | 2.098000000000000E+1 |
| PlPressure | 17 | 532 | 2.098000000000000E+1 |
| PlPressure | 17 | 533 | 2.098000000000000E+1 |
| PlPressure | 17 | 534 | 2.098000000000000E+1 |
| PlPressure | 17 | 535 | 2.098000000000000E+1 |
| PlPressure | 17 | 536 | 2.098000000000000E+1 |
| PlPressure | 17 | 537 | 2.098000000000000E+1 |
| PlPressure | 17 | 538 | 2.098000000000000E+1 |
| PlPressure | 17 | 539 | 2.098000000000000E+1 |
| PlPressure | 17 | 540 | 2.098000000000000E+1 |
| PlPressure | 17 | 541 | 2.098000000000000E+1 |

Relazione di calcolo spalle

| COMMESMA | LOTTO | CODIFICA | DOCUMENTO | REV. | FOGLIO |
|----------|---------|----------|--------------|------|------------|
| NM25 | 03 D 26 | CL | IV 37 04 001 | A | 426 di 439 |

/ PLATE FACE PRESSURES

/ INERZIA TERRENO TRASV

| | | | |
|------------|----|----|---------------------|
| PlPressure | 18 | 22 | 6.82000000000000E+0 |
| PlPressure | 18 | 23 | 6.82000000000000E+0 |
| PlPressure | 18 | 24 | 6.82000000000000E+0 |
| PlPressure | 18 | 25 | 6.82000000000000E+0 |
| PlPressure | 18 | 26 | 6.82000000000000E+0 |
| PlPressure | 18 | 27 | 6.82000000000000E+0 |
| PlPressure | 18 | 28 | 6.82000000000000E+0 |
| PlPressure | 18 | 29 | 6.82000000000000E+0 |
| PlPressure | 18 | 30 | 6.82000000000000E+0 |
| PlPressure | 18 | 31 | 6.82000000000000E+0 |
| PlPressure | 18 | 32 | 6.82000000000000E+0 |
| PlPressure | 18 | 33 | 6.82000000000000E+0 |
| PlPressure | 18 | 34 | 6.82000000000000E+0 |
| PlPressure | 18 | 35 | 6.82000000000000E+0 |
| PlPressure | 18 | 36 | 6.82000000000000E+0 |
| PlPressure | 18 | 37 | 6.82000000000000E+0 |
| PlPressure | 18 | 38 | 6.82000000000000E+0 |
| PlPressure | 18 | 39 | 6.82000000000000E+0 |
| PlPressure | 18 | 40 | 6.82000000000000E+0 |
| PlPressure | 18 | 41 | 6.82000000000000E+0 |
| PlPressure | 18 | 42 | 6.82000000000000E+0 |
| PlPressure | 18 | 43 | 6.82000000000000E+0 |
| PlPressure | 18 | 44 | 6.82000000000000E+0 |
| PlPressure | 18 | 45 | 6.82000000000000E+0 |
| PlPressure | 18 | 46 | 6.82000000000000E+0 |

Relazione di calcolo spalle

COMMESA LOTTO CODIFICA DOCUMENTO REV. FOGLIO
NM25 03 D 26 CL IV 37 04 001 A 427 di 439

| | | | |
|------------|----|-----|---------------------|
| PlPressure | 18 | 47 | 6.82000000000000E+0 |
| PlPressure | 18 | 48 | 6.82000000000000E+0 |
| PlPressure | 18 | 49 | 6.82000000000000E+0 |
| PlPressure | 18 | 50 | 6.82000000000000E+0 |
| PlPressure | 18 | 51 | 6.82000000000000E+0 |
| PlPressure | 18 | 52 | 6.82000000000000E+0 |
| PlPressure | 18 | 53 | 6.82000000000000E+0 |
| PlPressure | 18 | 54 | 6.82000000000000E+0 |
| PlPressure | 18 | 55 | 6.82000000000000E+0 |
| PlPressure | 18 | 56 | 6.82000000000000E+0 |
| PlPressure | 18 | 57 | 6.82000000000000E+0 |
| PlPressure | 18 | 58 | 6.82000000000000E+0 |
| PlPressure | 18 | 59 | 6.82000000000000E+0 |
| PlPressure | 18 | 60 | 6.82000000000000E+0 |
| PlPressure | 18 | 61 | 6.82000000000000E+0 |
| PlPressure | 18 | 62 | 6.82000000000000E+0 |
| PlPressure | 18 | 63 | 6.82000000000000E+0 |
| PlPressure | 18 | 64 | 6.82000000000000E+0 |
| PlPressure | 18 | 65 | 6.82000000000000E+0 |
| PlPressure | 18 | 66 | 6.82000000000000E+0 |
| PlPressure | 18 | 67 | 6.82000000000000E+0 |
| PlPressure | 18 | 68 | 6.82000000000000E+0 |
| PlPressure | 18 | 69 | 6.82000000000000E+0 |
| PlPressure | 18 | 70 | 6.82000000000000E+0 |
| PlPressure | 18 | 71 | 6.82000000000000E+0 |
| PlPressure | 18 | 72 | 6.82000000000000E+0 |
| PlPressure | 18 | 542 | 6.82000000000000E+0 |

| Relazione di calcolo spalle | COMMESMA NM25 | LOTTO 03 D 26 | CODIFICA CL | DOCUMENTO IV 37 04 001 | REV. A | FOGLIO 428 di 439 |
|-----------------------------|------------------|------------------|----------------|---------------------------|-----------|----------------------|
|-----------------------------|------------------|------------------|----------------|---------------------------|-----------|----------------------|

| | | | |
|------------|----|-----|----------------------|
| PlPressure | 18 | 543 | 6.820000000000000E+0 |
| PlPressure | 18 | 544 | 6.820000000000000E+0 |
| PlPressure | 18 | 545 | 6.820000000000000E+0 |
| PlPressure | 18 | 546 | 6.820000000000000E+0 |
| PlPressure | 18 | 547 | 6.820000000000000E+0 |
| PlPressure | 18 | 548 | 6.820000000000000E+0 |
| PlPressure | 18 | 549 | 6.820000000000000E+0 |
| PlPressure | 18 | 550 | 6.820000000000000E+0 |
| PlPressure | 18 | 551 | 6.820000000000000E+0 |
| PlPressure | 18 | 552 | 6.820000000000000E+0 |
| PlPressure | 18 | 553 | 6.820000000000000E+0 |
| PlPressure | 18 | 554 | 6.820000000000000E+0 |
| PlPressure | 18 | 555 | 6.820000000000000E+0 |
| PlPressure | 18 | 556 | 6.820000000000000E+0 |
| PlPressure | 18 | 557 | 6.820000000000000E+0 |
| PlPressure | 18 | 558 | 6.820000000000000E+0 |
| PlPressure | 18 | 559 | 6.820000000000000E+0 |
| PlPressure | 18 | 560 | 6.820000000000000E+0 |
| PlPressure | 18 | 561 | 6.820000000000000E+0 |
| PlPressure | 18 | 562 | 6.820000000000000E+0 |
| PlPressure | 18 | 563 | 6.820000000000000E+0 |
| PlPressure | 18 | 564 | 6.820000000000000E+0 |
| PlPressure | 18 | 565 | 6.820000000000000E+0 |
| PlPressure | 18 | 566 | 6.820000000000000E+0 |
| PlPressure | 18 | 567 | 6.820000000000000E+0 |
| PlPressure | 18 | 568 | 6.820000000000000E+0 |
| PlPressure | 18 | 569 | 6.820000000000000E+0 |

| Relazione di calcolo spalle | COMMESMA NM25 | LOTTO 03 D 26 | CODIFICA CL | DOCUMENTO IV 37 04 001 | REV. A | FOGLIO 429 di 439 |
|-----------------------------|------------------|------------------|----------------|---------------------------|-----------|----------------------|
|-----------------------------|------------------|------------------|----------------|---------------------------|-----------|----------------------|

| | | | |
|------------|----|-----|----------------------|
| PlPressure | 18 | 570 | 6.820000000000000E+0 |
| PlPressure | 18 | 571 | 6.820000000000000E+0 |
| PlPressure | 18 | 572 | 6.820000000000000E+0 |
| PlPressure | 18 | 573 | 6.820000000000000E+0 |
| PlPressure | 18 | 574 | 6.820000000000000E+0 |
| PlPressure | 18 | 575 | 6.820000000000000E+0 |
| PlPressure | 18 | 576 | 6.820000000000000E+0 |
| PlPressure | 18 | 577 | 6.820000000000000E+0 |
| PlPressure | 18 | 578 | 6.820000000000000E+0 |
| PlPressure | 18 | 579 | 6.820000000000000E+0 |
| PlPressure | 18 | 580 | 6.820000000000000E+0 |
| PlPressure | 18 | 581 | 6.820000000000000E+0 |
| PlPressure | 18 | 582 | 6.820000000000000E+0 |
| PlPressure | 18 | 583 | 6.820000000000000E+0 |
| PlPressure | 18 | 584 | 6.820000000000000E+0 |
| PlPressure | 18 | 585 | 6.820000000000000E+0 |
| PlPressure | 18 | 586 | 6.820000000000000E+0 |
| PlPressure | 18 | 587 | 6.820000000000000E+0 |
| PlPressure | 18 | 588 | 6.820000000000000E+0 |
| PlPressure | 18 | 589 | 6.820000000000000E+0 |
| PlPressure | 18 | 590 | 6.820000000000000E+0 |
| PlPressure | 18 | 591 | 6.820000000000000E+0 |
| PlPressure | 18 | 592 | 6.820000000000000E+0 |
| PlPressure | 18 | 593 | 6.820000000000000E+0 |
| PlPressure | 18 | 594 | 6.820000000000000E+0 |
| PlPressure | 18 | 595 | 6.820000000000000E+0 |
| PlPressure | 18 | 596 | 6.820000000000000E+0 |

Relazione di calcolo spalle

| COMMESA | LOTTO | CODIFICA | DOCUMENTO | REV. | FOGLIO |
|---------|---------|----------|--------------|------|------------|
| NM25 | 03 D 26 | CL | IV 37 04 001 | A | 430 di 439 |

| | | | |
|------------|----|-----|----------------------|
| PlPressure | 18 | 597 | 6.820000000000000E+0 |
| PlPressure | 18 | 598 | 6.820000000000000E+0 |
| PlPressure | 18 | 599 | 6.820000000000000E+0 |
| PlPressure | 18 | 600 | 6.820000000000000E+0 |
| PlPressure | 18 | 601 | 6.820000000000000E+0 |
| PlPressure | 18 | 602 | 6.820000000000000E+0 |
| PlPressure | 18 | 603 | 6.820000000000000E+0 |
| PlPressure | 18 | 604 | 6.820000000000000E+0 |
| PlPressure | 18 | 605 | 6.820000000000000E+0 |
| PlPressure | 18 | 606 | 6.820000000000000E+0 |
| PlPressure | 18 | 607 | 6.820000000000000E+0 |
| PlPressure | 18 | 608 | 6.820000000000000E+0 |
| PlPressure | 18 | 609 | 6.820000000000000E+0 |
| PlPressure | 18 | 610 | 6.820000000000000E+0 |
| PlPressure | 18 | 611 | 6.820000000000000E+0 |
| PlPressure | 18 | 612 | 6.820000000000000E+0 |
| PlPressure | 18 | 613 | 6.820000000000000E+0 |
| PlPressure | 18 | 614 | 6.820000000000000E+0 |
| PlPressure | 18 | 615 | 6.820000000000000E+0 |
| PlPressure | 18 | 616 | 6.820000000000000E+0 |
| PlPressure | 18 | 617 | 6.820000000000000E+0 |
| PlPressure | 18 | 618 | 6.820000000000000E+0 |
| PlPressure | 18 | 619 | 6.820000000000000E+0 |
| PlPressure | 18 | 620 | 6.820000000000000E+0 |
| PlPressure | 18 | 621 | 6.820000000000000E+0 |
| PlPressure | 18 | 622 | 6.820000000000000E+0 |
| PlPressure | 18 | 623 | 6.820000000000000E+0 |

| Relazione di calcolo spalle | COMMESMA NM25 | LOTTO 03 D 26 | CODIFICA CL | DOCUMENTO IV 37 04 001 | REV. A | FOGLIO 431 di 439 |
|-----------------------------|------------------|------------------|----------------|---------------------------|-----------|----------------------|
|-----------------------------|------------------|------------------|----------------|---------------------------|-----------|----------------------|

| | | | |
|------------|----|-----|----------------------|
| PlPressure | 18 | 624 | 6.820000000000000E+0 |
| PlPressure | 18 | 625 | 6.820000000000000E+0 |
| PlPressure | 18 | 626 | 6.820000000000000E+0 |
| PlPressure | 18 | 627 | 6.820000000000000E+0 |
| PlPressure | 18 | 628 | 6.820000000000000E+0 |
| PlPressure | 18 | 629 | 6.820000000000000E+0 |
| PlPressure | 18 | 630 | 6.820000000000000E+0 |
| PlPressure | 18 | 631 | 6.820000000000000E+0 |
| PlPressure | 18 | 632 | 6.820000000000000E+0 |
| PlPressure | 18 | 633 | 6.820000000000000E+0 |
| PlPressure | 18 | 634 | 6.820000000000000E+0 |
| PlPressure | 18 | 635 | 6.820000000000000E+0 |
| PlPressure | 18 | 636 | 6.820000000000000E+0 |
| PlPressure | 18 | 637 | 6.820000000000000E+0 |
| PlPressure | 18 | 638 | 6.820000000000000E+0 |
| PlPressure | 18 | 639 | 6.820000000000000E+0 |
| PlPressure | 18 | 640 | 6.820000000000000E+0 |
| PlPressure | 18 | 641 | 6.820000000000000E+0 |
| PlPressure | 18 | 642 | 6.820000000000000E+0 |
| PlPressure | 18 | 643 | 6.820000000000000E+0 |
| PlPressure | 18 | 644 | 6.820000000000000E+0 |
| PlPressure | 18 | 645 | 6.820000000000000E+0 |
| PlPressure | 18 | 646 | 6.820000000000000E+0 |
| PlPressure | 18 | 647 | 6.820000000000000E+0 |
| PlPressure | 18 | 648 | 6.820000000000000E+0 |
| PlPressure | 18 | 649 | 6.820000000000000E+0 |
| PlPressure | 18 | 650 | 6.820000000000000E+0 |

| Relazione di calcolo spalle | COMMESMA NM25 | LOTTO 03 D 26 | CODIFICA CL | DOCUMENTO IV 37 04 001 | REV. A | FOGLIO 432 di 439 |
|-----------------------------|------------------|------------------|----------------|---------------------------|-----------|----------------------|
|-----------------------------|------------------|------------------|----------------|---------------------------|-----------|----------------------|

| | | | |
|------------|----|-----|----------------------|
| PlPressure | 18 | 651 | 6.820000000000000E+0 |
| PlPressure | 18 | 652 | 6.820000000000000E+0 |
| PlPressure | 18 | 653 | 6.820000000000000E+0 |
| PlPressure | 18 | 654 | 6.820000000000000E+0 |
| PlPressure | 18 | 655 | 6.820000000000000E+0 |
| PlPressure | 18 | 656 | 6.820000000000000E+0 |
| PlPressure | 18 | 657 | 6.820000000000000E+0 |
| PlPressure | 18 | 658 | 6.820000000000000E+0 |
| PlPressure | 18 | 659 | 6.820000000000000E+0 |
| PlPressure | 18 | 660 | 6.820000000000000E+0 |
| PlPressure | 18 | 661 | 6.820000000000000E+0 |
| PlPressure | 18 | 662 | 6.820000000000000E+0 |
| PlPressure | 18 | 663 | 6.820000000000000E+0 |
| PlPressure | 18 | 664 | 6.820000000000000E+0 |
| PlPressure | 18 | 665 | 6.820000000000000E+0 |
| PlPressure | 18 | 666 | 6.820000000000000E+0 |
| PlPressure | 18 | 667 | 6.820000000000000E+0 |
| PlPressure | 18 | 668 | 6.820000000000000E+0 |
| PlPressure | 18 | 669 | 6.820000000000000E+0 |
| PlPressure | 18 | 670 | 6.820000000000000E+0 |
| PlPressure | 18 | 671 | 6.820000000000000E+0 |
| PlPressure | 18 | 672 | 6.820000000000000E+0 |
| PlPressure | 18 | 673 | 6.820000000000000E+0 |
| PlPressure | 18 | 674 | 6.820000000000000E+0 |
| PlPressure | 18 | 675 | 6.820000000000000E+0 |
| PlPressure | 18 | 676 | 6.820000000000000E+0 |
| PlPressure | 18 | 677 | 6.820000000000000E+0 |

| Relazione di calcolo spalle | COMMESSA NM25 | LOTTO 03 D 26 | CODIFICA CL | DOCUMENTO IV 37 04 001 | REV. A | FOGLIO 433 di 439 |
|-----------------------------|------------------|------------------|----------------|---------------------------|-----------|----------------------|
|-----------------------------|------------------|------------------|----------------|---------------------------|-----------|----------------------|

| | | | |
|------------|----|-----|----------------------|
| PlPressure | 18 | 678 | 6.820000000000000E+0 |
| PlPressure | 18 | 679 | 6.820000000000000E+0 |
| PlPressure | 18 | 680 | 6.820000000000000E+0 |
| PlPressure | 18 | 681 | 6.820000000000000E+0 |
| PlPressure | 18 | 682 | 6.820000000000000E+0 |
| PlPressure | 18 | 683 | 6.820000000000000E+0 |
| PlPressure | 18 | 684 | 6.820000000000000E+0 |
| PlPressure | 18 | 685 | 6.820000000000000E+0 |
| PlPressure | 18 | 686 | 6.820000000000000E+0 |
| PlPressure | 18 | 687 | 6.820000000000000E+0 |
| PlPressure | 18 | 688 | 6.820000000000000E+0 |
| PlPressure | 18 | 689 | 6.820000000000000E+0 |
| PlPressure | 18 | 690 | 6.820000000000000E+0 |
| PlPressure | 18 | 691 | 6.820000000000000E+0 |
| PlPressure | 18 | 692 | 6.820000000000000E+0 |
| PlPressure | 18 | 693 | 6.820000000000000E+0 |
| PlPressure | 18 | 694 | 6.820000000000000E+0 |
| PlPressure | 18 | 695 | 6.820000000000000E+0 |
| PlPressure | 18 | 696 | 6.820000000000000E+0 |
| PlPressure | 18 | 697 | 6.820000000000000E+0 |
| PlPressure | 18 | 698 | 6.820000000000000E+0 |
| PlPressure | 18 | 699 | 6.820000000000000E+0 |
| PlPressure | 18 | 700 | 6.820000000000000E+0 |
| PlPressure | 18 | 701 | 6.820000000000000E+0 |
| PlPressure | 18 | 702 | 6.820000000000000E+0 |
| PlPressure | 18 | 703 | 6.820000000000000E+0 |
| PlPressure | 18 | 704 | 6.820000000000000E+0 |

| Relazione di calcolo spalle | COMMESSA NM25 | LOTTO 03 D 26 | CODIFICA CL | DOCUMENTO IV 37 04 001 | REV. A | FOGLIO 434 di 439 |
|-----------------------------|------------------|------------------|----------------|---------------------------|-----------|----------------------|
|-----------------------------|------------------|------------------|----------------|---------------------------|-----------|----------------------|

| | | | |
|------------|----|-----|----------------------|
| PlPressure | 18 | 705 | 6.820000000000000E+0 |
| PlPressure | 18 | 706 | 6.820000000000000E+0 |
| PlPressure | 18 | 707 | 6.820000000000000E+0 |
| PlPressure | 18 | 708 | 6.820000000000000E+0 |
| PlPressure | 18 | 709 | 6.820000000000000E+0 |
| PlPressure | 18 | 710 | 6.820000000000000E+0 |
| PlPressure | 18 | 711 | 6.820000000000000E+0 |
| PlPressure | 18 | 712 | 6.820000000000000E+0 |
| PlPressure | 18 | 713 | 6.820000000000000E+0 |
| PlPressure | 18 | 714 | 6.820000000000000E+0 |
| PlPressure | 18 | 715 | 6.820000000000000E+0 |
| PlPressure | 18 | 716 | 6.820000000000000E+0 |
| PlPressure | 18 | 717 | 6.820000000000000E+0 |
| PlPressure | 18 | 718 | 6.820000000000000E+0 |
| PlPressure | 18 | 719 | 6.820000000000000E+0 |
| PlPressure | 18 | 720 | 6.820000000000000E+0 |
| PlPressure | 18 | 721 | 6.820000000000000E+0 |
| PlPressure | 18 | 722 | 6.820000000000000E+0 |
| PlPressure | 18 | 723 | 6.820000000000000E+0 |
| PlPressure | 18 | 724 | 6.820000000000000E+0 |
| PlPressure | 18 | 725 | 6.820000000000000E+0 |
| PlPressure | 18 | 726 | 6.820000000000000E+0 |
| PlPressure | 18 | 727 | 6.820000000000000E+0 |
| PlPressure | 18 | 728 | 6.820000000000000E+0 |
| PlPressure | 18 | 729 | 6.820000000000000E+0 |
| PlPressure | 18 | 730 | 6.820000000000000E+0 |
| PlPressure | 18 | 731 | 6.820000000000000E+0 |

| Relazione di calcolo spalle | COMMESMA NM25 | LOTTO 03 D 26 | CODIFICA CL | DOCUMENTO IV 37 04 001 | REV. A | FOGLIO 435 di 439 |
|-----------------------------|------------------|------------------|----------------|---------------------------|-----------|----------------------|
|-----------------------------|------------------|------------------|----------------|---------------------------|-----------|----------------------|

| | | | |
|------------|----|-----|----------------------|
| PlPressure | 18 | 732 | 6.820000000000000E+0 |
| PlPressure | 18 | 733 | 6.820000000000000E+0 |
| PlPressure | 18 | 734 | 6.820000000000000E+0 |
| PlPressure | 18 | 735 | 6.820000000000000E+0 |
| PlPressure | 18 | 736 | 6.820000000000000E+0 |
| PlPressure | 18 | 737 | 6.820000000000000E+0 |
| PlPressure | 18 | 738 | 6.820000000000000E+0 |
| PlPressure | 18 | 739 | 6.820000000000000E+0 |
| PlPressure | 18 | 740 | 6.820000000000000E+0 |
| PlPressure | 18 | 741 | 6.820000000000000E+0 |
| PlPressure | 18 | 742 | 6.820000000000000E+0 |
| PlPressure | 18 | 743 | 6.820000000000000E+0 |
| PlPressure | 18 | 744 | 6.820000000000000E+0 |
| PlPressure | 18 | 745 | 6.820000000000000E+0 |
| PlPressure | 18 | 746 | 6.820000000000000E+0 |
| PlPressure | 18 | 747 | 6.820000000000000E+0 |
| PlPressure | 18 | 748 | 6.820000000000000E+0 |
| PlPressure | 18 | 749 | 6.820000000000000E+0 |
| PlPressure | 18 | 750 | 6.820000000000000E+0 |
| PlPressure | 18 | 751 | 6.820000000000000E+0 |
| PlPressure | 18 | 752 | 6.820000000000000E+0 |
| PlPressure | 18 | 753 | 6.820000000000000E+0 |
| PlPressure | 18 | 754 | 6.820000000000000E+0 |
| PlPressure | 18 | 755 | 6.820000000000000E+0 |
| PlPressure | 18 | 756 | 6.820000000000000E+0 |
| PlPressure | 18 | 757 | 6.820000000000000E+0 |
| PlPressure | 18 | 758 | 6.820000000000000E+0 |

| Relazione di calcolo spalle | COMMESSA NM25 | LOTTO 03 D 26 | CODIFICA CL | DOCUMENTO IV 37 04 001 | REV. A | FOGLIO 436 di 439 |
|-----------------------------|------------------|------------------|----------------|---------------------------|-----------|----------------------|
|-----------------------------|------------------|------------------|----------------|---------------------------|-----------|----------------------|

| | | | |
|------------|----|-----|----------------------|
| PlPressure | 18 | 759 | 6.820000000000000E+0 |
| PlPressure | 18 | 760 | 6.820000000000000E+0 |
| PlPressure | 18 | 761 | 6.820000000000000E+0 |
| PlPressure | 18 | 762 | 6.820000000000000E+0 |
| PlPressure | 18 | 763 | 6.820000000000000E+0 |
| PlPressure | 18 | 764 | 6.820000000000000E+0 |
| PlPressure | 18 | 765 | 6.820000000000000E+0 |
| PlPressure | 18 | 766 | 6.820000000000000E+0 |
| PlPressure | 18 | 767 | 6.820000000000000E+0 |
| PlPressure | 18 | 768 | 6.820000000000000E+0 |
| PlPressure | 18 | 769 | 6.820000000000000E+0 |
| PlPressure | 18 | 770 | 6.820000000000000E+0 |
| PlPressure | 18 | 771 | 6.820000000000000E+0 |
| PlPressure | 18 | 772 | 6.820000000000000E+0 |
| PlPressure | 18 | 773 | 6.820000000000000E+0 |
| PlPressure | 18 | 774 | 6.820000000000000E+0 |
| PlPressure | 18 | 775 | 6.820000000000000E+0 |
| PlPressure | 18 | 776 | 6.820000000000000E+0 |
| PlPressure | 18 | 777 | 6.820000000000000E+0 |
| PlPressure | 18 | 778 | 6.820000000000000E+0 |
| PlPressure | 18 | 779 | 6.820000000000000E+0 |
| PlPressure | 18 | 780 | 6.820000000000000E+0 |
| PlPressure | 18 | 781 | 6.820000000000000E+0 |
| PlPressure | 18 | 782 | 6.820000000000000E+0 |
| PlPressure | 18 | 783 | 6.820000000000000E+0 |
| PlPressure | 18 | 784 | 6.820000000000000E+0 |
| PlPressure | 18 | 785 | 6.820000000000000E+0 |

| Relazione di calcolo spalle | COMMESMA NM25 | LOTTO 03 D 26 | CODIFICA CL | DOCUMENTO IV 37 04 001 | REV. A | FOGLIO 437 di 439 |
|-----------------------------|------------------|------------------|----------------|---------------------------|-----------|----------------------|
|-----------------------------|------------------|------------------|----------------|---------------------------|-----------|----------------------|

| | | | |
|------------|----|-----|----------------------|
| PlPressure | 18 | 786 | 6.820000000000000E+0 |
| PlPressure | 18 | 787 | 6.820000000000000E+0 |
| PlPressure | 18 | 788 | 6.820000000000000E+0 |
| PlPressure | 18 | 789 | 6.820000000000000E+0 |
| PlPressure | 18 | 790 | 6.820000000000000E+0 |
| PlPressure | 18 | 791 | 6.820000000000000E+0 |
| PlPressure | 18 | 792 | 6.820000000000000E+0 |
| PlPressure | 18 | 793 | 6.820000000000000E+0 |
| PlPressure | 18 | 794 | 6.820000000000000E+0 |
| PlPressure | 18 | 795 | 6.820000000000000E+0 |
| PlPressure | 18 | 796 | 6.820000000000000E+0 |
| PlPressure | 18 | 797 | 6.820000000000000E+0 |
| PlPressure | 18 | 798 | 6.820000000000000E+0 |
| PlPressure | 18 | 799 | 6.820000000000000E+0 |
| PlPressure | 18 | 800 | 6.820000000000000E+0 |
| PlPressure | 18 | 801 | 6.820000000000000E+0 |
| PlPressure | 18 | 802 | 6.820000000000000E+0 |
| PlPressure | 18 | 803 | 6.820000000000000E+0 |
| PlPressure | 18 | 804 | 6.820000000000000E+0 |
| PlPressure | 18 | 805 | 6.820000000000000E+0 |
| PlPressure | 18 | 806 | 6.820000000000000E+0 |
| PlPressure | 18 | 807 | 6.820000000000000E+0 |
| PlPressure | 18 | 808 | 6.820000000000000E+0 |
| PlPressure | 18 | 809 | 6.820000000000000E+0 |
| PlPressure | 18 | 810 | 6.820000000000000E+0 |
| PlPressure | 18 | 811 | 6.820000000000000E+0 |
| PlPressure | 18 | 812 | 6.820000000000000E+0 |

Relazione di calcolo spalle

| COMMESA | LOTTO | CODIFICA | DOCUMENTO | REV. | FOGLIO |
|---------|---------|----------|--------------|------|------------|
| NM25 | 03 D 26 | CL | IV 37 04 001 | A | 438 di 439 |

| | | | |
|------------|----|-----|----------------------|
| PlPressure | 18 | 813 | 6.820000000000000E+0 |
| PlPressure | 18 | 814 | 6.820000000000000E+0 |
| PlPressure | 18 | 815 | 6.820000000000000E+0 |
| PlPressure | 18 | 816 | 6.820000000000000E+0 |
| PlPressure | 18 | 817 | 6.820000000000000E+0 |
| PlPressure | 18 | 818 | 6.820000000000000E+0 |
| PlPressure | 18 | 819 | 6.820000000000000E+0 |
| PlPressure | 18 | 820 | 6.820000000000000E+0 |
| PlPressure | 18 | 821 | 6.820000000000000E+0 |
| PlPressure | 18 | 822 | 6.820000000000000E+0 |
| PlPressure | 18 | 823 | 6.820000000000000E+0 |
| PlPressure | 18 | 824 | 6.820000000000000E+0 |
| PlPressure | 18 | 825 | 6.820000000000000E+0 |
| PlPressure | 18 | 826 | 6.820000000000000E+0 |
| PlPressure | 18 | 827 | 6.820000000000000E+0 |
| PlPressure | 18 | 828 | 6.820000000000000E+0 |
| PlPressure | 18 | 829 | 6.820000000000000E+0 |
| PlPressure | 18 | 830 | 6.820000000000000E+0 |
| PlPressure | 18 | 831 | 6.820000000000000E+0 |
| PlPressure | 18 | 832 | 6.820000000000000E+0 |
| PlPressure | 18 | 833 | 6.820000000000000E+0 |
| PlPressure | 18 | 834 | 6.820000000000000E+0 |
| PlPressure | 18 | 835 | 6.820000000000000E+0 |
| PlPressure | 18 | 836 | 6.820000000000000E+0 |
| PlPressure | 18 | 837 | 6.820000000000000E+0 |
| PlPressure | 18 | 838 | 6.820000000000000E+0 |
| PlPressure | 18 | 839 | 6.820000000000000E+0 |

| | | | | | | |
|---|--|--|--|--|--|--|
|  ITALFERR GRUPPO FERROVIE DELLO STATO ITALIANE | RADDOPPIO LINEA CODOGNO – CREMONA – MANTOVA TRATTA PIADENA - MANTOVA | | | | | |
| Relazione di calcolo spalle | COMMESSA LOTTO CODIFICA DOCUMENTO REV. FOGLIO NM25 03 D 26 CL IV 37 04 001 A 439 di 439 | | | | | |

PlPressure 18 840 6.82000000000000E+0

/ _____

/ NODE FORCES

/ URTO

NdForce 22 18 0.00000000000000E+0 1.00000000000000E+2 0.00000000000000E+0

/ _____

/ NODE MOMENTS

/ URTO

NdMoment 22 18 -1.00000000000000E+2 0.00000000000000E+0 0.00000000000000E+0